

## 2.6 滞留水を貯留している（滞留している場合を含む）建屋

### 2.6.1 基本設計

#### 2.6.1.1 設置の目的

既設1～4号機の原子炉建屋，タービン建屋（コントロール建屋及び，2，3号機海水配管トレンチ・立坑<sup>※1</sup>を含む），廃棄物処理建屋には，高レベル放射性汚染水（以下，「滞留水」という。）が滞留している。また，集中廃棄物処理建屋のうち，プロセス主建屋，雑固体廃棄物減容処理建屋（以下，「高温焼却炉建屋」という。）は，1～4号機のタービン建屋の滞留水を移送するための受け入れ先とするものであることから，各建屋の滞留水の状況を適切に監視し，放射性物質の建屋外への漏えいを防止するための機能を満足する設備とする。

※1：立坑とは，規模の大きな地中構造物のうち，比較的深い（10m程度）「縦の坑道」をいう。

#### 2.6.1.2 要求される機能

- (1) 建屋等に滞留する滞留水の状況を監視できる機能を有し，建屋等の外への漏えいを防止できる機能を有すること。
- (2) 汚染水処理設備の長期間の停止及び豪雨等があった場合にも，建屋等の外への漏えいを防止できるよう水位を管理できること。
- (3) 滞留水に起因する気体状の放射性物質の環境への放出を抑制・管理できる機能を有すること。
- (4) 建屋等周辺の地下水の放射性物質濃度を監視できる機能を有すること。

#### 2.6.1.3 設計方針

- (1) 建屋等の滞留水の状況を監視できる機能を有し，建屋等の外への漏えいを防止できる機能を有する設計とする。

具体的には，建屋等の滞留水の状況を監視できる機能として，水位計を設置する。また，各建屋からの滞留水の漏えいを防止するために，建屋に滞留する滞留水の水位が地下水の水位よりも低くなるように管理する必要があること，地下水の水位は，サブドレン水<sup>※2</sup>の水位により確認していることから，建屋近傍の適切なサブドレンに水位計を設置する。

※2：サブドレン水とは，建屋周辺の地下水をいう。

(2) 汚染水処理設備の長期間の停止、豪雨等があった場合にも、建屋等の外への漏えいを防止できるよう水位を管理する。

具体的には、汚染水処理設備の長期間の停止及び豪雨等に備え、タービン建屋等の水位を余裕のある水位に維持することにより管理する。また、プロセス主建屋、高温焼却炉建屋については、受け入れを停止すれば問題とならない。また、1～4号機の滞留水が急激に増加した場合、高濃度滞留水受タンク等に貯留する。

(3) 滞留水に起因する気体状の放射性物質の環境への放出を抑制・管理できる機能を有する設計とする。

具体的には、滞留水に起因する気体状の放射性物質の環境への放出低減のため、可能な限り地下開口部の閉塞を行い、必要に応じて各建屋についてダストサンプリングを実施する。

(4) 建屋等周辺の地下水の放射性物質濃度を監視できる機能を有する設計とする。

具体的には、サブドレン水のサンプリングの測定箇所を適切に設定し、定期的に測定する。

(5) 必要に応じて、貯留または滞留している滞留水から発生する可燃性ガスの検出、管理及び処理が適切に行える機能を有する設計とする。

具体的には、滞留水を建屋内に貯蔵した後に水素濃度測定を実施し水素の滞留のないことを確認する。また、念のため、必要に応じて換気口を設けるなど水素の滞留を抑制する。

(6) 環境条件に対する設計上の考慮は、次の通りとする。

海水による影響については、「Ⅲ. 3. 1. 3. 1. 2(5) 1～4号機原子炉建屋の点検について及び、同 添付資料-6 コメント回答③」に記載している。

(7) 電源停止に対する設計上の考慮は、次の通りとする。

全電源喪失による水位の遠隔監視機能が喪失の場合でも、これまでの実績から地下水の流入及び原子炉注水による水位の上昇は緩慢なものであり、水位のシミュレーションも可能である。また、交流電源を使用しない別の水位計により電源復旧までの間、手動での水位計測も可能である。以上のことから、漏えい防止の水位監視機能は喪失しないことから、安全上の問題は生じない。

(8) 信頼性に対する設計上の考慮は、次の通りとする。

建屋等の外への漏えいを防止できる機能については、多重性を持たないが、滞留水を

貯留する機能については、1～4号機各建屋の滞留水をプロセス主建屋、高温焼却炉建屋に移送することができ、更に、高濃度滞留水受けタンクにも移送が可能であり、それぞれ独立した設備であることから多重性、独立性を有している。

(9) 検査可能性に対する設計上の考慮は、次の通りとする。

建屋そのものの構造・強度の健全性については、直接的には、水没部が高線量であり確認することは出来ないが、類似箇所からの類推評価や解析により健全性を評価することが可能である。

また、建屋の滞留水を貯留する能力については、滞留水の水位制御により担保されていることから、水位が規定の値に制御されていることにより能力が保たれていることを確認することが可能である。また、建屋周囲のサブドレン水の放射能濃度を計測することにより、漏えいがないことを確認でき、滞留水の地下水への漏えいのないことを確認可能である。

(10) 建屋等内に滞留する滞留水の増加抑制及び滞留水漏えいリスク低減にかかる方針は、次の通りとする。

滞留水の増加抑制及び滞留水漏えいリスク低減を図るためには、今後、地下水位を管理し地下水の流入を抑制し滞留水の水位を下げタービン建屋、原子炉建屋、廃棄物処理建屋内にある滞留水を処理する必要がある。このため、地下水バイパス、トレンチ止水等の方策を検討する。

#### 2.6.1.4 供用期間中に確認する項目

(1) 建屋等の外への滞留水の漏えいを防止できる機能を有すること

#### 2.6.1.5 主要な機器

(1) 設備概要

滞留水を貯留している建屋等は、集中廃棄物処理建屋のうち、滞留水を貯留するプロセス主建屋、高温焼却炉建屋と、滞留水が滞留する1～4号機の原子炉建屋、タービン建屋、廃棄物処理建屋で構成する。

各号機の建屋等について設計内容を目標ごとに以下に記載する。

(2) プロセス主建屋

プロセス主建屋に貯留する滞留水は、2号機、3号機及び4号機から滞留水移送装置（移送ポンプ、ポリエチレン管等）で移送され、汚染水処理設備で処理されることにより水位調整を行う。移送については、移送元の1～4号機の水位や移送先となる集中廃棄物処理建屋の水位の状況を考慮し実施する。

プロセス主建屋について、以下のとおり設計する。

a. 滞留水の監視及び建屋外への漏えい防止

建屋等にある滞留水の状況を監視できる機能として、水位計を設置し、建屋内水位を監視する。

また、建屋からの漏えいを防止する機能として、以下について実施する。

(a) 貫通部の止水

漏えいの経路となり得る当該建屋の系外への貫通部に適切な止水を実施する。

(b) 外壁、床面等の亀裂からの漏えい対策

亀裂等からの漏えい対策として、外壁、床面等の亀裂や浸潤などにひび割れ補修を実施する。

(c) 建屋に貯留する滞留水の水位管理

建屋に貯留する滞留水の水位がサブドレン水の水位よりも低くなるように管理するため、建屋近傍の適切なサブドレンに水位計を設置する。

(d) コンクリート壁中における放射性物質の拡散について

建屋のコンクリート壁中を放射性物質が拡散し、漏えいする可能性があるため、拡散評価を行う。

(e) サイトバンカ建屋における滞留水の対応について

プロセス主建屋に隣接するサイトバンカ建屋においては、地下に滞留している水に放射能が検出されていることから、プロセス主建屋に貯留する滞留水が両建屋間を繋ぐ階段室を介し流入した可能性は否定できない。

このため、サイトバンカ建屋の滞留水は適宜プロセス主建屋へ移送する。

また、サイトバンカ建屋近傍のサブドレン水の水位及び放射能濃度を監視する。

b. 汚染水処理設備の長期間の停止及び豪雨等があった場合における建屋等の外への漏えい防止

汚染水処理設備の長期間の停止及び豪雨等に備え、受け入れ元であるタービン建屋等の水位を余裕のある水位に維持する。このことから、プロセス主建屋への受け入れを停止すれば問題とならない。また、1～4号機の滞留水が急激に増加した場合、高濃度滞留水受タンク等に貯留する。

c. 気体状の放射性物質の放出抑制・管理

滞留水に起因する気体状の放射性物質の環境への放出低減のため、可能な限り地下開口部の閉塞を行う。また、必要に応じてプロセス主建屋についてもダストサンプリングを実施する。

なお、水の放射線分解により建屋内に水素が発生した場合の対策として設置する局所排風機は、チャコールフィルタ、高性能粒子フィルタを通して排気するものと



する。

d. 地下水の放射性物質濃度の監視

建屋等周辺の地下水の放射性物質濃度を監視できる機能として、サブドレン水のサンプリングの測定箇所を適切に設定し、定期的に測定する。

e. 滞留水から発生する可燃性ガスの検出、管理及び処理

滞留水を建屋内に貯蔵した後に水素濃度測定を実施し、水素の滞留のないことを確認する。また念のため、水の放射線分解により建屋内に水素が発生した場合の対策として、建屋上部より吸気して排気する局所排風機を設置する。

なお、滞留水に起因する気体状の放射性物質の環境への放出低減のため地下開口部を閉塞する部位については、可燃性ガスが滞留する可能性がある閉塞部の付近にて水素濃度について上昇傾向のないことの確認のためサンプリングを実施する。それにより水素の滞留が確認された場合、対策を実施する。

(3) 高温焼却炉建屋

高温焼却炉建屋に貯留する滞留水は、2号機、3号機及び4号機から滞留水移送装置（移送ポンプ、ポリエチレン管等）で移送することにより受け入れ、汚染水処理設備により処理することにより水位調整を行う。移送については、移送元の1～4号機の水位や移送先となる集中廃棄物処理建屋の水位の状況を考慮し実施する。

高温焼却炉建屋について、以下のとおり設計する。

a. 滞留水の監視及び建屋外への漏えい防止

建屋等にある滞留水の状況を監視できる機能として、水位計を設置し、建屋内水位を監視する。

また、建屋からの漏えいを防止する機能として、以下について実施する。

(a) 貫通部の止水

漏えいの経路となり得る当該建屋の系外への貫通部に適切な止水工事を実施する。

(b) 外壁、床面等の亀裂からの漏えい対策

亀裂等からの漏えい対策として、外壁、床面等の亀裂や浸潤などにひび割れ補修を実施する。

(c) 建屋に貯留する滞留水の水位管理

建屋に貯留する滞留水の水位がサブドレン水の水位よりも低くなるように管理する。そのため、建屋近傍の適切なサブドレンに水位計を設置する。

(d) コンクリート壁中における放射性物質の拡散について

建屋のコンクリート壁中を放射性物質が拡散し、漏えいする可能性があるため、

拡散評価を行う。

(e) 隣接する地下通路への滞留水の漏えい対応について

高温焼却炉建屋の滞留水は、隣接する地下通路に漏えいしていることが確認されたが地下通路部の水位の方が高いことから漏えいは抑制されていると考える。念のため、高温焼却炉建屋近傍のサブドレン水の水位及び放射能濃度を監視する。

b. 汚染水処理設備の長期間の停止及び豪雨等があった場合における建屋等の外への漏えい防止

汚染水処理設備の長期間の停止及び豪雨等に備え、受け入れ元であるタービン建屋等の水位を余裕のある水位に維持する。このことから、高温焼却炉建屋への受け入れを停止すれば問題とならない。また、1～4号機の滞留水が急激に増加した場合、高濃度滞留水受タンク等に貯留する。

c. 気体状の放射性物質の放出抑制・管理

滞留水に起因する気体状の放射性物質の環境への放出低減のため、可能な限り地下開口部の閉塞を行う。また、必要に応じてプロセス主建屋についてもダストサンプリングを実施する。

なお、水の放射線分解により建屋内に水素が発生した場合の対策として設置する局所排風機は、チャコールフィルタ、高性能粒子フィルタを通して排気するものとする。

d. 地下水の放射性物質濃度の監視

建屋等周辺の地下水の放射性物質濃度を監視できる機能として、サブドレン水のサンプリングの監視箇所を適切に設定し、定期的に測定する。

e. 滞留水から発生する可燃性ガスの検出、管理及び処理

滞留水を建屋内に貯蔵した後に水素濃度測定を実施し、水素の滞留のないことを確認する。また念のため、水の放射線分解により建屋内に水素が発生した場合の対策として、建屋上部より吸気して排気する局所排風機を設置する。

なお、滞留水に起因する気体状の放射性物質の環境への放出低減のため地下開口部を閉塞する部位については、可燃性ガスが滞留する可能性がある閉塞部の付近にて水素濃度について上昇傾向のないことの確認のためサンプリングを実施する。それにより水素の滞留が確認された場合、対策を実施する。

(4) 1号機

1号機の滞留水については、原子炉建屋、タービン建屋、廃棄物処理建屋に滞留して

おり、原子炉建屋から主に廃棄物処理建屋を通過して2号機廃棄物処理建屋へ流出するとともに、タービン建屋にも流出する場合があると考えられる。1号機タービン建屋の滞留水については、水位状況に応じて1号機廃棄物処理建屋へ滞留水移送装置（移送ポンプ、ポリエチレン管等）を通じて移送することにより2号機タービン建屋に移送する。1号機の各建屋について、以下のとおり設計する。

a. 滞留水の監視及び建屋外への漏えい防止

建屋等にある滞留水の状況を監視できる機能として、原子炉建屋、タービン建屋、廃棄物処理建屋に水位計を設置し滞留水の水位を監視する。

また、建屋からの漏えいを防止する機能として、以下について実施する。

(a) 建屋内滞留水の水位管理

建屋内滞留水の水位がサブドレン水の水位よりも低くなるように管理するため、原子炉建屋、タービン建屋、廃棄物処理建屋の滞留水と適切な測定箇所サブドレンに水位計を設置する。

また、地下水バイパスにより建屋周辺の地下水の水位を低下させる場合においても、建屋内滞留水の水位がサブドレン水位よりも低くなるように管理する。

さらに、地下水による海洋汚染拡大防止を図るため1～4号機の既設護岸の前面に遮水壁を設置した場合においても、建屋内滞留水の水位がサブドレン水位よりも低くなるように管理する。

(b) コンクリート壁中における放射性物質の拡散

建屋のコンクリート壁中を放射性物質が拡散し、漏えいする可能性があるため、拡散評価を行う。

b. 汚染水処理設備の長期間の停止及び豪雨等があった場合における建屋等の外への漏えい防止

汚染水処理設備の長期間の停止及び豪雨等に備え、1号機の滞留水が流入する2号機タービン建屋等の水位を、余裕のある水位に維持する。また、1～4号機の滞留水が急激に増加した場合、高濃度滞留水受タンク等に貯留する。

c. 気体状の放射性物質の放出抑制・管理

滞留水に起因する気体状の放射性物質の環境への放出低減のため、タービン建屋及び廃棄物処理建屋について、可能な限り地下開口部の閉塞を行い、原子炉建屋上部及び必要に応じてタービン建屋、廃棄物処理建屋についてダストサンプリングを実施する。

なお、原子炉からの放射性物質の飛散抑制の応急措置的対策のため、原子炉建屋にカバーを設置する。本カバーの設置とともに排気設備を設置し、チャコールフィルタ及び高性能粒子フィルタを通して排気することにより、滞留水に起因する気体

状の放射性物質の環境への放出の低減を図る。

d. 地下水の放射性物質濃度の監視

建屋等周辺の地下水の放射性物質濃度を監視できる機能として、サブドレン水のサンプリングの測定箇所を適切に設定し、定期的に測定する。

e. 滞留水から発生する可燃性ガスの検出、管理及び処理

滞留水に起因する気体状の放射性物質の環境への放出低減のため地下開口部を閉塞の後、滞留する可能性がある閉塞部の付近にて水素濃度について上昇傾向のないことの確認のためサンプリングを実施する。それにより水素の滞留が確認された場合、対策を実施する。

(5) 2号機

2号機の滞留水については、原子炉建屋、タービン建屋、廃棄物処理建屋に滞留しており、各建屋間において水位状況に応じた滞留水の連動があり、2号機タービン建屋から3号機タービン建屋または集中廃棄物処理建屋へ滞留水移送装置（移送ポンプ、ポリエチレン管等）を通じて移送することにより水位調整を行う。移送については、移送元の各建屋の水位及び移送先の各建屋水位を考慮し実施する。2号機の各建屋について、以下のとおり設計する。

a. 滞留水の監視及び建屋外への漏えい防止

建屋等にある滞留水の状況を監視できる機能として、原子炉建屋、タービン建屋、廃棄物処理建屋に水位計を設置し滞留水の水位を監視する。

また、建屋からの漏えいを防止する機能として、以下について実施する。

(a) 建屋内滞留水の水位管理

建屋内滞留水の水位がサブドレン水の水位よりも低くなるように管理するため、原子炉建屋、タービン建屋、廃棄物処理建屋の滞留水と適切な測定箇所のサブドレンに水位計を設置する。

また、地下水バイパスにより建屋周辺の地下水の水位を低下させる場合においても、建屋内滞留水の水位がサブドレン水位よりも低くなるように管理する。

OP. 4000に開口部を有する立坑については閉塞する。

さらに、地下水による海洋汚染拡大防止を図るため1～4号機の既設護岸の前面に遮水壁を設置する場合においても、建屋内滞留水の水位がサブドレン水位よりも低くなるように管理する。

(b) コンクリート壁中における放射性物質の拡散

建屋のコンクリート壁中を放射性物質が拡散し、漏えいする可能性があるため、拡散評価を行う。

- b. 汚染水処理設備の長期間の停止及び豪雨等があった場合における建屋等の外への漏えい防止

汚染水処理設備の長期間の停止及び豪雨等に備え、タービン建屋等の水位を、余裕のある水位に維持し、滞留水が急激に増加した場合の海洋への放出リスクの高まるOP. 4000 までの余裕を確保する。また、1～4号機の滞留水が急激に増加した場合、高濃度滞留水受タンク等に貯留する。

- c. 気体状の放射性物質の放出抑制・管理

滞留水に起因する気体状の放射性物質の環境への放出低減のため、タービン建屋及び廃棄物処理建屋について、可能な限り地下開口部の閉塞を行い、原子炉建屋上部及び必要に応じてタービン建屋、廃棄物処理建屋についてもダストサンプリングを実施する。

- d. 地下水の放射性物質濃度の監視

建屋等周辺の地下水の放射性物質濃度を監視できる機能として、サブドレン水のサンプリングの測定箇所を適切に設定し、定期的に測定する。

- e. 滞留水から発生する可燃性ガスの検出、管理及び処理

滞留水に起因する気体状の放射性物質の環境への放出低減のため地下開口部を閉塞の後、滞留する可能性がある閉塞部の付近にて水素濃度について上昇傾向のないことの確認のためサンプリングを実施する。それにより水素の滞留が確認された場合、対策を実施する。

## (6) 3号機

3号機の滞留水については、原子炉建屋、タービン建屋、廃棄物処理建屋に滞留しており、3/4号機の各建屋間において水位状況に応じた滞留水の連動がある。また、2号機から滞留水移送装置で移送された滞留水が流入する。これらの滞留水は3号機タービン建屋から4号機タービン建屋、3号機または4号機タービン建屋から集中廃棄物処理建屋へ滞留水移送装置（移送ポンプ、ポリエチレン管等）で移送することにより水位調整を行う。移送については、移送元の各建屋の水位及び移送先の各建屋水位を考慮し実施する。3号機の各建屋について、以下のとおり設計する。

- a. 滞留水の監視及び建屋外への漏えい防止

建屋等にある滞留水の状況を監視できる機能として、原子炉建屋、タービン建屋、廃棄物処理建屋に水位計を設置し滞留水の水位を監視する。

また、建屋からの漏えいを防止する機能として、以下について実施する。

(a) 建屋内滞留水の水位管理

建屋内滞留水の水位がサブドレン水の水位よりも低くなるように管理するため、原子炉建屋、タービン建屋、廃棄物処理建屋の滞留水と適切な測定箇所のサブドレンに水位計を設置する。

また、地下水バイパスにより建屋周辺の地下水の水位を低下させる場合においても、建屋内滞留水の水位がサブドレン水位よりも低くなるように管理する。

OP. 4000に開口部を有する立坑については閉塞する。

さらに、地下水による海洋汚染拡大防止を図るため1～4号機の既設護岸の前面に遮水壁を設置する場合においても、建屋内滞留水の水位がサブドレン水位よりも低くなるように管理する。

(b) コンクリート壁中における放射性物質の拡散

建屋のコンクリート壁中を放射性物質が拡散し、漏えいする可能性があるため、拡散評価を行う。

b. 汚染水処理設備の長期間の停止及び豪雨等があった場合における建屋等の外への漏えい防止

汚染水処理設備の長期間の停止及び豪雨等に備え、タービン建屋等の水位を、余裕のある水位に維持し、滞留水が急激に増加した場合の海洋への放出口の高まるOP. 4000までの余裕を確保する。また、1～4号機の滞留水が急激に増加した場合、高濃度滞留水受タンク等に貯留する。

c. 気体状の放射性物質の放出抑制・管理

滞留水に起因する気体状の放射性物質の環境への放出低減のため、タービン建屋及び廃棄物処理建屋について、可能な限り地下開口部の閉塞を行い、原子炉建屋上部及び必要に応じてタービン建屋、廃棄物処理建屋についてもダストサンプリングを実施する。

d. 地下水の放射性物質濃度の監視

建屋等周辺の地下水の放射性物質濃度を監視できる機能として、サブドレン水のサンプリングの測定箇所を適切に設定し定期的に測定する。

e. 滞留水から発生する可燃性ガスの検出、管理及び処理

滞留水に起因する気体状の放射性物質の環境への放出低減のため地下開口部を閉塞の後、滞留する可能性がある閉塞部の付近にて水素濃度について上昇傾向のないことの確認のためサンプリングを実施する。それにより水素の滞留が確認された場合、対策を実施する。

(7) 4号機

4号機の滞留水については、原子炉建屋、タービン建屋、廃棄物処理建屋に滞留しており、3/4号機の各建屋間において水位状況に応じた滞留水の連動があり、3号機タービン建屋または4号機タービン建屋から滞留水移送装置（移送ポンプ、ポリエチレン管等）で集中廃棄物処理建屋へ移送することにより水位調整を行う。移送については、移送元の各建屋の水位及び移送先の各建屋水位を考慮し実施する。4号機の各建屋について、以下のとおり設計する。

a. 滞留水の監視及び建屋外への漏えい防止

建屋等にある滞留水の状況を監視できる機能として、原子炉建屋、タービン建屋、廃棄物処理建屋に水位計を設置し滞留水の水位を監視する。

また、建屋からの漏えいを防止する機能として、以下について実施する。

(a) 建屋内滞留水の水位管理

建屋内滞留水の水位がサブドレン水の水位よりも低くなるように管理するため、原子炉建屋、タービン建屋、廃棄物処理建屋の滞留水と適切な測定箇所のサブドレンに水位計を設置する。

また、地下水バイパスにより建屋周辺の地下水の水位を低下させる場合においても、建屋内滞留水の水位がサブドレン水位よりも低くなるように管理する。

OP. 4000に開口部を有する立坑については閉塞する。

さらに、地下水による海洋汚染拡大防止を図るため1～4号機の既設護岸の前面に遮水壁を設置する場合においても、建屋内滞留水の水位がサブドレン水位よりも低くなるように管理する。

(b) コンクリート壁中における放射性物質の拡散

建屋のコンクリート壁中を放射性物質が拡散し、漏えいする可能性があるため拡散評価を実施する。

b. 汚染水処理設備の長期間の停止及び豪雨等があった場合における建屋等の外への漏えい防止

汚染水処理設備の長期間の停止及び豪雨等に備え、タービン建屋等の水位を、余裕のある水位に維持し、滞留水が急激に増加した場合の海洋への放出リスクの高まるOP. 4000までの余裕を確保する。また、1～4号機の滞留水が急激に増加した場合、高濃度滞留水受タンク等に貯留する。

c. 気体状の放射性物質の放出抑制・管理

滞留水に起因する気体状の放射性物質の環境への放出低減のため、タービン建屋及び廃棄物処理建屋について、可能な限り地下開口部の閉塞を行い、必要に応じて

原子炉建屋，タービン建屋，廃棄物処理建屋についてもダストサンプリングを実施する。

d. 地下水の放射性物質濃度の監視

建屋等周辺の地下水の放射性物質濃度を監視できる機能として，サブドレン水のサンプリングの測定箇所を適切に設定し，定期的に測定する。

e. 滞留水から発生する可燃性ガスの検出，管理及び処理

滞留水に起因する気体状の放射性物質の環境への放出低減のため地下開口部を閉塞の後，滞留する可能性がある閉塞部の付近にて水素濃度について上昇傾向のないことの確認のためサンプリングを実施する。それにより水素の滞留が確認された場合，対策を実施する。

#### 2.6.1.6 自然災害対策等

(1) 津波

津波対策は，「Ⅲ.3.1.3.2 津波への対応」に記載している。

(2) 豪雨・台風

豪雨・台風対策は，「Ⅲ.3.1.4.1 台風・豪雨について」に記載している。

(3) 竜巻

竜巻対策は，「Ⅲ.3.1.4.2 竜巻について」に記載している。

(4) 火災

建屋内の各設備においては，設備毎に必要な火災対策を実施している。また，滞留水を貯留・滞留している建屋地下エリアは，火気作業が無いため火災が発生するリスクが低く，仮に火災が発生したとしても，滞留水の貯留機能に影響はないことから，追加の火災対策は不要である。

#### 2.6.1.7 構造強度及び耐震性

(1) プロセス主建屋

a. 東北地方太平洋沖地震後の地震応答解析，点検による確認

プロセス主建屋は耐震Bクラスであり，今回の東北地方太平洋沖地震及びその余震を経験したものの，弾性範囲の挙動を示したものと考えられるが，構造物としての健全性が維持されていることについて，地震応答解析，点検により確認を行う。



b. 地下階への貯水後における耐震安全性評価

大量（満水）の滞留水を貯蔵する荷重条件に対し、参考に基準地震動  $S_s$  に対して、構造強度を満足することを確認する。

(2) 高温焼却炉建屋

a. 東北地方太平洋沖地震後の地震応答解析，点検による確認

高温焼却炉建屋は耐震Bクラスであり，今回の東北地方太平洋沖地震及びその余震を経験したものの，弾性範囲の挙動を示したものと考えられるが，構造物としての健全性が維持されていることについて，地震応答解析，点検により確認を行う。

b. 地下階への貯水後における耐震安全性評価

大量（満水）の滞留水を貯蔵する荷重条件に対し，参考に基準地震動  $S_s$  に対して，構造強度を満足することを確認する。

(3) 1～4号機

a. 東北地方太平洋沖地震後の地震応答解析

原子炉建屋は耐震Sクラス，タービン建屋，廃棄物処理建屋は耐震Bクラスであり，今回の東北地方太平洋沖地震及びその余震を経験したものの，弾性範囲の挙動を示したものと考えられるが，原子炉建屋とタービン建屋は構造物としての健全性が維持されていることについて，地震応答解析により確認を行う。

b. 地下階への貯水後における耐震安全性評価

大量（満水）の滞留水を貯蔵する荷重条件に対し，原子炉建屋について，基準地震動  $S_s$  に対して，構造強度を満足することを確認する。

また，参考に，タービン建屋，廃棄物処理建屋について，基準地震動  $S_s$  に対して，構造強度を満足することを確認する。

2.6.2 添付資料

- 添付資料－1 系統概略図
- 添付資料－2 構造強度及び耐震性
- 添付資料－3 地下水バイパスによる地下水流入量の低減
- 添付資料－4 プロセス主建屋の貫通部の止水措置
- 添付資料－5 プロセス主建屋の健全性 ひび割れ等の漏えい対策
- 添付資料－6 プロセス主建屋の建屋外への放射性物質移行量の評価
- 添付資料－7 高温焼却炉建屋の貫通部の止水措置

- 添付資料－ 8 高温焼却炉建屋の健全性 ひび割れ等の漏えい対策
- 添付資料－ 9 高温焼却炉建屋の建屋外への放射性物質移行量の評価
- 添付資料－ 1 0 1～4号機の各建屋外への放射性物質移行量の評価
- 添付資料－ 1 1 建屋等内に滞留する滞留水の増加抑制及び滞留水漏えいリスク低減にかか  
る方針
- 添付資料－ 1 2 汚染水処理対策委員会で議論された汚染水処理問題の抜本対策
- 添付資料－ 1 3 汚染された地下水の港湾への流出抑制策等について
- 添付資料－ 1 4 凍土遮水壁設置による地下水流入量の低減
- 添付資料－ 1 6 陸側遮水壁（山側ライン）の試験凍結の実施

系統概略図

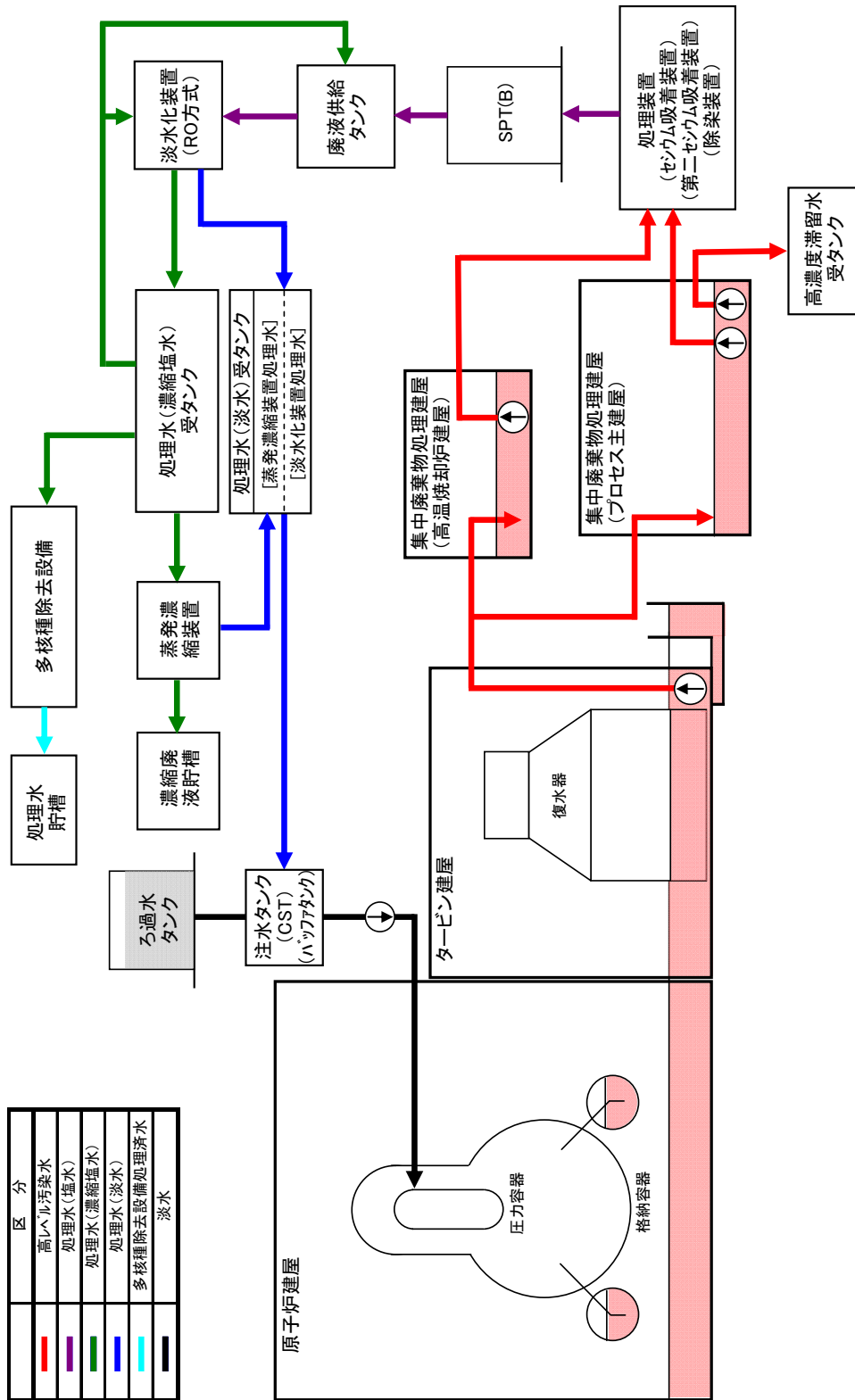
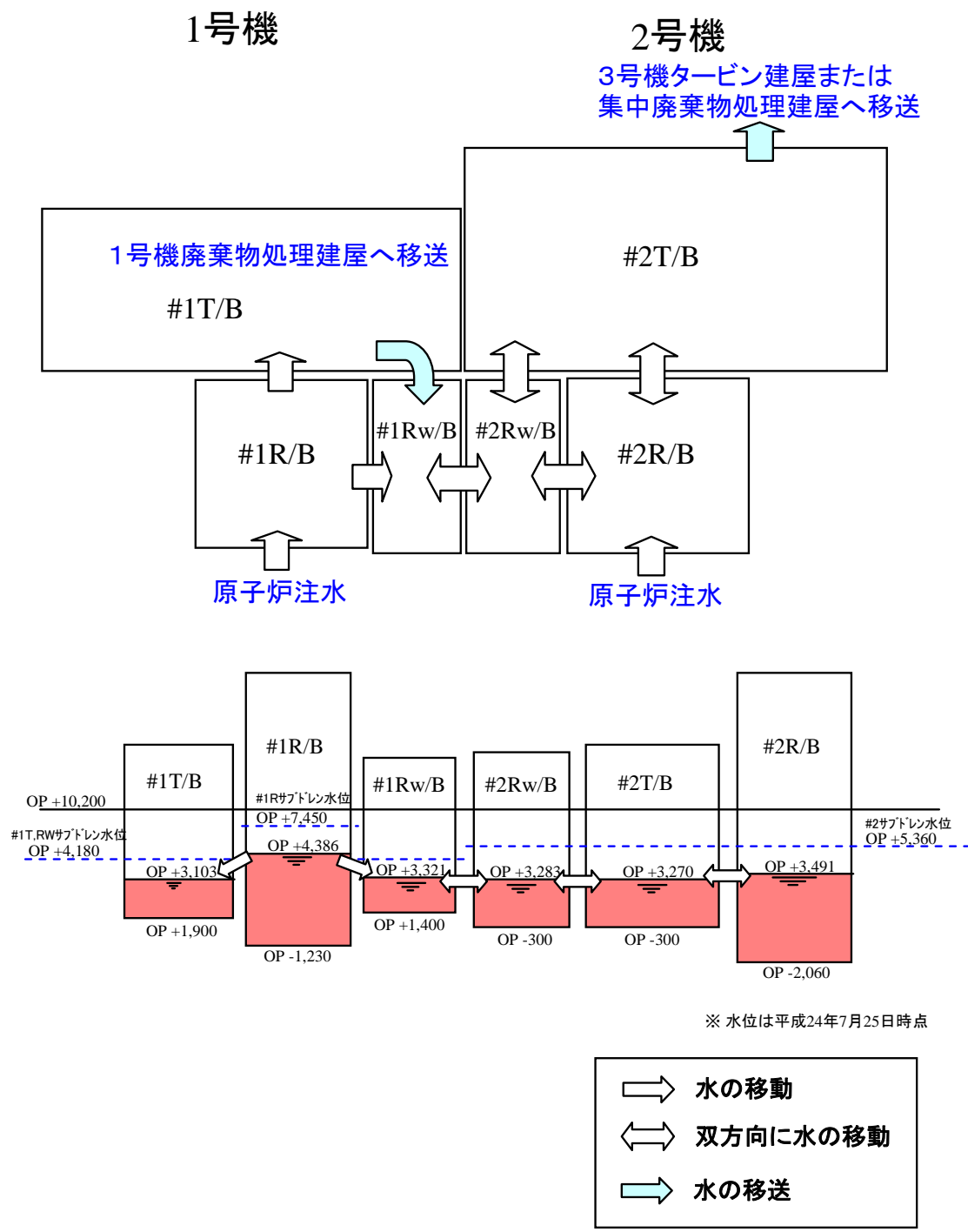
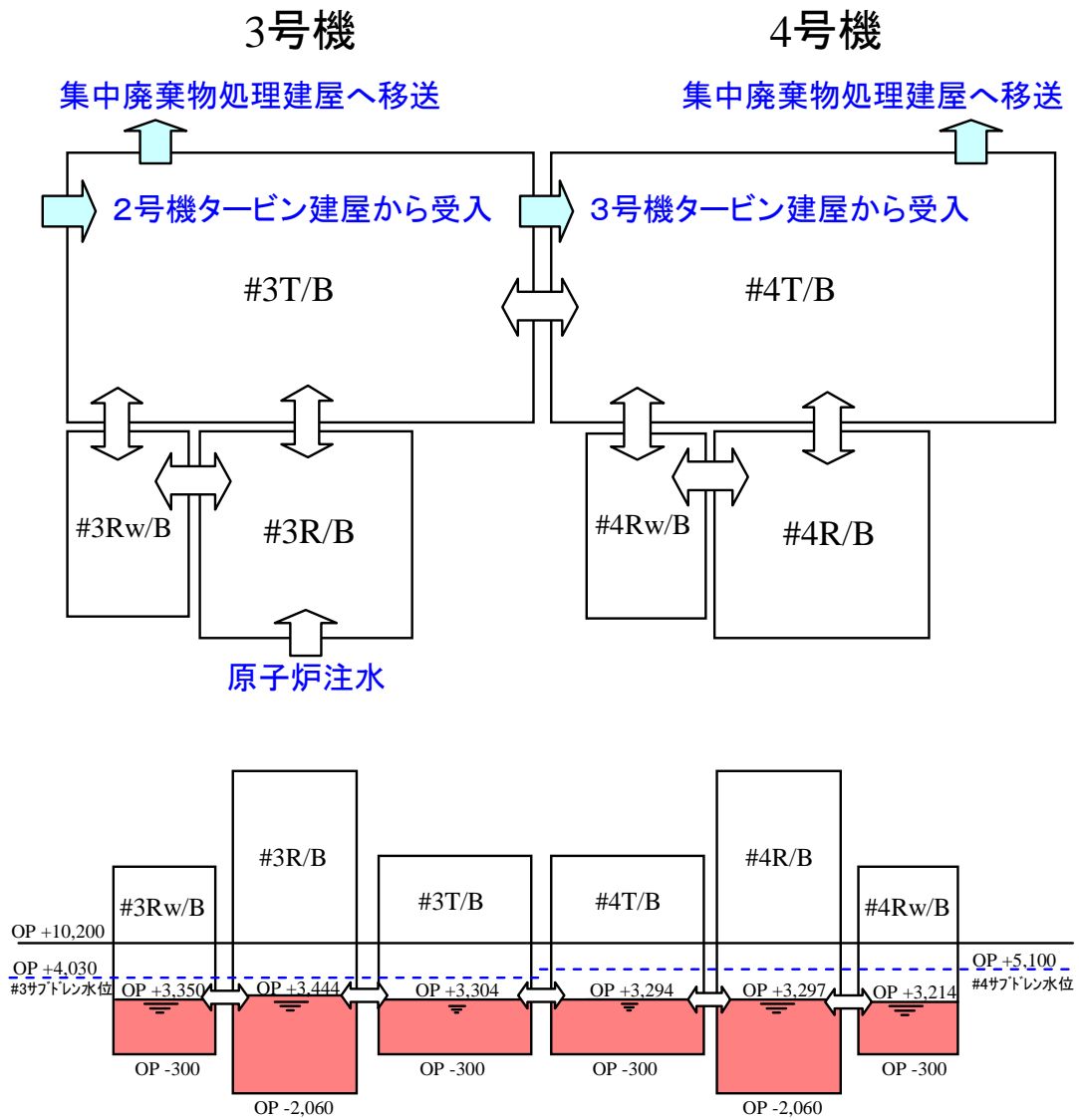


図1 滞留水移送概念図

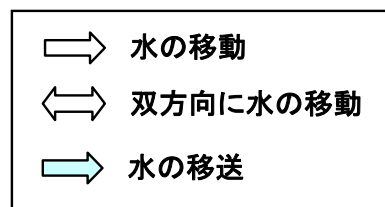


注 #n: n号機, R/B:原子炉建屋, T/B:タービン建屋, Rw/B:廃棄物処理建屋

図2 1 / 2号機建屋間における滞留水の流れのイメージ



※ 水位は平成24年7月25日時点



注 #n: n号機, R/B:原子炉建屋, T/B:タービン建屋, Rw/B:廃棄物処理建屋

図3 3 / 4号機建屋間における滞留水の流れのイメージ

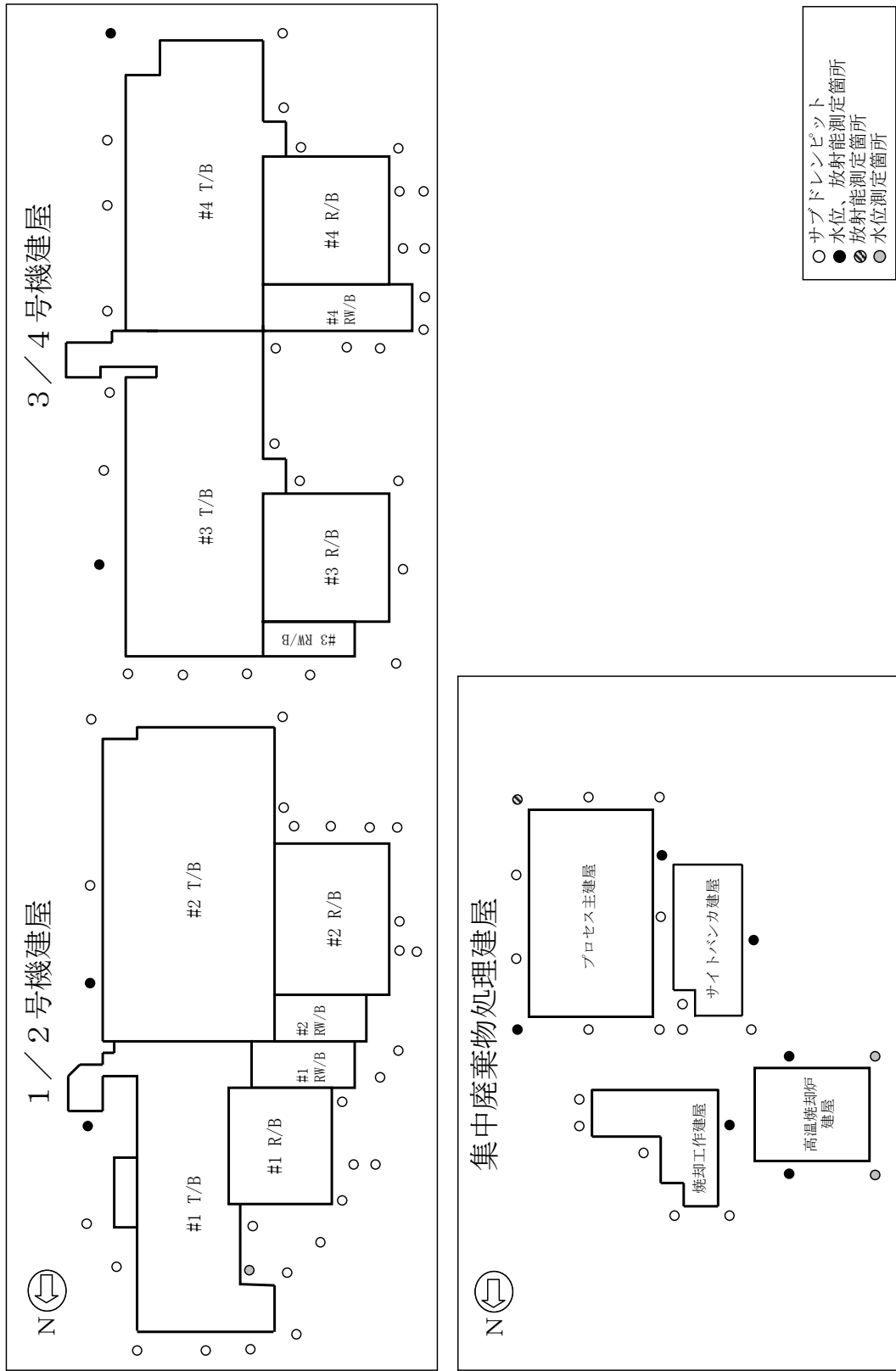


図4 サブドレンピット概略配置図

構造強度及び耐震性  
(地下滞留水を考慮した建屋の耐震安全性評価)

1 はじめに

地下に滞留水を貯留する1～4号機原子炉建屋，1～4号機タービン建屋，1～4号機廃棄物処理建屋及び1～4号機コントロール建屋について，地下階に滞留水があることを考慮し，基準地震動 $S_s$ に対し，地下外壁が崩壊しないことを確認する。なお，判定は地下階の耐震壁が終局限界に至らないことを確認する。

1～4号機原子炉建屋について，基準地震動 $S_s$ に対する地下滞留水を考慮した地震応答解析を実施し，地下外壁の耐震安全性を評価する。(4号機原子炉建屋については，Ⅲ.3.1.3 添付資料3を参照)

また，1～4号機タービン建屋，1～4号機廃棄物処理建屋及び1～4号機コントロール建屋について，それぞれ代表号機を選定した上で，基準地震動 $S_s$ に対する地下滞留水を考慮した地震応答解析を実施し，地下外壁の耐震安全性を評価する。なお，代表号機以外については，代表号機の耐震安全性評価結果を踏まえ，建屋の類似性等を考慮して，耐震安全性を評価する。ここで，代表号機は滞留水の容量が最大の号機とする。

## 2 原子炉建屋

### 2.1 1号機原子炉建屋

#### 2.1.1 解析評価方針

1号機原子炉建屋の地下滞留水を考慮した耐震安全性評価は、基準地震動  $S_s$  を用いた地震応答解析によることを基本とし、建物・構築物や地盤の応答性状を適切に表現できるモデルを設定した上で行う。

解析モデルは、地下1階から地上5階に設置された機器を含む建屋全域をNS、EW方向とも1軸質点系モデルとする。

地下階への滞留水の付加重量は建屋外形寸法・建屋内部の壁厚・機器容積から体積を算定し、固定水として評価する。

地下耐震壁の評価は、地震応答解析により得られた該当部位の最大せん断ひずみが、評価基準値 ( $4.0 \times 10^{-3}$ ) を超えないことを確認することとする。

1号機原子炉建屋の地震応答解析の評価手順例を、図2.1.1-1に示す。



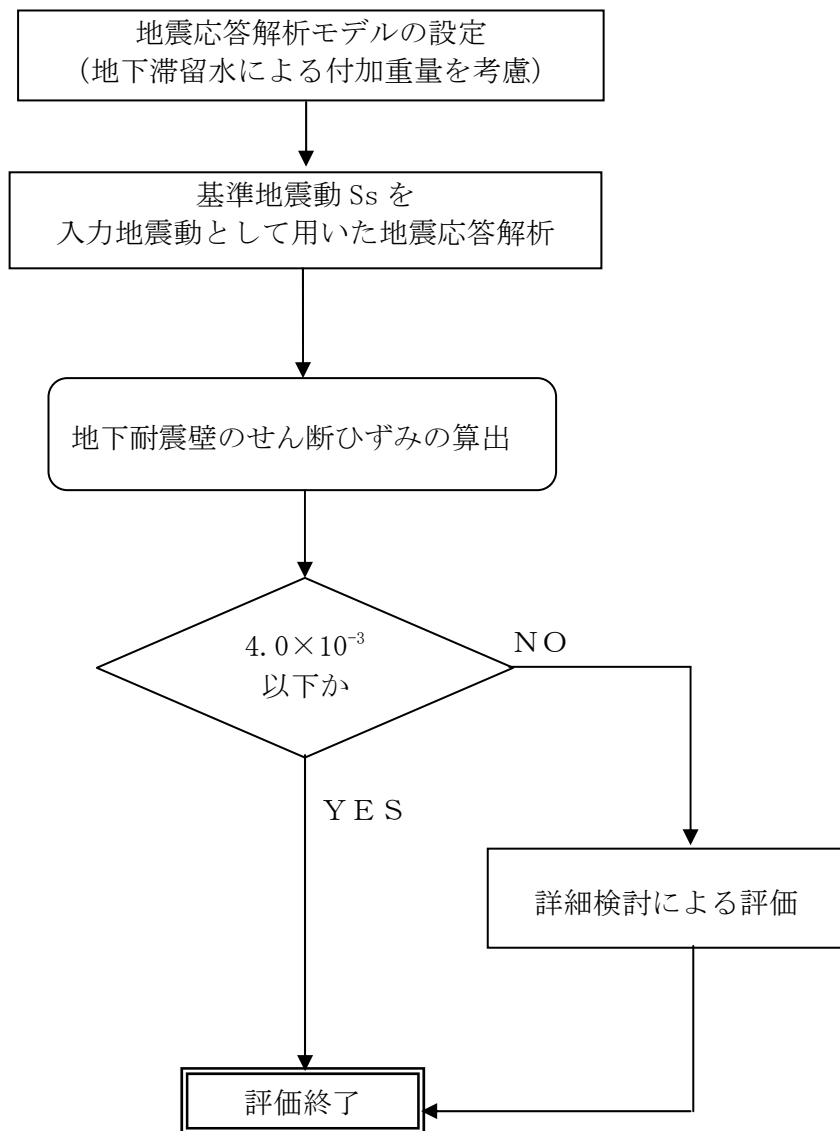


図 2.1.1-1 1号機原子炉建屋の地震応答解析の評価手順例

## 2.1.2 1号機原子炉建屋の水位及び地下滞留水量

1号機原子炉建屋の満水状態の水位及び地下滞留水量を表 2.1.2-1 に示す。

表 2.1.2-1 1号機原子炉建屋の満水状態の水位及び地下滞留水量

|     | 1号機                 |
|-----|---------------------|
| 水位  | O.P. 7,000          |
| 貯水量 | 5,600m <sup>3</sup> |

### 2.1.3 解析に用いる入力地震動

1号機原子炉建屋への入力地震動は、「福島第一原子力発電所 『発電用原子炉施設に関する耐震設計審査指針』の改訂に伴う耐震安全性評価結果 中間報告書」(原管発官19第603号 平成20年3月31日付け)にて作成した解放基盤表面レベルに想定する基準地震動  $S_s$  を用いることとする。

地震応答解析に用いる入力地震動の概念図を図2.1.3-1に示す。この1号機原子炉建屋の解析モデルに入力する地震動は、一次元波動論に基づき、解放基盤表面レベルに想定する基準地震動  $S_s$  に対する建屋基礎底面レベルの地盤応答として評価する。また、建屋基礎底面レベルにおけるせん断力を入力地震動に付加することにより、地盤の切欠き効果を考慮する。

このうち、解放基盤表面位置 (O.P. -196.0m) における基準地震動  $S_s$  の加速度波形について、図2.1.3-2に示す。

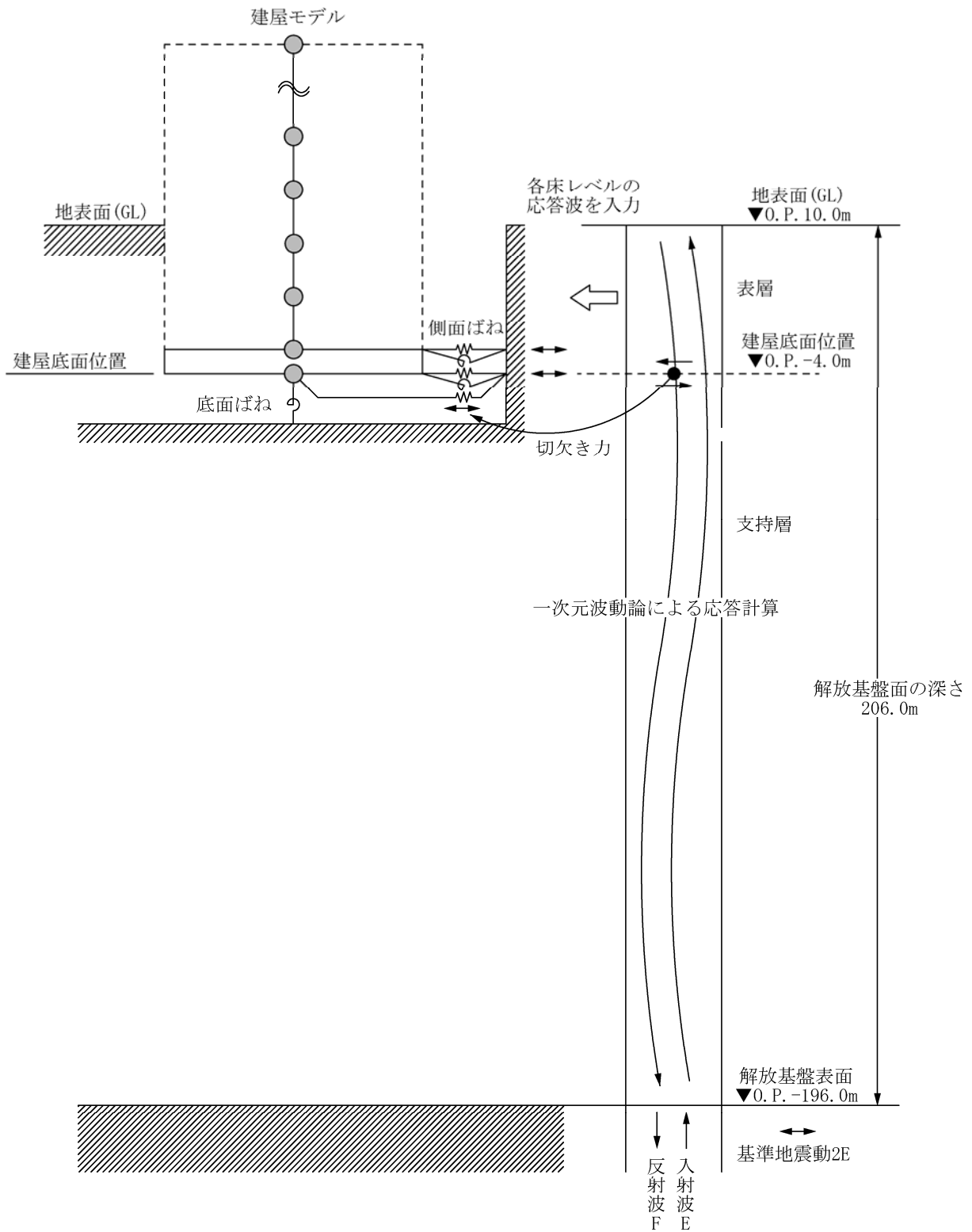


図 2. 1. 3-1 地震応答解析に用いる入力地震動の概念図



(Ss-1H)



(Ss-2H)



(Ss-3H)

図 2. 1. 3-2 解放基盤表面位置における地震動の加速度時刻歴波形 (水平方向)

#### 2.1.4 地震応答解析モデル

基準地震動  $S_s$  に対する 1 号機原子炉建屋の地震応答解析は、「2.1.3 解析に用いる入力地震動」で算定した入力地震動を用いた動的解析による。

地震応答解析モデルは、図 2.1.4-1 及び図 2.1.4-2 に示すように、建屋を曲げ変形とせん断変形をする質点系とし、地盤を等価なばねで評価した建屋－地盤連成系モデルとする。建屋－地盤連成系としての効果は地盤ばね及び入力地震動によって評価される。解析に用いるコンクリートの物性値を表 2.1.4-1 に、建屋解析モデルの諸元を表 2.1.4-2 に示す。

地盤定数は、水平成層地盤と仮定し、地震時のせん断ひずみレベルを考慮して定めた。解析に用いた地盤定数を表 2.1.4-3 に示す。

解析モデルにおいて、基礎底面地盤ばねについては、「JEAG 4601-1991」に示された手法を参考にし、成層補正を行ったのち、振動アドミタンス理論に基づいて、スウェイ及びロッキングばね定数を近似的に評価する。また、埋込部分の建屋側面地盤ばねについては、建屋側面位置の地盤定数を用いて、水平及び回転ばねを「JEAG4601-1991」により NOVAK ばねに基づいて近似法により評価する。

地盤ばねは振動数に依存した複素剛性として得られるが、図 2.1.4-3 に示すようにばね定数 ( $K_c$ ) として実部の静的な値を、また、減衰係数 ( $C_c$ ) として建屋－地盤連成系の 1 次固有振動数に対応する虚部の値と原点を結ぶ直線の傾きを採用することにより近似する。

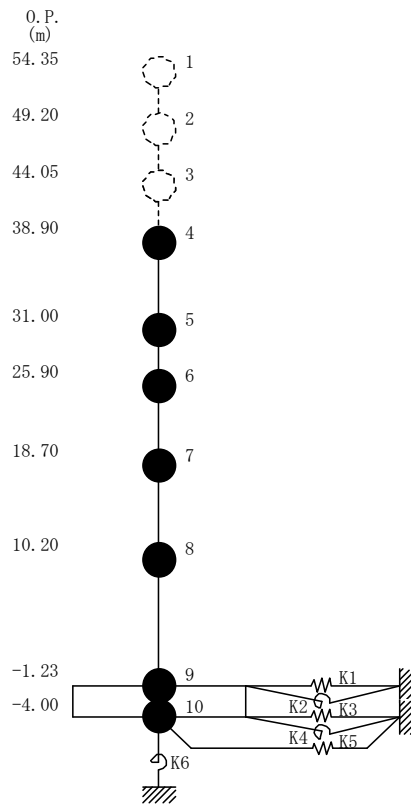


図 2.1.4-1 1号機原子炉建屋 地震応答解析モデル (NS 方向)

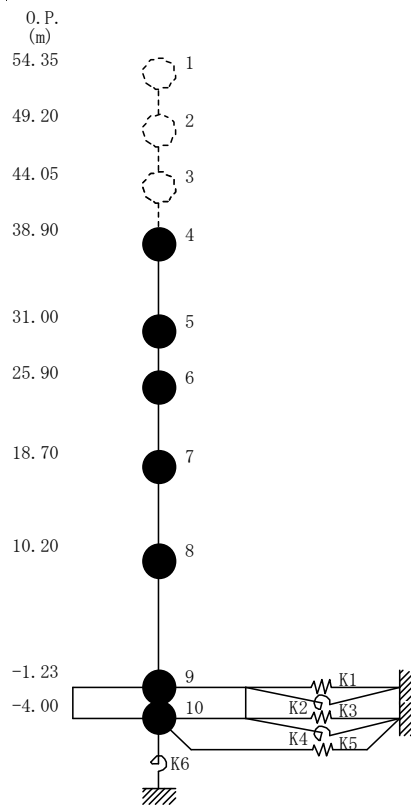


図 2.1.4-2 1号機原子炉建屋 地震応答解析モデル (EW 方向)

表 2.1.4-1 地震応答解析に用いる物性値

| コンク | 強度*1<br>F <sub>c</sub><br>(N/mm <sup>2</sup> ) | ヤング係数*2<br>E<br>(N/mm <sup>2</sup> ) | せん断弾性係数*2<br>G<br>(N/mm <sup>2</sup> ) | ポアソン比<br>ν | 単位体積重量*3<br>γ<br>(kN/m <sup>3</sup> ) |
|-----|--|--------------------------------------|--|------------|---------------------------------------|
| リート | 35.0   | 2.57×10 <sup>4</sup>                 | 1.07×10 <sup>4</sup>                   | 0.2        | 24                                    |
| 鉄筋  | SD345相当<br>(SD35)                              |                                      |  |            |                                       |

\*1：強度は実状に近い強度（以下「実強度」という。）を採用した。実強度の設定は、過去の圧縮強度試験データを収集し試験データのばらつきを考慮し圧縮強度平均値を小さめにまとめた値とした。

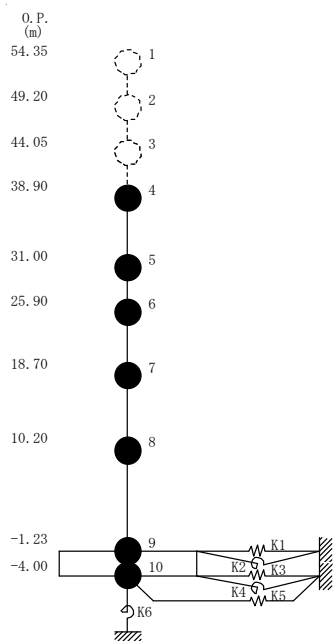
\*2：実強度に基づく値を示す。

\*3：鉄筋コンクリートの値を示す。



表 2.1.4-2 建屋解析モデルの諸元

NS 方向

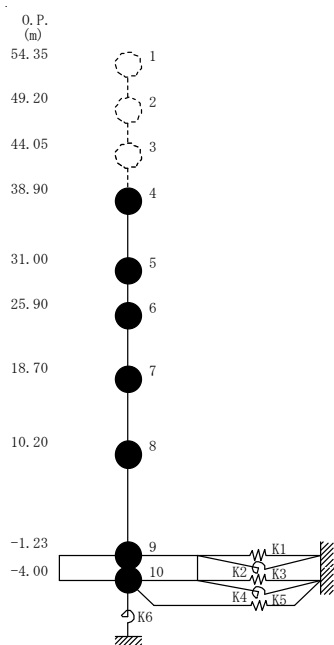


| 質点番号 | 質点重量<br>W (kN)      | 回転慣性重量<br>$I_G (\times 10^6 \text{kN}\cdot\text{m}^2)$ | せん断断面積<br>$A_S (\text{m}^2)$ | 断面2次モーメント<br>$I (\text{m}^4)$ |
|------|---------------------|--|------------------------------|-------------------------------|
| 1    | —                   | —  | —                            | —                             |
| 2    | —                   | —  | —                            | —                             |
| 3    | —                   | —  | —                            | —                             |
| 4    | 58,690              | 84.43  | —                            | —                             |
| 5    | 67,910              | 97.77  | 135.0                        | 16,012                        |
| 6    | 77,220              | 111.11   | 160.8                        | 21,727                        |
| 7    | 88,440<br>[1,240]   | 127.32<br>[1.79]                                       | 132.8                        | 24,274                        |
| 8    | 162,800<br>(16,780) | 234.31<br>(24.15)                                      | 155.6                        | 36,481                        |
| 9    | 185,210<br>(38,140) | 266.64<br>(54.91)                                      | 294.0                        | 52,858                        |
| 10   | 62,400              | 89.83  | 1,914.3                      | 275,530                       |
| 合計   | 702,670             |  |                              |                               |

注 ( )内は滞留水による付加分を示す。  
[ ]内はカバリング工事による付加分を示す。

ヤング係数  $E_c$   $2.57 \times 10^7 (\text{kN}/\text{m}^2)$   
 せん断弾性係数  $G$   $1.07 \times 10^7 (\text{kN}/\text{m}^2)$   
 ポアソン比  $\nu$  0.20  
 減衰  $h$  5%  
 基礎形状 41.56m(NS 方向)  $\times$  43.56m(EW 方向)

EW 方向



| 質点番号 | 質点重量<br>W (kN)      | 回転慣性重量<br>$I_G (\times 10^6 \text{kN}\cdot\text{m}^2)$ | せん断断面積<br>$A_S (\text{m}^2)$ | 断面2次モーメント<br>$I (\text{m}^4)$ |
|------|---------------------|--|------------------------------|-------------------------------|
| 1    | —                   | —  | —                            | —                             |
| 2    | —                   | —  | —                            | —                             |
| 3    | —                   | —  | —                            | —                             |
| 4    | 58,690              | 48.34  | —                            | —                             |
| 5    | 67,910              | 55.90  | 102.7                        | 9,702                         |
| 6    | 77,220              | 63.55  | 163.9                        | 13,576                        |
| 7    | 88,440<br>[1,240]   | 127.32<br>[1.79]                                       | 131.6                        | 14,559                        |
| 8    | 162,800<br>(16,780) | 234.31<br>(24.15)                                      | 197.8                        | 36,427                        |
| 9    | 185,210<br>(38,140) | 327.39<br>(67.42)                                      | 294.0                        | 52,858                        |
| 10   | 62,400              | 110.32   | 1,914.3                      | 338,428                       |
| 合計   | 702,670             |  |                              |                               |

注 ( )内は滞留水による付加分を示す。  
[ ]内はカバリング工事による付加分を示す。

ヤング係数  $E_c$   $2.57 \times 10^7 (\text{kN}/\text{m}^2)$   
 せん断弾性係数  $G$   $1.07 \times 10^7 (\text{kN}/\text{m}^2)$   
 ポアソン比  $\nu$  0.20  
 減衰  $h$  5%  
 基礎形状 41.56m(NS 方向)  $\times$  43.56m(EW 方向)

表 2.1.4-3 (1) 地盤定数

(Ss-1)

| 標高<br>O. P.<br>(m) | 地質 | せん断波<br>速度<br>Vs<br>(m/s) | 単位体積<br>重量<br>γ<br>(kN/m <sup>3</sup> ) | ポアソン比<br>ν | せん断<br>弾性係数<br>G<br>(×10 <sup>5</sup> kN/m <sup>2</sup> ) | 初期せん断<br>弾性係数<br>G <sub>0</sub><br>(×10 <sup>5</sup> kN/m <sup>2</sup> ) | 剛性<br>低下率<br>G/G <sub>0</sub> | ヤング<br>係数<br>E<br>(×10 <sup>5</sup> kN/m <sup>2</sup> ) | 減衰<br>定数<br>h<br>(%) | 層厚<br>H<br>(m) |
|--------------------|----|---------------------------|---|------------|---|--|-------------------------------|---|----------------------|----------------|
| 10.0               |    |                           |   |            |   |  |                               |   |                      |                |
| 1.9                | 砂岩 | 380                       | 17.8                                    | 0.473      | 2.23  | 2.62   | 0.85                          | 6.57  | 3                    | 8.1            |
| -10.0              | 泥岩 | 450                       | 16.5                                    | 0.464      | 2.66  | 3.41   | 0.78                          | 7.79  | 3                    | 11.9           |
| -80.0              |    | 500                       | 17.1                                    | 0.455      | 3.40  | 4.36   | 0.78                          | 9.89  | 3                    | 70.0           |
| -108.0             |    | 560                       | 17.6                                    | 0.446      | 4.39  | 5.63   | 0.78                          | 12.70   | 3                    | 28.0           |
| -196.0             |    | 600                       | 17.8                                    | 0.442      | 5.09  | 6.53   | 0.78                          | 14.68   | 3                    | 88.0           |
|                    |    | (解放基盤)                    | 700                                     | 18.5       | 0.421   | 9.24   | 9.24                          | 1.00  | 26.26                | -              |

表 2.1.4-3 (2) 地盤定数

(Ss-2)

| 標高<br>O. P.<br>(m) | 地質 | せん断波<br>速度<br>Vs<br>(m/s) | 単位体積<br>重量<br>γ<br>(kN/m <sup>3</sup> ) | ポアソン比<br>ν | せん断<br>弾性係数<br>G<br>(×10 <sup>5</sup> kN/m <sup>2</sup> ) | 初期せん断<br>弾性係数<br>G <sub>0</sub><br>(×10 <sup>5</sup> kN/m <sup>2</sup> ) | 剛性<br>低下率<br>G/G <sub>0</sub> | ヤング<br>係数<br>E<br>(×10 <sup>5</sup> kN/m <sup>2</sup> ) | 減衰<br>定数<br>h<br>(%) | 層厚<br>H<br>(m) |
|--------------------|----|---------------------------|---|------------|---|--|-------------------------------|---|----------------------|----------------|
| 10.0               |    |                           |   |            |   |  |                               |   |                      |                |
| 1.9                | 砂岩 | 380                       | 17.8                                    | 0.473      | 2.23  | 2.62   | 0.85                          | 6.57  | 3                    | 8.1            |
| -10.0              | 泥岩 | 450                       | 16.5                                    | 0.464      | 2.76  | 3.41   | 0.81                          | 8.08  | 3                    | 11.9           |
| -80.0              |    | 500                       | 17.1                                    | 0.455      | 3.53  | 4.36   | 0.81                          | 10.27   | 3                    | 70.0           |
| -108.0             |    | 560                       | 17.6                                    | 0.446      | 4.56  | 5.63   | 0.81                          | 13.19   | 3                    | 28.0           |
| -196.0             |    | 600                       | 17.8                                    | 0.442      | 5.29  | 6.53   | 0.81                          | 15.26   | 3                    | 88.0           |
|                    |    | (解放基盤)                    | 700                                     | 18.5       | 0.421   | 9.24   | 9.24                          | 1.00  | 26.26                | -              |

表 2.1.4-3 (3) 地盤定数

(Ss-3)

| 標高<br>O. P.<br>(m) | 地質               | せん断波<br>速度<br>Vs<br>(m/s) | 単位体積<br>重量<br>$\gamma$<br>(kN/m <sup>3</sup> ) | ポアソン比<br>$\nu$ | せん断<br>弾性係数<br>G<br>( $\times 10^5$ kN/m <sup>2</sup> ) | 初期せん断<br>弾性係数<br>G <sub>0</sub><br>( $\times 10^5$ kN/m <sup>2</sup> ) | 剛性<br>低下率<br>G/G <sub>0</sub> | ヤング<br>係数<br>E<br>( $\times 10^5$ kN/m <sup>2</sup> ) | 減衰<br>定数<br>h<br>(%) | 層厚<br>H<br>(m) |
|--------------------|------------------|---------------------------|--|----------------|---|--|-------------------------------|---|----------------------|----------------|
| 10.0               |                  |                           |  |                |   |  |                               |   |                      |                |
| 1.9                | 砂岩               | 380                       | 17.8   | 0.473          | 2.25  | 2.62   | 0.86                          | 6.63  | 3                    | 8.1            |
| -10.0              | 泥岩<br><br>(解放基盤) | 450                       | 16.5   | 0.464          | 2.66  | 3.41   | 0.78                          | 7.79  | 3                    | 11.9           |
| -80.0              |                  | 500                       | 17.1   | 0.455          | 3.40  | 4.36   | 0.78                          | 9.89  | 3                    | 70.0           |
| -108.0             |                  | 560                       | 17.6   | 0.446          | 4.39  | 5.63   | 0.78                          | 12.70   | 3                    | 28.0           |
| -196.0             |                  | 600                       | 17.8   | 0.442          | 5.09  | 6.53   | 0.78                          | 14.68   | 3                    | 88.0           |
|                    |                  | 700                       | 18.5   | 0.421          | 9.24  | 9.24   | 1.00                          | 26.26   | -                    | -              |



図 2.1.4-3 地盤ばねの近似

### 2.1.5 地震応答解析結果

地震応答解析により求められた NS 方向, EW 方向の最大応答加速度を, 滞留水を未考慮の場合と比較して\*注, 図 2.1.5-1~図 2.1.5-6 に示す。

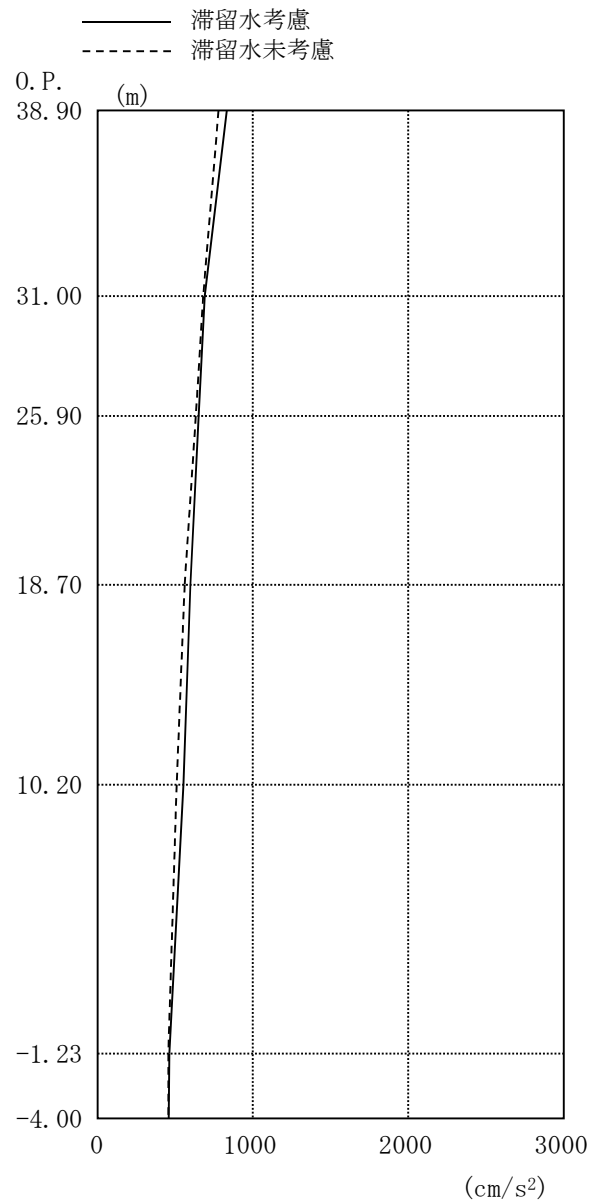


図 2.1.5-1 最大応答加速度 (NS 方向・Ss-1H)

\*注：滞留水考慮：本検討における結果であり，滞留水の重量の他，原子炉建屋カバーの重量を考慮したもの。

滞留水未考慮：損傷前の「福島第一原子力発電所 『発電用原子炉施設に関する耐震設計審査指針』の改訂に伴う耐震安全性評価結果 中間報告書 (改訂版)」(原管発官 21 第 110 号 平成 21 年 6 月 19 日付け) の結果。

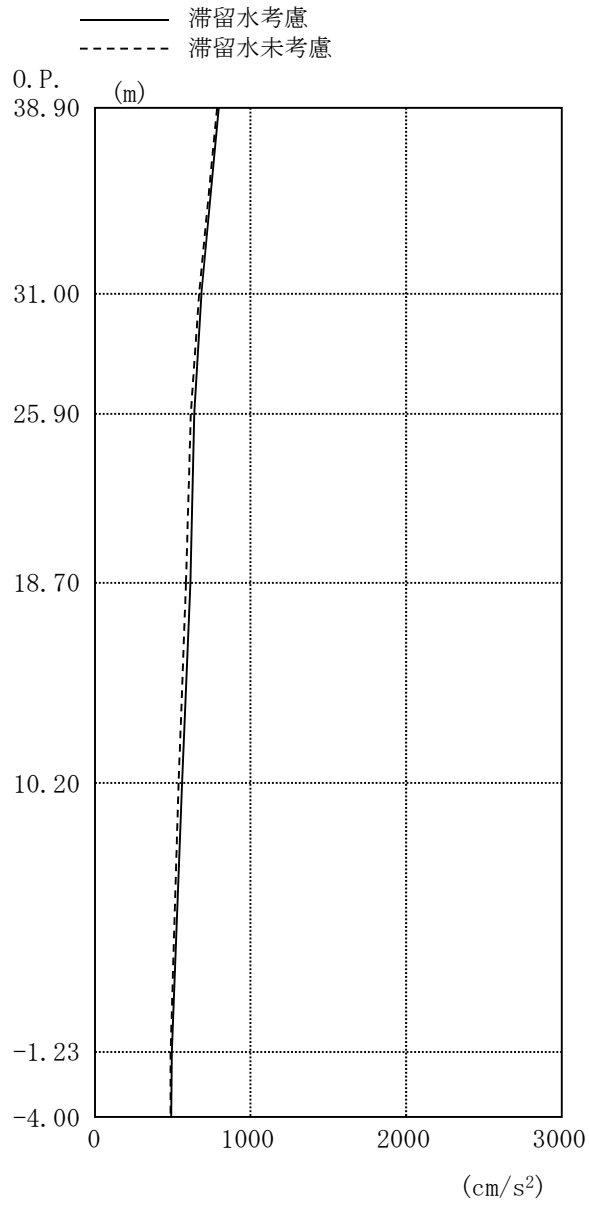


图 2.1.5-2 最大応答加速度 (NS 方向・Ss-2H)

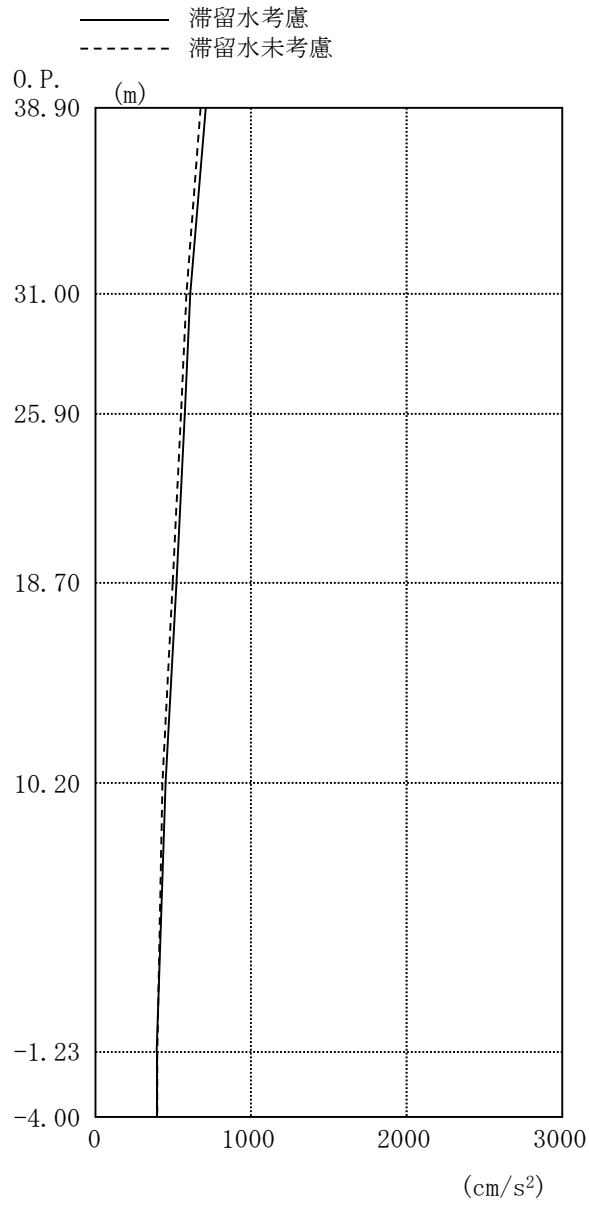


图 2.1.5-3 最大応答加速度 (NS 方向・Ss-3H)

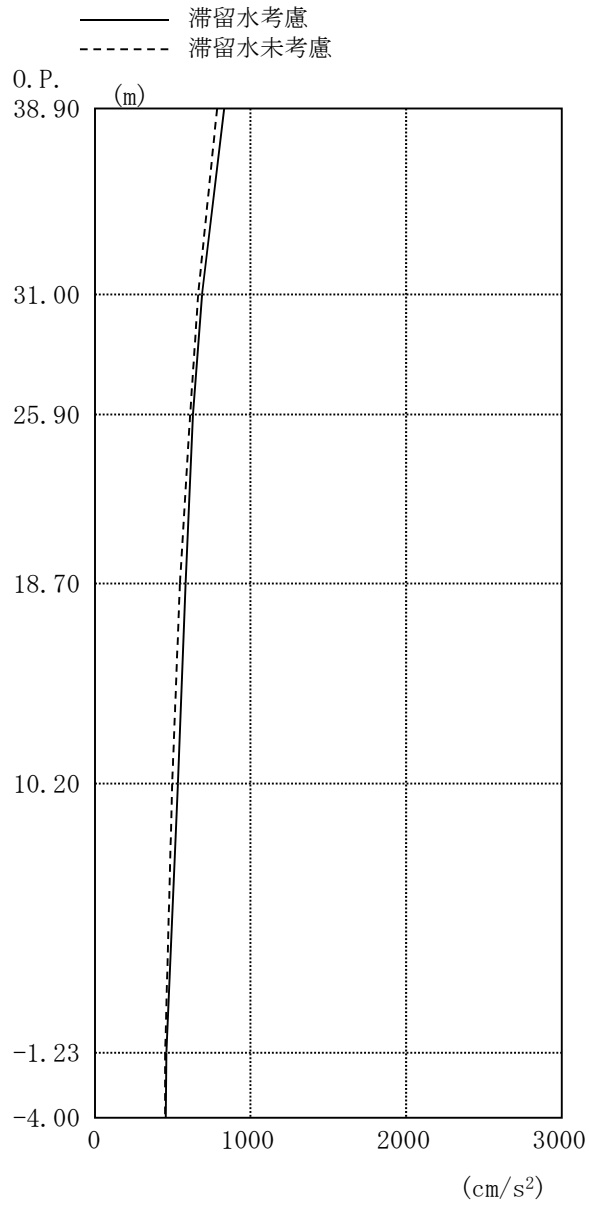


图 2.1.5-4 最大応答加速度 (EW 方向・Ss-1H)



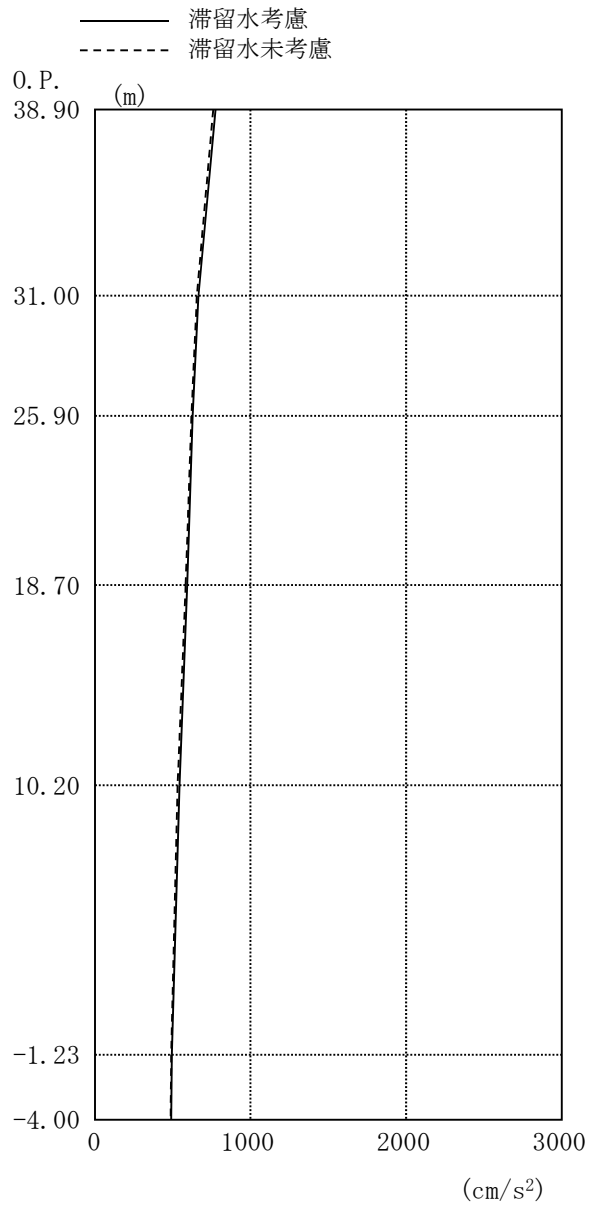


图 2.1.5-5 最大応答加速度 (EW 方向・Ss-2H)

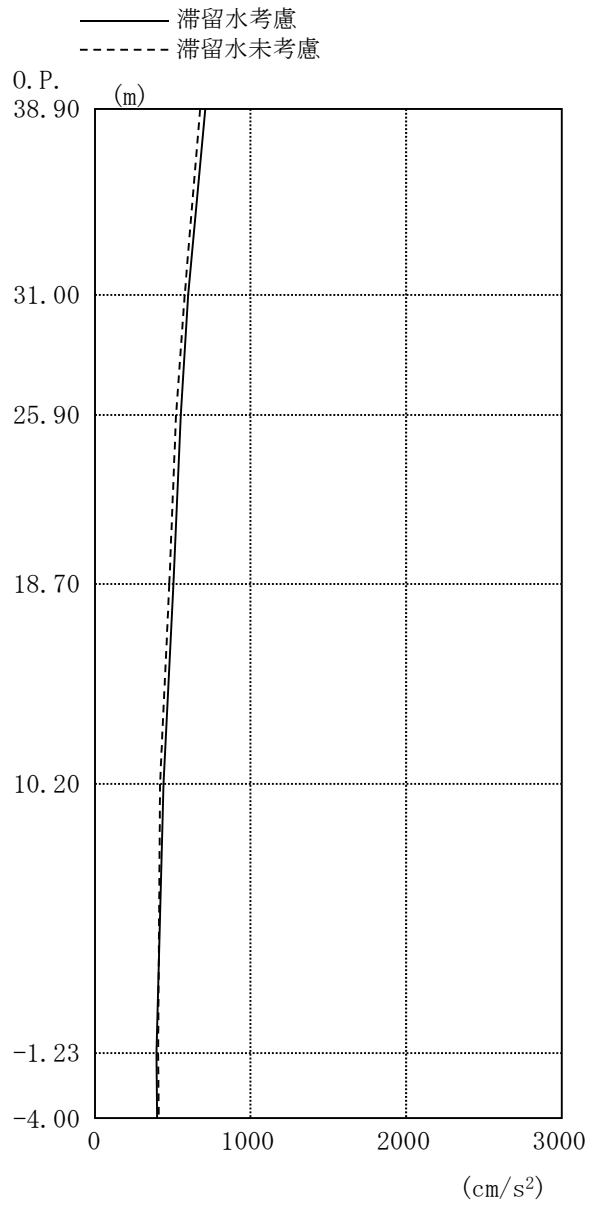


图 2.1.5-6 最大応答加速度 (EW 方向・Ss-3H)

## 2.1.6 耐震安全性評価結果

地震応答解析により得られた地下耐震壁のせん断ひずみ一覧を、滞留水を未考慮の場合と比較して、表 2.1.6-1 及び表 2.1.6-2 に示す。また、図 2.1.6-1 及び図 2.1.6-2 に基準地震動 Ss に対する最大応答値を、滞留水を未考慮の場合と比較して、耐震壁のスケルトン曲線上に示す。せん断ひずみは、滞留水を考慮した場合でも、最大で  $0.09 \times 10^{-3}$  であり、評価基準値 ( $4.0 \times 10^{-3}$ ) に対して十分余裕がある。なお、スケルトン曲線は、建屋の方向別に、層を単位とした水平断面形状より「JEAG4601-1991」に基づいて設定したものである。

以上のことから、1号機原子炉建屋の耐震安全性は確保されているものと評価した。

表 2.1.6-1 耐震壁のせん断ひずみ一覧 (NS 方向)

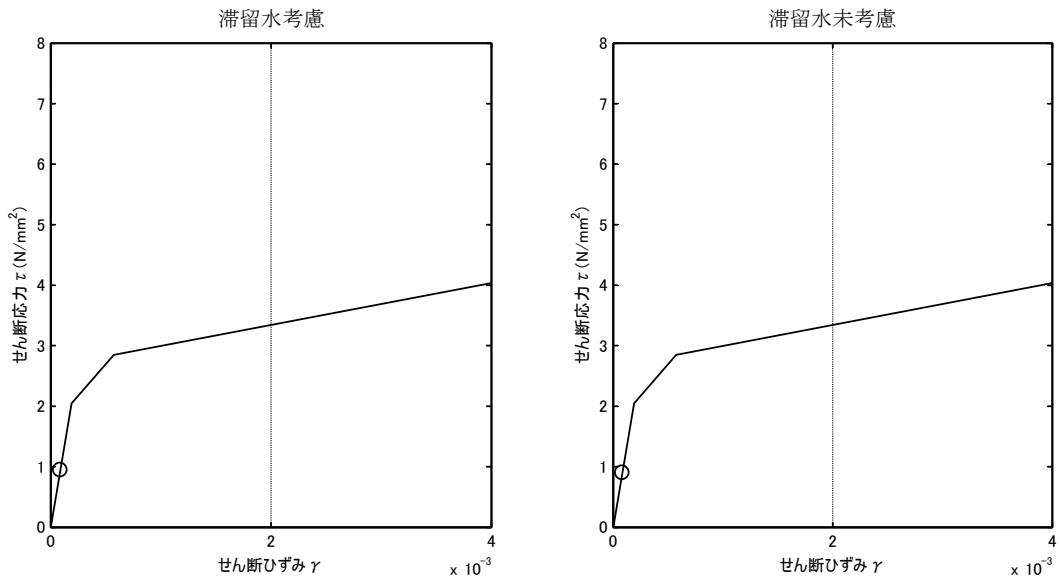
(単位： $\times 10^{-3}$ )

| 階   | O. P.           | 滞留水 | Ss-1H | Ss-2H | Ss-3H | 評価基準   |
|-----|-----------------|-----|-------|-------|-------|--------|
| B1F | 10.20～<br>-1.23 | 考慮  | 0.09  | 0.09  | 0.08  | 4.0 以下 |
|     |                 | 未考慮 | 0.08  | 0.09  | 0.07  |        |

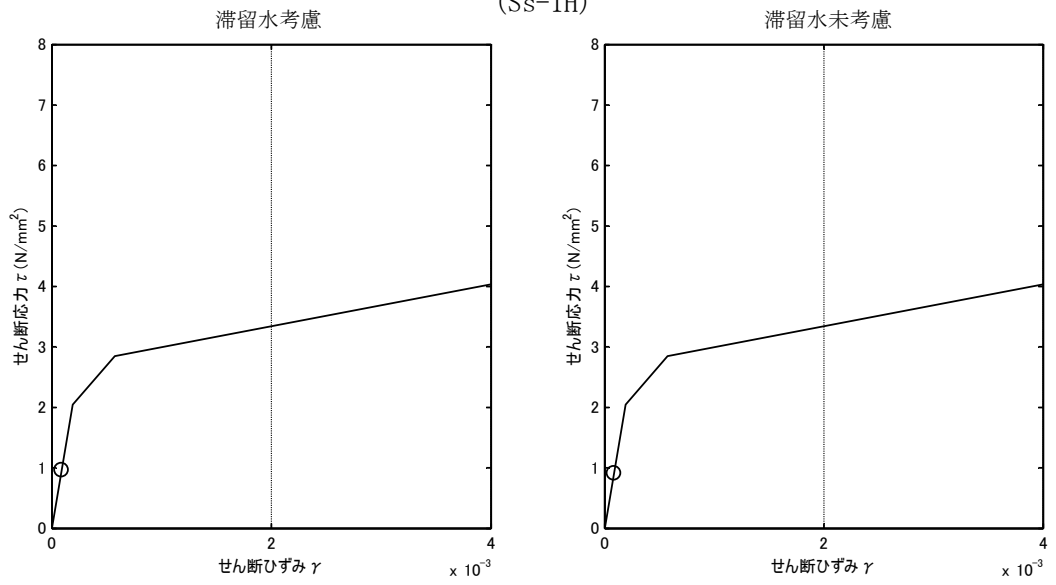
表 2.1.6-2 耐震壁のせん断ひずみ一覧 (EW 方向)

(単位： $\times 10^{-3}$ )

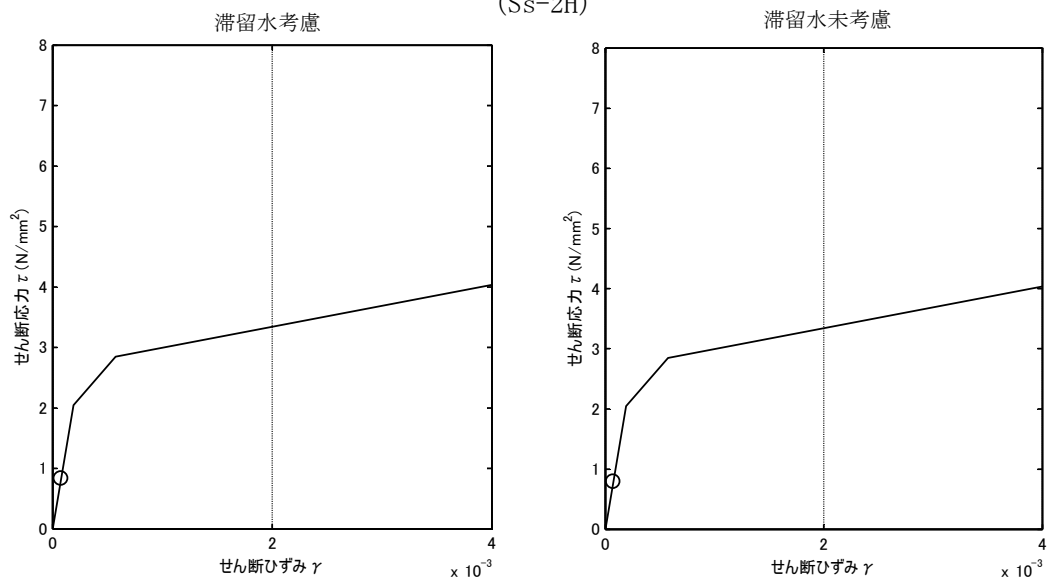
| 階   | O. P.           | 滞留水 | Ss-1H | Ss-2H | Ss-3H | 評価基準   |
|-----|-----------------|-----|-------|-------|-------|--------|
| B1F | 10.20～<br>-1.23 | 考慮  | 0.09  | 0.09  | 0.08  | 4.0 以下 |
|     |                 | 未考慮 | 0.08  | 0.09  | 0.07  |        |



(Ss-1H)

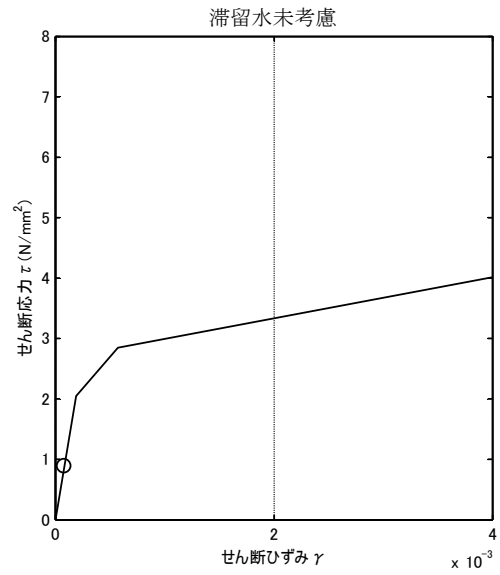
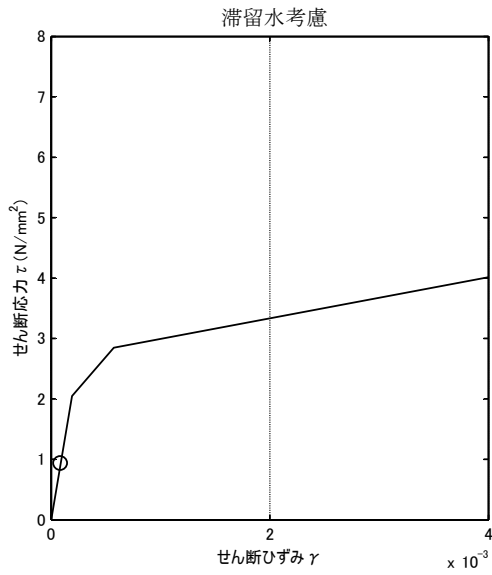


(Ss-2H)

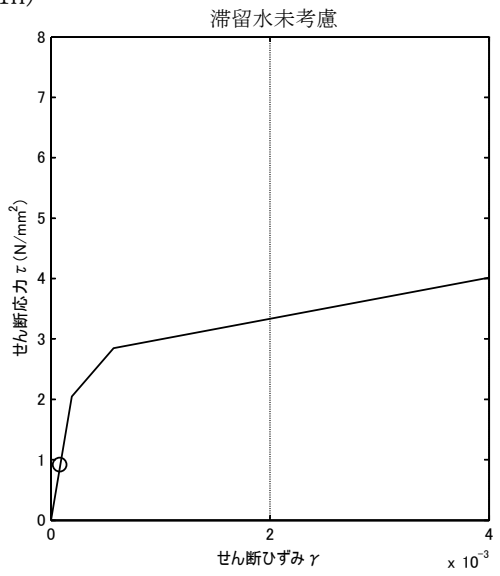
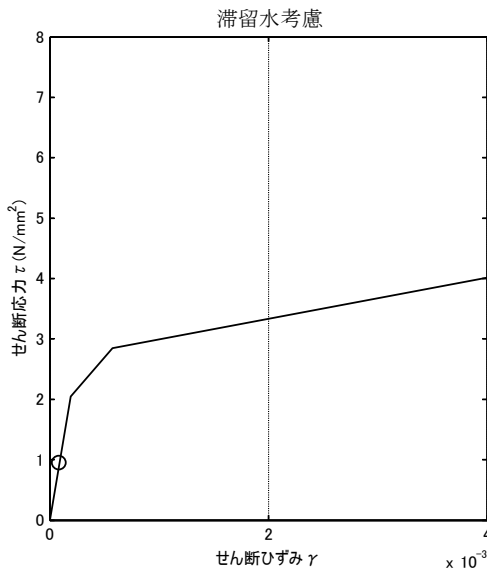


(Ss-3H)

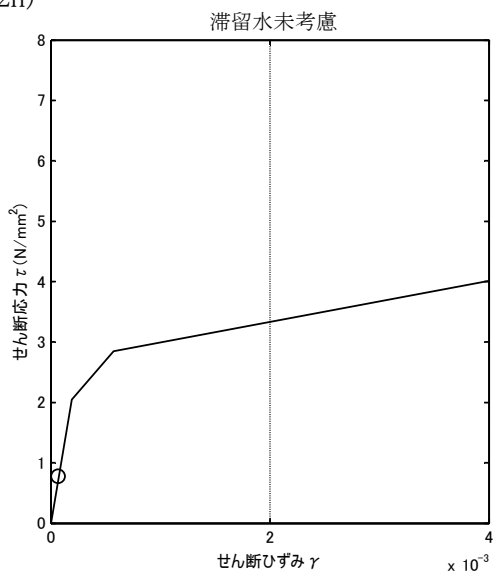
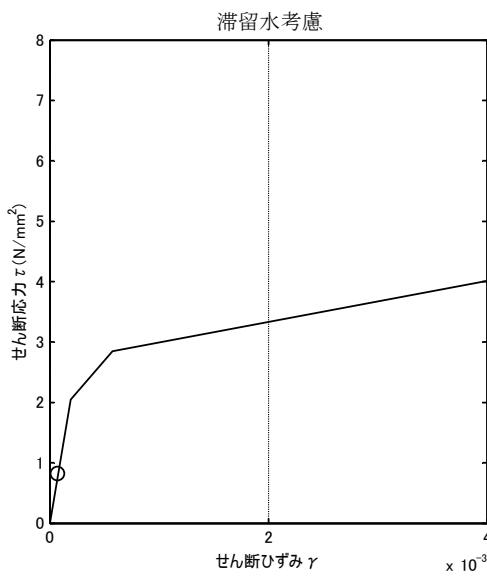
図 2.1.6-1 耐震壁のせん断ひずみ (NS 方向)



(Ss-1H)



(Ss-2H)



(Ss-3H)

図 2.1.6-2 耐震壁のせん断ひずみ (EW 方向)

## 2.2 2号機原子炉建屋

### 2.2.1 解析評価方針

2号機原子炉建屋の地下滞留水を考慮した耐震安全性評価は、基準地震動  $S_s$  を用いた地震応答解析によることを基本とし、建物・構築物や地盤の応答性状を適切に表現できるモデルを設定した上で行う。

解析モデルは、地下1階から地上5階に設置された機器を含む建屋全域をNS、EW方向とも1軸質点系モデルとする。

地下階への滞留水の付加重量は建屋外形寸法・建屋内部の壁厚・機器容積から体積を算定し、固定水として評価する。

地下耐震壁の評価は、地震応答解析により得られた該当部位の最大せん断ひずみが、評価基準値 ( $4.0 \times 10^{-3}$ ) を超えないことを確認することとする。

2号機原子炉建屋の地震応答解析の評価手順例を、図 2.2.1-1 に示す。

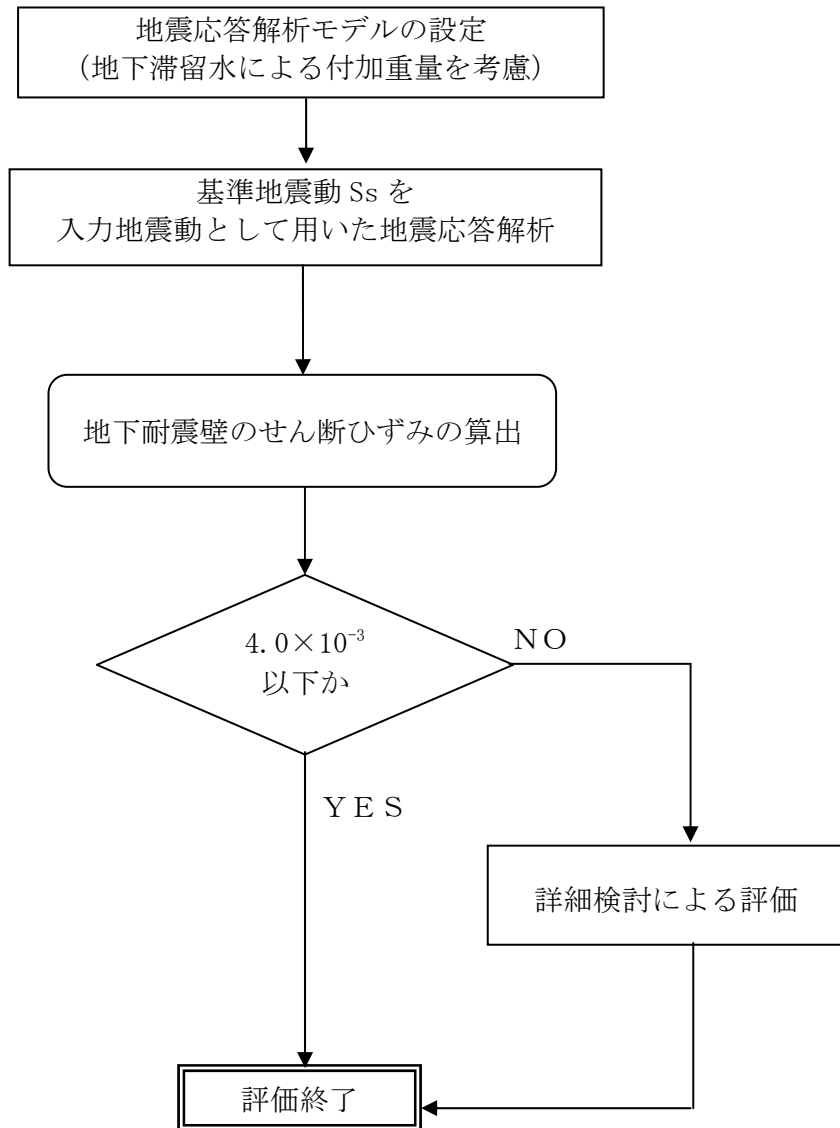


図 2.2.1-1 2号機原子炉建屋の地震応答解析の評価手順例

## 2.2.2 2号機原子炉建屋の水位及び地下滞留水量

2号機原子炉建屋の満水状態の水位及び地下滞留水量を表 2.2.2-1 に示す。

表 2.2.2-1 2号機原子炉建屋の満水状態の水位及び地下滞留水量

|     | 2号機                 |
|-----|---------------------|
| 水位  | O.P. 4,000          |
| 貯水量 | 6,500m <sup>3</sup> |



### 2.2.3 解析に用いる入力地震動

2号機原子炉建屋への入力地震動は、「福島第一原子力発電所 『発電用原子炉施設に関する耐震設計審査指針』の改訂に伴う耐震安全性評価結果 中間報告書」(原管発官19第603号 平成20年3月31日付け)にて作成した解放基盤表面レベルに想定する基準地震動  $S_s$  を用いることとする。

地震応答解析に用いる入力地震動の概念図を図 2.2.3-1 に示す。この2号機原子炉建屋の解析モデルに入力する地震動は、一次元波動論に基づき、解放基盤表面レベルに想定する基準地震動  $S_s$  に対する建屋基礎底面レベルの地盤応答として評価する。また、建屋基礎底面レベルにおけるせん断力を入力地震動に付加することにより、地盤の切欠き効果を考慮する。

このうち、解放基盤表面位置 (O.P. -196.0m) における基準地震動  $S_s$  の加速度波形について、図 2.2.3-2 に示す。

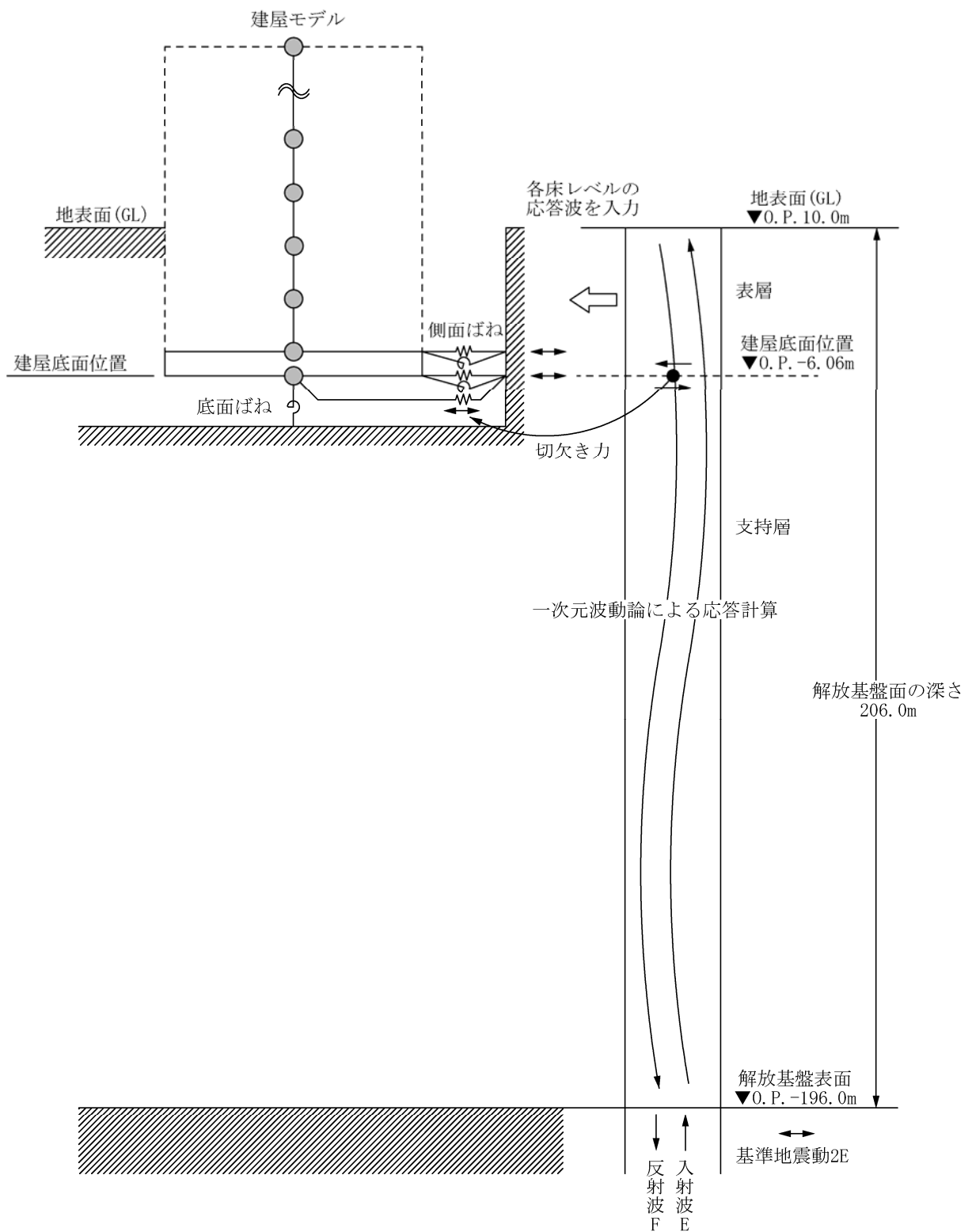
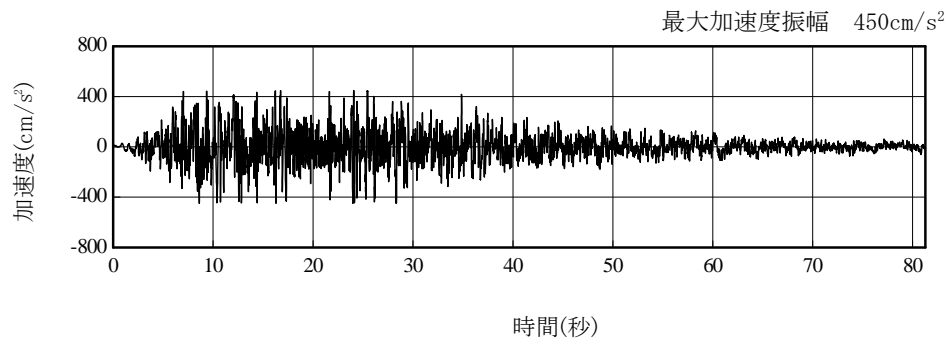
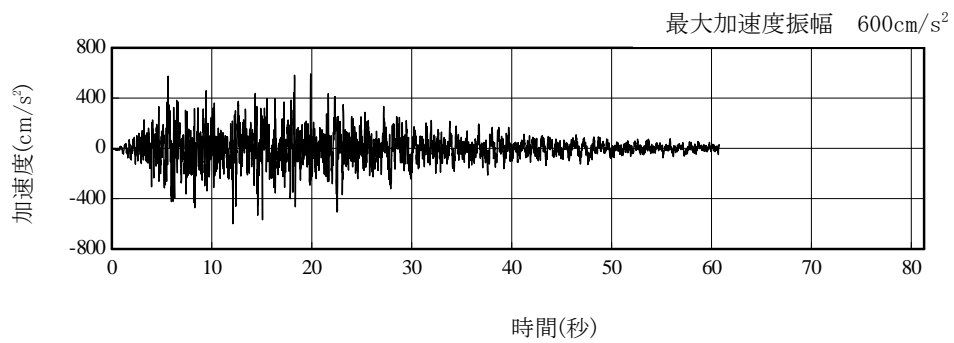


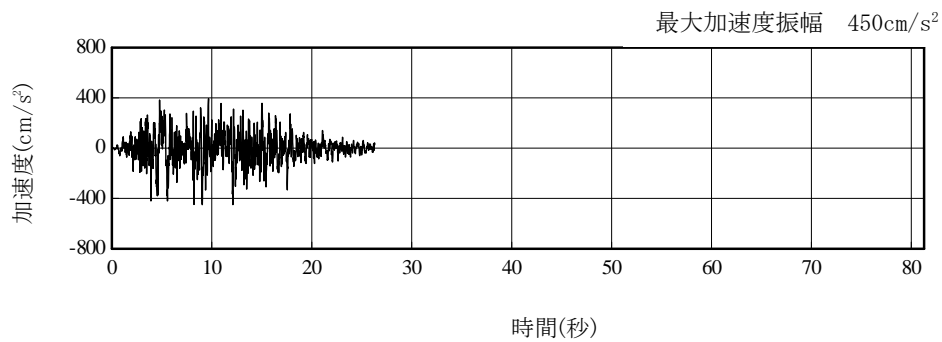
図 2. 2. 3-1 地震応答解析に用いる入力地震動の概念図



(Ss-1H)



(Ss-2H)



(Ss-3H)

図 2. 2. 3-2 解放基盤表面位置における地震動の加速度時刻歴波形 (水平方向)

#### 2.2.4 地震応答解析モデル

基準地震動  $S_s$  に対する 2 号機原子炉建屋の地震応答解析は、「2.2.3 解析に用いる入力地震動」で算定した入力地震動を用いた動的解析による。

地震応答解析モデルは、図 2.2.4-1 に示すように、建屋を曲げ変形とせん断変形をする質点系とし、地盤を等価なばねで評価した建屋－地盤連成系モデルとする。建屋－地盤連成系としての効果は地盤ばね及び入力地震動によって評価される。解析に用いるコンクリートの物性値を表 2.2.4-1 に、建屋解析モデルの諸元を表 2.2.4-2 に示す。

地盤定数は、水平成層地盤と仮定し、地震時のせん断ひずみレベルを考慮して定めた。解析に用いた地盤定数を表 2.2.4-3 に示す。

解析モデルにおいて、基礎底面地盤ばねについては、「JEAG 4601-1991」に示された手法を参考にして、成層補正を行ったのち、振動アドミタンス理論に基づいて、スウェイ及びロッキングばね定数を近似的に評価する。また、埋込部分の建屋側面地盤ばねについては、建屋側面位置の地盤定数を用いて、水平及び回転ばねを「JEAG4601-1991」により NOVAK ばねに基づいて近似法により評価する。

地盤ばねは振動数に依存した複素剛性として得られるが、図 2.2.4-2 に示すようにばね定数 ( $K_c$ ) として実部の静的な値を、また、減衰係数 ( $C_c$ ) として建屋－地盤連成系の 1 次固有振動数に対応する虚部の値と原点を結ぶ直線の傾きを採用することにより近似する。

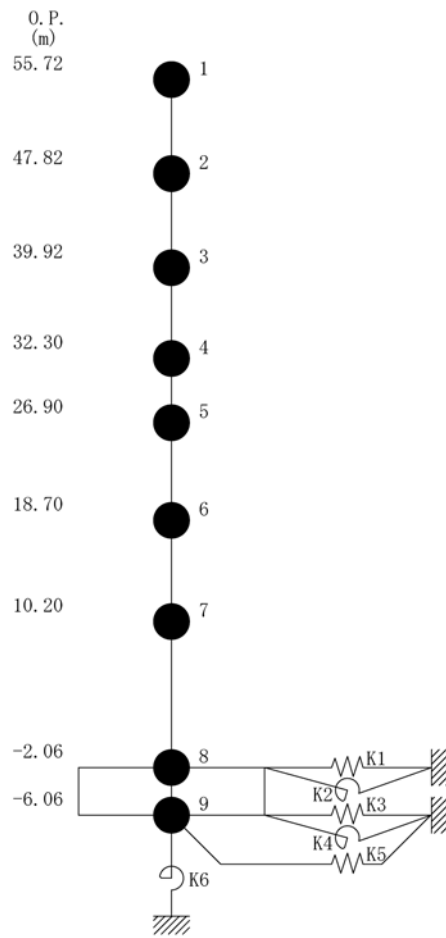


図 2.2.4-1 2号機原子炉建屋 地震応答解析モデル (NS・EW 方向)

表 2. 2. 4-1 地震応答解析に用いる物性値

| コンク | 強度*1<br>F <sub>c</sub><br>(N/mm <sup>2</sup> ) | ヤング係数*2<br>E<br>(N/mm <sup>2</sup> ) | せん断弾性係数*2<br>G<br>(N/mm <sup>2</sup> ) | ポアソン比<br>ν | 単位体積重量*3<br>γ<br>(kN/m <sup>3</sup> ) |
|-----|--|--------------------------------------|--|------------|---------------------------------------|
| リート | 35.0   | 2.57×10 <sup>4</sup>                 | 1.07×10 <sup>4</sup>                   | 0.2        | 24                                    |
| 鉄筋  | SD345相当<br>(SD35)                              |                                      |  |            |                                       |

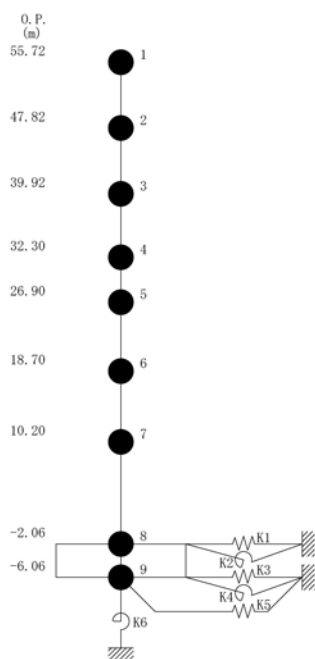
\*1：強度は実状に近い強度（以下「実強度」という。）を採用した。実強度の設定は、過去の圧縮強度試験データを収集し試験データのばらつきを考慮し圧縮強度平均値を小さめにまとめた値とした。

\*2：実強度に基づく値を示す。

\*3：鉄筋コンクリートの値を示す。

表 2. 2. 4-2 建屋解析モデルの諸元

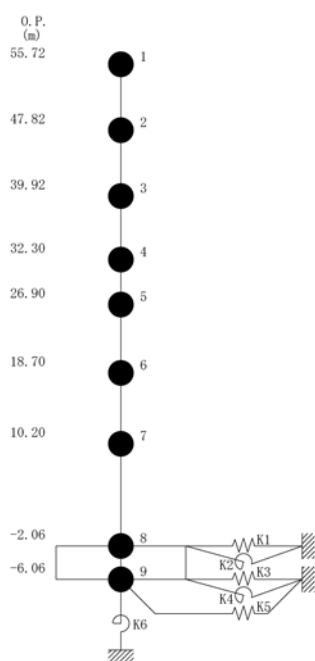
NS 方向



| 質点番号 | 質点重量<br>W (kN)      | 回転慣性重量<br>$I_G (\times 10^5 \text{kN}\cdot\text{m}^2)$ | せん断断面積<br>$A_S (\text{m}^2)$ | 断面2次モーメント<br>I ( $\text{m}^4$ ) |
|------|---------------------|--|------------------------------|---------------------------------|
| 1    | 14,380              | 25.99  |                              |                                 |
| 2    | 10,220              | 18.53  | 18.6                         | 10,154                          |
| 3    | 58,470              | 105.81   | 18.6                         | 10,675                          |
| 4    | 70,440              | 127.49   | 184.3                        | 22,551                          |
| 5    | 107,720             | 194.96   | 166.8                        | 24,629                          |
| 6    | 116,670             | 211.14   | 249.3                        | 44,401                          |
| 7    | 199,190             | 360.49   | 157.1                        | 40,661                          |
| 8    | 341,290<br>(63,750) | 617.55<br>(115.35)                                     | 456.8                        | 110,444                         |
| 9    | 125,030             | 226.24   | 2,656.2                      | 480,675                         |
| 合計   | 1,043,410           |  |                              |                                 |

注 ( )内は滞留水による付加分を示す。  
 ヤング係数  $E_c$   $2.57 \times 10^7 (\text{kN}/\text{m}^2)$   
 せん断弾性係数  $G$   $1.07 \times 10^7 (\text{kN}/\text{m}^2)$   
 ポアソン比  $\nu$  0.20  
 減衰  $h$  5%  
 基礎形状 46.60m(NS 方向)  $\times$  57.00m(EW 方向)

EW 方向



| 質点番号 | 質点重量<br>W (kN)      | 回転慣性重量<br>$I_G (\times 10^5 \text{kN}\cdot\text{m}^2)$ | せん断断面積<br>$A_S (\text{m}^2)$ | 断面2次モーメント<br>I ( $\text{m}^4$ ) |
|------|---------------------|--|------------------------------|---------------------------------|
| 1    | 14,380              | 14.71  |                              |                                 |
| 2    | 10,220              | 10.40  | 14.0                         | 5,941                           |
| 3    | 58,470              | 59.72  | 14.0                         | 6,307                           |
| 4    | 70,440              | 71.88  | 108.2                        | 11,927                          |
| 5    | 107,720             | 194.96   | 117.3                        | 14,199                          |
| 6    | 116,670             | 211.14   | 185.7                        | 33,796                          |
| 7    | 199,190             | 539.37   | 173.1                        | 41,960                          |
| 8    | 341,290<br>(63,750) | 923.98<br>(172.59)                                     | 418.1                        | 132,121                         |
| 9    | 125,030             | 338.53   | 2,656.2                      | 719,166                         |
| 合計   | 1,043,410           |  |                              |                                 |

注 ( )内は滞留水による付加分を示す。  
 ヤング係数  $E_c$   $2.57 \times 10^7 (\text{kN}/\text{m}^2)$   
 せん断弾性係数  $G$   $1.07 \times 10^7 (\text{kN}/\text{m}^2)$   
 ポアソン比  $\nu$  0.20  
 減衰  $h$  5%  
 基礎形状 46.60m(NS 方向)  $\times$  57.00m(EW 方向)

表 2.2.4-3 (1) 地盤定数

(Ss-1)

| 標高<br>O. P.<br>(m) | 地質 | せん断波<br>速度<br>Vs<br>(m/s) | 単位体積<br>重量<br>γ<br>(kN/m <sup>3</sup> ) | ポアソン比<br>ν | せん断<br>弾性係数<br>G<br>(×10 <sup>5</sup> kN/m <sup>2</sup> ) | 初期せん断<br>弾性係数<br>G <sub>0</sub><br>(×10 <sup>5</sup> kN/m <sup>2</sup> ) | 剛性<br>低下率<br>G/G <sub>0</sub> | ヤング<br>係数<br>E<br>(×10 <sup>5</sup> kN/m <sup>2</sup> ) | 減衰<br>定数<br>h<br>(%) | 層厚<br>H<br>(m) |
|--------------------|----|---------------------------|---|------------|---|--|-------------------------------|---|----------------------|----------------|
| 10.0               |    |                           |   |            |   |  |                               |   |                      |                |
| 1.9                | 砂岩 | 380                       | 17.8                                    | 0.473      | 2.23  | 2.62   | 0.85                          | 6.57  | 3                    | 8.1            |
| -10.0              | 泥岩 | 450                       | 16.5                                    | 0.464      | 2.66  | 3.41   | 0.78                          | 7.79  | 3                    | 11.9           |
| -80.0              |    | 500                       | 17.1                                    | 0.455      | 3.40  | 4.36   | 0.78                          | 9.89  | 3                    | 70.0           |
| -108.0             |    | 560                       | 17.6                                    | 0.446      | 4.39  | 5.63   | 0.78                          | 12.70   | 3                    | 28.0           |
| -196.0             |    | 600                       | 17.8                                    | 0.442      | 5.09  | 6.53   | 0.78                          | 14.68   | 3                    | 88.0           |
|                    |    | (解放基盤)                    | 700                                     | 18.5       | 0.421   | 9.24   | 9.24                          | 1.00  | 26.26                | -              |

表 2.2.4-3 (2) 地盤定数

(Ss-2)

| 標高<br>O. P.<br>(m) | 地質 | せん断波<br>速度<br>Vs<br>(m/s) | 単位体積<br>重量<br>γ<br>(kN/m <sup>3</sup> ) | ポアソン比<br>ν | せん断<br>弾性係数<br>G<br>(×10 <sup>5</sup> kN/m <sup>2</sup> ) | 初期せん断<br>弾性係数<br>G <sub>0</sub><br>(×10 <sup>5</sup> kN/m <sup>2</sup> ) | 剛性<br>低下率<br>G/G <sub>0</sub> | ヤング<br>係数<br>E<br>(×10 <sup>5</sup> kN/m <sup>2</sup> ) | 減衰<br>定数<br>h<br>(%) | 層厚<br>H<br>(m) |
|--------------------|----|---------------------------|---|------------|---|--|-------------------------------|---|----------------------|----------------|
| 10.0               |    |                           |   |            |   |  |                               |   |                      |                |
| 1.9                | 砂岩 | 380                       | 17.8                                    | 0.473      | 2.23  | 2.62   | 0.85                          | 6.57  | 3                    | 8.1            |
| -10.0              | 泥岩 | 450                       | 16.5                                    | 0.464      | 2.76  | 3.41   | 0.81                          | 8.08  | 3                    | 11.9           |
| -80.0              |    | 500                       | 17.1                                    | 0.455      | 3.53  | 4.36   | 0.81                          | 10.27   | 3                    | 70.0           |
| -108.0             |    | 560                       | 17.6                                    | 0.446      | 4.56  | 5.63   | 0.81                          | 13.19   | 3                    | 28.0           |
| -196.0             |    | 600                       | 17.8                                    | 0.442      | 5.29  | 6.53   | 0.81                          | 15.26   | 3                    | 88.0           |
|                    |    | (解放基盤)                    | 700                                     | 18.5       | 0.421   | 9.24   | 9.24                          | 1.00  | 26.26                | -              |



表 2.2.4-3 (3) 地盤定数

(Ss-3)

| 標高<br>O. P.<br>(m) | 地質               | せん断波<br>速度<br>Vs<br>(m/s) | 単位体積<br>重量<br>$\gamma$<br>(kN/m <sup>3</sup> ) | ポアソン比<br>$\nu$ | せん断<br>弾性係数<br>G<br>( $\times 10^5$ kN/m <sup>2</sup> ) | 初期せん断<br>弾性係数<br>G <sub>0</sub><br>( $\times 10^5$ kN/m <sup>2</sup> ) | 剛性<br>低下率<br>G/G <sub>0</sub> | ヤング<br>係数<br>E<br>( $\times 10^5$ kN/m <sup>2</sup> ) | 減衰<br>定数<br>h<br>(%) | 層厚<br>H<br>(m) |
|--------------------|------------------|---------------------------|--|----------------|---|--|-------------------------------|---|----------------------|----------------|
| 10.0               |                  |                           |  |                |   |  |                               |   |                      |                |
| 1.9                | 砂岩               | 380                       | 17.8   | 0.473          | 2.25  | 2.62   | 0.86                          | 6.63  | 3                    | 8.1            |
| -10.0              | 泥岩<br><br>(解放基盤) | 450                       | 16.5   | 0.464          | 2.66  | 3.41   | 0.78                          | 7.79  | 3                    | 11.9           |
| -80.0              |                  | 500                       | 17.1   | 0.455          | 3.40  | 4.36   | 0.78                          | 9.89  | 3                    | 70.0           |
| -108.0             |                  | 560                       | 17.6   | 0.446          | 4.39  | 5.63   | 0.78                          | 12.70   | 3                    | 28.0           |
| -196.0             |                  | 600                       | 17.8   | 0.442          | 5.09  | 6.53   | 0.78                          | 14.68   | 3                    | 88.0           |
|                    |                  | 700                       | 18.5   | 0.421          | 9.24  | 9.24   | 1.00                          | 26.26   | -                    | -              |

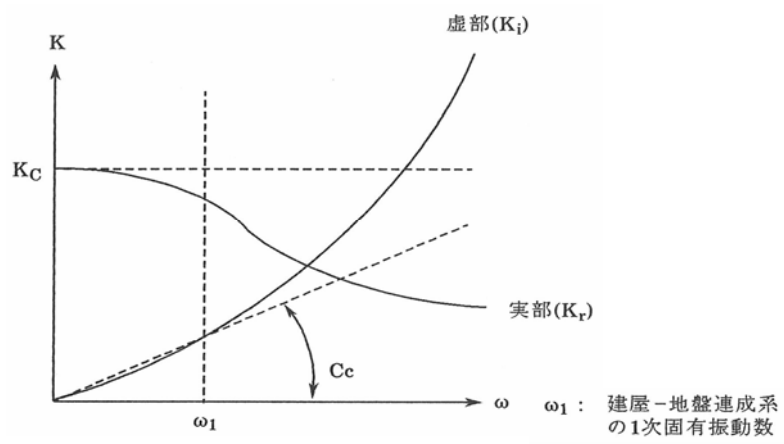


図 2.2.4-2 地盤ばねの近似

### 2.2.5 地震応答解析結果

地震応答解析により求められたNS方向、EW方向の最大応答加速度を、滞留水を未考慮の場合と比較して、図2.2.5-1～図2.2.5-6に示す。

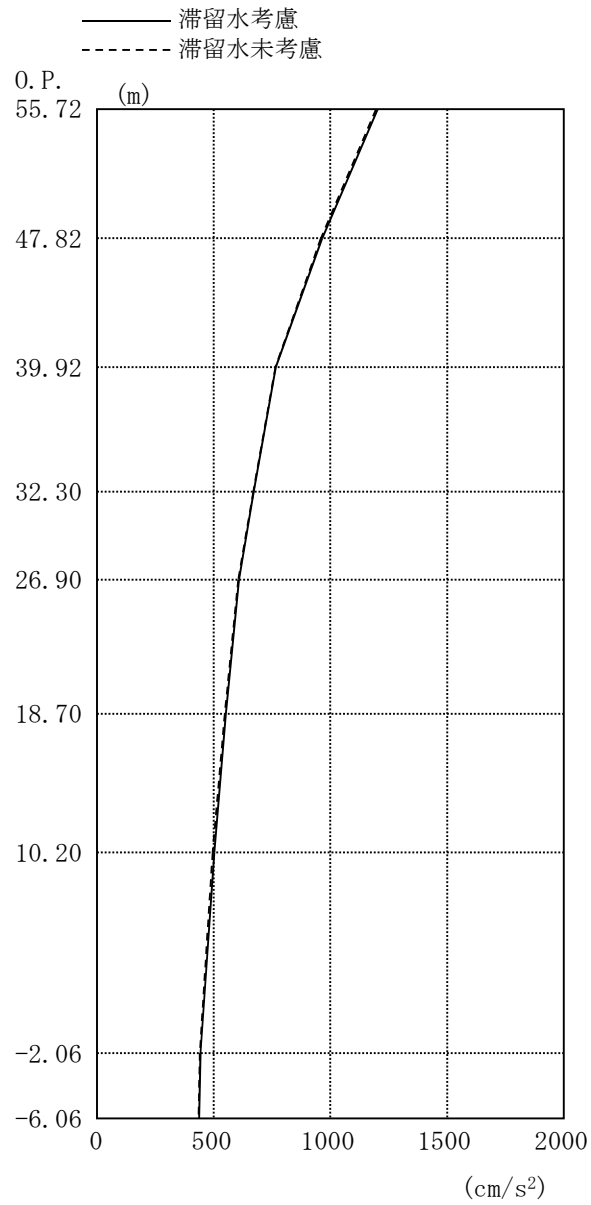


図 2.2.5-1 最大応答加速度 (NS 方向・Ss-1H)

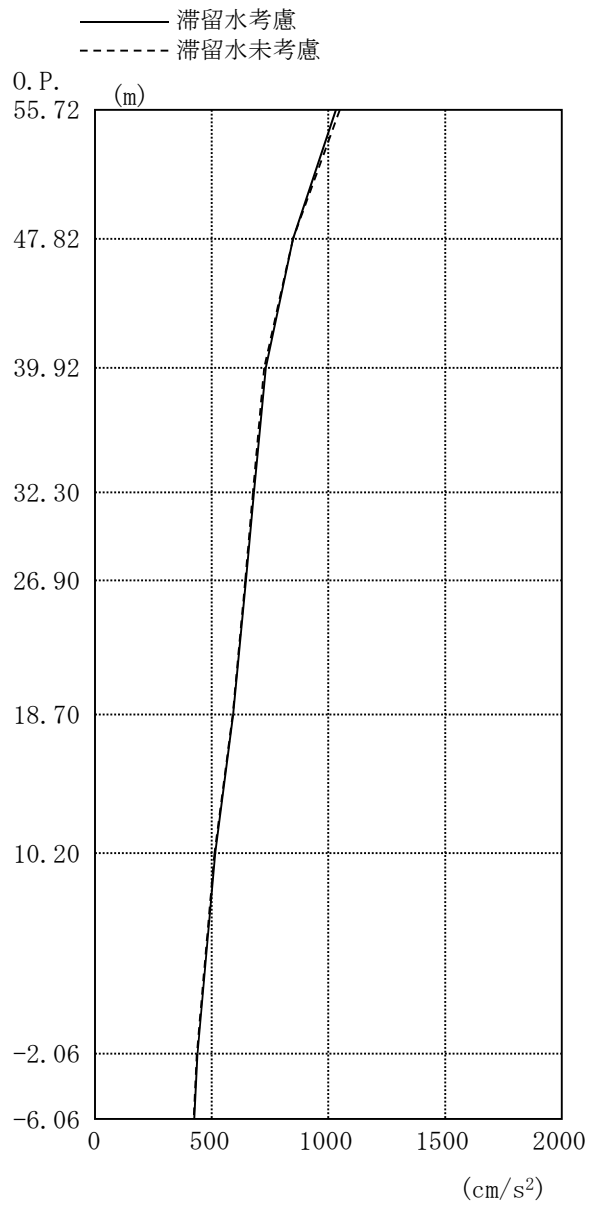


图 2.2.5-2 最大応答加速度 (NS 方向・Ss-2H)

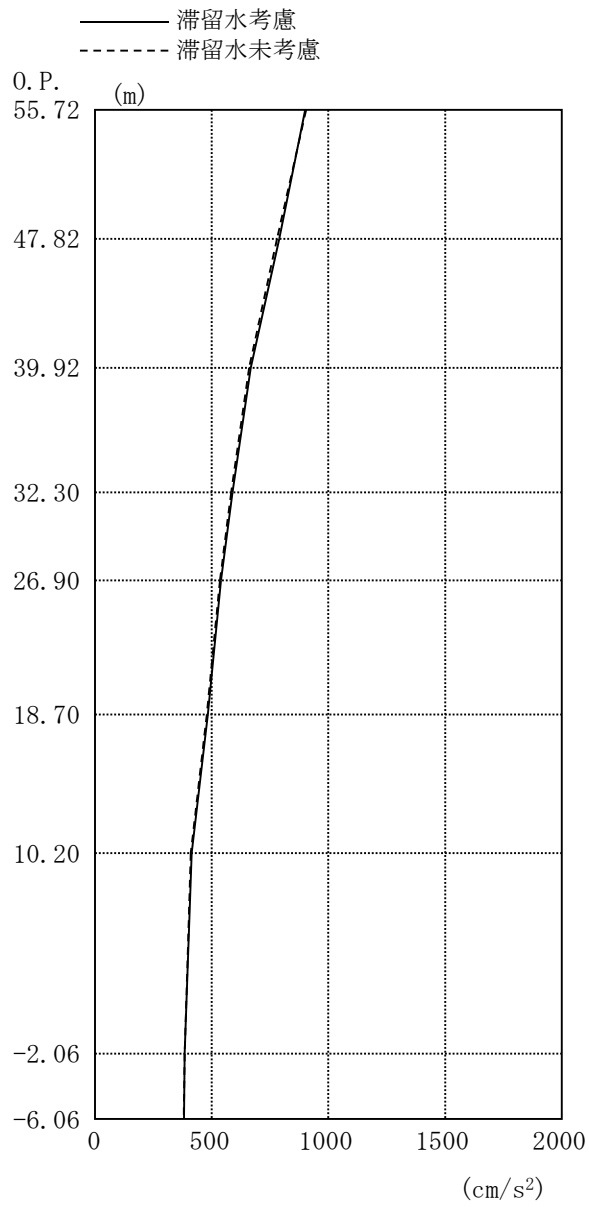


图 2.2.5-3 最大応答加速度 (NS 方向・Ss-3H)

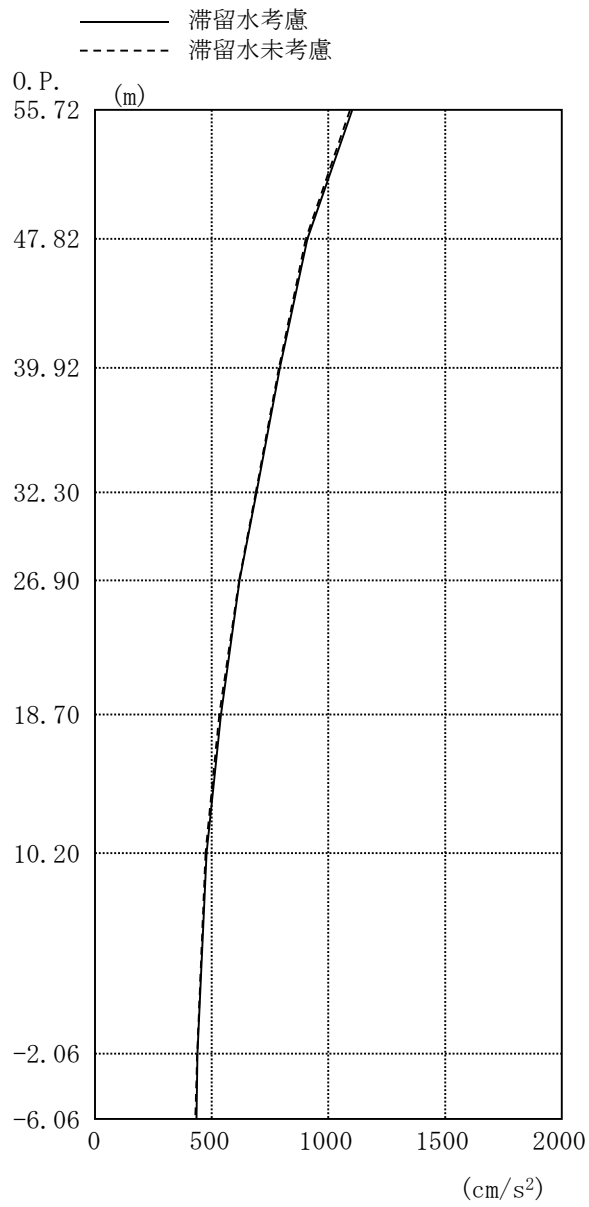


图 2.2.5-4 最大応答加速度 (EW 方向・Ss-1H)

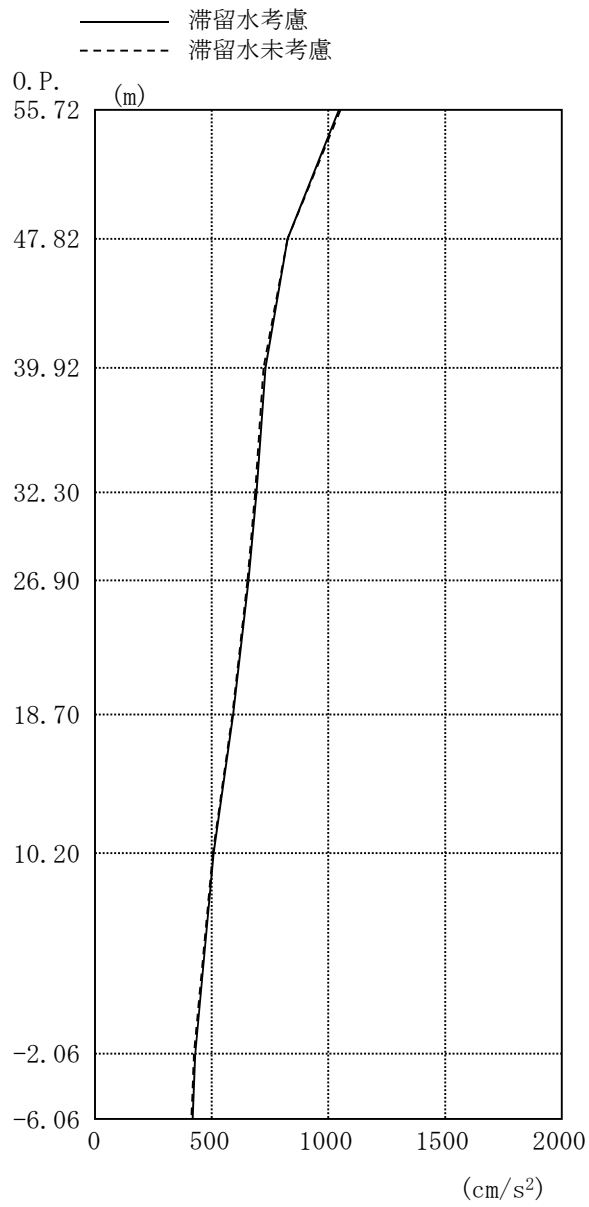


图 2.2.5-5 最大応答加速度 (EW 方向・Ss-2H)

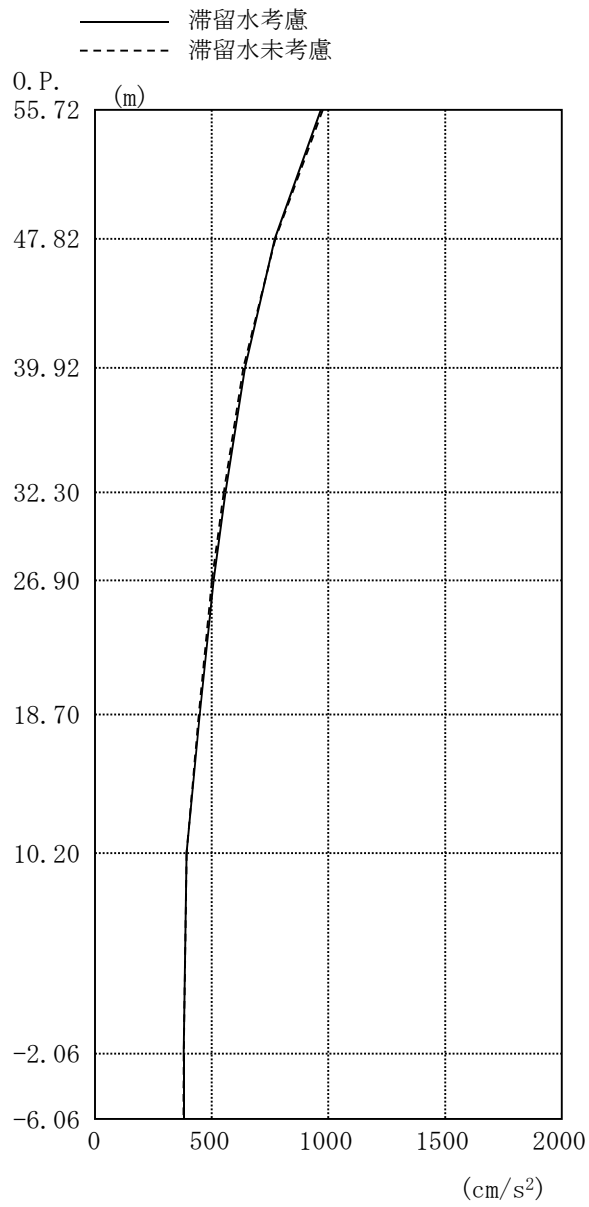


图 2.2.5-6 最大応答加速度 (EW 方向・Ss-3H)



## 2.2.6 耐震安全性評価結果

地震応答解析により得られた地下耐震壁のせん断ひずみ一覧を、滞留水を未考慮の場合と比較して、表 2.2.6-1 及び表 2.2.6-2 に示す。また、図 2.2.6-1 及び図 2.2.6-2 に基準地震動  $S_s$  に対する最大応答値を、滞留水を未考慮の場合と比較して、耐震壁のスケルトン曲線上に示す。せん断ひずみは、滞留水を考慮した場合でも、最大で  $0.08 \times 10^{-3}$  であり、評価基準値 ( $4.0 \times 10^{-3}$ ) に対して十分余裕がある。なお、スケルトン曲線は、建屋の方向別に、層を単位とした水平断面形状より「JEAG4601-1991」に基づいて設定したものである。

以上のことから、2号機原子炉建屋の耐震安全性は確保されているものと評価した。

表 2.2.6-1 耐震壁のせん断ひずみ一覧 (NS 方向)

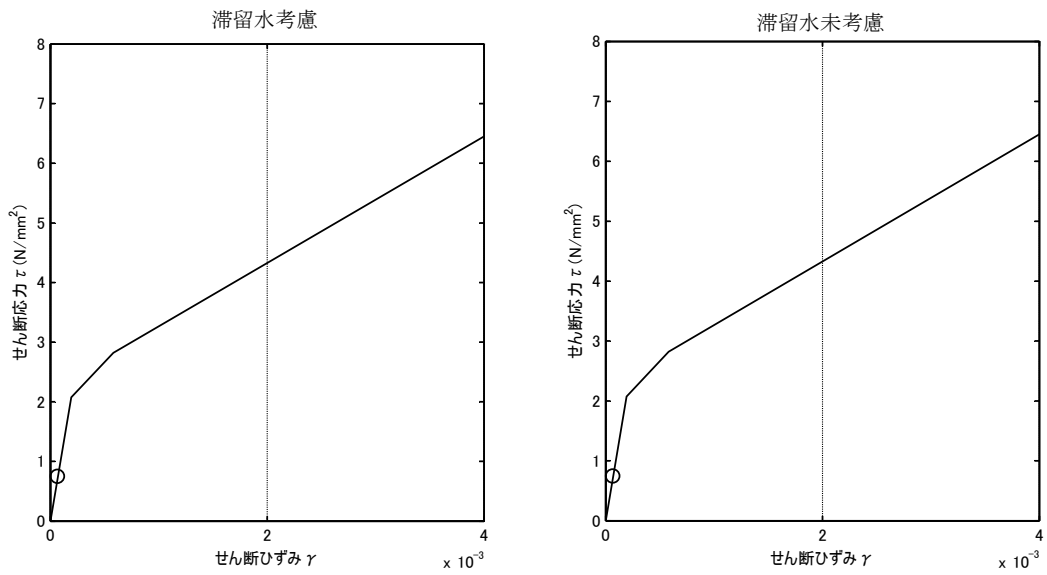
(単位:  $\times 10^{-3}$ )

| 階   | O.P.        | 滞留水 | Ss-1H | Ss-2H | Ss-3H | 評価基準   |
|-----|-------------|-----|-------|-------|-------|--------|
| B1F | 10.20~-2.06 | 考慮  | 0.07  | 0.08  | 0.07  | 4.0 以下 |
|     |             | 未考慮 | 0.07  | 0.07  | 0.06  |        |

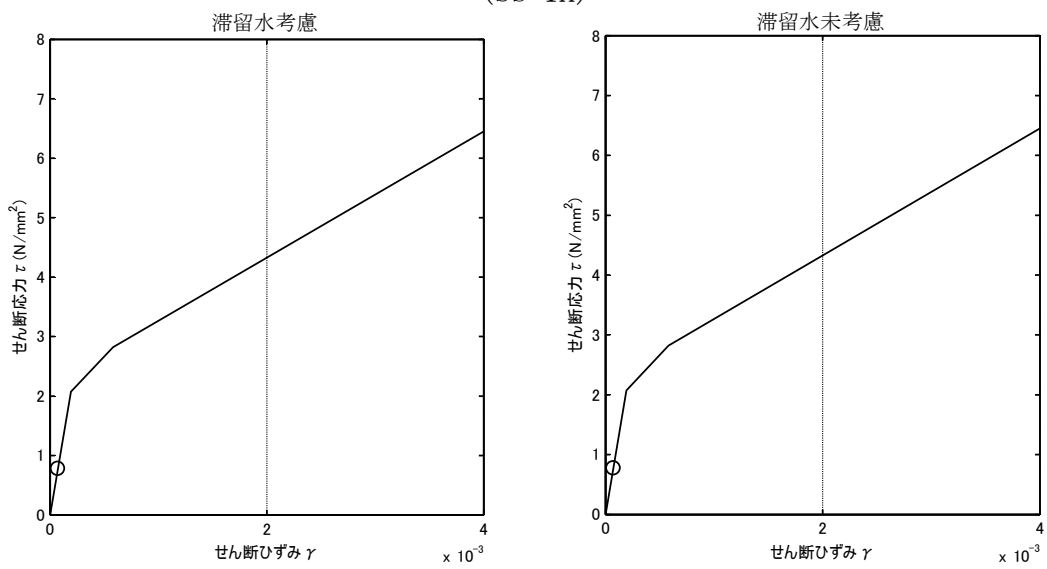
表 2.2.6-2 耐震壁のせん断ひずみ一覧 (EW 方向)

(単位:  $\times 10^{-3}$ )

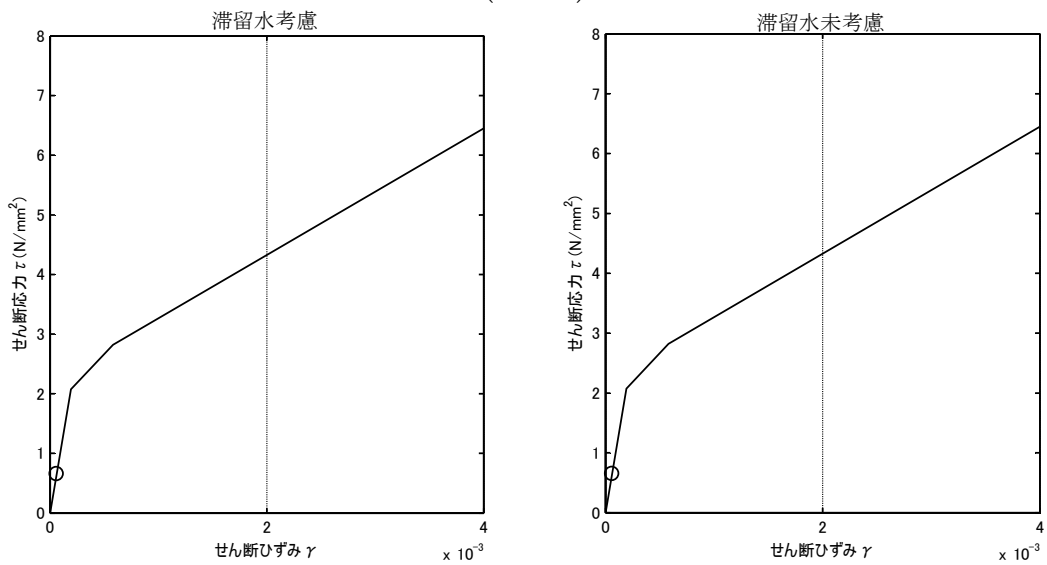
| 階   | O.P.        | 滞留水 | Ss-1H | Ss-2H | Ss-3H | 評価基準   |
|-----|-------------|-----|-------|-------|-------|--------|
| B1F | 10.20~-2.06 | 考慮  | 0.08  | 0.08  | 0.07  | 4.0 以下 |
|     |             | 未考慮 | 0.07  | 0.08  | 0.06  |        |



(Ss-1H)

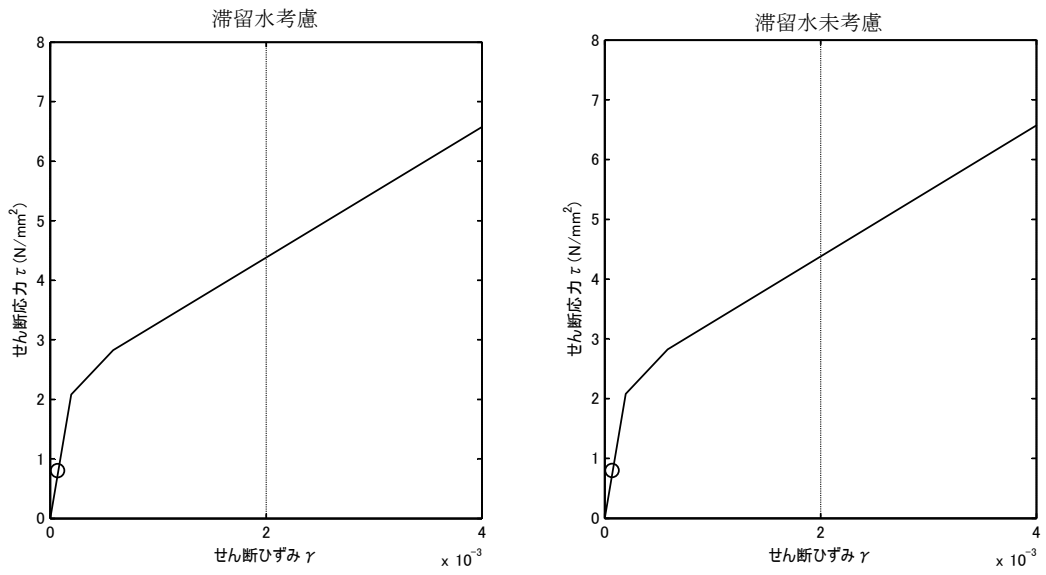


(Ss-2H)

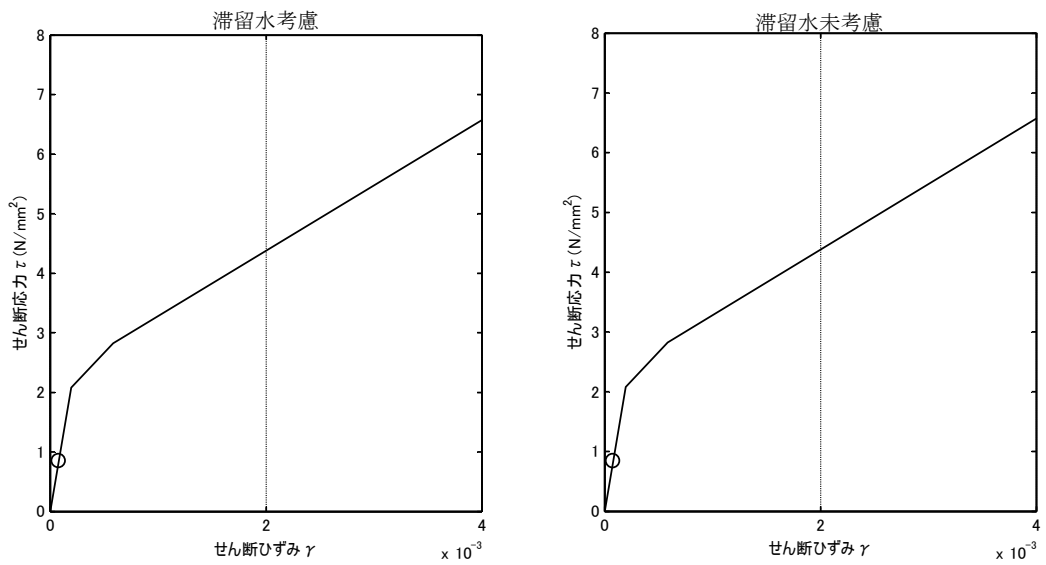


(Ss-3H)

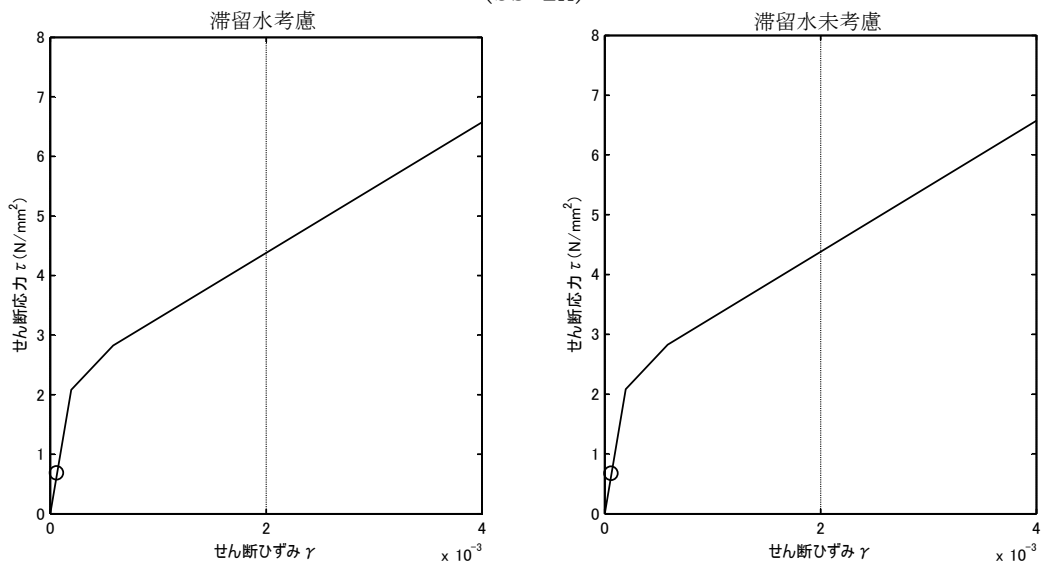
図 2.2.6-1 耐震壁のせん断ひずみ (NS 方向)



(Ss-1H)



(Ss-2H)



(Ss-3H)

図 2.2.6-2 耐震壁のせん断ひずみ (EW 方向)

## 2.3 3号機原子炉建屋

### 2.3.1 解析評価方針

3号機原子炉建屋の地下滞留水を考慮した耐震安全性評価は、基準地震動  $S_s$  を用いた地震応答解析によることを基本とし、建物・構築物や地盤の応答性状を適切に表現できるモデルを設定した上で行う。

解析モデルは、地下1階から地上5階に設置された機器を含む建屋全域をNS、EW方向とも1軸質点系モデルとする。

地下階への滞留水の付加重量は建屋外形寸法・建屋内部の壁厚・機器容積から体積を算定し、固定水として評価する。

地下耐震壁の評価は、地震応答解析により得られた該当部位の最大せん断ひずみが、評価基準値 ( $4.0 \times 10^{-3}$ ) を超えないことを確認することとする。

3号機原子炉建屋の地震応答解析の評価手順例を、図 2.3.1-1 に示す。

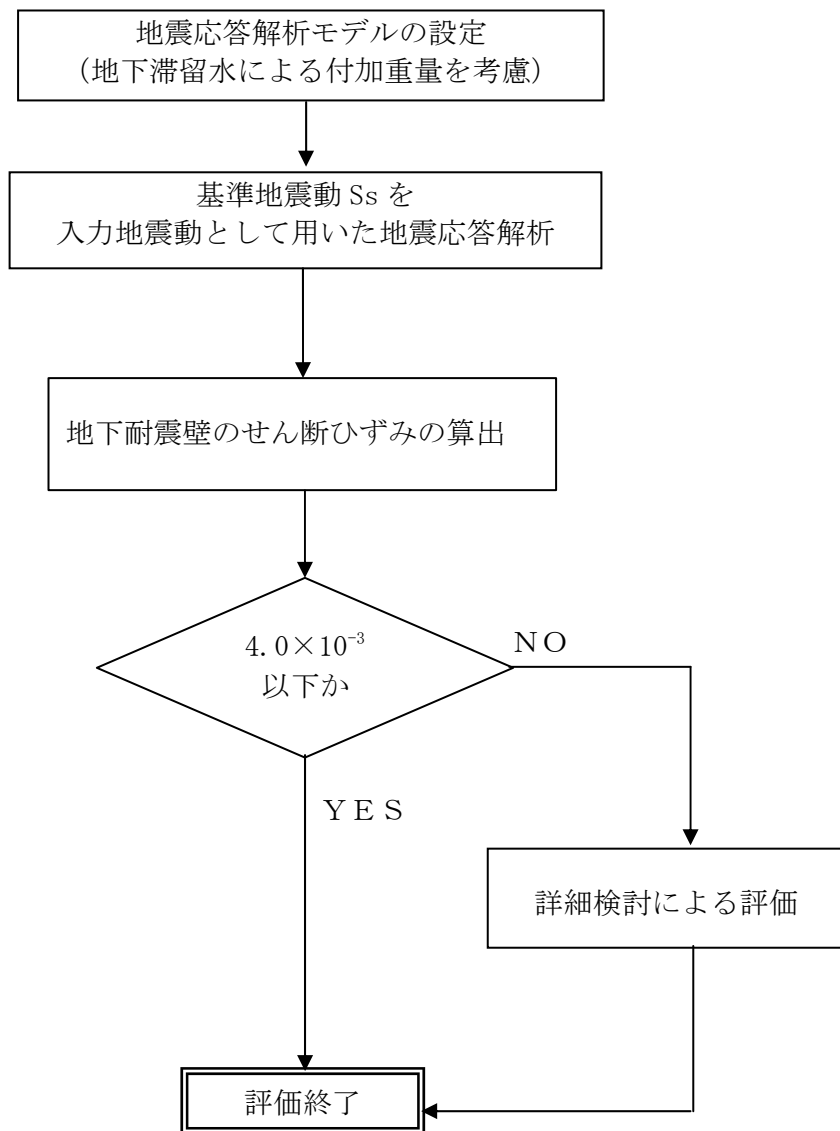


図 2.3.1-1 3号機原子炉建屋の地震応答解析の評価手順例

### 2.3.2 3号機原子炉建屋の水位及び地下滞留水量

3号機原子炉建屋の満水状態の水位及び地下滞留水量を表 2.3.1-1 に示す。

表 2.3.2-1 3号機原子炉建屋の満水状態の水位及び地下滞留水量

|     | 3号機                 |
|-----|---------------------|
| 水位  | O.P. 4,000          |
| 貯水量 | 6,800m <sup>3</sup> |

### 2.3.3 解析に用いる入力地震動

3号機原子炉建屋への入力地震動は、「福島第一原子力発電所 『発電用原子炉施設に関する耐震設計審査指針』の改訂に伴う耐震安全性評価結果 中間報告書」(原管発官19第603号 平成20年3月31日付け)にて作成した解放基盤表面レベルに想定する基準地震動  $S_s$  を用いることとする。

地震応答解析に用いる入力地震動の概念図を図2.3.3-1に示す。この3号機原子炉建屋の解析モデルに入力する地震動は、一次元波動論に基づき、解放基盤表面レベルに想定する基準地震動  $S_s$  に対する建屋基礎底面レベルの地盤応答として評価する。また、建屋基礎底面レベルにおけるせん断力を入力地震動に付加することにより、地盤の切欠き効果を考慮する。

このうち、解放基盤表面位置 (O.P. -196.0m) における基準地震動  $S_s$  の加速度波形について、図2.3.3-2に示す。

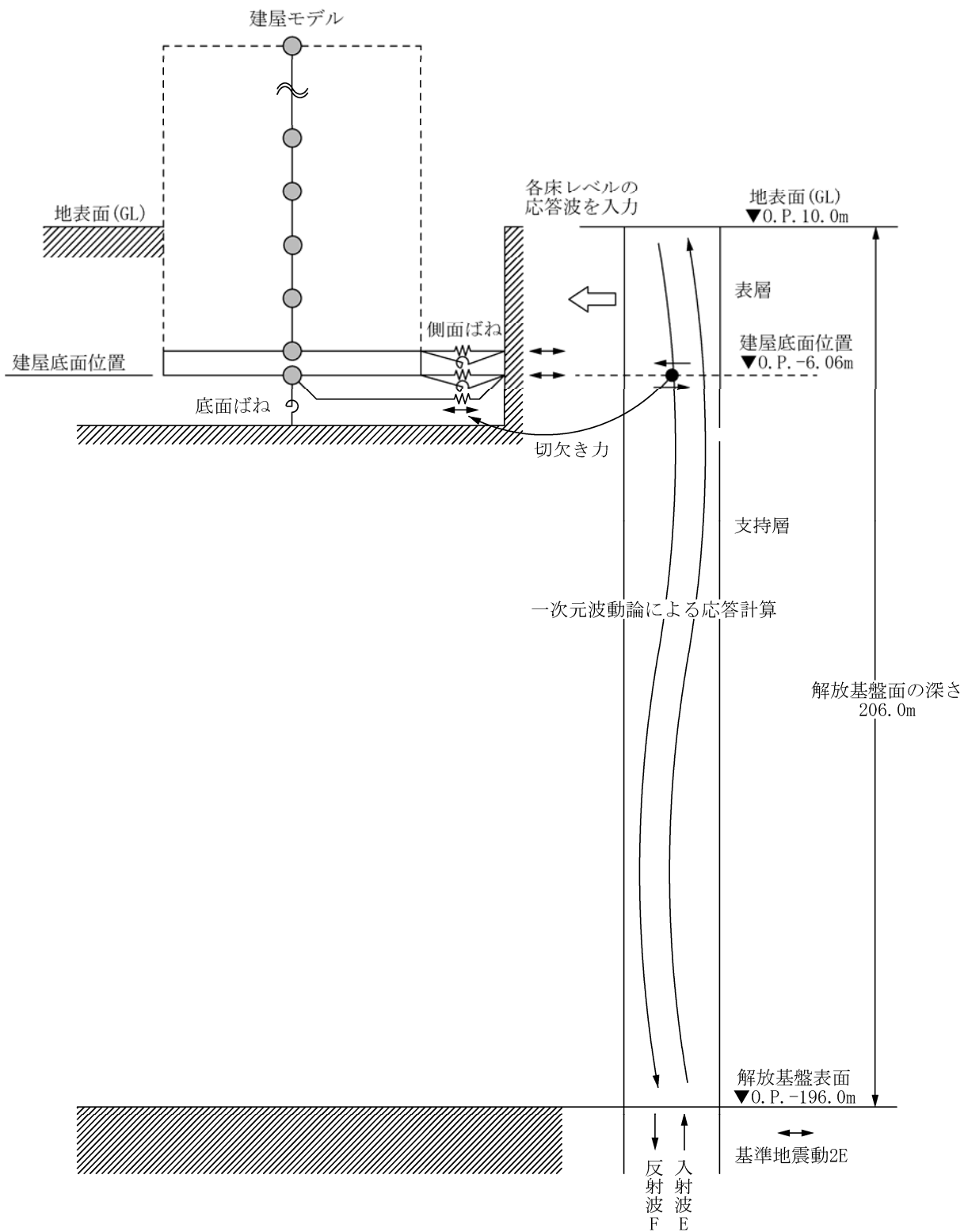


図 2. 3. 3-1 地震応答解析に用いる入力地震動の概念図





(Ss-1H)



(Ss-2H)



(Ss-3H)

図 2.3.3-2 解放基盤表面位置における地震動の加速度時刻歴波形 (水平方向)

#### 2.3.4 地震応答解析モデル

基準地震動  $S_s$  に対する 3号機原子炉建屋の地震応答解析は、「2.3.3 解析に用いる入力地震動」で算定した入力地震動を用いた動的解析による。

地震応答解析モデルは、図 2.3.4-1 及び図 2.3.4-2 に示すように、建屋を曲げ変形とせん断変形をする質点系とし、地盤を等価なばねで評価した建屋－地盤連成系モデルとする。建屋－地盤連成系としての効果は地盤ばね及び入力地震動によって評価される。解析に用いるコンクリートの物性値を表 2.3.4-1 に、建屋解析モデルの諸元<sup>\*注</sup>を表 2.3.4-2 に示す。

地盤定数は、水平成層地盤と仮定し、地震時のせん断ひずみレベルを考慮して定めた。解析に用いた地盤定数を表 2.3.4-3 に示す。

解析モデルにおいて、基礎底面地盤ばねについては、「JEAG 4601-1991」に示された手法を参考にし、成層補正を行ったのち、振動アドミッタンス理論に基づいて、スウェイ及びロッキングばね定数を近似的に評価する。また、埋込部分の建屋側面地盤ばねについては、建屋側面位置の地盤定数を用いて、水平及び回転ばねを「JEAG4601-1991」により NOVAK ばねに基づいて近似法により評価する。

地盤ばねは振動数に依存した複素剛性として得られるが、図 2.3.4-3 に示すようにばね定数 ( $K_c$ ) として実部の静的な値を、また、減衰係数 ( $C_c$ ) として建屋－地盤連成系の 1 次固有振動数に対応する虚部の値と原点を結ぶ直線の傾きを採用することにより近似する。

\*注：建屋に係る部分の諸元については、「II-2-11 添付資料-4-2 3. 第3号機燃料取り出し用カバーの構造強度及び耐震性について」において原子炉建屋の耐震安全性評価に用いたモデルに、滞留水による重量増分を付加したものである。

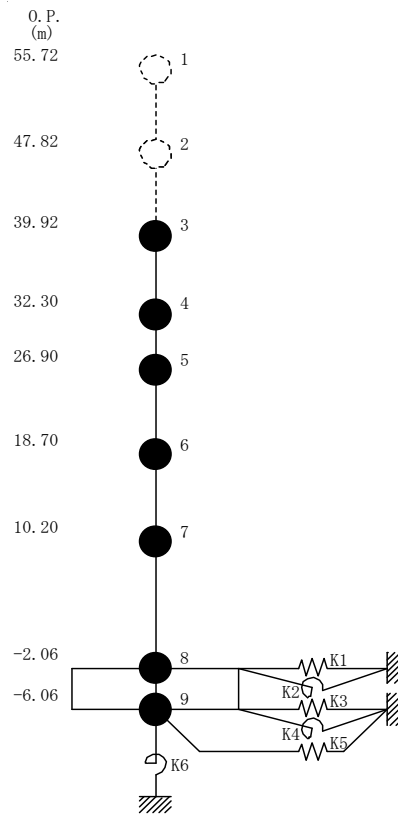


図 2.3.4-1 3号機原子炉建屋 地震応答解析モデル (NS 方向)

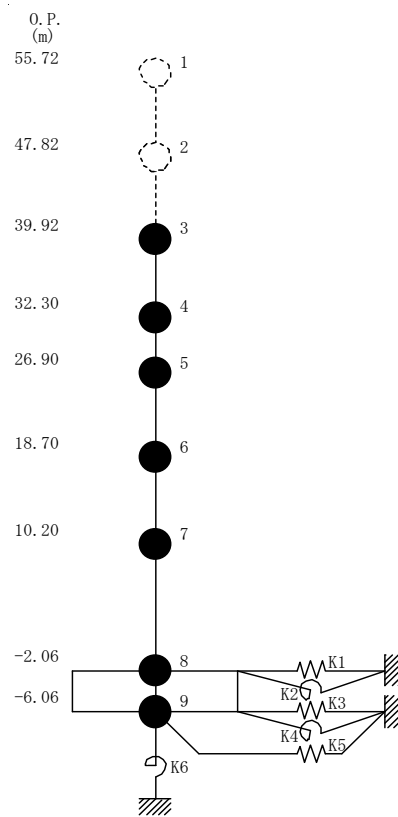


図 2.3.4-2 3号機原子炉建屋 地震応答解析モデル (EW 方向)

表 2.3.4-1 地震応答解析に用いる物性値

| コンク | 強度*1<br>F <sub>c</sub><br>(N/mm <sup>2</sup> ) | ヤング係数*2<br>E<br>(N/mm <sup>2</sup> ) | せん断弾性係数*2<br>G<br>(N/mm <sup>2</sup> ) | ポアソン比<br>ν | 単位体積重量*3<br>γ<br>(kN/m <sup>3</sup> ) |
|-----|--|--------------------------------------|--|------------|---------------------------------------|
| リート | 35.0   | 2.57×10 <sup>4</sup>                 | 1.07×10 <sup>4</sup>                   | 0.2        | 24                                    |
| 鉄筋  | SD345相当<br>(SD35)                              |                                      |  |            |                                       |

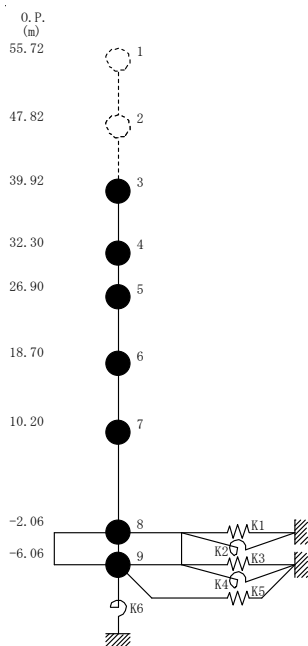
\*1：強度は実状に近い強度（以下「実強度」という。）を採用した。実強度の設定は、過去の圧縮強度試験データを収集し試験データのばらつきを考慮し圧縮強度平均値を小さめにまとめた値とした。

\*2：実強度に基づく値を示す。

\*3：鉄筋コンクリートの値を示す。

表 2.3.4-2 建屋解析モデルの諸元

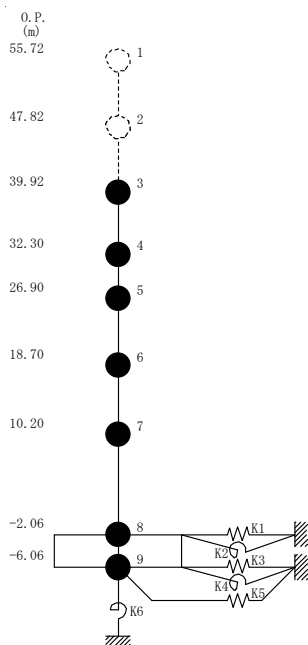
NS 方向



| 質点番号 | 質点重量<br>W (kN)      | 回転慣性重量<br>$I_G (\times 10^5 \text{kN}\cdot\text{m}^2)$ | せん断断面積<br>$A_S (\text{m}^2)$ | 断面2次モーメント<br>$I (\text{m}^4)$ |
|------|---------------------|--|------------------------------|-------------------------------|
| 1    | —                   | —  | —                            | —                             |
| 2    | —                   | —  | —                            | —                             |
| 3    | 87,590              | 92.34  | 145.3                        | 9,598                         |
| 4    | 119,490             | 238.33   | 146.1                        | 29,271                        |
| 5    | 111,340             | 204.95   | 237.3                        | 56,230                        |
| 6    | 130,160             | 239.58   | 208.6                        | 60,144                        |
| 7    | 253,710             | 467.09   | 458.7                        | 112,978                       |
| 8    | 367,710<br>(66,690) | 676.94<br>(122.77)                                     | 2,697.8                      | 496,620                       |
| 9    | 127,000             | 233.79   |                              |                               |
| 合計   | 1,197,000           |  |                              |                               |

柱：( ) 内は滞留水による付加分を示す  
 ヤング係数  $E_C$   $2.57 \times 10^7$  (kN/m<sup>2</sup>)  
 せん断弾性係数  $G$   $1.07 \times 10^7$  (kN/m<sup>2</sup>)  
 ポアソン比  $\nu$  0.20  
 減衰  $h$  5%  
 基礎形状 47.0m (NS方向)  $\times$  57.4m (EW方向)

EW 方向



| 質点番号 | 質点重量<br>W (kN)      | 回転慣性重量<br>$I_G (\times 10^5 \text{kN}\cdot\text{m}^2)$ | せん断断面積<br>$A_S (\text{m}^2)$ | 断面2次モーメント<br>$I (\text{m}^4)$ |
|------|---------------------|--|------------------------------|-------------------------------|
| 1    | —                   | —  | —                            | —                             |
| 2    | —                   | —  | —                            | —                             |
| 3    | 87,590              | 67.32  | 61.9                         | 5,665                         |
| 4    | 119,490             | 124.49   | 123.4                        | 12,460                        |
| 5    | 111,340             | 204.95   | 204.1                        | 41,352                        |
| 6    | 130,160             | 239.58   | 226.6                        | 61,084                        |
| 7    | 253,710             | 696.62   | 431.3                        | 135,128                       |
| 8    | 367,710<br>(66,690) | 1,009.61<br>(183.11)                                   | 2,697.8                      | 740,717                       |
| 9    | 127,000             | 348.72   |                              |                               |
| 合計   | 1,197,000           |  |                              |                               |

柱：( ) 内は滞留水による付加分を示す  
 ヤング係数  $E_C$   $2.57 \times 10^7$  (kN/m<sup>2</sup>)  
 せん断弾性係数  $G$   $1.07 \times 10^7$  (kN/m<sup>2</sup>)  
 ポアソン比  $\nu$  0.20  
 減衰  $h$  5%  
 基礎形状 47.0m (NS方向)  $\times$  57.4m (EW方向)

表 2.3.4-3 (1) 地盤定数

(Ss-1)

| 標高<br>O. P.<br>(m) | 地質 | せん断波<br>速度<br>Vs<br>(m/s) | 単位体積<br>重量<br>γ<br>(kN/m <sup>3</sup> ) | ポアソン比<br>ν | せん断<br>弾性係数<br>G<br>(×10 <sup>5</sup> kN/m <sup>2</sup> ) | 初期せん断<br>弾性係数<br>G <sub>0</sub><br>(×10 <sup>5</sup> kN/m <sup>2</sup> ) | 剛性<br>低下率<br>G/G <sub>0</sub> | ヤング<br>係数<br>E<br>(×10 <sup>5</sup> kN/m <sup>2</sup> ) | 減衰<br>定数<br>h<br>(%) | 層厚<br>H<br>(m) |
|--------------------|----|---------------------------|---|------------|---|--|-------------------------------|---|----------------------|----------------|
| 10.0               |    |                           |   |            |   |  |                               |   |                      |                |
| 1.9                | 砂岩 | 380                       | 17.8                                    | 0.473      | 2.23  | 2.62   | 0.85                          | 6.57  | 3                    | 8.1            |
| -10.0              | 泥岩 | 450                       | 16.5                                    | 0.464      | 2.66  | 3.41   | 0.78                          | 7.79  | 3                    | 11.9           |
| -80.0              |    | 500                       | 17.1                                    | 0.455      | 3.40  | 4.36   | 0.78                          | 9.89  | 3                    | 70.0           |
| -108.0             |    | 560                       | 17.6                                    | 0.446      | 4.39  | 5.63   | 0.78                          | 12.70   | 3                    | 28.0           |
| -196.0             |    | 600                       | 17.8                                    | 0.442      | 5.09  | 6.53   | 0.78                          | 14.68   | 3                    | 88.0           |
|                    |    | (解放基盤)                    | 700                                     | 18.5       | 0.421   | 9.24   | 9.24                          | 1.00  | 26.26                | -              |

表 2.3.4-3 (2) 地盤定数

(Ss-2)

| 標高<br>O. P.<br>(m) | 地質 | せん断波<br>速度<br>Vs<br>(m/s) | 単位体積<br>重量<br>γ<br>(kN/m <sup>3</sup> ) | ポアソン比<br>ν | せん断<br>弾性係数<br>G<br>(×10 <sup>5</sup> kN/m <sup>2</sup> ) | 初期せん断<br>弾性係数<br>G <sub>0</sub><br>(×10 <sup>5</sup> kN/m <sup>2</sup> ) | 剛性<br>低下率<br>G/G <sub>0</sub> | ヤング<br>係数<br>E<br>(×10 <sup>5</sup> kN/m <sup>2</sup> ) | 減衰<br>定数<br>h<br>(%) | 層厚<br>H<br>(m) |
|--------------------|----|---------------------------|---|------------|---|--|-------------------------------|---|----------------------|----------------|
| 10.0               |    |                           |   |            |   |  |                               |   |                      |                |
| 1.9                | 砂岩 | 380                       | 17.8                                    | 0.473      | 2.23  | 2.62   | 0.85                          | 6.57  | 3                    | 8.1            |
| -10.0              | 泥岩 | 450                       | 16.5                                    | 0.464      | 2.76  | 3.41   | 0.81                          | 8.08  | 3                    | 11.9           |
| -80.0              |    | 500                       | 17.1                                    | 0.455      | 3.53  | 4.36   | 0.81                          | 10.27   | 3                    | 70.0           |
| -108.0             |    | 560                       | 17.6                                    | 0.446      | 4.56  | 5.63   | 0.81                          | 13.19   | 3                    | 28.0           |
| -196.0             |    | 600                       | 17.8                                    | 0.442      | 5.29  | 6.53   | 0.81                          | 15.26   | 3                    | 88.0           |
|                    |    | (解放基盤)                    | 700                                     | 18.5       | 0.421   | 9.24   | 9.24                          | 1.00  | 26.26                | -              |

表 2.3.4-3 (3) 地盤定数

(Ss-3)

| 標高<br>O. P.<br>(m) | 地質               | せん断波<br>速度<br>Vs<br>(m/s) | 単位体積<br>重量<br>$\gamma$<br>(kN/m <sup>3</sup> ) | ポアソン比<br>$\nu$ | せん断<br>弾性係数<br>G<br>( $\times 10^5$ kN/m <sup>2</sup> ) | 初期せん断<br>弾性係数<br>G <sub>0</sub><br>( $\times 10^5$ kN/m <sup>2</sup> ) | 剛性<br>低下率<br>G/G <sub>0</sub> | ヤング<br>係数<br>E<br>( $\times 10^5$ kN/m <sup>2</sup> ) | 減衰<br>定数<br>h<br>(%) | 層厚<br>H<br>(m) |
|--------------------|------------------|---------------------------|--|----------------|---|--|-------------------------------|---|----------------------|----------------|
| 10.0               |                  |                           |  |                |   |  |                               |   |                      |                |
| 1.9                | 砂岩               | 380                       | 17.8   | 0.473          | 2.25  | 2.62   | 0.86                          | 6.63  | 3                    | 8.1            |
| -10.0              | 泥岩<br><br>(解放基盤) | 450                       | 16.5   | 0.464          | 2.66  | 3.41   | 0.78                          | 7.79  | 3                    | 11.9           |
| -80.0              |                  | 500                       | 17.1   | 0.455          | 3.40  | 4.36   | 0.78                          | 9.89  | 3                    | 70.0           |
| -108.0             |                  | 560                       | 17.6   | 0.446          | 4.39  | 5.63   | 0.78                          | 12.70   | 3                    | 28.0           |
| -196.0             |                  | 600                       | 17.8   | 0.442          | 5.09  | 6.53   | 0.78                          | 14.68   | 3                    | 88.0           |
|                    |                  | 700                       | 18.5   | 0.421          | 9.24  | 9.24   | 1.00                          | 26.26   | -                    | -              |

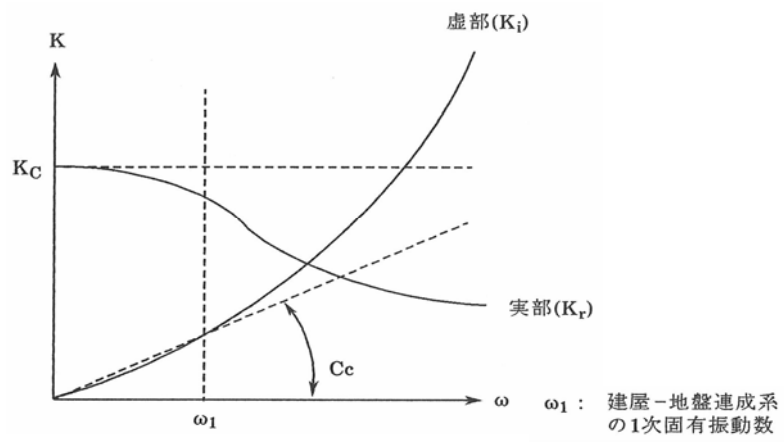


図 2.3.4-3 地盤ばねの近似



### 2.3.5 地震応答解析結果

地震応答解析により求められた NS 方向, EW 方向の最大応答加速度を, 滞留水を未考慮の場合と比較して\*注, 図 2.3.5-1~図 2.3.5-6 に示す。

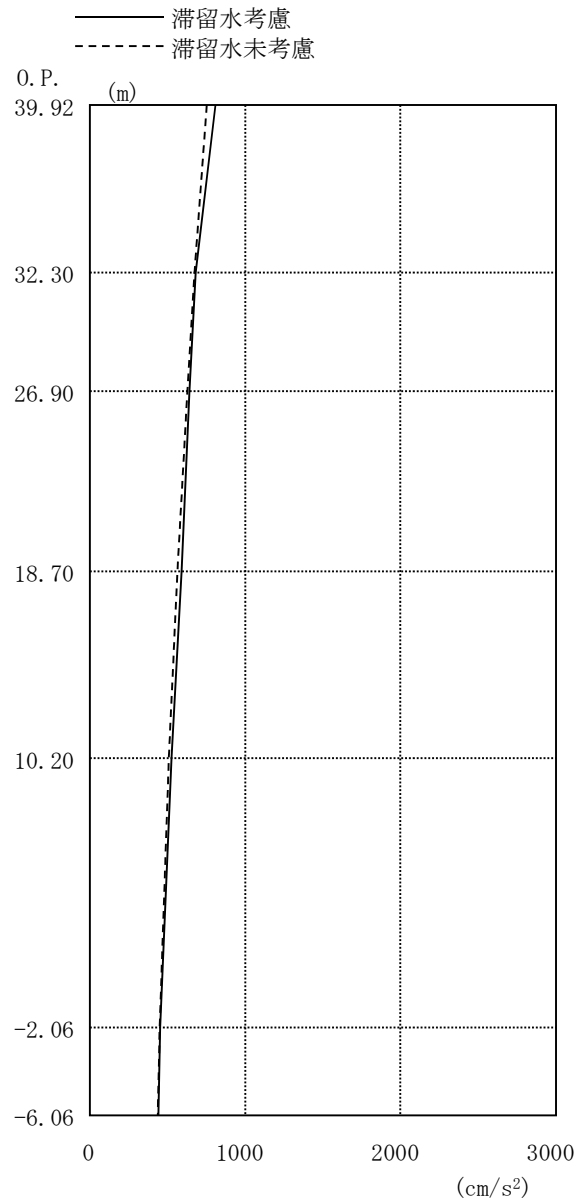


図 2.3.5-1 最大応答加速度 (NS 方向・Ss-1H)

\*注：滞留水考慮：本検討における結果であり，滞留水の重量の他，瓦礫撤去等による重量増減や燃料取り出し用カバールの重量を考慮したもの。

滞留水未考慮：損傷前の「福島第一原子力発電所 『発電用原子炉施設に関する耐震設計審査指針』の改訂に伴う耐震安全性評価結果 中間報告書 (改訂版)」(原管発官 21 第 110 号 平成 21 年 6 月 19 日付け)の結果。

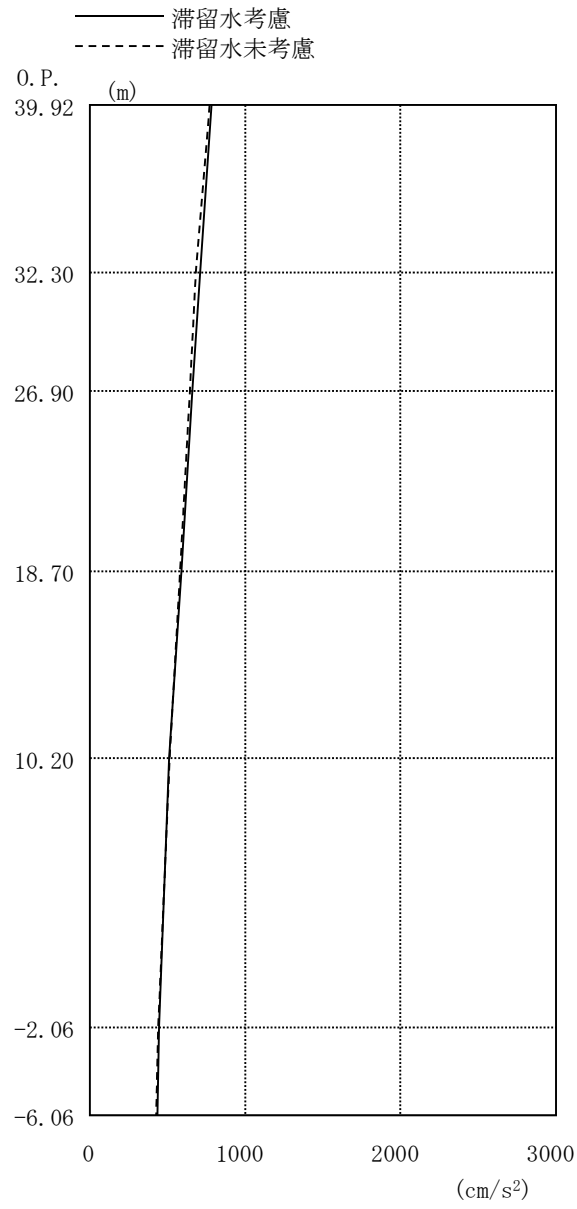


图 2.3.5-2 最大応答加速度 (NS 方向・Ss-2H)

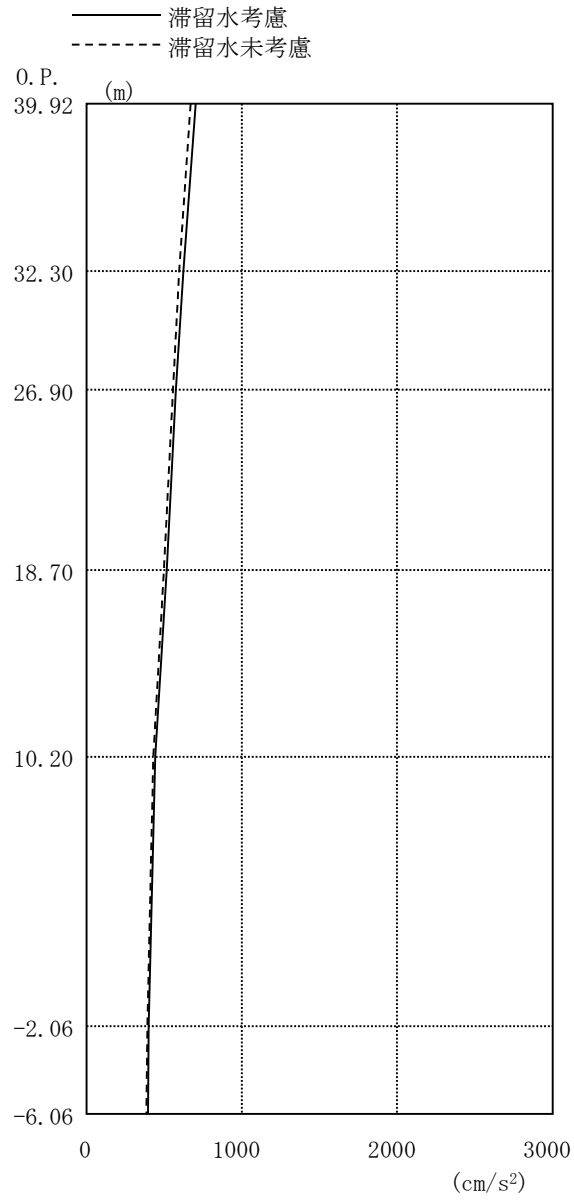


图 2.3.5-3 最大応答加速度 (NS 方向・Ss-3H)

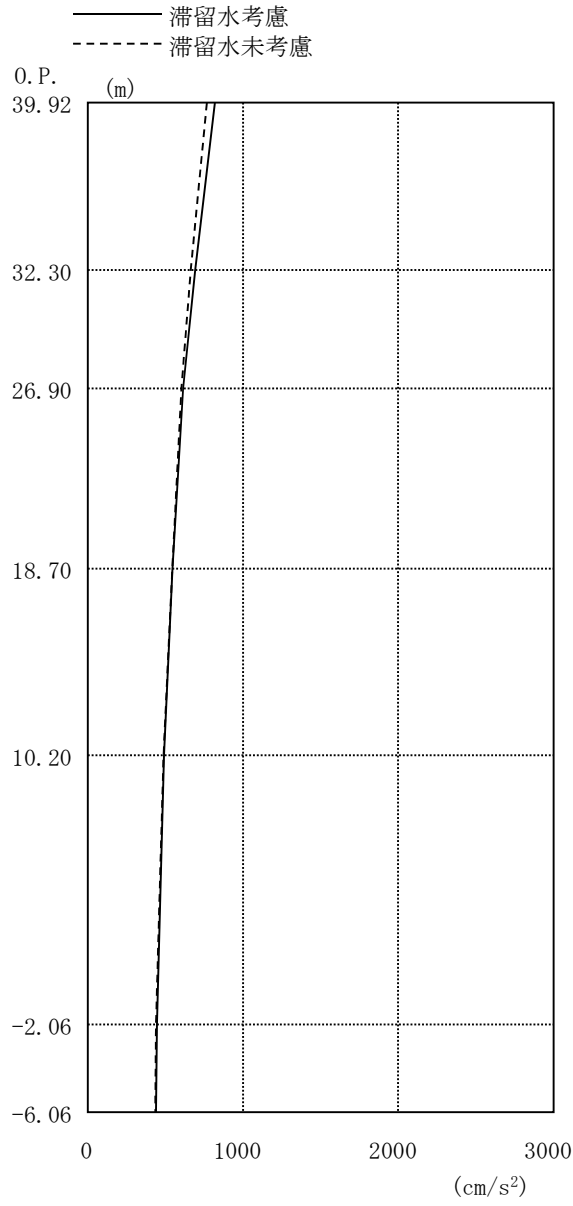


图 2.3.5-4 最大応答加速度 (EW 方向・Ss-1H)

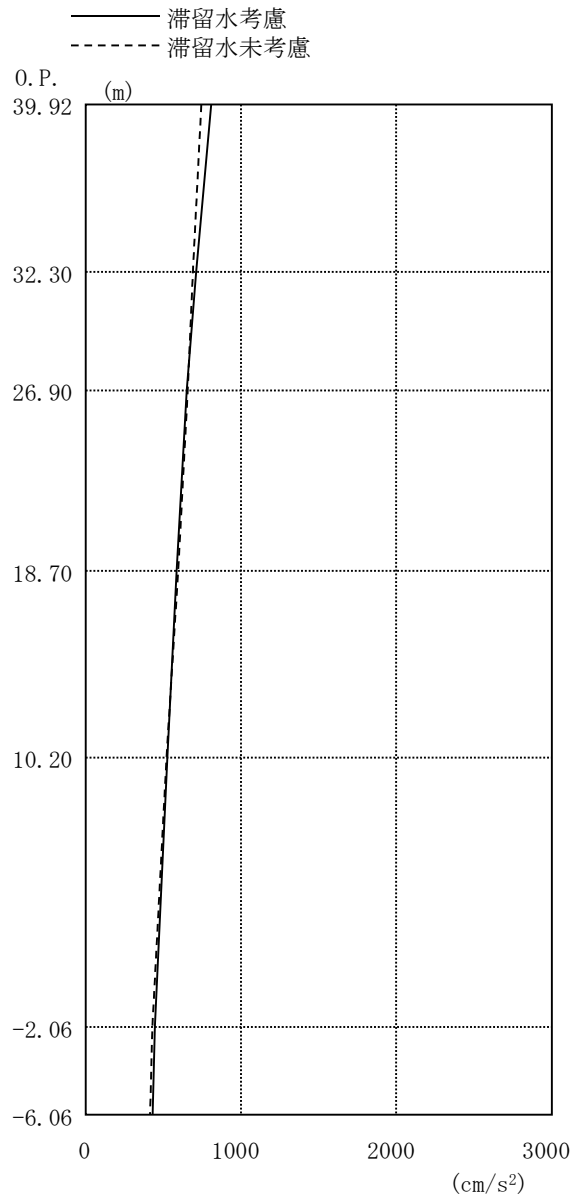


图 2.3.5-5 最大応答加速度 (EW 方向・Ss-2H)

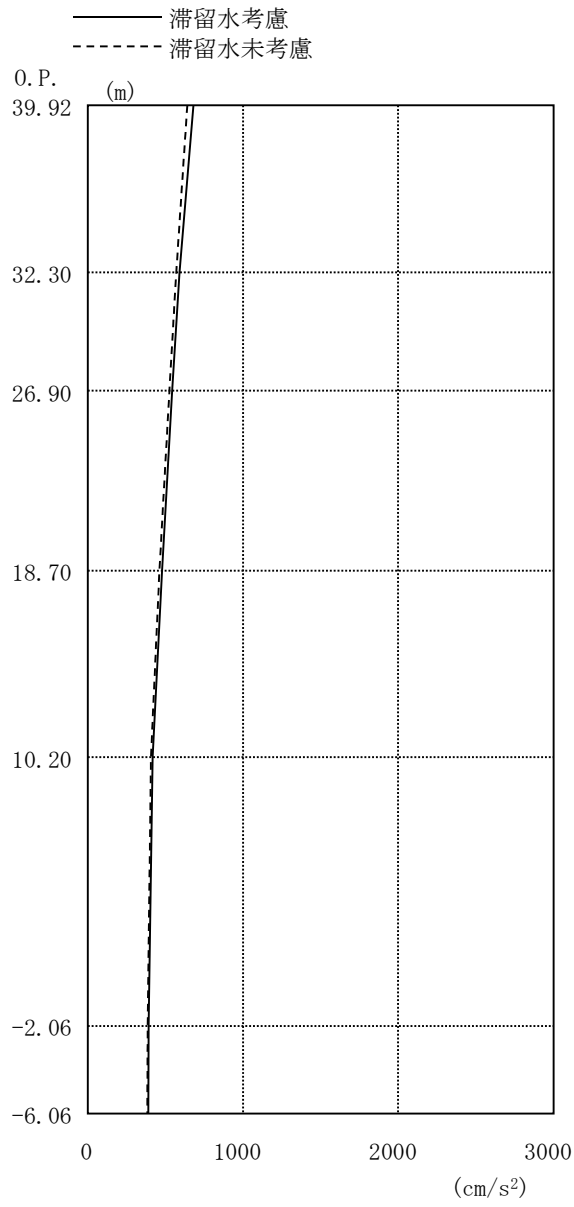


图 2.3.5-6 最大応答加速度 (EW 方向・Ss-3H)

### 2.3.6 耐震安全性評価結果

地震応答解析により得られた地下耐震壁のせん断ひずみ一覧を、滞留水を未考慮の場合と比較して、表 2.3.6-1 及び表 2.3.6-2 に示す。また、図 2.3.6-1 及び図 2.3.6-2 に基準地震動 Ss に対する最大応答値を、滞留水を未考慮の場合と比較して、耐震壁のスケルトン曲線上に示す。せん断ひずみは、滞留水を考慮した場合でも、最大で  $0.10 \times 10^{-3}$  であり、評価基準値 ( $4.0 \times 10^{-3}$ ) に対して十分余裕がある。なお、スケルトン曲線は、建屋の方向別に、層を単位とした水平断面形状より「JEAG4601-1991」に基づいて設定したものである。

以上のことから、3号機原子炉建屋の耐震安全性は確保されているものと評価した。

表 2.3.6-1 耐震壁のせん断ひずみ一覧 (NS 方向)

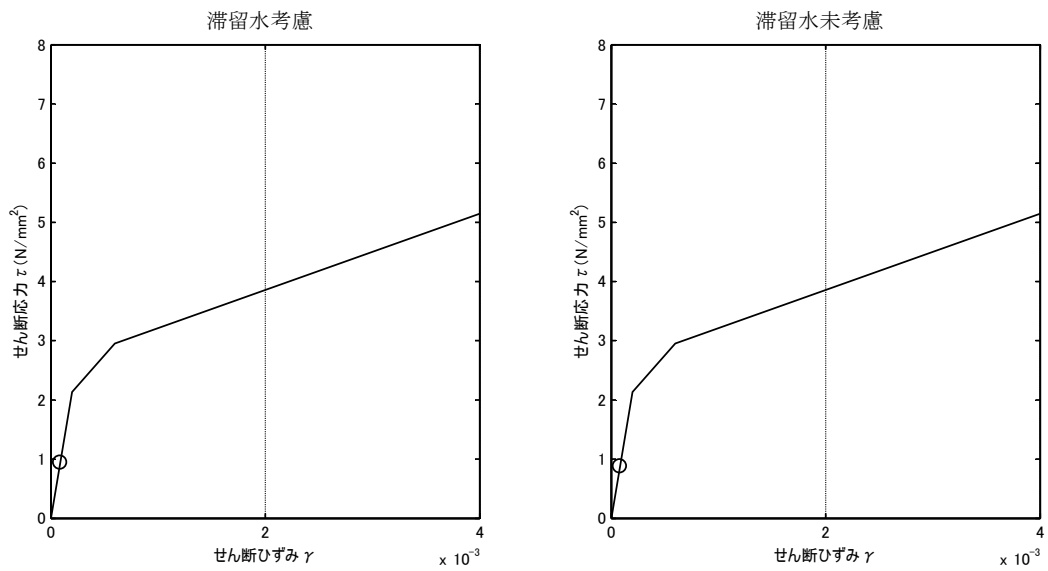
(単位： $\times 10^{-3}$ )

| 階   | O. P.           | 滞留水 | Ss-1H | Ss-2H | Ss-3H | 評価基準   |
|-----|-----------------|-----|-------|-------|-------|--------|
| B1F | 10.20～<br>-2.06 | 考慮  | 0.09  | 0.09  | 0.08  | 4.0 以下 |
|     |                 | 未考慮 | 0.08  | 0.08  | 0.07  |        |

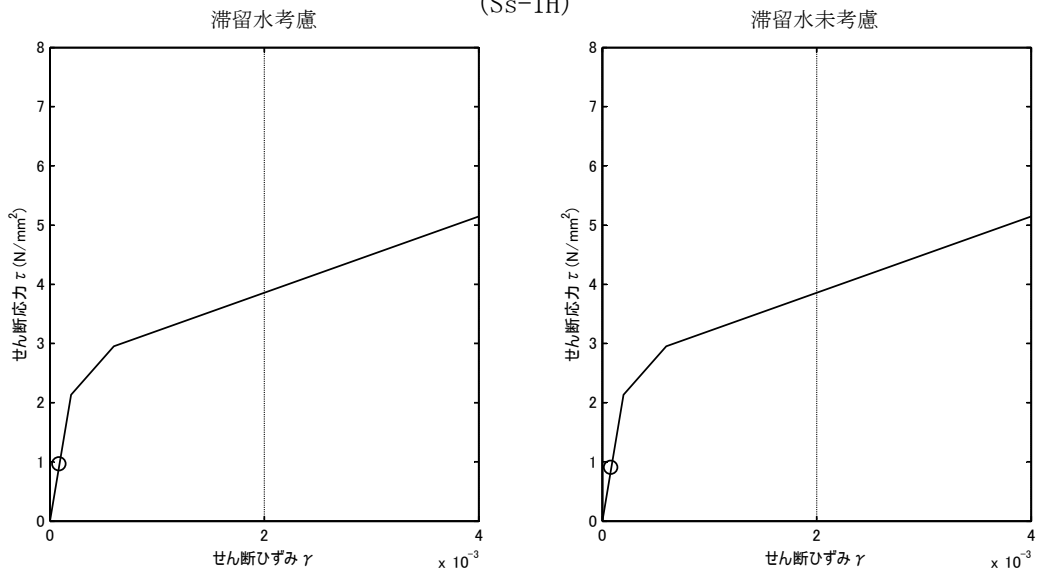
表 2.3.6-2 耐震壁のせん断ひずみ一覧 (EW 方向)

(単位： $\times 10^{-3}$ )

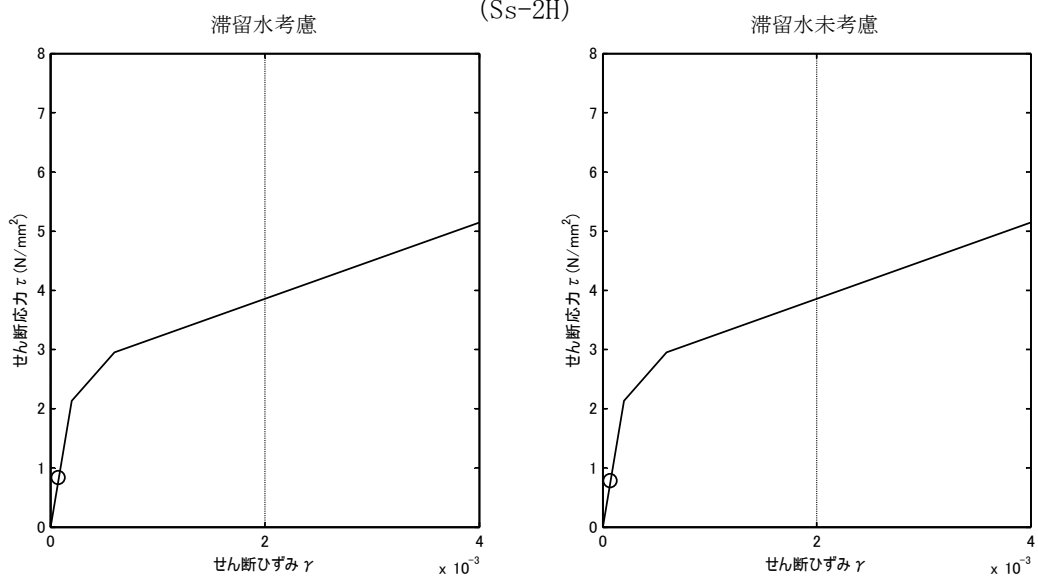
| 階   | O. P.           | 滞留水 | Ss-1H | Ss-2H | Ss-3H | 評価基準   |
|-----|-----------------|-----|-------|-------|-------|--------|
| B1F | 10.20～<br>-2.06 | 考慮  | 0.09  | 0.10  | 0.08  | 4.0 以下 |
|     |                 | 未考慮 | 0.08  | 0.09  | 0.07  |        |



(Ss-1H)



(Ss-2H)



(Ss-3H)

図 2.3.6-1 耐震壁のせん断ひずみ (NS 方向)



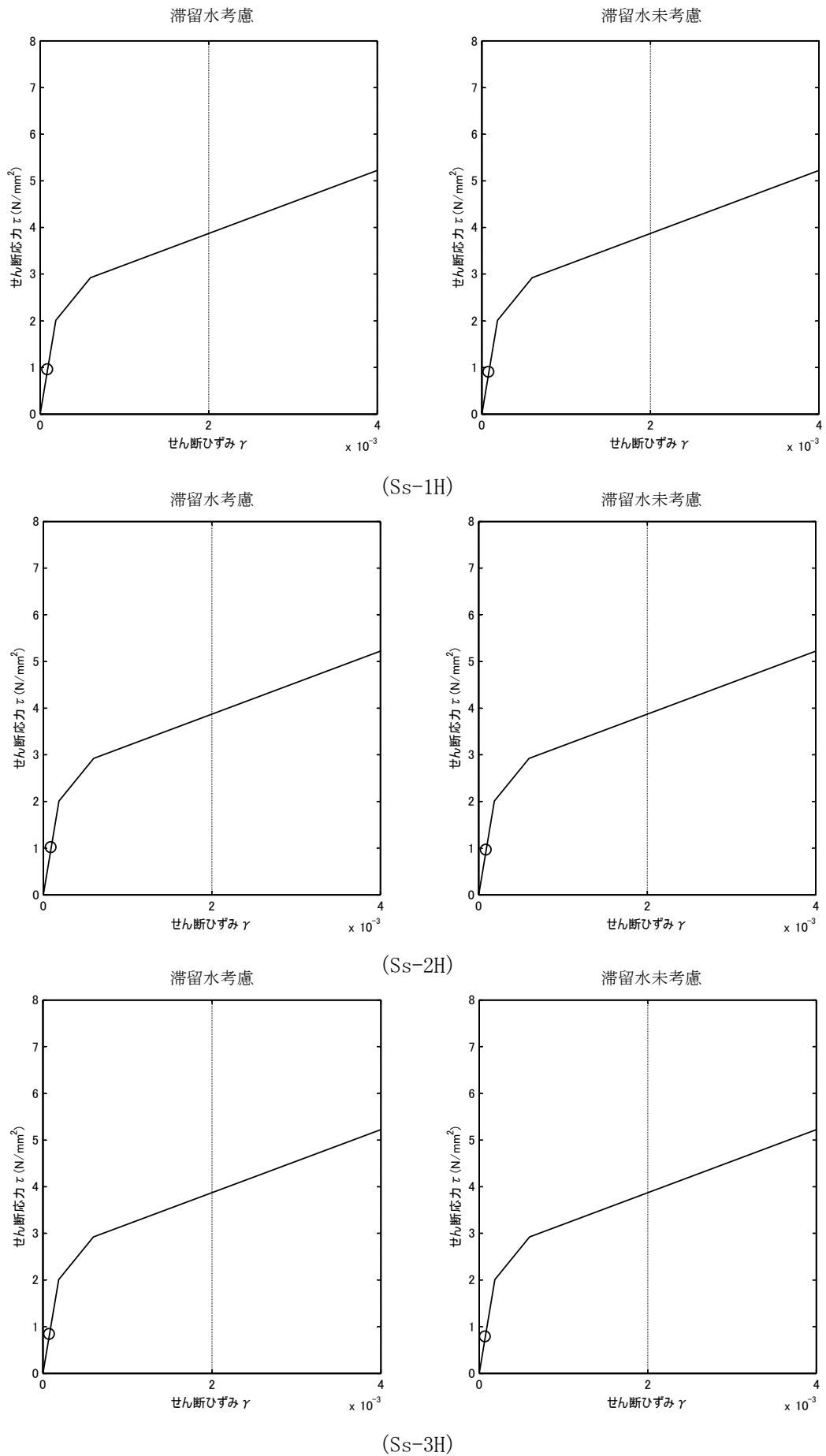


図 2.3.6-2 耐震壁のせん断ひずみ (EW 方向)

### 3 タービン建屋

#### 3.1 3号機タービン建屋（代表号機）

##### 3.1.1 解析評価方針

タービン建屋の地下滞留水を考慮した耐震安全評価は、基準地震動  $S_s$  を用いた地震応答解析によることを基本とし、建物・構築物や地盤の応答性状を適切に表現できるモデルを設定した上で行う。

タービン建屋については地下滞留水量が最大となる代表号機を選定する。

解析モデルは、地下1階から地上3階に設置された機器を含む建屋全域をNS、EW方向とも多軸質点系モデルとする。

地下階への滞留水の付加重量は建屋外形寸法・建屋内部の壁厚・機器容積から体積を算定し、固定水として評価する。

地下耐震壁の評価は、地震応答解析により得られた該当部位の最大せん断ひずみが、評価基準値 ( $4.0 \times 10^{-3}$ ) を超えないことを確認することとする。

タービン建屋の地震応答解析の評価手順例を、図-3.1.1に示す。

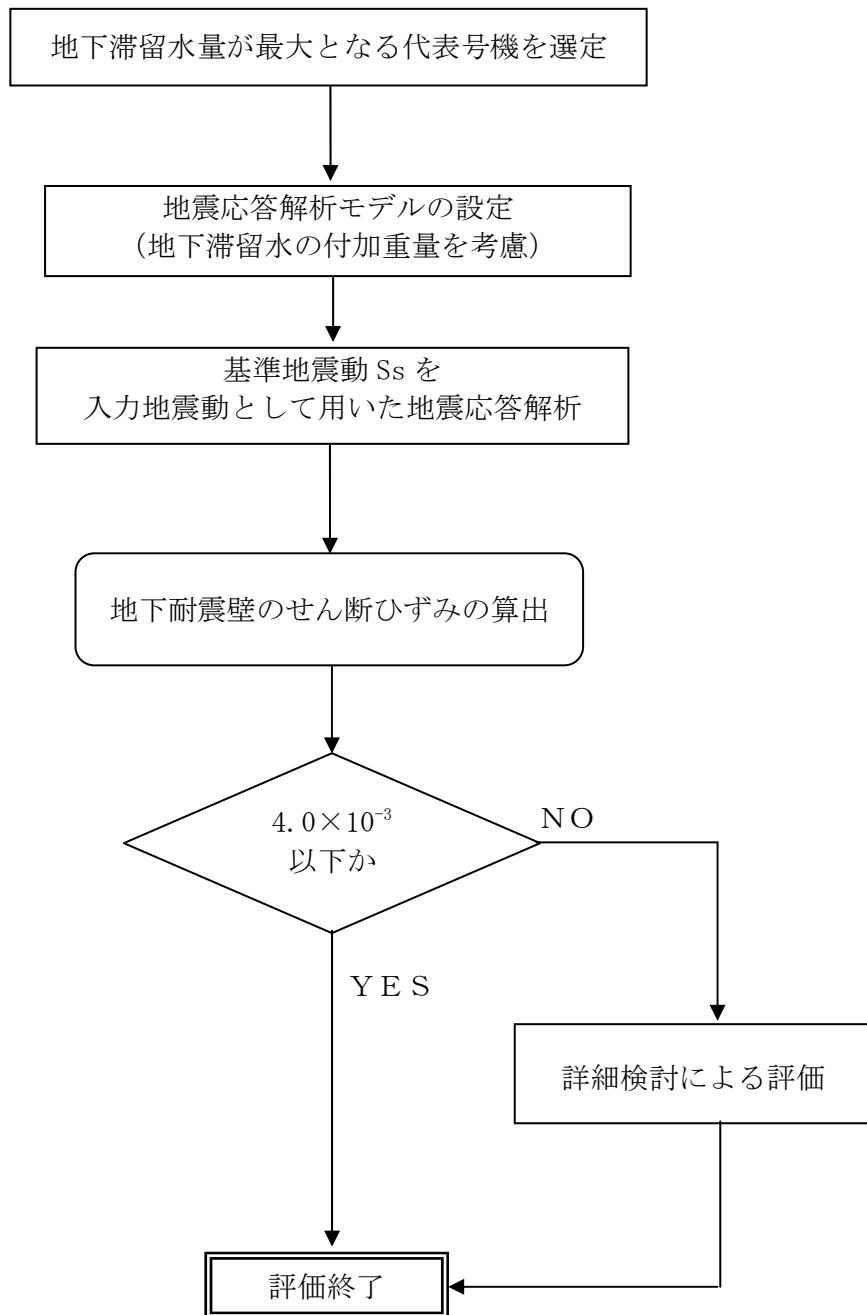


図 3.1.1-1 タービン建屋の地震応答解析の評価手順例

### 3.1.2 代表号機の選定

タービン建屋の満水状態の水位及び地下滞留水量を表 3.1.2-1 に示す。表 3.1.2-1 より、貯水量の最も多い3号機を代表号機と選定する。

表 3.1.2-1 タービン建屋の満水状態の水位及び地下滞留水量

|     | 1号機                 | 2号機                  | 3号機                  | 4号機                  |
|-----|---------------------|----------------------|----------------------|----------------------|
| 水位  | O.P. 5,300          | O.P. 4,000           | O.P. 4,000           | O.P. 4,000           |
| 貯水量 | 9,600m <sup>3</sup> | 13,500m <sup>3</sup> | 16,400m <sup>3</sup> | 12,800m <sup>3</sup> |

### 3.1.3 解析に用いる入力地震動

3号機タービン建屋への入力地震動は、「福島第一原子力発電所 『発電用原子炉施設に関する耐震設計審査指針』の改訂に伴う耐震安全性評価結果 中間報告書」(原管発官19第603号 平成20年3月31日付け)にて作成した解放基盤表面レベルに想定する基準地震動  $S_s$  を用いることとする。

地震応答解析に用いる入力地震動の概念図を図3.1.3-1に示す。この3号機タービン建屋の解析モデルに入力する地震動は、一次元波動論に基づき、解放基盤表面レベルに想定する基準地震動  $S_s$  に対する建屋基礎底面レベルの地盤応答として評価する。また、建屋基礎底面レベルにおけるせん断力を入力地震動に付加することにより、地盤の切欠き効果を考慮する。

このうち、解放基盤表面位置 (O.P. -196.0m) における基準地震動  $S_s$  の加速度波形について、図3.1.3-2に示す。

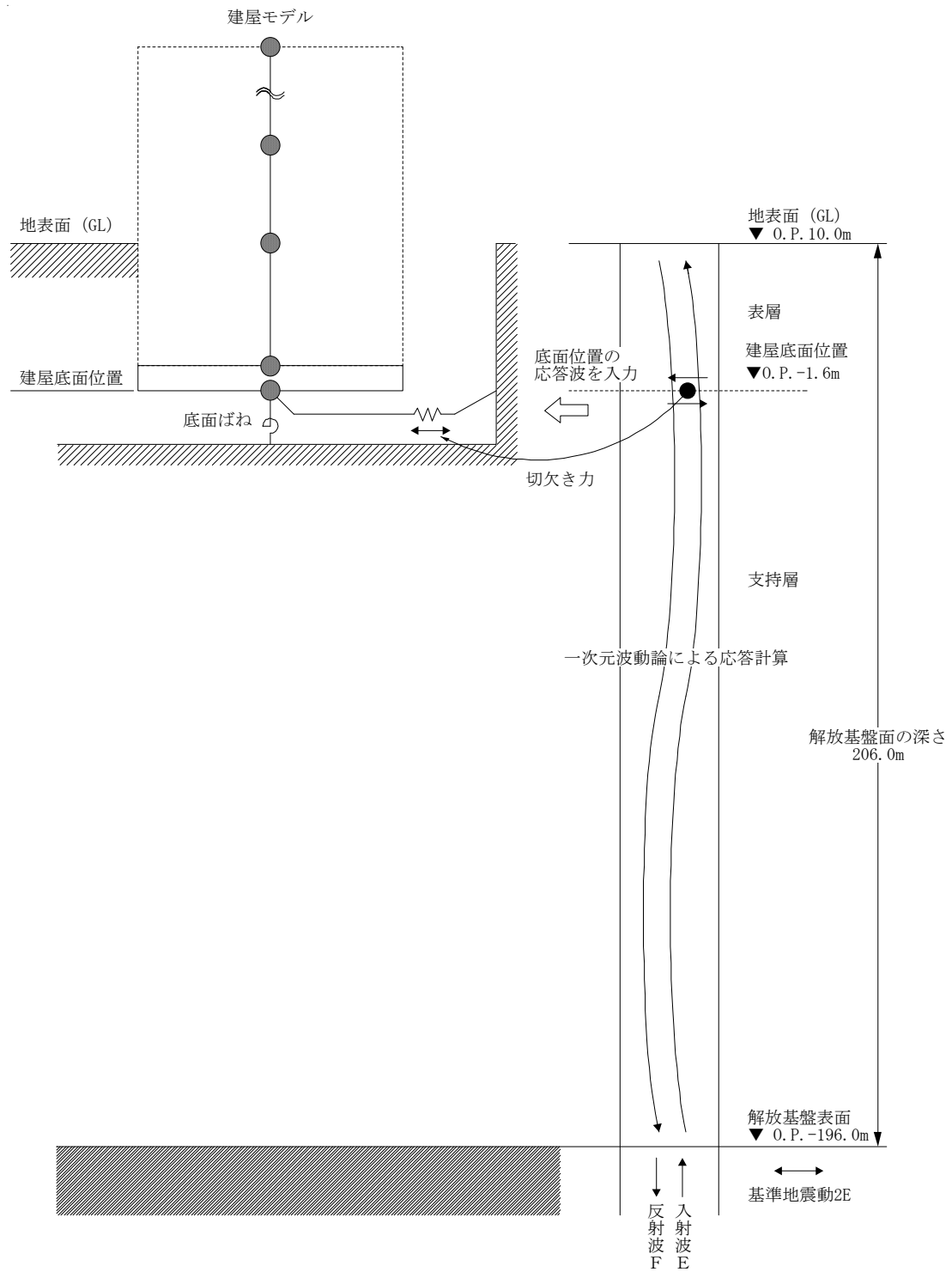
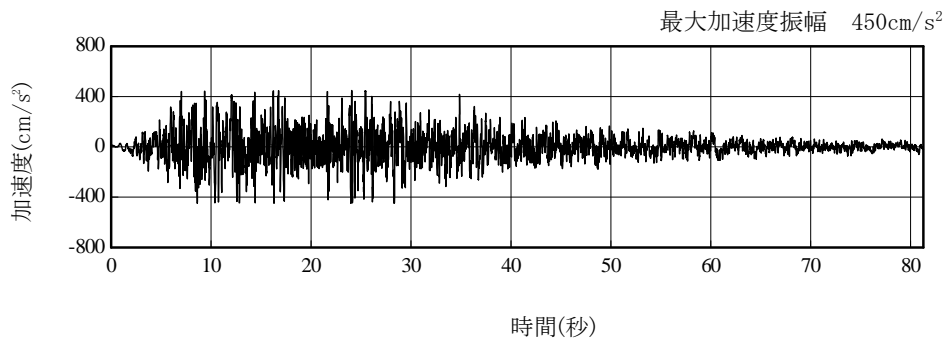


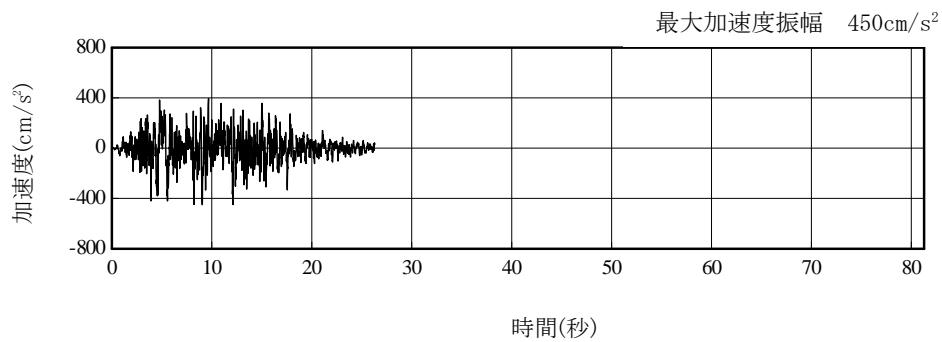
図 3.1.3-1 地震応答解析に用いる入力地震動の概念図



(Ss-1H)



(Ss-2H)



(Ss-3H)

図 3. 1. 3-2 解放基盤表面位置における地震動の加速度時刻歴波形（水平方向）

#### 3.1.4 地震応答解析モデル

基準地震動  $S_s$  に対する 3号機タービン建屋の地震応答解析は、「3.1.3. 解析に用いる入力地震動」で算定した入力地震動を用いた動的解析による。

地震応答解析モデルは、図 3.1.4-1 及び図 3.1.4-2 に示すように、建屋を曲げ変形とせん断変形をする質点系とし、地盤を等価なばねで評価した建屋－地盤連成系モデルとする。建屋－地盤連成系としての効果は地盤ばね及び入力地震動によって評価される。解析に用いるコンクリートの物性値を表 3.1.4-1 に、建屋解析モデルの諸元を図 3.1.4-3～図 3.1.4-6 に示す。

地盤定数は、水平成層地盤と仮定し、地震時のせん断ひずみレベルを考慮して定めた。解析に用いた地盤定数を表 3.1.4-2 に示す。

解析モデルにおいて、基礎底面地盤ばねについては、「JEAG 4601-1991」に示された手法を参考にし、成層補正を行ったのち、振動アドミッタンス理論に基づいて、スウェイ及びロッキングばね定数を近似的に評価する。

地盤ばねは振動数に依存した複素剛性として得られるが、図 3.1.4-7 に示すようにばね定数 ( $K_c$ ) として実部の静的な値を、また、減衰係数 ( $C_c$ ) として建屋－地盤連成系の 1 次固有振動数に対応する虚部の値と原点を結ぶ直線の傾きを採用することにより近似する。



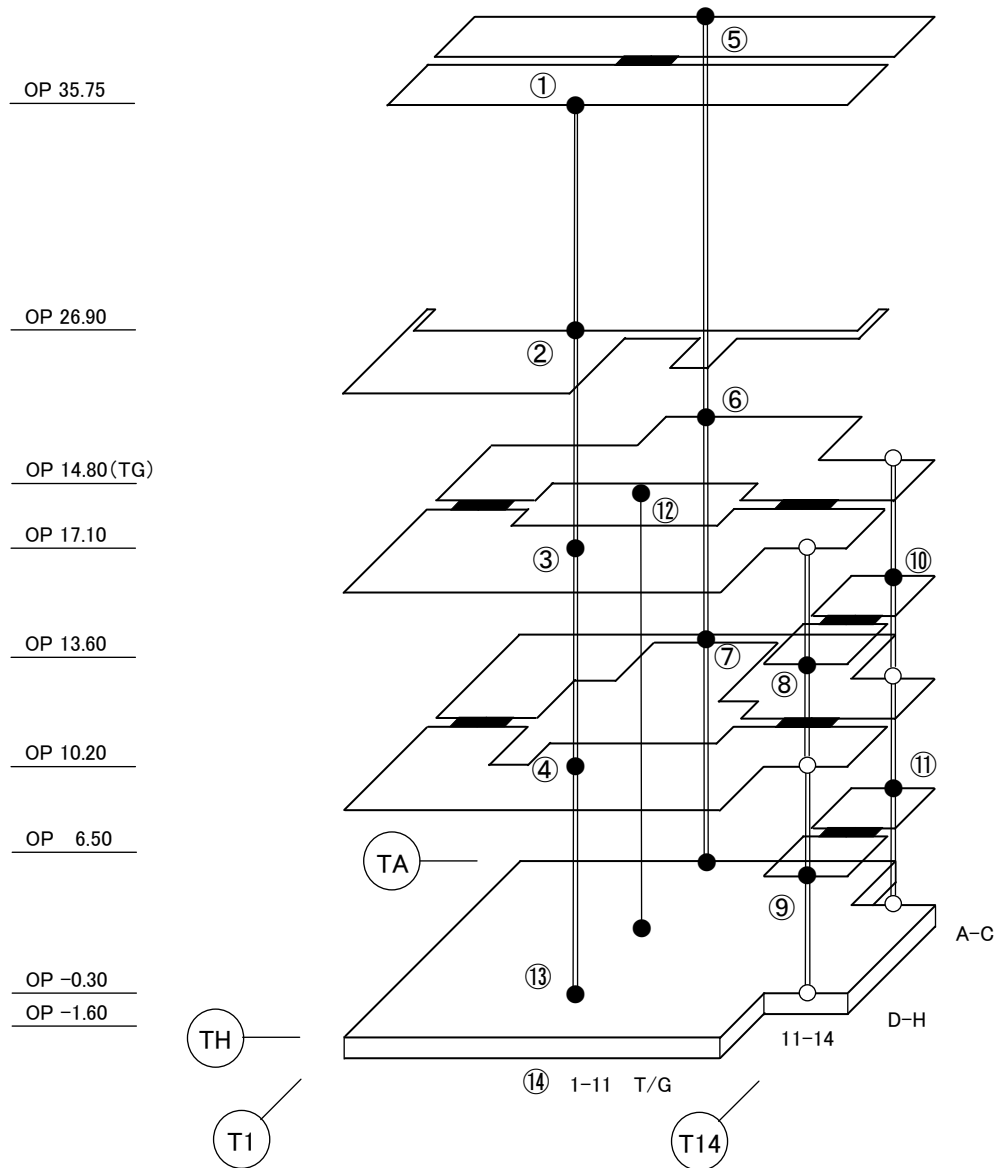


図 3.1.4-1 3号機タービン建屋 地震応答解析モデル (NS 方向)

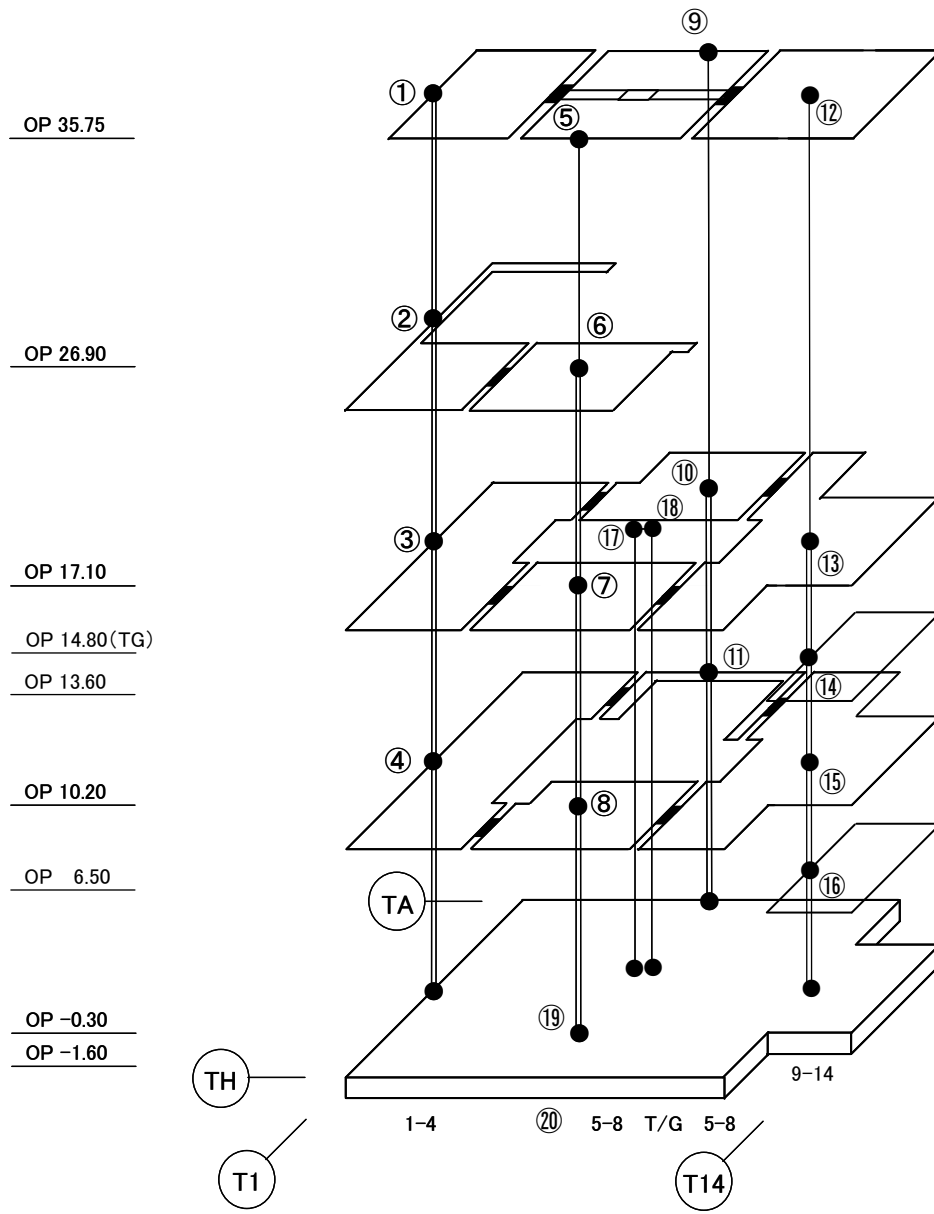


図 3.1.4-2 3号機タービン建屋 地震応答解析モデル (EW 方向)

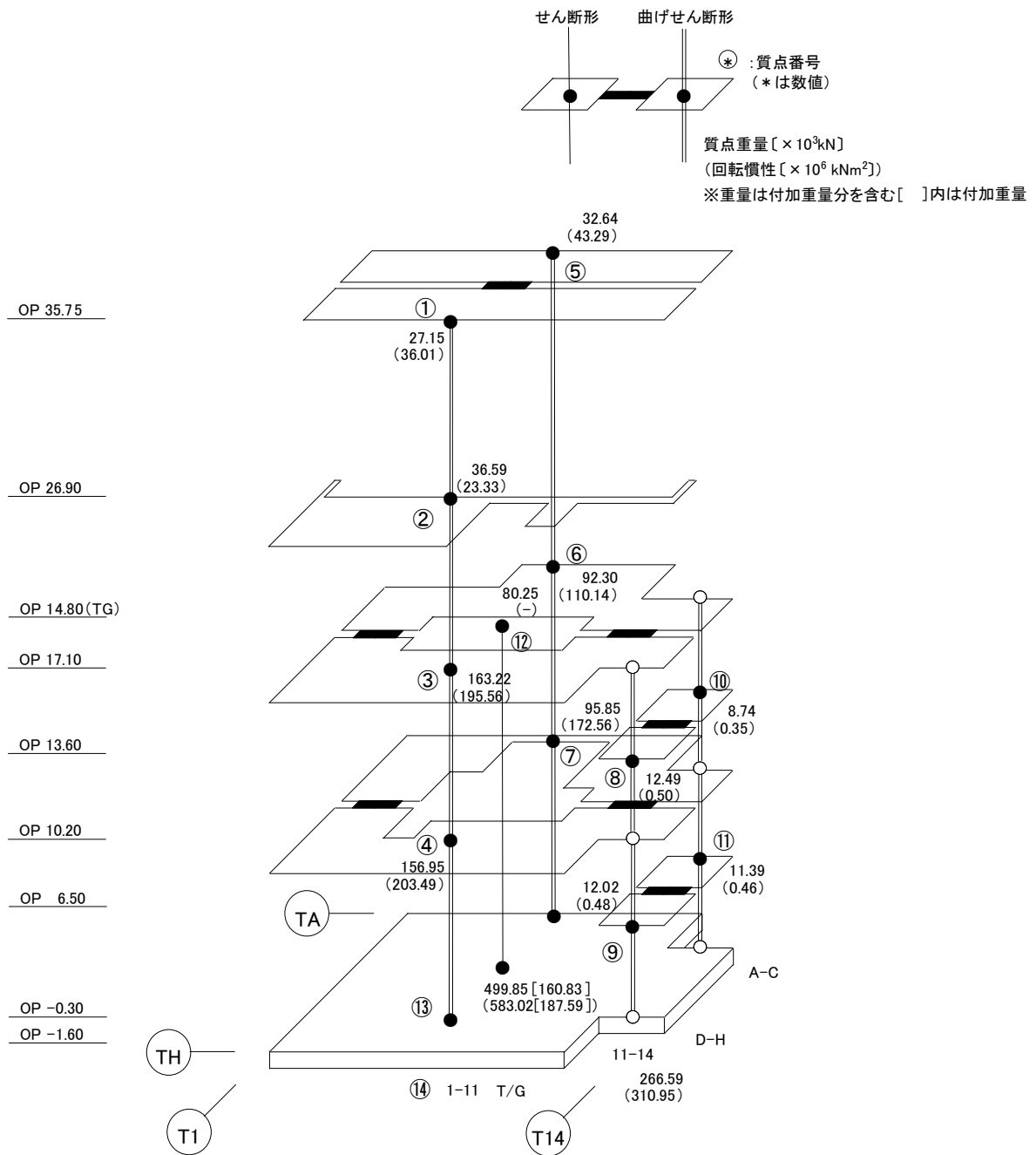
表 3.1.4-1 地震応答解析に用いる物性値

| コンク<br>リート | 強度*1<br>F <sub>c</sub><br>(N/mm <sup>2</sup> ) | ヤング係数*2<br>E<br>(N/mm <sup>2</sup> ) | せん断弾性係数*2<br>G<br>(N/mm <sup>2</sup> ) | ポアソン比<br>ν | 単位体積重量*3<br>γ<br>(kN/m <sup>3</sup> ) |
|------------|--|--------------------------------------|--|------------|---------------------------------------|
|            | 35.0   | 2.57×10 <sup>4</sup>                 | 1.07×10 <sup>4</sup>                   | 0.2        | 24                                    |
| 鉄筋         | SD345相当<br>(SD35)                              |                                      |  |            |                                       |
| 鋼材         | SS400相当<br>(SS41)                              |                                      |  |            |                                       |

\*1：強度は実状に近い強度（以下「実強度」という。）を採用した。実強度の設定は、過去の圧縮強度試験データを収集し試験データのばらつきを考慮し圧縮強度平均値を小さめにまるめた値とした。

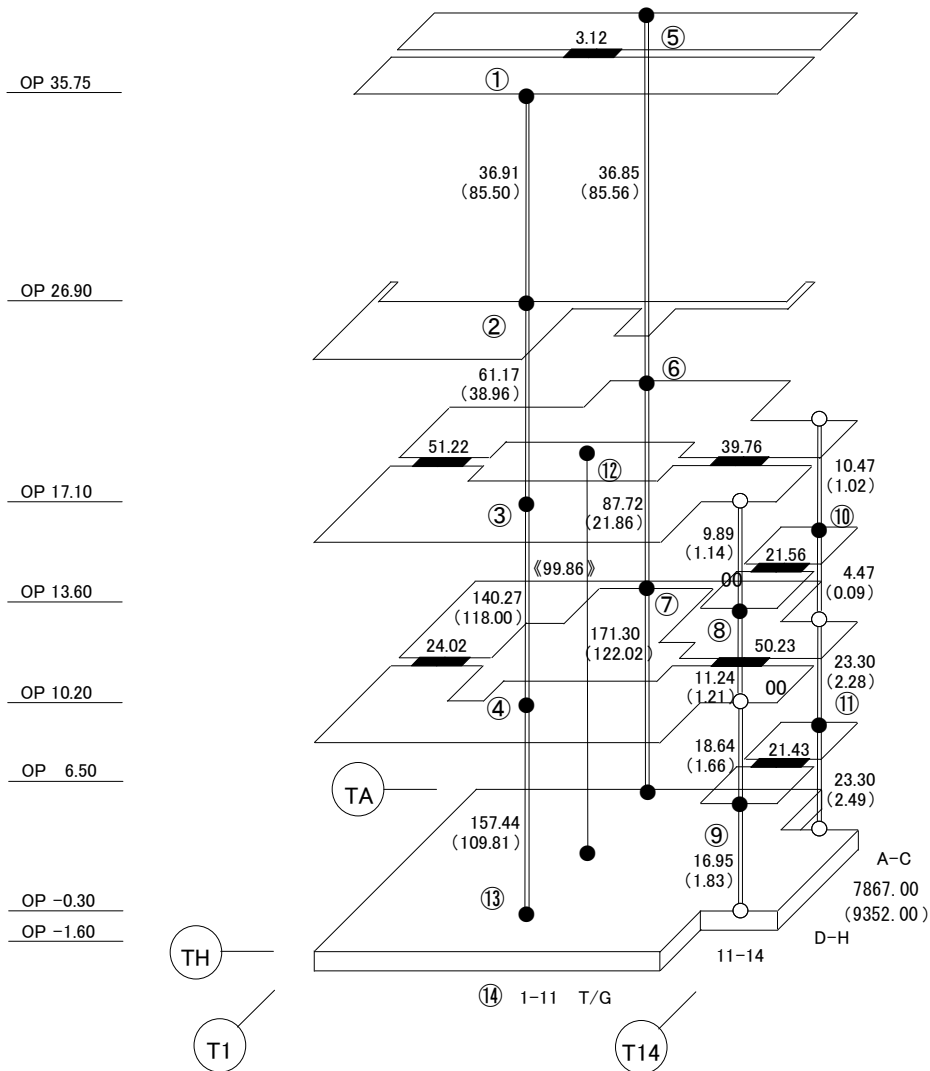
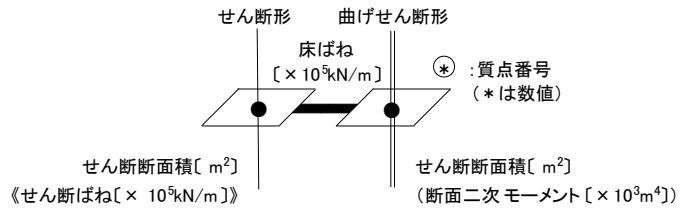
\*2：実強度に基づく値を示す。

\*3：鉄筋コンクリートの値を示す。



総重量 : 1,496,030 kN

図 3.1.4-3 建屋解析モデルの諸元 (重量・回転慣性) (NS 方向)



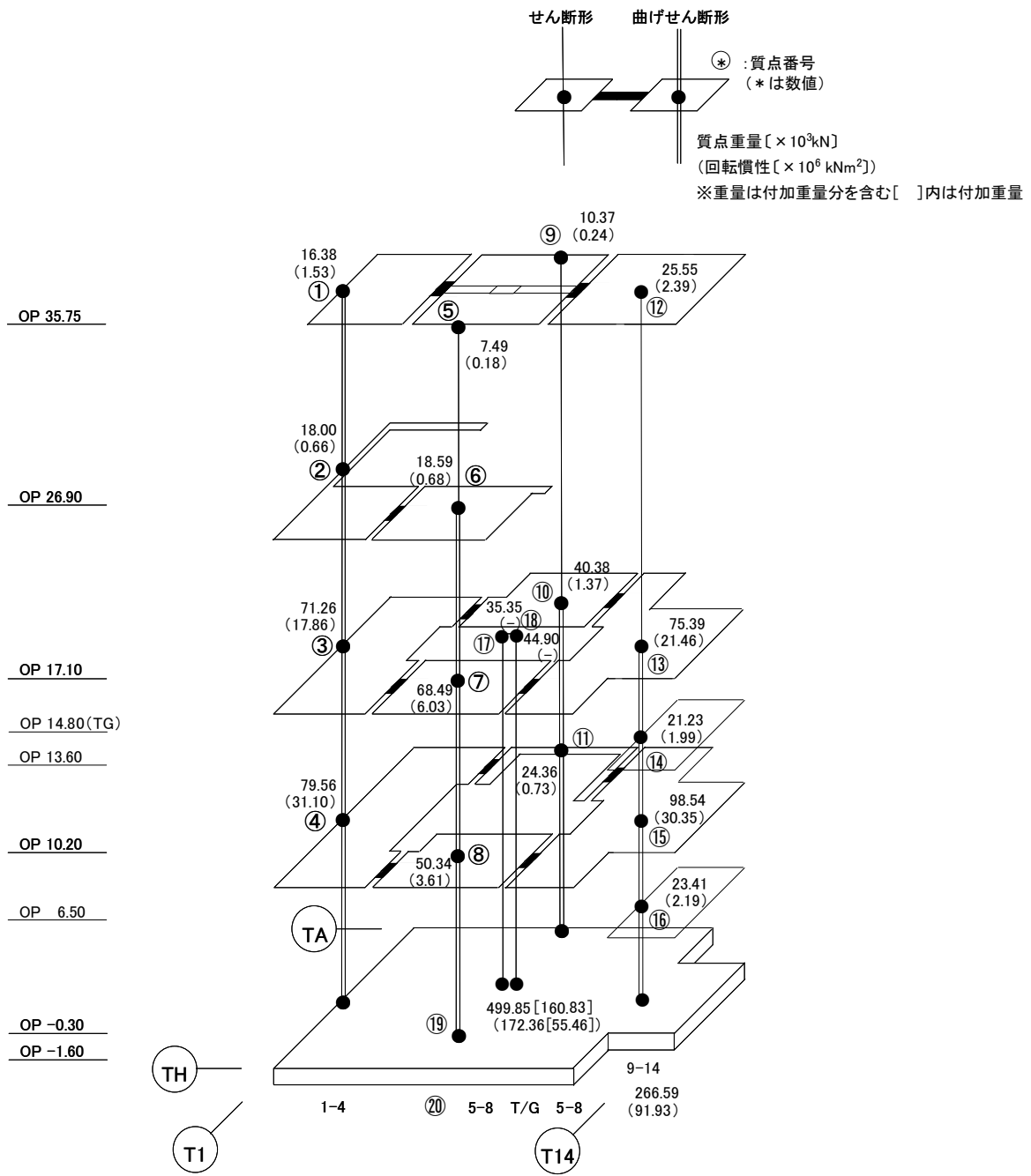
建屋の物性値

ヤング係数 :  $E = 2.57 \times 10^7$  [kN/m<sup>2</sup>] コンクリートの物性

せん断弾性係数 :  $G = 10.7 \times 10^6$  [kN/m<sup>2</sup>] コンクリートの物性

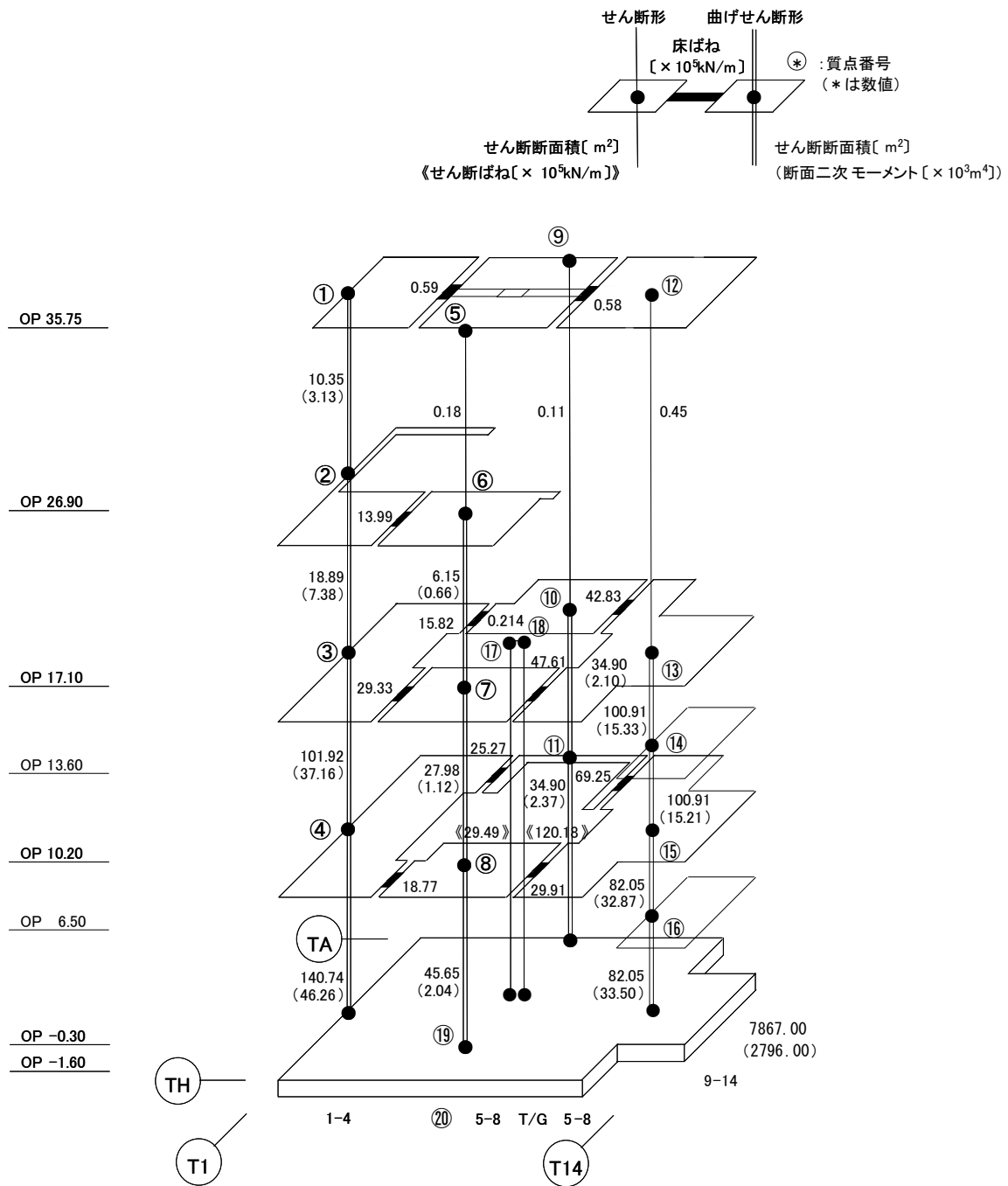
基礎形状 116.38m (NS方向) x 67.60m (EW方向)

図 3.1.4-4 建屋解析モデルの諸元 (剛性) (NS方向)



総重量 : 1,496,030 kN

図 3.1.4-5 建屋解析モデルの諸元 (重量・回転慣性) (EW 方向)



建屋の物性値

ヤング係数 :  $E = 2.57 \times 10^7$  [kN/m<sup>2</sup>] コンクリートの物性  
せん断弾性係数 :  $G = 10.7 \times 10^6$  [kN/m<sup>2</sup>] コンクリートの物性  
基礎形状 116.38m (NS方向) x 67.60m (EW方向)

図 3.1.4-6 建屋解析モデルの諸元 (剛性) (EW方向)

表 3.1.4-2 (1) 地盤定数

(Ss-1)

| 標高<br>O. P.<br>(m) | 地質 | せん断波<br>速度<br>Vs<br>(m/s) | 単位体積<br>重量<br>γ<br>(kN/m <sup>3</sup> ) | ポアソン比<br>ν | せん断<br>弾性係数<br>G<br>(×10 <sup>5</sup> kN/m <sup>2</sup> ) | 初期せん断<br>弾性係数<br>G <sub>0</sub><br>(×10 <sup>5</sup> kN/m <sup>2</sup> ) | 剛性<br>低下率<br>G/G <sub>0</sub> | ヤング<br>係数<br>E<br>(×10 <sup>5</sup> kN/m <sup>2</sup> ) | 減衰<br>定数<br>h<br>(%) | 層厚<br>H<br>(m) |
|--------------------|----|---------------------------|---|------------|---|--|-------------------------------|---|----------------------|----------------|
| 10.0               |    |                           |   |            |   |  |                               |   |                      |                |
| 1.9                | 砂岩 | 380                       | 17.8                                    | 0.473      | 2.23  | 2.62   | 0.85                          | 6.57  | 3                    | 8.1            |
| -10.0              | 泥岩 | 450                       | 16.5                                    | 0.464      | 2.66  | 3.41   | 0.78                          | 7.79  | 3                    | 11.9           |
| -80.0              |    | 500                       | 17.1                                    | 0.455      | 3.40  | 4.36   | 0.78                          | 9.89  | 3                    | 70.0           |
| -108.0             |    | 560                       | 17.6                                    | 0.446      | 4.39  | 5.63   | 0.78                          | 12.70   | 3                    | 28.0           |
| -196.0             |    | 600                       | 17.8                                    | 0.442      | 5.09  | 6.53   | 0.78                          | 14.68   | 3                    | 88.0           |
|                    |    | (解放基盤)                    | 700                                     | 18.5       | 0.421   | 9.24   | 9.24                          | 1.00  | 26.26                | -              |

表 3.1.4-2 (2) 地盤定数

(Ss-2)

| 標高<br>O. P.<br>(m) | 地質 | せん断波<br>速度<br>Vs<br>(m/s) | 単位体積<br>重量<br>γ<br>(kN/m <sup>3</sup> ) | ポアソン比<br>ν | せん断<br>弾性係数<br>G<br>(×10 <sup>5</sup> kN/m <sup>2</sup> ) | 初期せん断<br>弾性係数<br>G <sub>0</sub><br>(×10 <sup>5</sup> kN/m <sup>2</sup> ) | 剛性<br>低下率<br>G/G <sub>0</sub> | ヤング<br>係数<br>E<br>(×10 <sup>5</sup> kN/m <sup>2</sup> ) | 減衰<br>定数<br>h<br>(%) | 層厚<br>H<br>(m) |
|--------------------|----|---------------------------|---|------------|---|--|-------------------------------|---|----------------------|----------------|
| 10.0               |    |                           |   |            |   |  |                               |   |                      |                |
| 1.9                | 砂岩 | 380                       | 17.8                                    | 0.473      | 2.23  | 2.62   | 0.85                          | 6.57  | 3                    | 8.1            |
| -10.0              | 泥岩 | 450                       | 16.5                                    | 0.464      | 2.76  | 3.41   | 0.81                          | 8.08  | 3                    | 11.9           |
| -80.0              |    | 500                       | 17.1                                    | 0.455      | 3.53  | 4.36   | 0.81                          | 10.27   | 3                    | 70.0           |
| -108.0             |    | 560                       | 17.6                                    | 0.446      | 4.56  | 5.63   | 0.81                          | 13.19   | 3                    | 28.0           |
| -196.0             |    | 600                       | 17.8                                    | 0.442      | 5.29  | 6.53   | 0.81                          | 15.26   | 3                    | 88.0           |
|                    |    | (解放基盤)                    | 700                                     | 18.5       | 0.421   | 9.24   | 9.24                          | 1.00  | 26.26                | -              |



表 3.1.4-2 (3) 地盤定数

(Ss-3)

| 標高<br>O. P.<br>(m) | 地質 | せん断波<br>速度<br>Vs<br>(m/s) | 単位体積<br>重量<br>$\gamma$<br>(kN/m <sup>3</sup> ) | ポアソン比<br>$\nu$ | せん断<br>弾性係数<br>G<br>( $\times 10^5$ kN/m <sup>2</sup> ) | 初期せん断<br>弾性係数<br>G <sub>0</sub><br>( $\times 10^5$ kN/m <sup>2</sup> ) | 剛性<br>低下率<br>G/G <sub>0</sub> | ヤング<br>係数<br>E<br>( $\times 10^5$ kN/m <sup>2</sup> ) | 減衰<br>定数<br>h<br>(%) | 層厚<br>H<br>(m) |
|--------------------|----|---------------------------|--|----------------|---|--|-------------------------------|---|----------------------|----------------|
| 10.0               |    |                           |  |                |   |  |                               |   |                      |                |
| 1.9                | 砂岩 | 380                       | 17.8   | 0.473          | 2.25  | 2.62   | 0.86                          | 6.63  | 3                    | 8.1            |
| -10.0              | 泥岩 | 450                       | 16.5   | 0.464          | 2.66  | 3.41   | 0.78                          | 7.79  | 3                    | 11.9           |
| -80.0              |    | 500                       | 17.1   | 0.455          | 3.40  | 4.36   | 0.78                          | 9.89  | 3                    | 70.0           |
| -108.0             |    | 560                       | 17.6   | 0.446          | 4.39  | 5.63   | 0.78                          | 12.70   | 3                    | 28.0           |
| -196.0             |    | 600                       | 17.8   | 0.442          | 5.09  | 6.53   | 0.78                          | 14.68   | 3                    | 88.0           |
|                    |    | (解放基盤)                    | 700  | 18.5           | 0.421   | 9.24   | 9.24                          | 1.00  | 26.26                | -              |

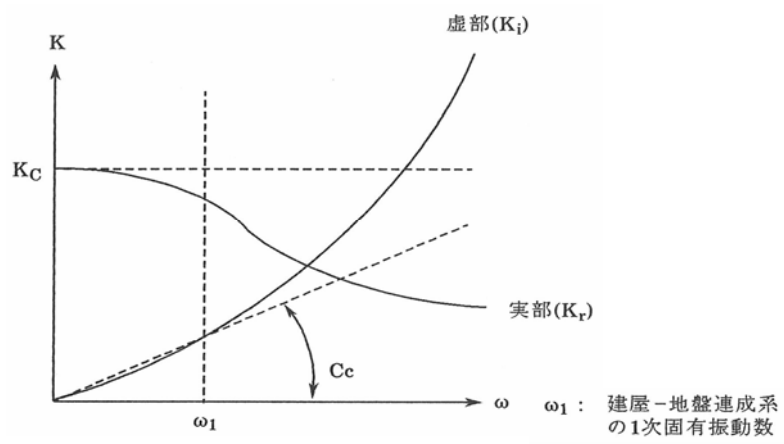


図 3.1.4-7 地盤ばねの近似

### 3.1.5 地震応答解析結果

地震応答解析により求められた NS 方向, EW 方向の最大応答加速度を, 滞留水を未考慮の場合と比較して, 図 3.1.5-1～図 3.1.5-6 に示す。

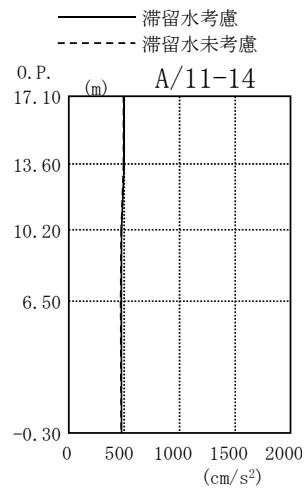
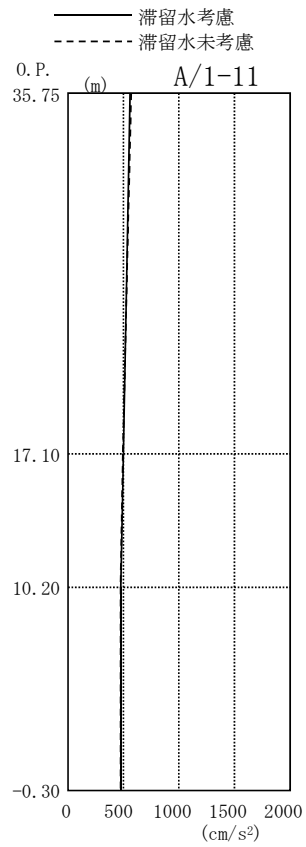
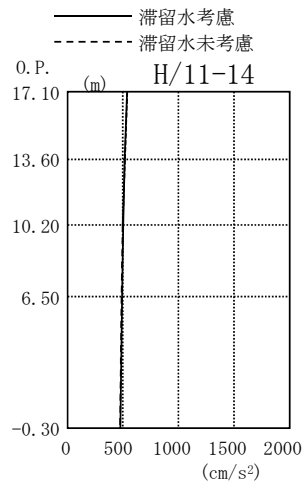
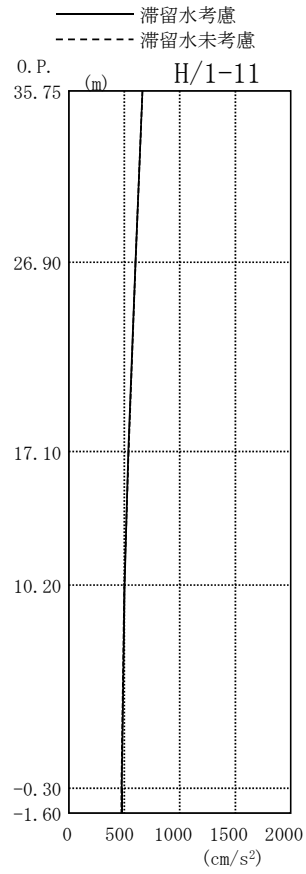


図 3.1.5-1 最大応答加速度 (NS 方向・S<sub>S</sub>-1H)

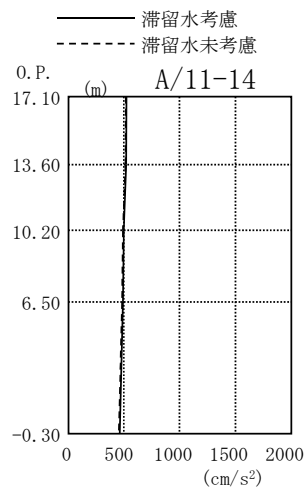
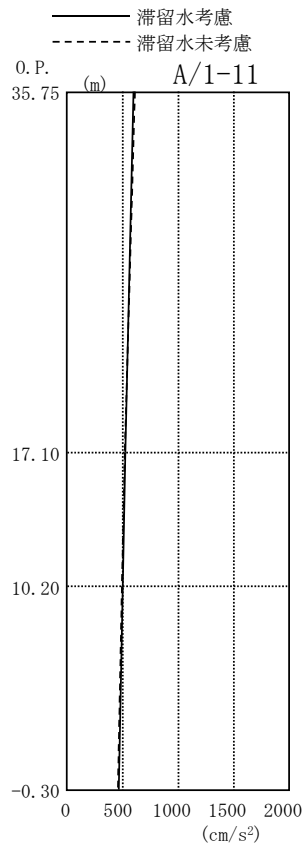
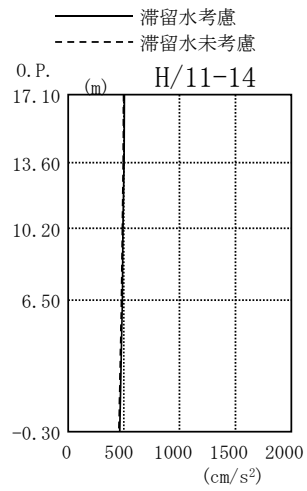
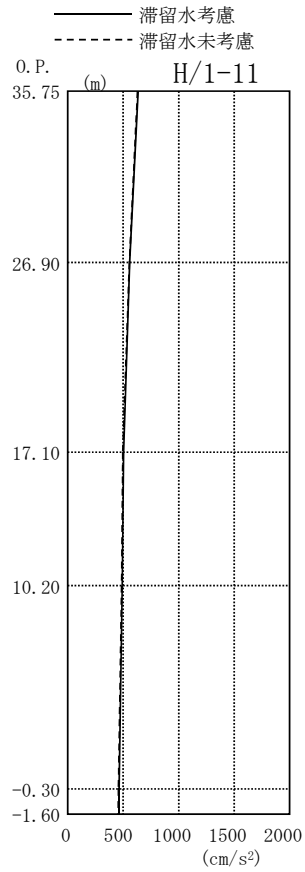


图 3.1.5-2 最大応答加速度 (NS 方向・Ss-2H)

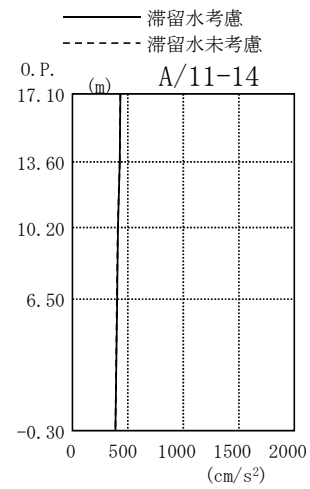
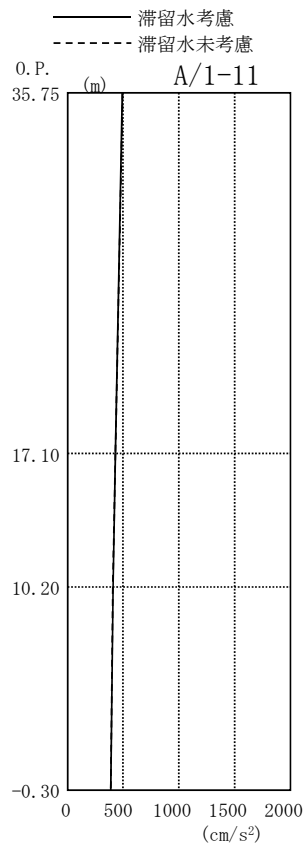
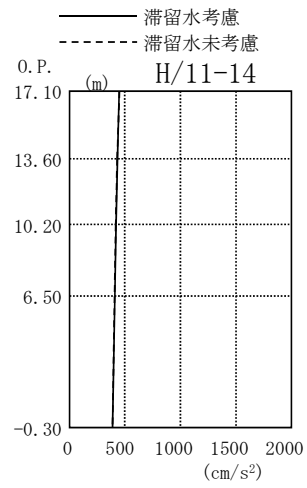
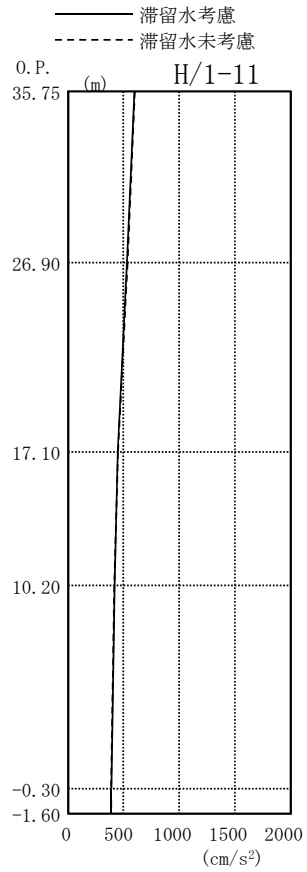


图 3.1.5-3 最大応答加速度 (NS 方向・Ss-3H)

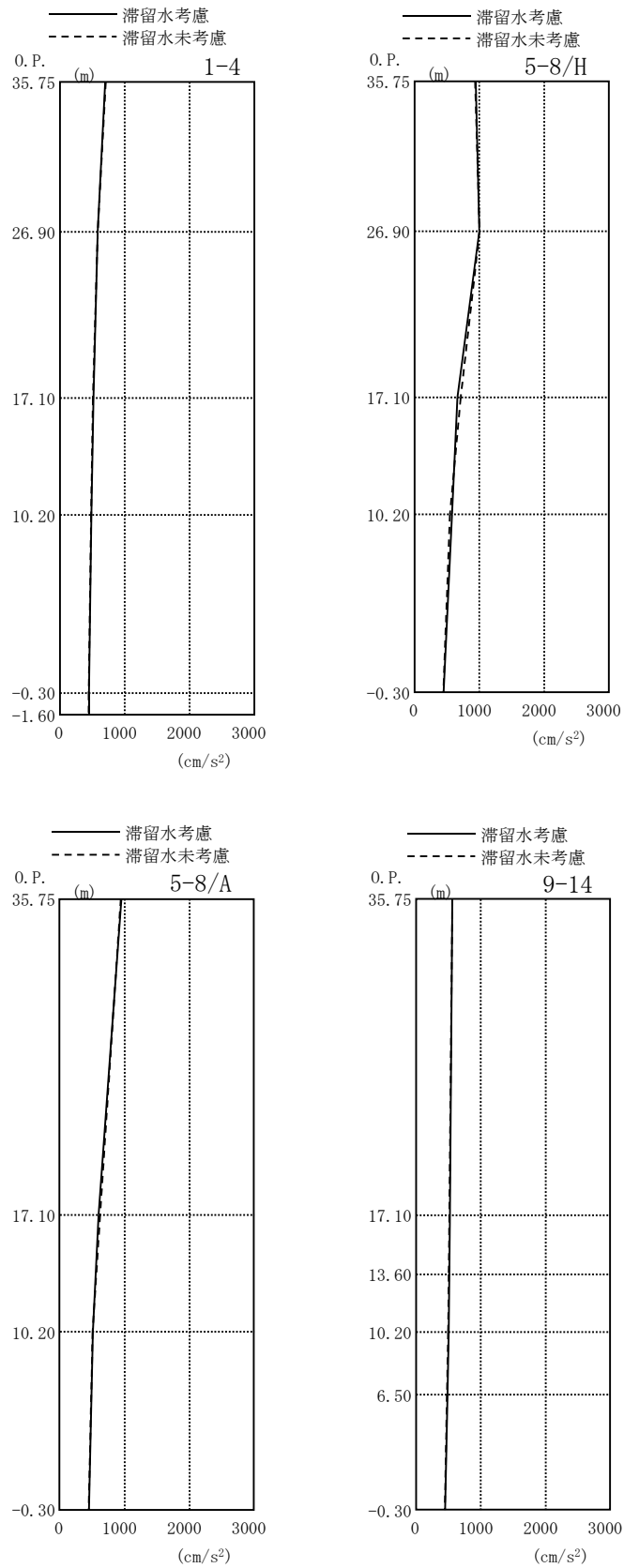


图 3.1.5-4 最大応答加速度 (EW 方向・Ss-1H)

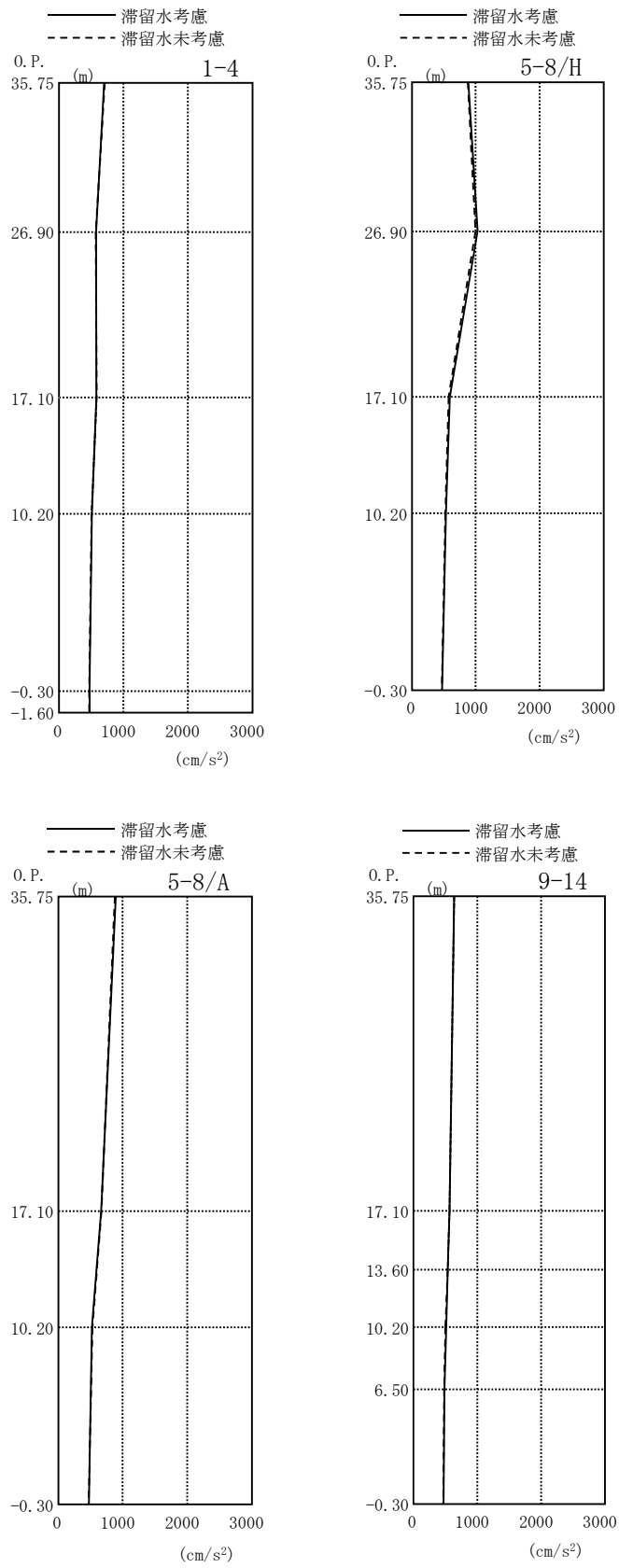


图 3.1.5-5 最大応答加速度 (EW 方向・Ss-2H)



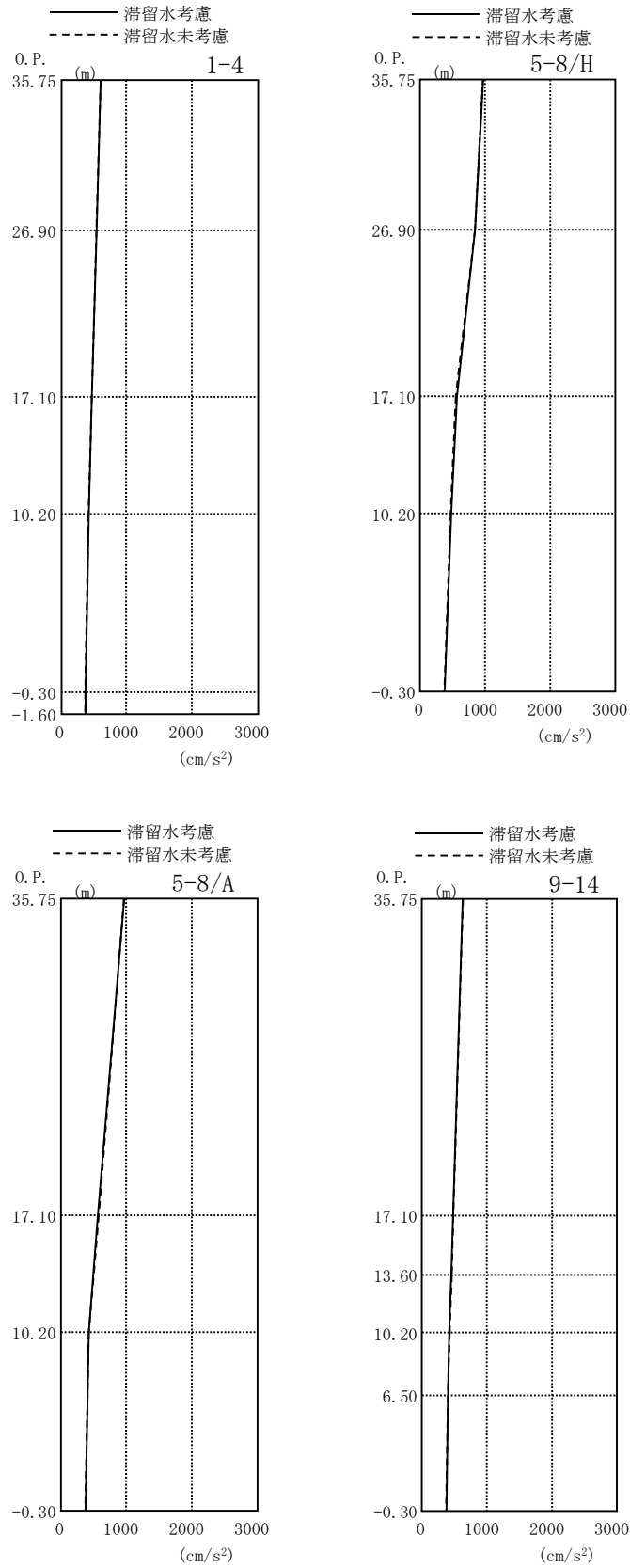


图 3.1.5-6 最大応答加速度 (EW 方向・SS-3H)

### 3.1.6 耐震安全性評価結果

地震応答解析により得られた地下耐震壁のせん断ひずみ一覧を、滞留水を未考慮の場合と比較して、表 3.1.6-1 及び表 3.1.6-2 に示す。また、図 3.1.6-1 及び図 3.1.6-2 に基準地震動  $S_s$  に対する最大応答値を、滞留水を未考慮の場合と比較して、耐震壁のスケルトン曲線上に示す。せん断ひずみは、滞留水を考慮した場合でも、最大で  $0.15 \times 10^{-3}$  であり、評価基準値 ( $4.0 \times 10^{-3}$ ) に対して十分余裕がある。なお、スケルトン曲線は、建屋の方向別に、層を単位とした水平断面形状より「JEAG4601-1991」に基づいて設定したものである。

以上のことから、3号機タービン建屋の耐震安全性は確保されているものと評価した。

表 3.1.6-1 耐震壁のせん断ひずみ一覧 (NS 方向)

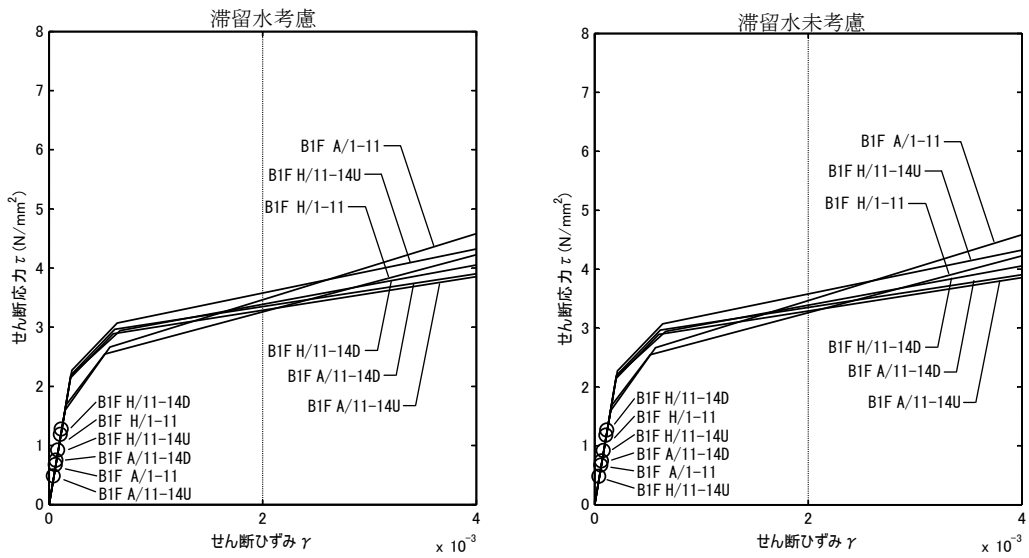
(単位： $\times 10^{-3}$ )

| 階   | 通り      | O.P.        | S <sub>s</sub> -1H |      | S <sub>s</sub> -2H |      | S <sub>s</sub> -3H |      | 評価基準   |      |
|-----|---------|-------------|--------------------|------|--------------------|------|--------------------|------|--------|------|
|     |         |             | 滞留水                |      | 滞留水                |      | 滞留水                |      |        |      |
|     |         |             | 考慮                 | 未考慮  | 考慮                 | 未考慮  | 考慮                 | 未考慮  |        |      |
| B1F | H/1-11  | 10.20~-0.30 | 0.11               | 0.11 | 0.11               | 0.11 | 0.10               | 0.10 | 4.0 以下 |      |
|     | H/11-14 | U           | 10.20~6.50         | 0.09 | 0.09               | 0.08 | 0.08               | 0.08 |        | 0.08 |
|     |         | D           | 6.50~-0.30         | 0.12 | 0.12               | 0.12 | 0.12               | 0.11 |        | 0.11 |
|     | A/1-11  | 10.20~-0.30 | 0.07               | 0.07 | 0.07               | 0.07 | 0.06               | 0.06 |        |      |
|     | A/11-14 | U           | 10.20~6.50         | 0.05 | 0.05               | 0.05 | 0.05               | 0.04 |        | 0.04 |
|     |         | D           | 6.50~-0.30         | 0.07 | 0.07               | 0.08 | 0.07               | 0.06 |        | 0.06 |

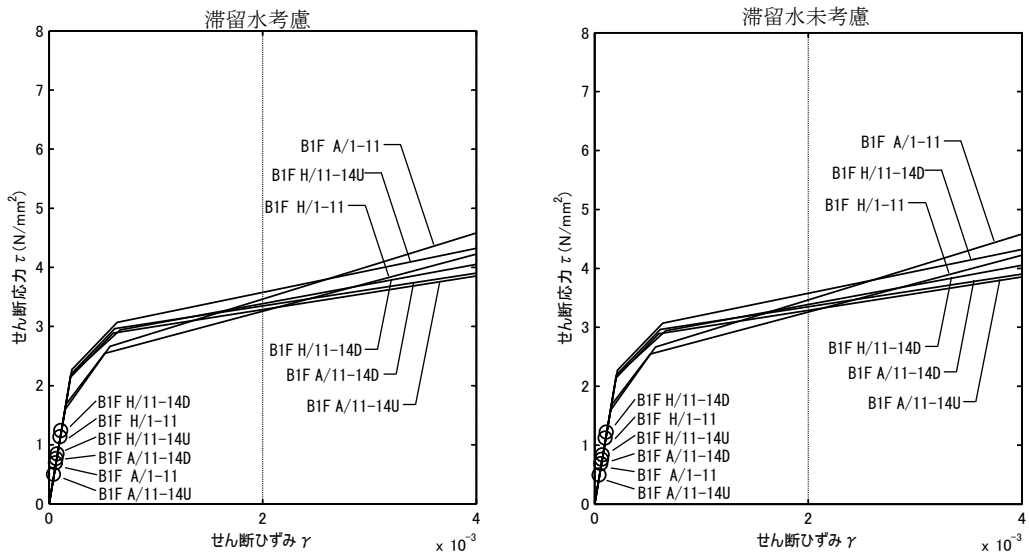
表 3.1.6-2 耐震壁のせん断ひずみ一覧 (EW 方向)

(単位： $\times 10^{-3}$ )

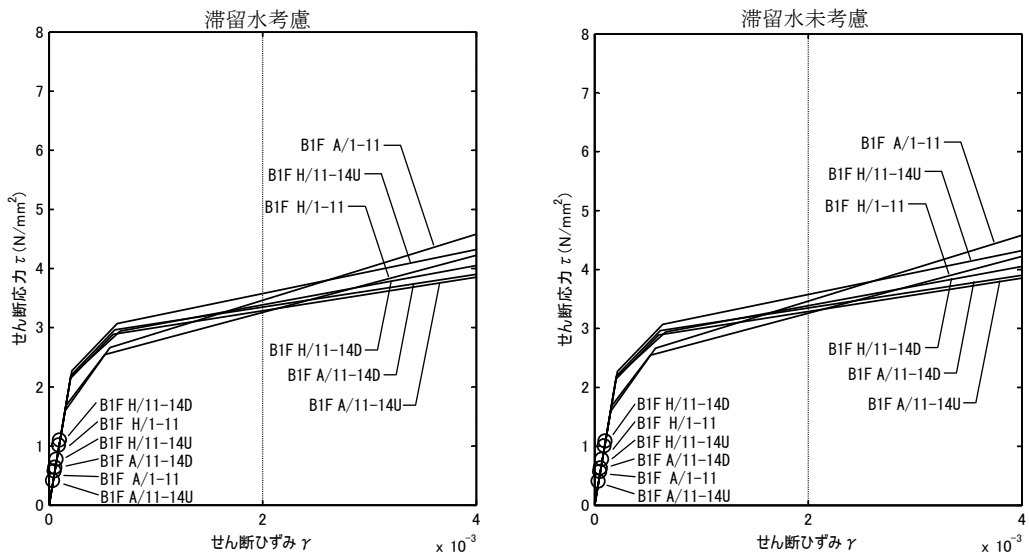
| 階   | 通り    | O.P.        | S <sub>s</sub> -1H |      | S <sub>s</sub> -2H |      | S <sub>s</sub> -3H |      | 評価基準   |      |
|-----|-------|-------------|--------------------|------|--------------------|------|--------------------|------|--------|------|
|     |       |             | 滞留水                |      | 滞留水                |      | 滞留水                |      |        |      |
|     |       |             | 考慮                 | 未考慮  | 考慮                 | 未考慮  | 考慮                 | 未考慮  |        |      |
| B1F | 1-4   | 10.20~-0.30 | 0.09               | 0.09 | 0.08               | 0.08 | 0.08               | 0.07 | 4.0 以下 |      |
|     | 5-8/H | 10.20~-0.30 | 0.09               | 0.10 | 0.09               | 0.09 | 0.08               | 0.08 |        |      |
|     | 5-8/A | 10.20~-0.30 | 0.09               | 0.09 | 0.10               | 0.10 | 0.08               | 0.08 |        |      |
|     | 9-14  | U           | 10.20~6.50         | 0.13 | 0.13               | 0.14 | 0.13               | 0.11 |        | 0.11 |
|     |       | D           | 6.50~-0.30         | 0.14 | 0.14               | 0.15 | 0.15               | 0.12 |        | 0.12 |



(Ss-1H)

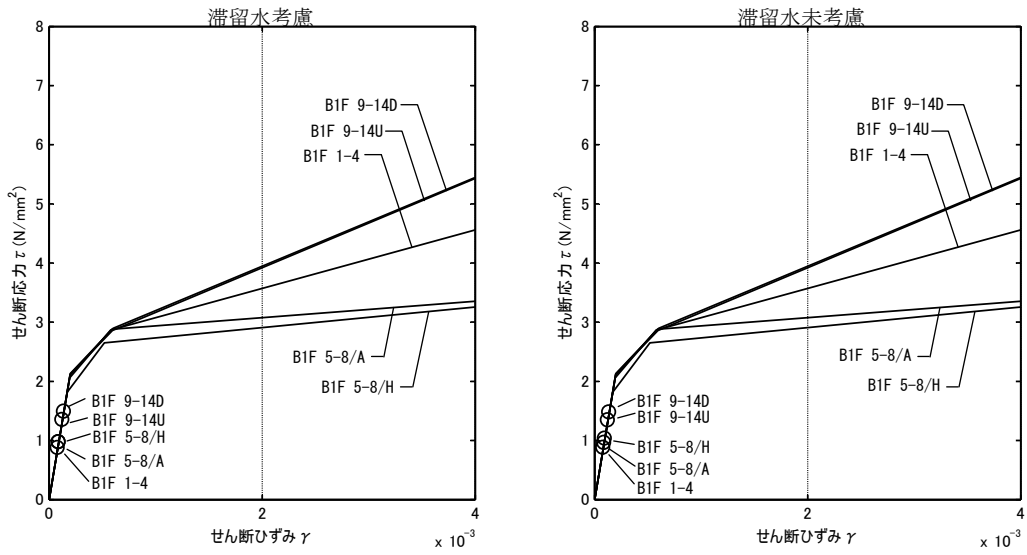


(Ss-2H)

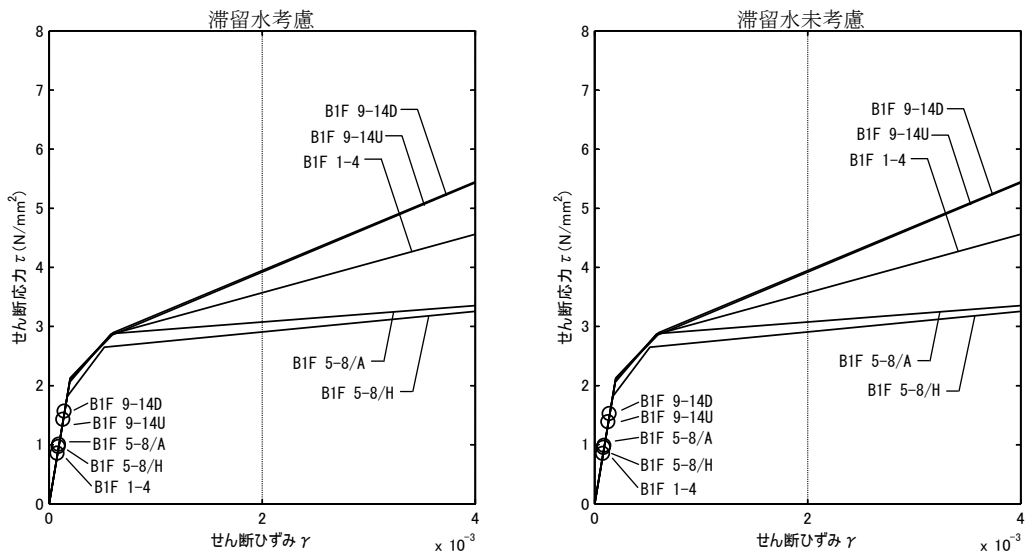


(Ss-3H)

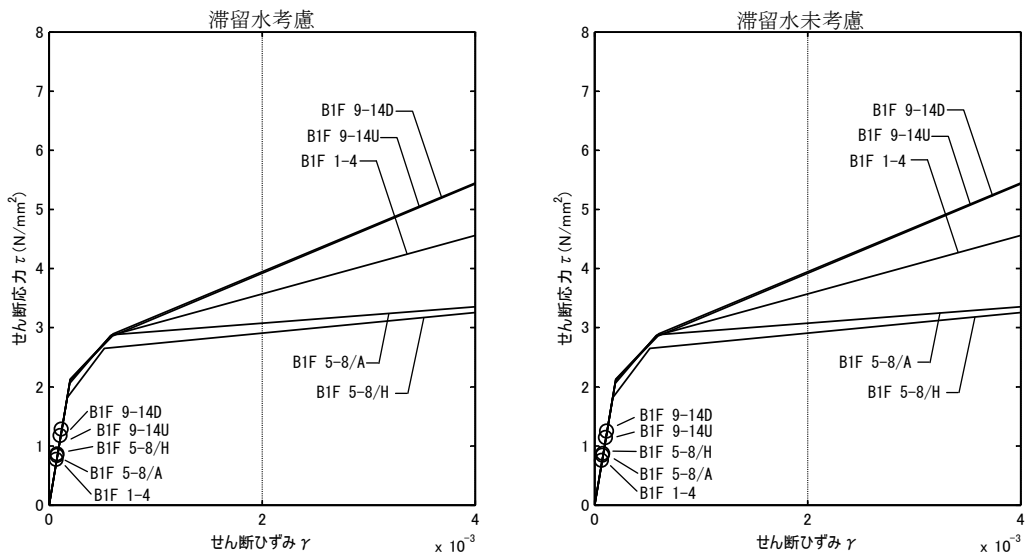
図 3. 1. 6-1 耐震壁のせん断ひずみ (NS 方向)



(Ss-1H)



(Ss-2H)



(Ss-3H)

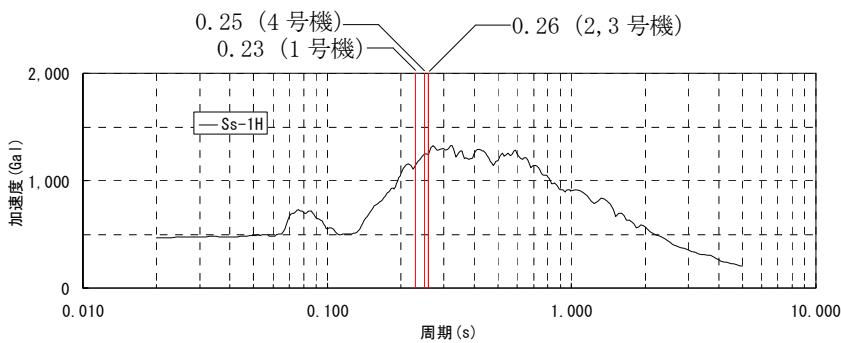
図 3.1.6-2 耐震壁のせん断ひずみ (EW 方向)

### 3.2 代表号機以外の検討

滞留水による影響を確認するため、滞留水量が最大であり重量変動が最も大きくなる3号機タービン建屋を代表号機として耐震安全性評価を行った結果、滞留水を考慮しても地下外壁の耐震安全性については十分余裕があることを確認している。

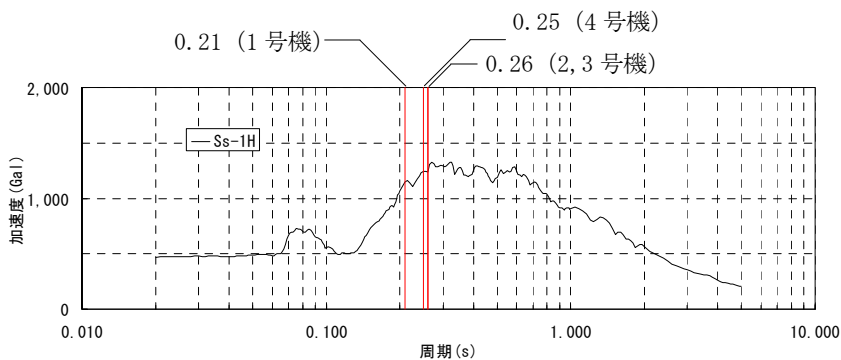
また、タービン建屋は、各号機の機能は同じであることから、構造形式および形状は各号機で同様となっている。各号機のタービン建屋の固有周期を比較した場合、一次固有周期はNS方向で0.23～0.26秒、EW方向で0.21～0.26秒となり、各号機の振動性状に顕著な差はみられない。

代表号機の基礎下の入力動の応答スペクトルに各建屋の一次固有周期を重ね描きしたもの、および代表号機の地下外壁の最大応答せん断ひずみに、代表号機の入力動の応答スペクトルにおける代表号機の一次固有周期の応答加速度 $\alpha_{T1}$ と各号機の一次固有周期の応答加速度 $\alpha_{T1}$ の比 $\alpha_{amp}$ を乗じた $\gamma_{resp}$ を図3.2-1～図3.2-3に示す。 $\gamma_{resp}$ は各号機ともに評価基準値 $4 \times 10^{-3}$ に対して十分に小さいことから、代表号機以外についても地下外壁の耐震安全性は確保されているといえる。



| 号機 | 一次固有周期<br>T1<br>(sec) | 応答<br>加速度<br>$\alpha_{T1}$<br>(Gal) | 応答<br>加速度比<br>$\alpha_{amp}$ | $\gamma_{resp}$<br>( $\times 10^{-3}$ ) |
|----|-----------------------|-------------------------------------|------------------------------|---|
| #1 | 0.23                  | 1,139                               | 0.92                         | 0.11                                    |
| #2 | 0.26                  | 1,238                               | 1.00                         | 0.12                                    |
| #3 | 0.26                  | 1,238                               | —                            | 0.12                                    |
| #4 | 0.25                  | 1,247                               | 1.01                         | 0.13                                    |

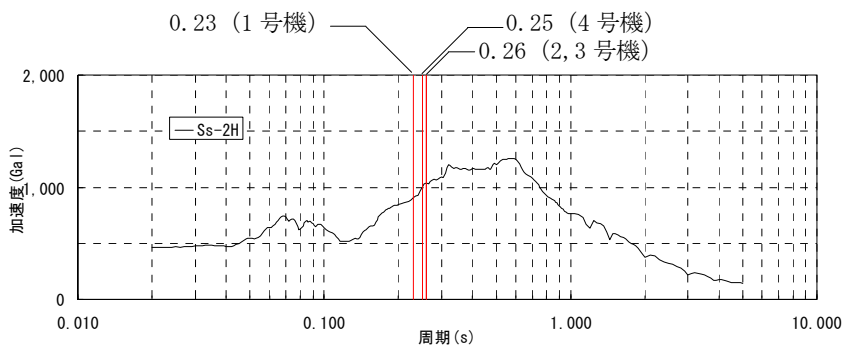
(タービン建屋 NS 方向)



| 号機 | 一次固有周期<br>T1<br>(sec) | 応答<br>加速度<br>$\alpha_{T1}$<br>(Gal) | 応答<br>加速度比<br>$\alpha_{amp}$ | $\gamma_{resp}$<br>( $\times 10^{-3}$ ) |
|----|-----------------------|-------------------------------------|------------------------------|---|
| #1 | 0.21                  | 1,150                               | 0.93                         | 0.13                                    |
| #2 | 0.26                  | 1,238                               | 1.00                         | 0.14                                    |
| #3 | 0.26                  | 1,238                               | —                            | 0.14                                    |
| #4 | 0.25                  | 1,247                               | 1.01                         | 0.15                                    |

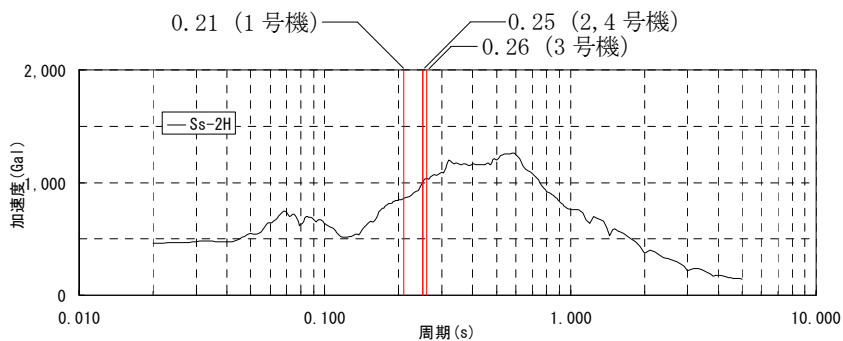
(タービン建屋 EW 方向)

図 3.2-1 代表号機の基礎下の入力動の応答スペクトルと各建屋の一次固有周期 (Ss-1H)



| 号機 | 一次固有<br>周期<br>T1<br>(sec) | 応答<br>加速度<br>$\alpha_{T1}$<br>(Gal) | 応答<br>加速度比<br>$\alpha_{amp}$ | $\gamma_{resp}$<br>( $\times 10^{-3}$ ) |
|----|---------------------------|-------------------------------------|------------------------------|---|
| #1 | 0.23                      | 909                                 | 0.88                         | 0.11                                    |
| #2 | 0.26                      | 1,038                               | 1.00                         | 0.12                                    |
| #3 | 0.26                      | 1,038                               | —                            | 0.12                                    |
| #4 | 0.25                      | 1,000                               | 0.96                         | 0.12                                    |

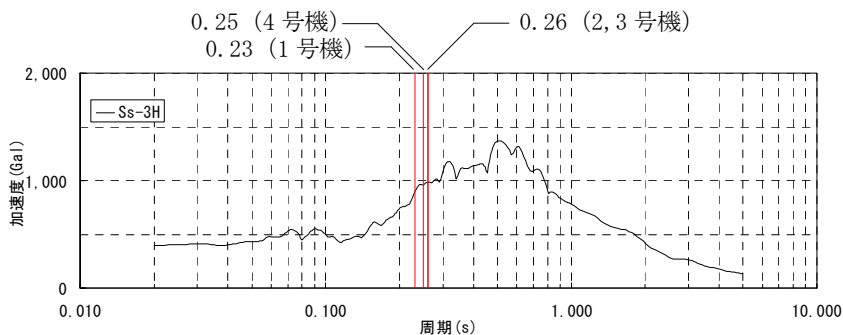
(タービン建屋 NS 方向)



| 号機 | 一次固有<br>周期<br>T1<br>(sec) | 応答<br>加速度<br>$\alpha_{T1}$<br>(Gal) | 応答<br>加速度比<br>$\alpha_{amp}$ | $\gamma_{resp}$<br>( $\times 10^{-3}$ ) |
|----|---------------------------|-------------------------------------|------------------------------|---|
| #1 | 0.21                      | 860                                 | 0.83                         | 0.13                                    |
| #2 | 0.25                      | 1,000                               | 0.96                         | 0.15                                    |
| #3 | 0.26                      | 1,038                               | —                            | 0.15                                    |
| #4 | 0.25                      | 1,000                               | 0.96                         | 0.15                                    |

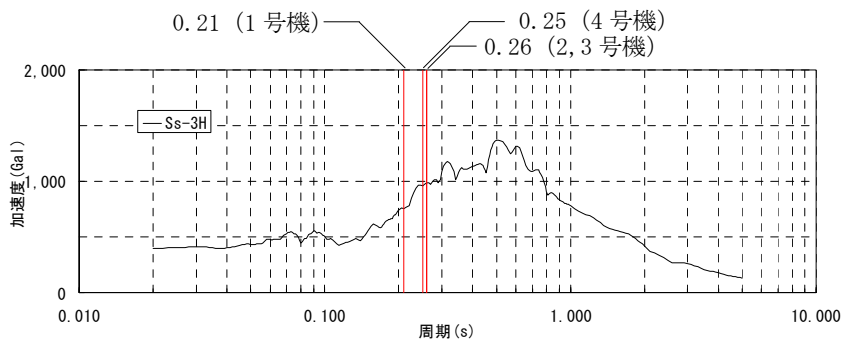
(タービン建屋 EW 方向)

図 3.2-2 代表号機の基礎下の入力動の応答スペクトルと各建屋の一次固有周期 (Ss-2H)



| 号機 | 一次固有<br>周期<br>T1<br>(sec) | 応答<br>加速度<br>$\alpha_{T1}$<br>(Gal) | 応答<br>加速度比<br>$\alpha_{amp}$ | $\gamma_{resp}$<br>( $\times 10^{-3}$ ) |
|----|---------------------------|-------------------------------------|------------------------------|---|
| #1 | 0.23                      | 898                                 | 0.91                         | 0.10                                    |
| #2 | 0.26                      | 984                                 | 1.00                         | 0.11                                    |
| #3 | 0.26                      | 984                                 | —                            | 0.11                                    |
| #4 | 0.25                      | 959                                 | 0.97                         | 0.11                                    |

(タービン建屋 NS 方向)



| 号機 | 一次固有<br>周期<br>T1<br>(sec) | 応答<br>加速度<br>$\alpha_{T1}$<br>(Gal) | 応答<br>加速度比<br>$\alpha_{amp}$ | $\gamma_{resp}$<br>( $\times 10^{-3}$ ) |
|----|---------------------------|-------------------------------------|------------------------------|---|
| #1 | 0.21                      | 757                                 | 0.77                         | 0.10                                    |
| #2 | 0.26                      | 984                                 | 1.00                         | 0.12                                    |
| #3 | 0.26                      | 984                                 | —                            | 0.12                                    |
| #4 | 0.25                      | 959                                 | 0.97                         | 0.12                                    |

(タービン建屋 EW 方向)

図 3.2-3 代表号機の基礎下の入力動の応答スペクトルと各建屋の一次固有周期 (Ss-3H)

表 3.2-1 タービン建屋の形状・一次固有周期・滞留水量の比較

|                        |     | 1号機タービン建屋 | 2号機タービン建屋 | 3号機タービン建屋 (代表号機) | 4号機タービン建屋 |      |
|------------------------|-----|-----------|-----------|------------------|-----------|------|
| 平面図                    |     |           |           |                  |           |      |
| N S 方向断面               |     |           |           |                  |           |      |
| E W 方向断面               |     |           |           |                  |           |      |
| 一次固有周期 (s)             | N S | Ss-1H     | 0.23      | 0.26             | 0.26      | 0.25 |
|                        |     | Ss-2H     | 0.23      | 0.26             | 0.26      | 0.25 |
|                        |     | Ss-3H     | 0.23      | 0.26             | 0.26      | 0.25 |
|                        | E W | Ss-1H     | 0.21      | 0.26             | 0.26      | 0.25 |
|                        |     | Ss-2H     | 0.21      | 0.25             | 0.26      | 0.25 |
|                        |     | Ss-3H     | 0.21      | 0.26             | 0.26      | 0.25 |
| 滞留水量 (m <sup>3</sup> ) |     | 9,600     | 13,500    | 16,400           | 12,800    |      |
| 同一レベルの貯留比率※            |     | B1F:0.330 | B1F:0.313 | B1F:0.370        | B1F:0.285 |      |

※同一レベルの滞留水重量と質点重量の比率

## 4 廃棄物処理建屋

### 4.1 4号機廃棄物処理建屋（代表号機）

#### 4.1.1 解析評価方針

廃棄物処理建屋の地下滞留水を考慮した耐震安全性評価は、基準地震動  $S_s$  を用いた地震応答解析によることを基本とし、建物・構築物や地盤の応答性状を適切に表現できるモデルを設定した上で行う。

廃棄物処理建屋については地下滞留水量が最大となる代表号機を選定する。

解析モデルは、地下1階から地上3階に設置された機器を含む建屋全域をNS、EW方向とも多軸質点系モデルとする。

地下階への滞留水の付加重量は建屋外形寸法・建屋内部の壁厚・機器容積から体積を算定し、保守的にその全てを固定水として評価する。

地下耐震壁の評価は、地震応答解析により得られた該当部位の最大せん断ひずみが、評価基準値 ( $4.0 \times 10^{-3}$ ) を超えないことを確認することとする。

廃棄物処理建屋の地震応答解析の評価手順例を、図 4.1.1-1 に示す。



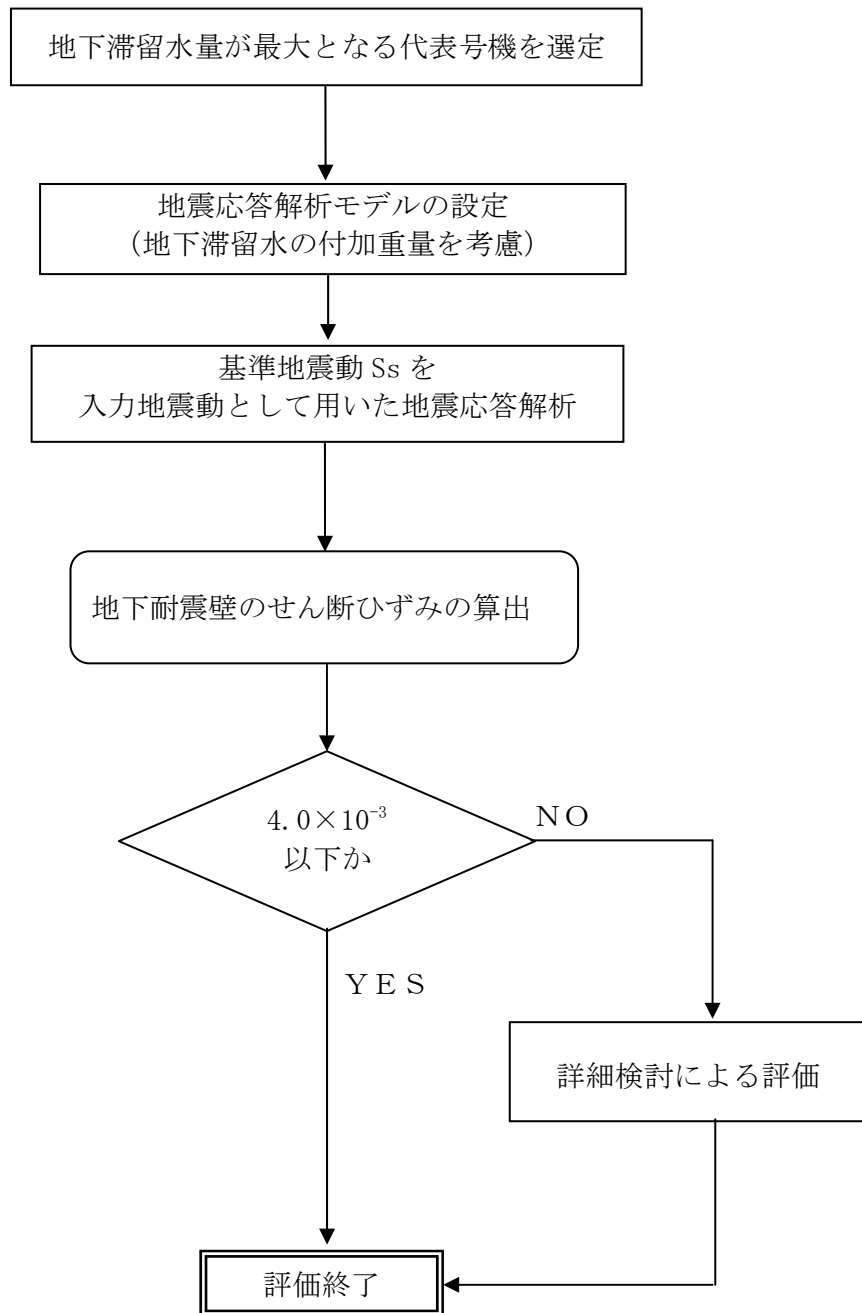


図 4.1.1-1 廃棄物処理建屋の地震応答解析の評価手順例

#### 4.1.2 代表号機の選定

廃棄物処理建屋の満水状態の水位及び地下滞留水量を表 4.1.2-1 に示す。表 4.1.2-1 より、貯水量の最も多い 4 号機を代表号機と選定する。

表 4.1.2-1 廃棄物処理建屋の満水状態の水位及び地下滞留水量

|     | 1 号機                | 2 号機                | 3 号機                | 4 号機                |
|-----|---------------------|---------------------|---------------------|---------------------|
| 水位  | O.P. 4,000          | O.P. 4,000          | O.P. 4,000          | O.P. 4,000          |
| 貯水量 | 1,400m <sup>3</sup> | 2,600m <sup>3</sup> | 2,600m <sup>3</sup> | 4,500m <sup>3</sup> |

#### 4.1.3 解析に用いる入力地震動

4号機廃棄物処理建屋への入力地震動は、「福島第一原子力発電所 『発電用原子炉施設に関する耐震設計審査指針』の改訂に伴う耐震安全性評価結果 中間報告書」(原管発官19第603号 平成20年3月31日付け)にて作成した解放基盤表面レベルに想定する基準地震動  $S_s$  を用いることとする。

地震応答解析に用いる入力地震動の概念図を図4.1.3-1に示す。この廃棄物処理建屋の解析モデルに入力する地震動は、一次元波動論に基づき、解放基盤表面レベルに想定する基準地震動  $S_s$  に対する建屋基礎底面レベルの地盤応答として評価する。また、建屋基礎底面レベルにおけるせん断力を入力地震動に付加することにより、地盤の切欠き効果を考慮する。

このうち、解放基盤表面位置 (O.P. -196.0m) における基準地震動  $S_s$  の加速度波形について、図4.1.3-2に示す。

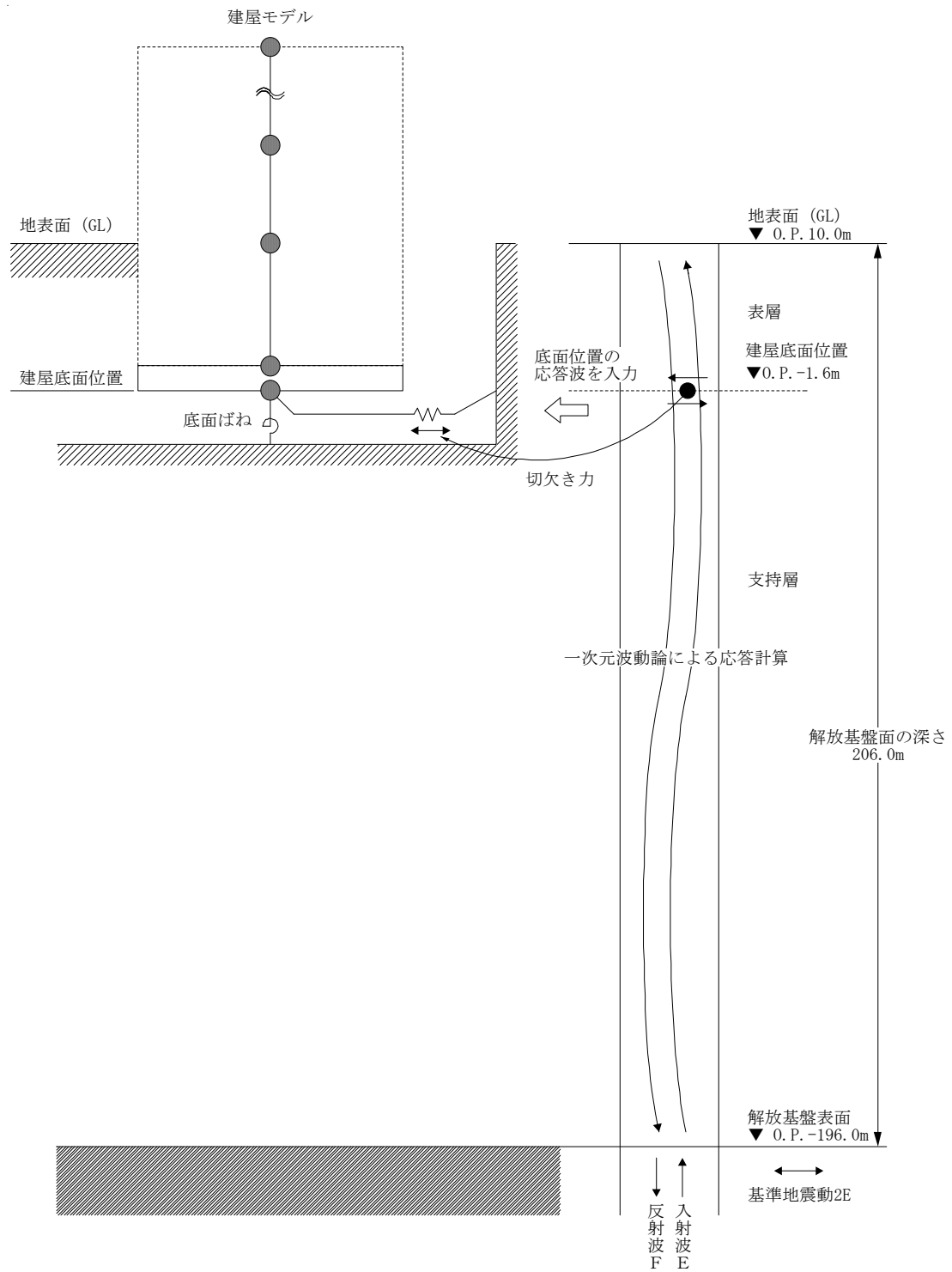


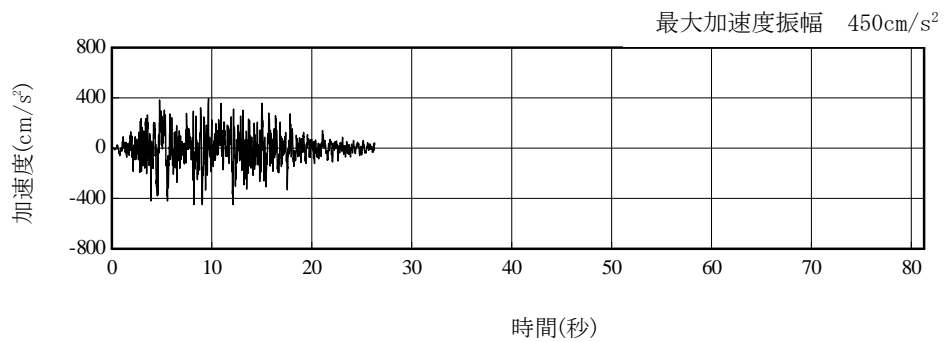
図 4. 1. 3-1 地震応答解析に用いる入力地震動の概念図



(Ss-1H)



(Ss-2H)



(Ss-3H)

図 4. 1. 3-2 解放基盤表面位置における地震動の加速度時刻歴波形 (水平方向)

#### 4.1.4 地震応答解析モデル

基準地震動  $S_s$  に対する 4号機廃棄物処理建屋の地震応答解析は、「4.1.3. 解析に用いる入力地震動」で算定した入力地震動を用いた動的解析による。

地震応答解析モデルは、図 4.1.4-1 及び図 4.1.4-2 に示すように、建屋を曲げ変形とせん断変形をする質点系とし、地盤を等価なばねで評価した建屋－地盤連成系モデルとする。建屋－地盤連成系としての効果は地盤ばね及び入力地震動によって評価される。解析に用いるコンクリートの物性値を表 4.1.4-1 に、建屋解析モデルの諸元を表 4.1.4-2 に示す。

地盤定数は、水平成層地盤と仮定し、地震時のせん断ひずみレベルを考慮して定めた。解析に用いた地盤定数を表 4.1.4-3 に示す。

解析モデルにおいて、基礎底面地盤ばねについては、「JEAG 4601-1991」に示された手法を参考にし、成層補正を行ったのち、振動アドミッタンス理論に基づいて、スウェイ及びロッキングばね定数を近似的に評価する。

地盤ばねは振動数に依存した複素剛性として得られるが、図-1.4.3 に示すようにばね定数 ( $K_c$ ) として実部の静的な値を、また、減衰係数 ( $C_c$ ) として建屋－地盤連成系の 1 次固有振動数に対応する虚部の値と原点を結ぶ直線の傾きを採用することにより近似する。

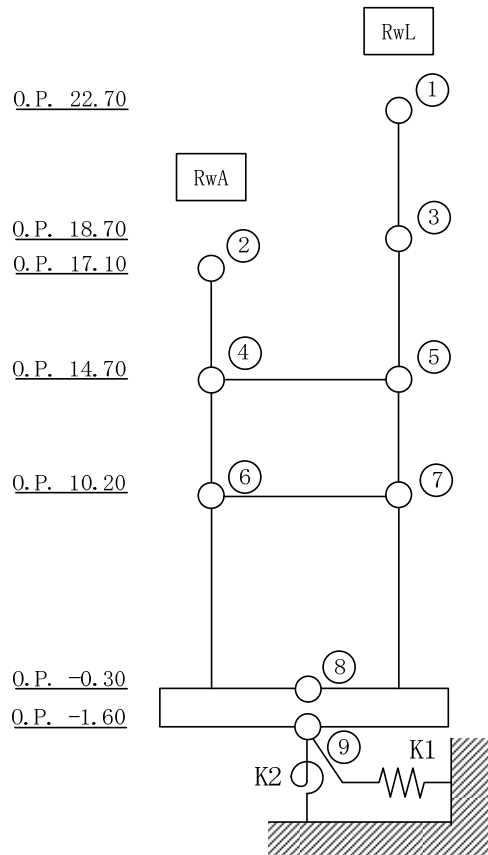


図 4.1.4-1 4号機廃棄物処理建屋 地震応答解析モデル (NS 方向)

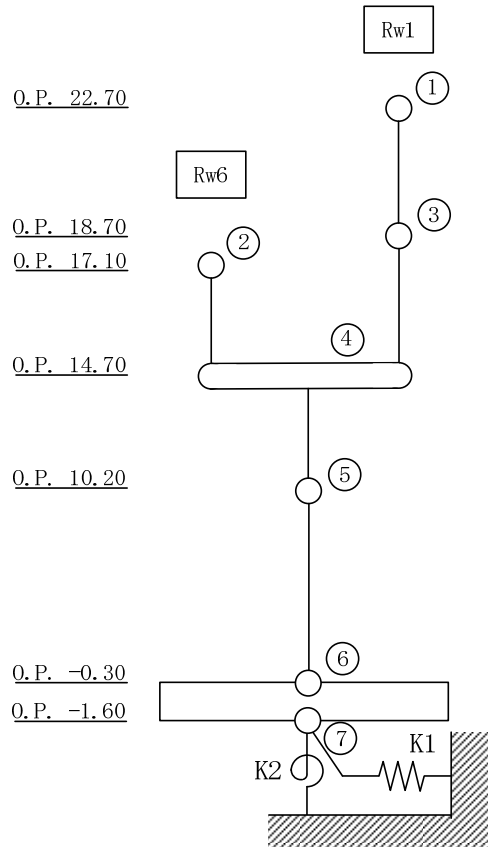


図 4.1.4-2 4号機廃棄物処理建屋 地震応答解析モデル (EW 方向)

表 4.1.4-1 地震応答解析に用いる物性値

| コンクリート | 強度*1<br>F <sub>c</sub><br>(N/mm <sup>2</sup> ) | ヤング係数*2<br>E<br>(N/mm <sup>2</sup> ) | せん断弾性係数*2<br>G<br>(N/mm <sup>2</sup> ) | ポアソン比<br>ν | 単位体積重量*3<br>γ<br>(kN/m <sup>3</sup> ) |
|--------|--|--------------------------------------|--|------------|---------------------------------------|
|        | 35.0   | 2.57×10 <sup>4</sup>                 | 1.07×10 <sup>4</sup>                   | 0.2        | 24                                    |
| 鉄筋     | SD345相当<br>(SD35)                              |                                      |  |            |                                       |

\*1：強度は実状に近い強度（以下「実強度」という。）を採用した。実強度の設定は、過去の圧縮強度試験データを収集し試験データのばらつきを考慮し圧縮強度平均値を小さめにまるめた値とした。

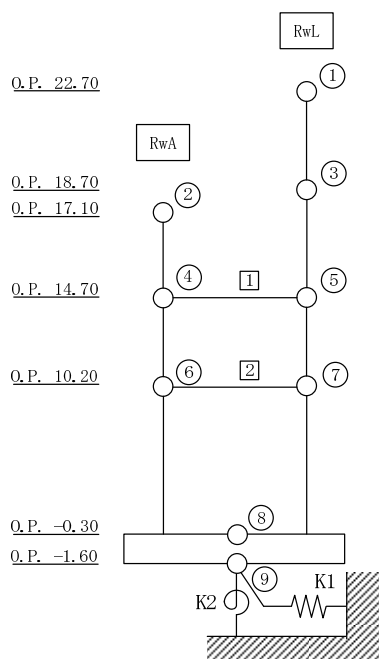
\*2：実強度に基づく値を示す。

\*3：鉄筋コンクリートの値を示す。



表 4.1.4-2 建屋解析モデルの諸元

NS 方向

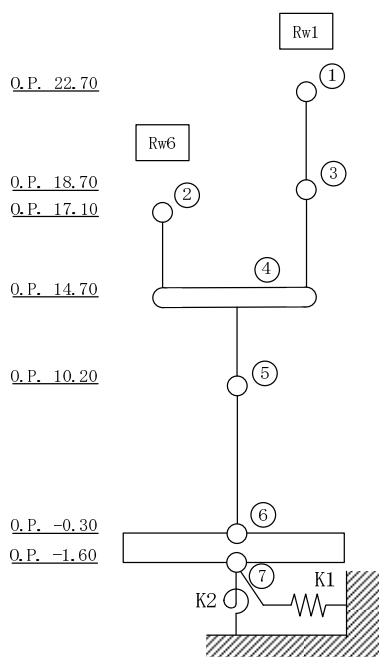


| 質点番号 | 質点位置 O.P. (m) | 質点重量 W (kN)      | 回転慣性 $I_R$ ( $\times 10^5$ kN/m <sup>2</sup> ) | せん断断面積 $A_s$ (m <sup>2</sup> ) | 断面2次モメント $I_B$ (m <sup>4</sup> ) | 質点番号 | 質点位置 O.P. (m) | 質点重量 W (kN) | 回転慣性 $I_R$ ( $\times 10^5$ kN/m <sup>2</sup> ) | せん断断面積 $A_s$ (m <sup>2</sup> ) | 断面2次モメント $I_B$ (m <sup>4</sup> ) |
|------|---------------|------------------|--|--------------------------------|----------------------------------|------|---------------|-------------|--|--------------------------------|----------------------------------|
|      |               |                  |  |                                |                                  | ①    | 22.7          | 4,050       | 0.69   |                                |                                  |
|      |               |                  |  |                                |                                  | ③    | 18.7          | 11,790      | 2.33   | 13.2                           | 271                              |
| ②    | 17.1          | 1,920            | 0.65   | 16.0                           | 987                              |      |               |             |  | 30.6                           | 1,186                            |
| ④    | 14.7          | 13,110           | 5.48   | 34.3                           | 4,408                            | ⑤    | 14.7          | 24,610      | 10.29  |                                |                                  |
| ⑥    | 10.2          | 35,150           | 14.70  | 44.1                           | 6,208                            | ⑦    | 10.2          | 75,660      | 63.32  | 50.9                           | 6,138                            |
| ⑧    | -0.3          | 129,370 (44,130) | 91.69 (31.28)                                  | 1,832.6                        | 129,874                          |      |               |             |  | 125.7                          | 25,167                           |
| ⑨    | -1.6          | 28,040           | 19.87  |                                |                                  |      |               |             |  |                                |                                  |
| 合計   |               | 323,700          |  |                                |                                  |      |               |             |  |                                |                                  |

注 ( ) 内は滞留水による付加分を示す。

ヤング係数  $E_c$   $2.57 \times 10^7$  (kN/m<sup>2</sup>)  
 せん断弾性係数  $G$   $1.07 \times 10^7$  (kN/m<sup>2</sup>)  
 ポアソン比  $\nu$  0.20  
 減衰  $h$  5%  
 基礎形状 25.22m (NS 方向)  $\times$  72.65m (EW 方向)  
 床のせん断ばね定数  $K_s$  ① :  $44.48 \times 10^5$  (kN/m) ② :  $45.21 \times 10^5$  (kN/m)

EW 方向



| 質点番号 | 質点位置 O.P. (m) | 質点重量 W (kN)      | 回転慣性 $I_R$ ( $\times 10^5$ kN/m <sup>2</sup> ) | せん断断面積 $A_s$ (m <sup>2</sup> ) | 断面2次モメント $I_B$ (m <sup>4</sup> ) | 質点番号 | 質点位置 O.P. (m) | 質点重量 W (kN) | 回転慣性 $I_R$ ( $\times 10^5$ kN/m <sup>2</sup> ) | せん断断面積 $A_s$ (m <sup>2</sup> ) | 断面2次モメント $I_B$ (m <sup>4</sup> ) |
|------|---------------|------------------|--|--------------------------------|----------------------------------|------|---------------|-------------|--|--------------------------------|----------------------------------|
|      |               |                  |  |                                |                                  | ①    | 22.7          | 4,050       | 0.52   |                                |                                  |
|      |               |                  |  |                                |                                  | ③    | 18.7          | 11,790      | 5.15   | 21.2                           | 280                              |
| ②    | 17.1          | 1,920            | 0.08   | 5.4                            | 30                               |      |               |             |  | 45.2                           | 1,824                            |
| ④    | 14.7          | 37,730           | 127.38   | 151.8                          | 30,007                           |      |               |             |  |                                |                                  |
| ⑤    | 10.2          | 110,800          | 526.07   | 176.5                          | 66,926                           |      |               |             |  |                                |                                  |
| ⑥    | -0.3          | 129,370 (44,130) | 614.23 (209.52)                                | 1,832.6                        | 870,078                          |      |               |             |  |                                |                                  |
| ⑦    | -1.6          | 28,040           | 133.13   |                                |                                  |      |               |             |  |                                |                                  |
| 合計   |               | 323,700          |  |                                |                                  |      |               |             |  |                                |                                  |

注 ( ) は滞留水による付加分を示す。

ヤング係数  $E_c$   $2.57 \times 10^7$  (kN/m<sup>2</sup>)  
 せん断弾性係数  $G$   $1.07 \times 10^7$  (kN/m<sup>2</sup>)  
 ポアソン比  $\nu$  0.20  
 減衰  $h$  5%  
 基礎形状 25.22m (NS 方向)  $\times$  72.65m (EW 方向)

表 4.1.4-3(1) 地盤定数

(Ss-1)

| 標高<br>O. P.<br>(m) | 地質 | せん断波<br>速度<br>Vs<br>(m/s) | 単位体積<br>重量<br>$\gamma$<br>(kN/m <sup>3</sup> ) | ポアソン比<br>$\nu$ | せん断<br>弾性係数<br>G<br>( $\times 10^5$ kN/m <sup>2</sup> ) | 初期せん断<br>弾性係数<br>G <sub>0</sub><br>( $\times 10^5$ kN/m <sup>2</sup> ) | 剛性<br>低下率<br>G/G <sub>0</sub> | ヤング<br>係数<br>E<br>( $\times 10^5$ kN/m <sup>2</sup> ) | 減衰<br>定数<br>h<br>(%) | 層厚<br>H<br>(m) |
|--------------------|----|---------------------------|--|----------------|---|--|-------------------------------|---|----------------------|----------------|
| 10.0               |    |                           |  |                |   |  |                               |   |                      |                |
| 1.9                | 砂岩 | 380                       | 17.8   | 0.473          | 2.23  | 2.62   | 0.85                          | 6.57  | 3                    | 8.1            |
| -10.0              | 泥岩 | 450                       | 16.5   | 0.464          | 2.66  | 3.41   | 0.78                          | 7.79  | 3                    | 11.9           |
| -80.0              |    | 500                       | 17.1   | 0.455          | 3.40  | 4.36   | 0.78                          | 9.89  | 3                    | 70.0           |
| -108.0             |    | 560                       | 17.6   | 0.446          | 4.39  | 5.63   | 0.78                          | 12.70   | 3                    | 28.0           |
| -196.0             |    | 600                       | 17.8   | 0.442          | 5.09  | 6.53   | 0.78                          | 14.68   | 3                    | 88.0           |
|                    |    | (解放基盤)                    | 700  | 18.5           | 0.421   | 9.24   | 9.24                          | 1.00  | 26.26                | -              |

表 4.1.4-3 (2) 地盤定数

(Ss-2)

| 標高<br>O. P.<br>(m) | 地質 | せん断波<br>速度<br>Vs<br>(m/s) | 単位体積<br>重量<br>$\gamma$<br>(kN/m <sup>3</sup> ) | ポアソン比<br>$\nu$ | せん断<br>弾性係数<br>G<br>( $\times 10^5$ kN/m <sup>2</sup> ) | 初期せん断<br>弾性係数<br>G <sub>0</sub><br>( $\times 10^5$ kN/m <sup>2</sup> ) | 剛性<br>低下率<br>G/G <sub>0</sub> | ヤング<br>係数<br>E<br>( $\times 10^5$ kN/m <sup>2</sup> ) | 減衰<br>定数<br>h<br>(%) | 層厚<br>H<br>(m) |
|--------------------|----|---------------------------|--|----------------|---|--|-------------------------------|---|----------------------|----------------|
| 10.0               |    |                           |  |                |   |  |                               |   |                      |                |
| 1.9                | 砂岩 | 380                       | 17.8   | 0.473          | 2.23  | 2.62   | 0.85                          | 6.57  | 3                    | 8.1            |
| -10.0              | 泥岩 | 450                       | 16.5   | 0.464          | 2.76  | 3.41   | 0.81                          | 8.08  | 3                    | 11.9           |
| -80.0              |    | 500                       | 17.1   | 0.455          | 3.53  | 4.36   | 0.81                          | 10.27   | 3                    | 70.0           |
| -108.0             |    | 560                       | 17.6   | 0.446          | 4.56  | 5.63   | 0.81                          | 13.19   | 3                    | 28.0           |
| -196.0             |    | 600                       | 17.8   | 0.442          | 5.29  | 6.53   | 0.81                          | 15.26   | 3                    | 88.0           |
|                    |    | (解放基盤)                    | 700  | 18.5           | 0.421   | 9.24   | 9.24                          | 1.00  | 26.26                | -              |

表 4.1.4-3 (3) 地盤定数

(Ss-3)

| 標高<br>O. P.<br>(m) | 地質               | せん断波<br>速度<br>Vs<br>(m/s) | 単位体積<br>重量<br>$\gamma$<br>(kN/m <sup>3</sup> ) | ポアソン比<br>$\nu$ | せん断<br>弾性係数<br>G<br>( $\times 10^5$ kN/m <sup>2</sup> ) | 初期せん断<br>弾性係数<br>G <sub>0</sub><br>( $\times 10^5$ kN/m <sup>2</sup> ) | 剛性<br>低下率<br>G/G <sub>0</sub> | ヤング<br>係数<br>E<br>( $\times 10^5$ kN/m <sup>2</sup> ) | 減衰<br>定数<br>h<br>(%) | 層厚<br>H<br>(m) |
|--------------------|------------------|---------------------------|--|----------------|---|--|-------------------------------|---|----------------------|----------------|
| 10.0               |                  |                           |  |                |   |  |                               |   |                      |                |
| 1.9                | 砂岩               | 380                       | 17.8   | 0.473          | 2.25  | 2.62   | 0.86                          | 6.63  | 3                    | 8.1            |
| -10.0              | 泥岩<br><br>(解放基盤) | 450                       | 16.5   | 0.464          | 2.66  | 3.41   | 0.78                          | 7.79  | 3                    | 11.9           |
| -80.0              |                  | 500                       | 17.1   | 0.455          | 3.40  | 4.36   | 0.78                          | 9.89  | 3                    | 70.0           |
| -108.0             |                  | 560                       | 17.6   | 0.446          | 4.39  | 5.63   | 0.78                          | 12.70   | 3                    | 28.0           |
| -196.0             |                  | 600                       | 17.8   | 0.442          | 5.09  | 6.53   | 0.78                          | 14.68   | 3                    | 88.0           |
|                    |                  | 700                       | 18.5   | 0.421          | 9.24  | 9.24   | 1.00                          | 26.26   | -                    | -              |



図 4.1.4-3 地盤ばねの近似

#### 4.1.5 地震応答解析結果

地震応答解析により求められた NS 方向, EW 方向の最大応答加速度を, 滞留水を未考慮の場合と比較して, 図 4.1.5-1~図 4.1.5-6 に示す。

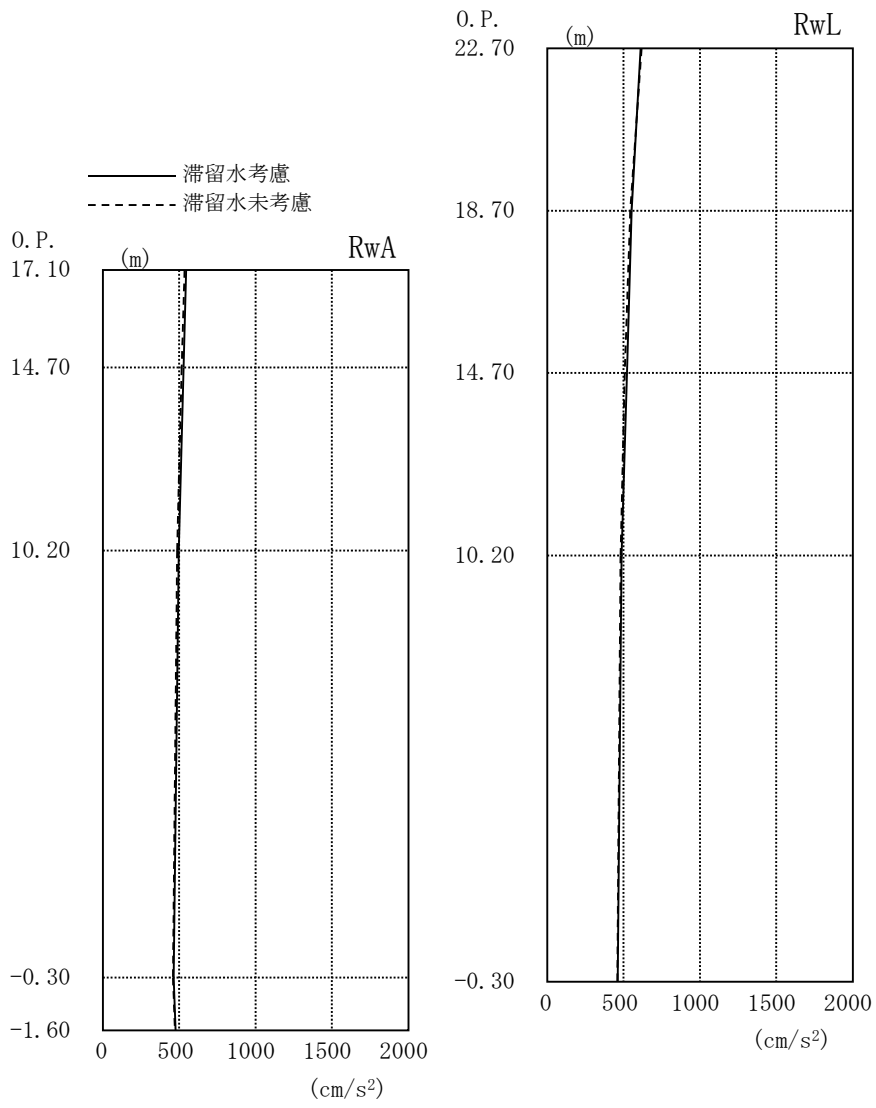


圖 4.1.5-1 最大応答加速度 (NS 方向・Ss-1H)

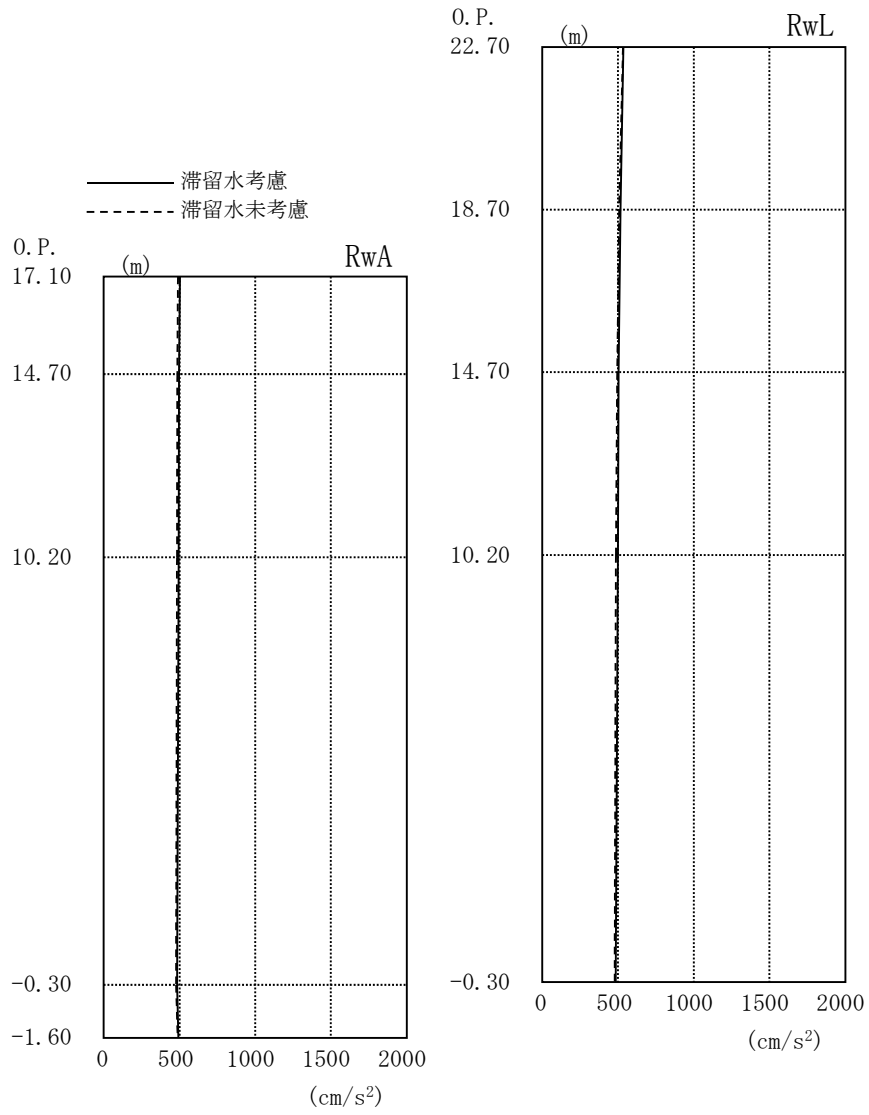


图 4.1.5-2 最大応答加速度 (NS 方向・Ss-2H)

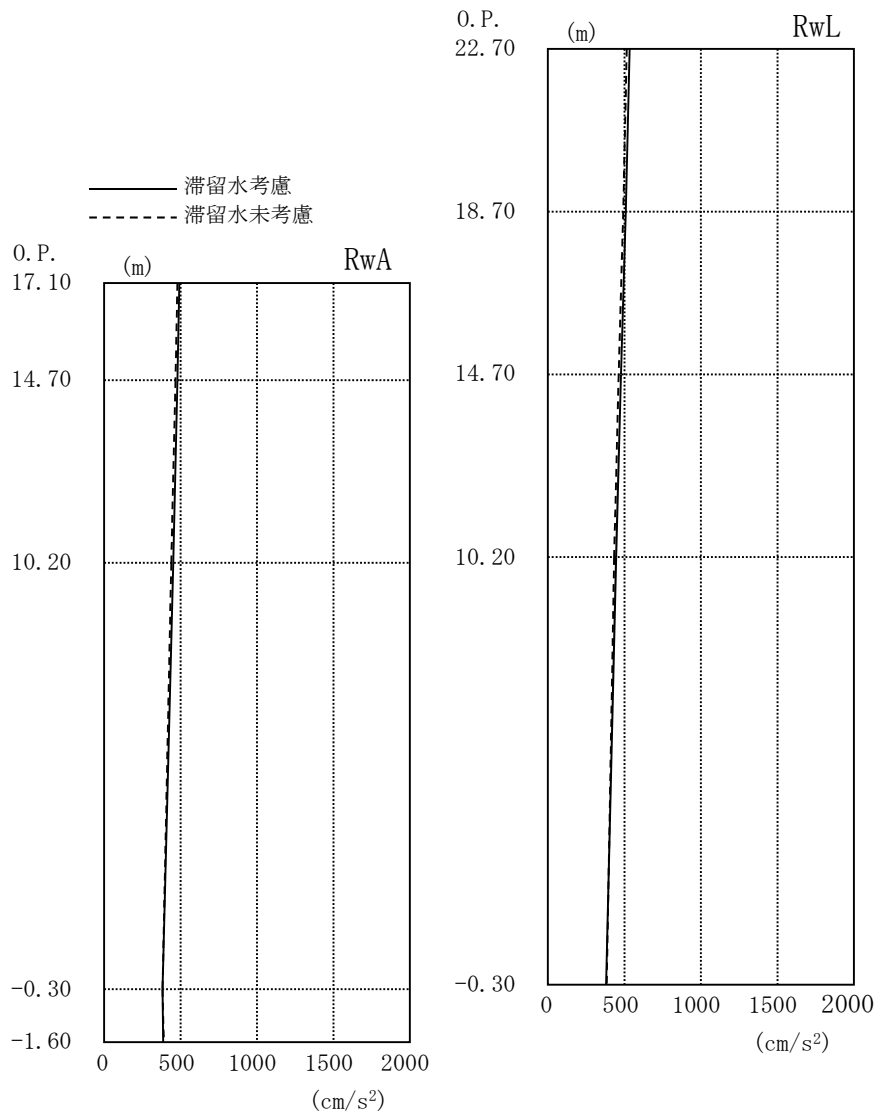


图 4.1.5-3 最大応答加速度 (NS 方向・Ss-3H)



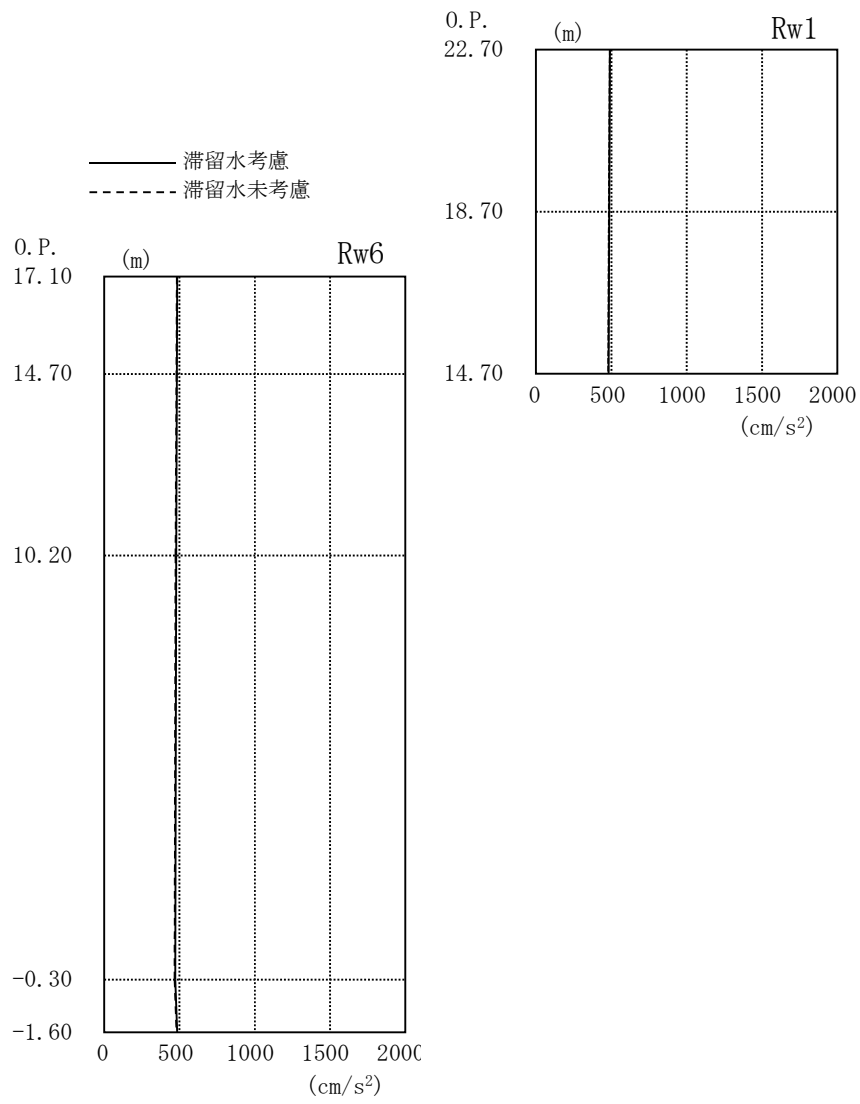


図 4.1.5-4 最大応答加速度 (EW 方向・Ss-1H)

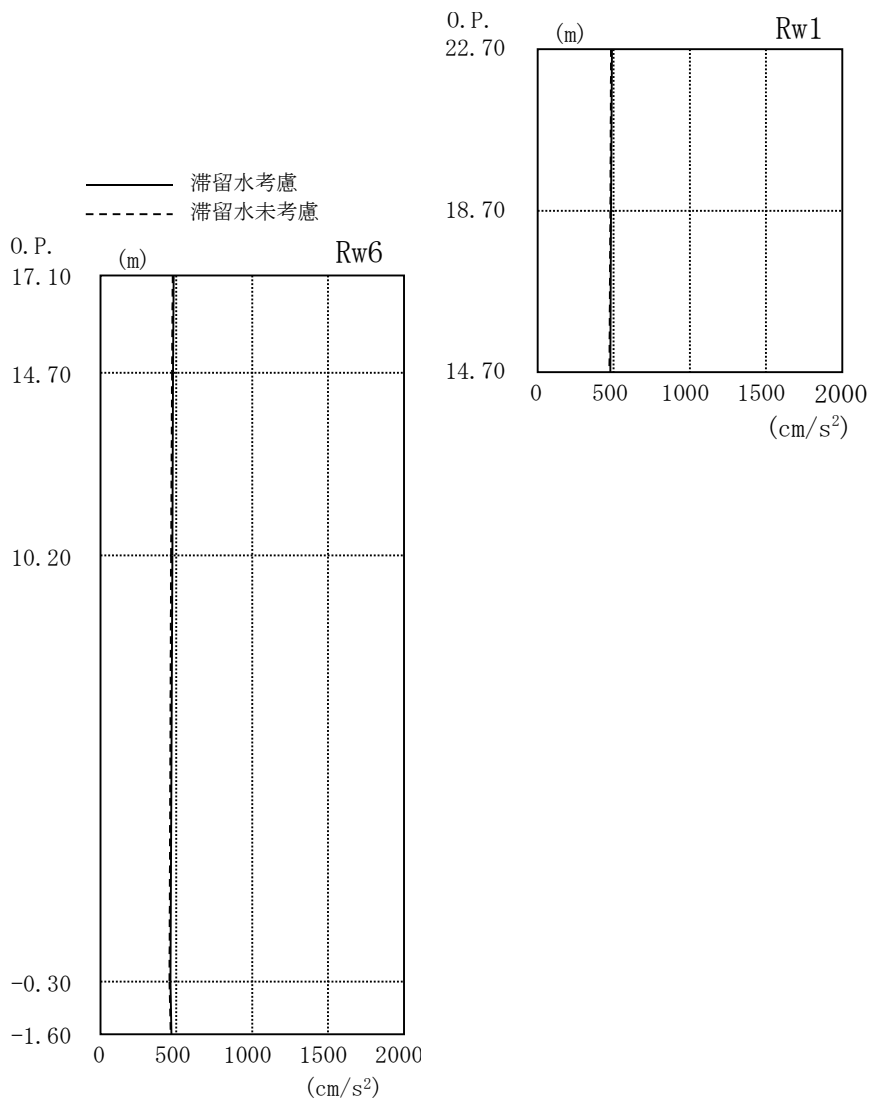


图 4.1.5-5 最大応答加速度 (EW 方向・Ss-2H)

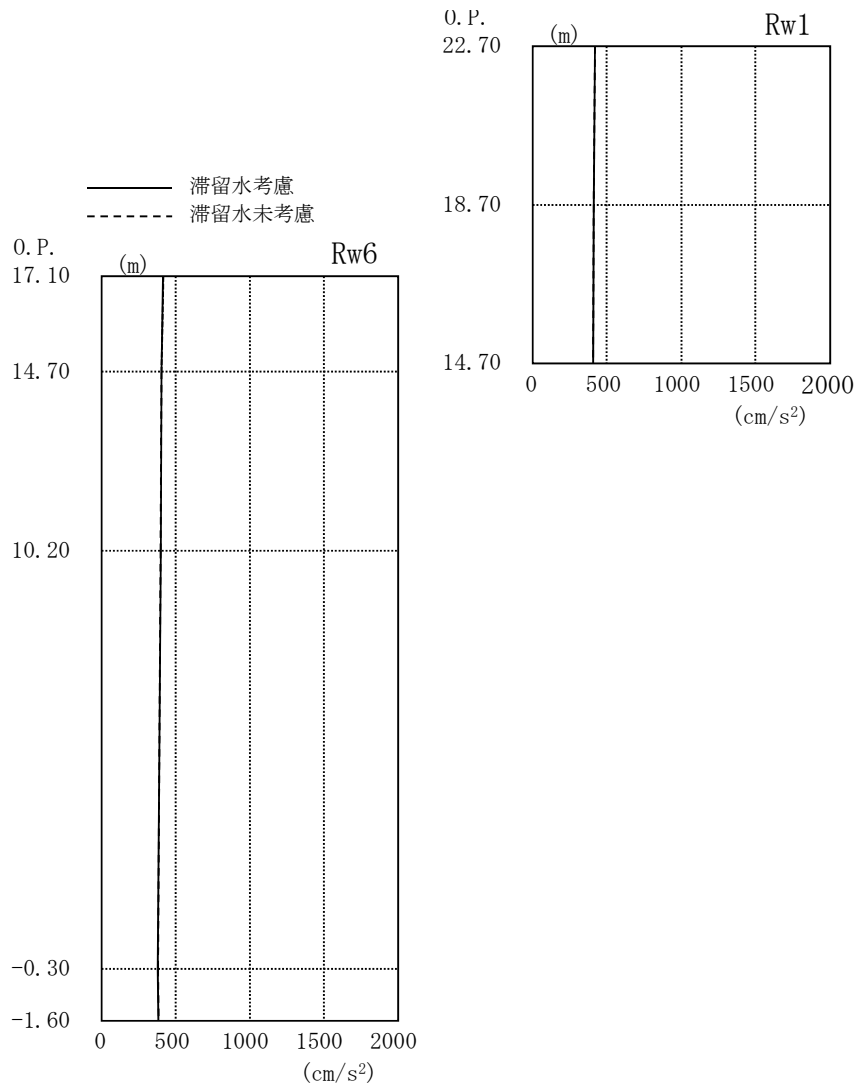


图 4.1.5-6 最大応答加速度 (EW 方向・Ss-3H)

#### 4.1.6 耐震安全性評価結果

地震応答解析により得られた地下耐震壁のせん断ひずみ一覧を、滞留水を未考慮の場合と比較して、表 4.1.6-1 及び表 4.1.6-2 に示す。また、図 4.1.6-1 及び図 4.1.6-2 に基準地震動  $S_s$  に対する最大応答値を、滞留水を未考慮の場合と比較して、耐震壁のスケルトン曲線上に示す。せん断ひずみは、滞留水を考慮した場合でも、最大で  $0.06 \times 10^{-3}$  であり、評価基準値 ( $4.0 \times 10^{-3}$ ) に対して十分余裕がある。なお、スケルトン曲線は、建屋の方向別に、層を単位とした水平断面形状より「JEAG4601-1991」に基づいて設定したものである。

以上のことから、4号機廃棄物処理建屋の耐震安全性は確保されているものと評価した。

表 4.1.6-1 耐震壁のせん断ひずみ一覧 (NS 方向)

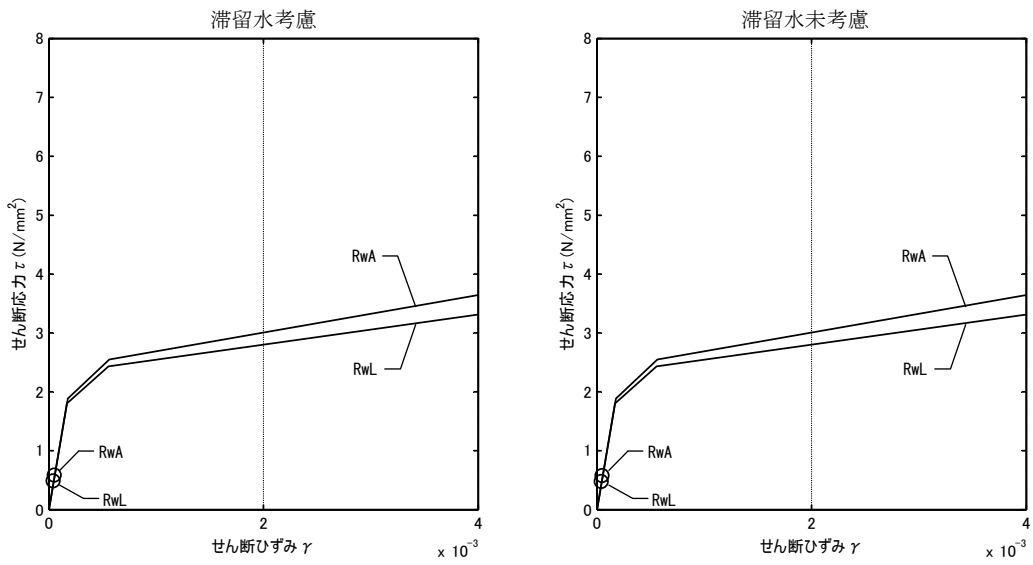
(単位:  $\times 10^{-3}$ )

| 階   | 通り  | O. P.           | 滞留水 | Ss-1H | Ss-2H | Ss-3H | 評価基準   |
|-----|-----|-----------------|-----|-------|-------|-------|--------|
| B1F | RwA | 10.20～<br>-0.30 | 考慮  | 0.06  | 0.06  | 0.05  | 4.0 以下 |
|     |     |                 | 未考慮 | 0.06  | 0.06  | 0.05  |        |
|     | RwL | 10.20～<br>-0.30 | 考慮  | 0.05  | 0.05  | 0.05  |        |
|     |     |                 | 未考慮 | 0.05  | 0.05  | 0.04  |        |

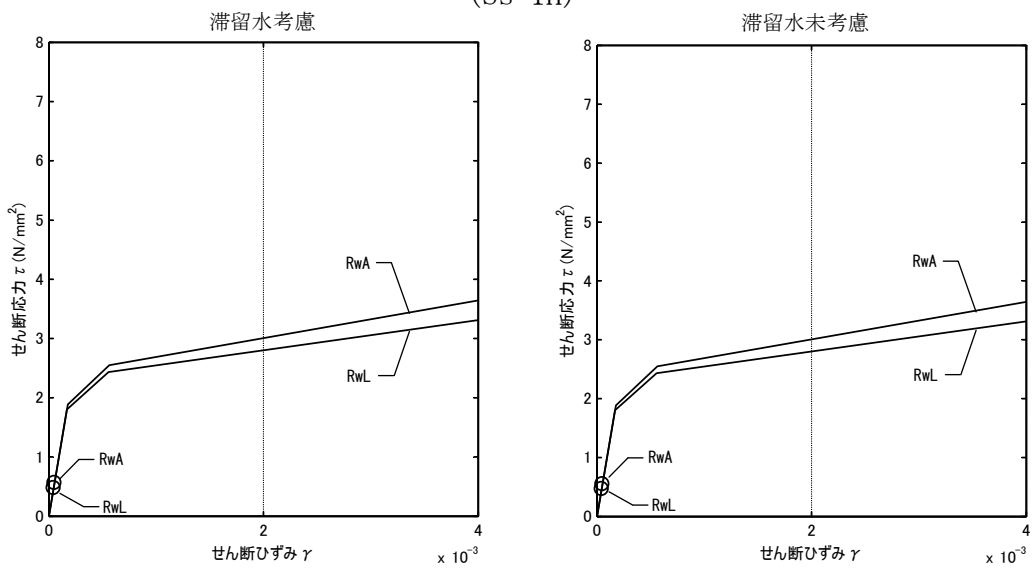
表 4.1.6-2 耐震壁のせん断ひずみ一覧 (EW 方向)

(単位:  $\times 10^{-3}$ )

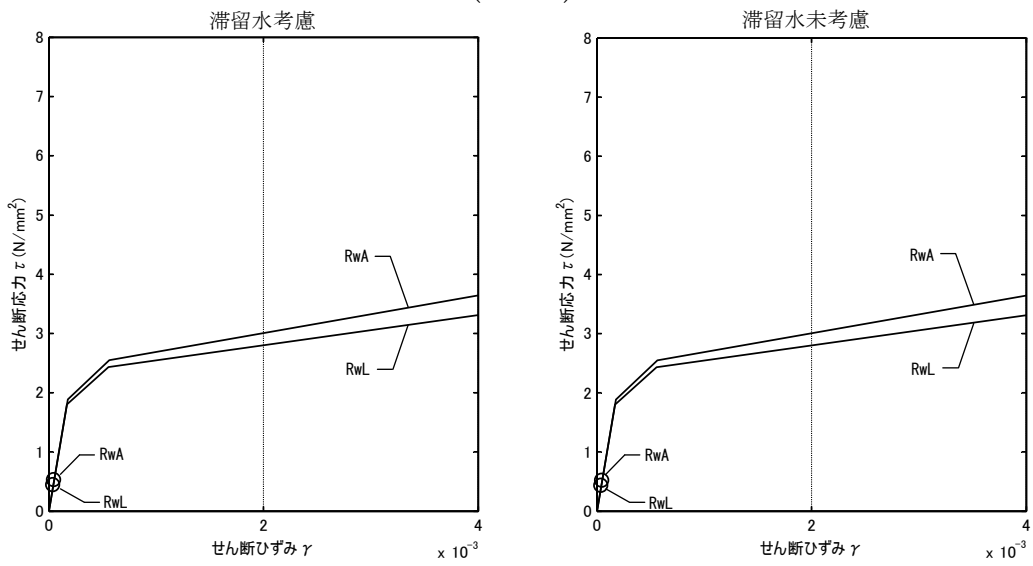
| 階   | O. P.       | 滞留水 | Ss-1H | Ss-2H | Ss-3H | 評価基準   |
|-----|-------------|-----|-------|-------|-------|--------|
| B1F | 10.20～-0.30 | 考慮  | 0.05  | 0.05  | 0.04  | 4.0 以下 |
|     |             | 未考慮 | 0.05  | 0.05  | 0.04  |        |



(Ss-1H)

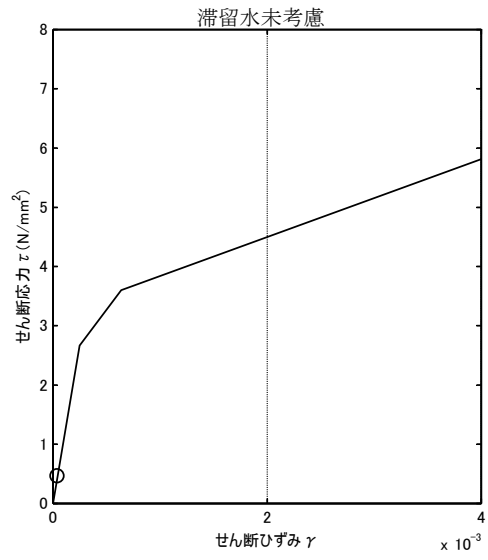
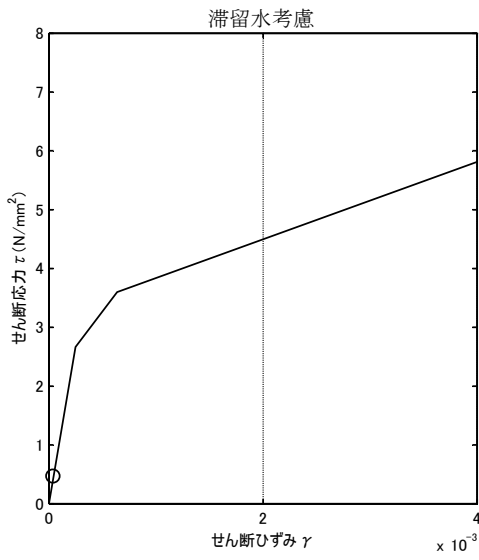


(Ss-2H)

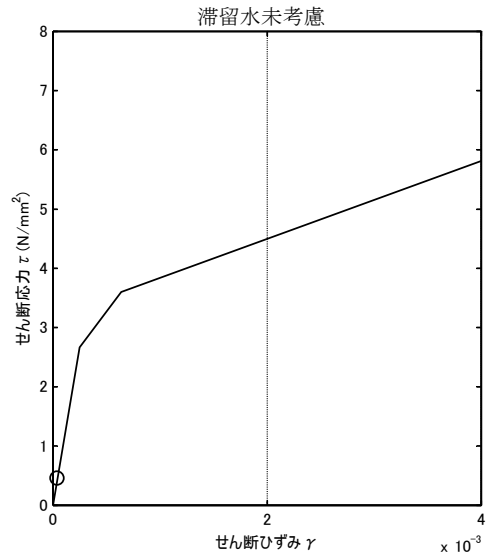
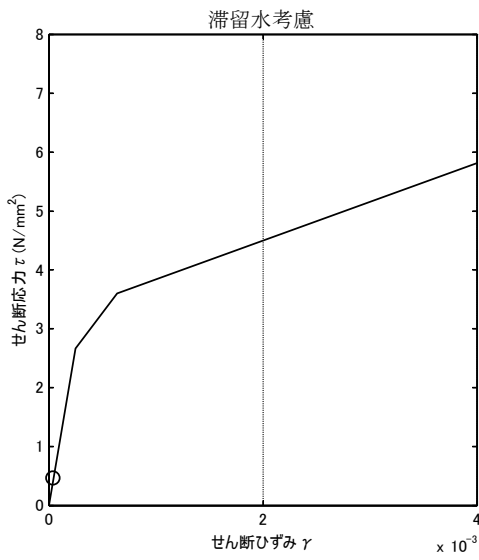


(Ss-3H)

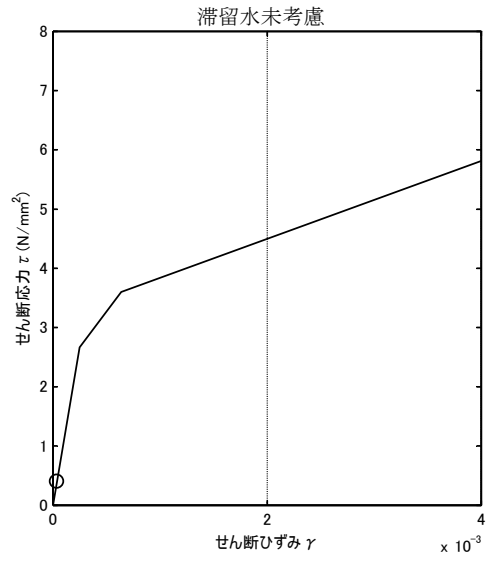
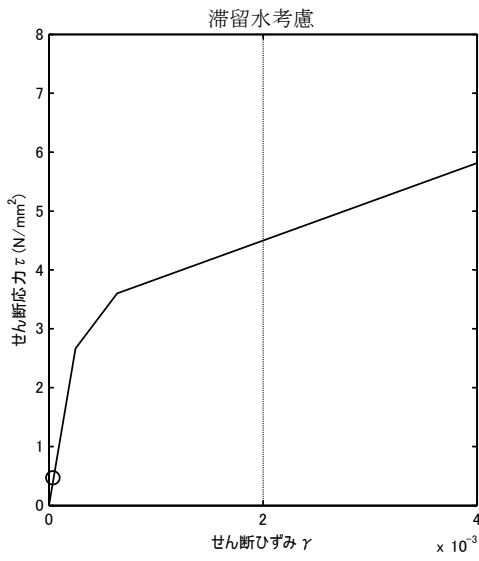
図 4.1.6-1 耐震壁のせん断ひずみ (NS 方向)



(Ss-1H)



(Ss-2H)



(Ss-3H)

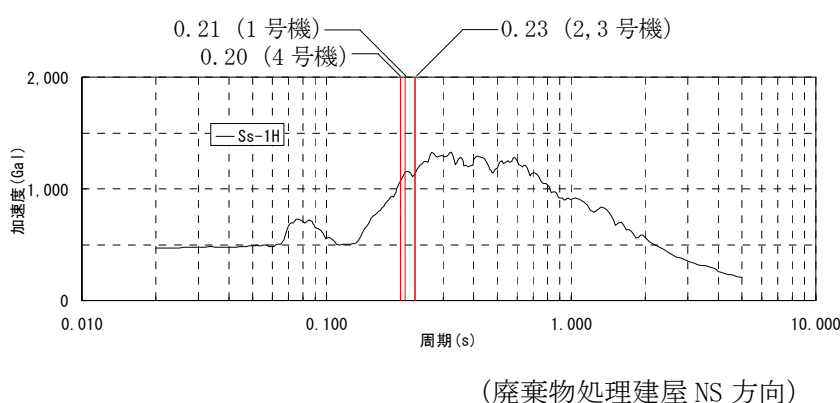
図 4.1.6-2 耐震壁のせん断ひずみ (EW 方向)

## 4.2 代表号機以外の検討

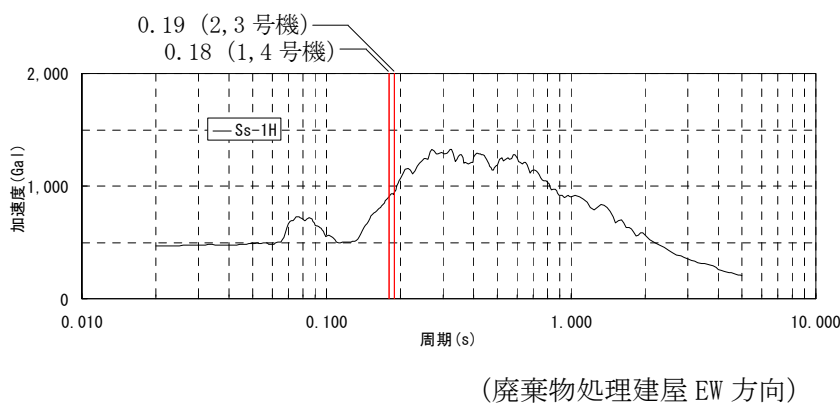
滞留水による影響を確認するため、滞留水量が最大であり重量変動が最も大きくなる4号機廃棄物処理建屋を代表号機として耐震安全性評価を行った結果、滞留水を考慮しても地下外壁の耐震安全性については十分余裕があることを確認している。

また、廃棄物処理建屋は、各号機の機能は同じであることから、構造形式および形状は各号機で同様となっている。各号機の廃棄物処理建屋の固有周期を比較した場合、一次固有周期はNS方向で0.21~0.23秒、EW方向で0.18~0.19秒となり、各号機の振動性状に顕著な差はみられない。

代表号機の基礎下の入力動の応答スペクトルに各建屋の一次固有周期を重ね描きしたものの、および代表号機の地下外壁の最大応答せん断ひずみに、代表号機の入力動の応答スペクトルにおける代表号機の一次固有周期の応答加速度 $\alpha_{T1}$ と各号機の一次固有周期の応答加速度 $\alpha_{T1}$ の比 $\alpha_{amp}$ を乗じた $\gamma_{resp}$ を図4.2-1~図4.2-3に示す。 $\gamma_{resp}$ は各号機ともに評価基準値 $4 \times 10^{-3}$ に対して十分に小さいことから、代表号機以外についても地下外壁の耐震安全性は確保されているといえる。

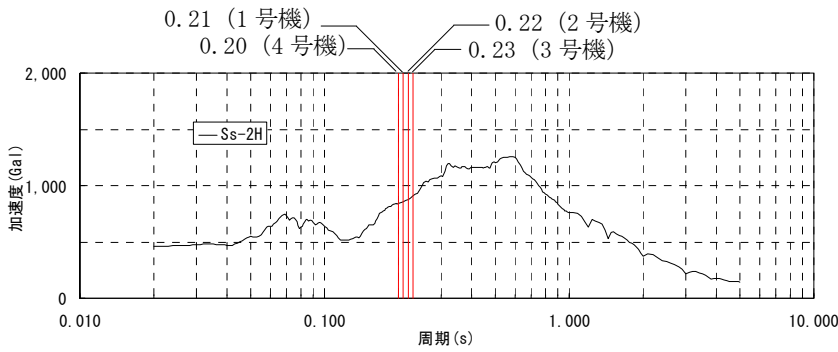


| 号機 | 一次固有周期<br>T1<br>(sec) | 応答<br>加速度<br>$\alpha_{T1}$<br>(Gal) | 応答<br>加速度比<br>$\alpha_{amp}$ | $\gamma_{resp}$<br>( $\times 10^{-3}$ ) |
|----|-----------------------|-------------------------------------|------------------------------|---|
| #1 | 0.21                  | 1,150                               | 1.08                         | 0.07                                    |
| #2 | 0.23                  | 1,139                               | 1.07                         | 0.07                                    |
| #3 | 0.23                  | 1,139                               | 1.07                         | 0.07                                    |
| #4 | 0.20                  | 1,067                               | —                            | 0.06                                    |



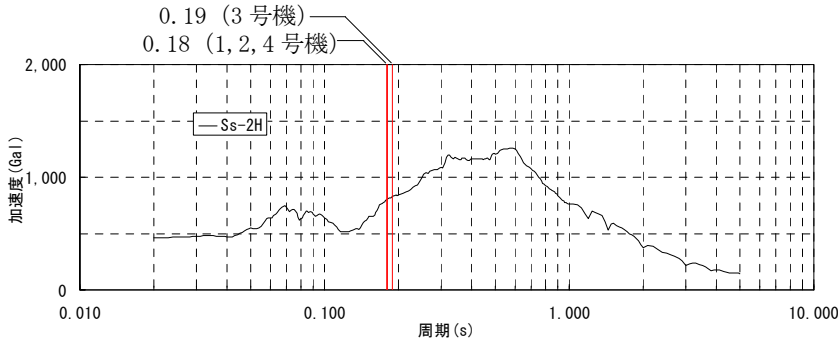
| 号機 | 一次固有周期<br>T1<br>(sec) | 応答<br>加速度<br>$\alpha_{T1}$<br>(Gal) | 応答<br>加速度比<br>$\alpha_{amp}$ | $\gamma_{resp}$<br>( $\times 10^{-3}$ ) |
|----|-----------------------|-------------------------------------|------------------------------|---|
| #1 | 0.18                  | 903                                 | 1.00                         | 0.05                                    |
| #2 | 0.19                  | 944                                 | 1.05                         | 0.06                                    |
| #3 | 0.19                  | 944                                 | 1.05                         | 0.06                                    |
| #4 | 0.18                  | 903                                 | —                            | 0.05                                    |

図 4.2-1 代表号機の基礎下の入力動の応答スペクトルと各建屋の一次固有周期 (Ss-1H)



| 号機 | 一次固有周期 T1 (sec) | 応答加速度 $\alpha_{T1}$ (Gal) | 応答加速度比 $\alpha_{amp}$ | $\gamma_{resp}$ ( $\times 10^{-3}$ ) |
|----|-----------------|---------------------------|-----------------------|--------------------------------------|
| #1 | 0.21            | 860                       | 1.02                  | 0.07                                 |
| #2 | 0.22            | 877                       | 1.04                  | 0.07                                 |
| #3 | 0.23            | 909                       | 1.07                  | 0.07                                 |
| #4 | 0.20            | 847                       | —                     | 0.06                                 |

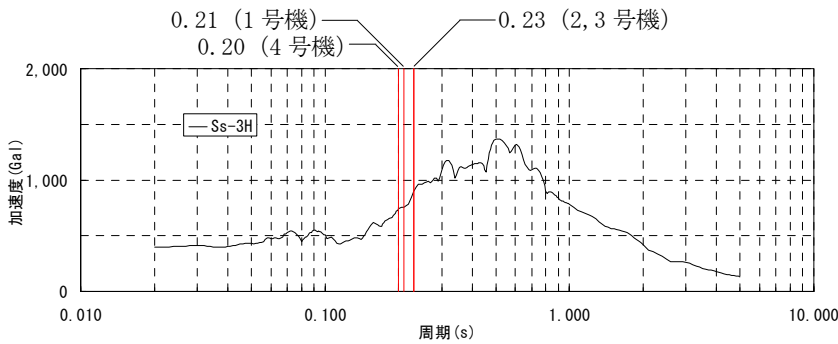
(廃棄物処理建屋 NS 方向)



| 号機 | 一次固有周期 T1 (sec) | 応答加速度 $\alpha_{T1}$ (Gal) | 応答加速度比 $\alpha_{amp}$ | $\gamma_{resp}$ ( $\times 10^{-3}$ ) |
|----|-----------------|---------------------------|-----------------------|--------------------------------------|
| #1 | 0.18            | 805                       | 1.00                  | 0.05                                 |
| #2 | 0.18            | 805                       | 1.00                  | 0.05                                 |
| #3 | 0.19            | 832                       | 1.03                  | 0.06                                 |
| #4 | 0.18            | 805                       | —                     | 0.05                                 |

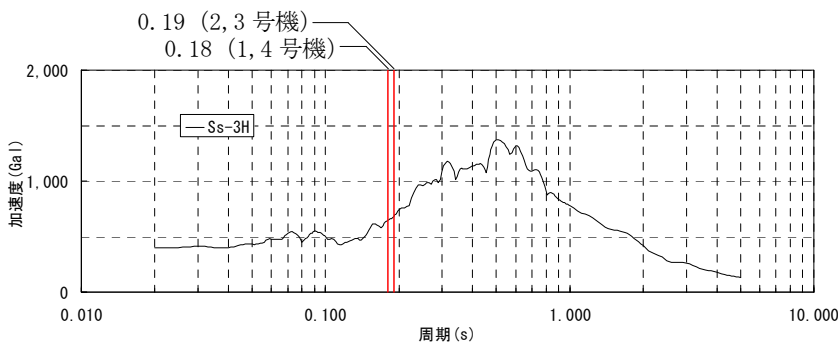
(廃棄物処理建屋 EW 方向)

図 4.2-2 代表号機の基礎下の入力動の応答スペクトルと各建屋の一次固有周期 (Ss-2H)



| 号機 | 一次固有周期 T1 (sec) | 応答加速度 $\alpha_{T1}$ (Gal) | 応答加速度比 $\alpha_{amp}$ | $\gamma_{resp}$ ( $\times 10^{-3}$ ) |
|----|-----------------|---------------------------|-----------------------|--------------------------------------|
| #1 | 0.21            | 757                       | 1.02                  | 0.06                                 |
| #2 | 0.23            | 898                       | 1.21                  | 0.07                                 |
| #3 | 0.23            | 898                       | 1.21                  | 0.07                                 |
| #4 | 0.20            | 742                       | —                     | 0.05                                 |

(廃棄物処理建屋 NS 方向)



| 号機 | 一次固有周期 T1 (sec) | 応答加速度 $\alpha_{T1}$ (Gal) | 応答加速度比 $\alpha_{amp}$ | $\gamma_{resp}$ ( $\times 10^{-3}$ ) |
|----|-----------------|---------------------------|-----------------------|--------------------------------------|
| #1 | 0.18            | 647                       | 1.00                  | 0.04                                 |
| #2 | 0.19            | 683                       | 1.06                  | 0.05                                 |
| #3 | 0.19            | 683                       | 1.06                  | 0.05                                 |
| #4 | 0.18            | 647                       | —                     | 0.04                                 |

(廃棄物処理建屋 EW 方向)

図 4.2-3 代表号機の基礎下の入力動の応答スペクトルと各建屋の一次固有周期 (Ss-3H)



表 4.2-1 廃棄物処理建屋の形状・一次固有周期・滞留水量の比較

|                        |    | 1号機廃棄物処理建屋 | 2号機廃棄物処理建屋 | 3号機廃棄物処理建屋 | 4号機廃棄物処理建屋 |      |
|------------------------|----|------------|------------|------------|------------|------|
| 平面図                    |    |            |            |            |            |      |
| N S 方向断面               |    |            |            |            |            |      |
| E W 方向断面               |    |            |            |            |            |      |
| 一次固有周期 (s)             | NS | Ss-1H      | 0.21       | 0.23       | 0.23       | 0.20 |
|                        |    | Ss-2H      | 0.21       | 0.22       | 0.23       | 0.20 |
|                        |    | Ss-3H      | 0.21       | 0.23       | 0.23       | 0.20 |
|                        | EW | Ss-1H      | 0.18       | 0.19       | 0.19       | 0.18 |
|                        |    | Ss-2H      | 0.18       | 0.18       | 0.19       | 0.18 |
|                        |    | Ss-3H      | 0.18       | 0.19       | 0.19       | 0.18 |
| 滞留水量 (m <sup>3</sup> ) |    | 1,400      | 2,600      | 2,600      | 4,500      |      |
| 同一レベルの貯留比率※            |    | B1F:0.286  | B1F:0.495  | B1F:0.512  | B1F:0.518  |      |

※同一レベルの滞留水重量と質点重量の比率

## 5 コントロール建屋

### 5.1 3号機コントロール建屋（代表号機）

#### 5.1.1 解析評価方針

コントロール建屋の地下滞留水を考慮した耐震安全性評価は、基準地震動  $S_s$  を用いた地震応答解析によることを基本とし、建物・構築物や地盤の応答性状を適切に表現できるモデルを設定した上で行う。

コントロール建屋については、地下滞留水量が最大となる代表号機を選定する。

解析モデルは、地下2階から地上2階に設置された機器を含む建屋全域をNS, EW方向とも1軸質点系モデルとする。

地下階への滞留水の付加重量は建屋外形寸法・建屋内部の壁厚・機器容積から体積を算定し、固定水として評価する。

地下耐震壁の評価は、地震応答解析により得られた該当部位の最大せん断ひずみが、評価基準値 ( $4.0 \times 10^{-3}$ ) を超えないことを確認することとする。

コントロール建屋の地震応答解析の評価手順例を、図 5.1.1-1 に示す。

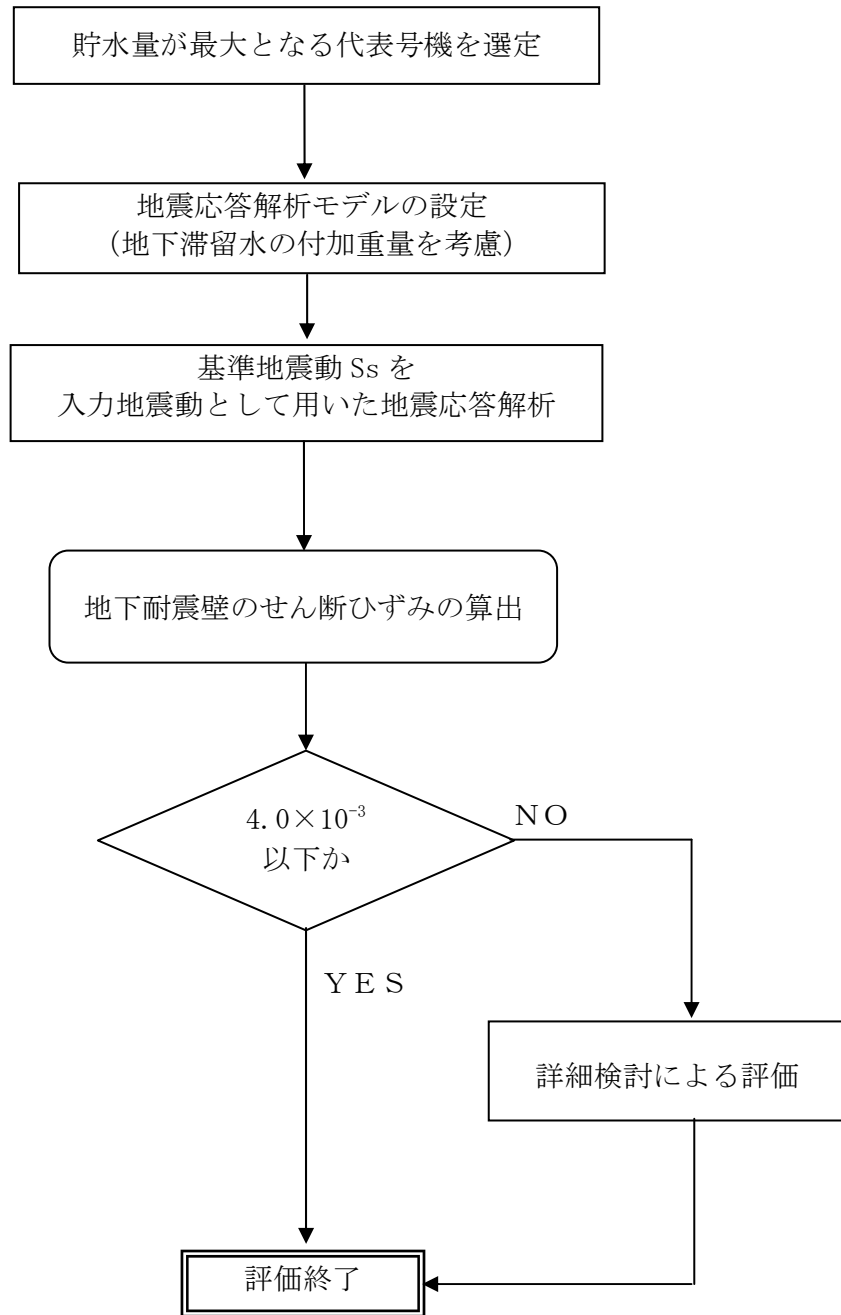


図 5.1.1-1 コントロール建屋の地震応答解析の評価手順例

### 5.1.2 代表号機の選定

コントロール建屋の満水状態の水位及び地下滞留水量を表 5.1.2-1 に示す。表 5.1.2-1 より、貯水量の最も多い 3 号機を代表号機と選定する。

表 5.1.2-1 コントロール建屋の満水状態の水位及び地下滞留水量

|     | 1 号機              | 2 号機                | 3 号機                | 4 号機                |
|-----|-------------------|---------------------|---------------------|---------------------|
| 水位  | O.P. 5,300        | O.P. 4,000          | O.P. 4,000          | O.P. 4,000          |
| 貯水量 | 700m <sup>3</sup> | 1,600m <sup>3</sup> | 1,900m <sup>3</sup> | 1,600m <sup>3</sup> |

### 5.1.3 解析に用いる入力地震動

3号機コントロール建屋への入力地震動は、「福島第一原子力発電所 『発電用原子炉施設に関する耐震設計審査指針』の改訂に伴う耐震安全性評価結果 中間報告書」(原管発官19第603号 平成20年3月31日付け)にて作成した解放基盤表面レベルに想定する基準地震動  $S_s$  を用いることとする。

地震応答解析に用いる入力地震動の概念図を図5.1.3-1に示す。このコントロール建屋の解析モデルに入力する地震動は、一次元波動論に基づき、解放基盤表面レベルに想定する基準地震動  $S_s$  に対する建屋基礎底面レベルの地盤応答として評価する。また、建屋基礎底面レベルにおけるせん断力を入力地震動に付加することにより、地盤の切欠き効果を考慮する。

このうち、解放基盤表面位置 (O.P. -196.0m) における基準地震動  $S_s$  の加速度波形について、図5.1.3-2に示す。

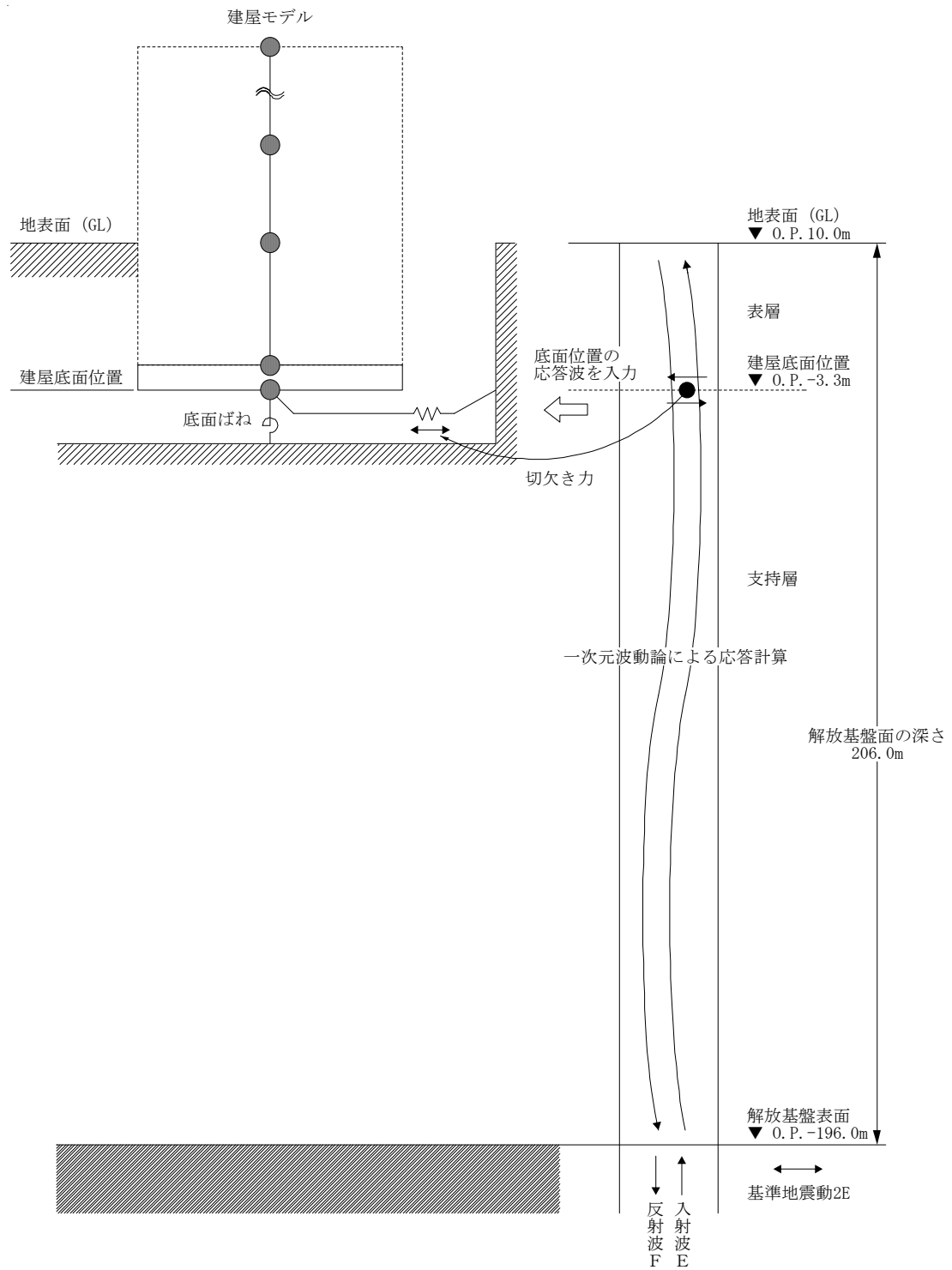
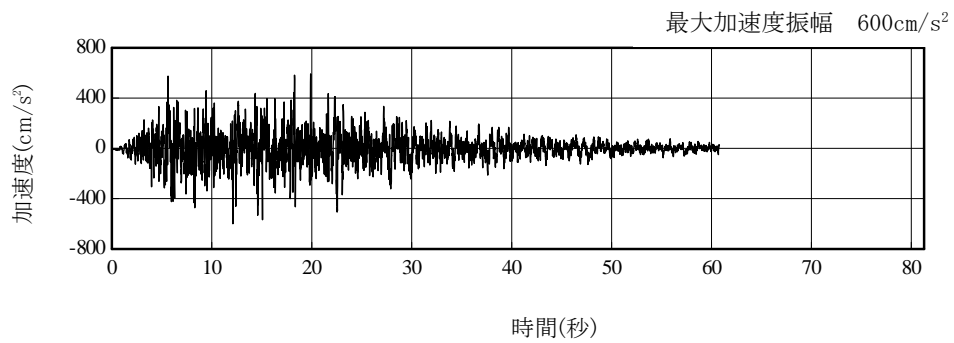


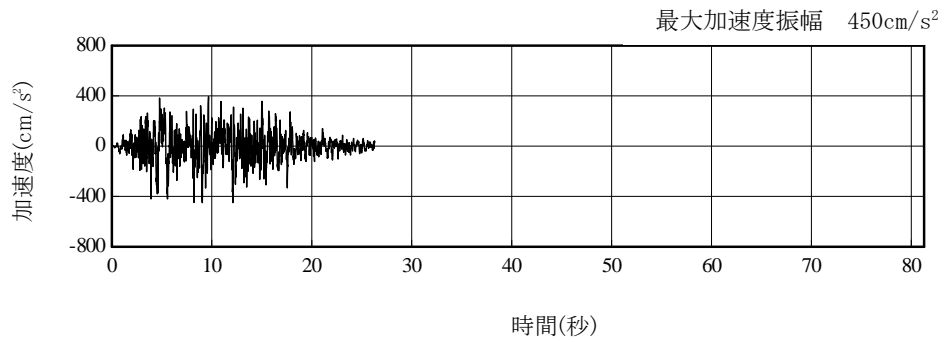
図 5. 1. 3-1 地震応答解析に用いる入力地震動の概念図



(Ss-1H)



(Ss-2H)



(Ss-3H)

図 5. 1. 3-2 解放基盤表面位置における地震動の加速度時刻歴波形 (水平方向)

#### 5.1.4 地震応答解析モデル

基準地震動  $S_s$  に対する 3号機コントロール建屋の地震応答解析は、「5.1.3. 解析に用いる入力地震動」で算定した入力地震動を用いた動的解析による。

水平方向の地震応答解析モデルは、図 5.1.4-1 及び図 5.1.4-2 に示すように、建屋を曲げ変形とせん断変形をする質点系とし、地盤を等価なばねで評価した建屋－地盤連成系モデルとする。建屋－地盤連成系としての効果は地盤ばね及び入力地震動によって評価される。解析に用いるコンクリートの物性値を表 5.1.4-1 に、建屋解析モデルの諸元を表 5.1.4-2 に示す。

地盤定数は、水平成層地盤と仮定し、地震時のせん断ひずみレベルを考慮して定めた。解析に用いた地盤定数を表 5.1.4-3 に示す。

水平方向の解析モデルにおいて、基礎底面地盤ばねについては、「JEAG 4601-1991」に示された手法を参考にして、成層補正を行ったのち、振動アドミッタンス理論に基づいて、スウェイ及びロッキングばね定数を近似的に評価する。

地盤ばねは振動数に依存した複素剛性として得られるが、図 5.1.4-3 に示すようにばね定数 ( $K_c$ ) として実部の静的な値を、また、減衰係数 ( $C_c$ ) として建屋－地盤連成系の 1 次固有振動数に対応する虚部の値と原点を結ぶ直線の傾きを採用することにより近似する。



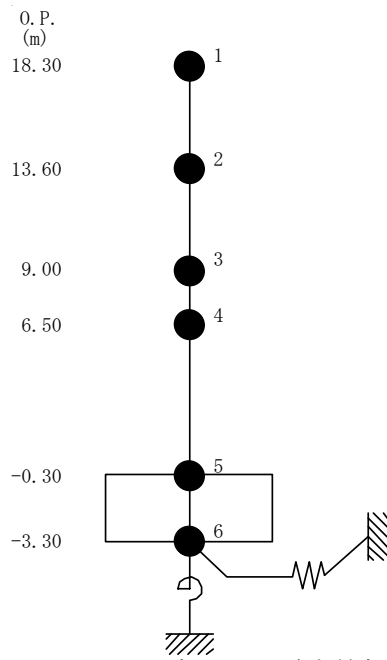


図 5.1.4-1 3号機コントロール建屋 地震応答解析モデル (NS 方向)

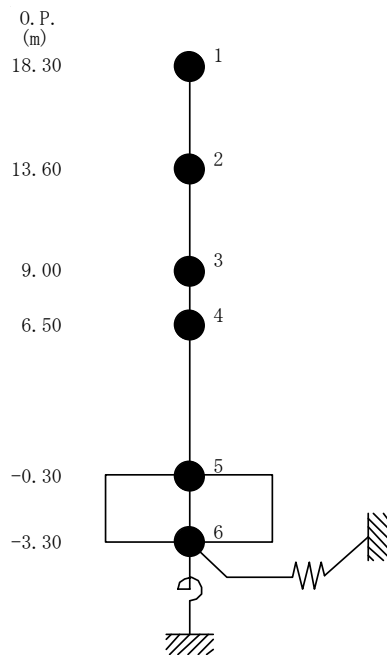


図 5.1.4-2 3号機コントロール建屋 地震応答解析モデル (EW 方向)

表 5.1.4-1 地震応答解析に用いる物性値

| コンク<br>リート | 強度*1<br>F <sub>c</sub><br>(N/mm <sup>2</sup> ) | ヤング係数*2<br>E<br>(N/mm <sup>2</sup> ) | せん断弾性係数*2<br>G<br>(N/mm <sup>2</sup> ) | ポアソン比<br>ν | 単位体積重量*3<br>γ<br>(kN/m <sup>3</sup> ) |
|------------|--|--------------------------------------|--|------------|---------------------------------------|
|            | 35.0   | 2.57×10 <sup>4</sup>                 | 1.07×10 <sup>4</sup>                   | 0.2        | 24                                    |
| 鉄筋         | SD345相当<br>(SD35)                              |                                      |  |            |                                       |

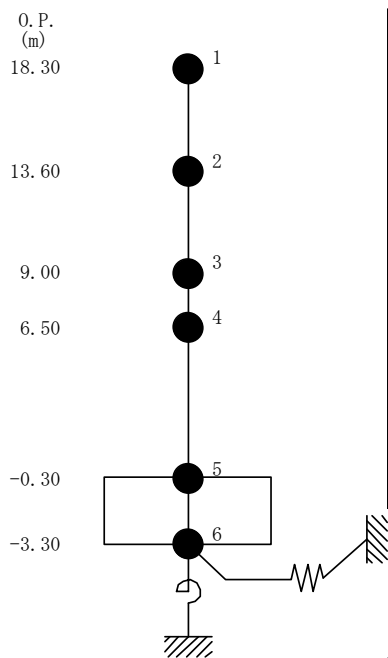
\*1：強度は実状に近い強度（以下「実強度」という。）を採用した。実強度の設定は、過去の圧縮強度試験データを収集し試験データのばらつきを考慮し圧縮強度平均値を小さめにまとめた値とした。

\*2：実強度に基づく値を示す。

\*3：鉄筋コンクリートの値を示す。

表 5.1.4-2 建屋解析モデルの諸元

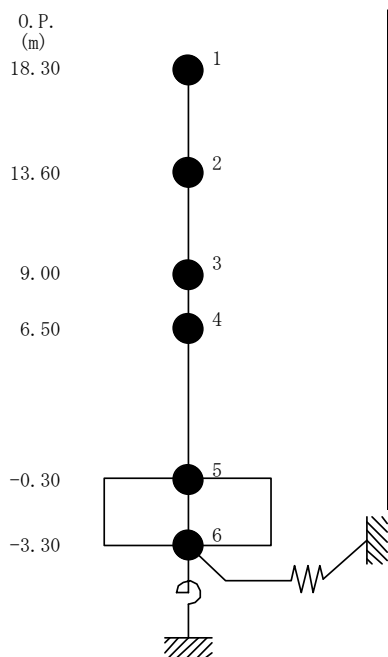
NS 方向



| 質点番号 | 質点重量<br>W (kN)     | 回転慣性重量<br>$I_G (\times 10^3 \text{kN} \cdot \text{m}^2)$ | せん断断面積<br>$A_S (\text{m}^2)$ | 断面2次モーメント<br>$I (\text{m}^4)$ |
|------|--------------------|--|------------------------------|-------------------------------|
| 1    | 13,620             | 547  | 21.5                         | 2,658                         |
| 2    | 9,160              | 368  |                              |                               |
| 3    | 8,290              | 333  | 21.5                         | 3,177                         |
| 4    | 15,110<br>(3,900)  | 607<br>(157)   | 33.8                         | 5,271                         |
| 5    | 36,680<br>(14,740) | 1,473<br>(592)   | 33.8                         | 5,271                         |
| 6    | 16,230             | 652  | 459.9                        | 18,463                        |
| 合計   | 99,090             |  |                              |                               |

注 ( )内は滞留水による付加分を示す。  
 ヤング係数  $E_c$   $2.57 \times 10^7 (\text{kN}/\text{m}^2)$   
 せん断弾性係数  $G$   $1.07 \times 10^7 (\text{kN}/\text{m}^2)$   
 ポアソン比  $\nu$  0.20  
 減衰  $h$  5%  
 基礎形状 21.95m(NS 方向)  $\times$  20.95m(EW 方向)

EW 方向



| 質点番号 | 質点重量<br>W (kN)     | 回転慣性重量<br>$I_G (\times 10^3 \text{kN} \cdot \text{m}^2)$ | せん断断面積<br>$A_S (\text{m}^2)$ | 断面2次モーメント<br>$I (\text{m}^4)$ |
|------|--------------------|--|------------------------------|-------------------------------|
| 1    | 13,620             | 498  | 16.0                         | 2,855                         |
| 2    | 9,160              | 335  |                              |                               |
| 3    | 8,290              | 303  | 20.5                         | 2,957                         |
| 4    | 15,110<br>(3,900)  | 553<br>(143)   | 32.2                         | 4,654                         |
| 5    | 36,680<br>(14,740) | 1,342<br>(539)   | 32.2                         | 4,654                         |
| 6    | 16,230             | 594  | 459.9                        | 16,819                        |
| 合計   | 99,090             |  |                              |                               |

注 ( )内は滞留水による付加分を示す。  
 ヤング係数  $E_c$   $2.57 \times 10^7 (\text{kN}/\text{m}^2)$   
 せん断弾性係数  $G$   $1.07 \times 10^7 (\text{kN}/\text{m}^2)$   
 ポアソン比  $\nu$  0.20  
 減衰  $h$  5%  
 基礎形状 21.95m(NS 方向)  $\times$  20.95m(EW 方向)

表 5.1.4-3(1) 地盤定数

(Ss-1)

| 標高<br>O.P.<br>(m) | 地質               | せん断波<br>速度<br>Vs<br>(m/s) | 単位体積<br>重量<br>γ<br>(kN/m <sup>3</sup> ) | ポアソン比<br>ν | せん断<br>弾性係数<br>G<br>(×10 <sup>5</sup> kN/m <sup>2</sup> ) | 初期せん断<br>弾性係数<br>G <sub>0</sub><br>(×10 <sup>5</sup> kN/m <sup>2</sup> ) | 剛性<br>低下率<br>G/G <sub>0</sub> | ヤング<br>係数<br>E<br>(×10 <sup>5</sup> kN/m <sup>2</sup> ) | 減衰<br>定数<br>h<br>(%) | 層厚<br>H<br>(m) |
|-------------------|------------------|---------------------------|---|------------|---|--|-------------------------------|---|----------------------|----------------|
| 10.0              |                  |                           |   |            |   |  |                               |   |                      |                |
| 1.9               | 砂岩               | 380                       | 17.8                                    | 0.473      | 2.23  | 2.62   | 0.85                          | 6.57  | 3                    | 8.1            |
| -10.0             | 泥岩<br><br>(解放基盤) | 450                       | 16.5                                    | 0.464      | 2.66  | 3.41   | 0.78                          | 7.79  | 3                    | 11.9           |
| -80.0             |                  | 500                       | 17.1                                    | 0.455      | 3.40  | 4.36   | 0.78                          | 9.89  | 3                    | 70.0           |
| -108.0            |                  | 560                       | 17.6                                    | 0.446      | 4.39  | 5.63   | 0.78                          | 12.70   | 3                    | 28.0           |
| -196.0            |                  | 600                       | 17.8                                    | 0.442      | 5.09  | 6.53   | 0.78                          | 14.68   | 3                    | 88.0           |
|                   |                  | 700                       | 18.5                                    | 0.421      | 9.24  | 9.24   | 1.00                          | 26.26   | -                    | -              |

表 5.1.4-3 (2) 地盤定数

(Ss-2)

| 標高<br>O.P.<br>(m) | 地質               | せん断波<br>速度<br>Vs<br>(m/s) | 単位体積<br>重量<br>γ<br>(kN/m <sup>3</sup> ) | ポアソン比<br>ν | せん断<br>弾性係数<br>G<br>(×10 <sup>5</sup> kN/m <sup>2</sup> ) | 初期せん断<br>弾性係数<br>G <sub>0</sub><br>(×10 <sup>5</sup> kN/m <sup>2</sup> ) | 剛性<br>低下率<br>G/G <sub>0</sub> | ヤング<br>係数<br>E<br>(×10 <sup>5</sup> kN/m <sup>2</sup> ) | 減衰<br>定数<br>h<br>(%) | 層厚<br>H<br>(m) |
|-------------------|------------------|---------------------------|---|------------|---|--|-------------------------------|---|----------------------|----------------|
| 10.0              |                  |                           |   |            |   |  |                               |   |                      |                |
| 1.9               | 砂岩               | 380                       | 17.8                                    | 0.473      | 2.23  | 2.62   | 0.85                          | 6.57  | 3                    | 8.1            |
| -10.0             | 泥岩<br><br>(解放基盤) | 450                       | 16.5                                    | 0.464      | 2.76  | 3.41   | 0.81                          | 8.08  | 3                    | 11.9           |
| -80.0             |                  | 500                       | 17.1                                    | 0.455      | 3.53  | 4.36   | 0.81                          | 10.27   | 3                    | 70.0           |
| -108.0            |                  | 560                       | 17.6                                    | 0.446      | 4.56  | 5.63   | 0.81                          | 13.19   | 3                    | 28.0           |
| -196.0            |                  | 600                       | 17.8                                    | 0.442      | 5.29  | 6.53   | 0.81                          | 15.26   | 3                    | 88.0           |
|                   |                  | 700                       | 18.5                                    | 0.421      | 9.24  | 9.24   | 1.00                          | 26.26   | -                    | -              |

表 5.1.4-3 (3) 地盤定数

(Ss-3)

| 標高<br>O. P.<br>(m) | 地質               | せん断波<br>速度<br>Vs<br>(m/s) | 単位体積<br>重量<br>$\gamma$<br>(kN/m <sup>3</sup> ) | ポアソン比<br>$\nu$ | せん断<br>弾性係数<br>G<br>( $\times 10^5$ kN/m <sup>2</sup> ) | 初期せん断<br>弾性係数<br>G <sub>0</sub><br>( $\times 10^5$ kN/m <sup>2</sup> ) | 剛性<br>低下率<br>G/G <sub>0</sub> | ヤング<br>係数<br>E<br>( $\times 10^5$ kN/m <sup>2</sup> ) | 減衰<br>定数<br>h<br>(%) | 層厚<br>H<br>(m) |
|--------------------|------------------|---------------------------|--|----------------|---|--|-------------------------------|---|----------------------|----------------|
| 10.0               |                  |                           |  |                |   |  |                               |   |                      |                |
| 1.9                | 砂岩               | 380                       | 17.8   | 0.473          | 2.25  | 2.62   | 0.86                          | 6.63  | 3                    | 8.1            |
| -10.0              | 泥岩<br><br>(解放基盤) | 450                       | 16.5   | 0.464          | 2.66  | 3.41   | 0.78                          | 7.79  | 3                    | 11.9           |
| -80.0              |                  | 500                       | 17.1   | 0.455          | 3.40  | 4.36   | 0.78                          | 9.89  | 3                    | 70.0           |
| -108.0             |                  | 560                       | 17.6   | 0.446          | 4.39  | 5.63   | 0.78                          | 12.70   | 3                    | 28.0           |
| -196.0             |                  | 600                       | 17.8   | 0.442          | 5.09  | 6.53   | 0.78                          | 14.68   | 3                    | 88.0           |
|                    |                  | 700                       | 18.5   | 0.421          | 9.24  | 9.24   | 1.00                          | 26.26   | -                    | -              |

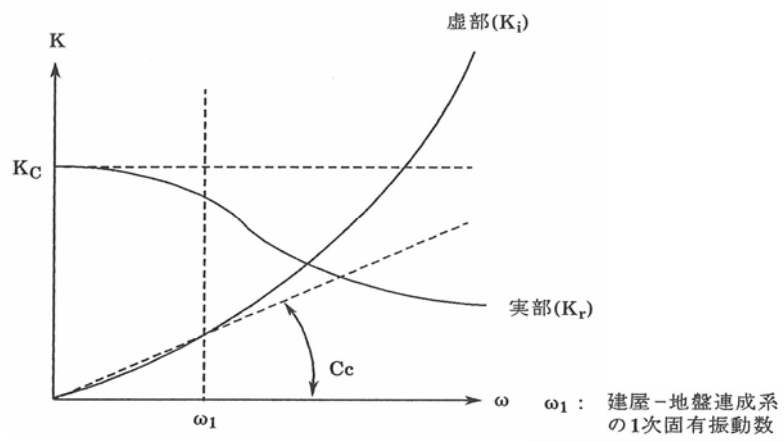


図 5. 1. 4-3 地盤ばねの近似

### 5.1.5 地震応答解析結果

地震応答解析により求められたNS方向,EW方向の最大応答加速度を図5.1.5-1及び図5.1.5-2に,地下滞留水の影響を考慮しない場合と併せて示す。

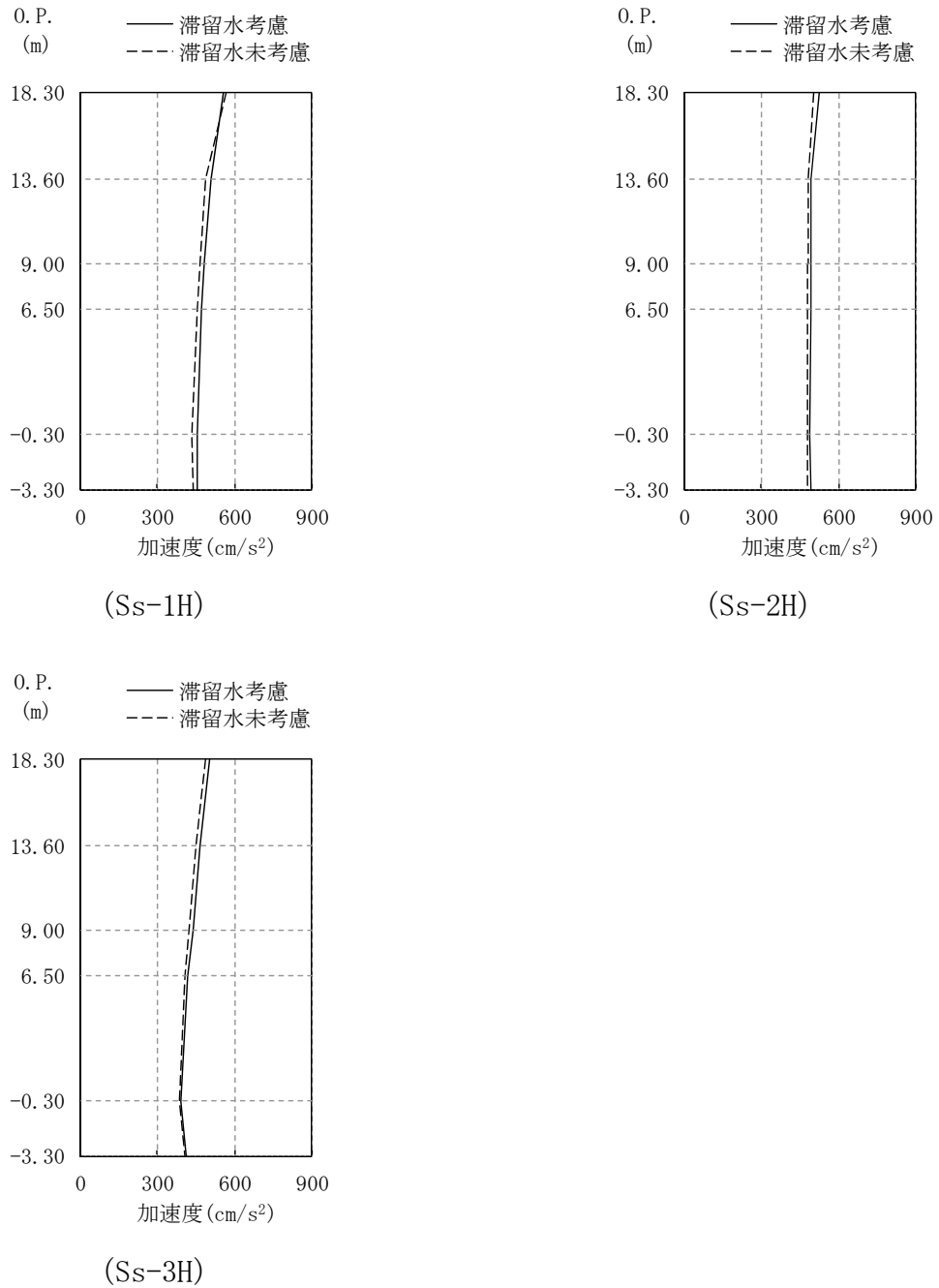
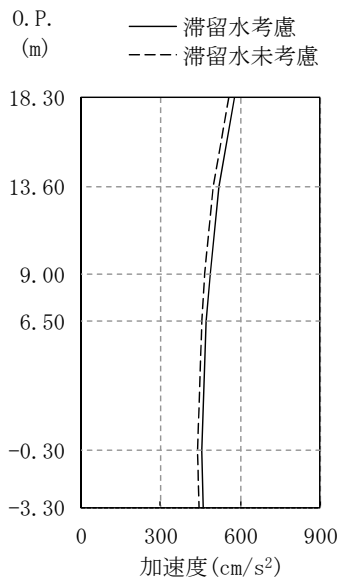
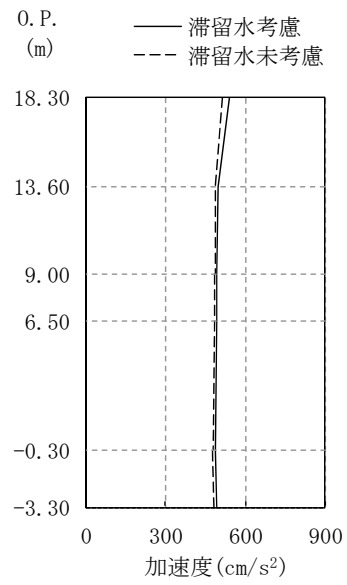


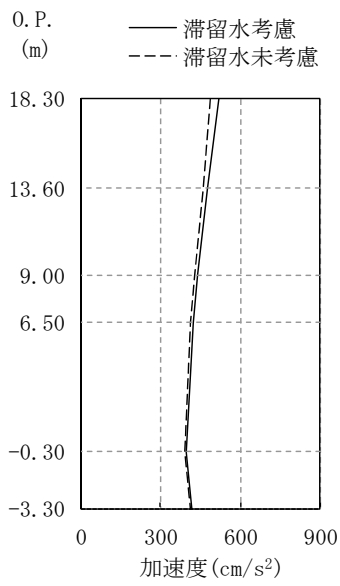
図 5.1.5-1 最大応答加速度 (NS 方向)



(Ss-1H)



(Ss-2H)



(Ss-3H)

图 5.1.5-2 最大応答加速度 (EW 方向)



### 5.1.6 耐震安全性評価結果

地震応答解析により得られた地下耐震壁のせん断ひずみ一覧を、表 5.1.6-1 及び表 5.1.6-2 に示す。また、図 5.1.6-1 及び図 5.1.6-2 に基準地震動 Ss に対する最大応答値を耐震壁のスケルトン曲線上に示す。せん断ひずみは、最大で  $0.07 \times 10^{-3}$  であり、評価基準値 ( $4.0 \times 10^{-3}$ ) に対して十分余裕がある。なお、スケルトン曲線は、建屋の方向別に、層を単位とした水平断面形状より「JEAG4601-1991」に基づいて設定したものである。

以上のことから、3号機コントロール建屋の耐震安全性は確保されているものと評価した。

表 5.1.6-1 耐震壁のせん断ひずみ一覧 (NS 方向)

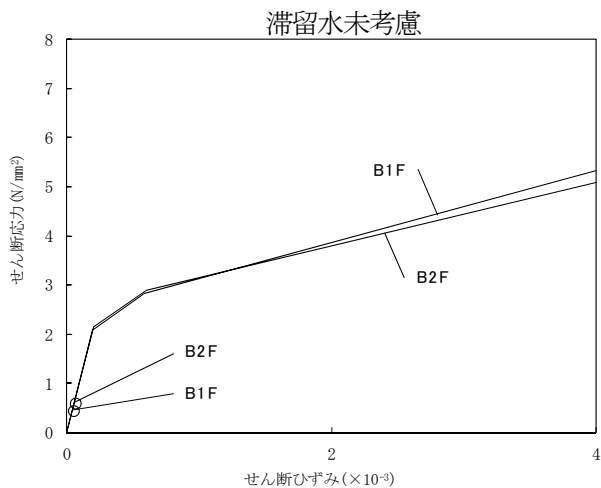
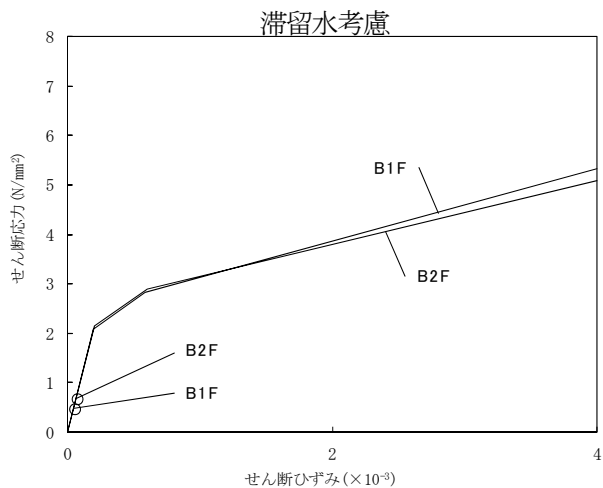
(単位： $\times 10^{-3}$ )

| 階   | 0. P.          | 地下滞留水 | Ss-1H | Ss-2H | Ss-3H | 評価基準   |
|-----|----------------|-------|-------|-------|-------|--------|
| B1F | 9.00～<br>6.50  | 考慮    | 0.05  | 0.05  | 0.05  | 4.0 以下 |
|     |                | 未考慮   | 0.05  | 0.05  | 0.04  |        |
| B2F | 6.50～<br>-0.30 | 考慮    | 0.07  | 0.07  | 0.06  |        |
|     |                | 未考慮   | 0.06  | 0.06  | 0.06  |        |

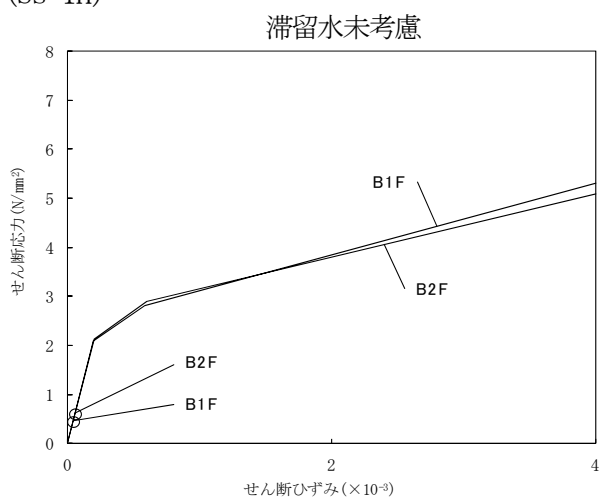
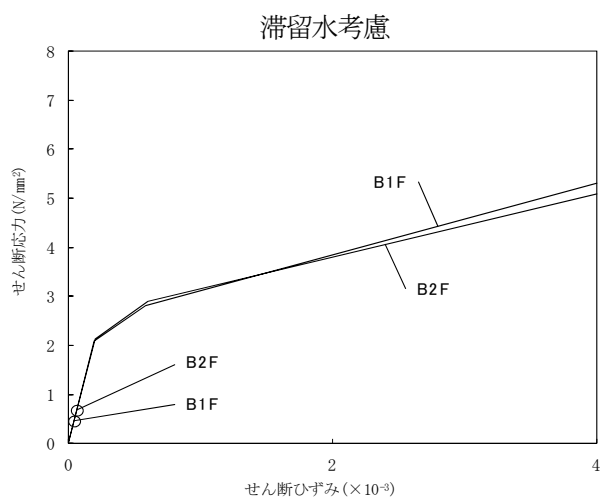
表 5.1.6-2 耐震壁のせん断ひずみ一覧 (EW 方向)

(単位： $\times 10^{-3}$ )

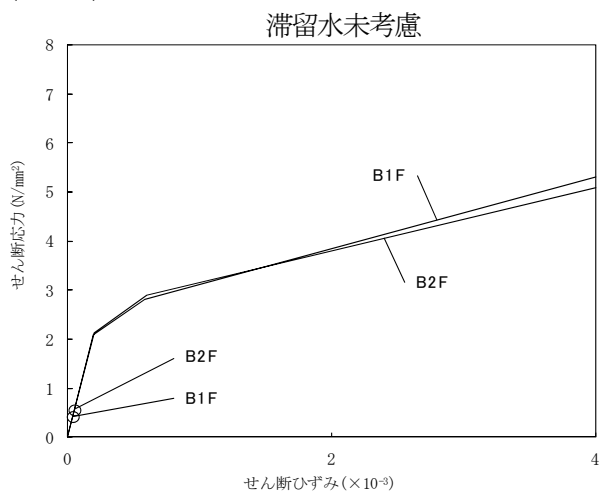
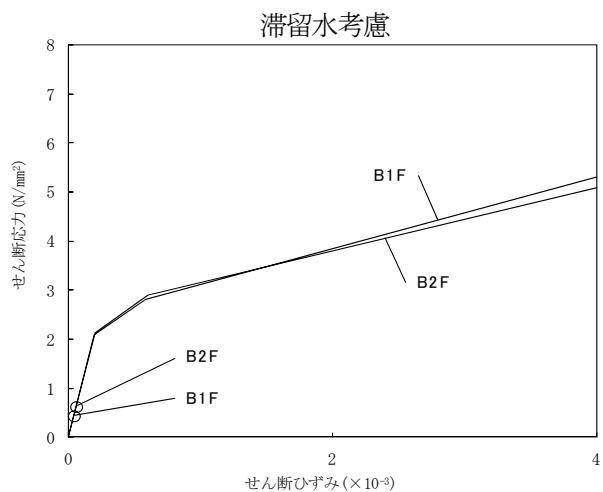
| 階   | 0. P.          | 地下滞留水 | Ss-1H | Ss-2H | Ss-3H | 評価基準   |
|-----|----------------|-------|-------|-------|-------|--------|
| B1F | 9.00～<br>6.50  | 考慮    | 0.05  | 0.05  | 0.05  | 4.0 以下 |
|     |                | 未考慮   | 0.05  | 0.05  | 0.05  |        |
| B2F | 6.50～<br>-0.30 | 考慮    | 0.07  | 0.07  | 0.07  |        |
|     |                | 未考慮   | 0.06  | 0.06  | 0.06  |        |



(Ss-1H)

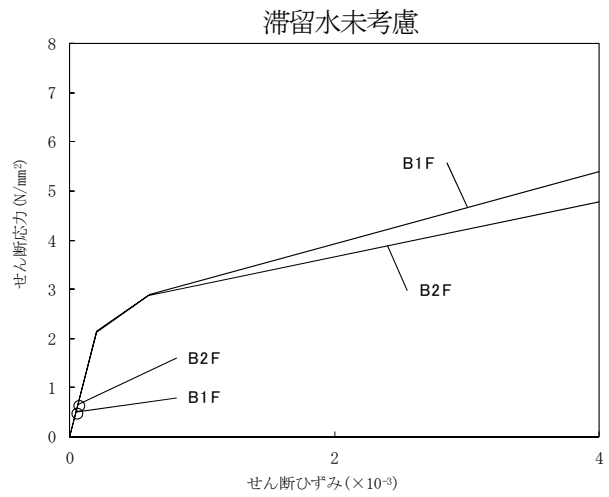
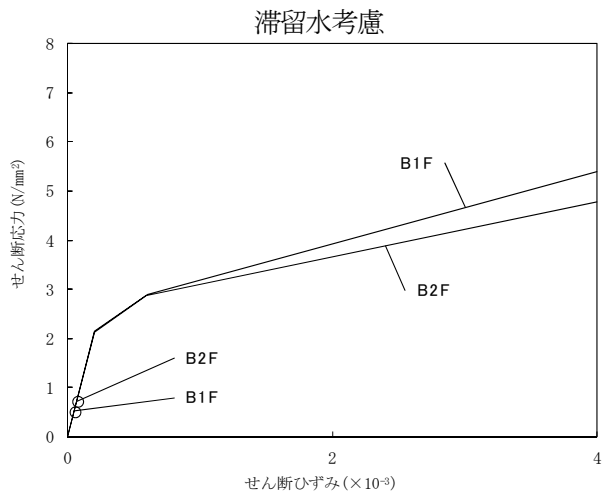


(Ss-2H)

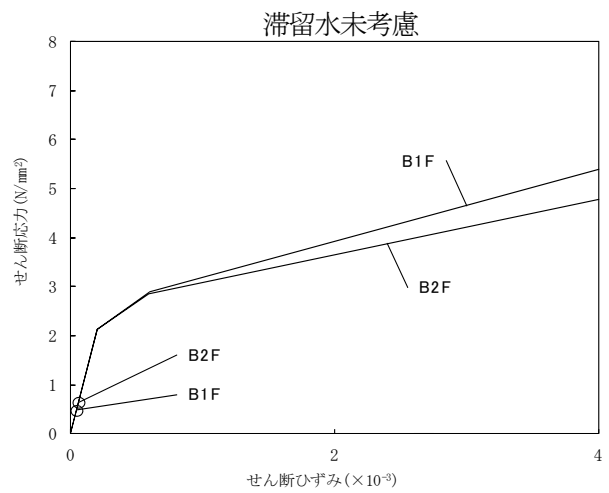
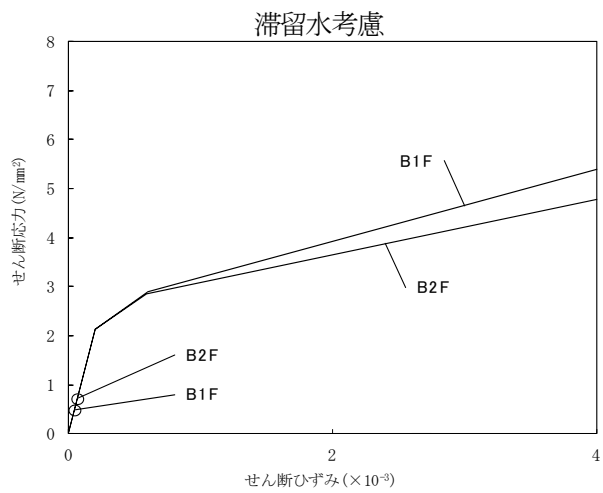


(Ss-3H)

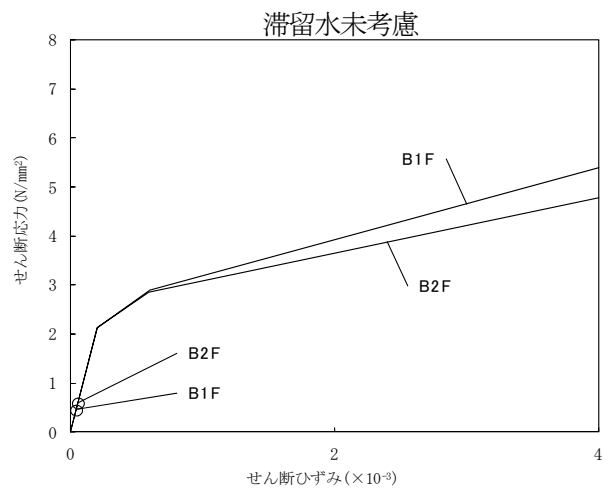
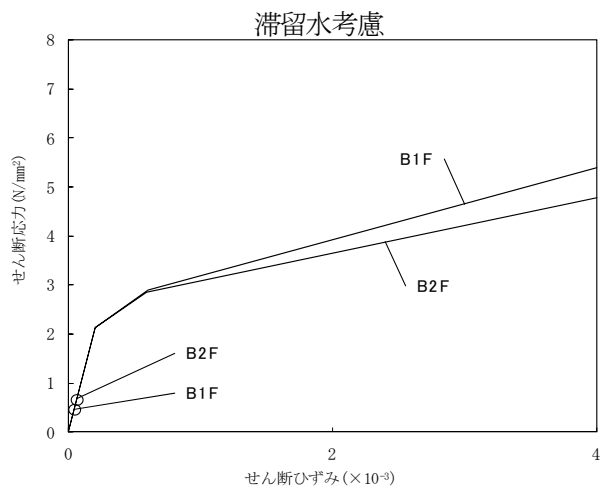
図 5.1.6-1 耐震壁のせん断ひずみ (NS 方向)



(Ss-1H)



(Ss-2H)



(Ss-3H)

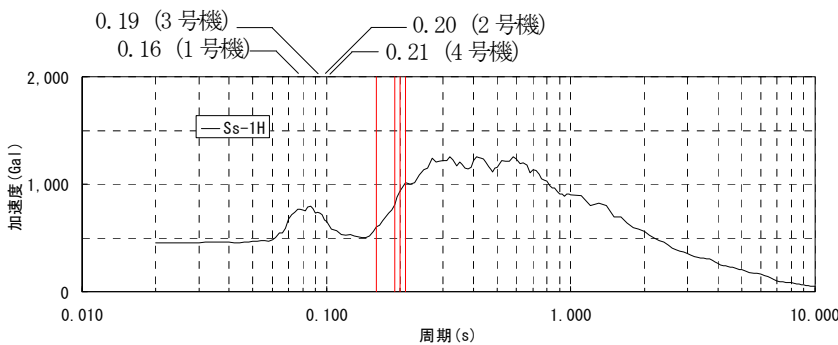
図 5. 1. 6-2 耐震壁のせん断ひずみ (EW 方向)

## 5.2 代表号機以外の検討

滞留水による影響を確認するため、滞留水量が最大であり重量変動が最も大きくなる3号機コントロール建屋を代表号機として耐震安全性評価を行った結果、滞留水を考慮しても地下外壁の耐震安全性については十分余裕があることを確認している。

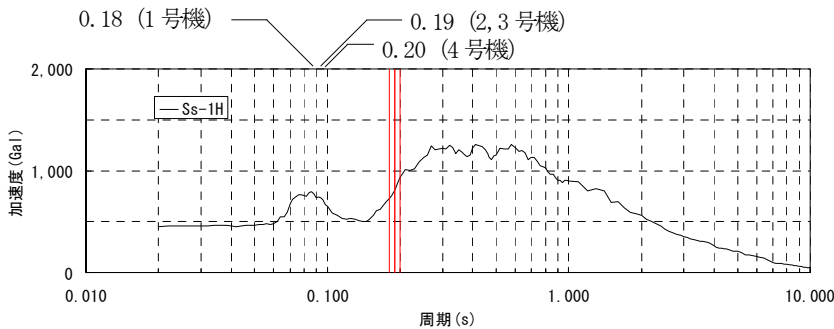
また、コントロール建屋は、各号機の機能は同じであることから、構造形式および形状は各号機で同様となっている。各号機のコントロール建屋の固有周期を比較した場合、一次固有周期はNS方向で0.16～0.21秒、EW方向で0.18～0.20秒となり、各号機の振動性状に顕著な差はみられない。

代表号機の基礎下の入力動の応答スペクトルに各建屋の一次固有周期を重ね描きしたもの、および代表号機の地下外壁の最大応答せん断ひずみに、代表号機の入力動の応答スペクトルにおける代表号機の一次固有周期の応答加速度 $\alpha_{T1}$ と各号機の一次固有周期の応答加速度 $\alpha_{T1}$ の比 $\alpha_{amp}$ を乗じた $\gamma_{resp}$ を図5.2-1～図5.2-3に示す。 $\gamma_{resp}$ は各号機ともに評価基準値 $4 \times 10^{-3}$ に対して十分に小さいことから、代表号機以外についても地下外壁の耐震安全性は確保されているといえる。



(コントロール建屋NS方向)

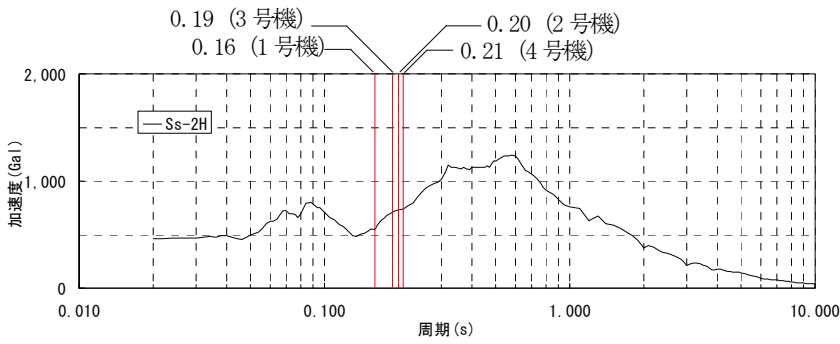
| 号機 | 一次固有周期<br>$T_1$<br>(sec) | 応答<br>加速度<br>$\alpha_{T1}$<br>(Gal) | 応答<br>加速度比<br>$\alpha_{amp}$ | $\gamma_{resp}$<br>( $\times 10^{-3}$ ) |
|----|--------------------------|-------------------------------------|------------------------------|---|
| #1 | 0.16                     | 606                                 | 0.75                         | 0.06                                    |
| #2 | 0.20                     | 934                                 | 1.16                         | 0.09                                    |
| #3 | 0.19                     | 807                                 | —                            | 0.07                                    |
| #4 | 0.21                     | 1,012                               | 1.25                         | 0.09                                    |



(コントロール建屋EW方向)

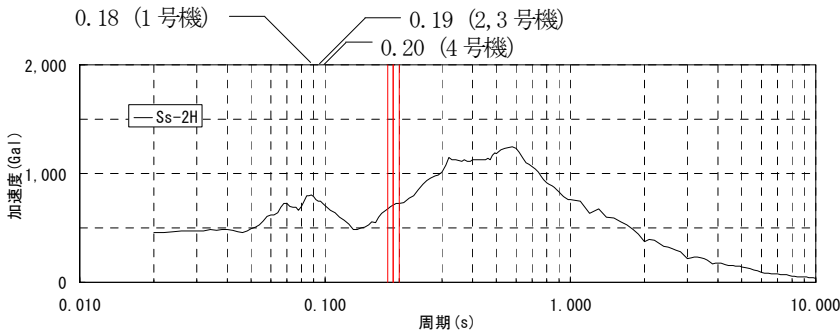
| 号機 | 一次固有周期<br>$T_1$<br>(sec) | 応答<br>加速度<br>$\alpha_{T1}$<br>(Gal) | 応答<br>加速度比<br>$\alpha_{amp}$ | $\gamma_{resp}$<br>( $\times 10^{-3}$ ) |
|----|--------------------------|-------------------------------------|------------------------------|---|
| #1 | 0.18                     | 728                                 | 0.90                         | 0.07                                    |
| #2 | 0.19                     | 807                                 | 1.00                         | 0.07                                    |
| #3 | 0.19                     | 807                                 | —                            | 0.07                                    |
| #4 | 0.20                     | 934                                 | 1.16                         | 0.09                                    |

図5.2-1 代表号機の基礎下の入力動の応答スペクトルと各建屋の一次固有周期 (Ss-1H)



(コントロール建屋NS方向)

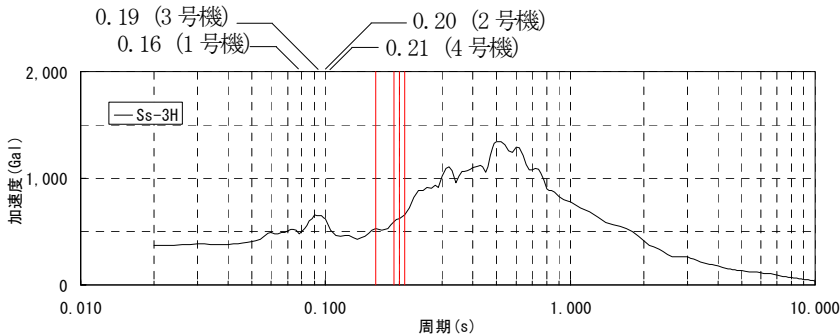
| 号機 | 一次固有周期 T1 (sec) | 応答加速度 $\alpha_{T1}$ (Gal) | 応答加速度比 $\alpha_{amp}$ | $\gamma_{resp}$ ( $\times 10^{-3}$ ) |
|----|-----------------|---------------------------|-----------------------|--------------------------------------|
| #1 | 0.16            | 549                       | 0.78                  | 0.06                                 |
| #2 | 0.20            | 728                       | 1.03                  | 0.08                                 |
| #3 | 0.19            | 708                       | —                     | 0.07                                 |
| #4 | 0.21            | 734                       | 1.04                  | 0.08                                 |



(コントロール建屋EW方向)

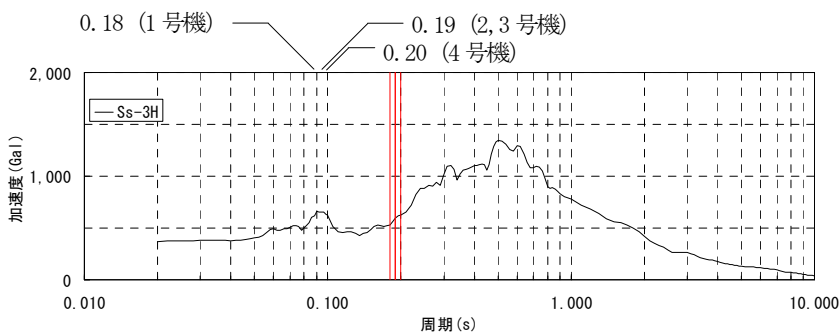
| 号機 | 一次固有周期 T1 (sec) | 応答加速度 $\alpha_{T1}$ (Gal) | 応答加速度比 $\alpha_{amp}$ | $\gamma_{resp}$ ( $\times 10^{-3}$ ) |
|----|-----------------|---------------------------|-----------------------|--------------------------------------|
| #1 | 0.18            | 678                       | 0.96                  | 0.07                                 |
| #2 | 0.19            | 708                       | 1.00                  | 0.07                                 |
| #3 | 0.19            | 708                       | —                     | 0.07                                 |
| #4 | 0.20            | 728                       | 1.03                  | 0.08                                 |

図 5.2-2 代表号機の基礎下の入力動の応答スペクトルと各建屋の一次固有周期 (Ss-2H)



(コントロール建屋NS方向)

| 号機 | 一次固有周期 T1 (sec) | 応答加速度 $\alpha_{T1}$ (Gal) | 応答加速度比 $\alpha_{amp}$ | $\gamma_{resp}$ ( $\times 10^{-3}$ ) |
|----|-----------------|---------------------------|-----------------------|--------------------------------------|
| #1 | 0.16            | 528                       | 0.89                  | 0.06                                 |
| #2 | 0.20            | 625                       | 1.05                  | 0.07                                 |
| #3 | 0.19            | 594                       | —                     | 0.06                                 |
| #4 | 0.21            | 655                       | 1.10                  | 0.07                                 |

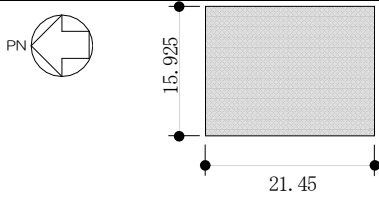
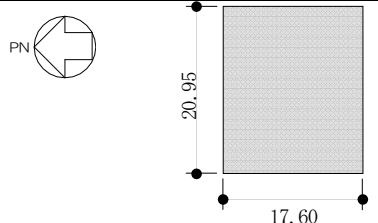
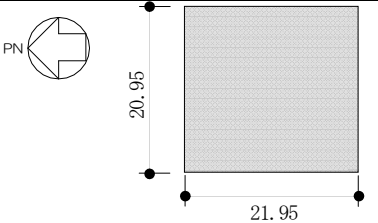
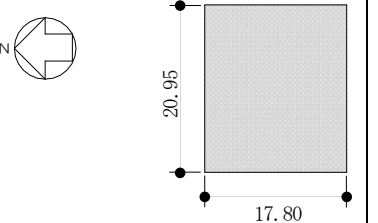
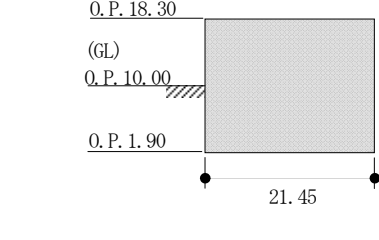
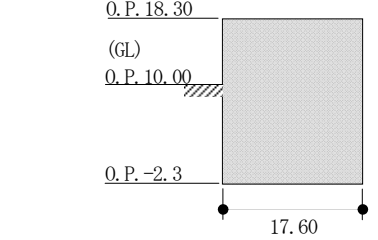
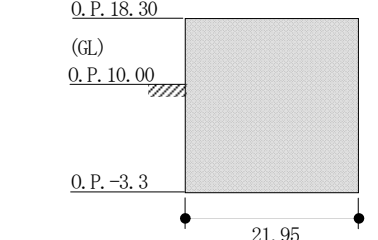
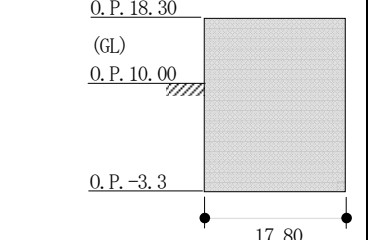
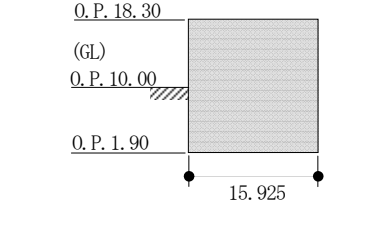
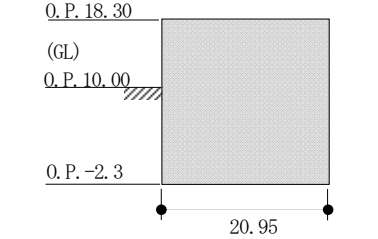
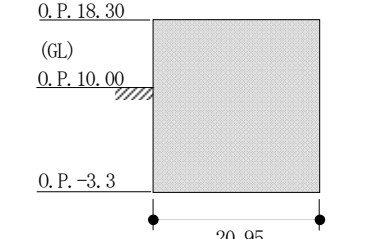
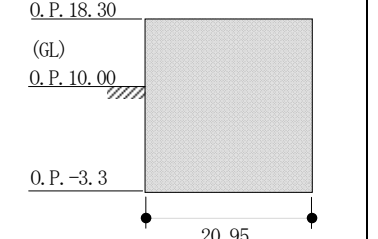


(コントロール建屋EW方向)

| 号機 | 一次固有周期 T1 (sec) | 応答加速度 $\alpha_{T1}$ (Gal) | 応答加速度比 $\alpha_{amp}$ | $\gamma_{resp}$ ( $\times 10^{-3}$ ) |
|----|-----------------|---------------------------|-----------------------|--------------------------------------|
| #1 | 0.18            | 532                       | 0.90                  | 0.07                                 |
| #2 | 0.19            | 594                       | 1.00                  | 0.07                                 |
| #3 | 0.19            | 594                       | —                     | 0.07                                 |
| #4 | 0.20            | 625                       | 1.05                  | 0.08                                 |

図 5.2-3 代表号機の基礎下の入力動の応答スペクトルと各建屋の一次固有周期 (Ss-3H)

表 5.2-1 コントロール建屋の形状・一次固有周期・滞留水量の比較

|                       |    | 1号機コントロール建屋   | 2号機コントロール建屋  | 3号機コントロール建屋   | 4号機コントロール建屋   |      |
|-----------------------|----|---|--|---|---|------|
| 平面図                   |    |  |  |  |  |      |
| NS方向断面                |    |  |  |  |  |      |
| EW方向断面                |    |  |  |  |  |      |
| 一次固有周期 (s)            | NS | Ss-1H   | 0.16   | 0.20  | 0.19  | 0.21 |
|                       |    | Ss-2H   | 0.16   | 0.20  | 0.19  | 0.21 |
|                       |    | Ss-3H   | 0.16   | 0.20  | 0.19  | 0.21 |
|                       | EW | Ss-1H   | 0.18   | 0.19  | 0.19  | 0.20 |
|                       |    | Ss-2H   | 0.18   | 0.19  | 0.19  | 0.20 |
|                       |    | Ss-3H   | 0.18   | 0.19  | 0.19  | 0.20 |
| 滞留水量(m <sup>3</sup> ) |    | 700   | 1,600  | 1,900   | 1,600   |      |
| 同一レベルの貯留比率*           |    | B1F:0.342   | B1F:0.623<br>B2F:0.273   | B1F:0.348<br>B2F:0.672  | B1F:0.487   |      |

※同一レベルの滞留水重量と質点重量の比率

## 地下水バイパスによる地下水流入量の低減

## 1 概要

建屋周辺の地下水は、山側から海側に向かって流れていることから、建屋山側の高台で地下水を揚水し、その流路を変更して海にバイパスすることにより、建屋周辺の地下水位を段階的に低下させ、建屋への地下水流入量の低減を図っていく（図1）。

地下水バイパスの設備は、建屋山側で地下水を汲み上げる揚水井及びポンプ、汲み上げた地下水を一時的に貯留して水質を確認するタンク、地下水を移送するための配管等からなる（図2）。

## 2 地下水バイパスによる地下水の建屋流入抑制効果

建屋周辺の地下水位は、浸透流解析により検討した結果、地下水バイパスの実施に伴い、原子炉建屋山側で現況（O. P. + 9 m程度）より最大で1. 3 m程度、タービン建屋海側で現況（O. P. + 4 m程度）より最大で0. 2 m程度低下するものと想定され（図3～5）、これにより、建屋内への地下水流入量は現況より2 0 m<sup>3</sup>/日～1 2 0 m<sup>3</sup>/日程度低減されるものと考えられる。

## 3 滞留水の建屋外漏えい防止対策への影響

地下水バイパスの実施にあたっては、地下水低下状況及び水質等をモニタリングし、浸透流解析結果の検証を行いつつ、段階的に地下水位を低下させることで（図6）、建屋内滞留水が建屋外に漏れ出さないように慎重な水位管理を実施していく。

モニタリングにあたっては、原子炉建屋山側のサブドレンを活用するとともに、原子炉建屋と揚水井の間に観測孔を新設する（図7）。

なお、豪雨等の発生による直接的な雨水の流入及び地下水位上昇による地下水流入量の増加時には、地下水位と建屋内滞留水の水位を注意深く監視し、必要に応じて、集中廃棄物処理建屋への移送量を増加すること等により、建屋内滞留水の水位上昇を抑制する。

## 4 地下水の汲み上げによる地盤沈下

地下水バイパスの実施に伴い地下水を汲み上げるが、O. P. + 1 0 m盤の原子炉建屋、タービン建屋、運用補助共用施設（共用プール）などの建屋については、直接岩盤に支持されていることから沈下の恐れはないと考えられる。また、建屋周辺の地下水位は、東北地方太平洋沖地震前にはサブドレンが稼働し十分に低下していたことから、地下水バイパスの実施に伴い現況から地下水位が低下しても、建屋周辺の地盤沈下の恐れはないと考えられる。

O. P. + 3 5 m盤のタンクエリア等の一部については、地下水位が若干低下する

が、その量は2 m程度以下と少なく、また、揚水する地下水は不圧地下水であり、現況の地下水位よりも下の地層は地質年代が古く（新第三紀）、十分圧密されていることから、地下水位の低下に伴う沈下の恐れはないと考えられる。

#### 5 汲み上げた地下水の管理

地下水バイパスの実施に伴い汲み上げた地下水は、一時貯留タンクに貯留し、含まれる放射性物質濃度が告示濃度限度よりも十分に低い運用目標（告示濃度限度に対する割合の和0.22）を満足することを確認した後に、排水を行う。汲み上げた地下水を汚染させない管理については、以下のとおりである。

- ・ 水質確認のための一時貯留タンクとバイパス用の専用配管を通して移送する。
- ・ 一時貯留タンクエリア周辺の空気は、事故発災後の測定において、管理区域設定基準を超えておらず、現在は基準値の2桁程度低い濃度で安定に推移しているが、万一の空气中放射性物質混入を防止する対策として、一時貯留タンクの吸気管口を汚染のおそれのない管理対象区域に設ける。
- ・ 水質確認の結果、運用目標以上の放射性物質が確認された場合には、揚水井からの地下水くみ上げを停止する。



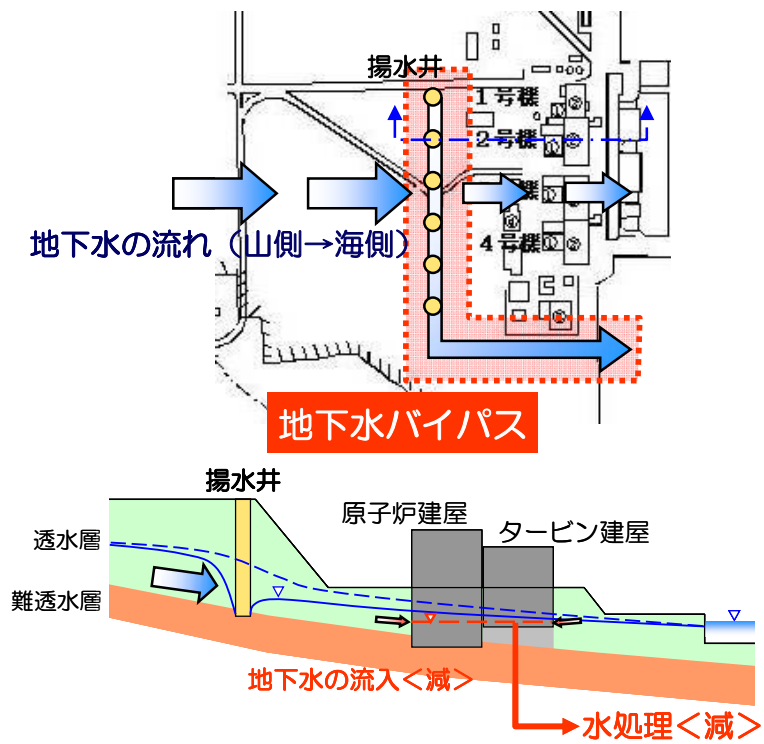


図1 地下水バイパス (イメージ)

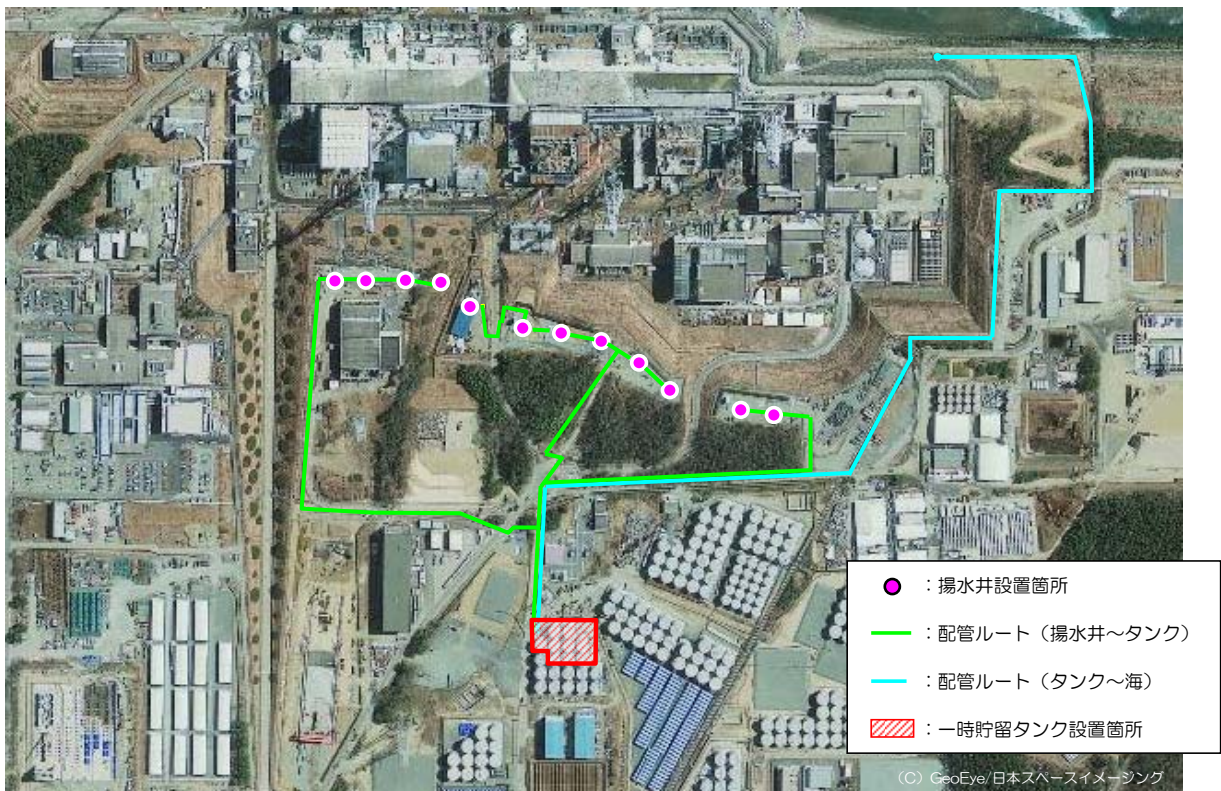


図2 地下水バイパスの設備

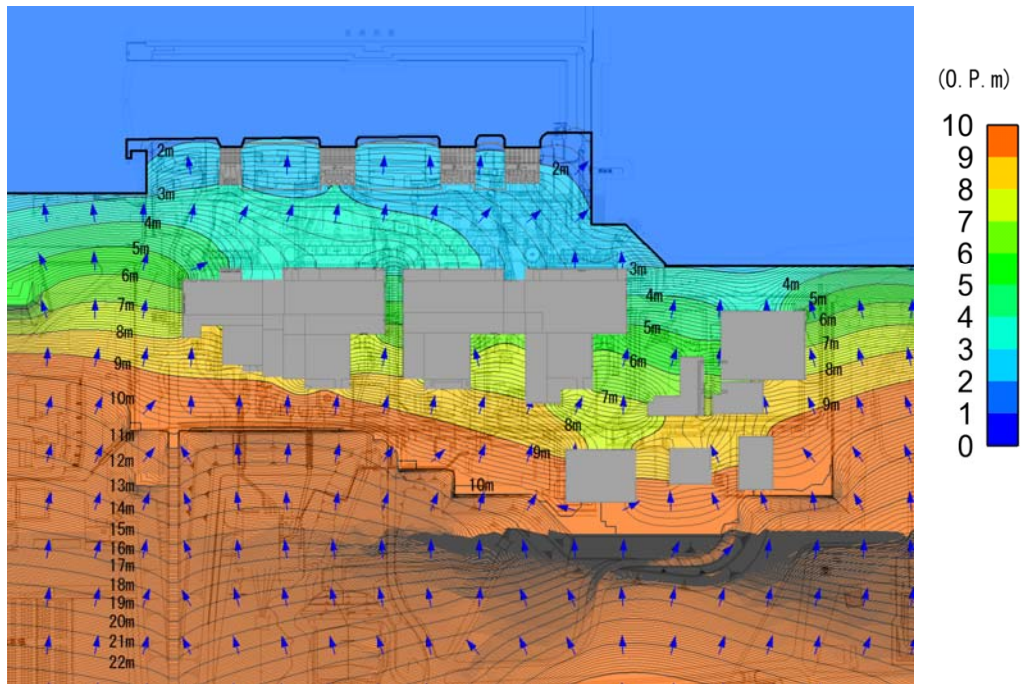


図3 建屋周りの地下水位（現況）

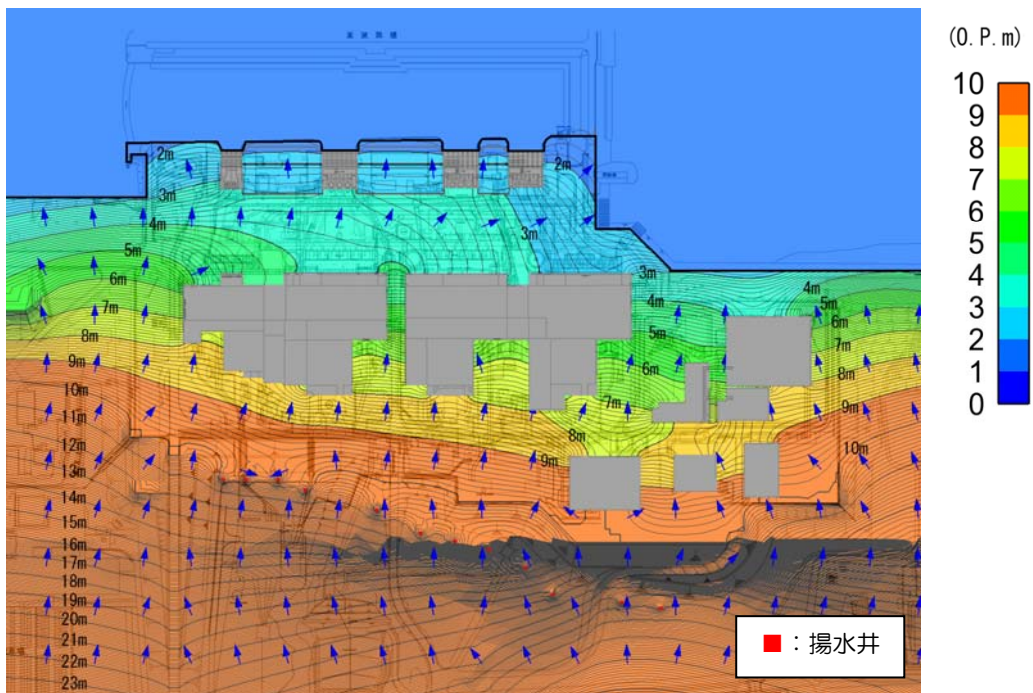


図4 建屋周りの地下水位（地下水バイパス実施後）



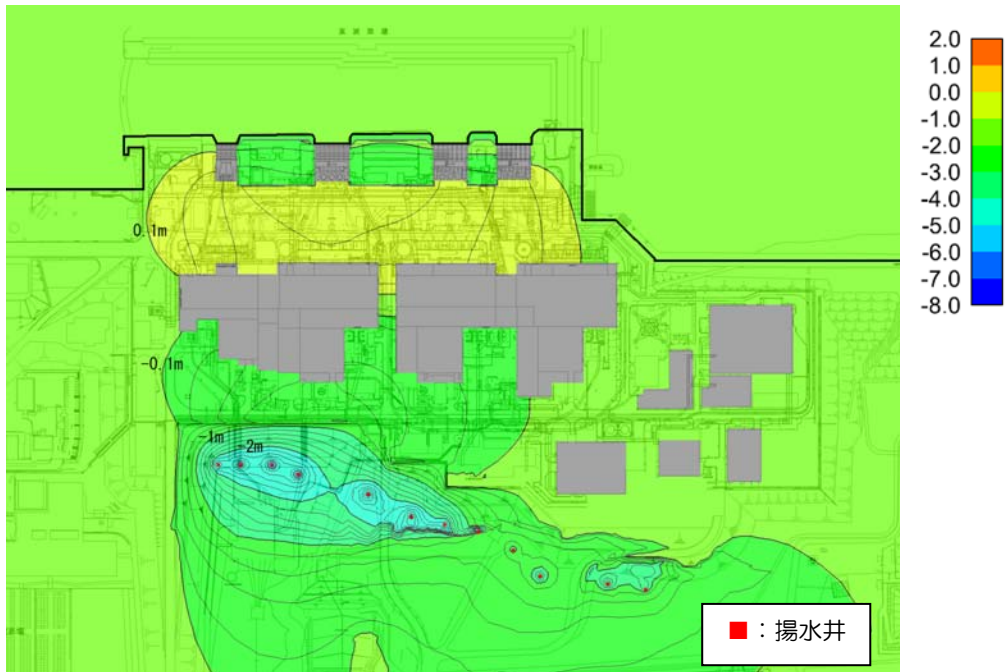


図5 建屋周りの地下水位の低下量（現況と地下水バイパス実施後の差分）

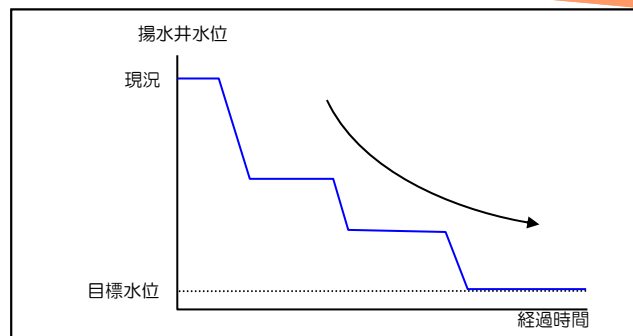
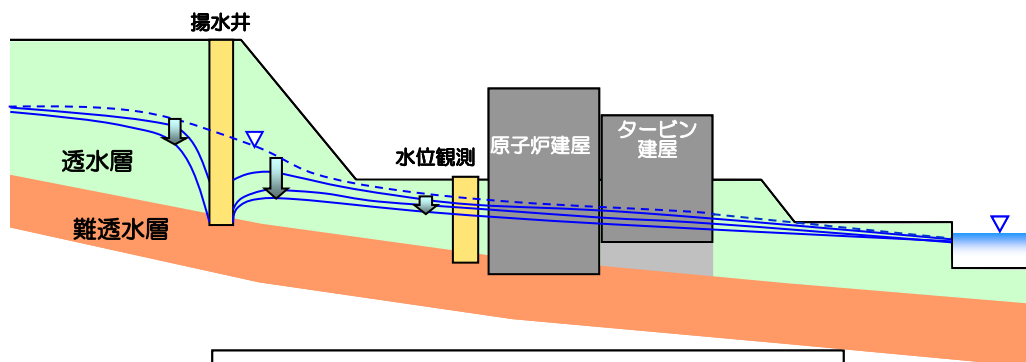


図6 段階的な地下水位低下のイメージ

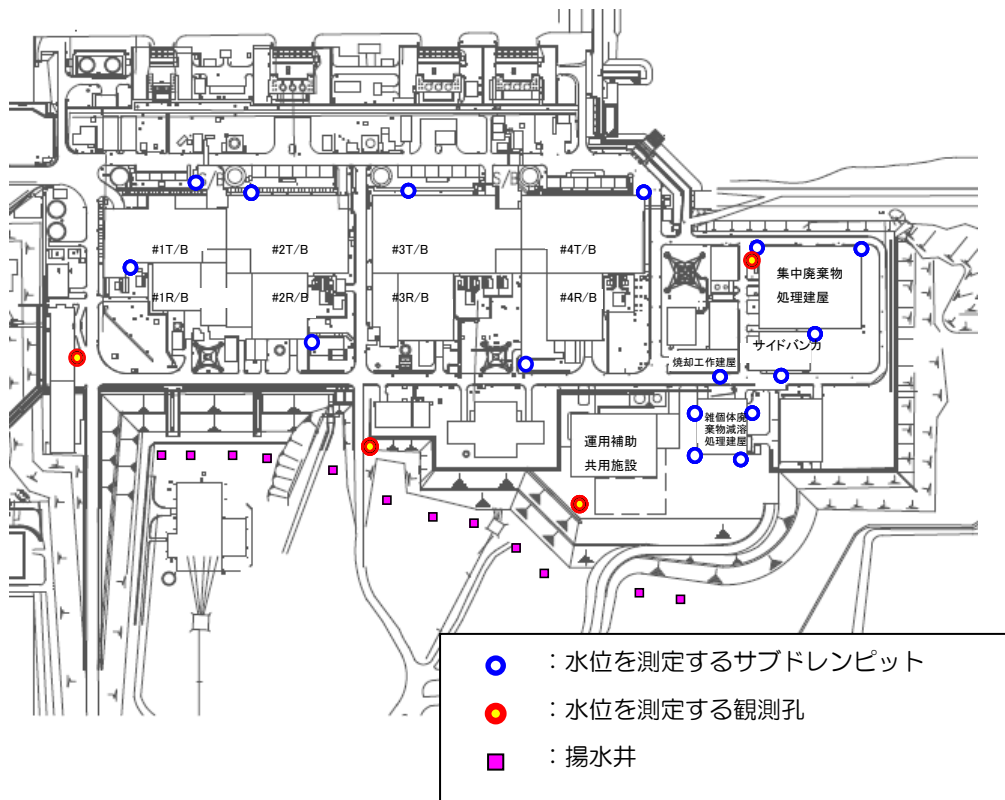
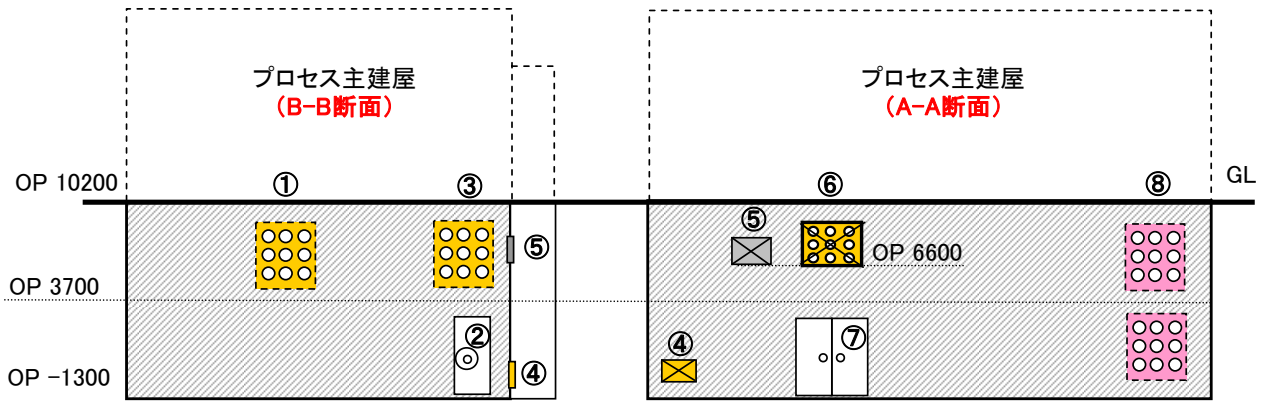
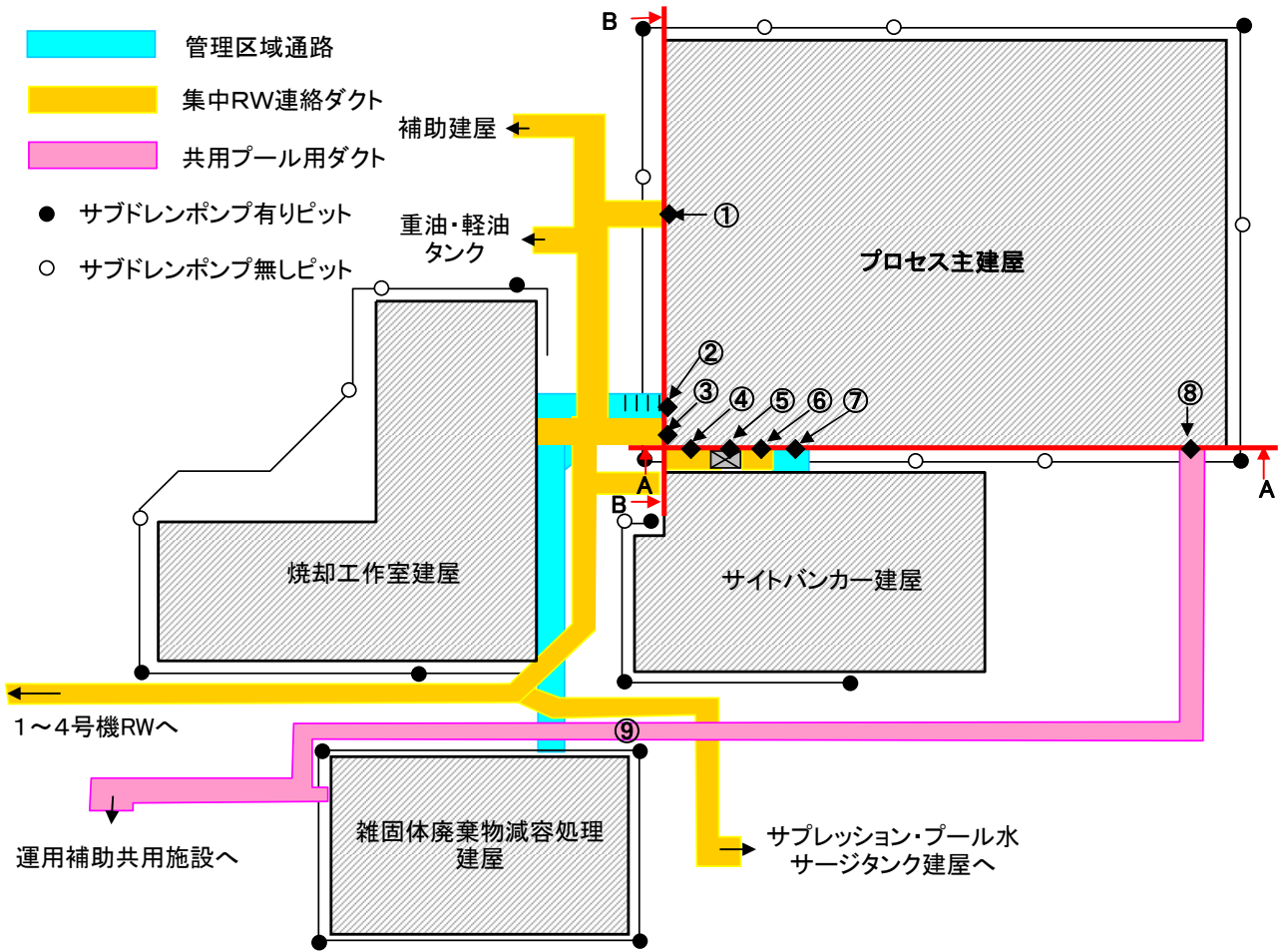
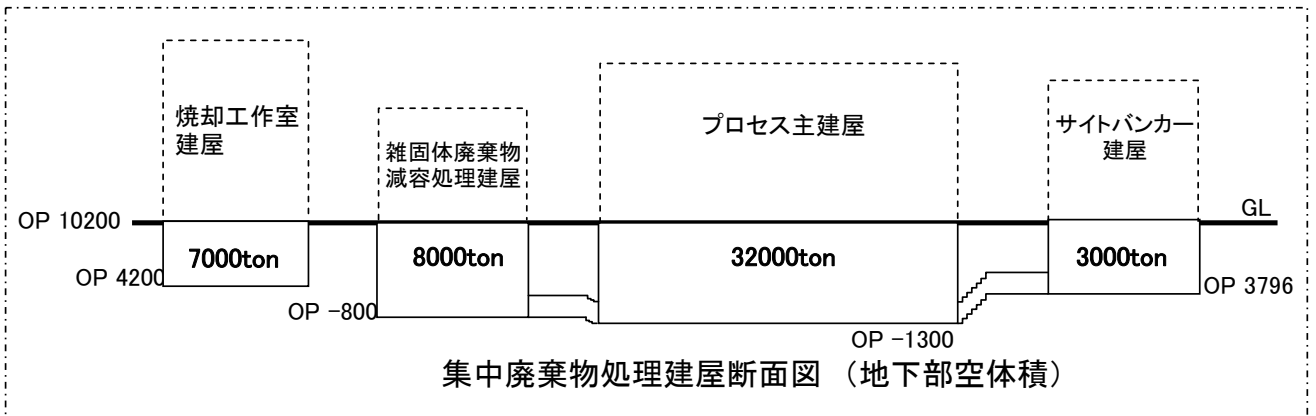


図7 モニタリング計画

プロセス主建屋の貫通部の止水措置



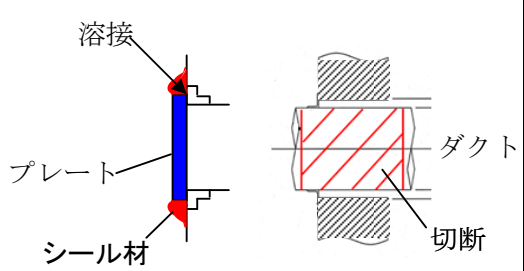
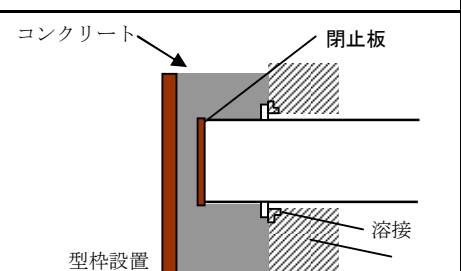
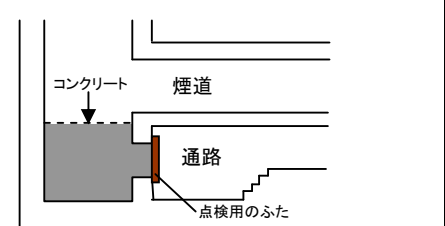
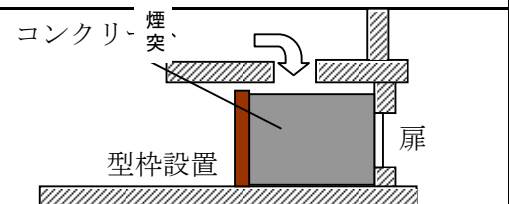
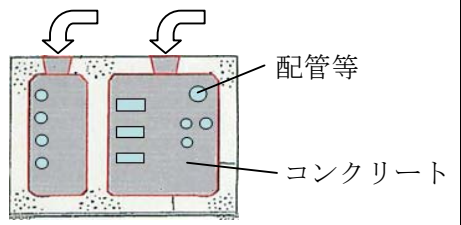
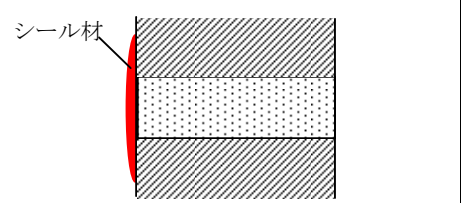
プロセス主建屋位置関係図



集中廃棄物処理建屋断面図 (地下部空体積)

貫通部止水工事 施工方法について

|            |   |  |          |
|------------|---|--|----------|
|            | <p>型枠を設置してコンクリートを充填する。</p>  |  | <p>B</p> |
|            | <p>開口部の両端に土のうを積み開口内部にコンクリートを充填する。</p>                                 |  | <p>C</p> |
|            | <p>ファンネル流入口に閉止板を設置し、モルタルをファンネル内に充填した後、床面と充填したモルタルの境界表面にシール材を塗布する。</p> |  | <p>D</p> |
|            | <p>配管を切断し、閉止板を溶接にて取り付けることにより閉塞する。</p>                                 | <p style="text-align: center;">例：A+E</p> | <p>E</p> |
| <p>電線管</p> | <p>電線管切断後、シール材を充填する。</p>  | <p>電線管のみの場合      プルボックスの場合</p>           | <p>F</p> |
|            | <p>トレンチ側の電線を切断し、コンクリートで充填する。</p>                                      |  | <p>G</p> |

| 設備     | 処置方法                                     | 概要図  | 記号 |
|--------|--|--|----|
| ダクト    | ダクトを切断し、プレートを取り付けて閉止した後、溶接箇所にはシール材を塗布する。 |    | H1 |
|        | ダクトに閉止板を設置し、型枠との隙間にコンクリートを充填する。          |    | H2 |
| 煙道     | 煙道出口に閉止板を設置した後、コンクリートを充填して閉塞する。          |   | I  |
| 扉      | 型枠を設置した後、コンクリートを充填することで閉塞する。             |  | J  |
| トレンチ   | 地上との貫通部よりコンクリートを充填する。                    |  | K  |
| 予備スリーブ | 予備スリーブの加工箇所の壁面、モルタル充填部表面にシール材を塗布         |  | L  |

## プロセス主建屋の健全性 ひび割れ等の漏えい対策

## 1 はじめに

プロセス主建屋の地下躯体部分の水密性を確保する観点から、ひび割れ点検を行うとともに、ひび割れ箇所の補修を行った。

## 2 現場確認方法

プロセス主建屋のひび割れ点検は、日常点検における記録を基に地震後に新たに生じたと考えられるひび割れについて目視点検を行った。

## 3 点検結果及び評価

点検では、新たに地震により生じたひび割れは確認されなかった。今回の地震前から存在していたと思われるひび割れは確認されたが、縦方向のひび割れであることから、経年によるコンクリートの乾燥収縮によって生じたひび割れと判断した。

その他のひび割れについても、ひび割れ部分にはエフロレッセンス（白華現象）等の変化が見られないことから、通常時には漏水等の問題はなかったものと考えられる。

また、プロセス主建屋は、不透水層である富岡層（泥岩）に基礎マットが設置されていること、地下外壁面周囲にアスファルト防水が施工されていることから、止水性は確保されているものと考えられるが、地下外壁のひび割れ部の補修を行い、水密性を高めるものとする。

## 4 ひび割れ補修

## 4.1 補修範囲

ひび割れの補修は、プロセス主建屋の日常点検により記録されたひび割れのほか、目視で確認できる全てのひび割れについて実施した。プロセス主建屋のひび割れの補修本数を表-1に示す。

表-1 ひび割れ補修本数

|         | 部 位  | 実施本数<br>(0.3mm以上のひび割れ) |
|---------|------|------------------------|
| プロセス主建屋 | 地下1階 | 59                     |
|         | 地下2階 | 249                    |

## 4.2 補修方法

- ・ 目視で確認できるひび割れを全て補修する。
- ・ 使用材料：ポリマーセメント系塗膜防水材



## 5 まとめ

対象となるひび割れについて全て補修を実施し、当社は適切に補修されたことを確認した。

6 ひび割れ調査図 (壁展開図・ひび割れ幅 0.3mm 以上のものを記録)

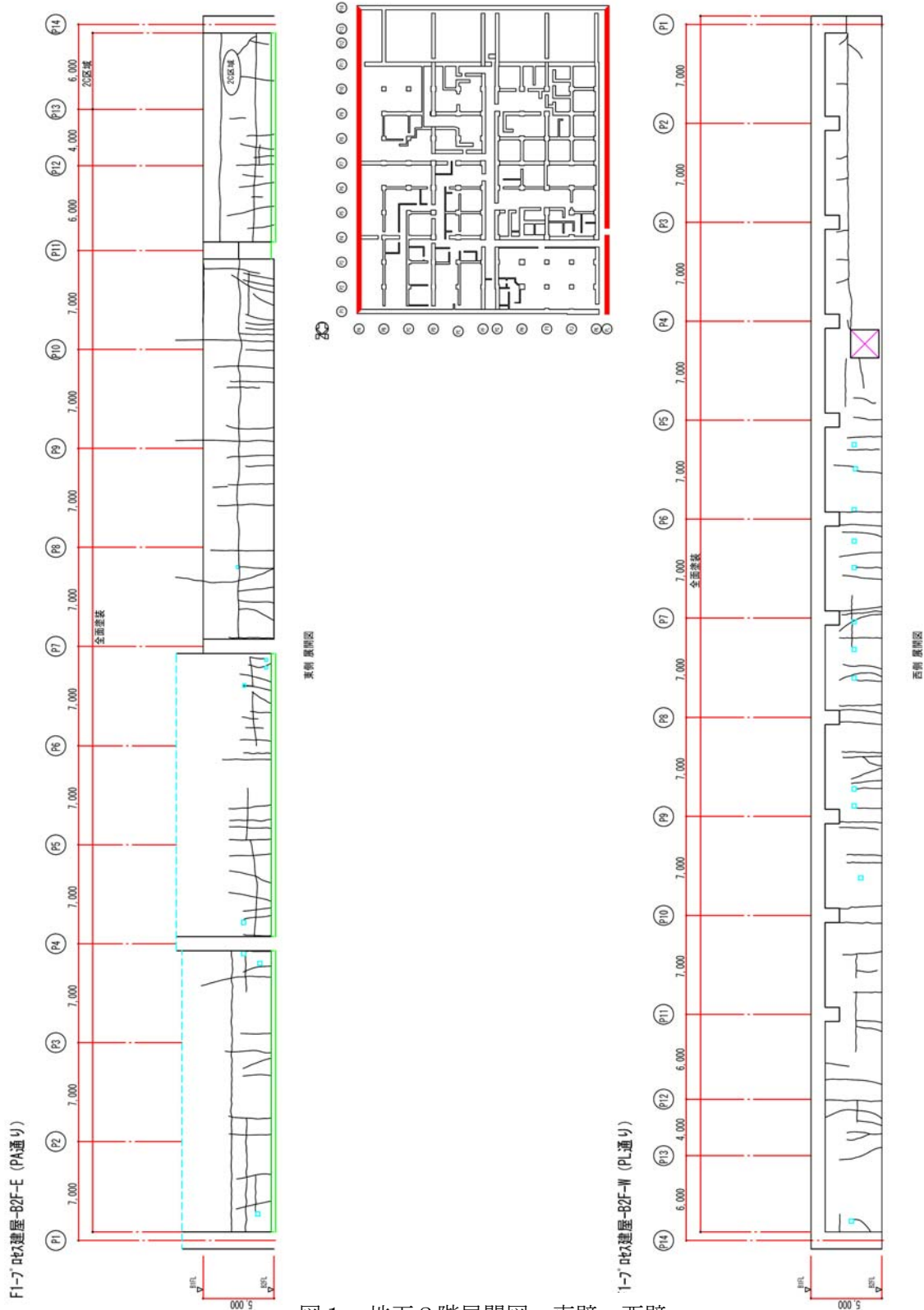


図1 地下2階展開図 東壁, 西壁

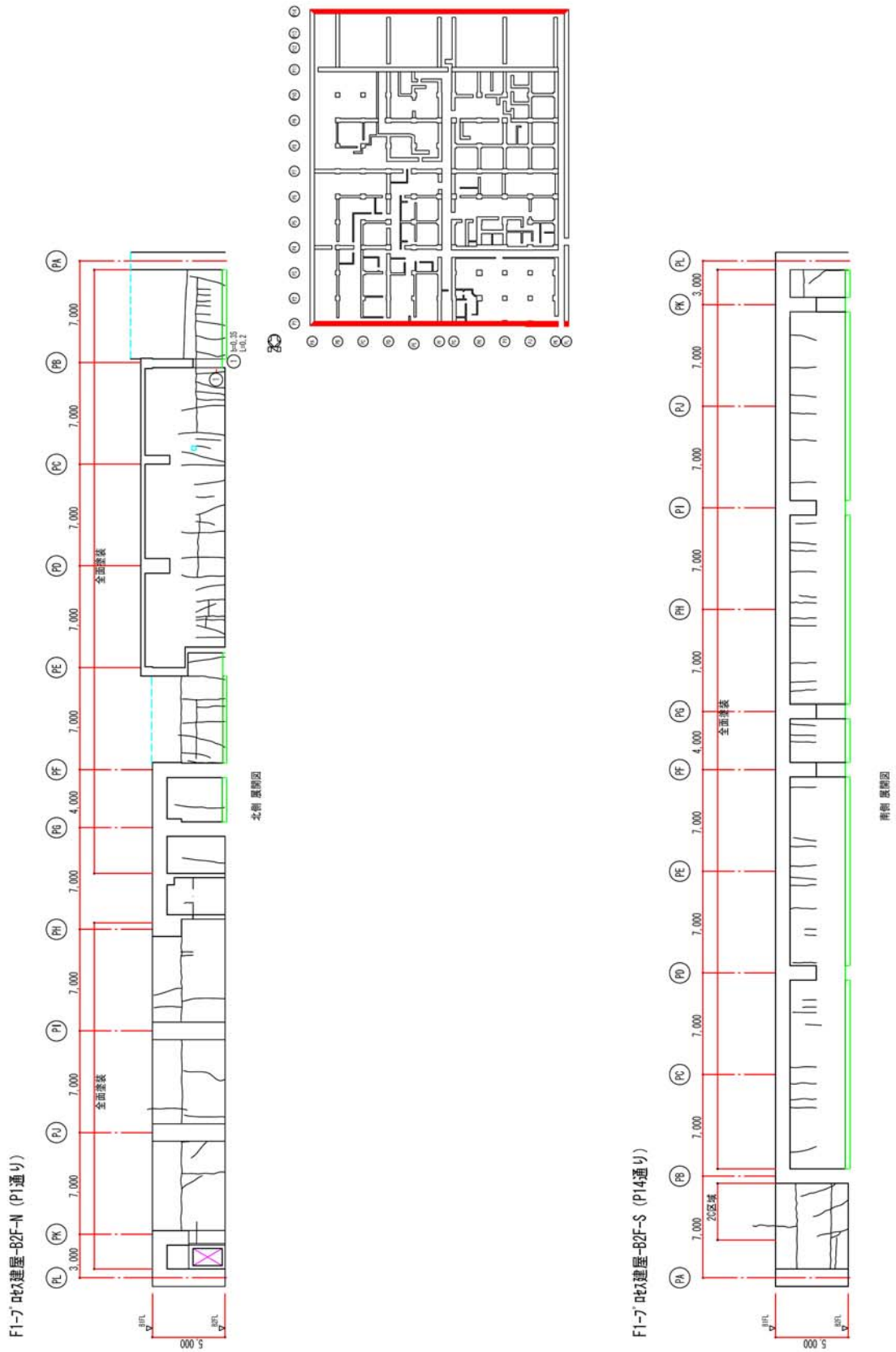
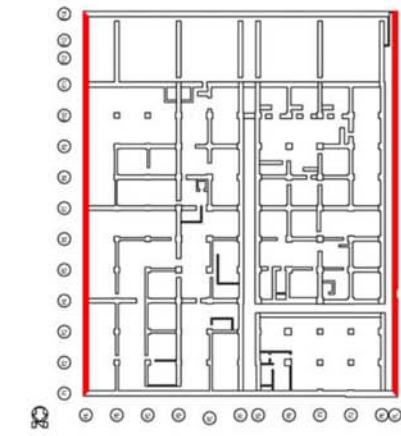
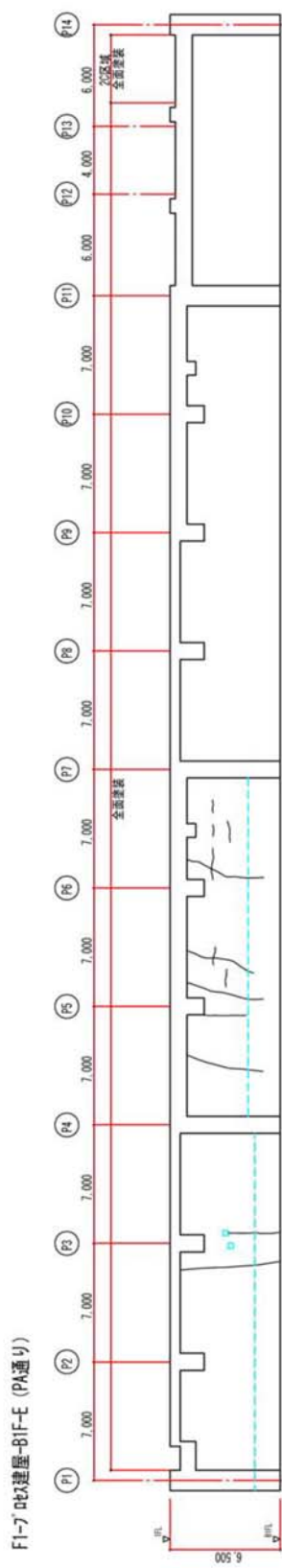
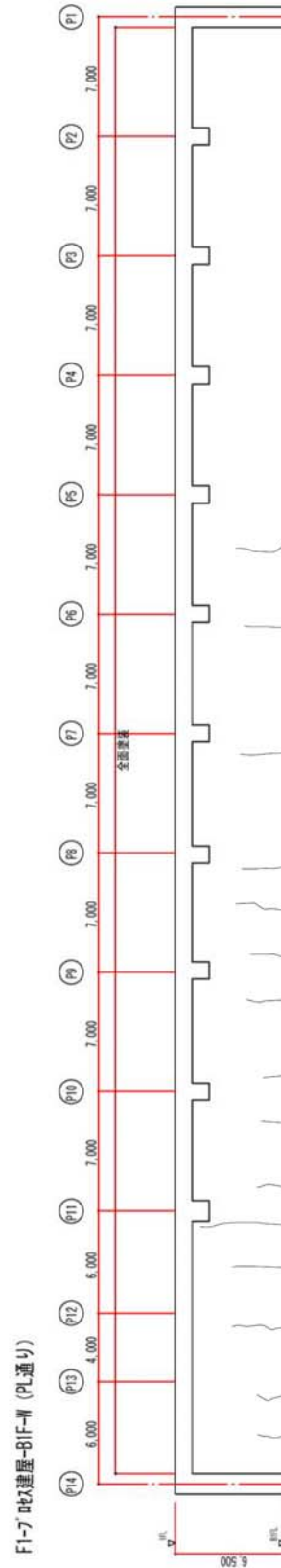


図2 地下2階展開図 北壁, 南壁

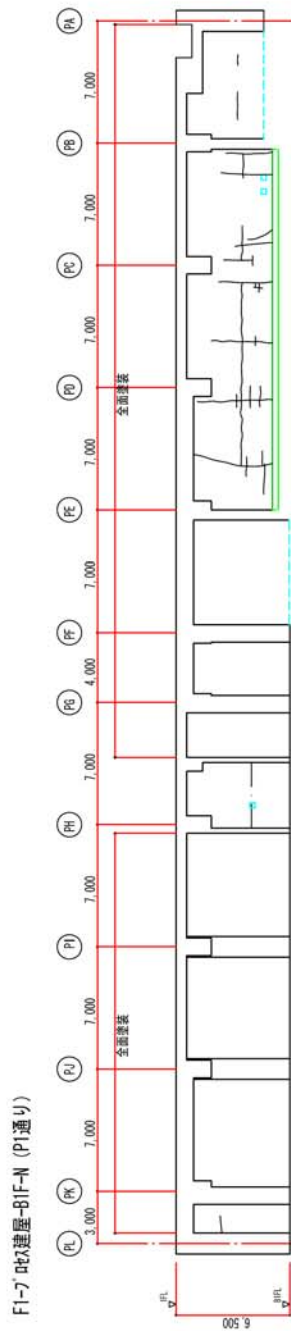


東側 展開図

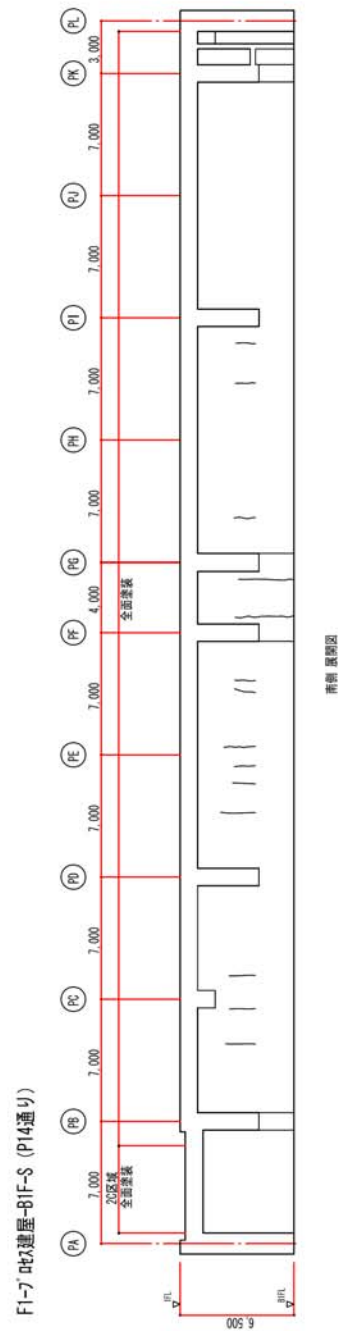
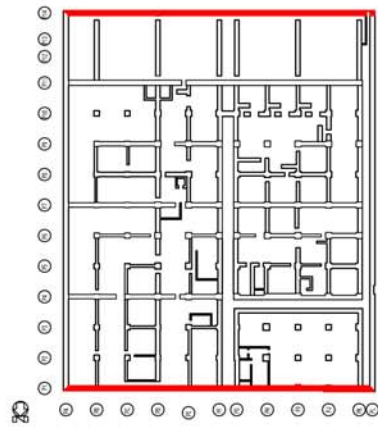


西側 展開図

図3 地下1階展開図 東壁, 西壁



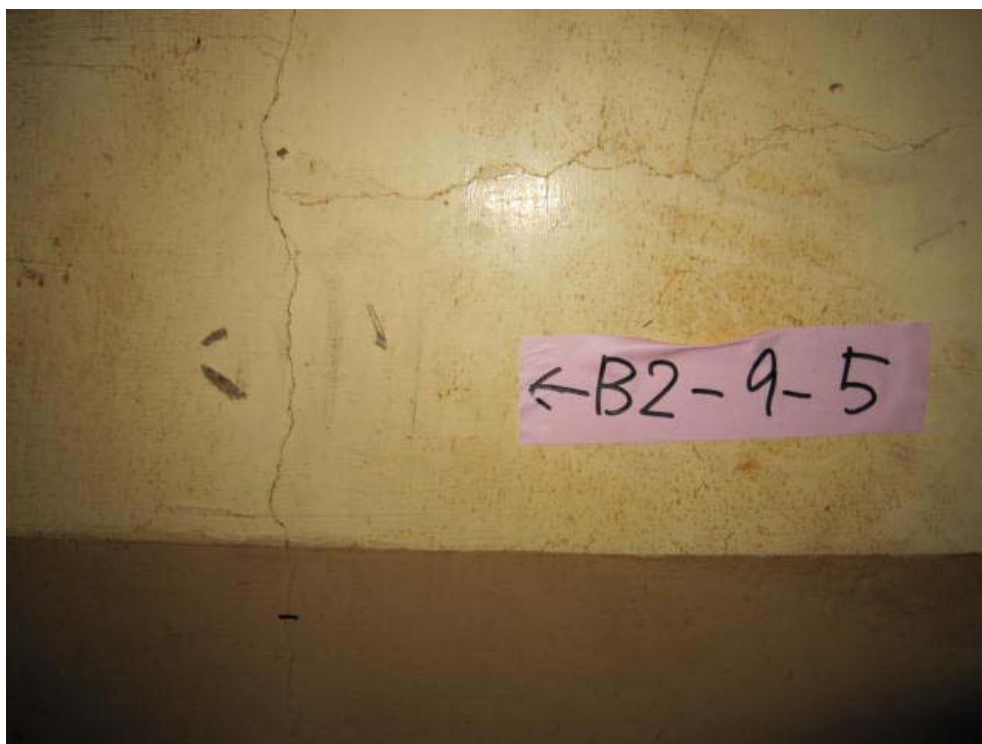
北側 展開図



南側 展開図

図4 地下1階展開図 北壁, 南壁

7 幅 0.3mm 以上のひび割れ補修状況



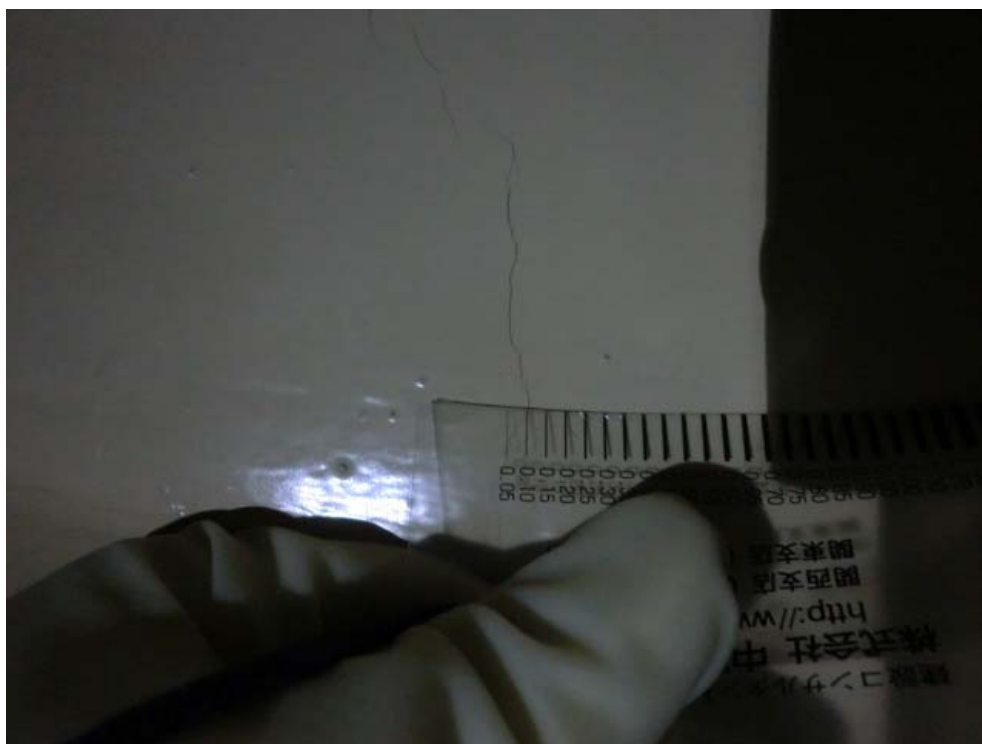
補修前



補修後

図 5 幅 0.3mm 以上のひび割れ補修状況

8 幅 0.3mm 未満のひび割れ補修状況



補修前



補修後

図 6 幅 0.3mm 未満のひび割れ補修状況

## プロセス主建屋の建屋外への放射性物質移行量の評価

## 1 建屋外への放射性物質の移行

放射性廃液を建屋の地下に貯蔵した場合には、建屋周辺の地下水水頭よりも建屋内部の水頭が高い場合には圧力差による放射性廃液の漏出が考えられる。この圧力差による漏出は建屋内外の水位の管理によって回避することができるが、その場合でも建屋コンクリートの健全部の拡散による移行が考えられるので、ここでは、その移行量を評価する。

## 2 評価モデルの概念と主要な評価パラメータ

廃液を現状地下水水位と同等未満の高さまで貯蔵する場合には、周辺の地下水水頭が建屋内部の水頭よりも大きいので、内向きの流れと拡散による移行が考えられる。ひび割れ部のような透水性の高い開口部では、1 mm程度の水頭差による移流によって拡散移行量が無視小となるので、一定の水位差があれば、健全部の拡散が支配的となる。

地下水水位と同等の水頭高さまで貯蔵するケースの建屋からの漏出と放射性物質の地下水移行の概念を図1に示す。

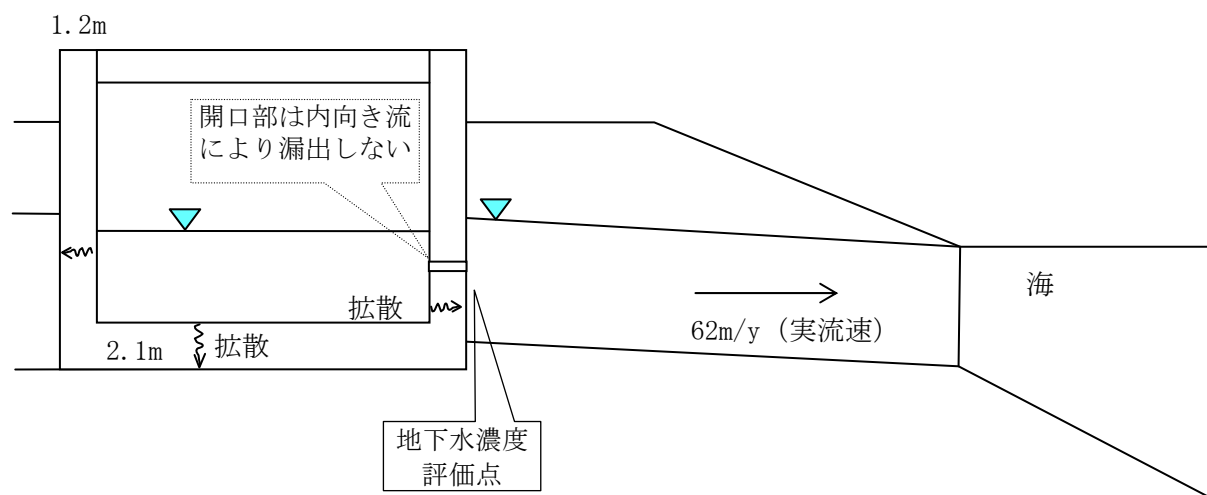


図1 建屋からの漏出と放射性物質の地下水移行の概念

図1の場合には、建屋からの放射性物質の漏出について、地下水流れが生じないこと及びひび割れ等の開口部の拡散は無視小となるので、健全部の拡散だけを考慮した次式で計算できる。



$$R = -Sc \cdot Dec \cdot \left. \frac{\partial Cc(z,t)}{\partial z} \right|_{z=L} \dots\dots\dots (1)$$

$$\varepsilon c \cdot Rfc \cdot \frac{\partial Cc(z,t)}{\partial t} = Dec \cdot \frac{\partial^2 Cc(z,t)}{\partial z^2} - \lambda \cdot \varepsilon c \cdot Rfc \cdot Cc(z,t) \dots\dots\dots (2)$$

$$Cc(0,t) = Cw = Cw0 \cdot e^{-\lambda \cdot t}$$

$$Cc(L,t) = 0 \dots\dots\dots (3)$$

$$Cc(z,0) = 0$$

$$Cc(0,t) = 0, (t > Tc)$$

- $R$  : 放射性物質の漏出量 (Bq/s)
- $Cw$  : 廃液中の放射性物質の濃度 (Bq/m<sup>3</sup>)
- $Cw0$  : 廃液中の放射性物質の初期濃度 (Bq/m<sup>3</sup>)
- $Sc$  : 建屋コンクリートの底面積または側面積 (m<sup>2</sup>)
- $Dec$  : コンクリート中の放射性物質の実効拡散係数 (m<sup>2</sup>/s)
- $Cc(z, t)$  : コンクリート中の放射性物質の間隙水中濃度 (Bq/m<sup>3</sup>)
- $\cdot$  : 崩壊定数 (1/s)
- $L$  : コンクリートの側面厚さまたは底面厚さ (m)
- $Rfc$  : 放射性物質のコンクリートにおける遅延係数 (-)  $= 1 + \frac{1-\varepsilon c}{\varepsilon c} \cdot \rho c \cdot Kdc$
- $\cdot c$  : コンクリートの間隙率 (-)
- $\cdot c$  : コンクリートの粒子密度 (kg/m<sup>3</sup>)
- $Kdc$  : コンクリートの分配係数 (m<sup>3</sup>/kg)
- $Tc$  : 廃液貯蔵終了時間 (s)

3 評価に用いたパラメータ

評価に用いたパラメータの一覧を表1に示す。

表1 評価に用いたパラメータ一覧

| パラメータ                                    | 設定値   | 備考   |
|--|---|--|
| 廃液中の放射性物質の濃度 (Bq/m <sup>3</sup> )        | I-131 : 1.3E+13<br>Cs-134 : 3.1E+12<br>Cs-137 : 3.0E+12 | 2011/3/27 採水 2号機タービン建屋 滞留水の分析結果に基づく  |
| 建屋コンクリートの内面積 (m <sup>2</sup> )           | 底面積 : 5834.24<br>側面積 : 1751.04                          | 底面積 : 84.8W×68.8L<br>側面積 : 84.8W, 68.8L, 5.7H の 4 側面                       |
| コンクリート中の放射性物質の実効拡散係数 (m <sup>2</sup> /s) | 1E-11   | 土木学会技術資料より   |
| コンクリートの間隙率 (-)                           | 0.2   |  |
| コンクリートの粒子密度 (kg/m <sup>3</sup> )         | 2700  | 単位体積重量 2.15 t/m <sup>3</sup> と間隙率 0.2 より, 2.15/0.8=2.7 (t/m <sup>3</sup> ) |
| コンクリートの分配係数 (m <sup>3</sup> /kg)         | I : 0<br>Cs : 0.001                                     | JAEA-Review 2006-011 の海水系地下水のセメントモルタルの値をオーダーでまるめた。                         |
| コンクリート健全部のダルシー流速 (m/s)                   | 0   | 健全部の内向き流は小さいので保守的に考慮しない。   |

| パラメータ                   | 設定値           | 備考  |
|-------------------------|---------------|---|
| 開口部面積 (m <sup>2</sup> ) | 実質 0          | 逆向き流れになるので、拡散に寄与しない。                                    |
| 建屋からの漏出継続期間 (y)         | 0.25～10<br>継続 | 3 ヶ月から 10 年の範囲で検討                                       |
| 帯水層のダルシー流速 (m/y)        | 25.42         | 実流速 62 m/y (2E-5m/s×0.04/<br>0.41)<br>ダルシー流速 = 実流速×0.41 |
| 帯水層の厚さ (m)              | 7             | 底板下面から地下水面までの高さを保守的に設定                                  |

#### 4 評価結果

コンクリートひび割れ部からの流れを内向きになるように管理した場合の評価結果を図 2 及び図 3 に示す。継続期間を 3 ヶ月～10 年及び永年としたケースを合わせて示した。

この結果では、100 年以内に建屋を解体撤去することにより、建屋外への移行は、環境試料の放射能濃度分析における Cs-137 の検出限界である  $8 \times 10^{-6}$  Bq/cm<sup>3</sup> を下回る値となる。

廃液貯蔵継続年数の影響確認 (Cs-137)

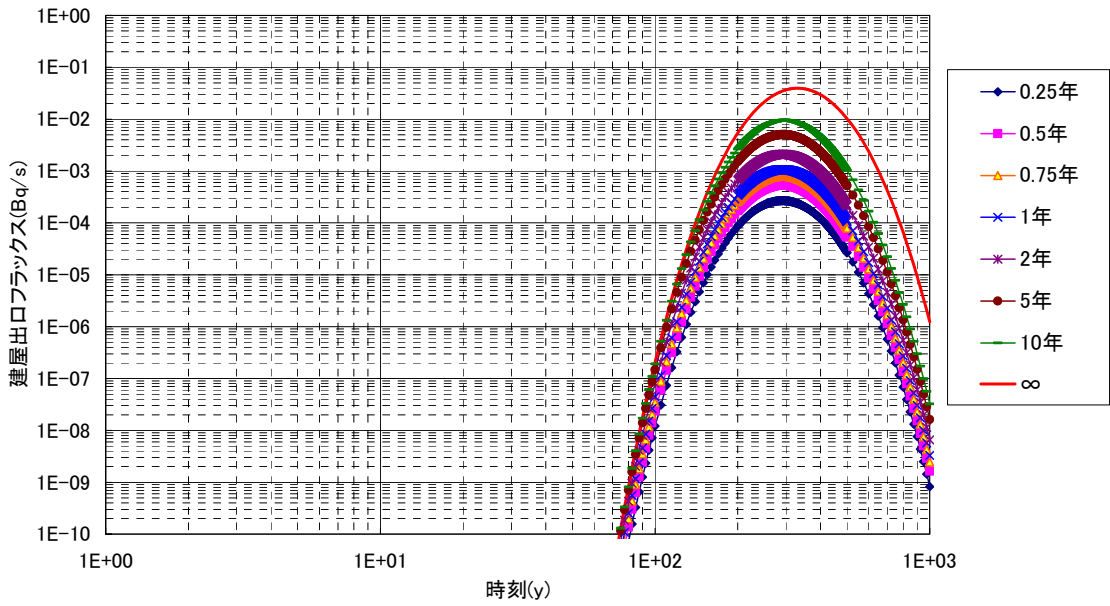


図2 建屋からの流出フラックス  
(プロセス主建屋 側壁 1.2 m)

廃液貯蔵継続年数の影響確認 (Cs-137)

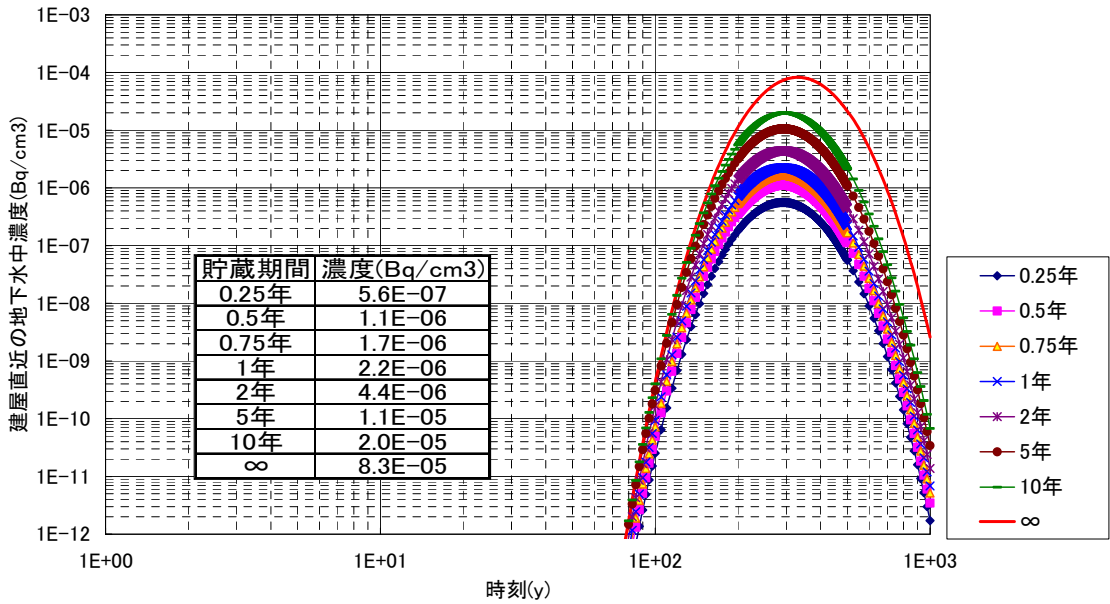
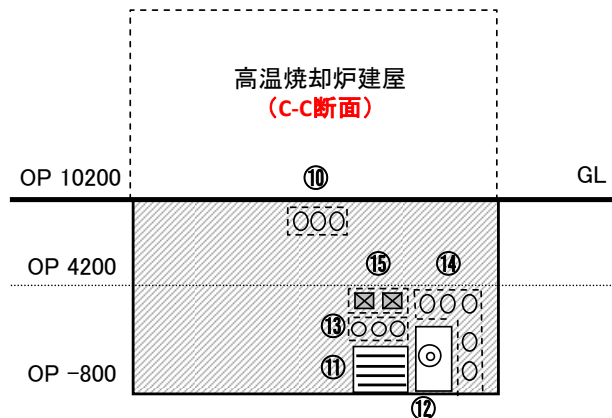
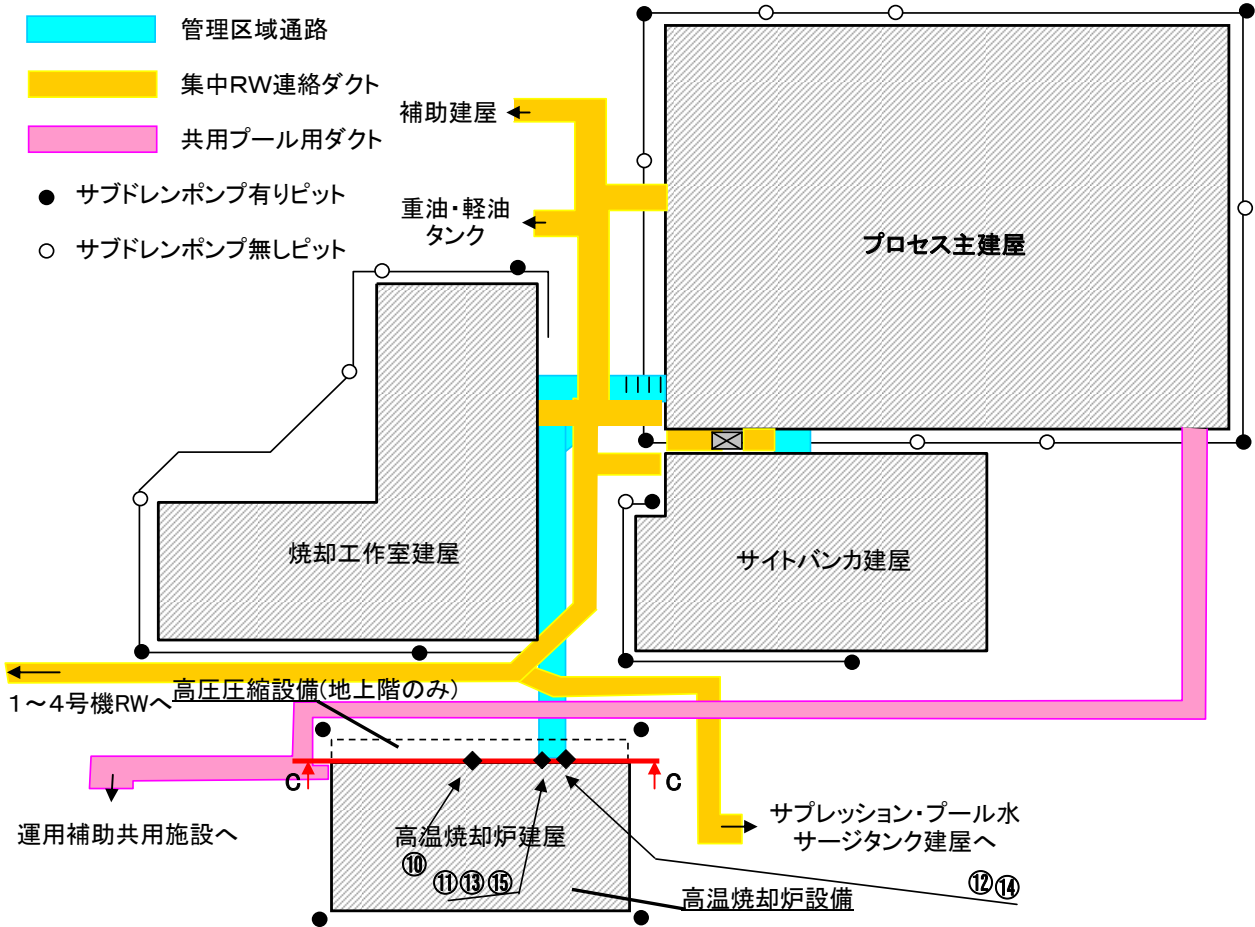
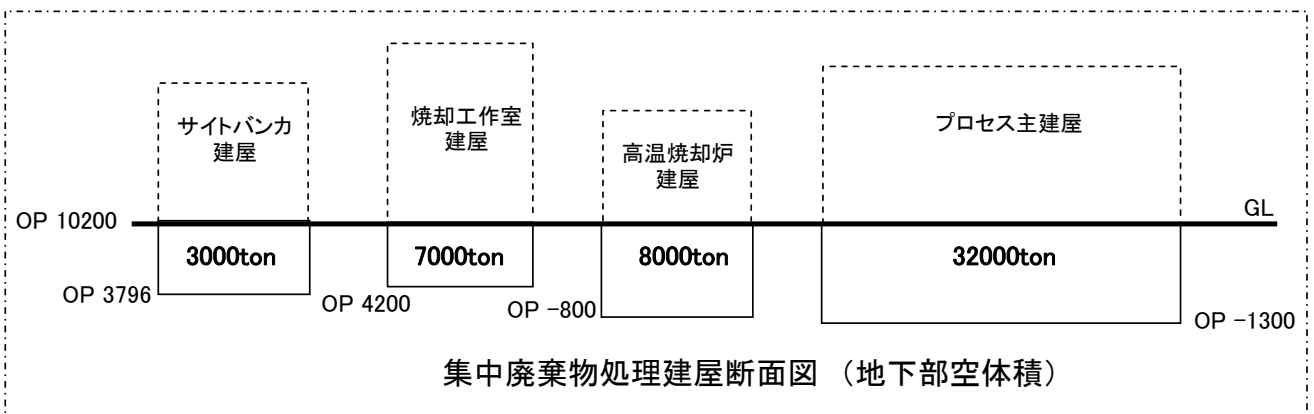


図3 建屋直近の放射性物質の濃度  
(プロセス主建屋 側壁 1.2 m)



高温焼却炉建屋位置関係図



## 高温焼却炉建屋の健全性 ひび割れ等の漏えい対策

## 1 はじめに

高温焼却炉建屋の地下躯体部分の水密性を確保する観点から、ひび割れ点検を行うとともに、ひび割れ箇所の補修を行った。

## 2 現場確認方法

高温焼却炉建屋のひび割れ点検は、地下外壁を対象とし、日常点検における記録を基に地震後に新たに生じたと考えられるひび割れについて目視点検を行った。

## 3 点検結果及び評価

点検では、新たに地震により生じたひび割れは確認されなかった。今回の地震前から存在していたと思われるひび割れは確認されたが、縦方向のひび割れであることから、経年によるコンクリートの乾燥収縮によって生じたひび割れと判断した。

また、その他のひび割れについても、ひび割れ部分にはエフロレッセンス（白華現象）等の変化が見られないことから、通常時には漏水等の問題はなかったものと考えられる。

また、高温焼却炉建屋は、不透水層である富岡層（泥岩）に基礎マットが設置されていること、地下外壁面周囲にアスファルト防水が施工されていることから、止水性は確保されているものと考えられるが、地下外壁のひび割れ部の補修を行い、水密性を高めるものとする。

## 4 ひび割れ補修

## 4.1 補修範囲

ひび割れの補修は、高温焼却炉建屋の日常点検により記録されたひび割れのほか、目視で確認できる全てのひび割れについて実施した。高温焼却炉建屋のひび割れの補修本数を表-1 に示す。

表-1 ひび割れ補修本数

|         | 部 位  | 実施本数<br>(0.3mm 以上のひび割れ) |
|---------|------|-------------------------|
| 高温焼却炉建屋 | 地下1階 | 42                      |
|         | 地下2階 | 48                      |

## 4.2 補修方法

- ・ 目視で確認できるひび割れを全て補修する。
- ・ 使用材料：ポリマーセメント系塗膜防水材

## 5 まとめ

対象となるひび割れについて全て補修を実施し、当社は適切に補修されたことを確認した。

6 ひび割れ調査図（壁展開図・ひび割れ幅 0.3mm 以上のものを記録）

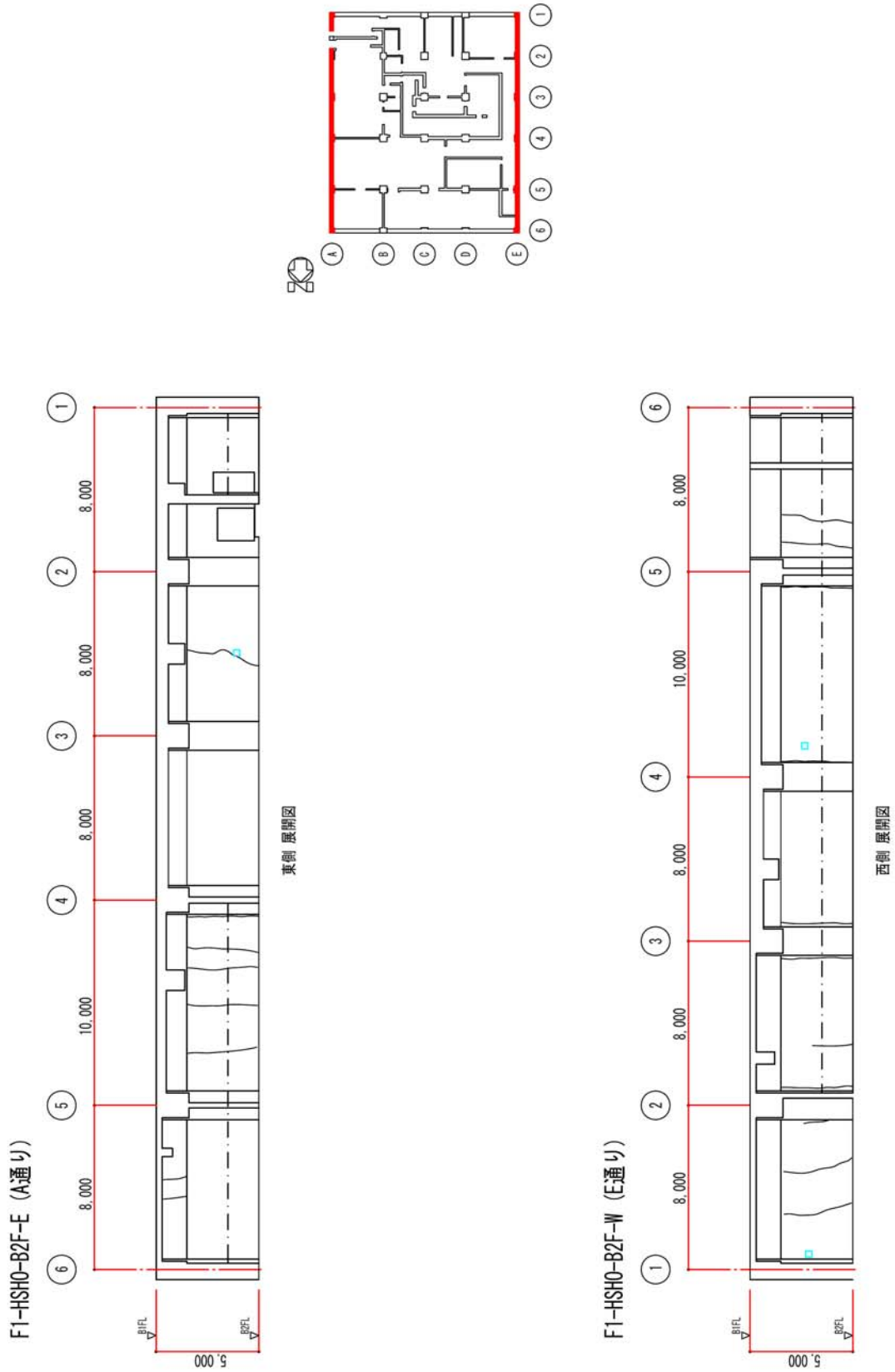


図1 地下2階展開図 東壁, 西壁

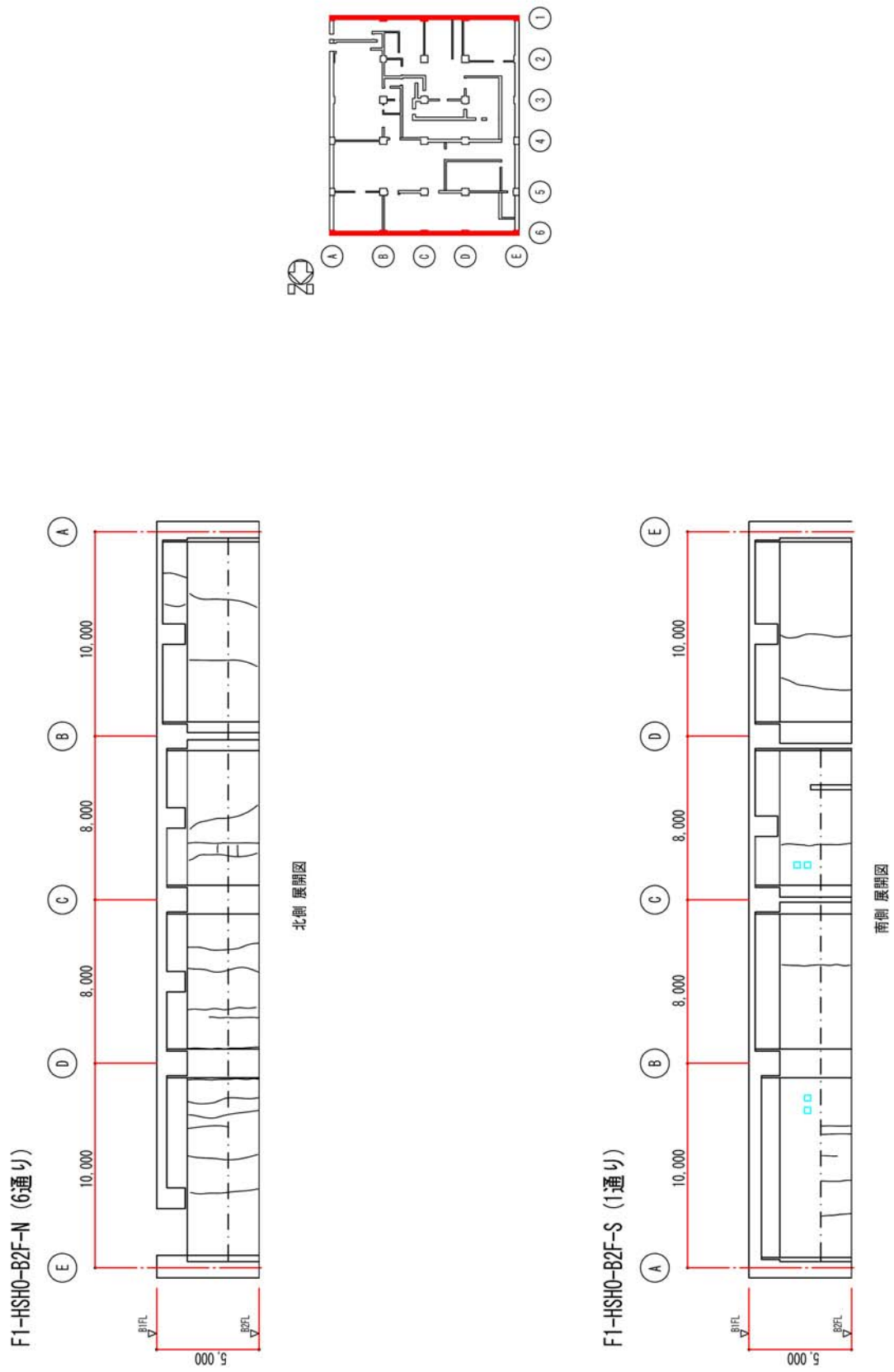


図2 地下2階展開図 北壁，南壁



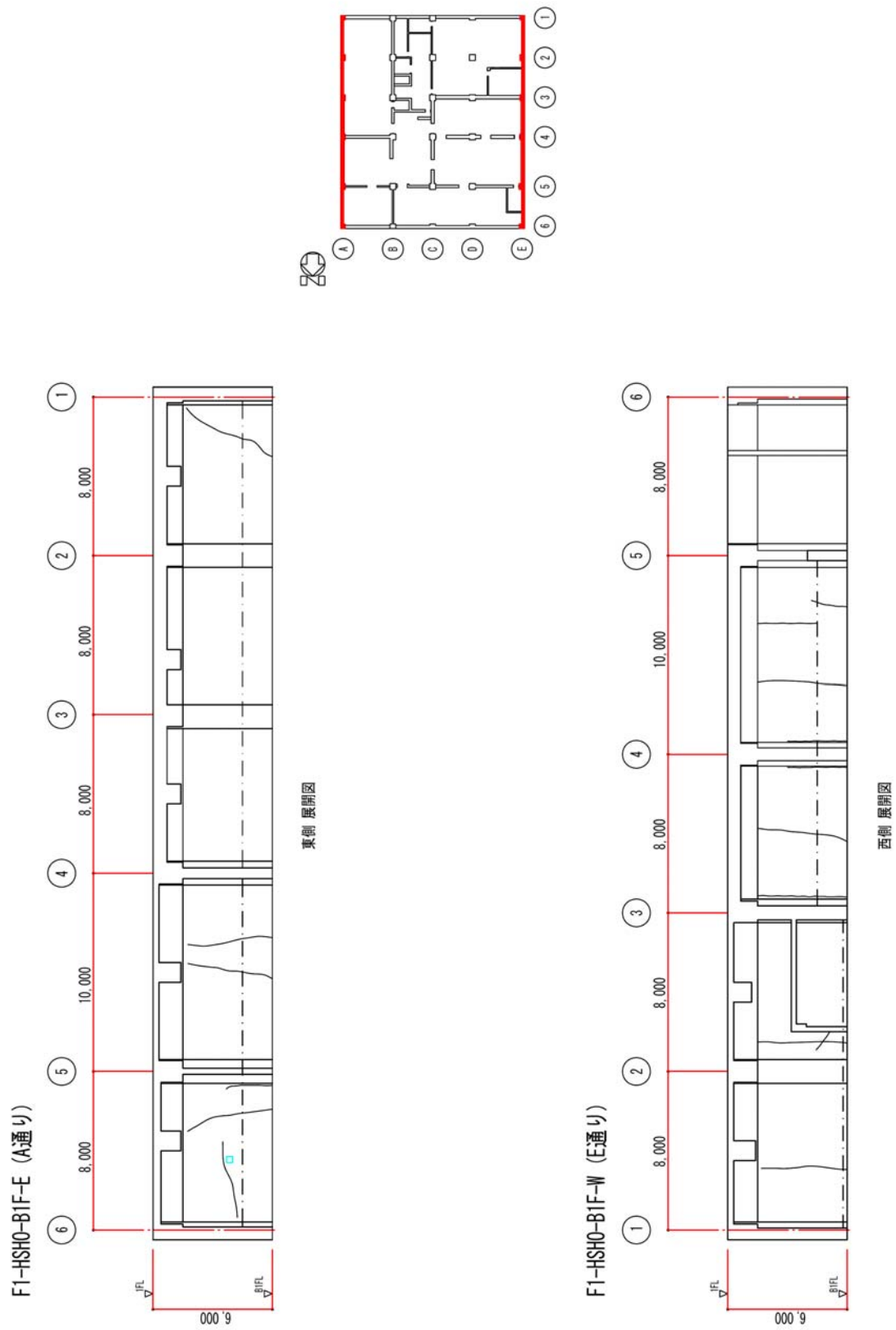


図3 地下1階展開図 東壁, 西壁

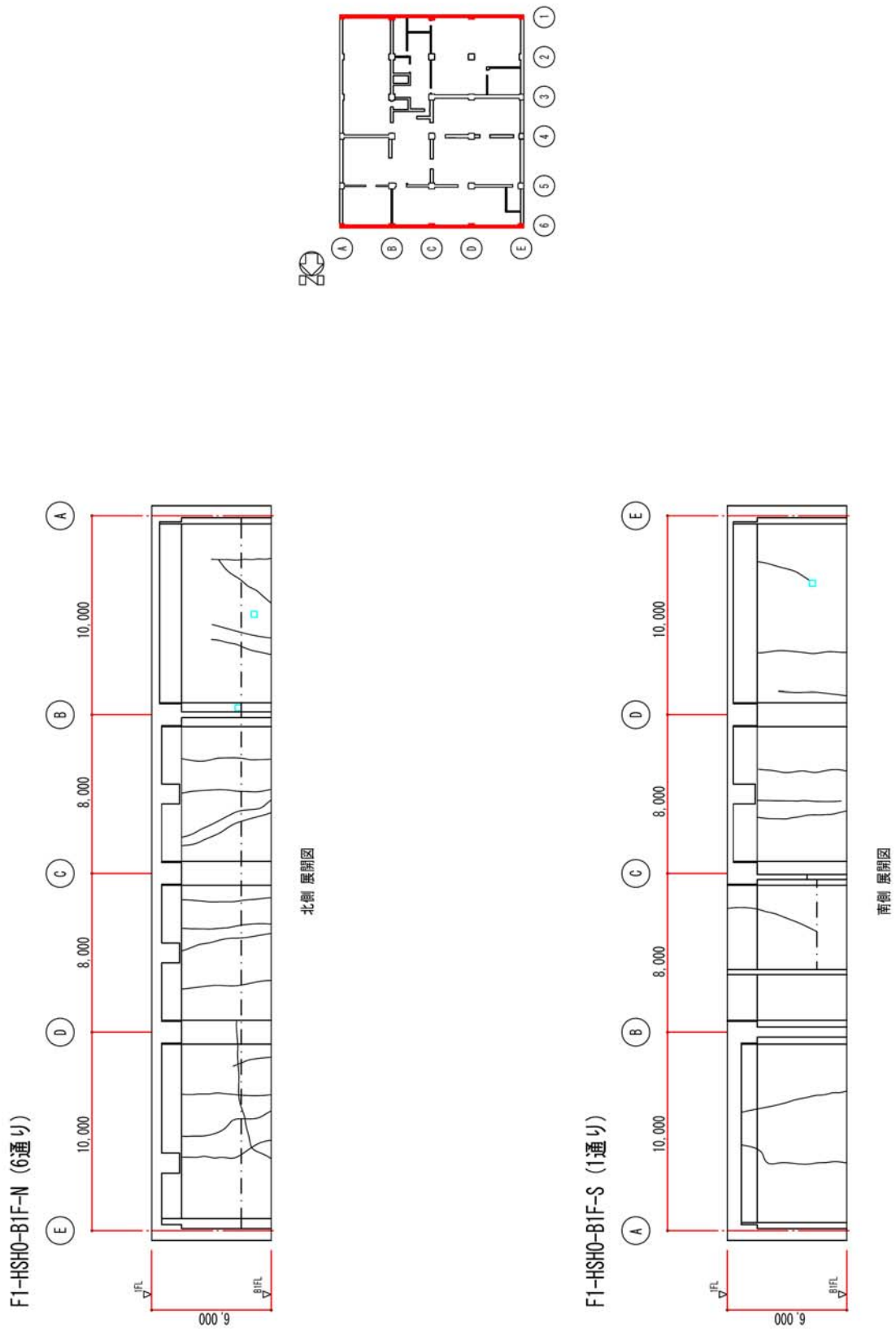
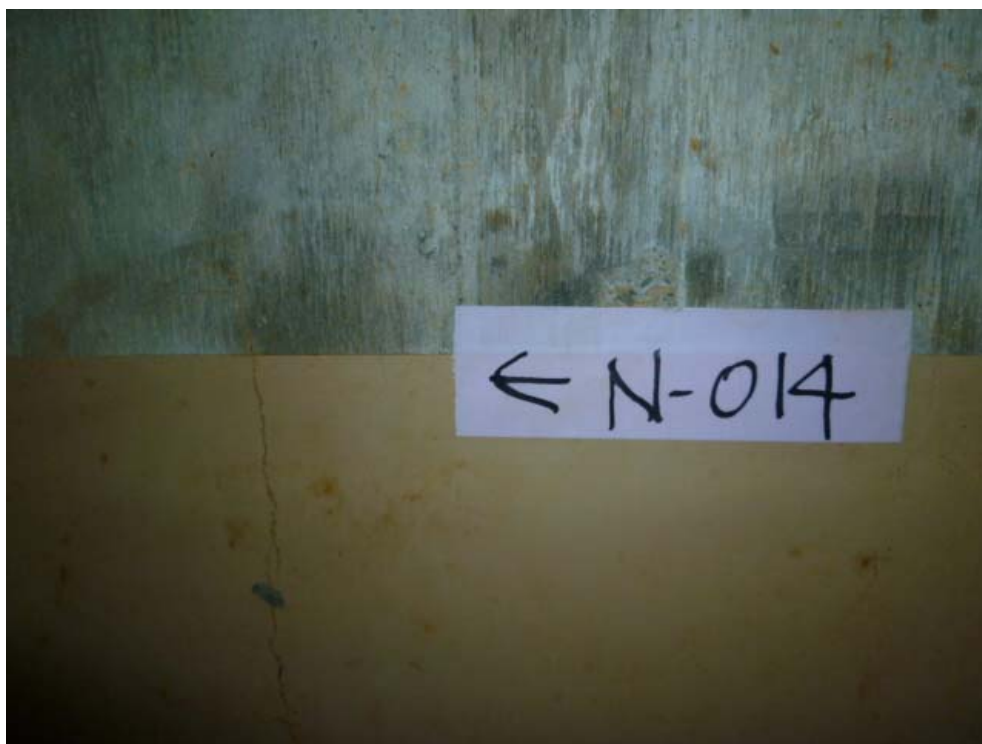
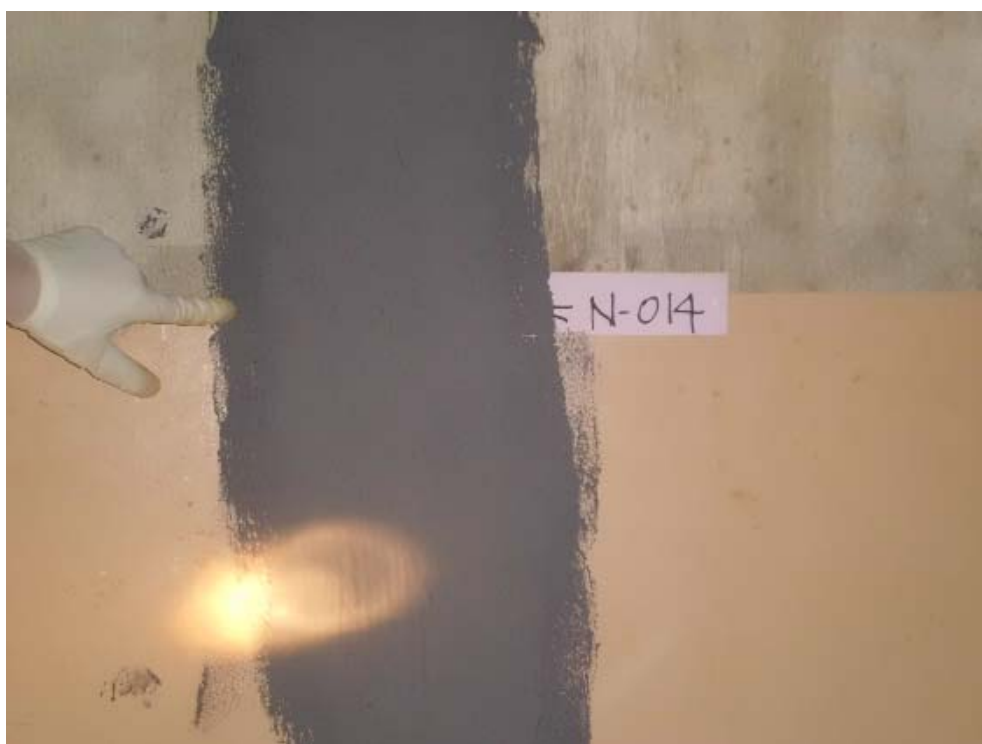


図4 地下1階展開図 北壁, 南壁

7 ひび割れ補修状況（幅 0.3mm 以上のひび割れ）



補修前



補修後

図5 ひび割れ補修状況（幅 0.3mm 以上のひび割れ）

## 高温焼却炉建屋の建屋外への放射性物質移行量の評価

## 1 屋外への放射性物質の移行

放射性廃液を建屋の地下に貯蔵した場合には、建屋周辺の地下水水頭よりも建屋内部の水頭が高い場合には圧力差による放射性廃液の漏出が考えられる。この圧力差による漏出は建屋内外の水位の管理によって回避することができるが、その場合でも建屋コンクリートの健全部の拡散による移行が考えられるので、ここでは、その移行量を評価する。

## 2 評価モデルの概念と主要な評価パラメータ

廃液を現状地下水水位と同等未満の高さまで貯蔵する場合には、周辺の地下水水頭が建屋内部の水頭よりも大きいので、内向きの流れと拡散による移行が考えられる。ひび割れ部のような透水性の高い開口部では、1 mm 程度の水頭差による移流によって拡散移行量が無視小となるので、一定の水頭差があれば、健全部の拡散が支配的となる。

地下水水位と同等の水頭高さまで貯蔵するケースの建屋からの漏出と放射性物質の地下水移行の概念を図 1 に示す。

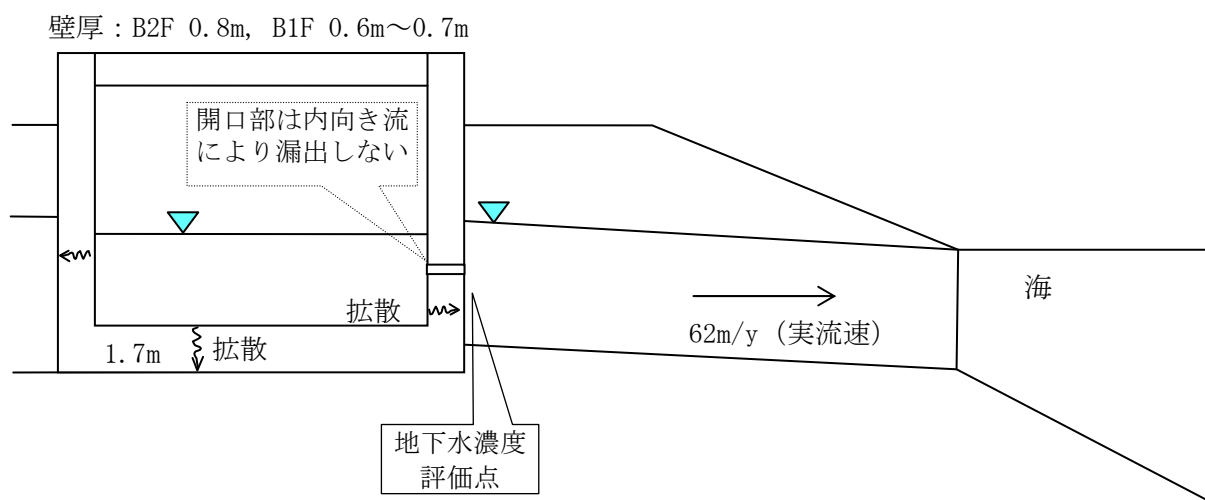


図 1 建屋からの漏出と放射性物質の地下水移行の概念

図 1 の場合には、建屋からの放射性物質の漏出について、地下水流れが生じないこと及びひび割れ等の開口部の拡散は無視小となるので、健全部の拡散だけを考慮した次式で計算できる。

$$R = -Sc \cdot Dec \cdot \frac{\partial Cc(z,t)}{\partial z} \Big|_{z=L} \dots\dots\dots (1)$$

$$\varepsilon c \cdot Rfc \cdot \frac{\partial Cc(z,t)}{\partial t} = Dec \cdot \frac{\partial^2 Cc(z,t)}{\partial z^2} - \lambda \cdot \varepsilon c \cdot Rfc \cdot Cc(z,t) \dots\dots\dots (2)$$

$$Cc(0,t) = Cw = Cw0 \cdot e^{-\lambda \cdot t}$$

$$Cc(L,t) = 0 \dots\dots\dots (3)$$

$$Cc(z,0) = 0$$

$$Cc(0,t) = 0, (t > Tc)$$

- $R$  : 放射性物質の漏出量 (Bq/s)
- $Cw$  : 廃液中の放射性物質の濃度 (Bq/m<sup>3</sup>)
- $Cw0$  : 廃液中の放射性物質の初期濃度 (Bq/m<sup>3</sup>)
- $Sc$  : 建屋コンクリートの底面積または側面積 (m<sup>2</sup>)
- $Dec$  : コンクリート中の放射性物質の実効拡散係数 (m<sup>2</sup>/s)
- $Cc(z, t)$  : コンクリート中の放射性物質の間隙水中濃度 (Bq/m<sup>3</sup>)
- $\cdot$  : 崩壊定数 (1/s)
- $L$  : コンクリートの側面厚さまたは底面厚さ (m)
- $Rfc$  : 放射性物質のコンクリートにおける遅延係数 (-)  $= 1 + \frac{1-\varepsilon c}{\varepsilon c} \cdot \rho c \cdot Kdc$
- $\cdot c$  : コンクリートの間隙率 (-)
- $\cdot c$  : コンクリートの粒子密度 (kg/m<sup>3</sup>)
- $Kdc$  : コンクリートの分配係数 (m<sup>3</sup>/kg)
- $Tc$  : 廃液貯蔵終了時間 (s)

### 3 評価に用いたパラメータ

評価に用いたパラメータの一覧を表1に示す。

表1 評価に用いたパラメータ一覧

| パラメータ                                    | 設定値  | 備考  |
|--|--|---|
| 廃液中の放射性物質の濃度 (Bq/m <sup>3</sup> )        | I-131 : 1.3E+13<br>Cs-134 : 3.1E+12<br>Cs-137 : 3.0E+12                                | 2011/3/27 採水 2号機タービン建屋<br>滞留水の分析結果に基づく  |
| 建屋コンクリートの内面積 (m <sup>2</sup> )           | 底面積 : 1465.56<br>側面積:<br>B2F(壁厚0.8m) 768.0<br>B1F(壁厚0.6m) 414.96<br>B1F(壁厚0.7m) 174.42 | 底面積 : 41.4W×35.4L<br>側面積 :<br>B2F 41.4W, 35.4L, 5.0H の4側面<br>B1F(壁厚0.6m) 壁厚0.6m, 0.65m<br>部分の長さ 109.2×3.8H<br>B1F(壁厚0.7m) 壁厚0.7m部分の<br>長さ 45.9×3.8H |
| コンクリート中の放射性物質の実効拡散係数 (m <sup>2</sup> /s) | 1E-11  | 土木学会技術資料より  |
| コンクリートの間隙率 (-)                           | 0.2  |   |
| コンクリートの粒子密度 (kg/m <sup>3</sup> )         | 2700   | 単位体積重量 2.15 t/m <sup>3</sup> と間隙率<br>0.2より, 2.15/0.8=2.7 (t/m <sup>3</sup> )  |

| パラメータ                                     | 設定値                 | 備考   |
|---|---------------------|--|
| コンクリートの分配係数<br>( $\text{m}^3/\text{kg}$ ) | I : 0<br>Cs : 0.001 | JAEA-Review 2006-011 の海水系地下水のセメントモルタルの値をオーダーでまるめた。   |
| コンクリート健全部のダルシー流速 ( $\text{m}/\text{s}$ )  | 0                   | 健全部の内向き流は小さいので保守的に考慮しない。   |
| 開口部面積 ( $\text{m}^2$ )                    | 実質 0                | 逆向き流れになるので、拡散に寄与しない。   |
| 建屋からの漏出継続期間<br>(y)                        | 0.25~10<br>継続       | 3ヶ月から10年の範囲で検討   |
| 帯水層のダルシー流速<br>( $\text{m}/\text{y}$ )     | 25.42               | 実流速 62 $\text{m}/\text{y}$ ( $2\text{E}-5\text{m}/\text{s} \times 0.04 / 0.41$ )<br>ダルシー流速 = 実流速 $\times 0.41$ |
| 帯水層の厚さ (m)                                | 7                   | 底板下面から地下水面までの高さを保守的に設定   |

#### 4 評価結果

コンクリートひび割れ部からの流れを内向きになるように管理した場合の評価結果を図2及び図3に示す。継続期間を3ヶ月～10年及び永年としたケースを合わせて示した。

この結果では、30年以内に建屋を解体撤去することにより、建屋外への移行は、環境試料の放射能濃度分析におけるCs-137の検出限界である $8 \times 10^{-6} \text{ Bq}/\text{cm}^3$ を下回る値となる。

廃液貯蔵継続年数の影響確認 (Cs-137)

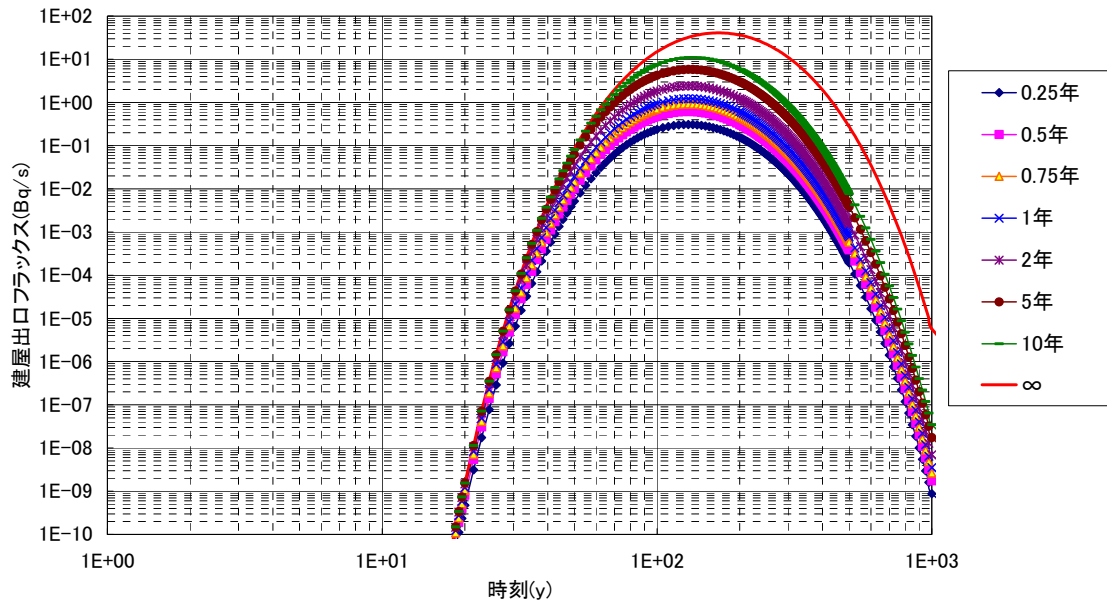


図2 建屋からの流出フラックス  
(高温焼却炉建屋)

廃液貯蔵継続年数の影響確認 (Cs-137)

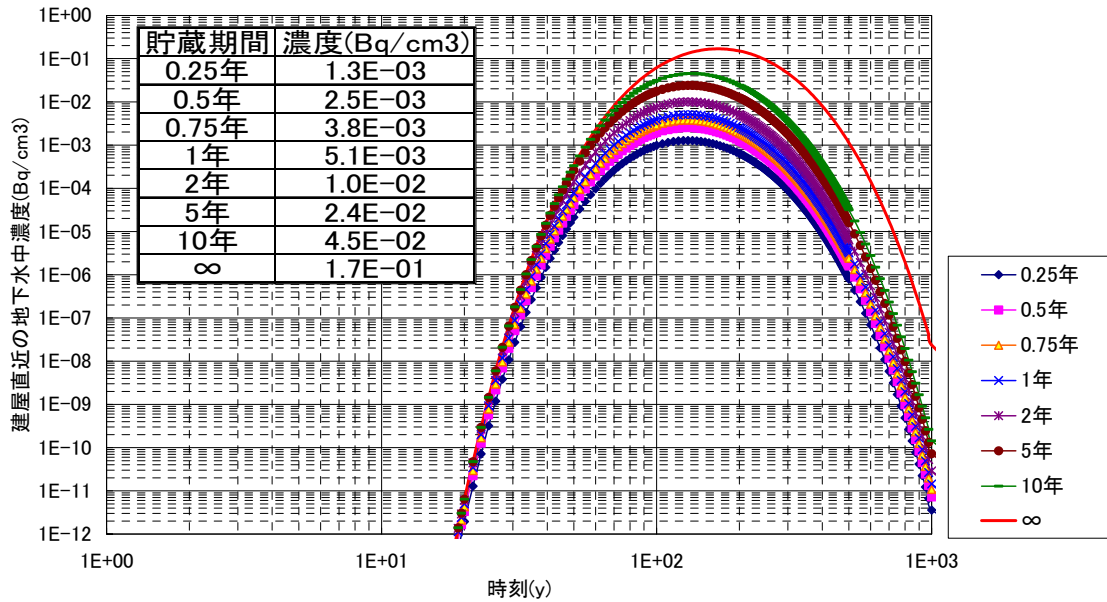


図3 建屋直近の放射性物質の濃度  
(高温焼却炉建屋)

## 1～4号機の各建屋外への放射性物質移行量の評価

## 1 建屋外への放射性物質の移行

高レベル放射性汚染水（以下、「滞留水」という。）が建屋の地下に滞留した場合、建屋周辺の地下水水頭よりも建屋内部の水頭が高くなったときに圧力差による滞留水の漏出が考えられる。この圧力差による漏出は建屋内外の水位の管理によって回避することができるが、その場合でも建屋コンクリートの健全部の拡散による移行が考えられるので、ここでは、その移行量を評価する。

## 2 評価モデルの概念と主要な評価パラメータ

滞留水を現状地下水水位と同等未満の高さまで貯蔵する場合には、周辺の地下水水頭が建屋内部の水頭よりも大きいので、内向きの流れと拡散による移行が考えられる。ひび割れ部のような透水性の高い開口部では、1mm程度の水頭差による移流によって拡散移行量が無視小となるので、一定の水頭差があれば、健全部の拡散が支配的となる。

地下水水位と同等の水頭高さまで貯蔵するケースの建屋からの漏出と放射性物質の地下水移行の概念を図1に示す。

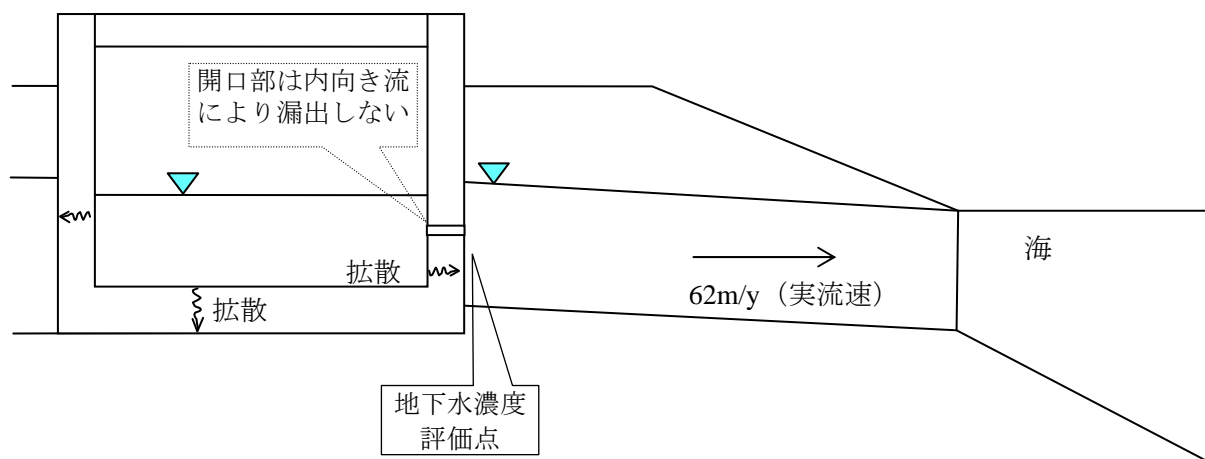


図1 建屋からの漏出と放射性物質の地下水移行の概念

図1の場合には、建屋からの放射性物質の漏出について、地下水流れが生じないこと及びひび割れ等の開口部の拡散は無視小となるので、健全部の拡散だけを考慮した次式で計算できる。



$$R = -Sc \cdot Dec \cdot \left. \frac{\partial Cc(z,t)}{\partial z} \right|_{z=L} \dots\dots\dots (1)$$

$$\varepsilon c \cdot Rfc \cdot \frac{\partial Cc(z,t)}{\partial t} = Dec \cdot \frac{\partial^2 Cc(z,t)}{\partial z^2} - \lambda \cdot \varepsilon c \cdot Rfc \cdot Cc(z,t) \dots\dots\dots (2)$$

$$\begin{aligned} Cc(0,t) &= Cw = Cw0 \cdot e^{-\lambda \cdot t} \\ Cc(L,t) &= 0 \\ Cc(z,0) &= 0 \\ Cc(0,t) &= 0, \quad (t > Tc) \end{aligned} \dots\dots\dots (3)$$

- R* : 放射性物質の漏出量 (Bq/s)
- Cw* : 滞留水中の放射性物質の濃度 (Bq/m<sup>3</sup>)
- Cw0* : 滞留水中の放射性物質の初期濃度 (Bq/m<sup>3</sup>)
- Sc* : 建屋コンクリートの底面積または側面積 (m<sup>2</sup>)
- Dec* : コンクリート中の放射性物質の実効拡散係数 (m<sup>2</sup>/s)
- Cc(z,t)* : コンクリート中の放射性物質の間隙水中濃度 (Bq/m<sup>3</sup>)
- λ* : 崩壊定数 (1/s)
- L* : コンクリートの側面厚さまたは底面厚さ (m)
- Rfc* : 放射性物質のコンクリートにおける遅延係数 (-) =  $1 + \frac{1 - \varepsilon c}{\varepsilon c} \cdot \rho c \cdot Kdc$
- εc* : コンクリートの間隙率 (-)
- ρc* : コンクリートの粒子密度 (kg/m<sup>3</sup>)
- Kdc* : コンクリートの分配係数 (m<sup>3</sup>/kg)
- Tc* : 滞留水貯蔵終了時間 (s)

3 評価に用いたパラメータ

評価に用いたパラメータの一覧を表1に示す。

表1 評価に用いたパラメータ一覧

| パラメータ                                    | 設定値               | 備考   |
|--|-------------------|--|
| 滞留水中の放射性物質の濃度 (Bq/m <sup>3</sup> )       | Cs-137: 1.5E+12   | 2011/7/17 採水_2号機タービン建屋滞留水の分析結果に基づく   |
| 建屋コンクリートの内面積 (m <sup>2</sup> )           | —                 | 表2 (滞留水に接する表面積) 参照   |
| コンクリート中の放射性物質の実効拡散係数 (m <sup>2</sup> /s) | 1E-11             | 土木学会技術資料より   |
| コンクリートの間隙率 (-)                           | 0.2               |  |
| コンクリートの粒子密度 (kg/m <sup>3</sup> )         | 2700              | 単位体積重量 2.15 t/m <sup>3</sup> と間隙率 0.2 より, 2.15/0.8=2.7 (t/m <sup>3</sup> ) |
| コンクリートの分配係数 (m <sup>3</sup> /kg)         | I: 0<br>Cs: 0.001 | JAEA-Review 2006-011 の海水系地下水のセメントモルタルの値をオーダーでまらめた。                         |
| コンクリート健全部のダルシー流速 (m/s)                   | 0                 | 健全部の内向き流は小さいので保守的に考慮しない。   |

| パラメータ                   | 設定値           | 備考   |
|-------------------------|---------------|--|
| 開口部面積 (m <sup>2</sup> ) | 実質 0          | 逆向き流れになるので、拡散に寄与しない。                               |
| 建屋からの漏出継続期間 (y)         | 0.25～10<br>継続 | 3 ヶ月から 10 年，継続の範囲で検討                               |
| 帯水層のダルシー流速 (m/y)        | 25.42         | 実流速 62m/y (2E-5m/s×0.04／0.41)<br>ダルシー流速 = 実流速×0.41 |
| 帯水層の厚さ (m)              | 7             | 底板下面から地下水面までの高さを保守的に設定                             |

#### 4 評価結果

コンクリートひび割れ部からの流れを内向きになるように管理した場合の評価結果を図 2 及び表 2 に示す。継続期間を 3 ヶ月～10 年及び永年としたケースを合わせて示した。

この結果では、今後 3 年間程度に 1～4 号機の各建屋のコンクリート壁中から放射性物質が拡散により建屋外への漏えいする可能性は低いと考える。

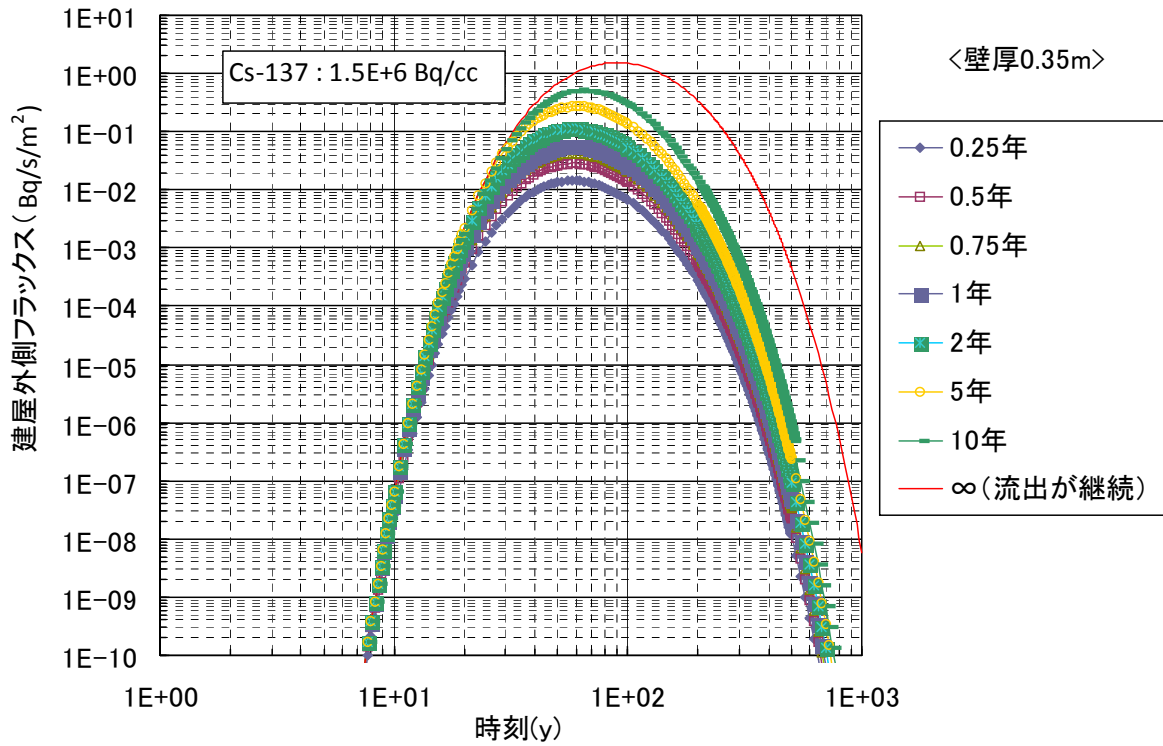


図2 (1) 建屋からの流出フラックス  
(側壁 0.35m)

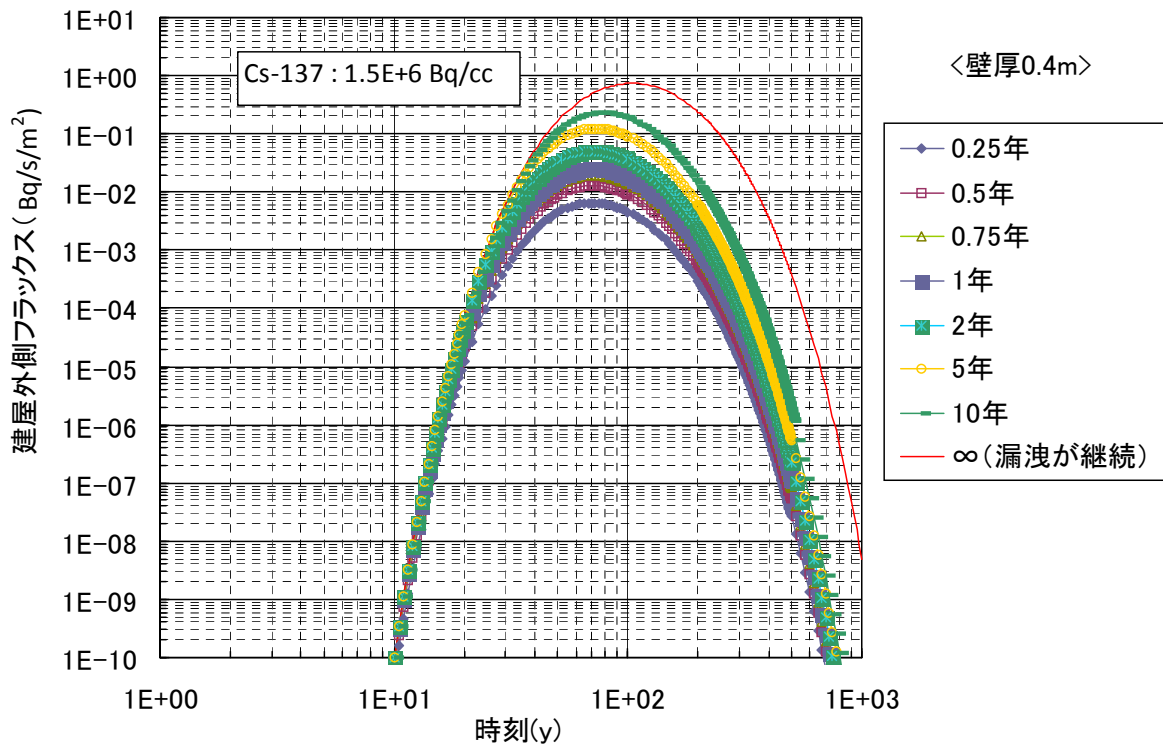


図2 (2) 建屋からの流出フラックス  
(側壁 0.4m)

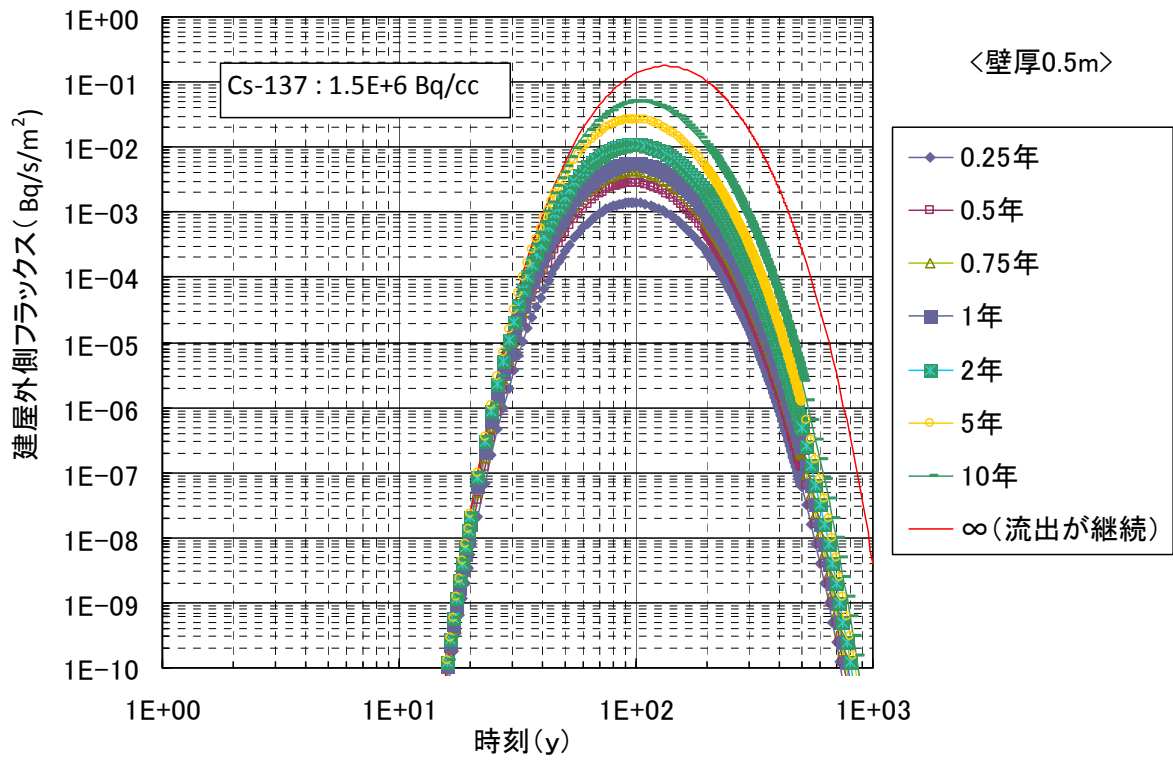


図2 (3) 建屋からの流出フラックス  
(側壁 0.5m)

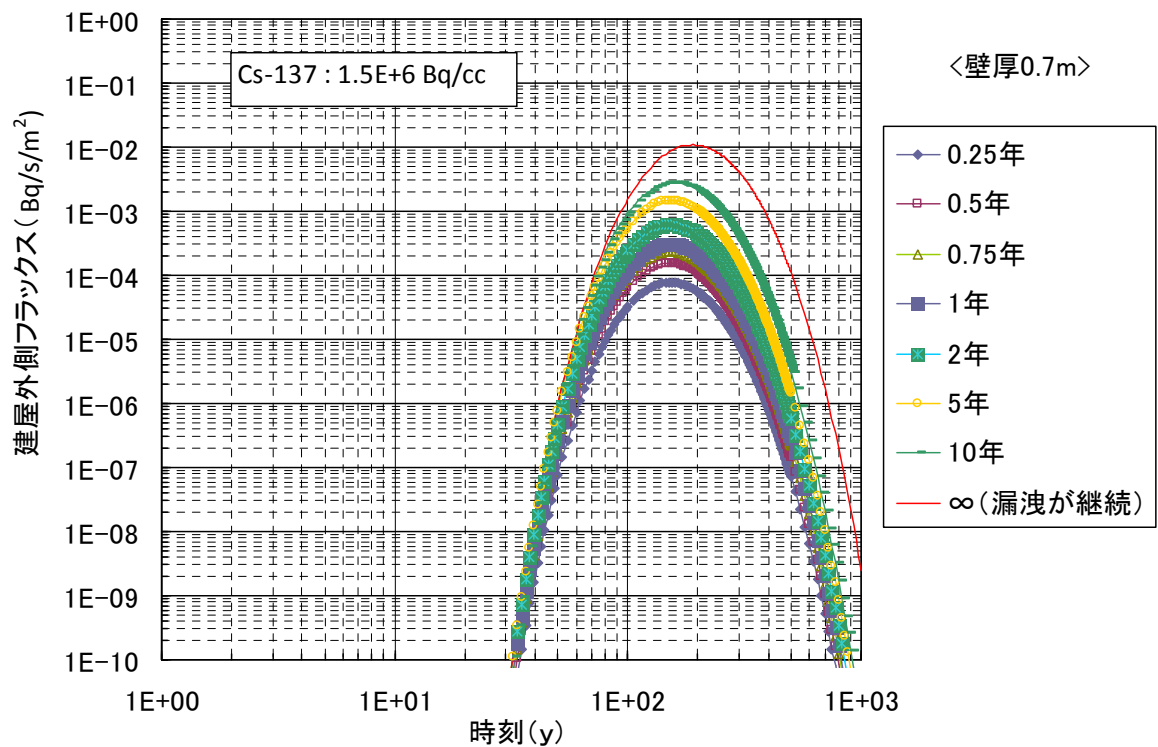


図2 (4) 建屋からの流出フラックス  
(側壁 0.7m)

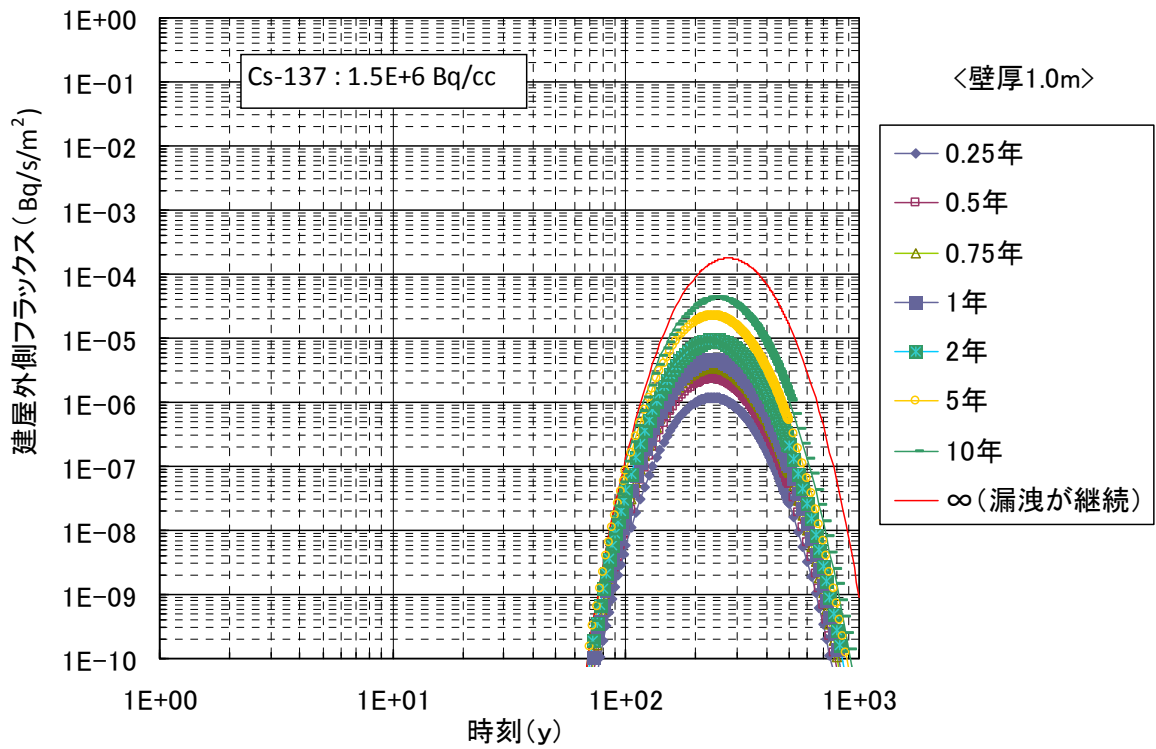


図2 (5) 建屋からの流出フラックス  
(側壁 1.0m)

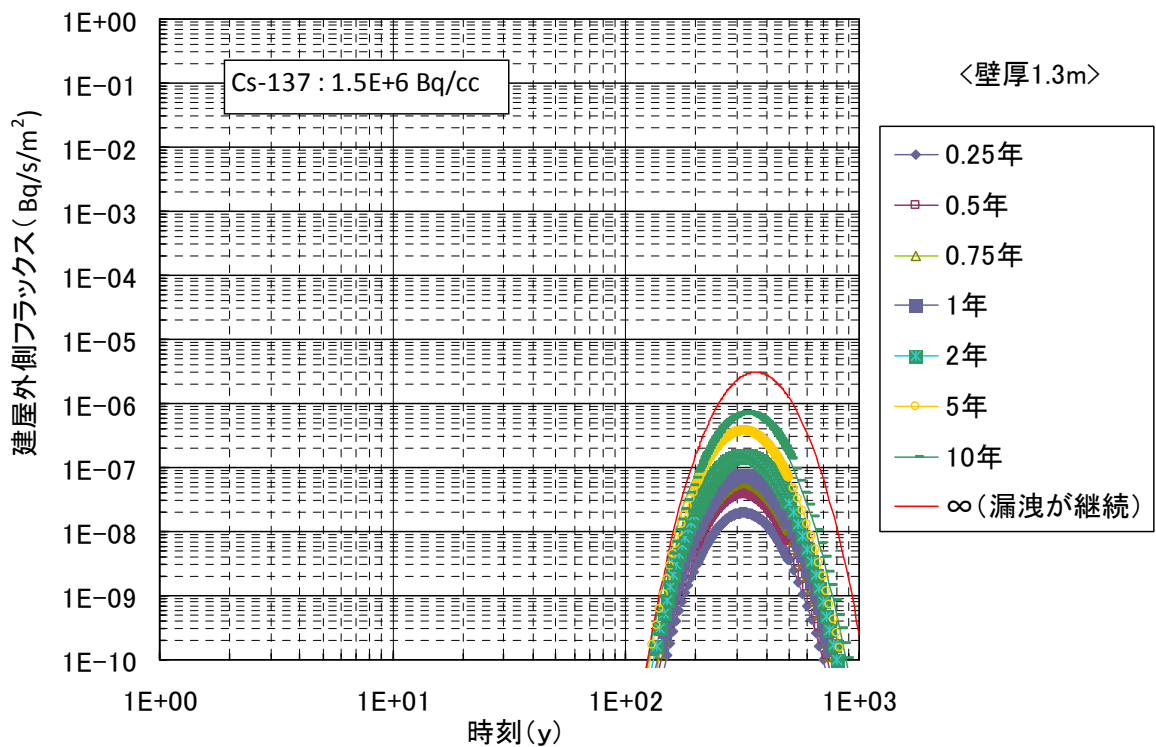


図2 (6) 建屋からの流出フラックス  
(側壁 1.3m)

表2 建屋外への放射性物質移行量の評価

| 1号炉  | 壁厚(m) | 滞留水に接する<br>表面積(m <sup>2</sup> ) | 建屋の南北長(m) | 8E-6Bq/cm <sup>3</sup><br>となる経過年 |
|------|-------|---------------------------------|-----------|----------------------------------|
| R/B  | 1.3   | 3040                            | 42        | 200                              |
| T/B  | 0.5   | 6250                            | 97        | 20                               |
| RW/B | 0.5   | 1080                            | 22        | 20                               |

| 2号炉  | 壁厚(m) | 滞留水に接する<br>表面積(m <sup>2</sup> ) | 建屋の南北長(m) | 8E-6Bq/cm <sup>3</sup><br>となる経過年 |
|------|-------|---------------------------------|-----------|----------------------------------|
| R/B  | 1.5   | 3760                            | 47        | 200* <sup>1</sup>                |
| T/B  | 0.55  | 8530                            | 105       | 20* <sup>2</sup>                 |
| RW/B | 0.7   | 1510                            | 23        | 40                               |

| 3号炉  | 壁厚(m) | 滞留水に接する<br>表面積(m <sup>2</sup> ) | 建屋の南北長(m) | 8E-6Bq/cm <sup>3</sup><br>となる経過年 |
|------|-------|---------------------------------|-----------|----------------------------------|
| R/B  | 1.5   | 3840                            | 47        | 200* <sup>1</sup>                |
| T/B  | 0.7   | 9800                            | 128       | 40                               |
| RW/B | 0.7   | 2050                            | 23        | 40                               |

| 4号炉  | 壁厚(m) | 滞留水に接する<br>表面積(m <sup>2</sup> ) | 建屋の南北長(m) | 8E-6Bq/cm <sup>3</sup><br>となる経過年 |
|------|-------|---------------------------------|-----------|----------------------------------|
| R/B  | 1.5   | 3840                            | 47        | 200* <sup>1</sup>                |
| T/B  | 0.5   | 8410                            | 106       | 20* <sup>1</sup>                 |
| RW/B | 0.7   | 2760                            | 36        | 40                               |

|         | 壁厚(m) | 滞留水に接する<br>表面積(m <sup>2</sup> ) | トレンチの南北長(m) | 8E-6Bq/cm <sup>3</sup><br>となる経過年 |
|---------|-------|---------------------------------|-------------|----------------------------------|
| 2号炉トレンチ | 0.4   | 1380                            | 7           | 13                               |
| 3号炉トレンチ | 0.4   | 1180                            | 6           | 13                               |
| 4号炉トレンチ | 0.35  | 1090                            | 5           | 10                               |

\*1: 壁厚1.3mで評価

\*2: 壁厚0.5mで評価

## 建屋等内に滞留する滞留水の増加抑制及び滞留水漏えいリスク低減にかかる方針

### 1 現状及び中期的見通し

現状、1～4号機の滞留水については、建屋内水位を地下水水位よりも低く管理し滞留水の系外流出を防止している。

滞留水の増加抑制及び拡散リスク低減を図るためには、今後、地下水位を管理し地下水の流入を抑制し滞留水の水位を下げタービン建屋、原子炉建屋、廃棄物処理建屋内にある滞留水を処理する必要がある。このため、地下水バイパス、トレンチ止水等の方策を検討する。

### 2 基本的対応方針及び中期的計画

滞留水の水位を維持するとともに、下記の基本的考え方にに基づき、処理を継続していく。将来的には、水位低下に必要となる技術、工法の研究開発を進め、滞留水の減少を図っていく。

#### 滞留水処理の基本的考え方

- ・ 現行水処理設備について、引き続き一部機器の設備改善などを行い、更なる信頼性向上を図るとともに、運転継続・延命化を行い、安定運転を維持する。
- ・ タービン建屋等の滞留水の水位が建屋周囲に設けられたサブドレン水位を上回らないように管理しつつ、サブドレン水位を低下させ、地下水流入量の抑制を図る。
- ・ 今後実施する研究開発成果に基づき滞留水量を減少させていくとともに、これに応じた循環ラインの段階的な縮小化等を検討していく。

中期的には、現行水処理設備の信頼性向上による運転継続、サブドレン水位の低下方法の検討・水位低下を進める。

#### 今後の検討と対策

##### (1) 建屋等からの漏えい防止

1～4号機建屋内に滞留している高濃度放射性汚染水については、プロセス主建屋、高温焼却炉建屋に移送し、さらに、汚染水処理設備により放射性核種のセシウム及び塩分を除去して淡水を生成し、原子炉への注水に再使用している（循環注水冷却）。ただし、1～4号機の建屋内には地下水が流入しているため、高濃度放射性汚染水が系外に放出しないよう適切に建屋内水位を管理する必要がある。

建屋内の水位については、引き続き管理を継続していく。また、万一、水位がOP. 4000に到達するようなことになれば、高濃度放射性汚染水を高濃度滞留水

受タンク等に移送する措置を施す。さらに、滞留水の地下水への流出を防止するため、建屋内の水位をサブドレン水位より低く管理している。

万一、建屋内の水位がサブドレン水位より高くなった場合は、サブドレン水の放射能濃度を確認し、建屋内からサブドレンへの滞留水の流出の有無を確認する。また、当該建屋からプロセス主建屋、高温焼却炉建屋、高濃度滞留水受タンク等へ滞留水を移送することにより、当該建屋内の水位を早期に下げることとする。

今後、地下水の流入量を低減させるため、建屋山側の高台で地下水を揚水し、建屋周辺の地下水の水位を段階的に低下させる計画である（地下水バイパス）。

地下水バイパスの設備は、建屋山側で地下水を汲み上げる揚水井及びポンプ、汲み上げた地下水を一時的に貯留して水質を確認するタンク、地下水を移送するための配管等からなる。地下水バイパスの稼働にあたっては、段階的な稼働とモニタリングにより、水質及び地下水低下状況等を確認し、建屋内滞留水が建屋外に漏れ出さないように慎重な水位管理を実施していく。

## (2) 止水・回収方法

### ①建屋に滞留する汚染水の止水・回収

汚染水の上流側に位置する原子炉建屋（格納容器下部を含む）を止水するためには、漏えい箇所を特定し、漏えい状況に応じた補修（止水）工法や装置を検討する必要がある。現在、漏えい箇所を調査・補修（止水）するための工法と遠隔操作装置を研究開発しているところである。今後、開発成果を活用して漏えい箇所の特定や漏えい状況の確認を行うとともに、補修（止水）工法や装置の開発成果をもって原子炉建屋（格納容器下部を含む）を補修（止水）する予定である。建屋内に滞留する汚染水については、水処理状況を踏まえつつ、原子炉建屋やタービン建屋等への地下水の流入を抑制するため建屋周辺の地下水位を低下させながら回収する。

地下水位を低下させるには、建屋周辺のサブドレン水を汲み上げる方法が有力であるが、一部のサブドレンピット内の水に僅かな汚染が確認されていることから、サブドレンピット内の溜まり水の浄化を行った後にサブドレン設備の復旧を順次実施する。

また、漏えい箇所の調査や止水のための工法・装置開発を進めつつ、建屋間の配管貫通部を対象とした止水工法・材料の検討も行っている。建屋間の配管貫通部からの漏水を模擬した大型試験装置を製作し、基礎試験で選定した止水材料を用いて止水試験を行い、効果を確認している。

なお、建屋内に滞留する汚染水を回収するまでの間、2、3号機立坑、プロセス主建屋及び高温焼却炉建屋の滞留水の水位を制限値以下に維持し、原子炉建屋及びタービン建屋等の滞留水の水位についても周辺のサブドレン水の水位以下に維持するとともにサブドレン水の放射性物質濃度を監視していく。

### ②トレンチ等に滞留する汚染水の止水・回収

建屋内と同レベルの高濃度の汚染水が滞留していると想定される2号機、3号機並



びに4号機海水配管トレンチ等については、タービン建屋内の汚染水の水位よりもトレンチの接続高さが低いことから、トレンチ内の汚染水を回収しても、継続的にタービン建屋から汚染水が流入するため、現時点では、汚染水の回収は困難である。

このため、タービン建屋内の汚染水が回収され、海水配管トレンチ等への汚染水の再流入が無い状態になってから、海水配管トレンチ等の汚染水を回収することとしていたが、系外への流出リスクの低減の観点から、海水配管トレンチ等の汚染水の回収をできるだけ早期に実施できるように、タービン建屋と海水配管トレンチの接続部における止水の可能性について検討を進めるとともに、水処理状況等を踏まえ、可能なトレンチ等から順次、止水・回収を実施する予定である。

なお、海水配管トレンチ等から海へ汚染水が流出しないように、ピットの閉塞等の措置は既に実施しており、2、3号機立坑、プロセス主建屋及び高温焼却炉建屋の滞留水の水位を制限値以下に維持し、原子炉建屋及びタービン建屋等の滞留水の水位についても周辺のサブドレン水の水位以下に維持するとともにサブドレン水の放射性物質濃度を監視していく。

## 汚染水処理対策委員会で議論された汚染水処理問題の抜本対策

## 1 陸側遮水壁の設置

## 【基本方針】

陸側遮水壁は、1号機～4号機の汚染水が滞留している建屋を囲い込むように、遮水性の高い壁を設置するものである。これにより、山側から建屋に向かう地下水の流れを遮断し、建屋周辺の地下水位を低下させることができ、建屋内への地下水の流入を抑制するものである。この陸側遮水壁を設置し、可能な限り早期の建設・運用を行う。また、地下水の流入抑制を効果的に行うために、地下水観測網の整備、遮水壁で囲い込む範囲の地下水位の管理等を実施するとともに、フェーシング（地面をアスファルト等で覆うことで、雨水の地下への浸透を防止するなど）等の検討を進める。汚染水処理対策委員会で、凍土方式による施工が適切と判断されていることを踏まえ、今後、概念設計等を進めていく中で、技術的な課題の解決状況を検証していく。

また、建屋周辺の地下水と建屋内の汚染水の水位のバランスを十分に制御することも重要な技術課題である。

## 【目標工程】

|          |                            |
|----------|----------------------------|
| 2013年6月～ | 概念設計，詳細設計，施工計画等の策定         |
| 2013年上期  | 地下水観測網の拡充，早期の整備            |
| 2013年12月 | 陸側遮水壁の施工性，効果，水位管理方法等の検証の実施 |
| 2013年度内  | 陸側遮水壁のフェージビリティ・スタディの実施     |
| 2015年度上期 | 陸側遮水壁の運用開始                 |

## 2 海水配管トレンチ内の汚染水の除去

## 【基本方針】

2号機及び3号機の海水配管トレンチ<sup>※1</sup>には、高濃度な汚染水が滞留している。早期に海水配管トレンチ内の汚染水を処理するため、まず、汚染水の放射性物質の濃度を再計測し、建屋接続部の止水方法、トレンチ内の汚染水の移送方法、トレンチ内の充填方法等について直ちに具体化するとともに、その濃度の低減を図るなどの環境改善措置を行う。また、この対策は、建屋を囲い込む形で陸側遮水壁を運用開始する前に、完了させることを目指す。

## 【目標工程】

|         |                        |
|---------|------------------------|
| 2014年度内 | 海水配管トレンチ内の汚染水の除去完了を目指す |
|---------|------------------------|

※1 「地下水の流入抑制のための対策」汚染水処理対策委員会（平成25年5月30日）には、高濃度の汚染水が滞留する海水配管トレンチを2号機から4号機としたが、その後の調査結果により2/3号機とされた。

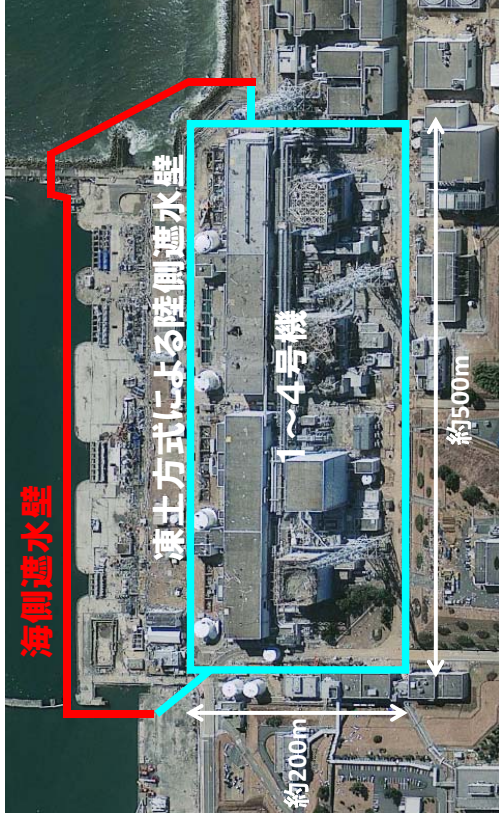
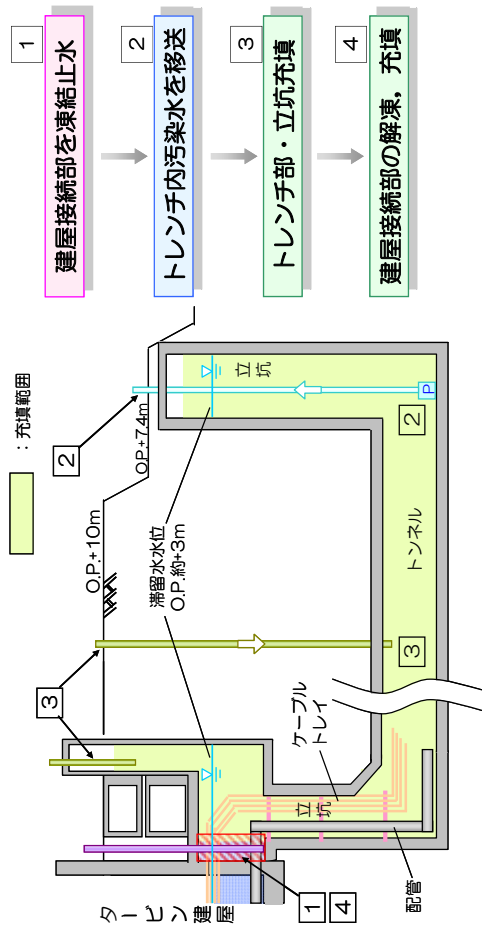
### 陸側遮水壁の設置

- 1号機～4号機の汚染水が滞留している建屋を囲い込むように、遮水性の高い壁を設置することで、山側から建屋に向かう地下水の流れを遮断し、建屋内への地下水の流入を抑制する。
- 汚染水処理対策委員会で、凍土方式による施工が適切と判断されており、今後、凍土方式による陸側遮水壁について、概念設計等を進め、2013年内を目的に技術的課題の解決状況を検証する。
- 2013年度末までにフィージビリティスタディを実施し、その後準備が整い次第速やかに建設工事着手、2015年度上期を目的に運用開始する。

### 海水配管トレンチ内の汚染水の除去

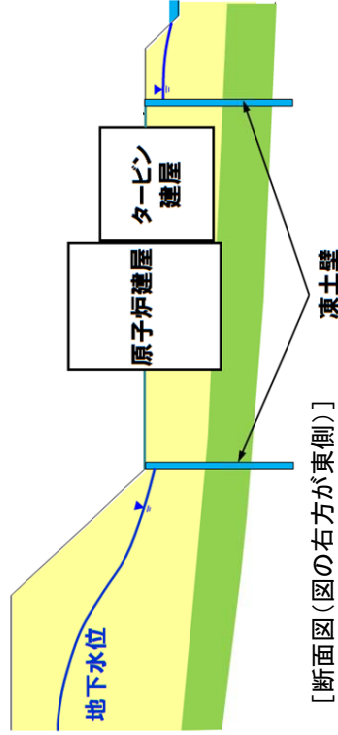
- 2号機から4号機の海水配管トレンチに滞留している、高濃度な汚染水について、2014年度中の除去完了を目指す。

### ■ 2号機施工案



〔平面図(図の上方が東側)〕

〔凍土による陸側遮水壁の配置イメージ(図の上方が東側)〕



〔断面図(図の右方が東側)〕

〔断面イメージ(図の右方が東側)〕

## 汚染された地下水の港湾への流出抑制策等について

## 1 現状及び基本的対応方針について

1, 2号機タービン建屋東側の護岸付近の地下水において、放射性物質が告示濃度限度（海水中の放射性物質濃度が線量限度等を定める告示に定める周辺監視区域外の濃度限度）を上回る高い濃度で検出されており、港湾内海水中の放射性物質濃度が減少しておらず、地下水の水位等のデータ分析結果から、汚染された地下水が海水に漏えいしているものと推定した。

このため、地下水を経由しての海洋汚染の拡大を抑制する措置を早急に講じるとともに、地下水のモニタリング等により汚染経路の調査を実施する。

また、高濃度の汚染水が滞留している2号機及び3号機の海水配管トレンチ等については、トレンチ内の汚染水の処理、移送、止水を検討、実施していく。

さらに、地下水及び港湾内の海水についてモニタリングを強化する。

また、海洋汚染の拡大防止のための対策として着手している海側遮水壁の設置を進めていく。

なお、本流出抑制策等については、可能な限り早期に着手・実施していくとともに、新たな対策についても継続して検討していく。

## 2 具体的計画について

## (1) 護岸付近の地盤改良

告示濃度限度を超える放射性物質の海域への流出を抑制するため、護岸付近の地盤改良や地下水の移送等の対策を実施する。特に、海水中におけるトリチウム濃度の上昇傾向が見られることから、1－2号機間、2－3号機間、3－4号機間の護岸付近において、地盤改良による汚染範囲の囲い込みを実施することなど、可及的速やかに汚染水の海洋への漏えい拡大抑制対策の実施・完了を目指す（図1、図2）。

## (2) トレンチ内汚染水処理・排水及び閉塞

2号機及び3号機の主トレンチ（図3、図4）、2号機の分岐トレンチ（図5）には、高濃度の汚染水が滞留していることが確認されている。早期にこれらトレンチ内の汚染水を処理するため、トレンチ毎（電源ケーブル管路を含む）に汚染水の滞留状況を調査する。その後、調査結果に基づき、分岐トレンチについては、汚染水の排水及び当該トレンチの閉塞を実施する。主トレンチについては、建屋接続部の止水方法、トレンチ内の汚染水の移送方法、トレンチ内の充填方法等について具体化するとともに、その濃度の低減を図るなどの環境改善措置を行う。

主トレンチ内の放射性物質濃度の低減策としては、モバイル式の処理装置を導入する

ことに加え（図6）、汚染水の処理装置（セシウム吸着装置，第二セシウム吸着装置，除染装置）へ汚染水を移送するための配管を設置する（図7）。なお，止水方法の成立性については，凍結時の配管等への影響評価，高線量下での作業員の被ばく低減策等の技術課題があることから，実証試験を実施し，評価する。

(3) 海側遮水壁

汚染した地下水からの海洋汚染拡大防止を目的として着手している海側遮水壁の設置工事については，既に2012年4月に本格着工し，2014年9月の完成を目指している（図8）。なお，海側遮水壁の構築に伴いせき止められる地下水は汲上げた後，適切に処理する。具体的な処理方法について検討し，平成25年度末までに実施計画へ反映する。

(4) 繊維状吸着材浄化装置

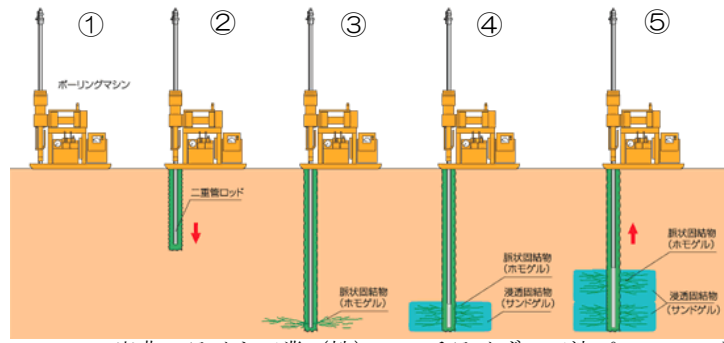
1～4号機取水路前面において，海水中の放射性セシウムの除去を目的とした繊維状吸着材浄化装置を設置し，その効果を検証する。

(5) モニタリングの強化等

地下水及び港湾内の海水について放射性物質のモニタリングを強化する（詳細は，「Ⅲ 特定原子力施設の保安 第3編 3.1.4 港湾内の海水，海底土及び地下水の放射性物質の低減」を参照）。

3 工程について

|                | H25年度    |           | H26年度    |                |
|----------------|----------|-----------|----------|----------------|
|                | 上期       | 下期        | 上期       | 下期             |
| 護岸付近の地盤改良      | □□□□     |           |          |                |
| トレンチ内汚染水の処理等   | □□□□     | 処理装置設置工事  | □□□□     | トレンチ内汚染水の処理・移送 |
| 既存水処理装置への移送ライン | □□□□     | 移送ライン設置工事 |          |                |
| トレンチ止水         | □□□□□□□□ |           | 止水の成立性判断 | □□□□□□         |
| 海側遮水壁          | □□□□□□□□ |           | 遮水壁設置工事  |                |



出典：ライト工業（株） マルチライザー工法パンフレット

図1 薬液注入による地盤改良（概念図）

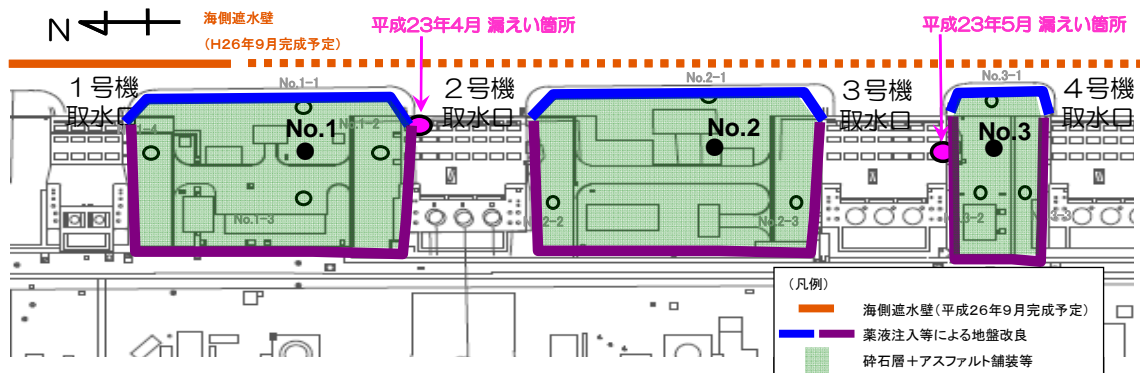


図2 地盤改良等の範囲（イメージ）

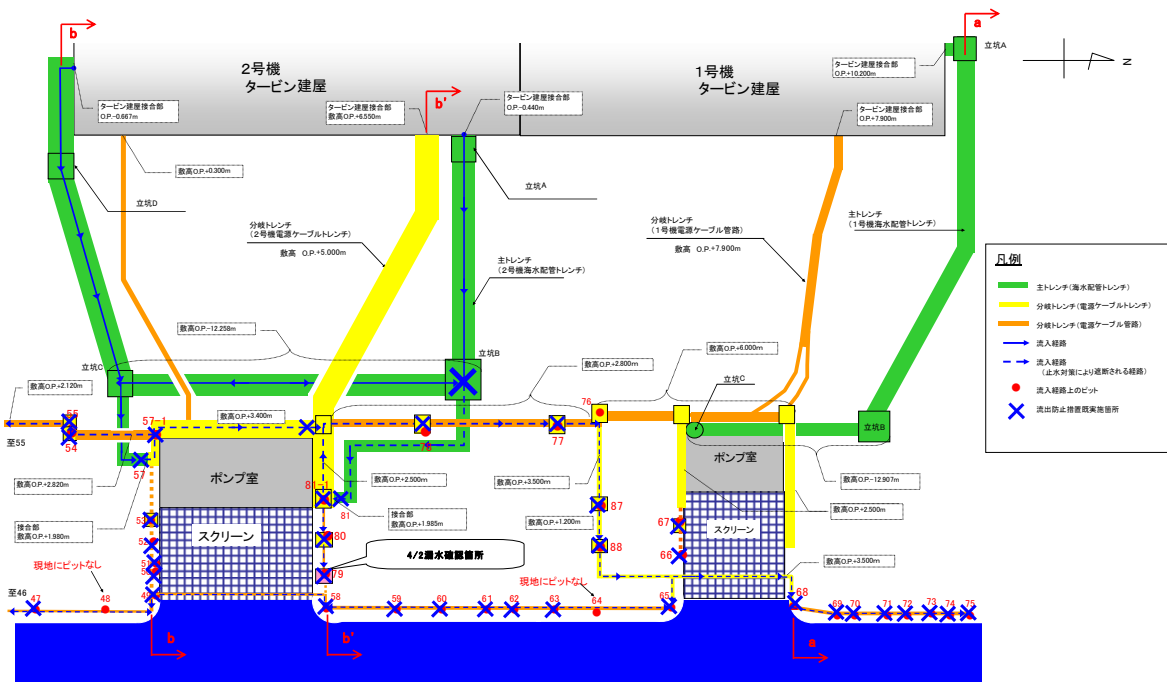


図3 1 / 2号機海側トレンチ平面図

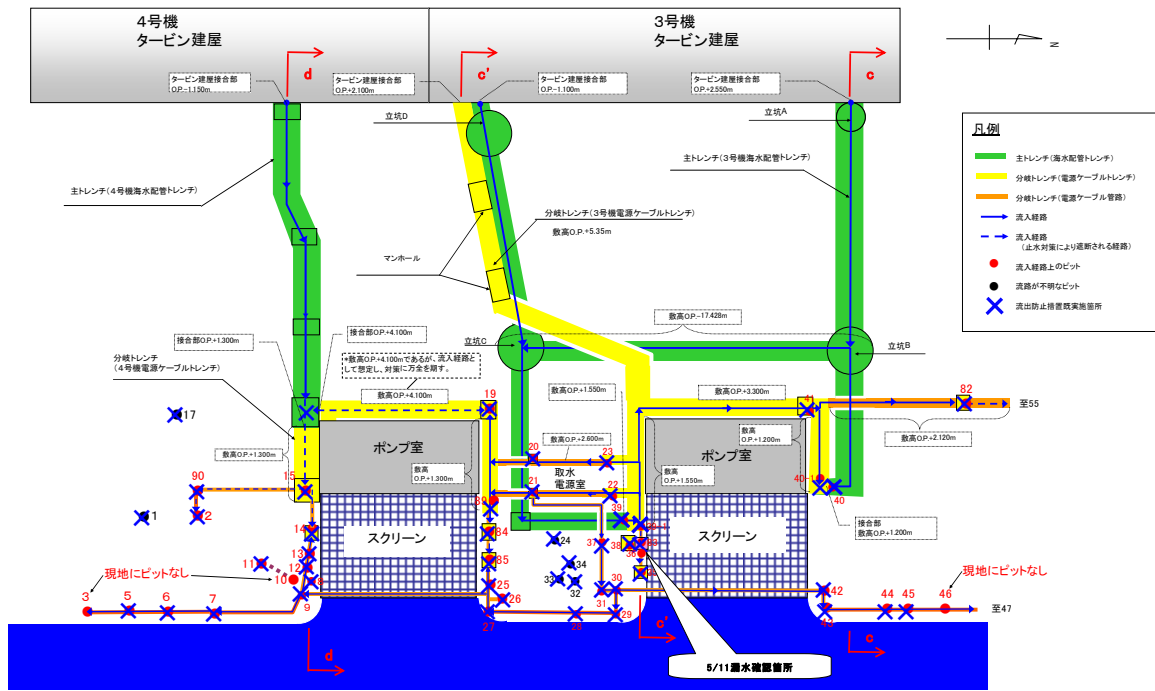
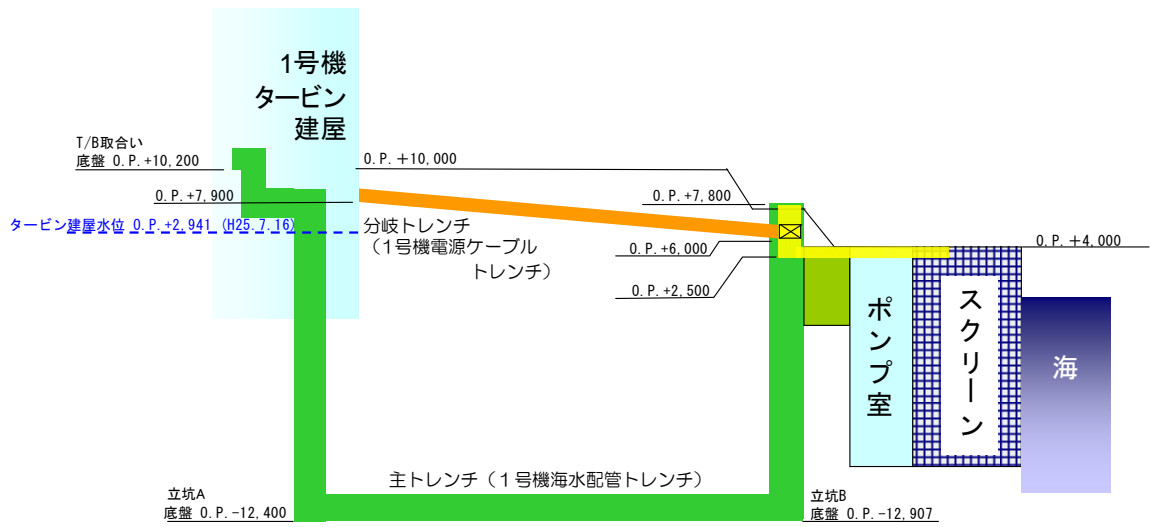
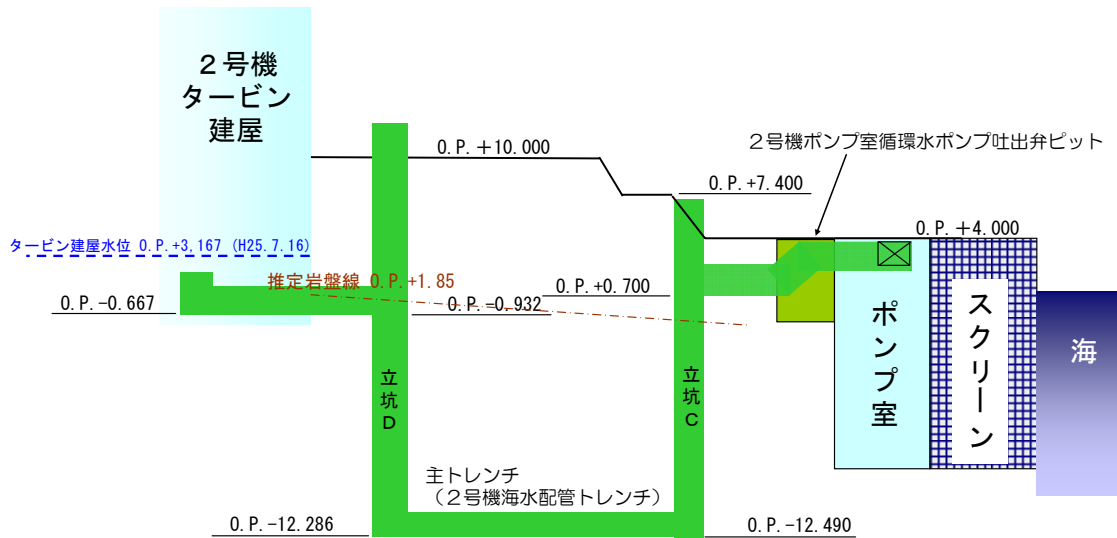


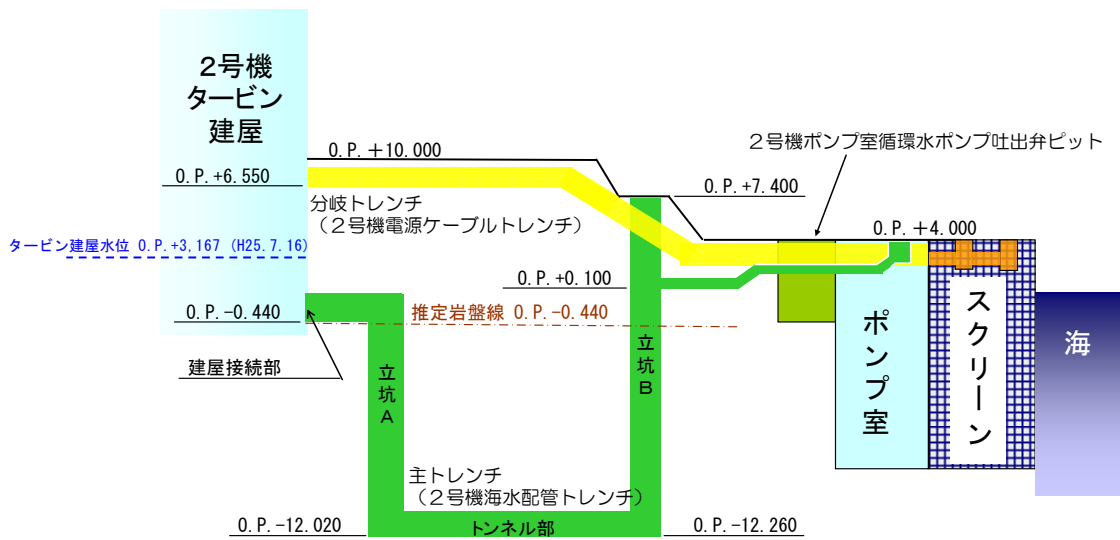
図4 3 / 4号機海側トレンチ平面図



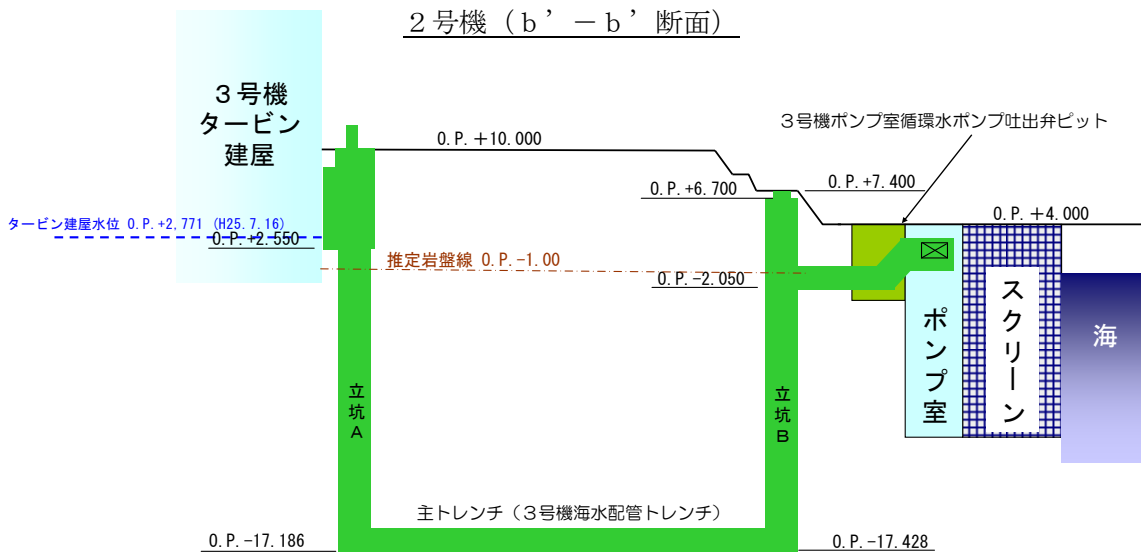
1号機 (a - a 断面)



2号機 (b - b 断面)

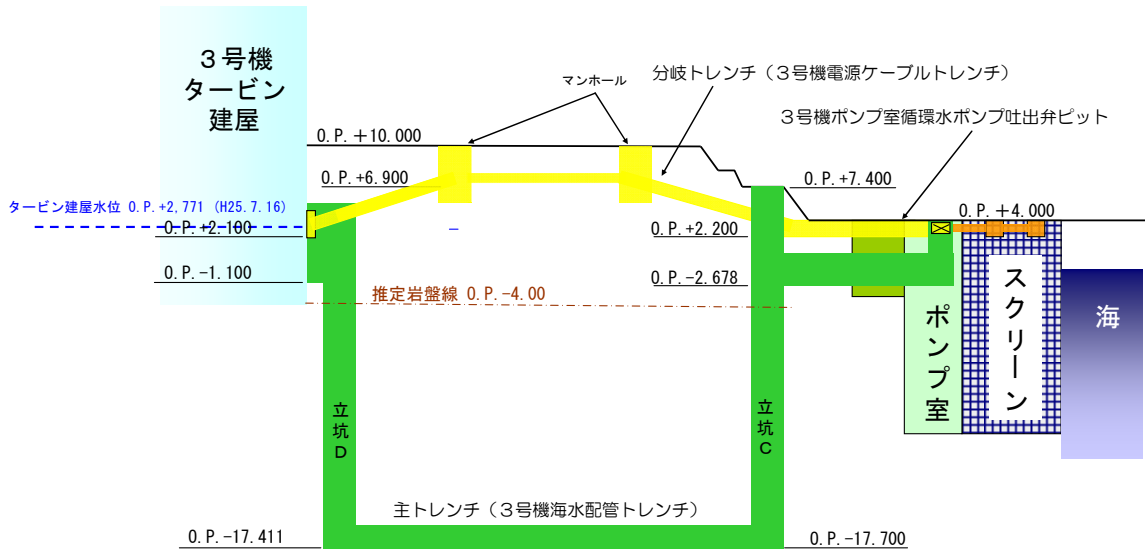


2号機 (b' - b' 断面)

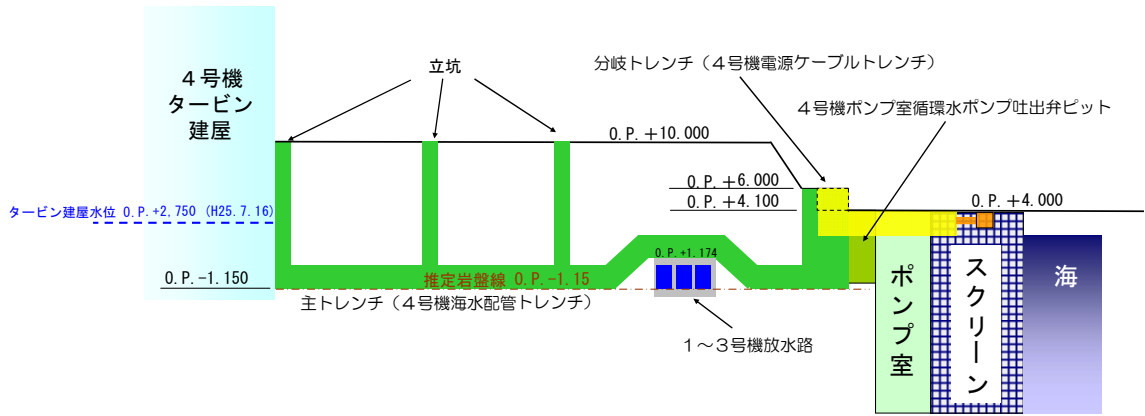


3号機 (c - c 断面)





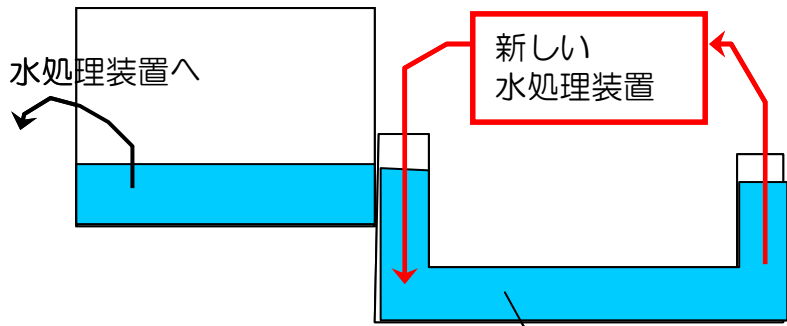
3号機 (c' - c' 断面)



4号機 (d - d 断面)

図5 1～4号機トレンチの構造図

新しい水処理装置にてトレンチ内の水を循環処理



T/B建屋からの流出を制限することにより、  
T/B建屋より低濃度まで処理可能

トレンチ内水処理装置の追設

図6 処理装置設置のイメージ

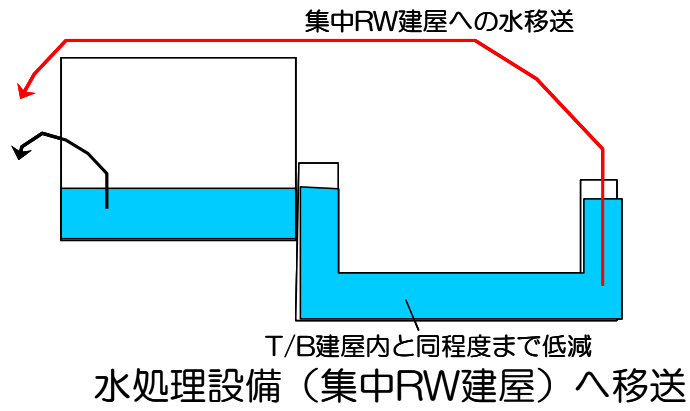


図7 既存水処理設備への移送のイメージ

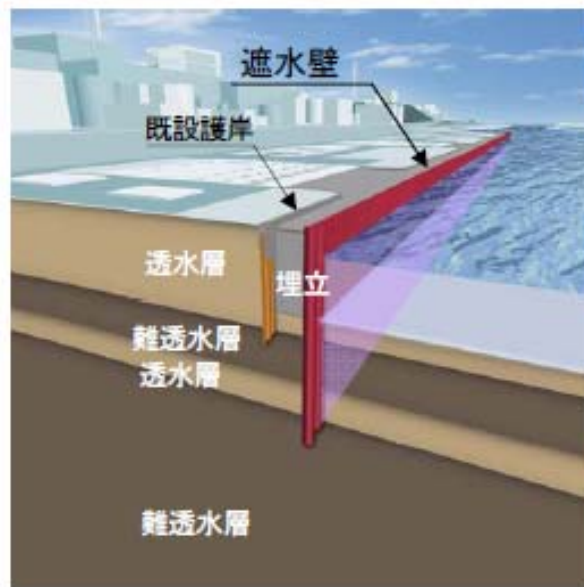


図8 海側遮水壁（概念図）

## 凍土遮水壁設置による地下水流入量の低減

## 1 概要

汚染水処理対策委員会で議論された汚染水処理問題の抜本対策（添付資料－ 1 2）に基づき、汚染源に水を「近づけない」重層的な対策の一つとして、高レベル放射性汚染水が滞留している 1～4 号機の原子炉建屋，タービン建屋，廃棄物処理建屋（以下「1～4 号機のタービン建屋等」という）の周囲に凍土遮水壁（汚染水処理対策委員会の「凍土方式の陸側遮水壁」を「凍土遮水壁」とする）を造成する。

凍土遮水壁は、「汚染源である建屋に水を近づけない」ことが必要な期間に限り凍結を行い、その必要がなくなった場合には速やかに解凍する。

今回の申請範囲は、以下のとおりとする。なお、海側ライン上の埋設物との干渉箇所での凍結管設置工事，観測井等の設置および建屋内外の水位管理計画，緊急時の対応については、必要な事項を別途実施計画変更で反映する。

凍土遮水壁解凍後の凍結管等の処理方法については解凍時期に近づいた段階で検討する。

## &lt;申請範囲&gt;

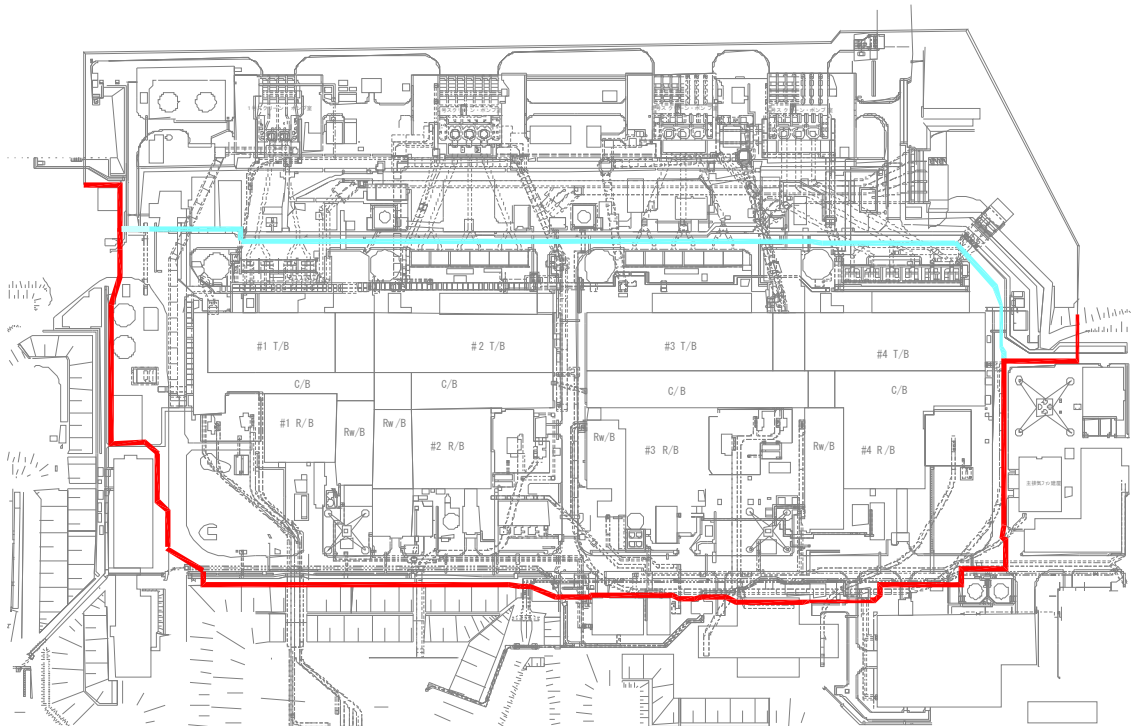
○山側ライン上の埋設物との干渉箇所での貫通施工による凍結管設置工事（図 1 参照）

- ・ 埋設物の貫通施工は、「別添－ 2 5 山側ライン上の貫通施工・複列施工の対象箇所」における、貫通施工箇所を対象とする。
- ・ 埋設物の貫通は、埋設物内部等の状況により、以下の方法を用いて施工する。
  - ボーリング工法を用いて埋設物を単純に貫通する施工方法（以下、単純貫通工法と言う）
  - 内部充填により貫通箇所の水密性を確保し、ボーリング工法を用いて埋設物を貫通する施工方法（以下、内部充填工法と言う）
  - マルチステップ（多段式）ボーリング工法を用いて貫通箇所の水密性を確保し、埋設物を貫通する施工方法（以下、マルチステップ工法と言う）

○凍土遮水壁造成後の基礎地盤沈下検討

○運用中の設備の損傷防止対策

○不明埋設物への対応





|       |   |       |
|-------|---|-------|
| 海側ライン |  | 申請範囲外 |
| 山側ライン |  | 申請範囲  |

図1 埋設物干渉箇所での貫通施工による凍結管設置工事に関する申請範囲図

※ 凍土遮水壁のルートについては、現場支障物などの状況により変更の可能性あり。  
貫通施工の方法が申請範囲と異なる場合は、別途変更申請を行う。

## 2 凍土遮水壁の造成方法

凍土遮水壁を造成するための機器は、冷凍機、冷却塔、冷却水循環ポンプ、ブライン循環ポンプ、ブライン供給ポンプ、ブラインタンク、ブライン移送管、接続管、凍結管である。

上記のうち、冷凍機、冷却塔、冷却水循環ポンプ、ブライン循環ポンプ、ブライン供給ポンプ、ブラインタンクについては 35m 盤に凍結プラント(1)、凍結プラント(2)として 2 系統に分割して設置し、冷凍機については建屋内に設置する。ブライン移送管（主管）については、凍土遮水壁造成ライン上に設置し、30m 程度毎にブライン移送管（ヘッダー管）を設け接続管を介して凍結管に接続する。凍結管は二重管構造とし、ボーリングにて所定の深度まで削孔した後、保護ケーシング管内に設置する（図2～6 参照）。

凍土遮水壁造成には、冷凍機で冷却したブラインを、ポンプ圧送により、ブライン移送管（主管・ヘッダー管）を經由して、地中に配置した各凍結管の中を循環させることで凍結管周辺の地盤を凍結させる。循環後温められたブラインは、35m 盤に設置したブラインタンクに回収され、再度冷凍機で冷却することで連続的に凍土遮水壁の造成を行う。

冷凍機・ポンプ等の運転監視は監視制御装置で行い、電源は異なる2系統の所内高圧母線から受電できる。

機器類の運転状況については、免震重要棟集中監視室で遠隔監視する。

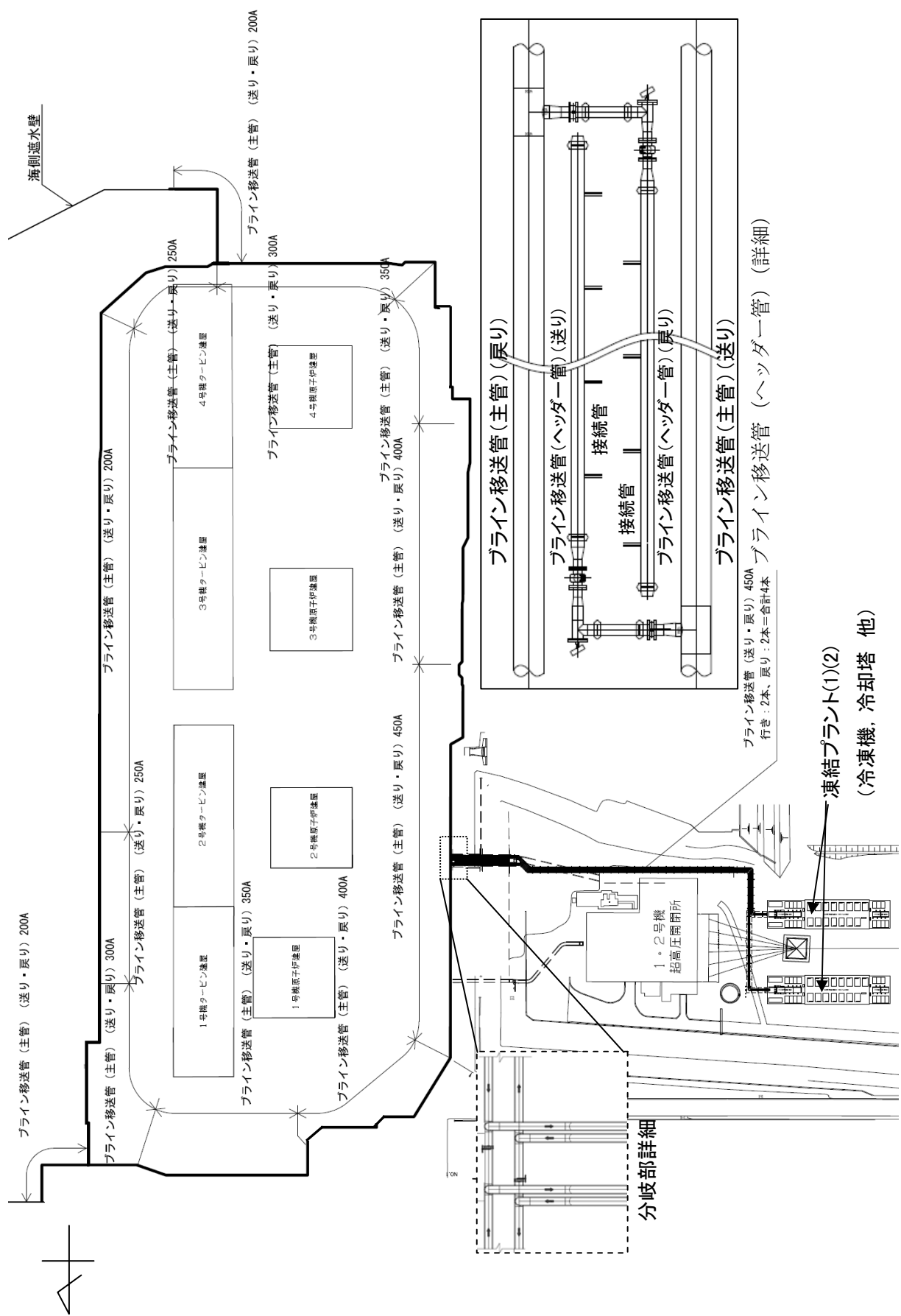


図2 凍土遮水壁を造成する機器配置 平面図

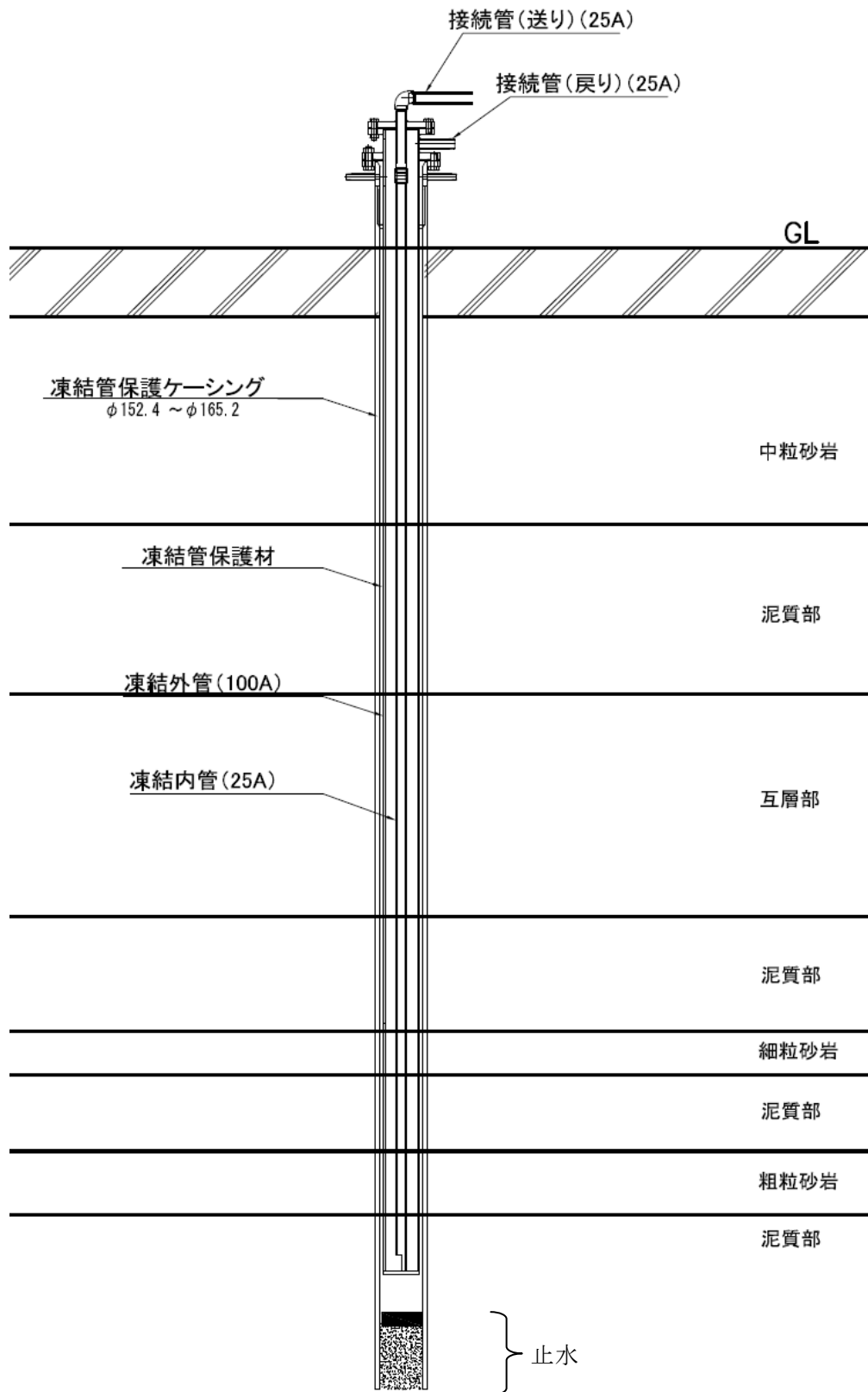


図3 凍結管基本構造図

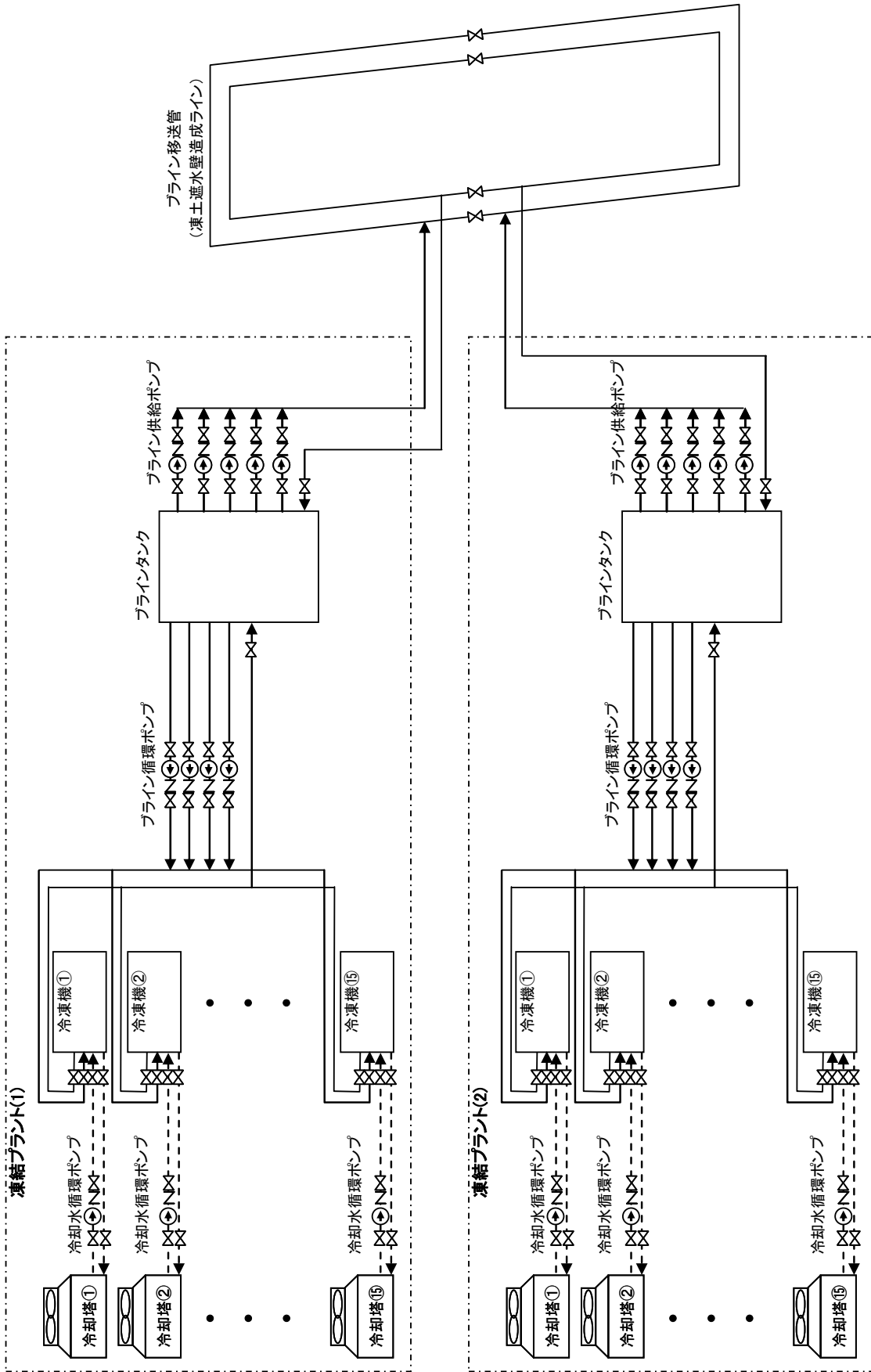


図 4 凍土遮水壁を造成する機器 系統図 (概略)



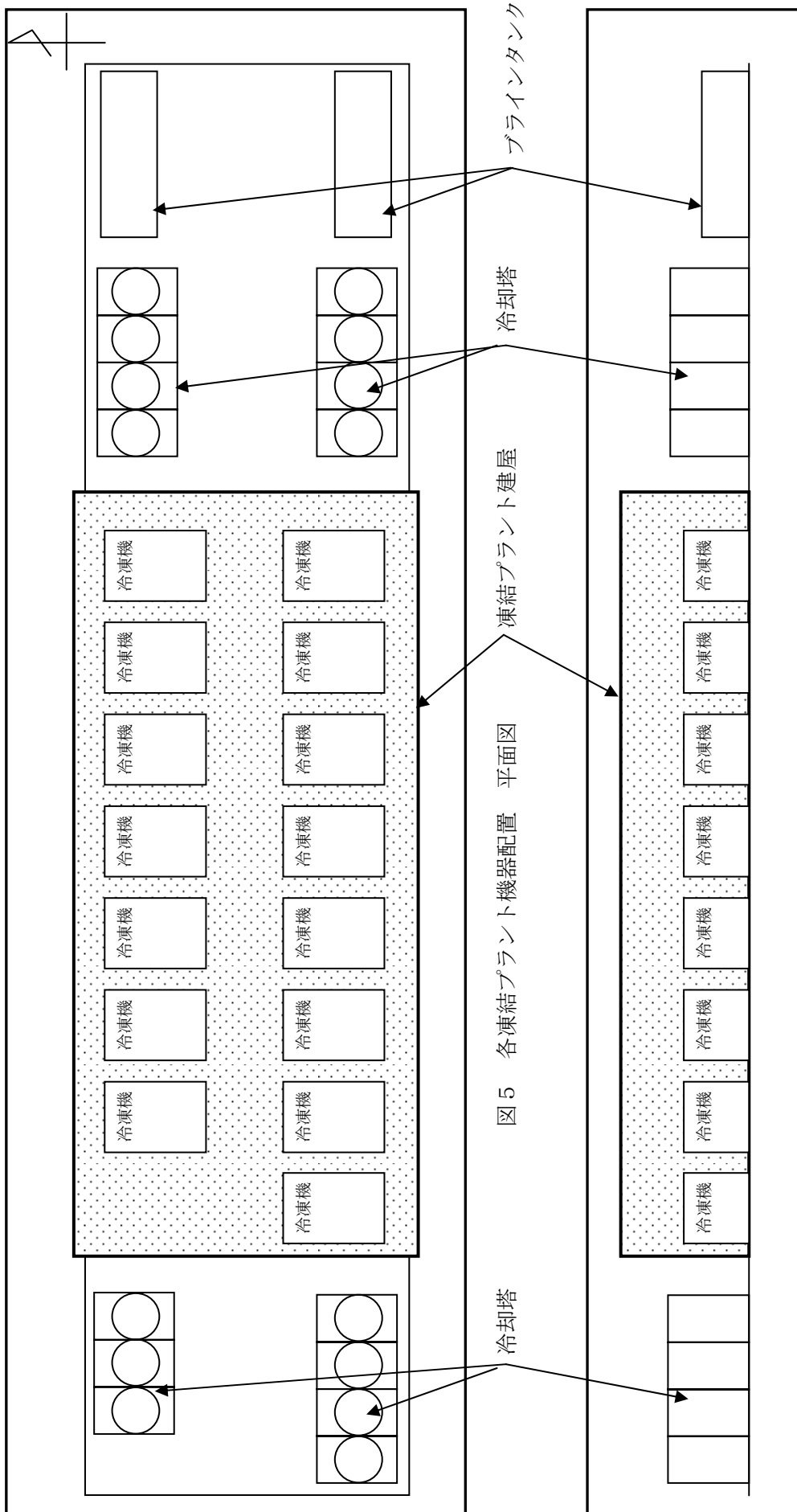


図5 各凍結プラント機器配置 平面図

図6 各凍結プラント機器配置 断面図

### 3 主要機器の基本仕様

#### (1) 冷凍機 (完成品)

|      |                           |
|------|---------------------------|
| 形 式  | ユニット型 (高圧ガス保安法 冷凍保安規則による) |
| 基 数  | 30                        |
| 使用冷媒 | R404A                     |
| 冷凍能力 | 261 kW (1 基あたり)           |

#### (2) ブライン

|    |            |
|----|------------|
| 種類 | 塩化カルシウム水溶液 |
|----|------------|

#### (3) 冷却塔 (完成品)

|      |                 |
|------|-----------------|
| 形 式  | 密閉型             |
| 基 数  | 30              |
| 交換熱量 | 600 kW (1 基あたり) |

#### (4) 冷却水循環ポンプ (完成品)

|     |                      |
|-----|----------------------|
| 台 数 | 30                   |
| 容 量 | 1,750 L/min (1 台あたり) |
| 揚 程 | 19 m                 |

#### (5) ブライン循環ポンプ (完成品)

|     |                      |
|-----|----------------------|
| 台 数 | 8                    |
| 容 量 | 3,385 L/min (1 台あたり) |
| 揚 程 | 13 m                 |

#### (6) ブライン供給ポンプ (完成品)

|     |                      |
|-----|----------------------|
| 台 数 | 10                   |
| 容 量 | 4,000 L/min (1 台あたり) |
| 揚 程 | 40 m                 |

#### (7) ブラインタンク (完成品)

|     |                              |
|-----|------------------------------|
| 基 数 | 4                            |
| 容 量 | 40m <sup>3</sup> (1 基あたり)    |
| 寸 法 | L 8.0×W 2.5×H 2.4 m (1 基あたり) |

#### 4 凍土遮水壁による地下水の建屋流入抑制効果

1～4号機のタービン建屋等の周辺を高い遮水性が確保できる凍土遮水壁で囲むことにより、1～4号機のタービン建屋等への地下水の流入量が低減されるものとする。

第11回汚染水処理対策委員会（平成25年12月10日）の報告より、4m盤対策（ガラス固化壁、ウェルポイント）だけの場合（ケース1）と比較して、凍土遮水壁を追加設置した場合（ケース6）では、1～4号機のタービン建屋等への地下水の流入量が320トン/日から30トン/日へと低減するというシミュレーション結果が得られている。

表1 各対策工実施後の建屋流入量・地下水汲上げ量の想定

| ケース | 対策工                       |         |                   |             |                | 建屋流入量（トン/日） |             |                         | 地下水汲上げ量（トン/日）      |             |             |
|-----|---------------------------|---------|-------------------|-------------|----------------|-------------|-------------|-------------------------|--------------------|-------------|-------------|
|     | 4m盤対策<br>(ガラス固化壁、ウェルポイント) | 地下水バイパス | 海側遮水壁<br>(地下水ドレン) | 山/海側<br>サドレ | 陸側遮水壁<br>(凍土壁) | 合計          | 1～4号機<br>建屋 | プロセス主<br>建屋、高温<br>焼却炉建屋 | ウェルポイント+地<br>下水ドレン | 地下水<br>バイパス | 山/海側<br>サドレ |
| 1   | ●                         |         |                   |             |                | 410         | 320         | 90                      | 50                 | -           | -           |
| 6   | ●                         |         |                   |             | ●              | 130         | 30          | 100                     | 10                 | -           | -           |

※汚染水処理対策委員会報告書（H25.12）より抜粋，一部，加筆

## 5 凍土遮水壁造成後の地下水位低下に伴う地盤沈下

凍土遮水壁造成後の1～4号機建屋周りの地下水位低下に伴う原子炉建屋・タービン建屋基礎地盤の不等沈下を評価した。保守的な条件から求まる基礎底面の傾斜は最大1/10,000程度となり、各種基準に示される基礎地盤の傾斜の目安値1/2,000～1/500以下であることから、建屋基礎の安定上問題ないものと評価した（別添-1参照）。

また、建屋基礎の沈下量をモニタリングして、建屋基礎が安定上問題ないことを確認していくこととする。

## 6 山側ライン上の埋設物に対する施工時の考慮

凍土遮水壁と干渉する埋設物周辺の施工にあたっては、埋設物を図面・試掘・現地調査で確認し、構造形式、内容物、埋設物内部の状況を整理した上で、埋設物の幅・機能に応じて、適切な施工方法を選定する（別添-2参照）。

なお、運用中の設備および運用中の設備を内包している構造物を横断して凍土遮水壁を施工する箇所（図7、表2参照）については、図面・試掘・現地調査で確認し、構造物に損傷を与えないように適切に施工する。また、施工に先立ち、防護が完了していることを確認してから工事を実施する。

運用中の設備の損傷防止策として以下の対策を実施する。

- 図面等による位置の把握および現地確認
- 試掘（震災前の地盤面以深2mまで\*）による敷設場所の確認
- 注意喚起の表示（図8参照）
- 配管移動・防護（表3、図9-1～9-3参照）

※ 震災前の地盤面から深さ2mまで試掘することにより、東日本大震災以降に設置した電源ケーブル等の確認を行う。

万が一、運用中の設備および運用中の設備を内包している構造物が損傷した場合は、損傷箇所を速やかに復旧する（表4参照）。

## 7 ボーリング削孔水管理

ボーリング削孔作業時には、ボーリング孔内部より削孔機先端へ泥水（以下、削孔水）を注水し、削孔箇所地上部においてボーリング孔壁に沿って地上に戻った削孔水（一部は地盤中に逸水）を回収する。回収された削孔水は削孔プラント\*にて濁水処理し、水（構内の作業用水）を補給した上で、削孔水として再利用する（ボーリング孔内部より注水）。削孔水の役割、性状は以下の通りである。

※ 汲み上げた削孔水から切削した土を分離し、水（構内の作業用水）を補給した上で再度削孔箇所へ送水する設備

- ・ 役割：削孔機先端の切削土の排出、削孔機の回転不良防止、ボーリング孔壁の保護

- ・性状：ベントナイトおよび切削土混じりの泥水

なお、削孔水の放射性物質濃度は1～4号機サブドレンピットの放射性物質濃度（図10-1参照）、1～4号機建屋周辺観測井の放射性物質濃度（図10-2参照）と同程度と想定される。

ボーリング削孔作業における削孔水については、削孔箇所地上部、削孔プラントそれぞれで以下の漏えい対策（図11参照）を実施することにより、閉じた系統で循環する。なお、地下水の放射性物質濃度が高い場所では、漏えい対策に万全を期す。

- ・削孔プラント：周囲に堰の設置，雨水浸入防止カバーの設置  
万削孔プラントから堰内に削孔水が漏えいした場合は自動起動のポンプにより削孔プラントに移送する。
- ・削孔箇所地上部：地表部をシート等で囲み，削孔水を集水し，ポンプで削孔プラントへ移送する。

削孔区間は、山側についてはサブドレンおよび対象観測井，海側についてはそれらに加え必要に応じ凍土壁ライン上で事前の地下水調査を行うことで、凍土遮水壁ライン近傍の放射性物質濃度分布を把握した上で、濃度が同様であると想定される区間ごとに定める（図10-1，2参照）。現状想定される各削孔区間の地下水の放射性物質濃度レベルは表5に示す通りであり、今後、削孔作業完了後に削孔プラント内に残った使用済みの削孔水（以下、余剰水）の放射性物質濃度を確認した上で、表5に示すオーダー（桁数）単位の管理で、余剰水を削孔水として再利用できる削孔区間を選定する。

余剰水については、当該削孔区間よりも放射性物質濃度レベルが高い（表5において、Cs-134，Cs-137，全β，H-3全て該当するものとする）削孔区間の削孔水に再利用することは可能であるが、当該削孔区間よりも放射性物質濃度レベルが低い（表5において、Cs-134，Cs-137，全β，H-3の1つでも該当するものとする）削孔区間の削孔水に利用することはできない。

最終的に再利用できない余剰水は「福島第一原子力発電所 特定原子力施設に係わる実施計画」に記載の汚染水処理設備で処理する。

削孔プラント内に残った泥土（ベントナイトおよび切削土）については、飛散しない状態（トンパックに入れるなど）で管理して、一時保管エリアで保管する。また、泥土の発生量<sup>※</sup>は、「Ⅱ 2.10 放射性固体廃棄物等の管理施設」に示している瓦礫等の保管量に見込んでいる。

- ※ ボーリング削孔による泥土の発生量は、2,000m<sup>3</sup>程度と想定され、瓦礫等の一時保管エリアの保管容量（「Ⅱ 2.10 放射性固体廃棄物等の管理施設」を参照）に対して十分に少量（現在の貯蔵量の1%程度）で、一時保管エリアの運用に支障を与えるものではない。

## 8 施工時の放射線被ばく管理

放射線業務従事者が立ち入る場所では、外部放射線に係わる線量率を把握し、放射線業

務従事者等の立入頻度の管理，滞在時間等を考慮した遮へいの設置や除染等を実施することにより，作業時における放射線業務従事者が受ける線量が労働安全衛生法およびその関連法令に定められた線量限度（100mSv/5年および50mSv/年）を超えないようにする<sup>※1</sup>。

※1 凍土遮水壁工事における年間被ばく線量は40mSvを限度とする。

凍土遮水壁施工時の作業空間における被ばく線量低減対策として空間線量率・現場状況に応じて，施工前に以下の対策を実施する（図12-1～12-7参照）。

- ・線源の除去（表土すき取り，清掃，高線量ガレキの撤去 等）
- ・線源からの遮蔽（L型擁壁・タングステンマット・コンクリートパネル・遮へいボックス<sup>※2</sup>・鉛板<sup>※2</sup>の設置，被覆実施 等）

※2 「福島第一原子力発電所における放射線管理に関する検討課題」（第24回特定原子力施設 監視・評価検討会 資料2）を踏まえて，更なる遮蔽対策として遮へいボックス・鉛板の設置を追加した。

さらに，必要に応じて作業員の被ばくを低減させるため遮蔽ベストの着用を行う（図13参照）。

長期にわたる，かつ，高線量エリアにおける施工であるため，現場状況を踏まえ，今後継続的に被ばく線量低減に向けた線源の把握と除去，線源からの遮蔽，区域管理作業等を行い，更なる被ばく線量低減に努める。

## 9 凍土遮水壁と他工事との調整状況

凍土遮水壁造成に関する工事期間において，他の安定化に向けた工事・作業との干渉について作業区域・道路占有・作業期間等について必要な調整を行った。今後も，工事・作業の進捗等に合わせて随時調整しながら，工事を進める（図14参照）。

## 10 施工時の熱中症対策

凍土遮水壁造成に関する工事は炎天下，高気温下での作業が多く発生すると想定されることから，特に熱中症について対策を実施する（表6参照）。

## 11 緊急時の避難

「II 1.1.13 緊急時対策」に準じて適切に対応する。緊急時には緊急放送・ペーシング等により構内に周知されるが，本工事では施工エリアが複数にわたることから，これに加えて各施工エリアの責任者に携帯電話にて避難指示を行い，図15に示す避難経路により避難する。これらについては，新規入場者教育にて本工事の関係者（作業員含む）に周知される。なお，構内の車両通行規制（避難経路含む）の情報については，1回/週程度で行う連絡会議で作業員に周知する。

## 12 別添

別添ー1 凍土遮水壁造成後の基礎地盤沈下検討

別添ー2 山側ライン上の埋設物に対する施工時の考慮

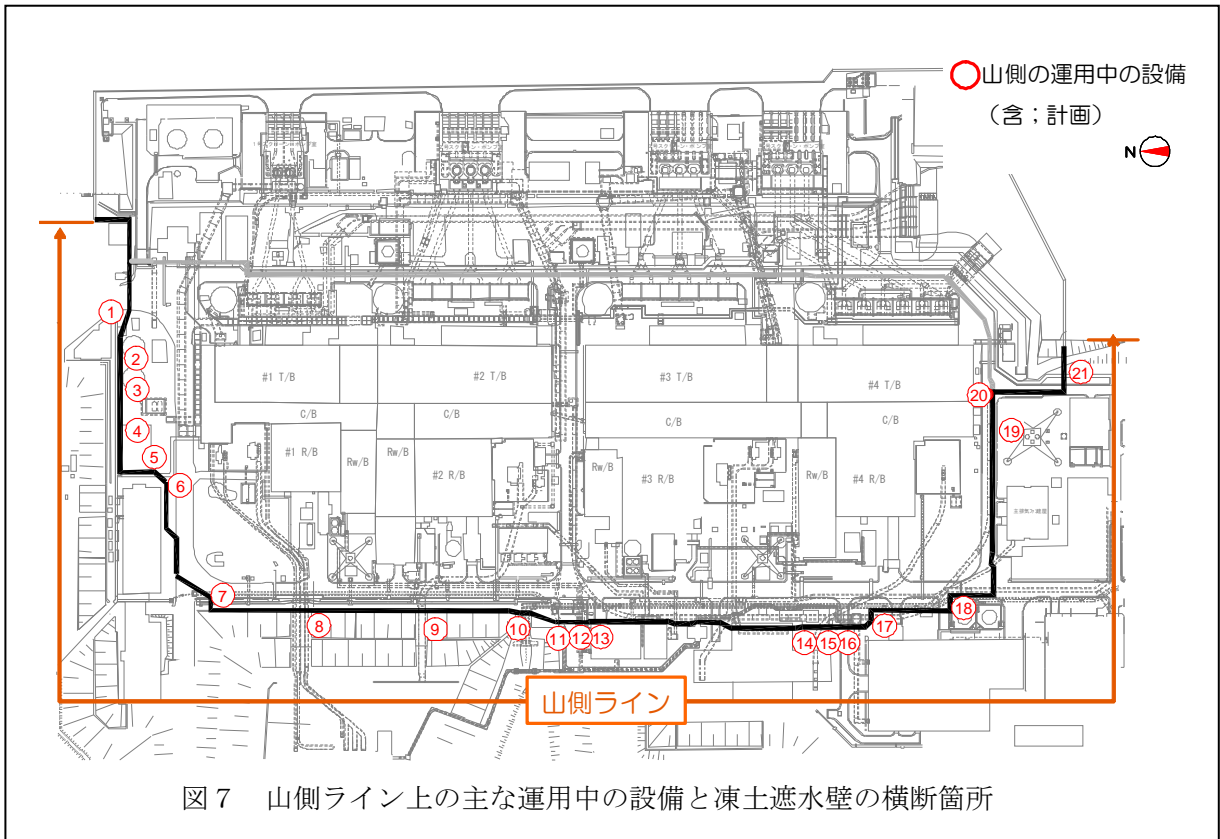




表2 山側ライン上の主な運用中の設備と凍土遮水壁の横断箇所

| 位置番号<br>(図7平面図参照) | 設備名称<br>注) ( ) 内の数字は表4と対応 |                 | 交差位置での状況   | 防護パターン<br>(図9参照) |
|-------------------|---------------------------|-----------------|------------|------------------|
| ①                 | (1)                       | 原子炉圧力容器・炉注水ライン※ | 地上         | A                |
| ①                 | (2)                       | 原子炉格納容器内窒素封入ライン | 地上         | A                |
| ①                 | (3)                       | 使用済燃料プール冷却ライン   | 地上         | A                |
| ①                 | (5)                       | 電源ケーブル          | 地上         | A                |
| ①                 | (6)                       | 通信用光ケーブル        | 地上         | A                |
| ①                 | (7)                       | サブドレン他水処理施設ライン  | 地上         | A                |
| ②                 | (3)                       | 使用済燃料プール冷却ライン   | 地上         | A                |
| ③                 | (5)                       | 電源ケーブル          | 地上         | A                |
| ④                 | (1)                       | 原子炉圧力容器・炉注水ライン  | 地上         | A                |
| ④                 | (3)                       | 使用済燃料プール冷却ライン   | 地上         | A                |
| ⑤                 | (7)                       | サブドレン他水処理施設ライン  | 地上         | A                |
| ⑥                 | (6)                       | 通信用光ケーブル        | 地下         | B                |
| ⑦                 | (2)                       | 原子炉格納容器内窒素封入ライン | 地上         | A                |
| ⑦                 | (3)                       | 使用済燃料プール冷却ライン   | 地上         | A                |
| ⑦                 | (7)                       | サブドレン他水処理施設ライン  | 地上         | A                |
| ⑧                 | (6)                       | 通信用光ケーブル        | 地上         | A                |
| ⑨                 | (6)                       | 通信用光ケーブル        | 地上         | A                |
| ⑩                 | (7)                       | サブドレン他水処理施設ライン  | 地上         | A                |
| ⑪                 | (7)                       | サブドレン他水処理施設ライン  | 未設置(施工中)   | A                |
| ⑫                 | (3)                       | 使用済燃料プール冷却ライン   | 地上         | A                |
| ⑬                 | (3)                       | 使用済燃料プール冷却ライン   | 地上         | A                |
| ⑭                 | (7)                       | サブドレン他水処理施設ライン  | 未設置(施工中)   | A                |
| ⑮                 | (3)                       | 使用済燃料プール冷却ライン   | 地上         | A                |
| ⑯                 | (5)                       | 電源ケーブル          | 地上         | A                |
| ⑰                 | (5)                       | 電源ケーブル          | 地上         | A                |
| ⑰                 | (3)                       | 使用済燃料プール冷却ライン   | 地上         | A                |
| ⑱                 | (3)                       | 使用済燃料プール冷却ライン   | 地下(K排水路内部) | A                |
| ⑲                 | (6)                       | 通信用光ケーブル        | 地下         | B                |
| ⑳                 | (4)                       | 滞留水移送ライン        | 地上         | C                |
| ㉑                 | (5)                       | 電源ケーブル          | 地上         | A                |
| ㉒                 | (6)                       | 通信用光ケーブル        | 地上         | A                |

※：格納容器ホウ酸水注入ラインは、原子炉圧力容器・炉注水ラインと兼用

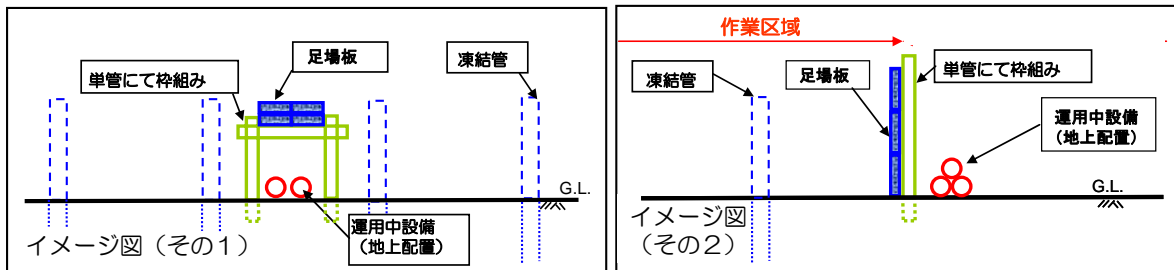
本対策については、今後の現場調査により変更の可能性があるととも、新規設置設備が発生した際も、現場環境により同様の対策を実施する。



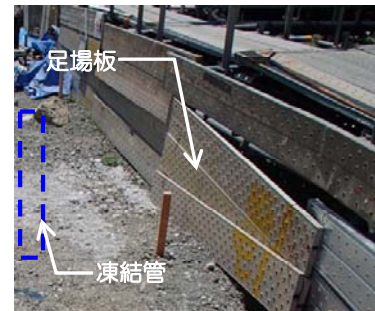
図8 運用中の設備の損傷防止策（注意喚起の表示（例））

表3 運用中の設備の防護パターン

| 防護パターン | 施工内容  |
|--------|---|
| A      | 地上部で凍土遮水壁ラインを横断・近接する運用中設備について、必要に応じて移動・結束などを行い整理し、単管・足場板等を用いて、作業区域との区画分けを行い防護する。              |
| B      | 地下部で凍土壁ラインを横断・近接する運用中設備について、試掘(G.L.-2m)により埋設位置を確認し、埋設後は地上部に注意喚起表示を行う。                         |
| C      | 凍土壁ラインを横断・近接する滞留水移送ラインについては、地上で確認できるコンクリート製の堅固な防護が施されており、仮にコンクリート構造物に接触しても滞留水移送ラインを傷つけることはない。 |

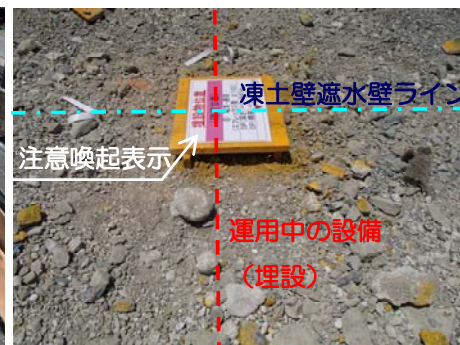
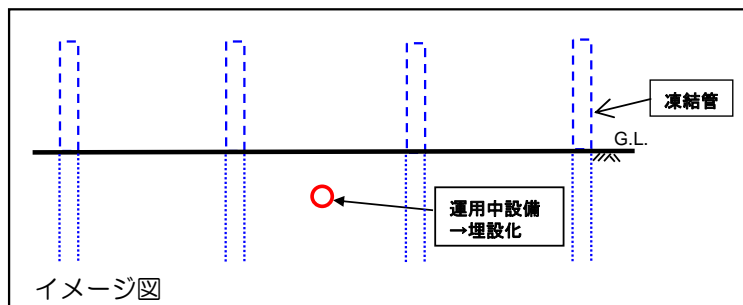


実施例 (その1)



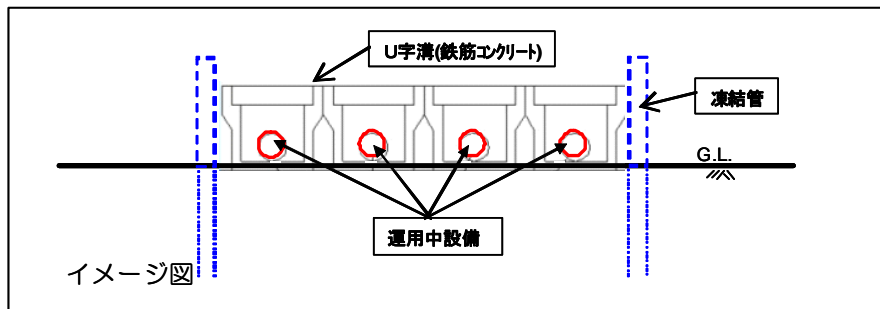
実施例 (その2)

図9-1 運用中の設備の防護パターンA



実施例

図9-2 運用中の設備の防護パターンB

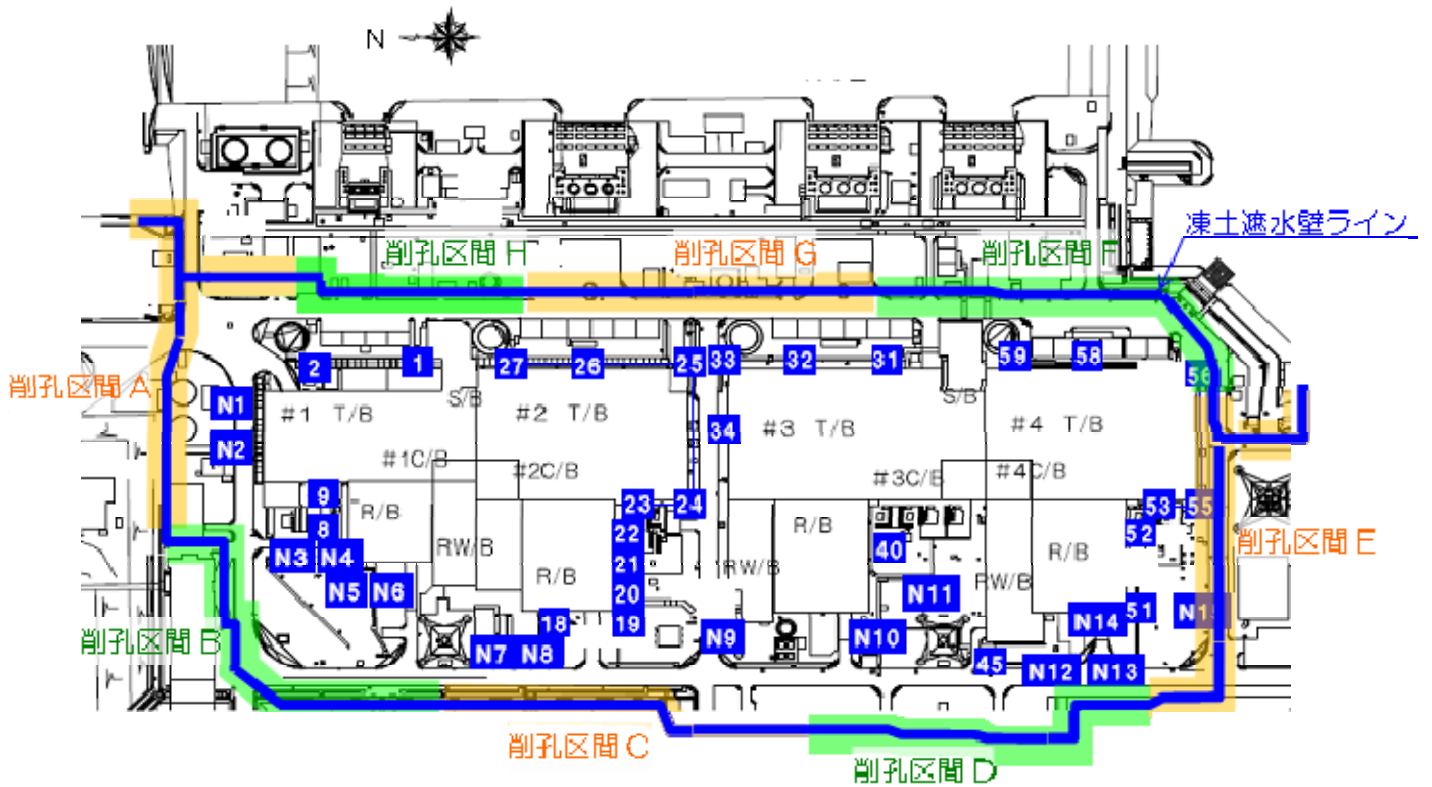


実施例

図9-3 運用中の設備の防護パターンC

表4 運用中の設備が損傷した場合の対応

|     | 設備名称                              | 損傷した場合の対応   |
|-----|-----------------------------------|---|
| (1) | 原子炉圧力容器・炉注水ライン<br>(格納容器ホウ酸水注入ライン) | <ul style="list-style-type: none"> <li>「II 2 特定原子炉施設の構造及び設備, 工事の計画」に準じて適切に対応する。</li> </ul>  |
| (2) | 原子炉格納容器内窒素封入ライン                   |   |
| (3) | 使用済燃料プール冷却ライン                     |   |
| (4) | 滞留水移送ライン                          | <ul style="list-style-type: none"> <li>「II 2 特定原子炉施設の構造及び設備, 工事の計画」に準じて適切に対応する。</li> <li>凍土壁ラインを横断・近接する滞留水移送ラインについては, 地上で確認できるコンクリート製の堅固な防護が施されており, 仮にコンクリート構造物に接触しても滞留水移送ラインを傷つけることはない。</li> </ul> |
| (5) | 電源ケーブル                            | <ul style="list-style-type: none"> <li>速やかに損傷の影響を判断して, 代替手段を検討・実行するとともに, 損傷箇所を復旧する。</li> </ul>  |
| (6) | 通信用光ケーブル                          |   |
| (7) | サブドレン他水処理施設ライン                    |   |



単位：Bq/L

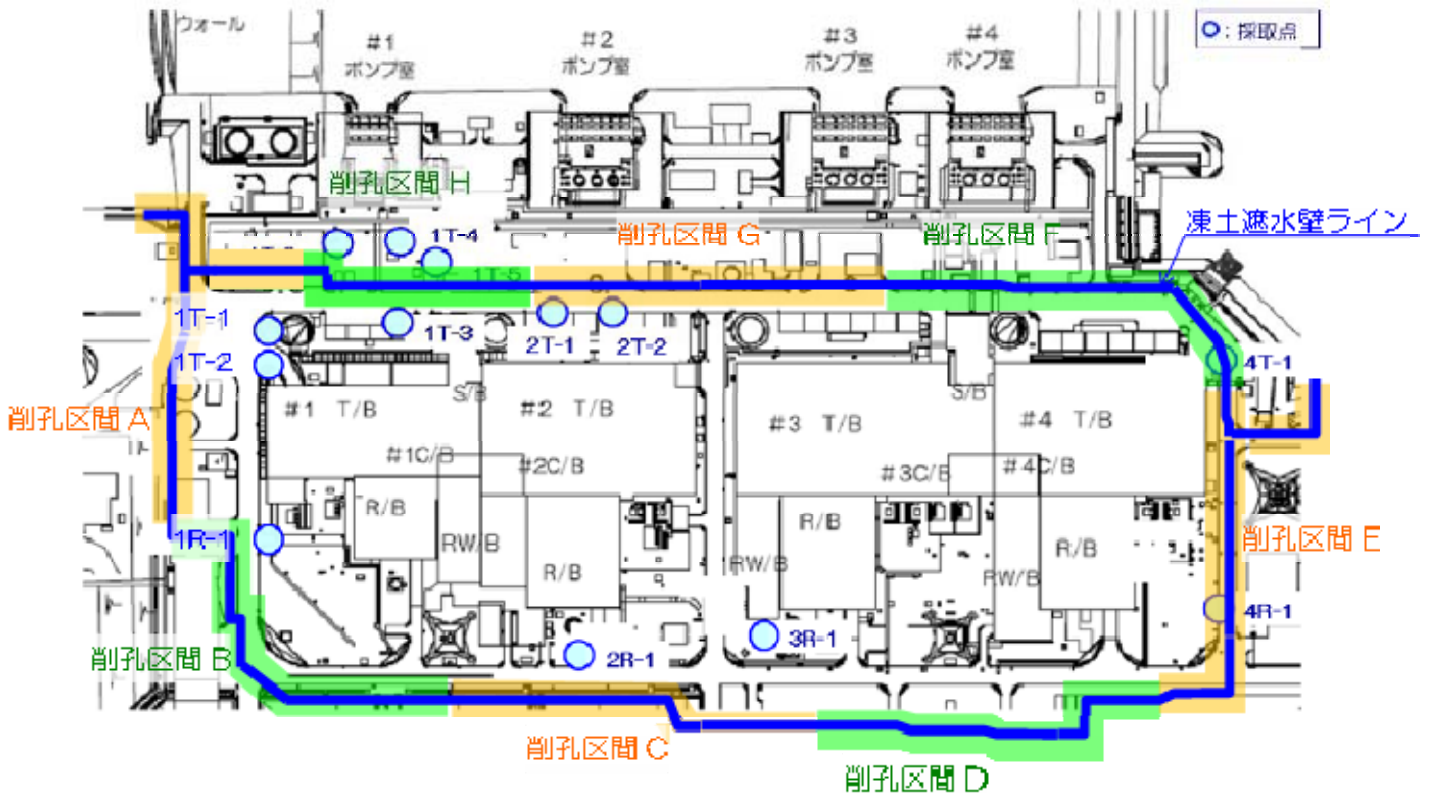
| ビット | Cs-134 | Cs-137 | 全β    | H-3     |
|-----|--------|--------|-------|---------|
| 1   | 68     | 180    | 300   | 96,000  |
| 2   | 6.1    | 17     | 42    | 490     |
| 8   | 800    | 2,100  | 3,100 | 450     |
| 9   | 270    | 720    | 1,100 | 250     |
| 18  | 140    | 340    | 690   | 3,200   |
| 19  | 150    | 350    | 490   | 2,700   |
| 20  | 27     | 64     | 140   | 2,500   |
| 21  | 160    | 360    | 590   | 3,000   |
| 22  | 110    | 270    | 550   | 1,300   |
| 23  | 37     | 84     | 200   | 1,600   |
| 24  | 45     | 100    | 200   | 750     |
| 25  | 51     | 130    | 230   | 530     |
| 26  | 72     | 190    | 340   | 190     |
| 27  | 160    | 430    | 880   | 210     |
| 31  | 10     | 24     | 55    | 650     |
| 32  | 4.7    | 10     | 18    | ND(2.8) |
| 33  | 25     | 68     | 68    | 55      |
| 34  | 330    | 800    | 720   | 800     |
| 40  | 920    | 2,500  | —     | —       |

| ビット | Cs-134   | Cs-137   | 全β     | H-3    |
|-----|----------|----------|--------|--------|
| 45  | 20       | 49       | 73     | 89     |
| 51  | 5.8      | 15       | 27     | 1,200  |
| 52  | 11       | 28       | ND(15) | 680    |
| 53  | 1.1      | 4.6      | ND(15) | 530    |
| 55  | 2.6      | 9.3      | ND(15) | 590    |
| 56  | 1.1      | 4.5      | ND(15) | 770    |
| 58  | 27       | 59       | 83     | 250    |
| 59  | 42       | 99       | 94     | 430    |
| N1  | ND(0.97) | ND(0.97) | ND(12) | 36     |
| N2  | ND(0.66) | ND(0.71) | ND(11) | 110    |
| N3  | 3.0      | 7.2      | ND(21) | 320    |
| N4  | 4.8      | 12       | 62     | 320    |
| N5  | 5.2      | 5.7      | ND(14) | 490    |
| N6  | ND(0.75) | ND(0.98) | ND(15) | 160    |
| N7  | 1.1      | 2.2      | ND(13) | 18     |
| N8  | 1.3      | 2.7      | ND(11) | 55     |
| N9  | 4.0      | 11       | 23     | 1100   |
| N10 | ND(0.62) | 2.4      | ND(15) | 60     |
| N11 | —        | —        | —      | —      |
| N12 | ND(0.69) | ND(0.84) | ND(14) | 160    |
| N13 | ND(0.59) | 1.2      | ND(12) | 240    |
| N14 | 0.92     | 2.6      | ND(11) | 13,000 |
| N15 | —        | —        | —      | —      |

※「ND」は検出限界値未満を表し、( )内に検出限界値を示す。  
 ※「—」はH26年8月末時点で水質調査未実施  
 ※H25年11月～H26年8月に採取したデータを示す。

図10-1 1～4号機サブドレンピットの放射性物質濃度





単位: Bq/L

|              | 観測井      |          |          |          |       |          |          |          |          |          |        |          |          |          |
|--------------|----------|----------|----------|----------|-------|----------|----------|----------|----------|----------|--------|----------|----------|----------|
|              | 建屋海側     |          |          |          |       |          | 建屋山側     |          |          |          |        |          |          |          |
|              | 1号機      |          |          |          |       |          | 2号機      | 4号機      | 1号機      | 2号機      | 3号機    | 4号機      |          |          |
|              | 1T-1     | 1T-2     | 1T-3     | 1T-4     |       | 1T-5     | 1T-6     | 2T-1     | 2T-2     | 4T-1     | 1R-1   | 2R-1     | 3R-1     | 4R-1     |
| 採取日          | 9月5日     | 9月19日    | 9月5日     | 9月11日    | 9月13日 | 10月1日    | 12月2日    | 9月11日    | 9月11日    | 9月9日     | 9月5日   | 9月3日     | 9月25日    | 9月18日    |
| 採取時刻         | 13:00    | 12:15    | 11:00    | 11:50    | 10:00 | 10:45    | 10:30    | 13:00    | 11:35    | 10:30    | 12:50  | 10:00    | 11:00    | 9:20     |
| Cs-134(約2年)  | ND(0.37) | ND(0.38) | ND(0.54) | ND(0.46) | 0.64  | ND(0.47) | ND(0.82) | ND(0.36) | ND(0.47) | ND(0.38) | 0.64   | ND(0.55) | ND(0.43) | ND(0.46) |
| Cs-137(約30年) | ND(0.47) | ND(0.45) | ND(0.52) | 0.88     | 0.90  | ND(0.62) | ND(0.84) | 0.66     | ND(0.60) | ND(0.44) | 1.3    | 0.97     | ND(0.58) | ND(0.59) |
| 全β           | ND(21)   | ND(18)   | ND(21)   | 9,500    | 7,000 | 3,200    | 13,000   | ND(24)   | 830      | ND(17)   | ND(21) | 36       | ND(17)   | ND(18)   |
| H-3(約12年)    | 200      | 200      | 80,000   | 2,700    | 4,200 | 7,500    | 3,300    | 20,000   | 770      | 1,800    | 150    | 31       | 1,100    | ND(7)    |
| Sr-90(約29年)  | 0.90     | 1.3      | 1.1      | 7,500    | —     | 2,900    | 8,700    | 0.36     | 740      | ND(0.28) | 0.46   | 2.4      | ND(0.26) | ND(0.28) |

\* NDは検出限界値未満を表し、「その他γ」を除き( )内に検出限界値を示す。

\* 測定対象外の項目は「—」と記す。

図 10-2 1～4号機建屋周辺観測井の放射性物質濃度

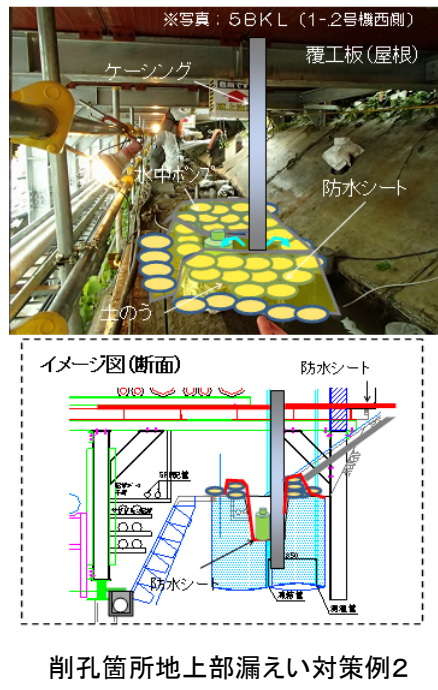
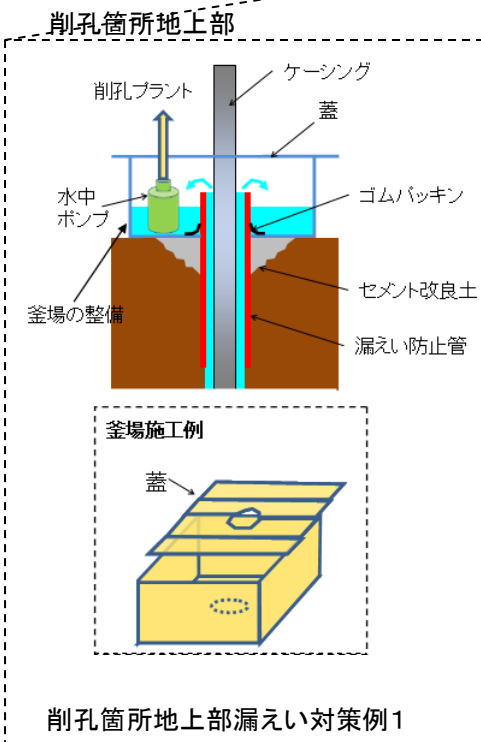
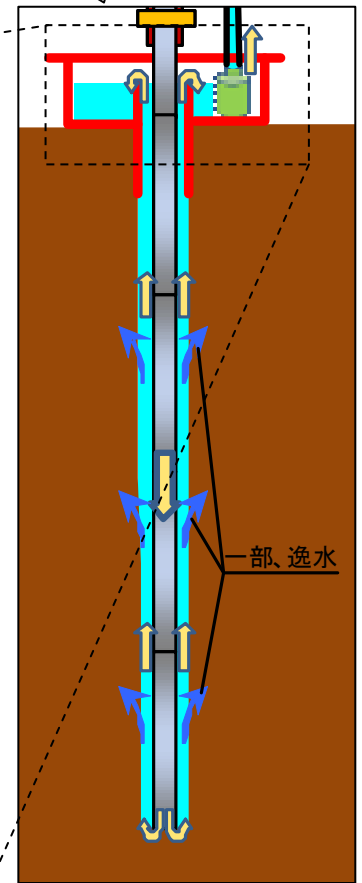
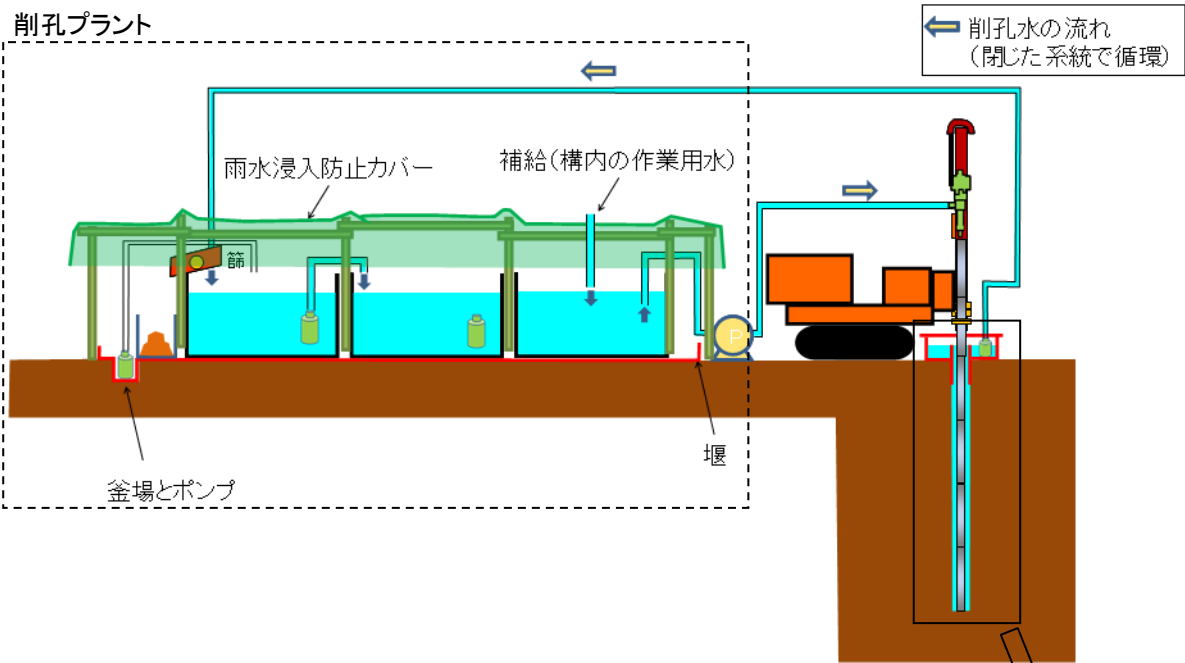


図 1 1 削孔水の漏えい対策イメージ

表5 各削孔区間の放射性物質濃度レベル

単位：Bq/L（桁数オーダー表示）

| 削孔区間 | 対象サブドレンピット※ <sup>1</sup><br>対象観測井※ <sup>1</sup> | Cs-134             | Cs-137             | 全β                 | H-3                              |
|------|---|--------------------|--------------------|--------------------|----------------------------------|
| A    | N1, N2<br>1T-1                                  | ND                 | ND                 | ND                 | 10 <sup>1</sup> ~10 <sup>2</sup> |
| B    | N3, N4, N5, N6<br>1R-1                          | ND~10 <sup>0</sup> | ND~10 <sup>1</sup> | ND~10 <sup>1</sup> | 10 <sup>2</sup>                  |
| C    | N7, N8, N9<br>2R-1, 3R-1                        | ND~10 <sup>0</sup> | ND~10 <sup>1</sup> | ND~10 <sup>1</sup> | 10 <sup>1</sup> ~10 <sup>3</sup> |
| D    | 45, N10, N11, N12, N13                          | ND~10 <sup>1</sup> | ND~10 <sup>1</sup> | ND~10 <sup>1</sup> | 10 <sup>1</sup> ~10 <sup>2</sup> |
| E    | 55<br>4R-1                                      | ND~10 <sup>0</sup> | ND~10 <sup>0</sup> | ND                 | ND~10 <sup>2</sup>               |
| F    | 31, 56, 58, 59<br>4T-1                          | ND~10 <sup>1</sup> | ND~10 <sup>1</sup> | ND~10 <sup>1</sup> | 10 <sup>2</sup> ~10 <sup>3</sup> |
| G    | 25, 26, 32, 33<br>2T-1, 2R-2                    | ND~10 <sup>1</sup> | ND~10 <sup>2</sup> | ND~10 <sup>2</sup> | ND~10 <sup>4</sup>               |
| H    | 1, 2, 27<br>1T-3, 1T-4, 1T-5, 1T-6              | ND~10 <sup>2</sup> | ND~10 <sup>2</sup> | ND~10 <sup>4</sup> | ND~10 <sup>4</sup>               |

※1 凍土遮水壁ラインに近いサブドレンピット・観測井として選択

※2 各削孔区間の放射性物質濃度の最大値に着目し、相対的に低いレベルから網掛なし・緑・黄・赤で表示

※3 海側の削孔区間（F, G, H）については、凍土壁ライン近傍のデータを充実することを目的とした事前の地下水質調査を予定しており、同結果により放射性物質濃度レベルを見直す可能性あり



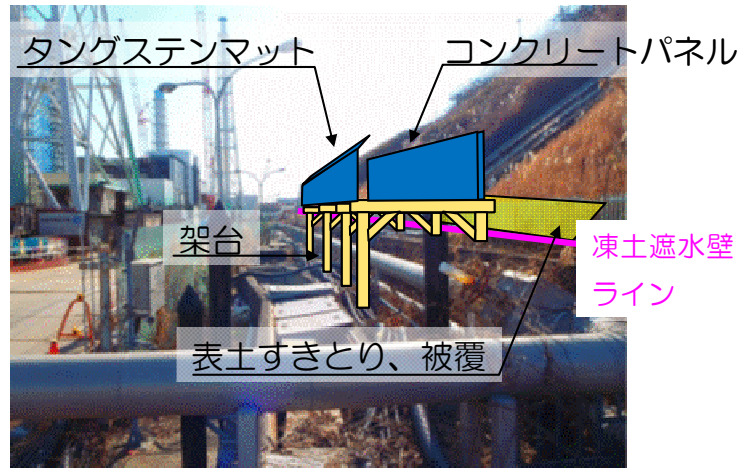


図1 2 - 1 被ばく線量低減対策実施例 1

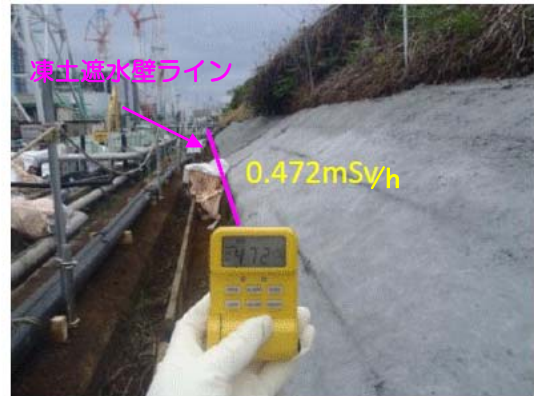


1・2号原子炉建屋西側斜面において、飛散ガレキの除去を実施した。

図1 2 - 2 被ばく線量低減対策実施例 2



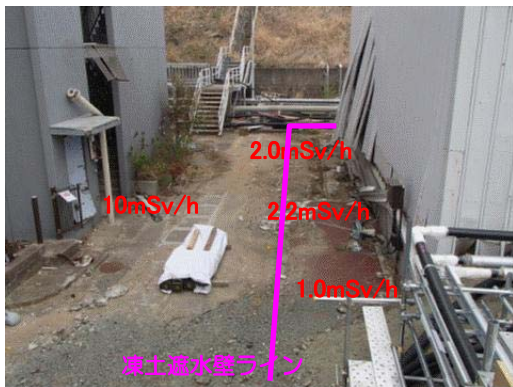
対策前



対策後

1号機原子炉建屋山側で、被ばく線量低減対策（側溝清掃，表土すきとり，被覆）を実施し，簡易放射線測定器\*で測定した結果，空間線量率は半分以下に低減した。  
 ※「特定原子力施設に係わる実施計画 Ⅲ特定原子炉施設の保安 第61条」に記載された放射線測定器以外の放射線測定器を使用

図12-3 被ばく線量低減対策実施例3



対策前



対策後

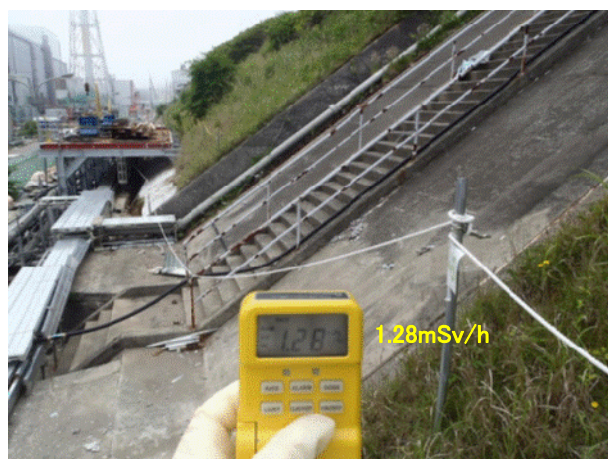
1号機原子炉建屋北側 旧事務本館前で、被ばく線量低減対策（表土除去，砂利敷き，擁壁設置）を実施し，簡易放射線測定器\*で測定した結果，空間線量率は大幅に低減した。  
 ※「特定原子力施設に係わる実施計画 Ⅲ特定原子炉施設の保安 第61条」に記載された放射線測定器以外の放射線測定器を使用

図12-4 被ばく線量低減対策実施例4



作業待ち時間中の被ばく低減のため、一時退避できる遮へいボックスを設置。

図 1 2 - 5 被ばく線量低減対策実施例 5

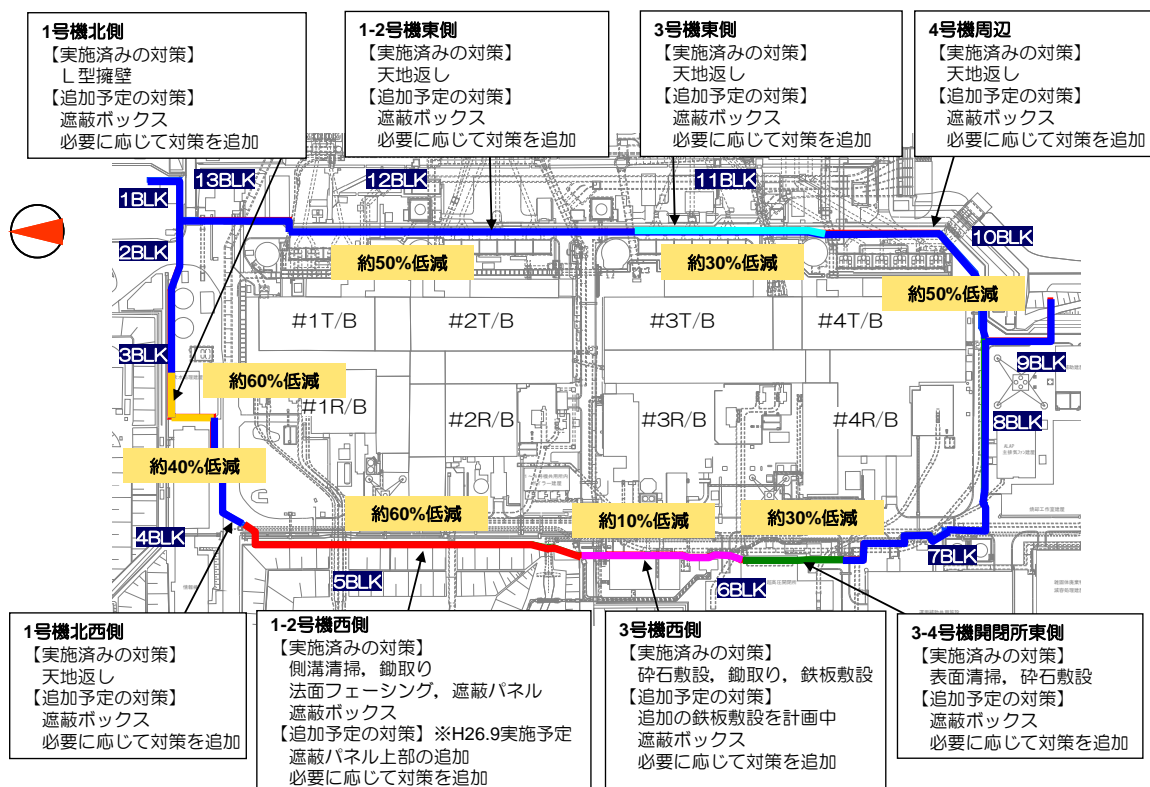


2号機原子炉建屋山側で、被ばく線量低減対策（鉛板設置）を実施し、簡易放射線測定器\*で測定した結果、空間線量率は半分以下に低減した。

※「特定原子力施設に係わる実施計画 Ⅲ特定原子炉施設の保安 第61条」に記載された放射線測定器以外の放射線測定器を使用

図 1 2 - 6 被ばく線量低減対策実施例 6





※ ■内は、作業エリア付近における代表測点の空間線量率の平均値を用いて、対策前に対する対策後の空間線量率の低減量を示している。  
 ※3号機西側の低減量は、対策工の施工途中における測定結果を用いているため、再度、測定を予定している。

図 1 2 - 7 被ばく線量低減対策の実施状況



図 1 3 遮蔽ベスト着用例

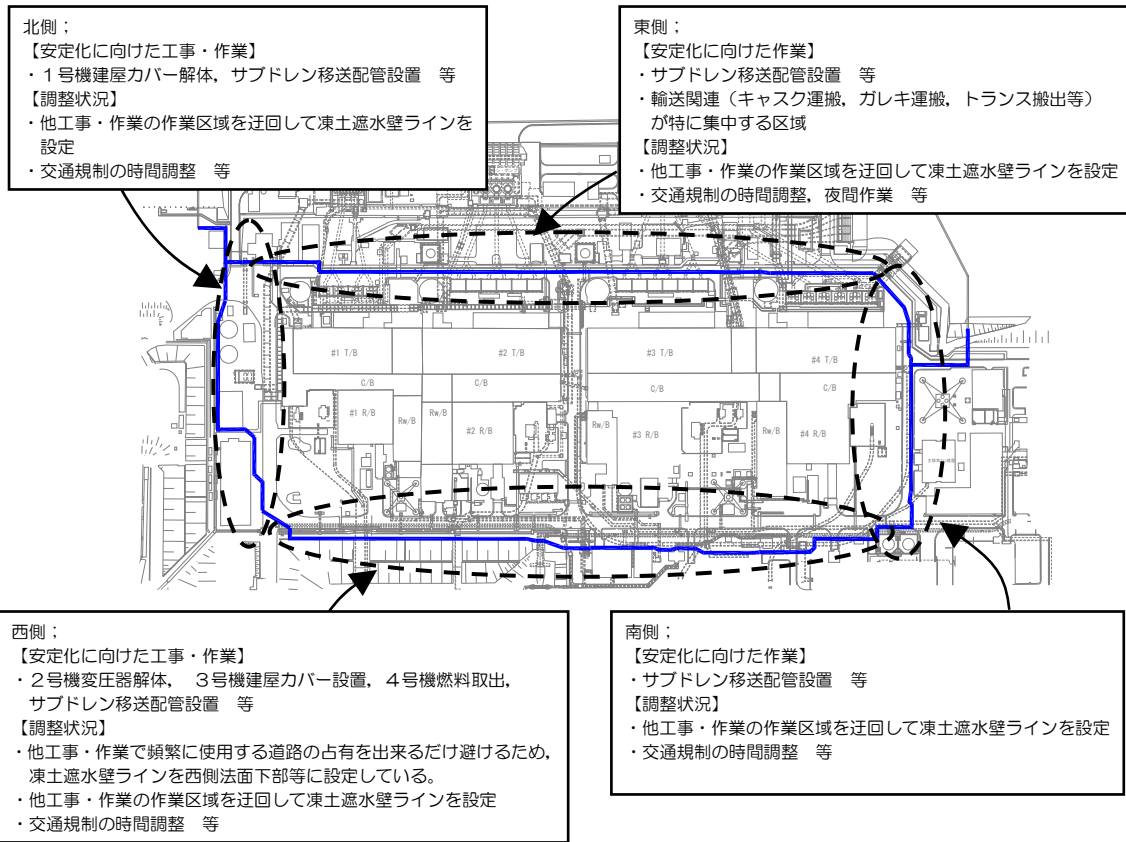


図 1 4 凍土遮水壁と他の廃炉に向けた工事・作業との調整状況

表 6 施工時の熱中症対策

|                         |   |
|-------------------------|---|
| 体調管理のチェック               | 作業開始前にチェックリストを用いて体調確認。  |
| 水分・塩分の摂取                | 作業前後に、十分な水分・塩分の摂取。  |
| クールベストの着用               | WBGT値が25℃以上と予想される時は、クールベストの着用を義務付ける。  |
| 休憩時間の設定<br>(WBGT値の活用など) | 作業場所ごとにWBGT測定器を設置し、WBGT値を基準に連続作業時間の上限を設け、その都度作業員の体調を確認し、必要に応じ現場の休憩所（エアコン設置）における休憩時間の確保等を行う。 |
| 体調不良者の早期発見              | 作業員同士の声掛けにより、体調不良者の早期発見に努める。  |

※ WBGT 値（暑さ指数）：人体の熱収支に影響の大きい湿度、輻射熱、気温の3つを取り入れた指標で、乾球温度・湿球温度・黒球温度の値を使って計算する。

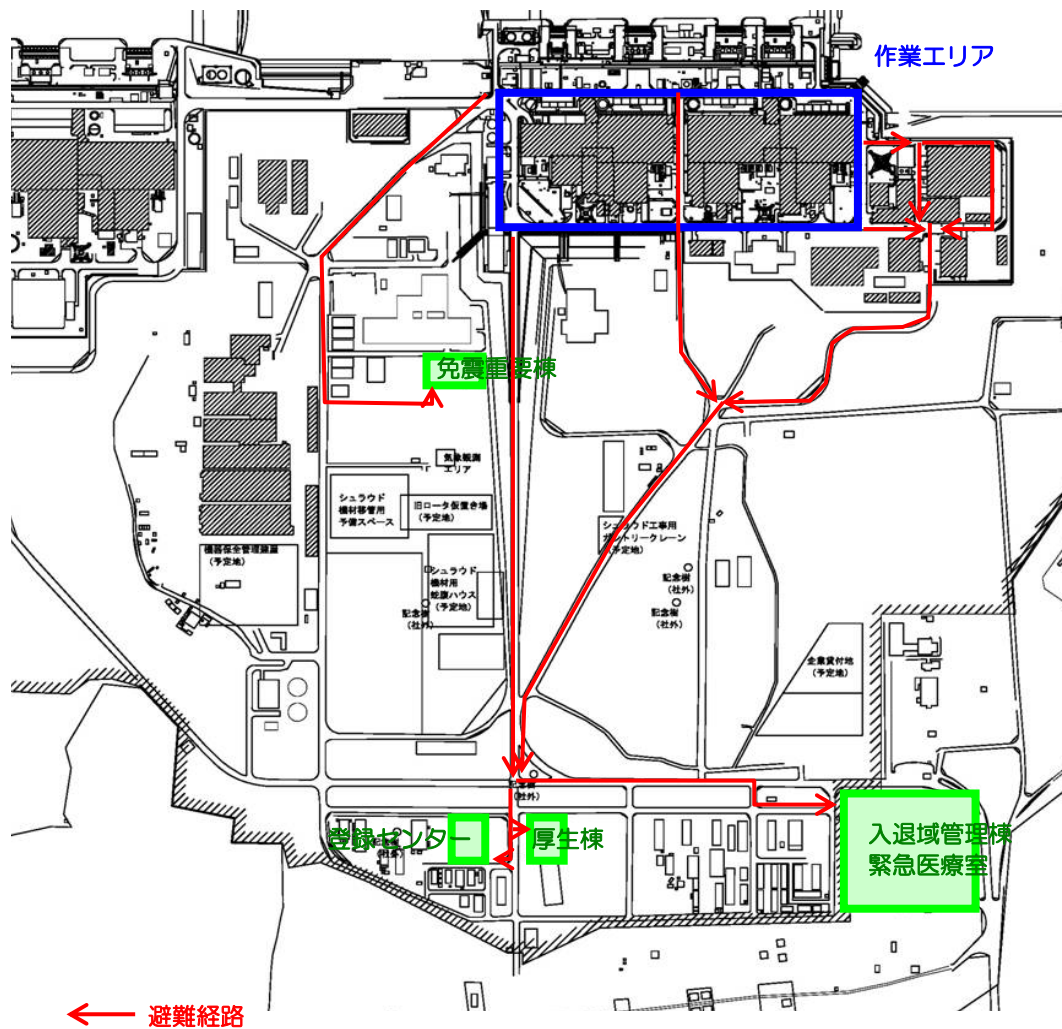


図 1 5 緊急時の避難経路

表 7 工事工程表

|       | 平成 25<br>年度      | 平成 26 年度 |     |                |     | 平成 27 年度 |     |
|-------|------------------|----------|-----|----------------|-----|----------|-----|
|       | 1 月              | 4 月      | 7 月 | 10 月           | 1 月 | 4 月      | 7 月 |
| 凍土遮水壁 | 準備工事<br>(ヤード整備他) |          |     | 本工事<br>(機器設置等) |     |          |     |
|       |                  |          |     |                |     | 造成・維持    |     |

※ 現場状況等により変更の可能性有り

凍土遮水壁造成後の基礎地盤沈下検討

1 1～4号機建屋周辺の地層構成

既往の調査結果より作成した1～4号機建屋周辺の地層構成を図1に示す。敷地を構成する地層は、上位より段丘堆積物、中粒砂岩層（I層）、泥質部（II層）、互層部（III層）、泥質部（IV層）から構成され、IV層は細粒砂岩、粗粒砂岩からなる二層の砂岩層薄層を含む地層からなり、敷地全域にわたってほぼ水平な成層構造である。

敷地内地質層序表

| 地質時代 | 地層名   | 主な岩相・層相           |                   |
|------|-------|-------------------|-------------------|
| 第四紀  | 完新世   | 沖積層               | 暗緑灰色～褐色の粘土及び砂、未固結 |
|      | 更新世   | 段丘堆積物             | 黄褐色の砂礫及び砂、半固結     |
| 第三紀  | 新世    | 仙台層群              | 軽石粒、スコリア粒、凝灰岩等を挟在 |
|      |       | 富岡層               |                   |
|      |       | T <sub>3</sub> 部層 |                   |
|      | 中新世   | T <sub>2</sub> 部層 | 泥質砂岩 軽石粒、凝灰岩を挟在   |
|      |       | T <sub>1</sub> 部層 | 泥質砂岩 軽石粒、凝灰岩を多く挟在 |
| 古第三紀 | 多賀層群  | 上部                | 泥質砂岩              |
|      |       | 下部                | 泥質砂岩              |
|      | 湯長谷層群 | 泥岩、砂岩泥岩互層         |                   |
| 漸新世  | 白水層群  | 硬質な泥質砂岩～泥岩        |                   |

〰〰〰 不整合

凍土遮水壁施工で影響する地層

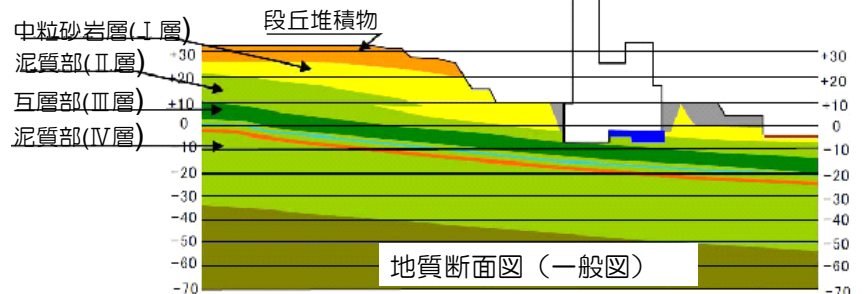
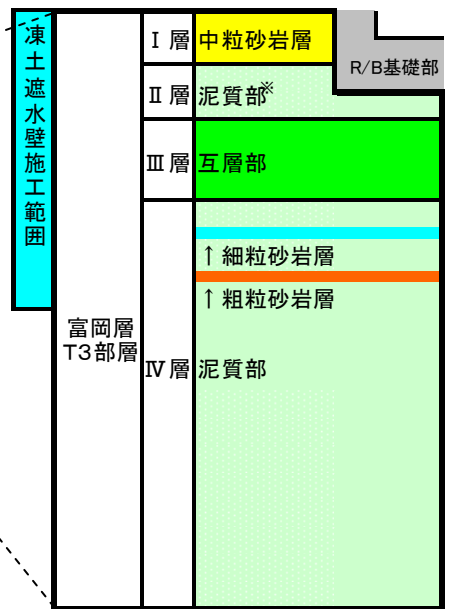


図1 1～4号機建屋周辺の地層構成

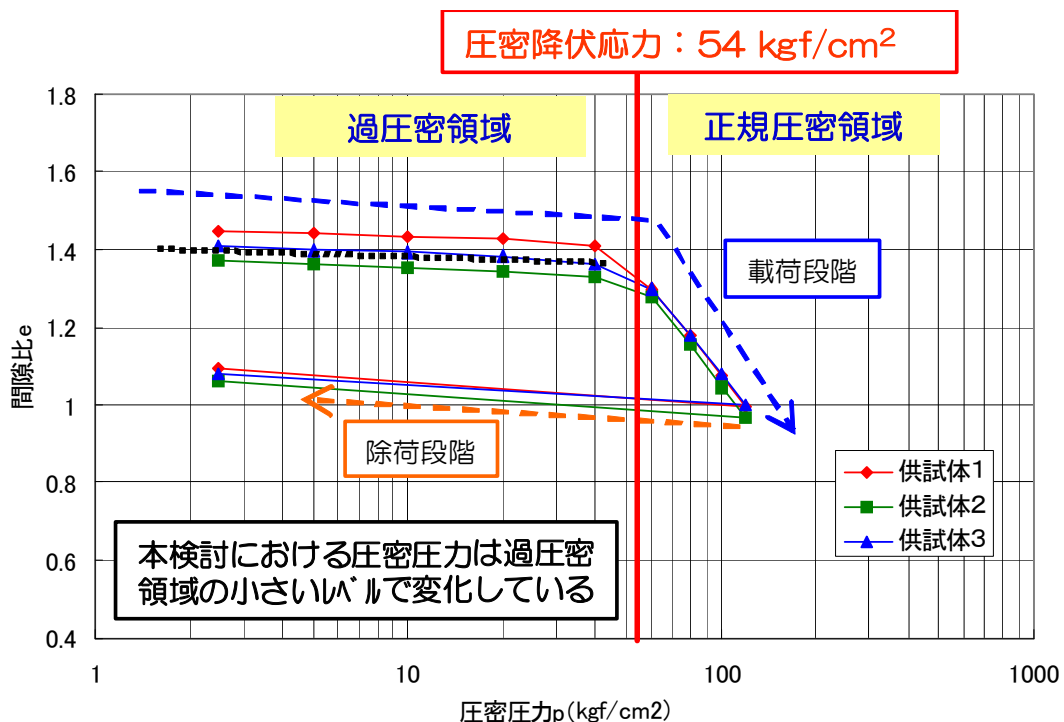
## 2 地盤の荷重履歴

現地地盤（第一泥質部）より採取した供試体3体の圧密試験結果を図2に示す。本試験結果から、建屋基礎地盤は形成過程において相当の圧縮応力（圧密降伏応力；54kgf/cm<sup>2</sup>）を受けていたことがわかる。

「(a)発電所建設前」,「(b)発電所建設中(切土後)」,「(c)運転時(震災前)」,「(d)震災後」,「(e)凍土遮水壁造成後」それぞれのフェーズにおいて建屋基礎地盤に生じていた、或いは生じると想定される全応力、間隙水圧、有効応力を算定し、それぞれの有効応力レベルを上記圧密試験結果に追記した(図3-1~3-5)。

上記より、建屋基礎地盤に生じる有効応力のレベルは、以下の状態であることがわかる。

- ・ 建屋設置後（(c) 運転時（震災前）～(d)震災後～(e)凍土遮水壁造成後）は、圧密降伏応力（54kgf/cm<sup>2</sup>）に対して3~4kgf/cm<sup>2</sup>程度と小さく、十分な余裕がある。
- ・ (e)凍土遮水壁造成後は、(d)震災後に対して1kgf/cm<sup>2</sup>程度増加することになるが、震災前も同様にサブドレンで水位低下させていたことから、(c)運転時（震災前）と同程度となる。



※「福島第一原子力発電所 原子炉設置変更許可申請書」のデータより作成

図2 圧密試験結果



(a) 発電所建設前

- ・ 1～4号機建屋設置箇所は、造成前はO.P.+35m程度の丘陵地であった。
- ・ そのため、建屋基礎地盤には相当の上載荷重が作用していたこととなり、十分に圧縮・圧密していたことが想定される。

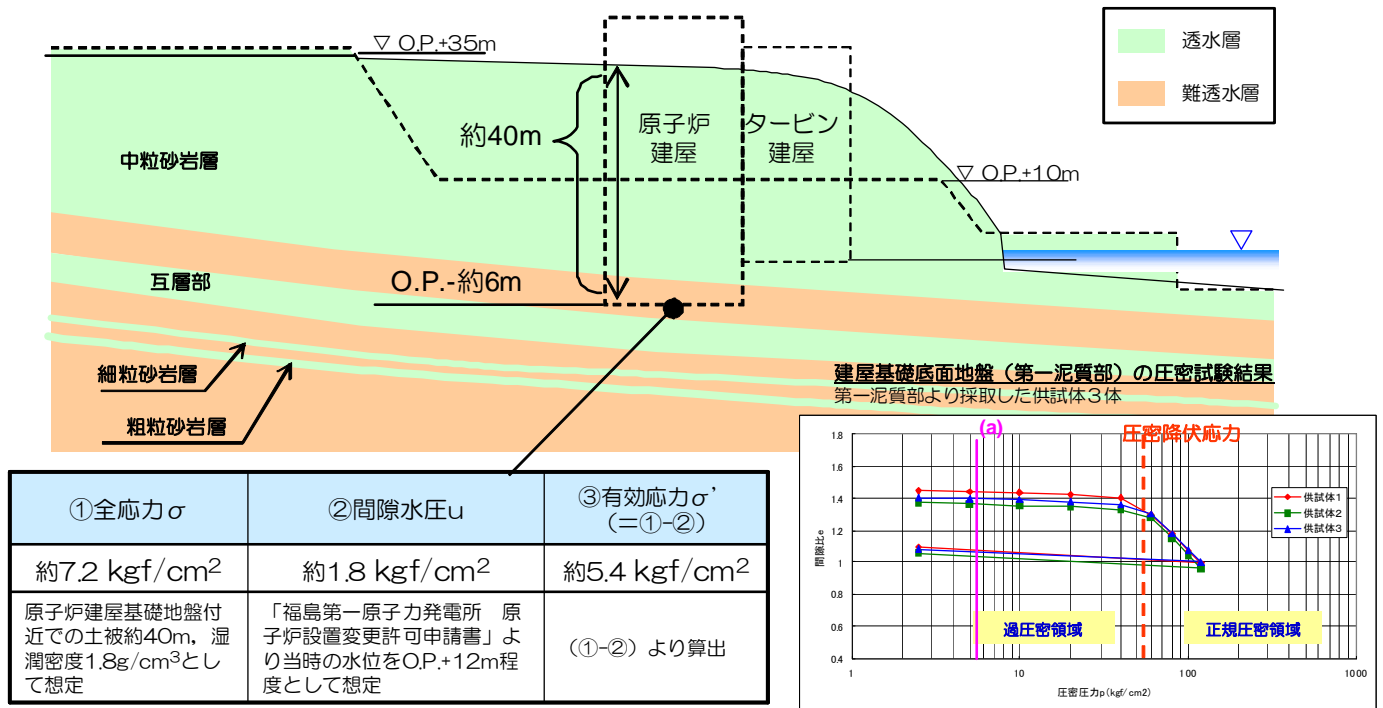


図 3 - 1 「(a) 発電所建設前」の全応力，間隙水圧，有効応力

(b) 発電所建設中（切土後）

- ・1～4号機建屋設置に当たっては、基盤となる岩盤面を露出させるため、O.P.-6～7m程度まで掘削し、その上に各建屋を構築した。
- ・そのため、建屋基礎地盤は、上部地盤相当の上載荷重が除荷される。

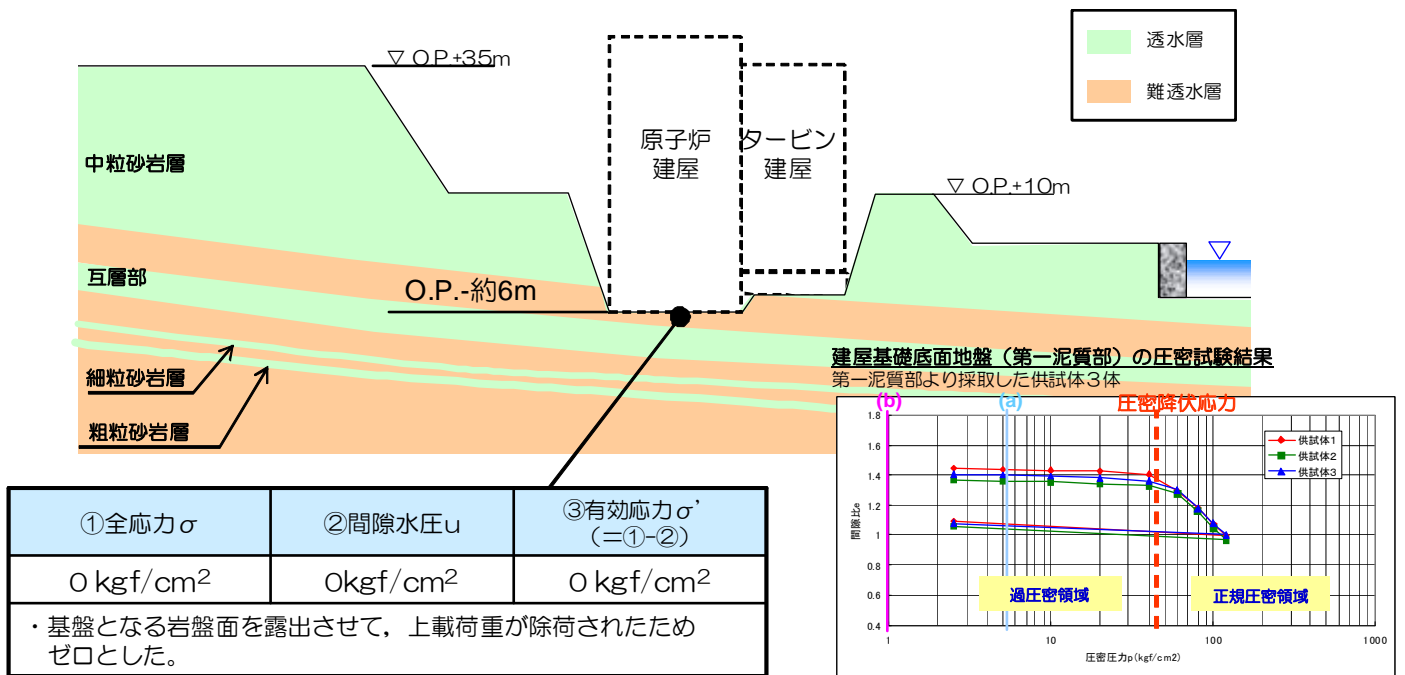


図 3 - 2 「(b) 発電所建設中（切土後）」の全応力，間隙水圧，有効応力

(c) 運転時（震災前）

- ・ 建屋基礎地盤は、建屋・機器重量の上載荷重による圧縮力を受ける。
- ・ 運転中は、建屋周囲に配置したサブドレンにより、建屋周りの地下水位を原子炉建屋の床面付近まで低下させていた。

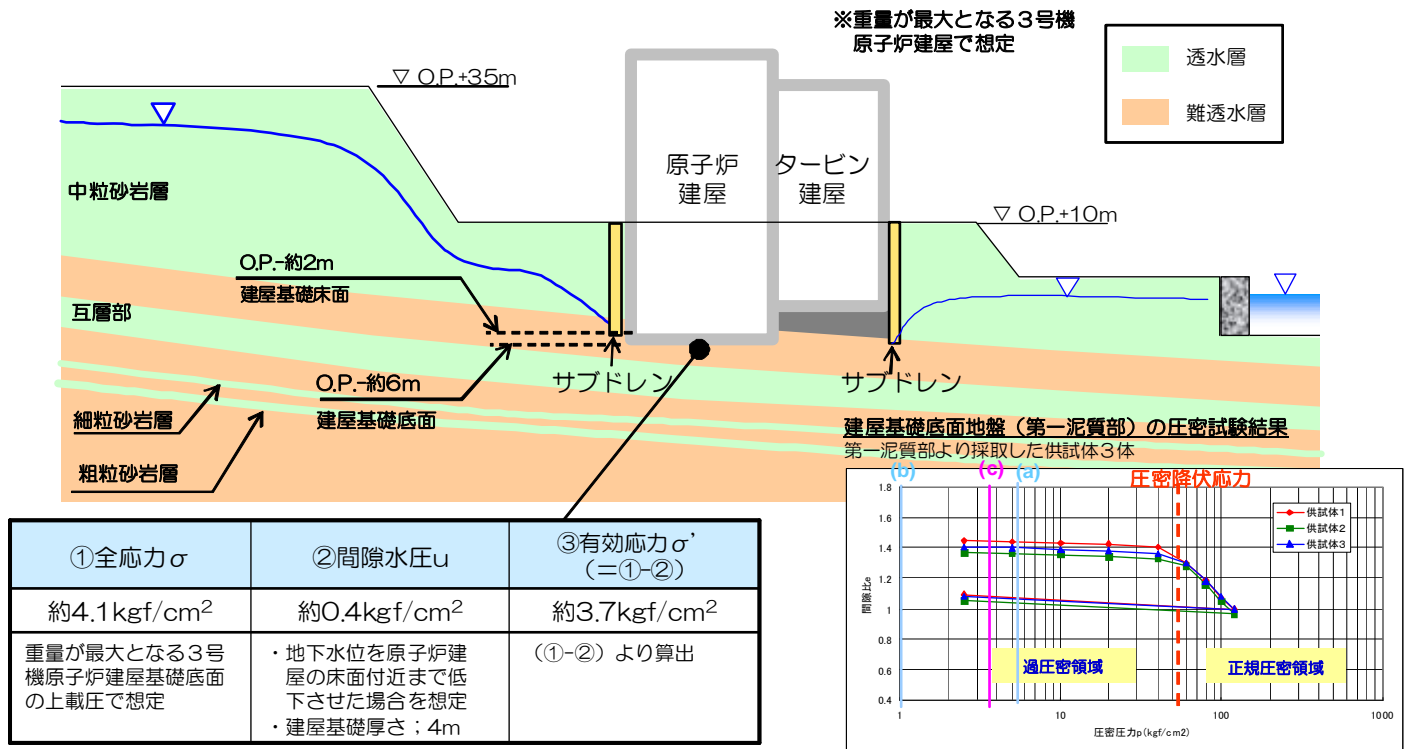


図 3 - 3 「(c) 運転時（震災前）」の全応力，間隙水圧，有効応力

(d) 震災後

- ・サブドレンが停止し、建屋周りの地下水位が上昇。
- ・地下水位が上昇したことにより、建屋基礎底面に働く地下水の揚圧力（浮力）が震災前より増加。
- ・一方、建屋内滞留水により建屋基礎に働く荷重が増加。

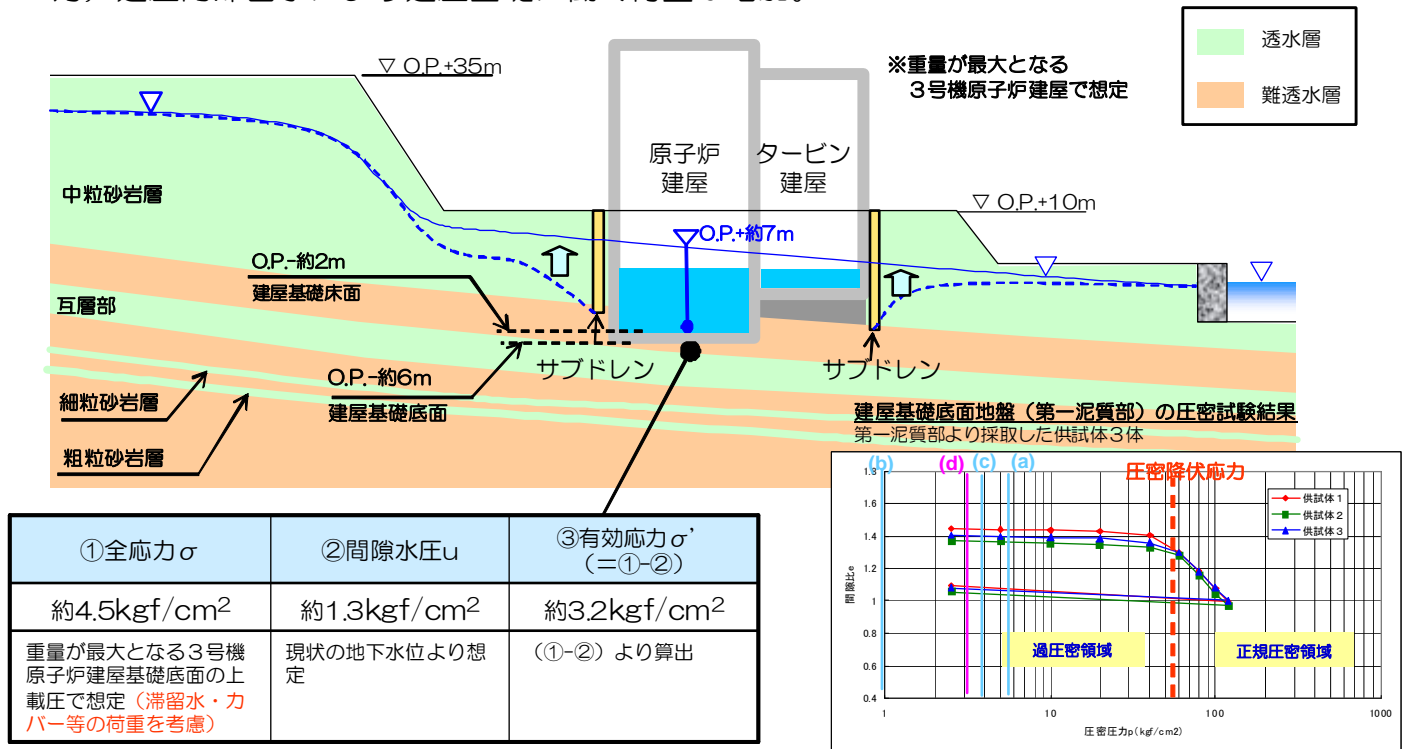


図3-4 「(d)震災後」の全応力，間隙水圧，有効応力

(e) 凍土遮水壁造成後

- ・ 凍土遮水壁造成後，建屋水位を原子炉建屋基礎床面（O.P.+1~-2m程度）付近まで低下し，滞留水分の荷重が低下。
- ・ 地下水位低下に伴い，建屋基礎底面に働く地下水の揚圧力（浮力）が凍土遮水壁造成前よりも低下。

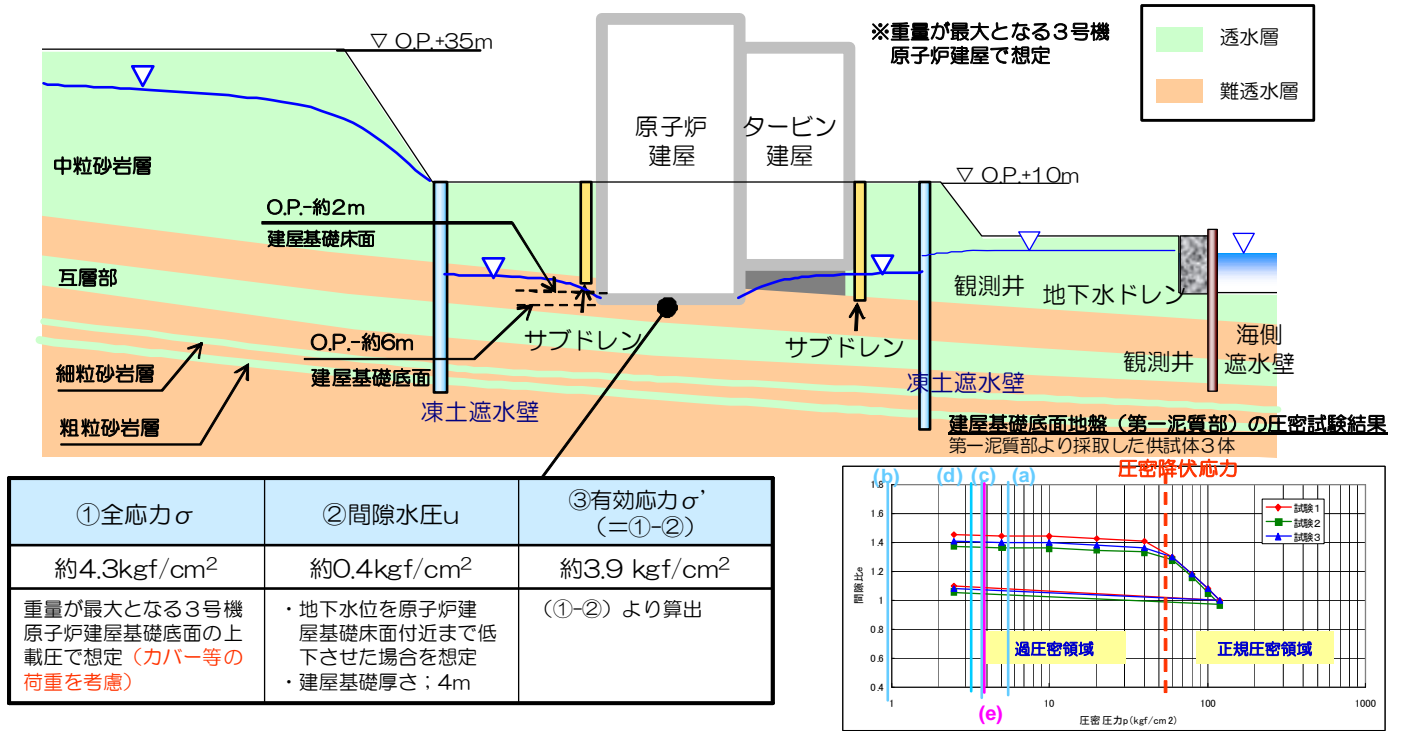


図3-5 「(e)凍土遮水壁造成後」の全応力，間隙水圧，有効応力

### 3 基礎地盤沈下量の算定

本検討では、現状（(d)震災後）から地下水位低下後（(e)凍土遮水壁造成後）にかけて変化する有効応力をパラメータとし、原子炉建屋・タービン建屋の基礎地盤の沈下量を算定した。算定方法の概要を図4に、算定フローを図5に示す。

#### ○対象箇所

- ・ 1～4号機の原子炉建屋・タービン建屋の建屋四隅の地点について地下水位・水圧の低下に伴い発生する基礎地盤の沈下量（32箇所）を算定。

（原子炉建屋；1～4号機×4箇所，タービン建屋；1～4号機×4箇所）

#### ○計算方法

- ・ 算定地点において、砂岩層と泥質部の変形量を地層ごとに計算し、総和を地盤沈下量とした。
- ・ 各地層の扱いは以下の通りとした。
  - 砂岩層；互層部（砂岩），細粒砂岩層，粗粒砂岩層
  - 泥質部；泥質部，互層部（泥岩）
- ・ 砂岩層は，弾性圧縮による変形量を一次元計算で算出。
- ・ 泥質部は，圧密試験の結果に基づいて変形量を一次元計算で算出。

図4 沈下量算定方法の概要

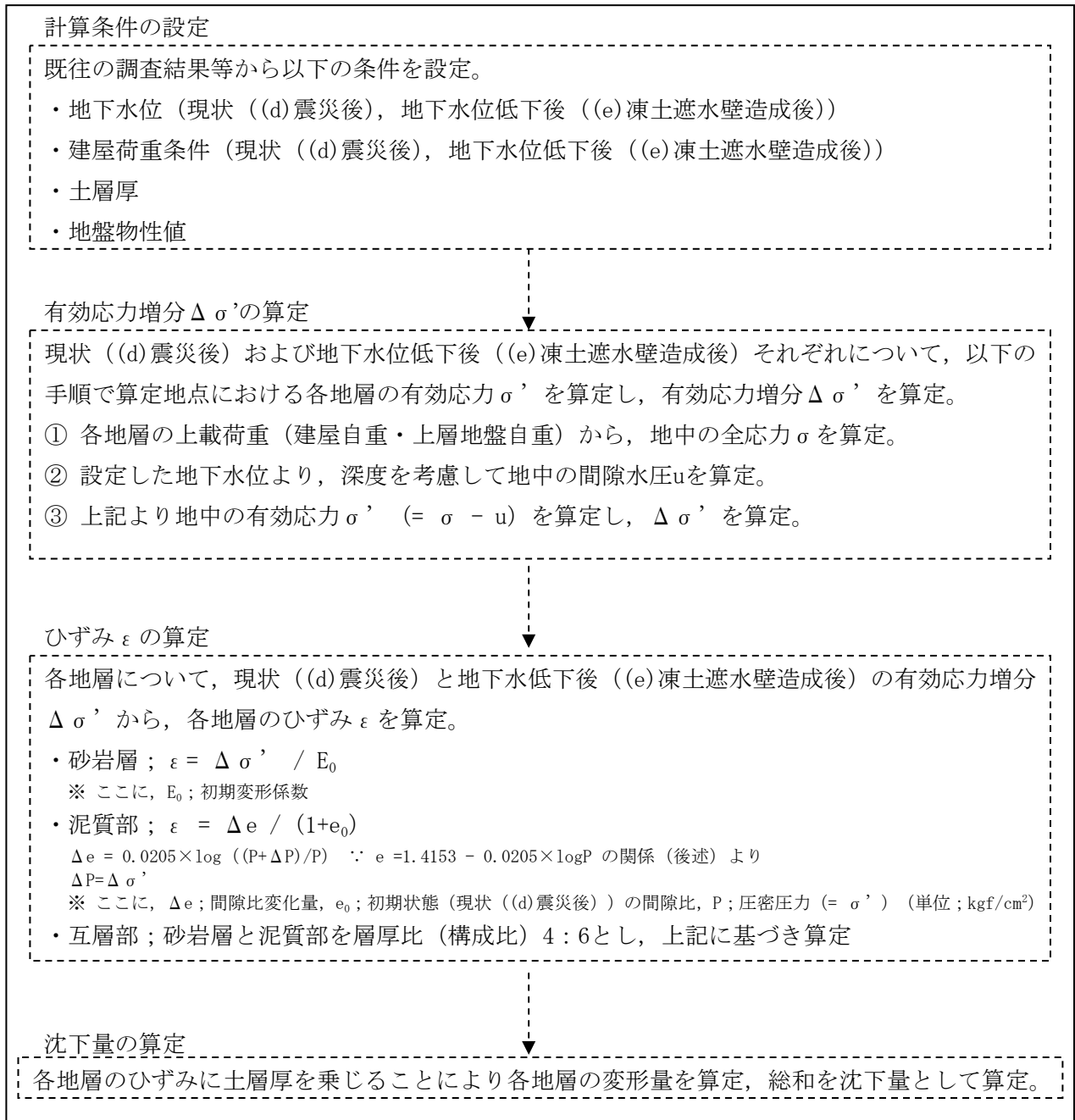


図5 算定フロー

### 3.1 計算条件の設定

沈下量算定に用いる計算条件を表1に示す。

表1 計算条件一覧

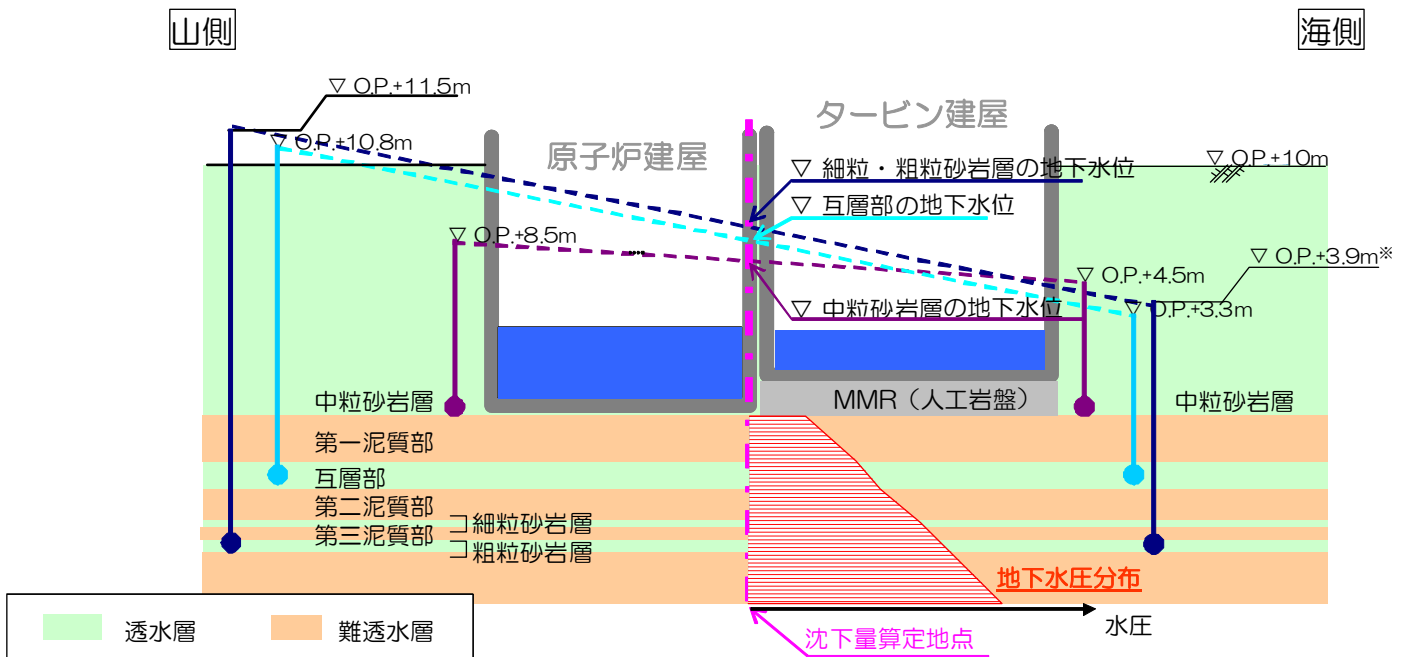
|        | 現状 ((d)震災後)  | 地下水位低下後<br>(e)凍土遮水壁造成後)                                      | 備考   |
|--------|--|--|--|
| 地下水位   | 各透水層の建屋海・山側の測定値(サブドレン・地下水観測井)より、建屋直下の地下水位を線形補完し設定<br>※ 細粒・粗粒砂岩層は同一水位とした  | 各透水層全て、1～4号機建屋のうち最も深い2～4号機原子炉建屋基礎上面の標高(O.P. -2.06m)を地下水位とし設定 | 沈下量算定地点毎に設定  |
| 建屋荷重条件 | 滞留水等の付加重量を含む荷重   | 左記より滞留水重量を差し引いた荷重  |  |
| 土層厚    | ボーリング調査結果に基づき作成した三次元地質構造モデル(汚染水処理対策委員会報告書(H25.12)にて示された解析モデル)に基づき設定  |  | 沈下量算定地点毎に設定  |
| 地盤物性値  | <p>【湿潤単位体積重量 <math>\gamma_t</math> (gf/cm<sup>3</sup>)】</p> <ul style="list-style-type: none"> <li>・砂岩層：1.84</li> <li>・泥質部：1.71</li> </ul> <p>【変形特性】</p> <ul style="list-style-type: none"> <li>・砂岩層；<math>\sigma' = E_0 \cdot \varepsilon</math><br/>ここで、<math>E_0</math>：初期変形係数<br/>※1 今回の試算における応力状態の変化量(約0.7kgf/cm<sup>2</sup>、3号機原子炉建屋下面センター)は破壊強度(13.3kgf/cm<sup>2</sup>)に対して十分に小さいため変形係数Eについては初期変形係数<math>E_0</math>を使用。</li> <li>※2 三軸圧縮試験結果に基づき、以下の通り設定。<br/><math>E_0 = 124P + 963</math> (P；有効上載圧、単位；kgf/cm<sup>2</sup>)</li> <li>・泥質部；<math>e = 1.4153 - 0.0205 \times \log P</math> (単位；kgf/cm<sup>2</sup>)<br/>※ 圧密試験結果に基づき設定(第一泥質部より採取した供試体3体の試験結果(過圧密領域)を線形近似したもの)</li> </ul> |  | <p>泥質部の変形特性のみ今回設定。</p> <p>上記以外は福島第一原子力発電所原子炉設置変更許可申請書等に準拠。</p> |



### 3.1.1 地下水位の設定

現状 ((d)震災後), 地下水位低下後 ((e)凍土遮水壁造成後) の具体的な地下水位の設定方法を図6, 7に示す。

- 現状 ((d)震災後) の地下水位は各透水層の至近の1年間 (H25.4~H26.5) の測定値の平均値を用いて以下の通り設定。
  - ・ 中粒砂岩層; 山側 O.P.+8.5m, 海側 O.P.+4.5m
  - ・ 互層部; 山側 O.P.+10.8m, 海側 O.P.+3.3m
  - ・ 細粒・粗粒砂岩層; 山側 O.P.+11.5m, 海側 O.P.+3.9m\*
- 難透水層の地下水位は上下に接する各透水層の地下水位より線形補完し設定。



※ 細粒・粗粒砂岩層の海側の地下水位は、細粒・粗粒砂岩層の山側および互層部の地下水位より推定した。

図6 現状 ((d)震災後) の地下水位設定方法

- 地下水位低下後（(e)凍土遮水壁造成後）の地下水位は2～4号機原子炉建屋基礎上面の標高（O.P.-2.06m）として設定。
- 難透水層の地下水位は上下に接する各透水層の地下水位より線形補完し設定。

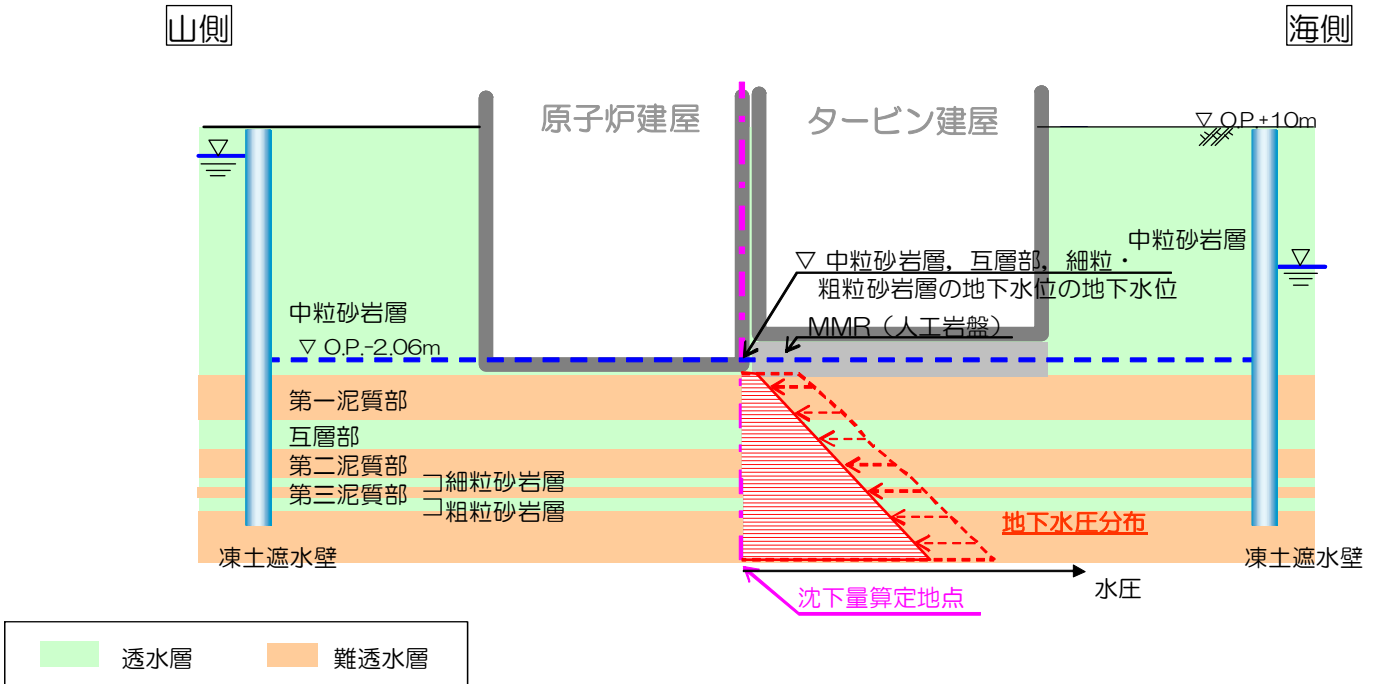


図7 地下水位低下後（(e)凍土遮水壁造成後）の地下水位設定方法

### 3.1.2 建屋荷重条件の設定

現状（(d)震災後）の建屋荷重については建屋内滞留水の重量等を考慮，地下水位低下後（(e)凍土遮水壁造成後）の建屋荷重については建屋内滞留水分を差し引いて設定した（「Ⅱ 2.6 2.6.2 添付資料－2」および「福島第一原子力発電所の原子炉建屋の現状の耐震安全性および補強等に関する検討に係る報告書（その1）（追補版）（改定2）」（H24.12）等に基づき設定）。

現状（(d)震災後），地下水位低下後（(e)凍土遮水壁造成後）の具体的な建屋荷重を表2，3に示す。

表2 現状（(d)震災後）の建屋荷重

|        | 重量(ton) | 基礎形状(NS×EW、m) | 基礎面積(m <sup>2</sup> ) | 接地圧(ton/m <sup>2</sup> ) | 備考          |
|--------|---------|---------------|-----------------------|--------------------------|-------------|
| #1 R/B | 71,652  | 41.56*43.56   | 1,810                 | 40                       | 滞留水等付加重量分含む |
| #1 T/B | 75,671  | 96.76*46.49   | 4,498                 | 17                       | 滞留水等付加重量分含む |
| #2 R/B | 106,398 | 46.60*57.00   | 2,656                 | 40                       | 滞留水等付加重量分含む |
| #2 T/B | 133,060 | 104.95*67.60  | 7,095                 | 19                       | 滞留水等付加重量分含む |
| #3 R/B | 122,060 | 47.00*57.40   | 2,698                 | 45                       | 滞留水等付加重量分含む |
| #3 T/B | 152,553 | 116.38*67.60  | 7,867                 | 19                       | 滞留水等付加重量分含む |
| #4 R/B | 114,053 | 49.00*57.40   | 2,813                 | 41                       | 滞留水等付加重量分含む |
| #4 T/B | 127,279 | 105.15*67.60  | 7,108                 | 18                       | 滞留水等付加重量分含む |

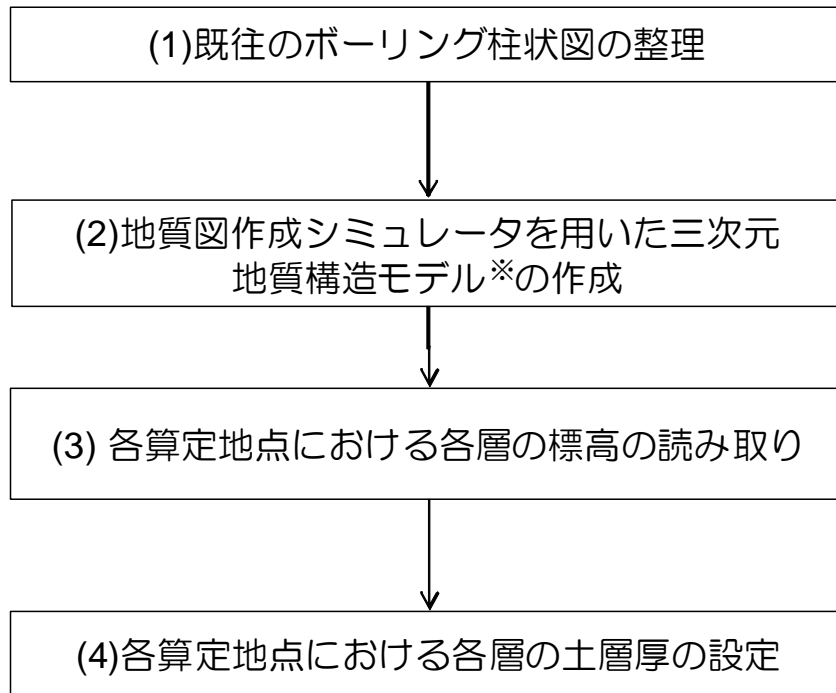
表3 地下水位低下後（(e)凍土遮水壁造成後）の建屋荷重

|        | 重量(ton) | 基礎形状(NS×EW、m) | 基礎面積(m <sup>2</sup> ) | 接地圧(ton/m <sup>2</sup> ) | 備考          |
|--------|---------|---------------|-----------------------|--------------------------|-------------|
| #1 R/B | 66,052  | 41.56*43.56   | 1,810                 | 36                       | 滞留水等付加重量分除く |
| #1 T/B | 66,071  | 96.76*46.49   | 4,498                 | 15                       | 滞留水等付加重量分除く |
| #2 R/B | 99,898  | 46.60*57.00   | 2,656                 | 38                       | 滞留水等付加重量分除く |
| #2 T/B | 119,560 | 104.95*67.60  | 7,095                 | 17                       | 滞留水等付加重量分除く |
| #3 R/B | 115,260 | 47.00*57.40   | 2,698                 | 43                       | 滞留水等付加重量分除く |
| #3 T/B | 136,153 | 116.38*67.60  | 7,867                 | 17                       | 滞留水等付加重量分除く |
| #4 R/B | 107,253 | 49.00*57.40   | 2,813                 | 38                       | 滞留水等付加重量分除く |
| #4 T/B | 114,479 | 105.15*67.60  | 7,108                 | 16                       | 滞留水等付加重量分除く |

### 3.1.3 土層厚の設定

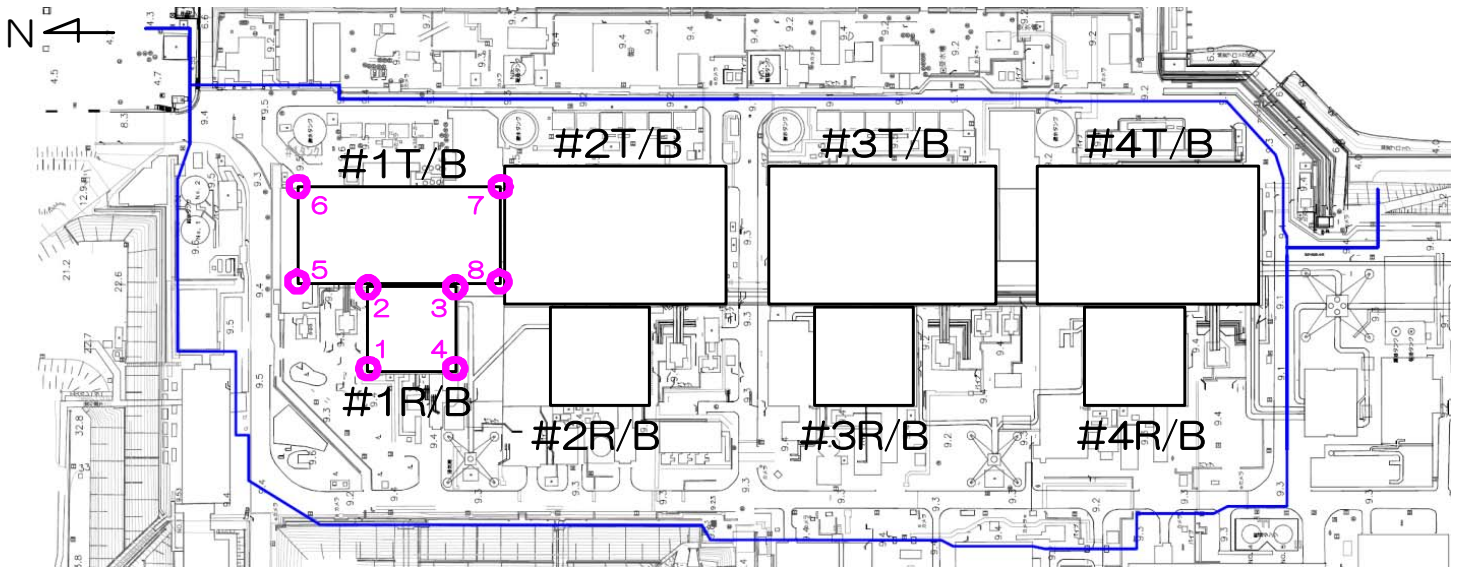
既往のボーリング柱状図を用い、地質図作成シミュレータにて作成した発電所敷地周辺の三次元地質構造モデルに基づき、各算定地点における土層厚を設定した。

具体的な土層厚設定フローを図8に、これに基づき設定した1～4号機の原子炉建屋・タービン建屋四隅の土層厚を図9-1～4に示す。



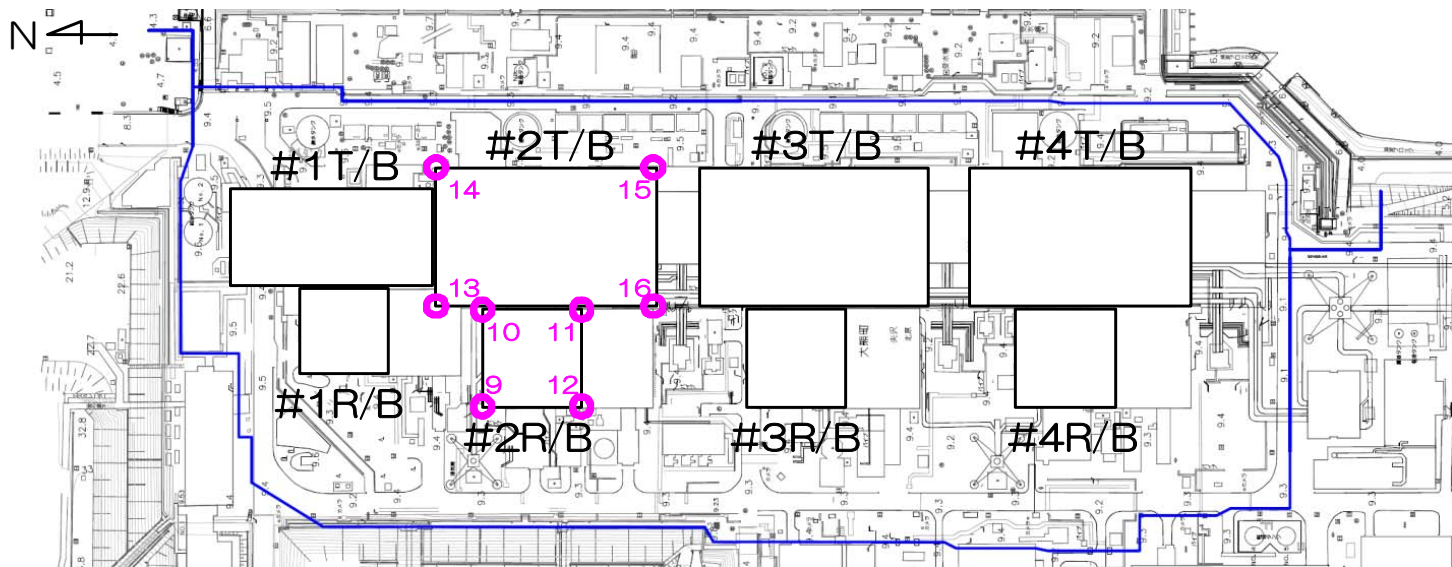
※ 汚染水処理対策委員会報告書（H25.12）にて示された解析モデル

図8 土層厚設定フロー



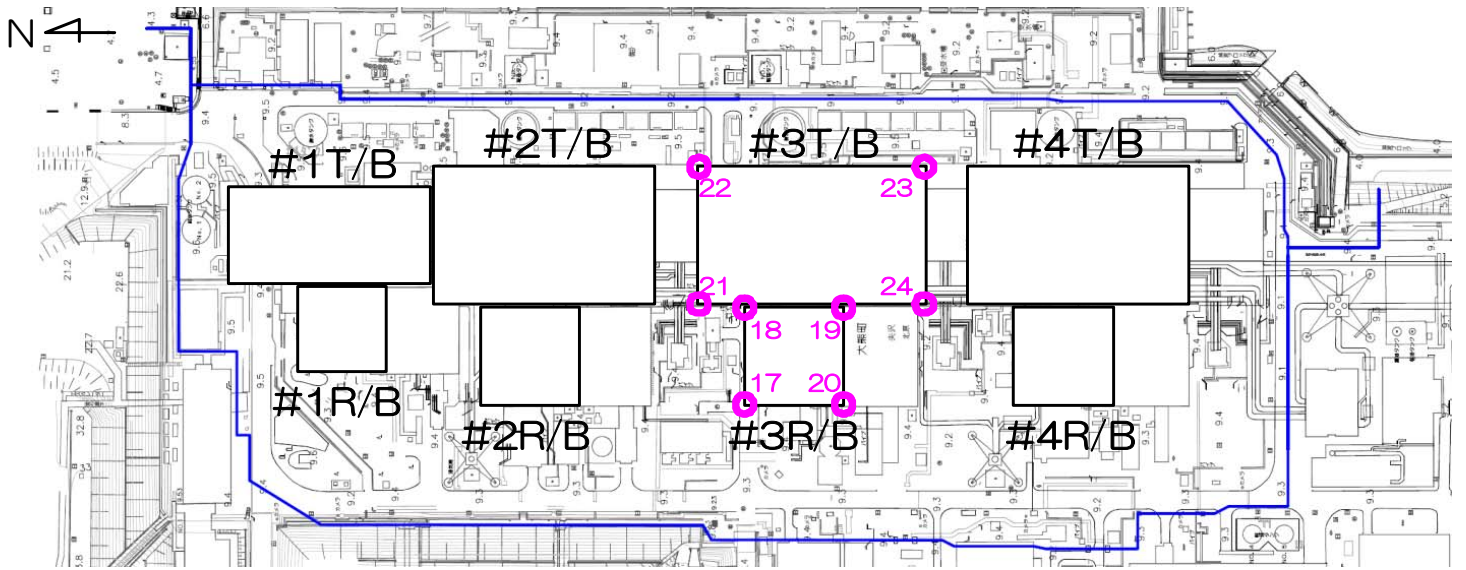
| 土層厚 (m) | #1R/B<br>1 | #1R/B<br>2 | #1R/B<br>3 | #1R/B<br>4 | #1T/B<br>5 | #1T/B<br>6 | #1T/B<br>7 | #1T/B<br>8 |
|---------|------------|------------|------------|------------|------------|------------|------------|------------|
| MMR     | —          | —          | —          | —          | 3.30       | 3.30       | 3.30       | 3.30       |
| 第1泥質部   | 3.45       | 4.50       | 4.45       | 3.63       | 5.06       | 6.20       | 5.88       | 5.00       |
| 互層部     | 6.15       | 5.76       | 5.77       | 5.79       | 5.74       | 5.59       | 5.83       | 5.82       |
| 第2泥質部   | 1.29       | 1.74       | 1.80       | 1.32       | 1.86       | 1.90       | 2.49       | 1.90       |
| 細粒砂岩層   | 1.18       | 0.91       | 1.26       | 1.73       | 0.76       | 0.58       | 1.16       | 1.51       |
| 第3泥質部   | 1.15       | 1.40       | 1.18       | 0.91       | 1.53       | 1.88       | 1.34       | 1.05       |
| 粗粒砂岩層   | 0.13       | 0.24       | 0.31       | 0.21       | 0.23       | 0.52       | 0.43       | 0.35       |

図9-1 1号機原子炉建屋・タービン建屋四隅の土層厚



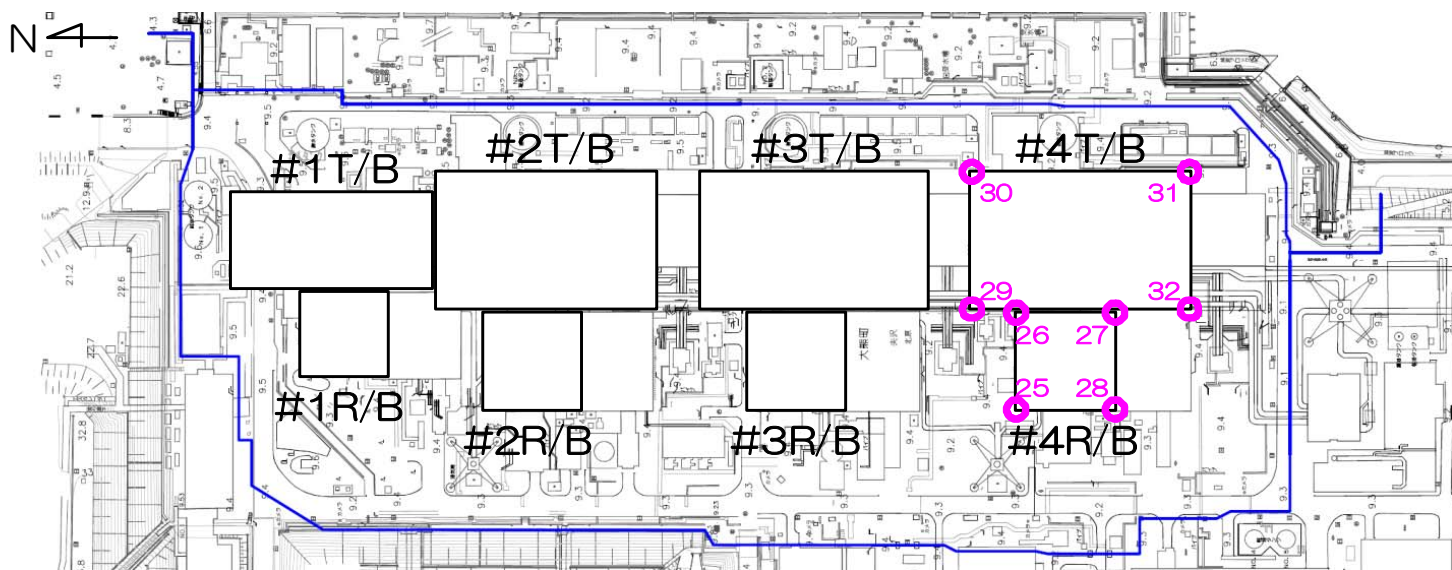
| 土層厚 (m) | #2R/B<br>9 | #2R/B<br>10 | #2R/B<br>11 | #2R/B<br>12 | #2T/B<br>13 | #2T/B<br>14 | #2T/B<br>15 | #2T/B<br>16 |
|---------|------------|-------------|-------------|-------------|-------------|-------------|-------------|-------------|
| MMR     | —          | —           | —           | —           | 1.70        | 3.80        | 3.80        | 1.70        |
| 第1泥質部   | 1.24       | 2.01        | 1.96        | 0.50        | 4.87        | 4.01        | 4.23        | 4.98        |
| 互層部     | 4.95       | 5.69        | 5.39        | 5.18        | 5.74        | 5.80        | 5.96        | 5.01        |
| 第2泥質部   | 1.49       | 1.93        | 2.36        | 1.88        | 1.80        | 2.61        | 3.07        | 2.73        |
| 細粒砂岩層   | 2.83       | 1.90        | 2.09        | 3.69        | 1.63        | 1.16        | 1.63        | 1.70        |
| 第3泥質部   | 0.50       | 0.88        | 0.98        | 0.23        | 0.99        | 1.39        | 0.67        | 1.23        |
| 粗粒砂岩層   | 0.34       | 0.37        | 0.33        | 0.33        | 0.33        | 0.44        | 0.46        | 0.39        |

図9-2 2号機原子炉建屋・タービン建屋四隅の土層厚



| 土層厚 (m) | #3R/B<br>17 | #3R/B<br>18 | #3R/B<br>19 | #3R/B<br>20 | #3T/B<br>21 | #3T/B<br>22 | #3T/B<br>23 | #3T/B<br>24 |
|---------|-------------|-------------|-------------|-------------|-------------|-------------|-------------|-------------|
| MMR     | —           | —           | —           | —           | 1.70        | 3.80        | 3.80        | 1.70        |
| 第1泥質部   | 0.51        | 1.49        | 0.94        | 0.00        | 4.61        | 5.35        | 3.75        | 3.30        |
| 互層部     | 5.55        | 5.88        | 6.31        | 5.97        | 5.44        | 4.61        | 5.17        | 6.19        |
| 第2泥質部   | 2.24        | 2.86        | 2.83        | 2.49        | 2.87        | 3.07        | 3.47        | 3.02        |
| 細粒砂岩層   | 1.29        | 1.50        | 1.28        | 1.53        | 1.62        | 1.02        | 0.87        | 1.29        |
| 第3泥質部   | 1.97        | 1.12        | 1.39        | 1.56        | 1.00        | 1.57        | 1.91        | 1.36        |
| 粗粒砂岩層   | 0.56        | 0.80        | 0.59        | 0.50        | 0.71        | 0.41        | 0.56        | 0.72        |

図9-3 3号機原子炉建屋・タービン建屋四隅の土層厚



| 土層厚 (m) | #4R/B<br>25 | #4R/B<br>26 | #4R/B<br>27 | #4R/B<br>28 | #4T/B<br>29 | #4T/B<br>30 | #4T/B<br>31 | #4T/B<br>32 |
|---------|-------------|-------------|-------------|-------------|-------------|-------------|-------------|-------------|
| MMR     | 4.90        | 4.90        | 4.90        | 4.90        | 2.86        | 3.72        | 3.72        | 2.86        |
| 第1泥質部   | —           | —           | —           | —           | 1.87        | 3.48        | 1.33        | 0.54        |
| 互層部     | —           | 0.91        | —           | —           | 6.08        | 5.21        | 5.65        | 5.64        |
| 第2泥質部   | 3.09        | 3.24        | 3.25        | 1.60        | 3.09        | 3.50        | 3.56        | 3.65        |
| 細粒砂岩層   | 1.32        | 1.36        | 1.65        | 1.28        | 1.31        | 0.99        | 0.87        | 0.33        |
| 第3泥質部   | 1.52        | 1.41        | 1.76        | 2.46        | 1.37        | 1.96        | 1.96        | 3.42        |
| 粗粒砂岩層   | 0.91        | 1.15        | 1.22        | 1.15        | 0.93        | 0.66        | 1.01        | 1.06        |

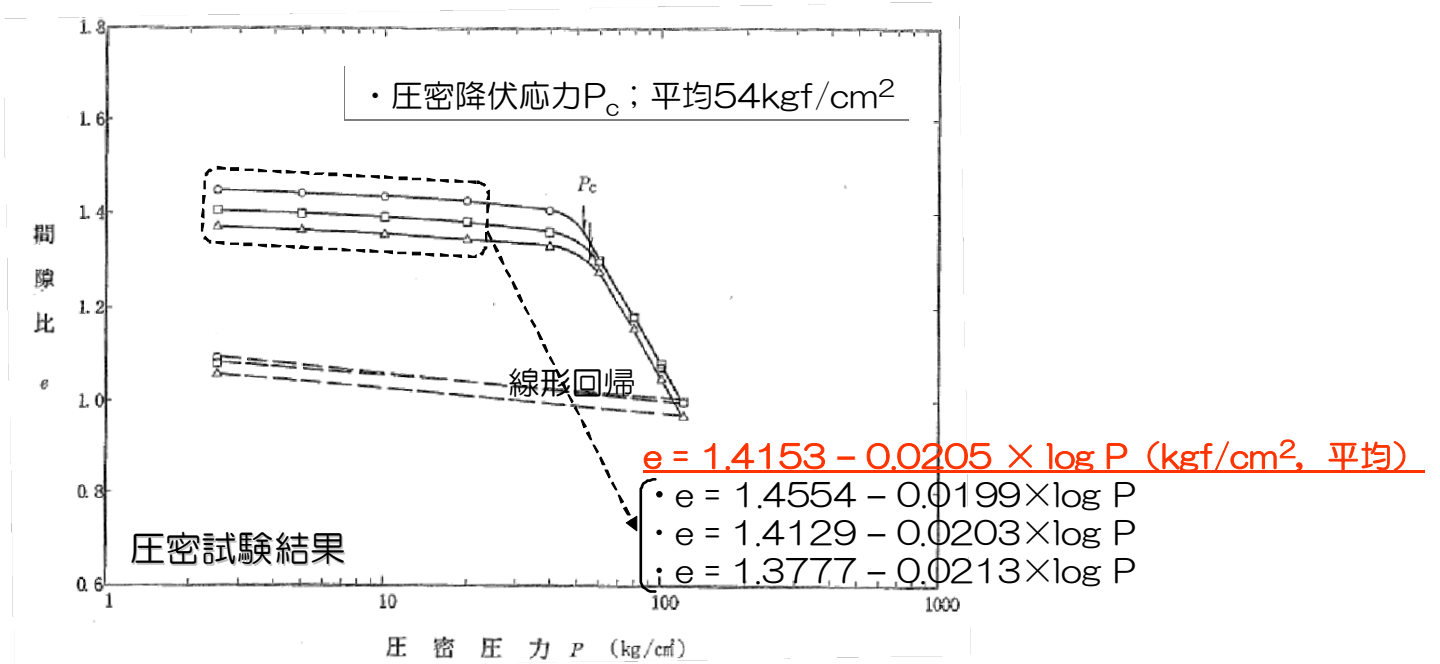
図9-4 4号機原子炉建屋・タービン建屋四隅の土層厚



### 3.1.4 地盤物性値の設定

地盤物性値については既往の調査結果(福島第一原子力発電所原子炉設置変更許可申請書等)に基づき設定した。

なお、泥質部の変形特性 ( $e$ - $\log P$ 関係) については、圧密試験結果を線形近似し、設定した(図10参照)。



※ 「福島第一原子力発電所 原子炉設置変更許可申請書」より抜粋，一部加筆

図10 泥質部の変形特性 ( $e$ - $\log P$ 関係) の線形近似結果

### 3.2 有効応力増分 $\Delta \sigma'$ の算定

3.1により設定した計算条件に基づき、現状（(d)震災後）および地下水位低下後（(e)凍土遮水壁造成後）それぞれについて、算定地点における各地層の全応力  $\sigma$ 、間隙水圧  $u$ 、有効応力  $\sigma'$  ならびに有効応力増分  $\Delta \sigma'$  を算定した。

全応力分布、間隙水圧分布、有効応力分布を比較した算定結果例（3号機原子炉建屋の地点「17」）を図11に示す。

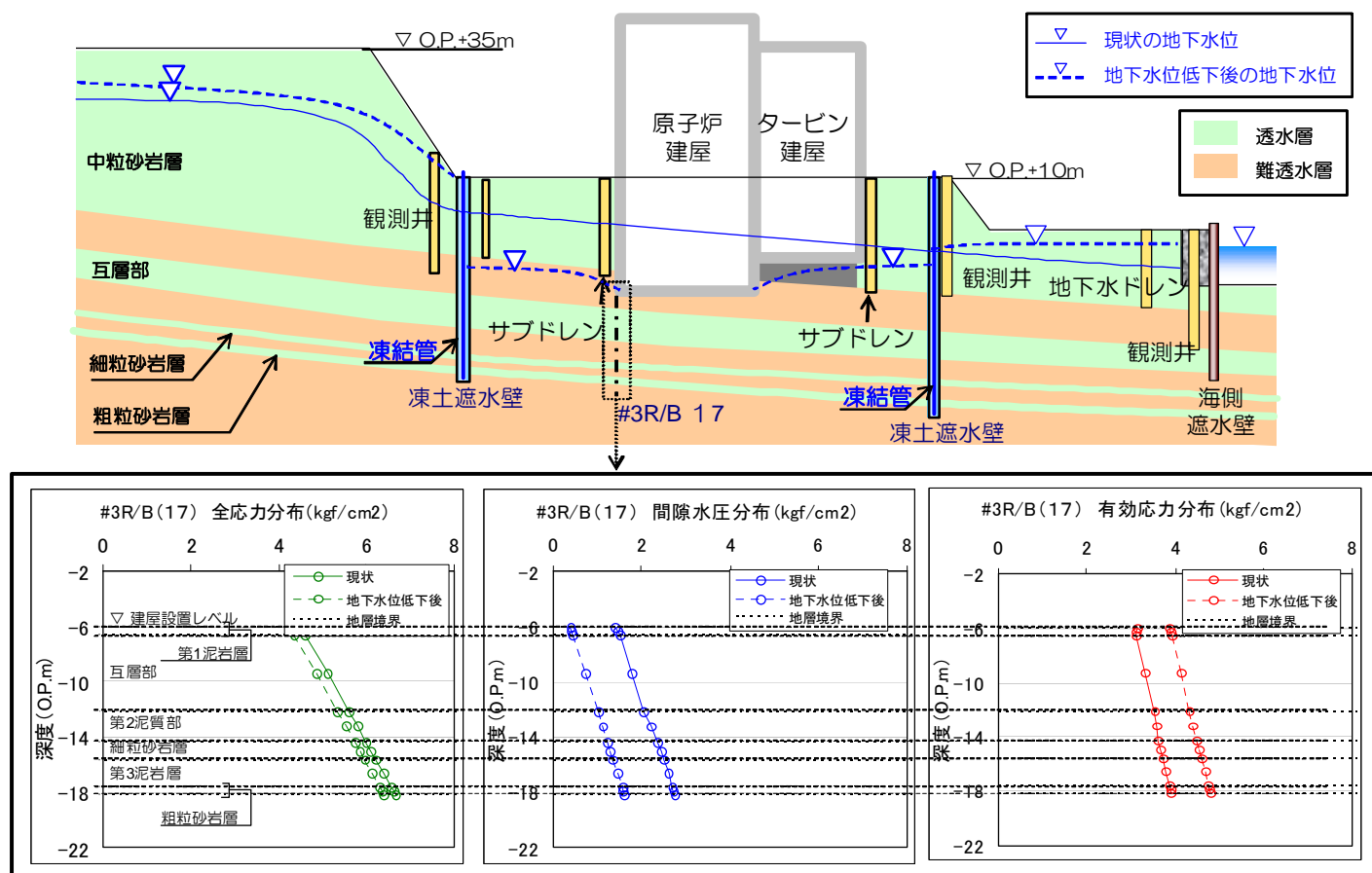
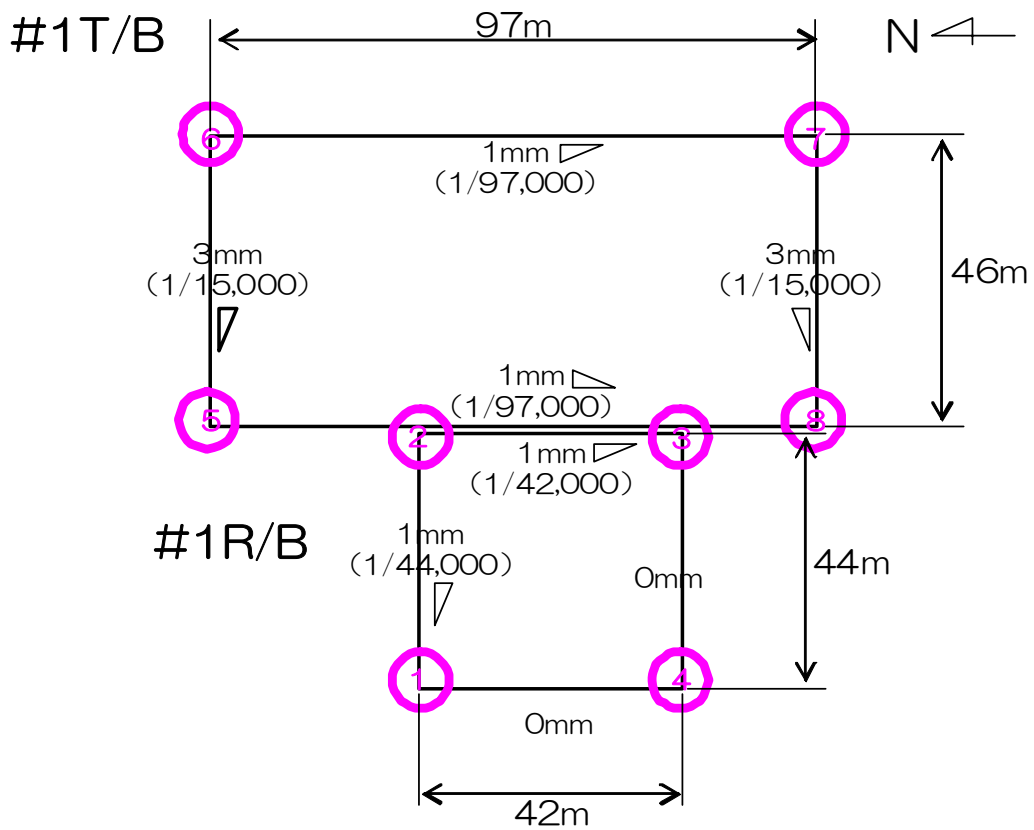


図11 全応力分布、間隙水圧分布、有効応力分布を比較した計算結果例  
（3号機原子炉建屋の地点「17」）

### 3.3 沈下量の算定

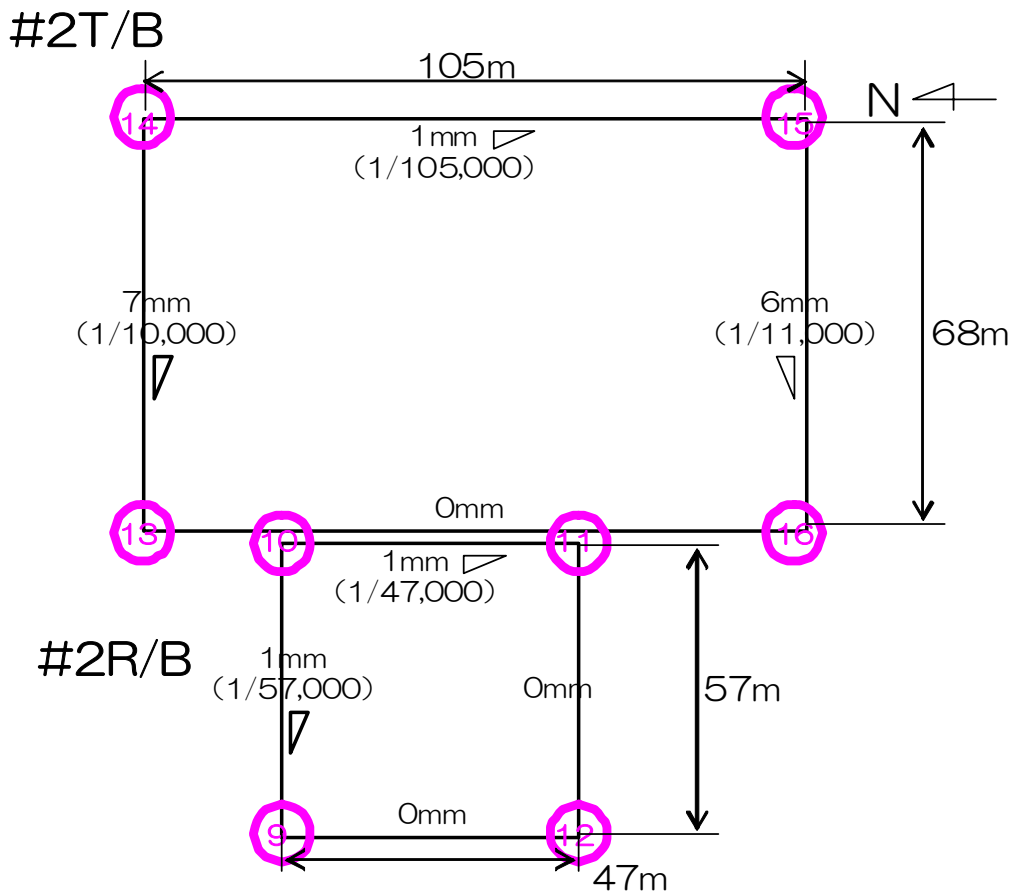
1～4号機の原子炉建屋・タービン建屋四隅の基礎地盤沈下量算定結果および基礎底面の傾斜を図12-1～12-4に示す。



| 沈下量 (mm) | #1T/B<br>5 | #1T/B<br>6 | #1T/B<br>7 | #1T/B<br>8 |
|----------|------------|------------|------------|------------|
| 合計       | -13        | -10        | -11        | -14        |
| 第1泥質部    | -6         | -5         | -5         | -6         |
| 互層部(砂岩)  | -1         | -1         | -1         | -1         |
| 互層部(泥岩)  | -3         | -2         | -2         | -3         |
| 第2泥質部    | -2         | -1         | -2         | -2         |
| 細粒砂岩層    | 0          | 0          | 0          | -1         |
| 第3泥質部    | -1         | -1         | -1         | -1         |
| 粗粒砂岩層    | 0          | 0          | 0          | 0          |

| 沈下量 (mm) | #1R/B<br>1 | #1R/B<br>2 | #1R/B<br>3 | #1R/B<br>4 |
|----------|------------|------------|------------|------------|
| 合計       | -9         | -8         | -9         | -9         |
| 第1泥質部    | -3         | -3         | -3         | -3         |
| 互層部(砂岩)  | -1         | -1         | -1         | -1         |
| 互層部(泥岩)  | -2         | -2         | -2         | -2         |
| 第2泥質部    | -1         | -1         | -1         | -1         |
| 細粒砂岩層    | -1         | 0          | -1         | -1         |
| 第3泥質部    | -1         | -1         | -1         | -1         |
| 粗粒砂岩層    | 0          | 0          | 0          | 0          |

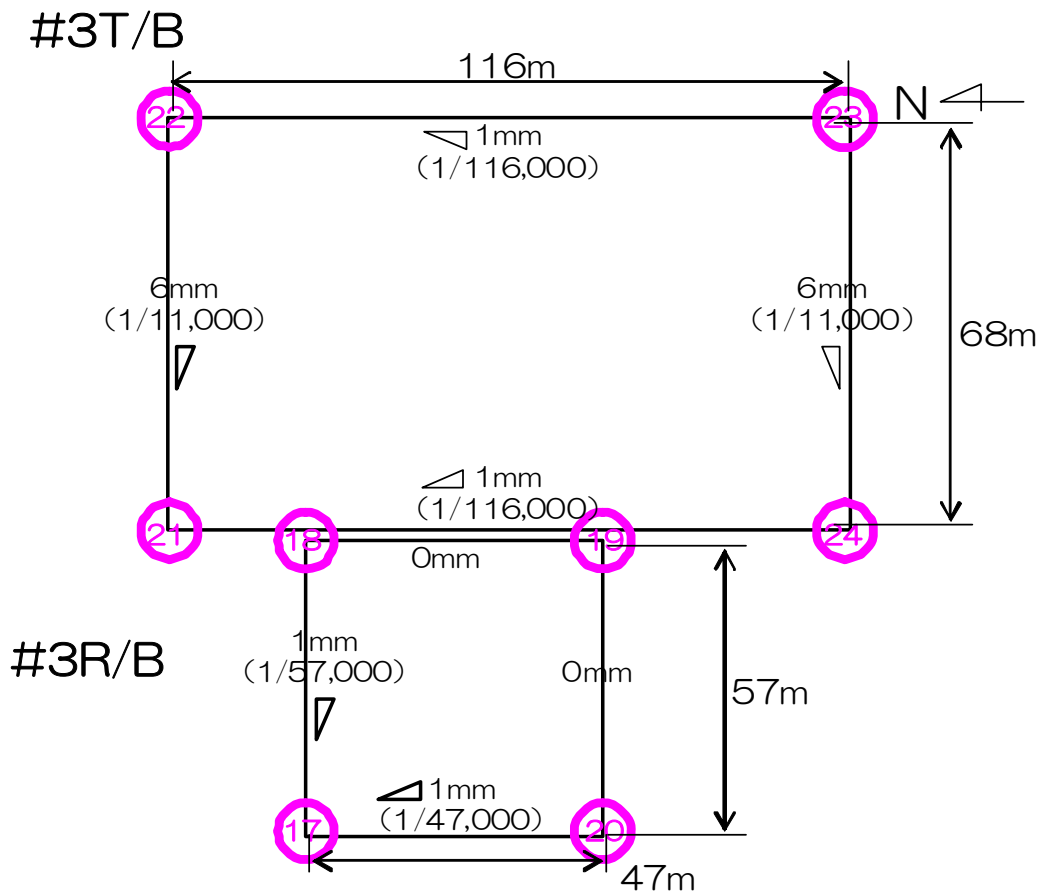
図 1 2 - 1 1号機原子炉建屋・タービン建屋四隅の基礎地盤沈下量および基礎底面の傾斜



| 沈下量 (mm) | #2T/B<br>13 | #2T/B<br>14 | #2T/B<br>15 | #2T/B<br>16 |
|----------|-------------|-------------|-------------|-------------|
| 合計       | -16         | -9          | -10         | -16         |
| 第1泥質部    | -7          | -3          | -4          | -7          |
| 互層部(砂岩)  | -1          | -1          | -1          | -1          |
| 互層部(泥岩)  | -4          | -2          | -2          | -3          |
| 第2泥質部    | -2          | -2          | -2          | -3          |
| 細粒砂岩層    | -1          | 0           | -1          | -1          |
| 第3泥質部    | -1          | -1          | 0           | -1          |
| 粗粒砂岩層    | 0           | 0           | 0           | 0           |

| 沈下量 (mm) | #2R/B<br>9 | #2R/B<br>10 | #2R/B<br>11 | #2R/B<br>12 |
|----------|------------|-------------|-------------|-------------|
| 合計       | -8         | -7          | -8          | -8          |
| 第1泥質部    | -1         | -1          | -1          | 0           |
| 互層部(砂岩)  | -1         | -1          | -1          | -1          |
| 互層部(泥岩)  | -3         | -2          | -2          | -3          |
| 第2泥質部    | -1         | -1          | -2          | -2          |
| 細粒砂岩層    | -2         | -1          | -1          | -2          |
| 第3泥質部    | 0          | -1          | -1          | 0           |
| 粗粒砂岩層    | 0          | 0           | 0           | 0           |

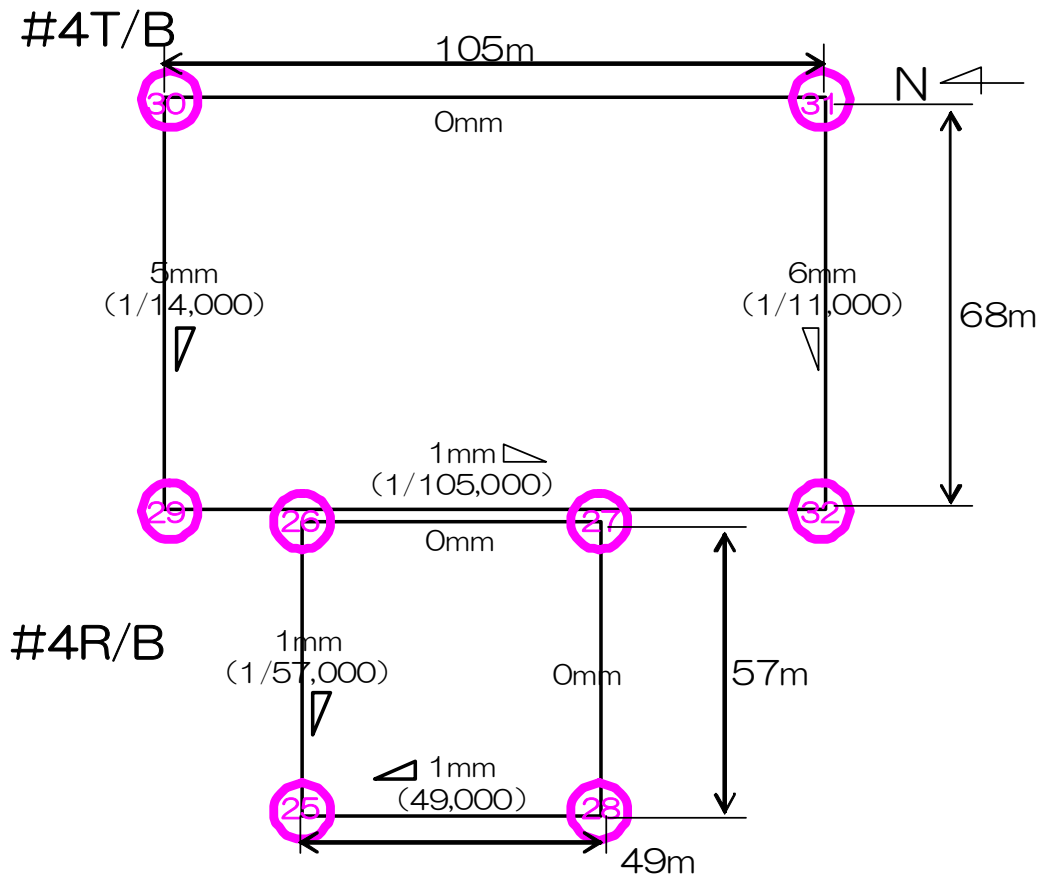
図 1 2 - 2 2号機原子炉建屋・タービン建屋四隅の基礎地盤沈下量および基礎底面の傾斜



| 沈下量 (mm) | #3T/B<br>21 | #3T/B<br>22 | #3T/B<br>23 | #3T/B<br>24 |
|----------|-------------|-------------|-------------|-------------|
| 合計       | -16         | -10         | -9          | -15         |
| 第1泥質部    | -6          | -4          | -3          | -5          |
| 互層部(砂岩)  | -1          | -1          | -1          | -1          |
| 互層部(泥岩)  | -4          | -2          | -2          | -4          |
| 第2泥質部    | -3          | -2          | -2          | -3          |
| 細粒砂岩層    | -1          | 0           | 0           | -1          |
| 第3泥質部    | -1          | -1          | -1          | -1          |
| 粗粒砂岩層    | 0           | 0           | 0           | 0           |

| 沈下量 (mm) | #3R/B<br>17 | #3R/B<br>18 | #3R/B<br>19 | #3R/B<br>20 |
|----------|-------------|-------------|-------------|-------------|
| 合計       | -9          | -8          | -8          | -8          |
| 第1泥質部    | 0           | -1          | -1          | 0           |
| 互層部(砂岩)  | -1          | -1          | -1          | -1          |
| 互層部(泥岩)  | -3          | -2          | -2          | -3          |
| 第2泥質部    | -2          | -2          | -2          | -2          |
| 細粒砂岩層    | -1          | -1          | -1          | -1          |
| 第3泥質部    | -2          | -1          | -1          | -1          |
| 粗粒砂岩層    | 0           | 0           | 0           | 0           |

図 1 2 - 3 3号機原子炉建屋・タービン建屋四隅の基礎地盤沈下量および基礎底面の傾斜



| 沈下量 (mm) | #4T/B<br>29 | #4T/B<br>30 | #4T/B<br>31 | #4T/B<br>32 |
|----------|-------------|-------------|-------------|-------------|
| 合計       | -14         | -9          | -9          | -15         |
| 第1泥質部    | -3          | -3          | -1          | -1          |
| 互層部(砂岩)  | -1          | -1          | -1          | -1          |
| 互層部(泥岩)  | -4          | -2          | -3          | -4          |
| 第2泥質部    | -3          | -2          | -3          | -4          |
| 細粒砂岩層    | -1          | 0           | 0           | 0           |
| 第3泥質部    | -1          | -1          | -1          | -4          |
| 粗粒砂岩層    | -1          | 0           | 0           | -1          |

| 沈下量 (mm) | #4R/B<br>25 | #4R/B<br>26 | #4R/B<br>27 | #4R/B<br>28 |
|----------|-------------|-------------|-------------|-------------|
| 合計       | -6          | -5          | -5          | -5          |
| 第1泥質部    | -           | -           | -           | -           |
| 互層部(砂岩)  | -           | 0           | -           | -           |
| 互層部(泥岩)  | -           | 0           | -           | -           |
| 第2泥質部    | -3          | -2          | -2          | -1          |
| 細粒砂岩層    | -1          | -1          | -1          | -1          |
| 第3泥質部    | -1          | -1          | -1          | -2          |
| 粗粒砂岩層    | -1          | -1          | -1          | -1          |

図 1 2 - 4 4号機原子炉建屋・タービン建屋四隅の基礎地盤沈下量および基礎底面の傾斜

#### 4 建屋基礎地盤の沈下量の評価

各建屋の基礎底面の傾斜（最大値）および各種基準に示される目安値<sup>\*</sup>を整理し、表4に示す。各建屋の基礎底面の傾斜（最大値）は、同目安値以下であることから、建屋基礎の安定上問題ないものと評価した。

また、「鉄筋コンクリート造の建物に構造的な障害が発生する限度角となる変形角の目安値」に対して余裕があることから、現状の建屋構造に有意な変化が生じることはなく、建屋構造部材や現状の滞留水管理に有害な影響を与えないものとする。

※ 目安値

①基礎地盤及び周辺斜面の安定性評価に係る審査ガイド（平成25年6月原子力規制委員会）

；発電用軽水炉型原子炉施設の各建物及び構築物の基礎底面の傾斜に対する目安値

②建築基礎構造設計指針（日本建築学会）

；鉄筋コンクリート造の建物に構造的な障害が発生する限度角となる変形角の目安値

表4 各建屋基礎底面の傾斜の最大値および各種基準に示される目安値

|            |     | 基礎底面の傾斜<br>(最大) | 評価①<br>(安定性評価に係る審査ガイド) | 評価②<br>(建築基礎構造設計指針)    |
|------------|-----|-----------------|------------------------|------------------------|
|            |     |                 | 【目安値】<br>1/2,000       | 【目安値】<br>1/1,000~1/500 |
| 原子炉<br>建屋  | 1号機 | 1/42,000        | OK                     | OK                     |
|            | 2号機 | 1/47,000        | OK                     | OK                     |
|            | 3号機 | 1/47,000        | OK                     | OK                     |
|            | 4号機 | 1/49,000        | OK                     | OK                     |
| タービン<br>建屋 | 1号機 | 1/15,000        | OK                     | OK                     |
|            | 2号機 | 1/10,000        | OK                     | OK                     |
|            | 3号機 | 1/11,000        | OK                     | OK                     |
|            | 4号機 | 1/11,000        | OK                     | OK                     |

山側ライン上の埋設物に対する施工時の考慮

1 はじめに

凍土遮水壁は、地盤中に凍結管を約1m間隔で設置し、凍結管内に-30℃のブライン（冷却材）を循環させて凍結管周囲の地盤を凍結して造成する。建屋周辺の地盤中には、トレンチ・配管・排水路等の埋設物が存在し、埋設物が凍土遮水壁を横断する箇所では、埋設物の周囲の地盤を巻き込んで凍土遮水壁を造成する。凍土遮水壁を横断する埋設物周辺の施工にあたっては、埋設物を図面・試掘・現地調査で確認し、構造形式、内容物、埋設物内部の状況を整理した上で、埋設物の幅・機能に応じて、適切な施工方法を選定する。

1.1 凍土遮水壁の施工手順

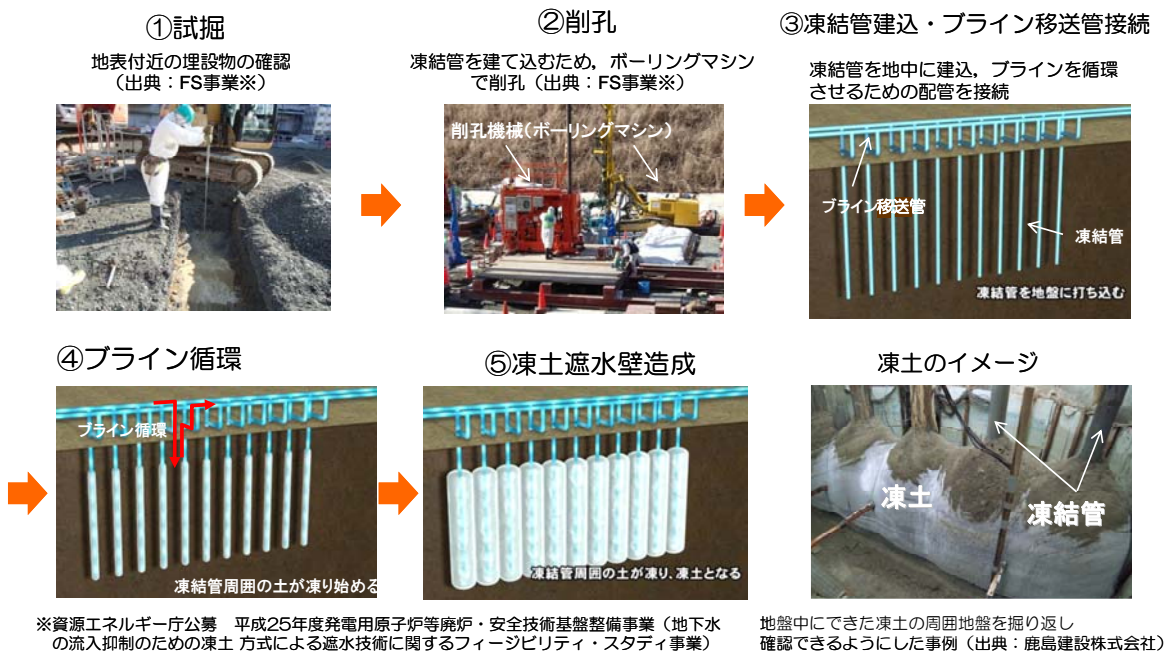


図1 凍土遮水壁の施工手順イメージ



## 1.2 埋設物の種類

建屋周辺の地盤中には、建屋間を連絡する電気・通信ケーブルや配管を内包するトレンチおよび雨水用の排水路等の埋設物が存在する。

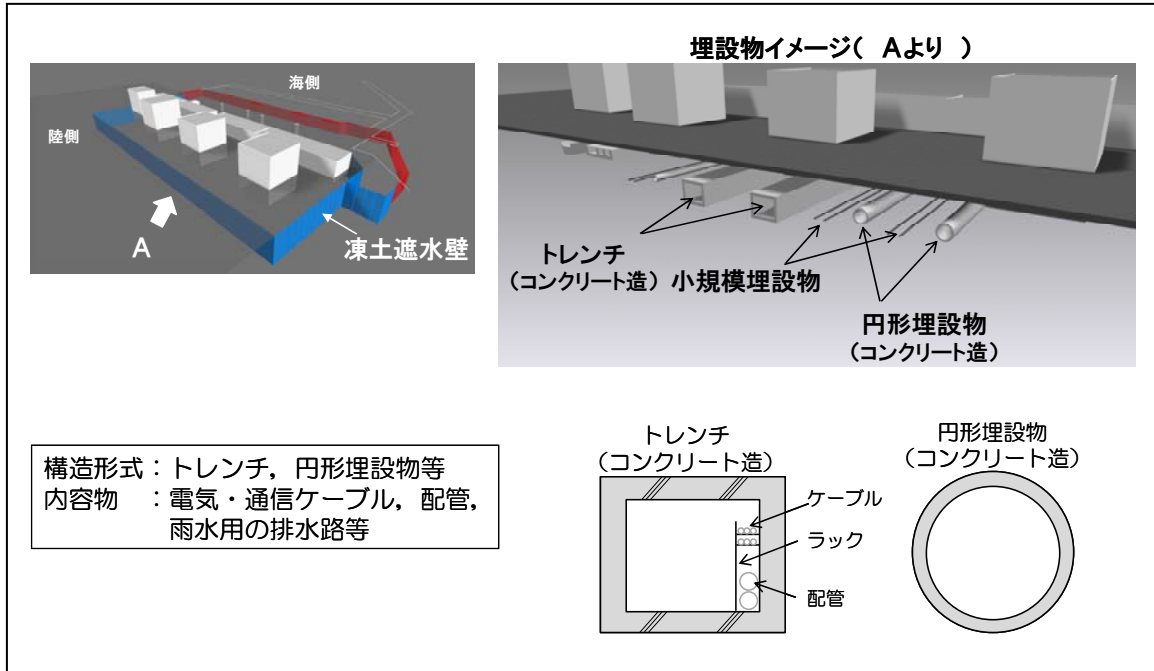


図2 埋設物のイメージ

## 2 埋設物に対する施工方法

凍土遮水壁の凍結管は、一般部では約1m間隔で1列に設置することから、幅1m程度以下の埋設物が横断する箇所では、凍結管の設置間隔を微調整することで干渉を回避することができる。しかし、幅1m程度以上の埋設物が横断する箇所では、干渉を回避すると凍結管の間隔が広がるため、十分な凍結効果が得られず、凍結管の間に未凍結部分が生じるおそれがある。このような埋設物の横断箇所においては、埋設物を貫通して凍結管を設置する貫通施工や、埋設物の軸方向に複数の凍結管を設置する複列施工を用いて、埋設物周囲の地盤を巻き込んで凍結する。

### 2.1 単列施工

一般部と同様の間隔で凍結管を設置し、埋設物周囲の地盤を巻き込んで凍結する。

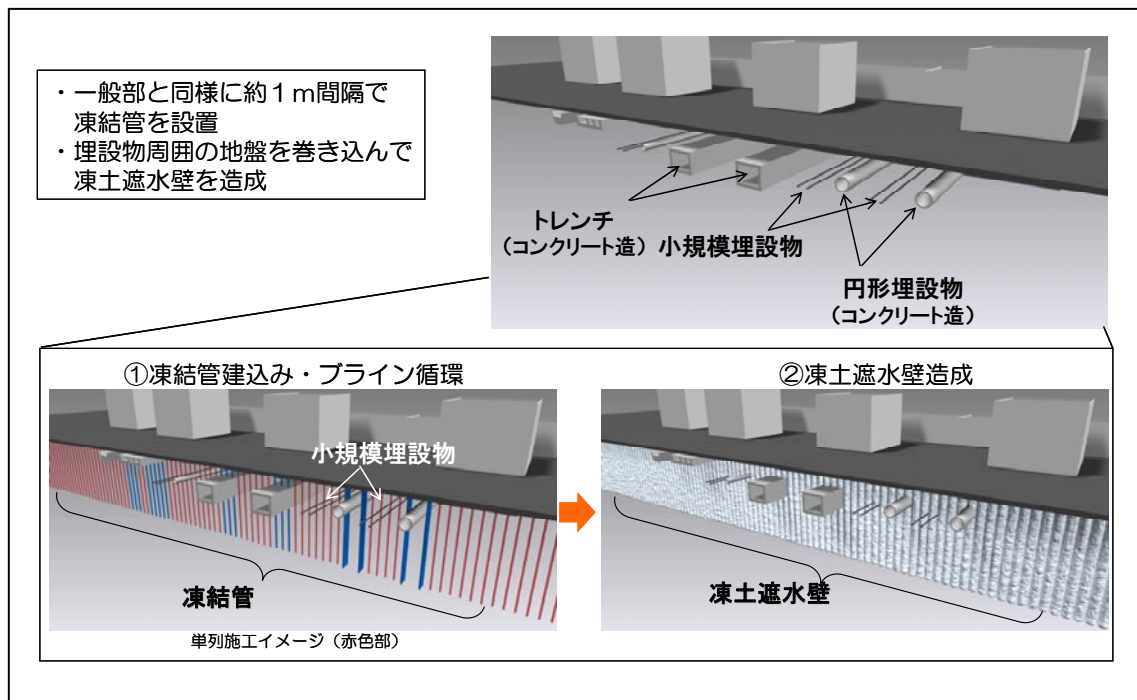


図3 単列施工のイメージ

## 2.2 貫通施工

- 埋設物の頂版・底版を切削・貫通して凍結管を設置し，埋設物周囲の地盤を巻き込んで凍土遮水壁を造成する。
- 埋設物の貫通は，埋設物内部等の状況により，単純貫通工法，内部充填工法，マルチステップ工法のいずれかを用いて施工する。

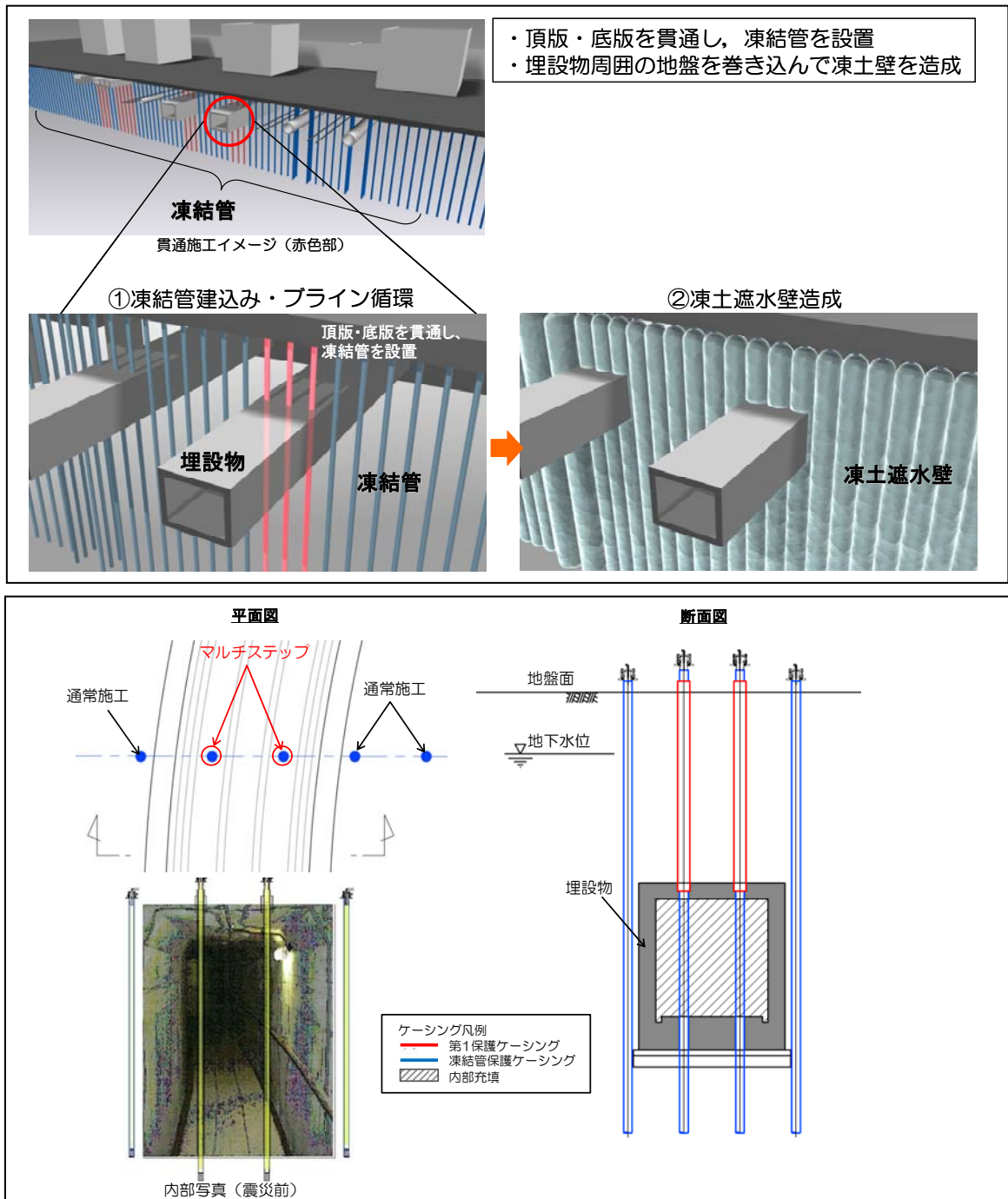


図4 貫通施工のイメージ

### 2.3 複列施工

埋設物の幅が1 m程度以上で、必要な埋設物内部の通水断面が貫通施工では確保できない箇所において、埋設物の軸方向に複数の凍結管を設置し、埋設物周囲の地盤を巻き込んで凍土遮水壁を造成する。

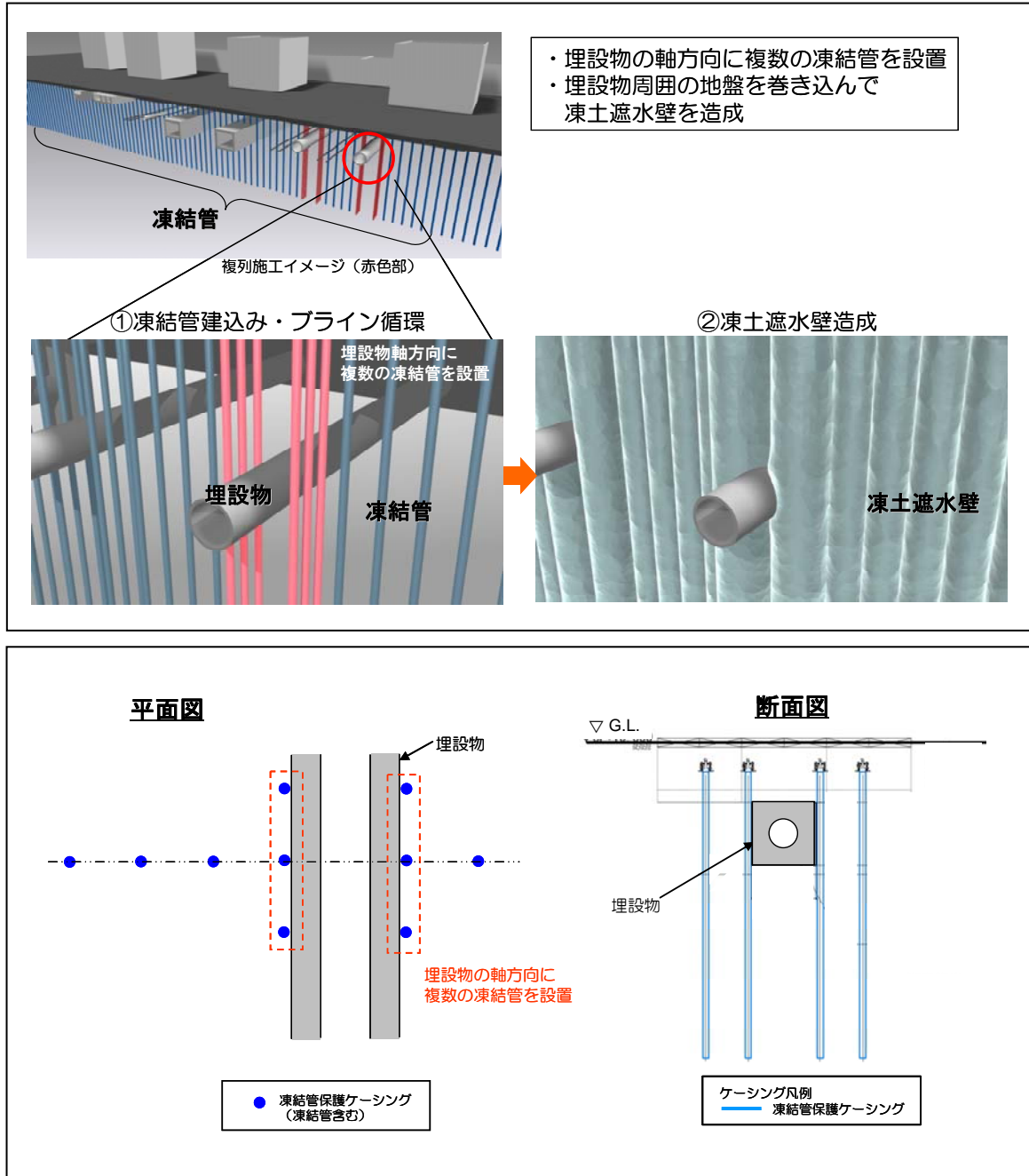


図5 複列施工のイメージ

### 3 貫通施工の基本方針

#### 3.1 貫通施工の種類と施工パターン

##### 3.1.1 貫通施工の種類

- 単純貫通工法 : ボーリング工法を用いて埋設物を単純に貫通する施工方法
- 内部充填工法 : 内部充填により貫通箇所の水密性を確保し、ボーリング工法を用いて埋設物を貫通する施工方法
- マルチステップ工法 : マルチステップ（多段式）ボーリング工法を用いて貫通箇所において漏えい防止の水密性を確保し、埋設物を貫通する施工方法

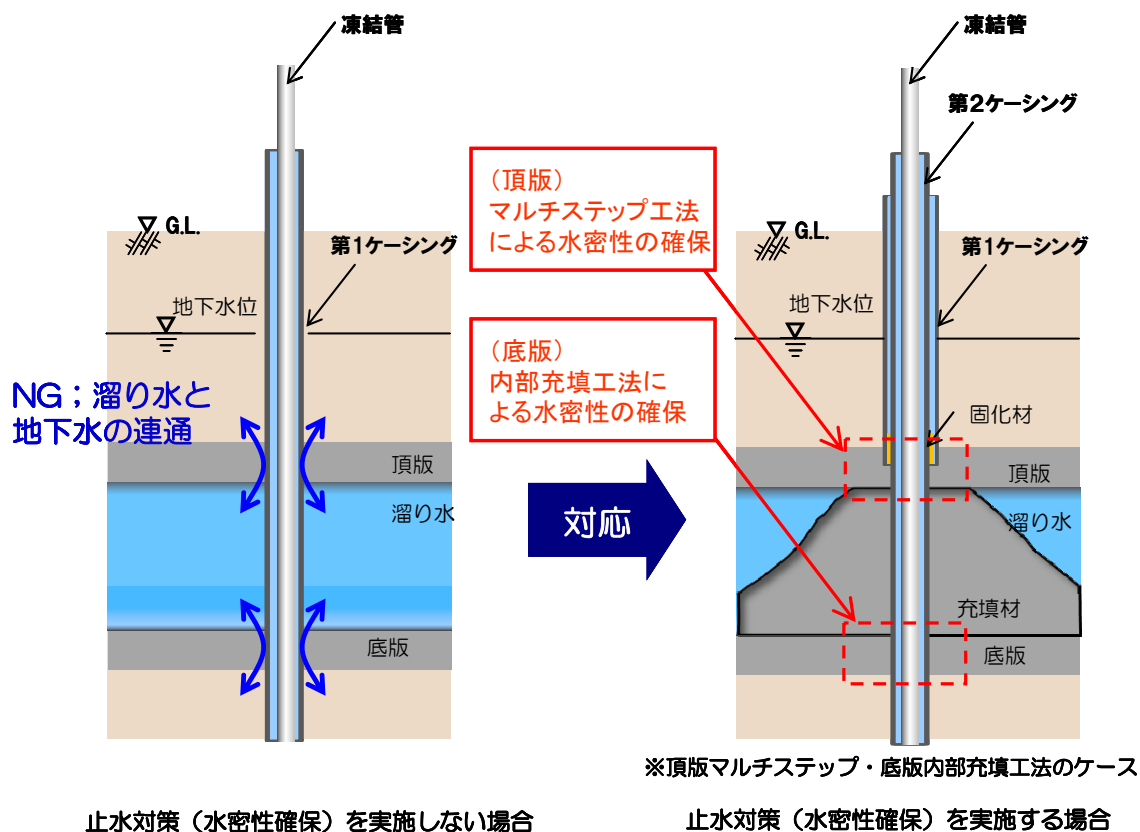
貫通箇所の水密性の確保は、埋設物の頂版はマルチステップ工法、底版は内部充填工法を用いる。ただし、内部の通水を確保する必要がある排水路の底版においては、マルチステップ工法を用いて貫通箇所の水密性を確保する。

### 3.2 貫通施工における水密性の確保

#### 3.2.1 貫通施工時の留意事項

貫通施工を行う際には、以下について留意する。

| 留意事項   | 対応  |
|--|---|
| 埋設物内の溜り水と地下水の連通の防止                               | 水密性の確保（内部充填工法・マルチステップ工法の適用）   |
| OF ケーブル（Oil Filled, ケーブル油含む）や運用中の通信・制御ケーブルの損傷の防止 | <ul style="list-style-type: none"> <li>・OF ケーブル；トレンチ内の位置確認，移動</li> <li>・通信・制御ケーブル；図面・現地確認により使用状況を確認，必要に応じて移動</li> </ul> |



#### マルチステップ工法における水密性確保に関する成立性確認

マルチステップ工法による埋設物頂版・底版貫通施工時の水密性確保については、資源エネルギー庁公募「平成 25 年度発電用原子炉等廃炉・安全技術基盤整備事業（地下水の流入抑制のための凍土方式による遮水技術に関するフェージビリティ・スタディ事業）」により成立性が確認されている。

図 6 貫通施工時の留意事項

### 3.2.2 貫通施工の施工パターン

貫通施工は、以下の施工パターンの工法を用いて施工する。

#### (1) 頂版単純貫通・底版内部充填工法

埋設物周辺の地下水位が頂版より低く、かつ、貫通箇所の溜り水が自由水面を持つ場合に適用する。

#### (2) 頂版マルチステップ・底版内部充填工法

埋設物周辺の地下水位が頂版より高い場合、または、貫通箇所の溜り水が被圧されている場合（不明な場合を含む）に適用する。

#### (3) 頂版撤去・底版内部充填工法

浅部に設置されて掘削して頂版に開口部を設けることが可能な埋設物、または、頂版が蓋掛け構造の埋設物において、貫通箇所に溜り水が存在する場合に適用する。

#### (4) 頂版単純貫通・底版マルチステップ工法

埋設物周辺の地下水位が頂版より低く、かつ、内部の溜り水が自由水面を持つ埋設物において、貫通箇所の通水を確保する必要がある場合（排水路を想定）に適用する。

#### (5) 頂版単純貫通・底版単純貫通工法

埋設物周辺の地下水位が底版より低く、かつ、貫通箇所に溜り水がない場合に適用する。



### 3.3.1 頂版単純貫通・底版内部充填工法

頂版単純貫通・底版内部充填工法の施工手順を図7に示す。

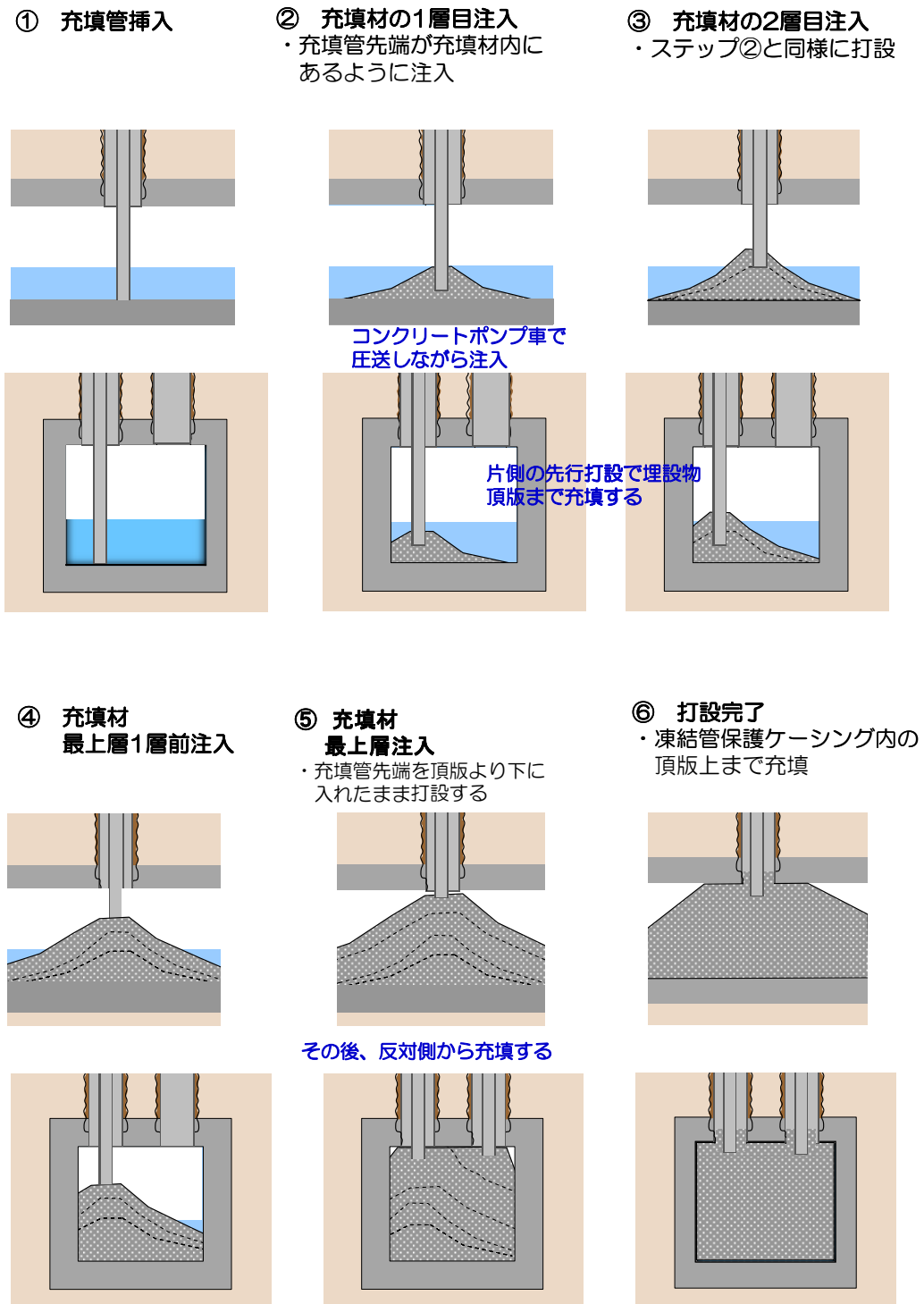
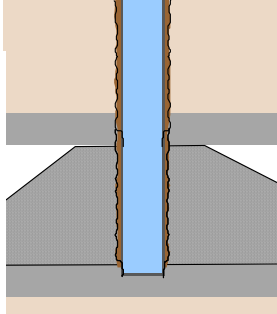


図7-1 頂版単純貫通・底版内部充填工法の施工手順(1)

⑦ 底版切込・水密性確認

- ・凍結管保護ケーシングで削孔
- ・底版切込後、ケーシングを少し引上げ、水密性確認



⑧ 底版貫通・地盤削孔

- ・凍結管保護ケーシングで底版を削孔貫通
- ・継続して、地盤を削孔

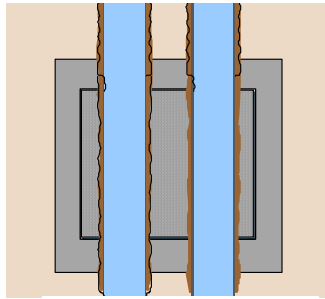
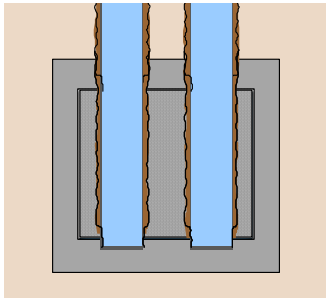
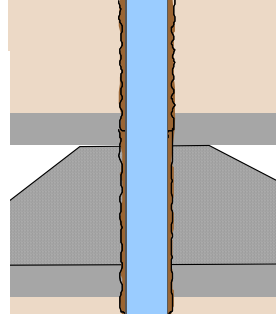
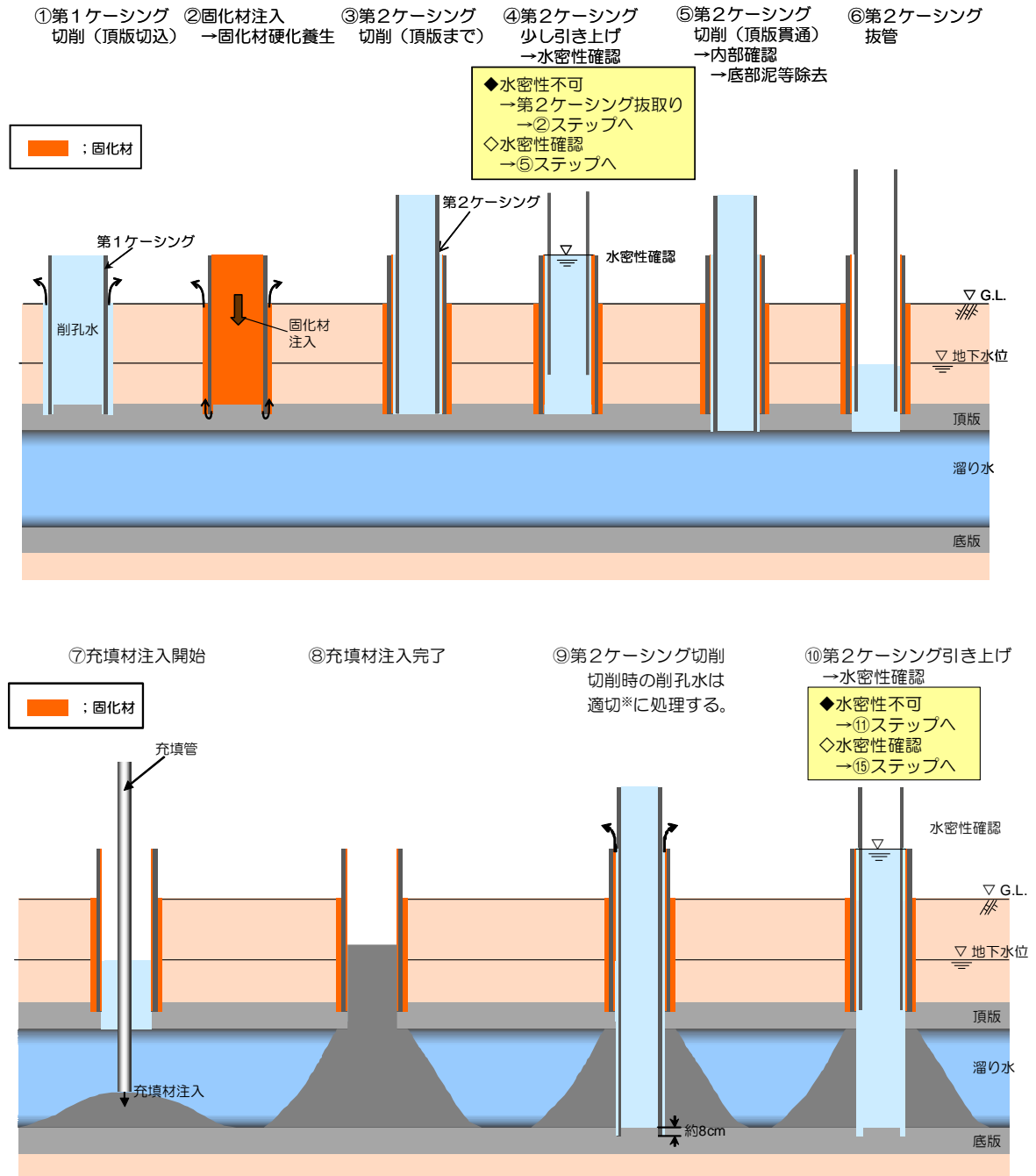


図 7 - 2 頂版単純貫通・底版内部充填工法の施工手順 (2)

### 3.3.2 頂版マルチステップ・底版内部充填工法

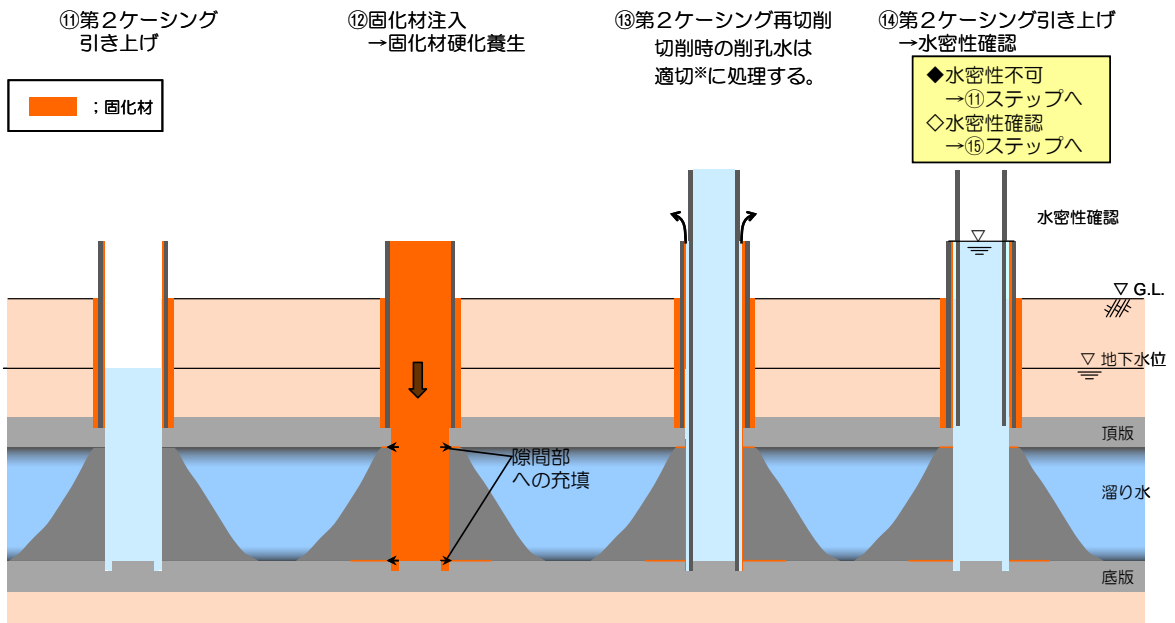
頂版マルチステップ・底版内部充填工法の施工手順を図8に示す。



※同一の構造物における同一の手順の削孔には再利用する。

また、放射性物質濃度を測定した上で、同程度の濃度以上の溜り水を有する構造物における同一手順の削孔にも再利用する。  
最終的に再利用できない余剰水は「福島第一原子力発電所特定原子力施設に係る実施計画」に記載の設備で処理する。

図8-1 頂版マルチステップ・底版内部充填工法の施工手順（1）



※同一の構造物における同一の手順の削孔には再利用する。  
また、放射性物質濃度を測定した上で、同程度の濃度以上の溜り水を有する構造物における同一手順の削孔にも再利用する。  
最終的に再利用できない余剰水は「福島第一原子力発電所特定原子力施設に係る実施計画」に記載の設備で処理する。

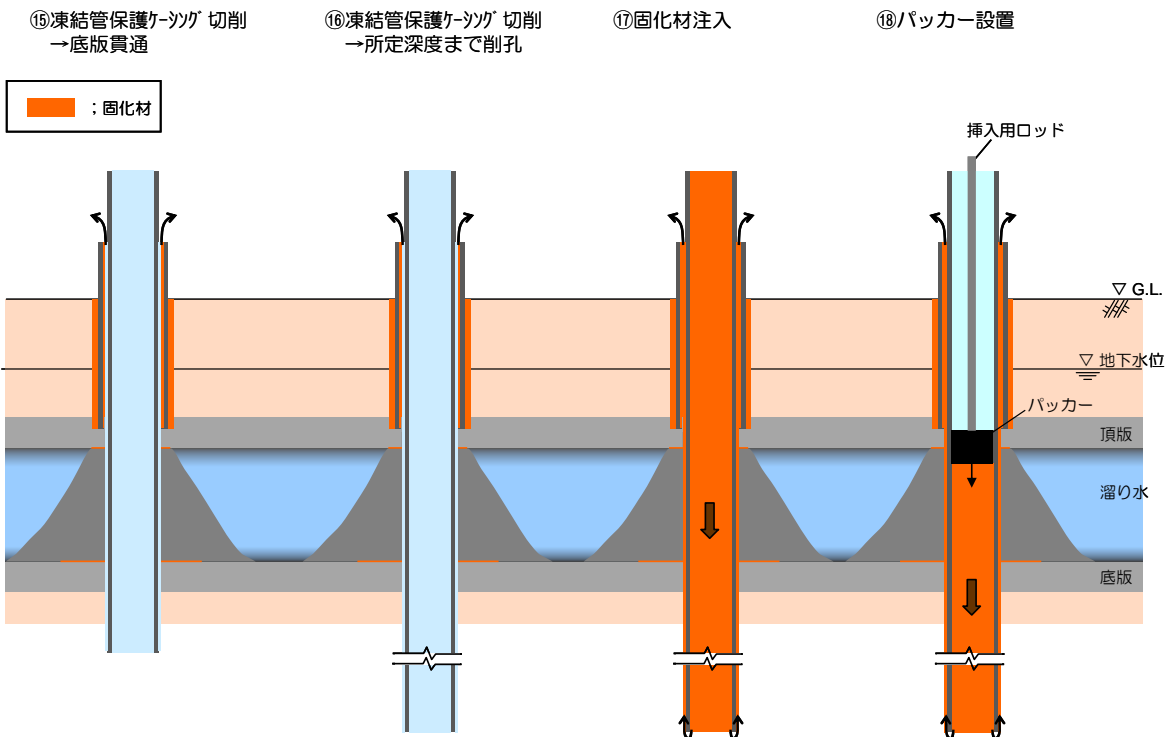


図 8 - 2 頂版マルチステップ・底版内部充填工法の施工手順 (2)

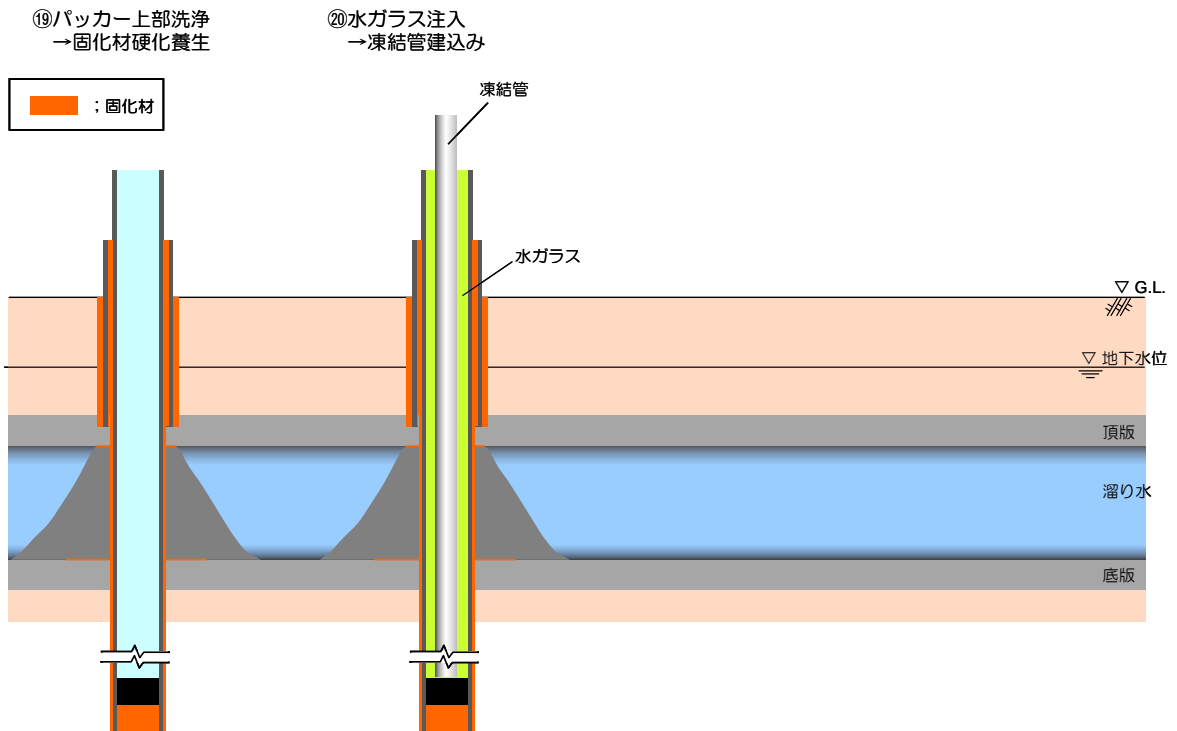


図 8 - 3 頂版マルチステップ・底版内部充填工法の施工手順 (3)

### 3.3.3 頂版撤去・底版内部充填工法

頂版撤去・底版内部充填工法の施工手順を図9に示す。

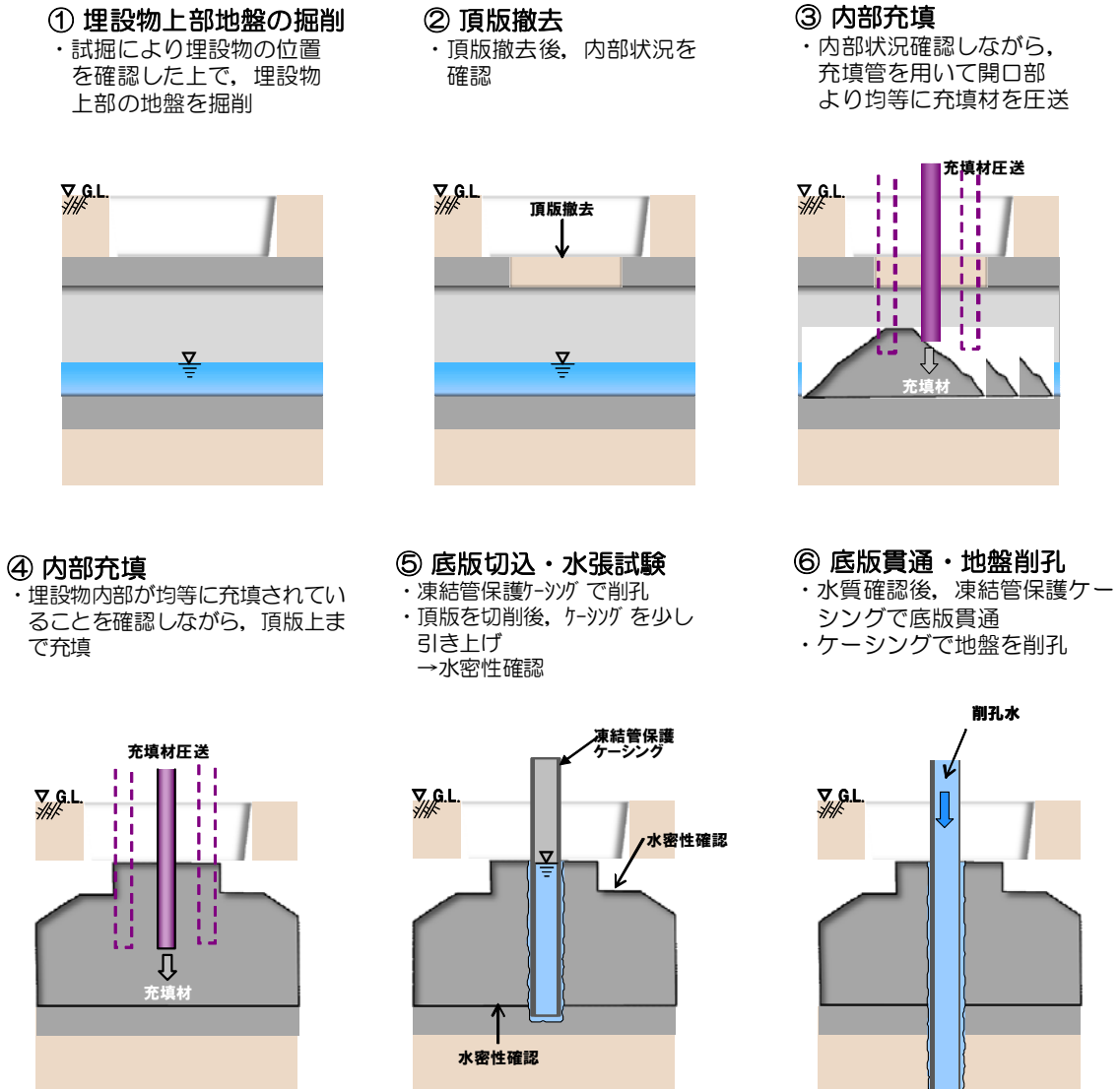


図9 頂版撤去・底版内部充填工法の施工手順

### 3.3.4 頂版単純貫通・底版マルチステップ工法

頂版単純貫通・底版マルチステップ工法の施工手順を図10に示す。

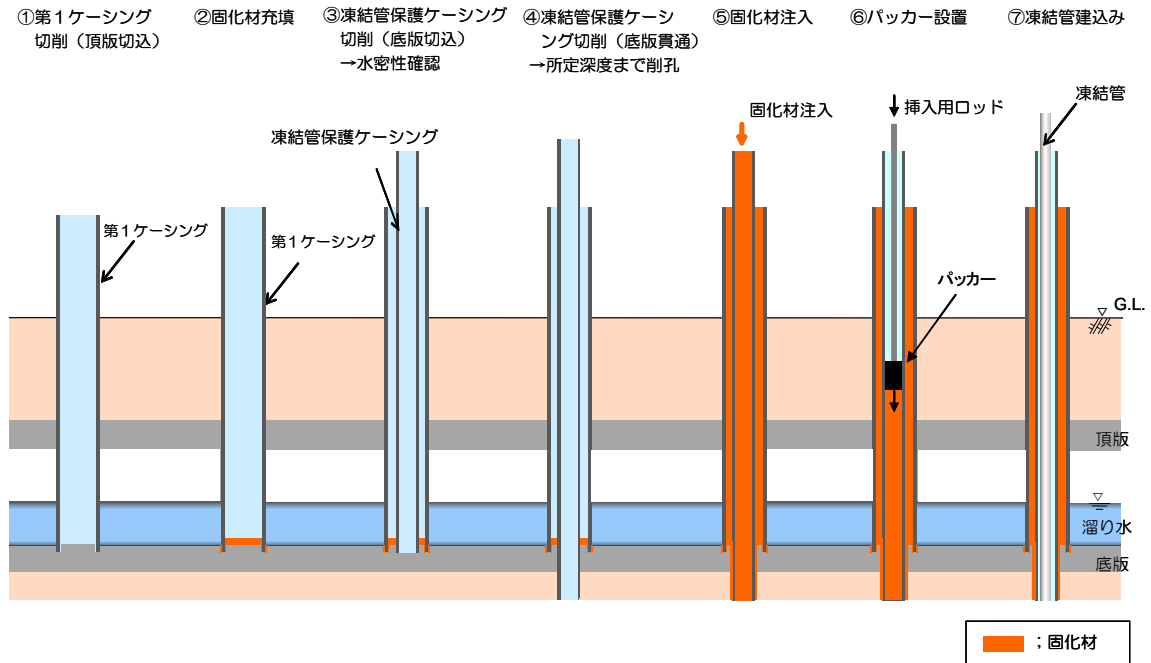


図10 頂版単純貫通・底版マルチステップ工法の施工手順

### 3.3.5 頂版単純貫通・底版単純貫通工法

埋設箇所の水密性確保を必要としない箇所については、通常のボーリング削孔を用いて埋設物の頂版および底版を削孔する。

### 3.3.6 施工後の貫通箇所の水密性確認

- 排水路を除く埋設物については、貫通施工前後に埋設物内の溜り水の水位を測定し、水位変化から貫通箇所の漏えい有無を確認する。

＜確認時期＞・施工前；順次実施

- ・施工後；各年実施する「福島原子力発電所 1～4号機トレンチ内滞留水の点検」に、貫通施工を対象とする埋設物を追加して確認

- ・排水路について、地下水位など埋設物ごとの周辺状況に応じた方法で、水密性を確認する。

＜確認時期＞ 貫通施工後～凍結開始前

(排水路内の流況を踏まえて確認時期を確定する)

- ・漏えいが確認された場合は、別途、変更申請を行う。

表1 施工後の排水路の貫通箇所における水密性の確認方法

| 設 備 |        | 確認方法                    | 備 考        |
|-----|--------|-------------------------|------------|
| 4-1 | K排水路①  | ・水張り試験による貫通箇所周辺の水密性確認   | ・地下水位<底版標高 |
| 5-3 | 大芋沢排水路 |                         | ・常時没水      |
| 7-3 | K排水路②  | ・排水路内部点検による貫通箇所の湧水の有無確認 | ・底版標高<地下水位 |



#### 4 凍結防止措置

凍土遮水壁を横断する埋設物のうち、埋設物内部の凍結を防止する必要がある箇所では、以下に示す方法等により対応する。

##### 4.1 凍結管外周部に断熱材を設置する方法

凍結管外周部に断熱材を設置し、埋設物内部の凍結を防止する。

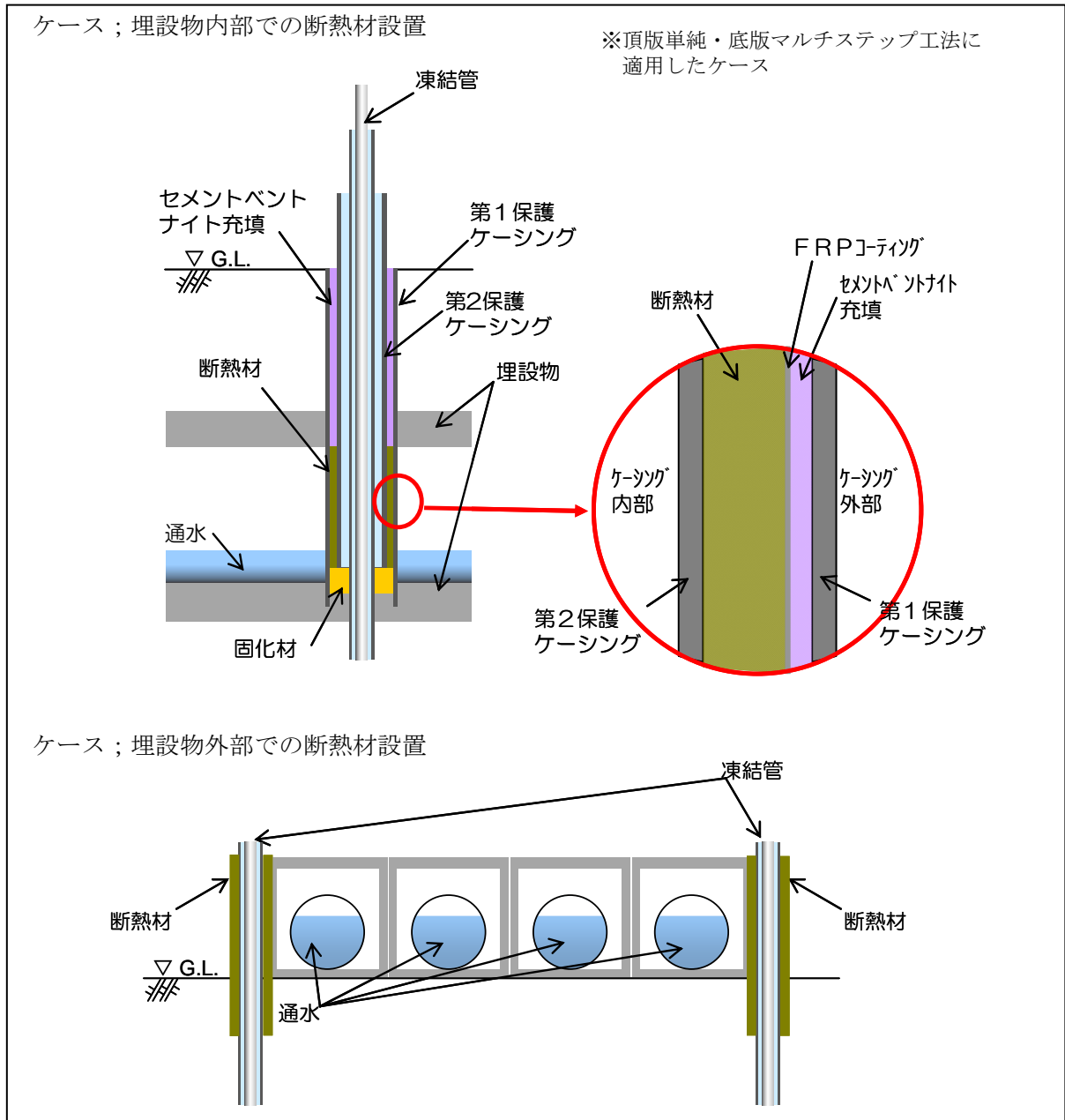


図 1 1 凍結管外周部への断熱材設置による凍結防止イメージ

#### 4.2 埋設物外周部に断熱材を設置する方法

埋設物外周部に断熱材を設置し，埋設物内側の凍結を防止する。

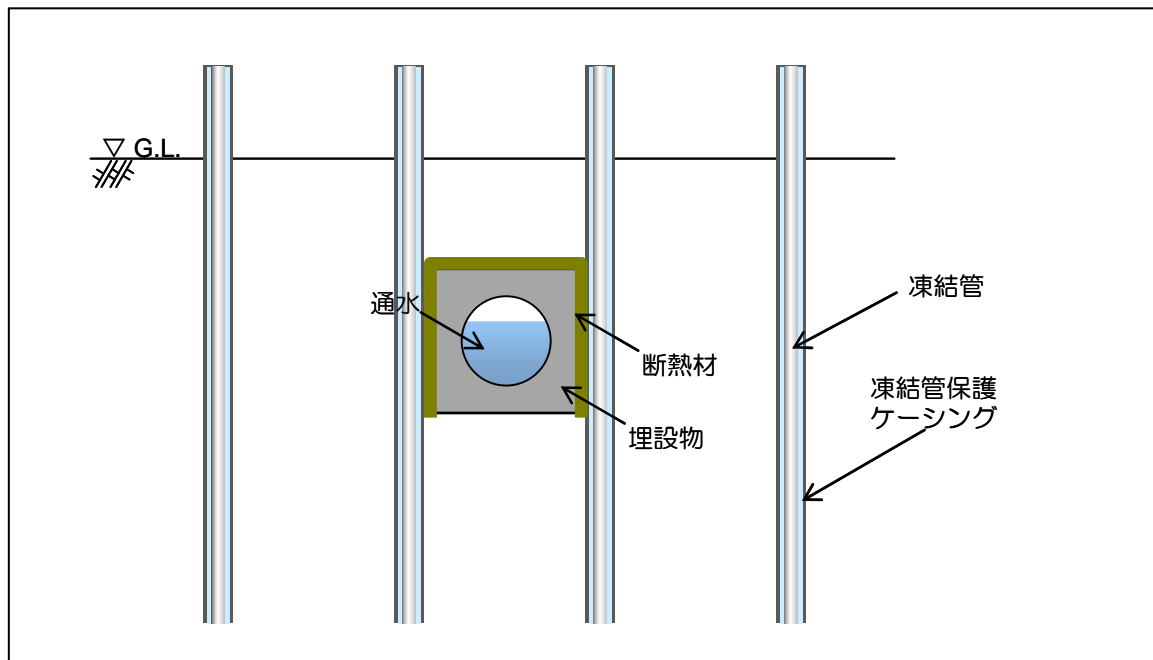


図 1 2 埋設物外周部への断熱材設置による凍結防止イメージ

5 山側ライン上の貫通施工・複列施工の対象箇所

山側ライン上の貫通施工・複列施工の対象箇所を図13, 表2に示す。また, それぞれ箇所での施工方法を図14に示す。

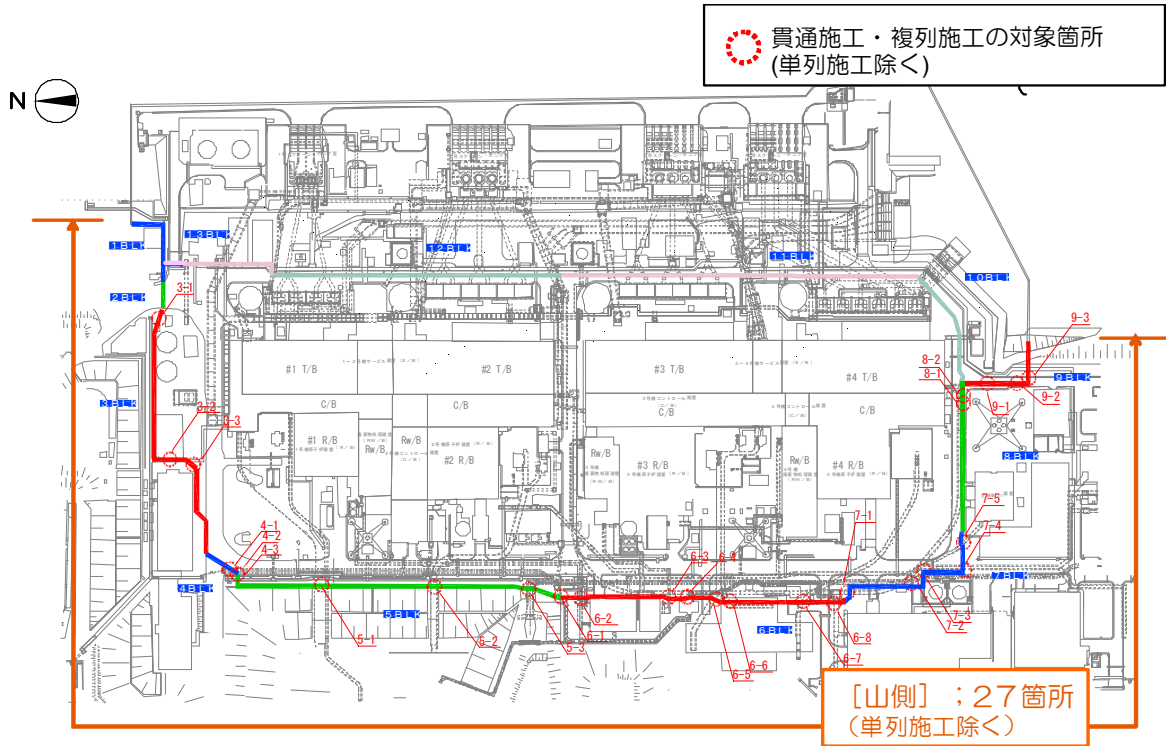


図13 貫通施工・複列施工の対象箇所

表2 貫通施工・複列施工の対象箇所

|      | 構造物名                   | 溜り水調査※5  |          | 貫通施工箇所での溜り水※5 |         | 調査時期                       | 施工パターン                  | 備考  |
|------|------------------------|----------|----------|---------------|---------|----------------------------|-------------------------|---|
|      |                        | 溜り水※4の有無 | 溜り水※1の区分 | 有無            | 自由水面・被圧 |                            |                         |   |
| 3BLK | 3-1 排水ヒューム管①           | —※2      | —        | —             | —       | —                          | 複列                      |   |
|      | 3-2 水処理建屋～1号機T/B連絡ダクト① | 有        | C        | —             | —       | H25.12                     | 複列                      |   |
|      | 3-3 水処理建屋～1号機T/B連絡ダクト② |          |          | —             | —       |                            | 複列                      |   |
| 4BLK | 4-1 K排水路①              | —※2      | —        | —             | —       | —                          | (頂版)単純<br>(底版)マルチステップ   |   |
|      | 4-2 ケーブルダクト            | 無        | —        | 無             | —       | H23.12<br>～H24.1           | (頂版)頂版撤去<br>(底版)単純      | 蓋がほぼ地上に位置している                                     |
|      | 4-3 発電所西側ケーブルダクト       | 無        | —        | 無             | —       | H23.12<br>～H24.1           | (頂版)頂版撤去<br>(底版)単純      | 蓋がほぼ地上に位置している                                     |
| 5BLK | 5-1 1号機電気ケーブルダクト       | 有        | C        | 無             | —       | H23.12<br>～H24.1<br>H25.12 | (頂版)単純<br>(底版)単純        | ・起動用変圧器洞道<br>・主要変圧器洞道<br>・予備電源ケーブル洞道<br>・コントロール洞道 |
|      | 5-2 2号機主変圧器ケーブルダクト     | 有        | C        | 無             | —       | H23.12<br>～H24.1           | (頂版)単純<br>(底版)単純        |   |
|      | 5-3 大芋沢排水路             | —※2      | —        | —             | —       | —                          | (頂版)単純<br>(底版)マルチステップ   |   |
| 6BLK | 6-1 2～3号機共用所内ボイラトレンチ   | 無        | —        | 無             | —       | H23.12<br>～H24.1           | (頂版)頂版撤去<br>(底版)単純      |   |
|      | 6-2 1号機活性炭ホールドアップダクト   | 有        | C        | 有             | 自由水面    | H23.12<br>～H24.1           | (頂版・中床版)単純<br>(底版)内部充填  |   |
|      | 6-3 3号機オフガス配管ダクト(北側)   | —        | —        | —             | —       | —                          | 複列                      |   |
|      | 6-4 1～4号機共用所内ボイラトレンチ   | 無        | —        | 無             | —       | H23.12<br>～H24.1           | (頂版)頂版撤去<br>(底版)単純      |   |
|      | 6-5 3号機主変圧器ケーブルダクト     | 有        | C        | 有             | 被圧      | H23.12<br>～H24.1           | (頂版)マルチステップ<br>(底版)内部充填 |   |
|      | 6-6 3号機起動用変圧器ケーブルダクト   | 有        | C        | 有             | 被圧      | H25.12                     | (頂版)マルチステップ<br>(底版)内部充填 |   |
|      | 6-7 4号機主変圧器ケーブルダクト     | 有        | C        | 有             | 被圧      | H23.12<br>～H24.1           | (頂版)マルチステップ<br>(底版)内部充填 |   |
|      | 6-8 2～4号機DG連絡ダクト①      | 有        | C        | 無             | —       | H25.12                     | (頂版)単純<br>(底版)単純        |   |
| 7BLK | 7-1 2～4号機DG連絡ダクト②      | 有        | C        | 有             | 被圧      | H24.12                     | (頂版)マルチステップ<br>(底版)内部充填 |   |
|      | H24.12                 |          |          |               |         | (頂版)マルチステップ<br>(底版)内部充填    |                         |   |
|      | 7-3 K排水路②              | —※2      | —        | —             | —       | —                          | (頂版)単純<br>(底版)マルチステップ   |   |
|      | 7-4 廃棄物系共通配管ダクト①       | 有        | C        | 有             | 自由水面    | H25.12                     | (頂版)頂版撤去<br>(底版)内部充填    |   |
|      | 7-5 廃棄物系共通配管ダクト②       | 無        | —        | 無             | 無       | H25.12                     | (頂版)単純<br>(底版)単純        |   |
| 8BLK | 8-1 滞留水移送管             | —※2      | —        | —             | —       | —                          | 複列                      |   |
|      | 8-2 排水ヒューム管②           | —※2      | —        | —             | —       | —                          | 複列                      |   |
| 9BLK | 9-1 排水ヒューム管③           | —※2      | —        | —             | —       | —                          | 複列                      |   |
|      | 9-2 配管ダクト              | —※3      | —        | 調査予定          | 調査予定    | —                          | (頂版)単純<br>(底版)内部充填      |   |
|      | 9-3 集中ラド側カルバート         | —※3      | —        | 調査予定          | 調査予定    | —                          | (頂版)単純<br>(底版)内部充填      |   |

※1 貫通施工に関する溜り水の区分(放射性物質濃度(Cs))

- A: 1.0 × 10<sup>6</sup>Bq/L以上
- B: 1.0 × 10<sup>4</sup>Bq/L以上～1.0 × 10<sup>6</sup>Bq/L未満
- C: 1.0 × 10<sup>4</sup>Bq/L未満

今後の凍土遮水壁貫通施工に伴う調査により上記区分のA, Bに相当する溜り水が確認された場合は、溜り水の除去の計画を検討の上、実施する。

※2 排水設備および滞留水移送管

排水設備については雨水や地表水が流れる構造である。

※3 調査予定

「配管ダクト」「集中ラド側カルバート」については地表面に近いことから、貫通施工前に試験孔により溜り水の有無を確認する(図14-26, 27参照)。溜り水の有無・放射性物質濃度を確認した後に底版の貫通方法を決定する。

溜り水が無い場合には底版を「単純貫通」し、有る場合には工事を中止し、別途、変更申請を行う。

ただし、測定の結果、明らかに雨水由来あるいは地下水由来の水と推定される場合には報告する。

※4 上表で溜り水「無」の埋設構造物内に、貫通施工前の調査によって溜り水を有することが確認された場合には工事を中止し、別途、変更申請を行う。ただし、測定の結果、明らかに雨水由来あるいは地下水由来の水と推定される場合には報告する。

※5 貫通施工を行う埋設構造物の貫通施工中に埋設構造物内の溜り水の水位が大きく変動した場合など、溜り水の漏えいを防止する観点で、上表の施工パターンを変更する必要が生じた場合には直ちに工事を中止し、別途変更申請を行う。

6 貫通施工箇所に溜り水を有する埋設物からの溜り水漏えいについて

貫通施工箇所に溜り水を有する埋設物に対して貫通施工を行う下記の7箇所については、溜り水水位と地下水位の関係で2種類の貫通施工方法を選択する。

建屋のひび割れ部において建屋内部の滞留水の水頭に対して外部の地下水の水頭が高い場合には、建屋外部から内部への移流が支配的となる。同様に、埋設物の貫通施工が完了した箇所において凍結前に万一水密性が損なわれた場合、埋設物内の溜り水の調査結果から、溜り水の水頭よりも構造物周辺地下水の水頭が高くなっていることから、地下水が埋設物内に流入する“移流”が支配的となり、埋設物から溜り水が漏えいすることはない。

表3 貫通施工箇所に溜り水を有する埋設物の貫通施工方法

| 対象貫通箇所  | 貫通施工方法 |
|---|--------|
| <ul style="list-style-type: none"> <li>・6-5 3号機主変圧器ケーブルダクト</li> <li>・6-6 3号機起動用変圧器ケーブルダクト</li> <li>・6-7 4号機主変圧器ケーブルダクト</li> <li>・7-1 2~4号機DG連絡ダクト②</li> <li>・7-2 2~4号機DG連絡ダクト③</li> </ul> <div style="border: 1px solid black; padding: 5px; margin-top: 10px;">                     以下の施工方法により溜り水の漏えいを防止<br/>                     頂版：マルチステップ工法<br/>                     底版：内部充填工法                 </div> |        |
| <ul style="list-style-type: none"> <li>・6-2 1号機活性炭ホールドアップダクト</li> <li>・7-4 廃棄物系共通配管ダクト①</li> </ul> <div style="border: 1px solid black; padding: 5px; margin-top: 10px;">                     以下の施工方法により溜り水の漏えいを防止<br/>                     頂版：単純貫通工法または頂版撤去<br/>                     底版：内部充填工法                 </div>  |        |

表4 貫通施工箇所溜り水を有する埋設物の溜り水水位と地下水位

| 対象貫通箇所               | 貫通施工方法                     | 溜り水水位（測定時期）                | 地下水位*（測定時期）                               |
|----------------------|----------------------------|----------------------------|---|
| 6-2 1号機活性炭ホールドアップダクト | 頂版・中床版<br>：単純貫通<br>底版：内部充填 | O. P. +6.40m<br>(平成24年1月)  | O. P. +6.6m<br>(地下水位観測孔B孔<br>平成24年12月20日) |
| 6-5 3号機主変圧器ケーブルダクト   | 頂版：マルチステップ<br>底版：内部充填      | O. P. +6.60m<br>(平成24年1月)  | O. P. +7.9m<br>(サブドレンNo.45<br>平成24年4月18日) |
| 6-6 3号機起動用変圧器ケーブルダクト |                            | O. P. +7.72m<br>(平成25年12月) |   |
| 6-7 4号機主変圧器ケーブルダクト   |                            | O. P. +7.25m<br>(平成24年1月)  |   |
| 7-1 2～4号機DG連絡ダクト②    |                            | O. P. +6.13m<br>(平成24年12月) |   |
| 7-2 2～4号機DG連絡ダクト③    |                            |                            |   |
| 7-4 廃棄物系共通配管ダクト①     | 頂版：頂版撤去<br>底版：内部充填         | O. P. +7.18m<br>(平成25年12月) |   |

※：地下水位については貫通箇所近傍のサブドレン・地下水位観測孔の震災後の観測値（既往最低）より保守的に推定した。

#### 6.1 施工時の確認事項

上記の7箇所のうち2～4号機DG連絡ダクトを除く5箇所については、貫通施工を開始する前に、過去1年程度以内の測定結果を用いて当該埋設物の「溜り水水位 ≤ 地下水位」の確認、および、放射性物質濃度（Cs）が至近の測定データに対して有意に上昇していないこと（桁数オーダーで上昇していないこと）を確認した上で、当該箇所の貫通施工を実施する。なお、頂版の貫通施工後にも当該埋設物内の溜り水の水位計測を行い「溜り水水位 ≤ 地下水位」の確認を行った上で、その後の施工を実施する。

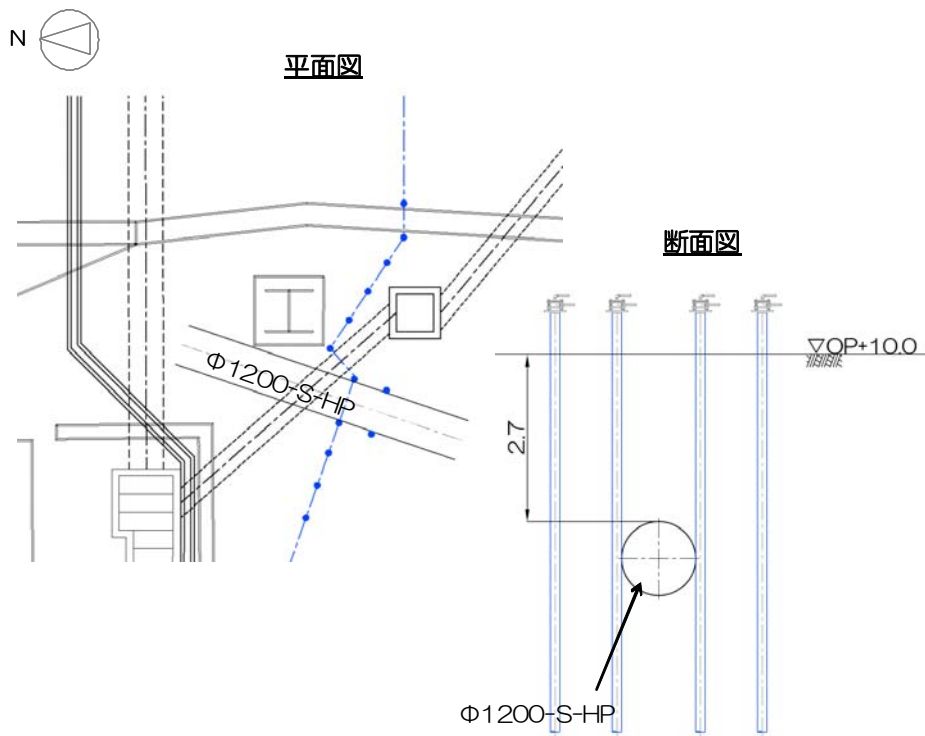
2～4号機DG連絡ダクトについては、自由水面を持つ箇所にはアクセス出来ないことから、マルチステップにて頂版貫通を行った後に、水位および水質を計測し当該埋設物の「溜り水水位 ≤ 地下水位」の確認、および、放射性物質濃度（Cs）が至近の測定データに対して有意に上昇していないこと（桁数オーダーで上昇していないこと）を確認する。

上記条件を逸脱する計測・調査結果が得られた場合には別途変更申請を行う。

また、上記7箇所以外の埋設物貫通箇所については、貫通施工前に溜り水の有無を調査し、

溜り水を有することが確認された場合には工事を中止し、別途、変更申請を行う。ただし、測定の結果、明らかに雨水由来あるいは地下水由来の水と推定される場合については報告する。

また、貫通施工を行う埋設物の貫通施工中に埋設物内の溜り水の水位が大きく変動した場合など、溜り水の漏えいを防止する観点で、表2記載の施工パターンを変更する必要がある場合には直ちに工事を中止し、別途変更申請を行う。



**<埋設物情報>**  
 位置：山側 3BLK  
 形状：円形  
 寸法：幅1.2m  
 標高：OP+7.3m  
 溜り水：－  
 内部施設：雨水排水

**<施工パターン>**  
 複列

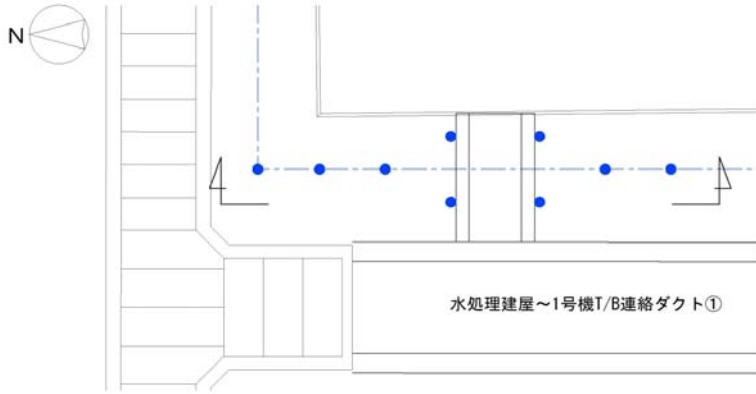
ケーシング凡例  
 凍結管保護ケーシング

※ 地下水位及びヒューム管内部状況を確認し、必要に応じて凍結防止対策を実施する。

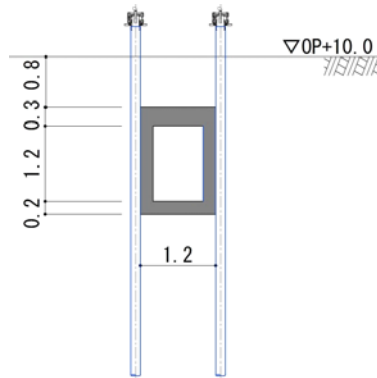
図14-1 【3-1】排水ヒューム管① 施工方法（複列施工）



### 平面図



### 断面図



写真(震災後)

#### <埋設物情報>

位置：山側 3BLK  
 形状：矩形  
 寸法：幅1.2m  
 標高：OP+9.2m  
 溜り水：有  
 ・Cs-134： $1.4 \times 10^2$ Bq/L  
 ・Cs-137： $3.2 \times 10^2$ Bq/L  
 (H25.12測定)  
 内部施設：電気ケーブル

#### <施工パターン>

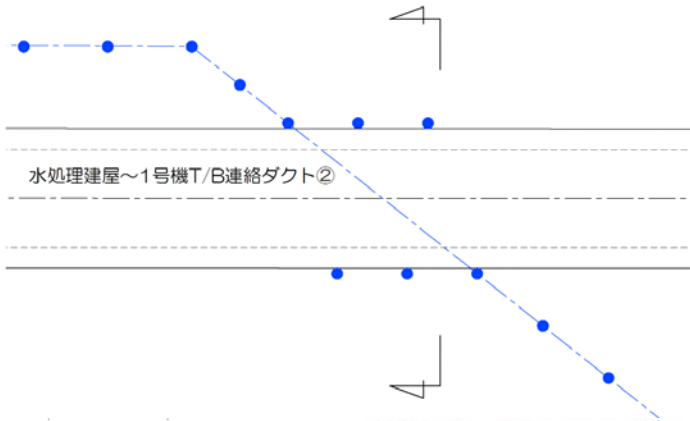
複列

#### ケーシング凡例

凍結管保護ケーシング

図14-2 【3-2】水処理建屋～1号機 T/B 連絡ダクト① 施工方法（複列施工）

平面図



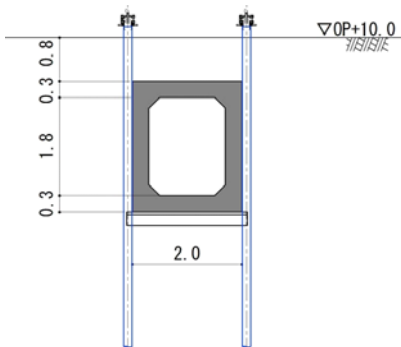
<埋設物情報>

位置：山側 3BLK  
 形状：矩形  
 寸法：幅2.0m  
 標高：OP+9.2m  
 溜り水：有  
 ・Cs-134： $1.4 \times 10^2 \text{Bq/L}$   
 ・Cs-137： $3.2 \times 10^2 \text{Bq/L}$   
 (H25.12測定)  
 内部施設：電気ケーブル

<施工パターン>

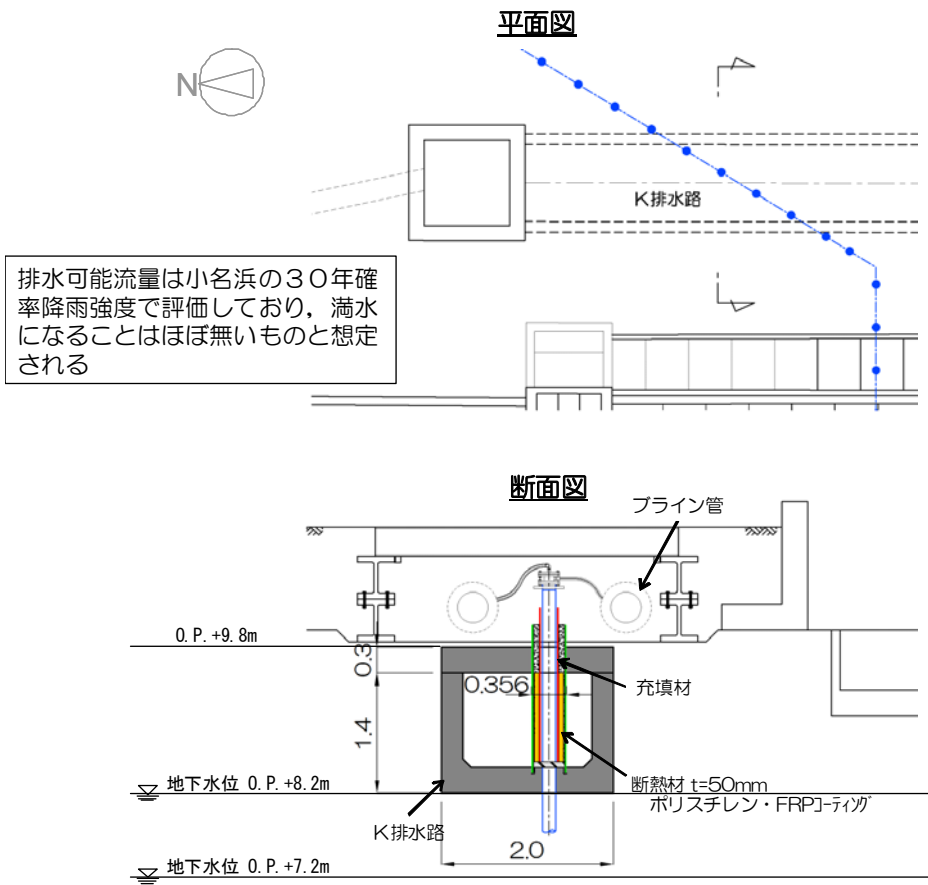
複列

ケーシング凡例  
 — 凍結管保護ケーシング



写真(震災後)

図14-3 【3-3】水処理建屋～1号機 T/B 連絡ダクト② 施工方法（複列施工）



**<埋設物情報>**  
 位置：山側 4BLK  
 形状：矩形  
 寸法：幅2.0m  
 標高：OP+9.8m  
 溜り水：－  
 内部施設：雨水排水

**<施工パターン>**  
 【頂版】単純  
 【底板】マルチステップ

・排水路内部は凍結管に断熱材取付け（排水流量は確保）

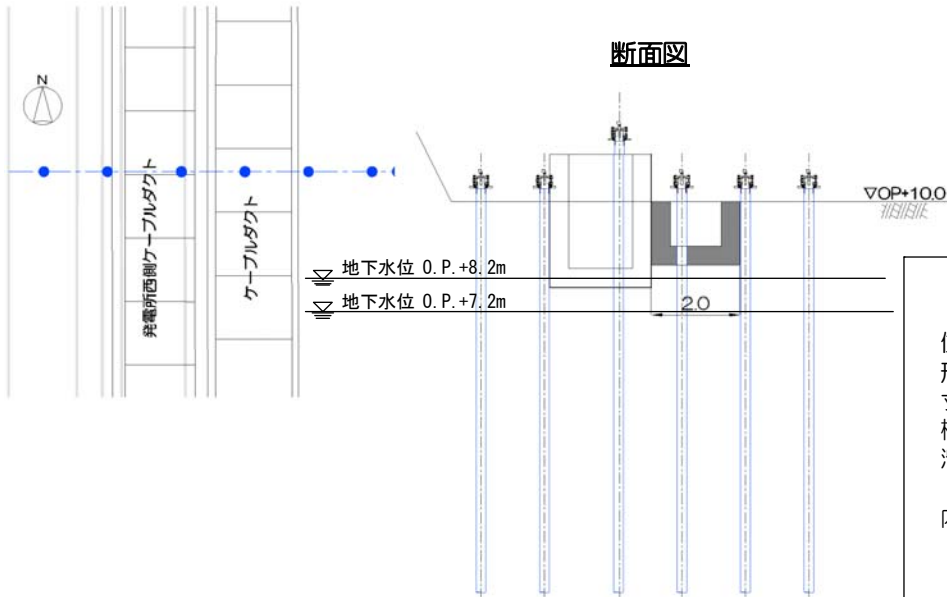
ケーシング凡例  
 第1保護ケーシング (断熱材保護用)  
 第2保護ケーシング  
 凍結管保護ケーシング

A孔の地下水位観測値  
 ・最大値；O.P.+8.2m (H25.10.22)  
 ・最小値；O.P.+7.2m (H25.3.27)

貫通施工完了後に補助工法（水中不分離コンクリート等）を用いて第1保護ケーシングと構造物境界面の止水を行う。

図 1 4 - 4 【 4 - 1 】 K排水路① 施工方法（貫通施工）

**平面図**



**<埋設物情報>**

位置：山側 4BLK  
 形状：矩形  
 寸法：幅2.0m  
 標高：OP+10.0m  
 溜り水：無  
 （貫通施工前に調査）  
 内部施設：電気ケーブル

**<施工パターン>**

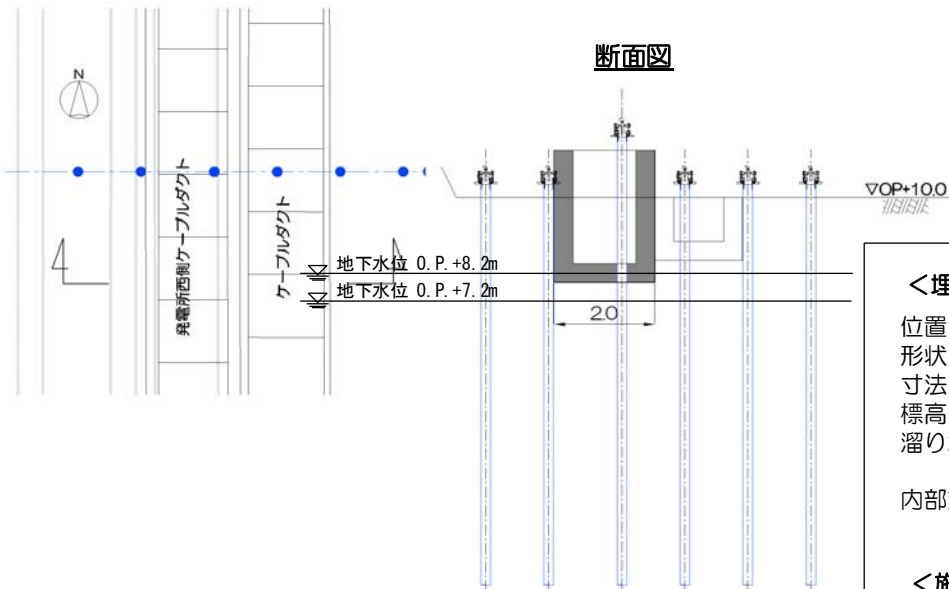
【頂版】頂版撤去  
 【底板】単純貫通

A孔の地下水位観測値  
 ・最大値；O.P.+8.2m (H25.10.22)  
 ・最小値；O.P.+7.2m (H25.3.27)

ケーシング凡例  
 — 凍結管保護ケーシング

図14-5 【4-2】 ケーブルダクト 施工方法（貫通施工）

**平面図**



**<埋設物情報>**

位置：山側 4BLK  
 形状：矩形  
 寸法：幅2.0m  
 標高：OP+10.5m  
 溜り水：無  
 （貫通施工前に調査）  
 内部施設：電気ケーブル

**<施工パターン>**

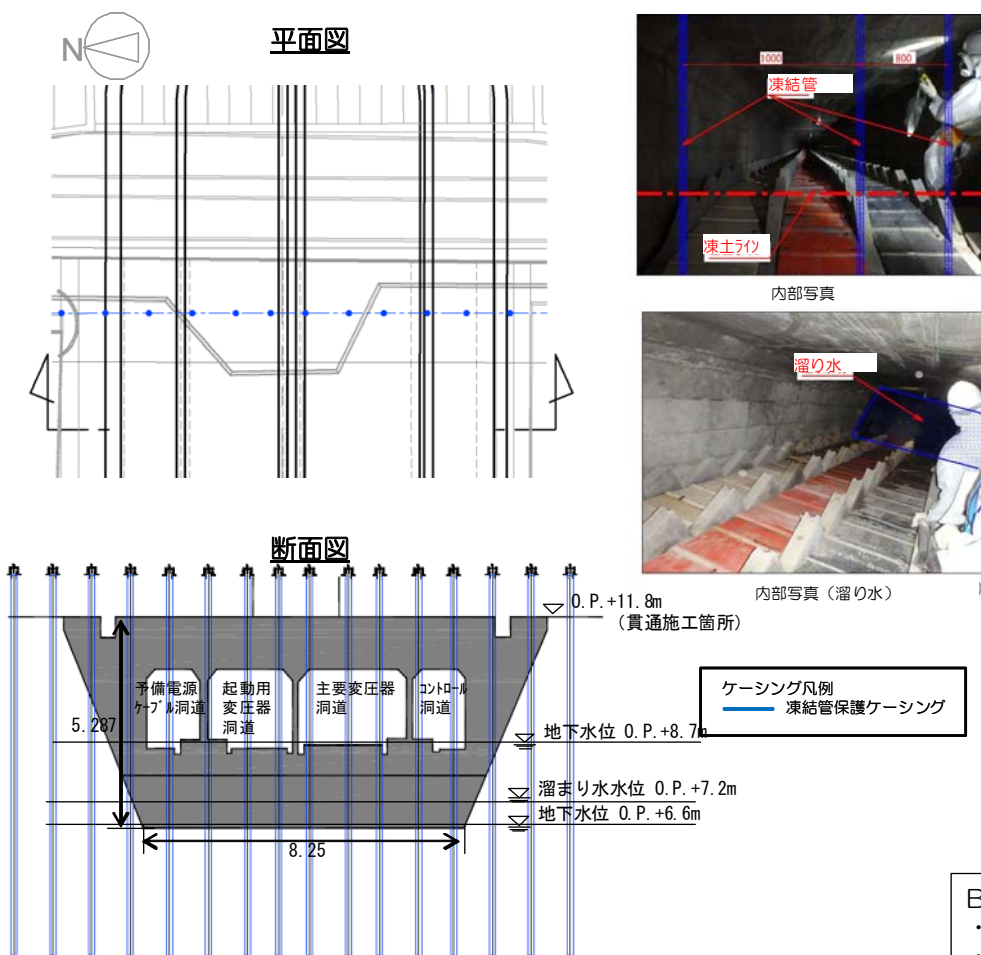
【頂版】頂版撤去  
 【底板】単純貫通

**A孔の地下水位観測値**

- ・最大値；O.P.+8.2m (H25.10.22)
- ・最小値；O.P.+7.2m (H25.3.27)

ケーシング凡例  
 — 凍結管保護ケーシング

図 1 4 - 6 【 4 - 3 】 発電所西側ケーブルダクト 施工方法（貫通施工）



**<埋設物情報>**  
 位置：山側 5BLK  
 形状：矩形  
 寸法：幅8.3m  
 標高：OP+11.8m  
 溜り水：有（貫通箇所：無）  
 （貫通施工前に水位を調査）

（予備電源ケーブル洞道）\*1  
 ・Cs-134： $6.4 \times 10^1$ Bq/L  
 ・Cs-137： $2.4 \times 10^2$ Bq/L  
 （起動用変圧器洞道）\*2  
 ・Cs-134： $2.2 \times 10^3$ Bq/L  
 ・Cs-137： $3.0 \times 10^3$ Bq/L  
 （主要変圧器洞道）\*2  
 ・Cs-134： $1.5 \times 10^3$ Bq/L  
 ・Cs-137： $2.3 \times 10^3$ Bq/L  
 （コントロール洞道）\*1  
 ・Cs-134： $1.7 \times 10^2$ Bq/L  
 ・Cs-137： $4.1 \times 10^2$ Bq/L  
 （\*1；H25.12測定）  
 （\*2；H23.12～H24.1測定）

内部施設：電気ケーブル  
 （OFケーブル）

**<施工パターン>**  
 【頂版】単純  
 【底板】単純

B孔の地下水位観測値  
 ・最大値；O.P.+8.7m（H25.10.26）  
 ・最小値；O.P.+6.6m（H24.12.20他）

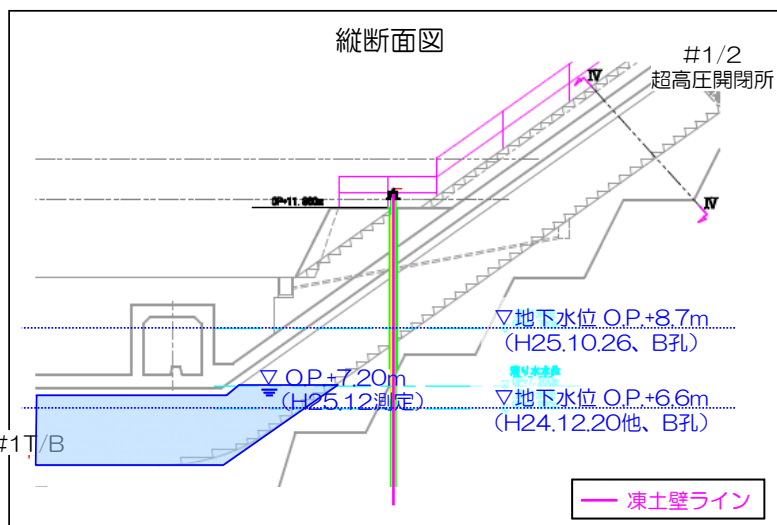
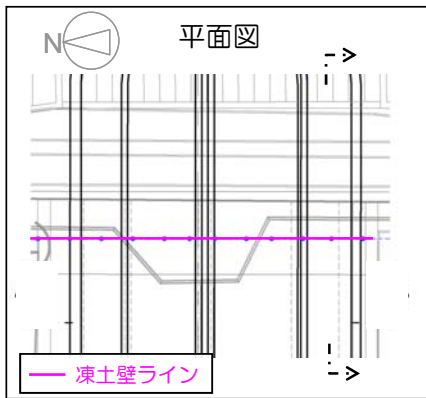


図14-7 【5-1】1号機電気ケーブルダクト 施工方法（貫通施工）

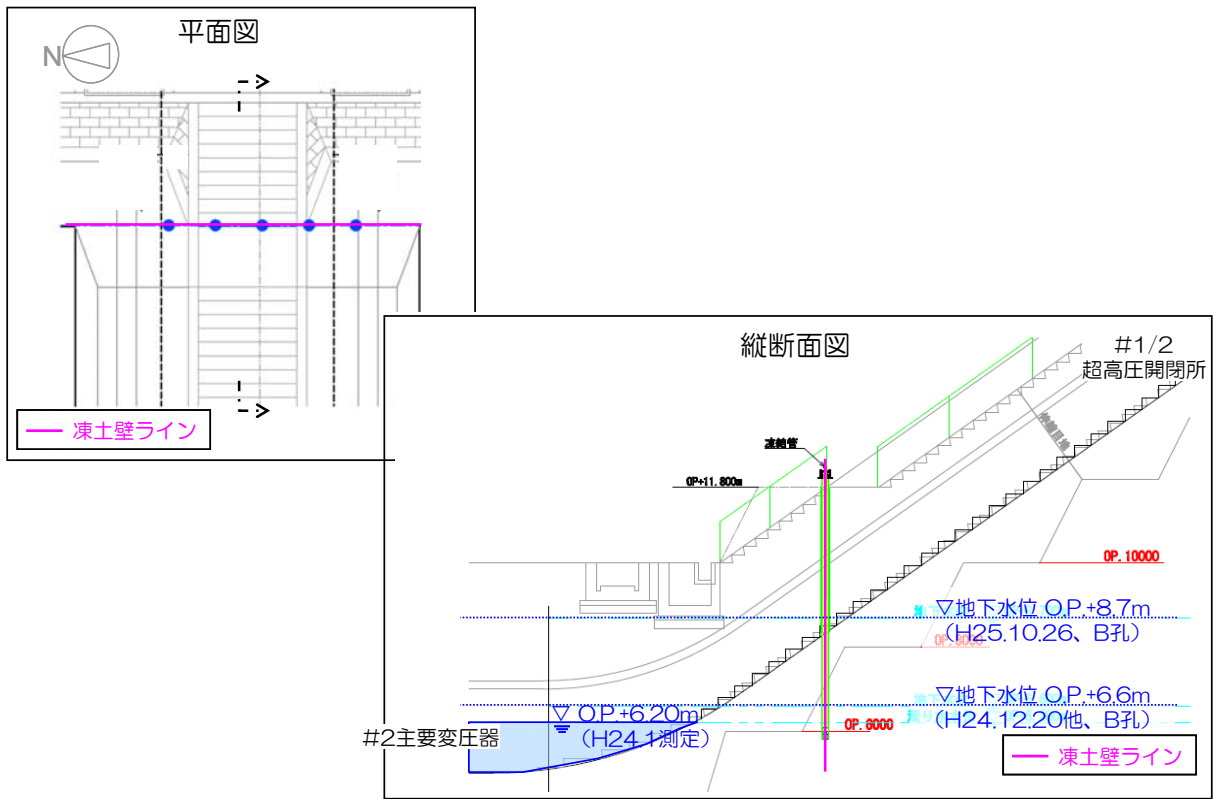
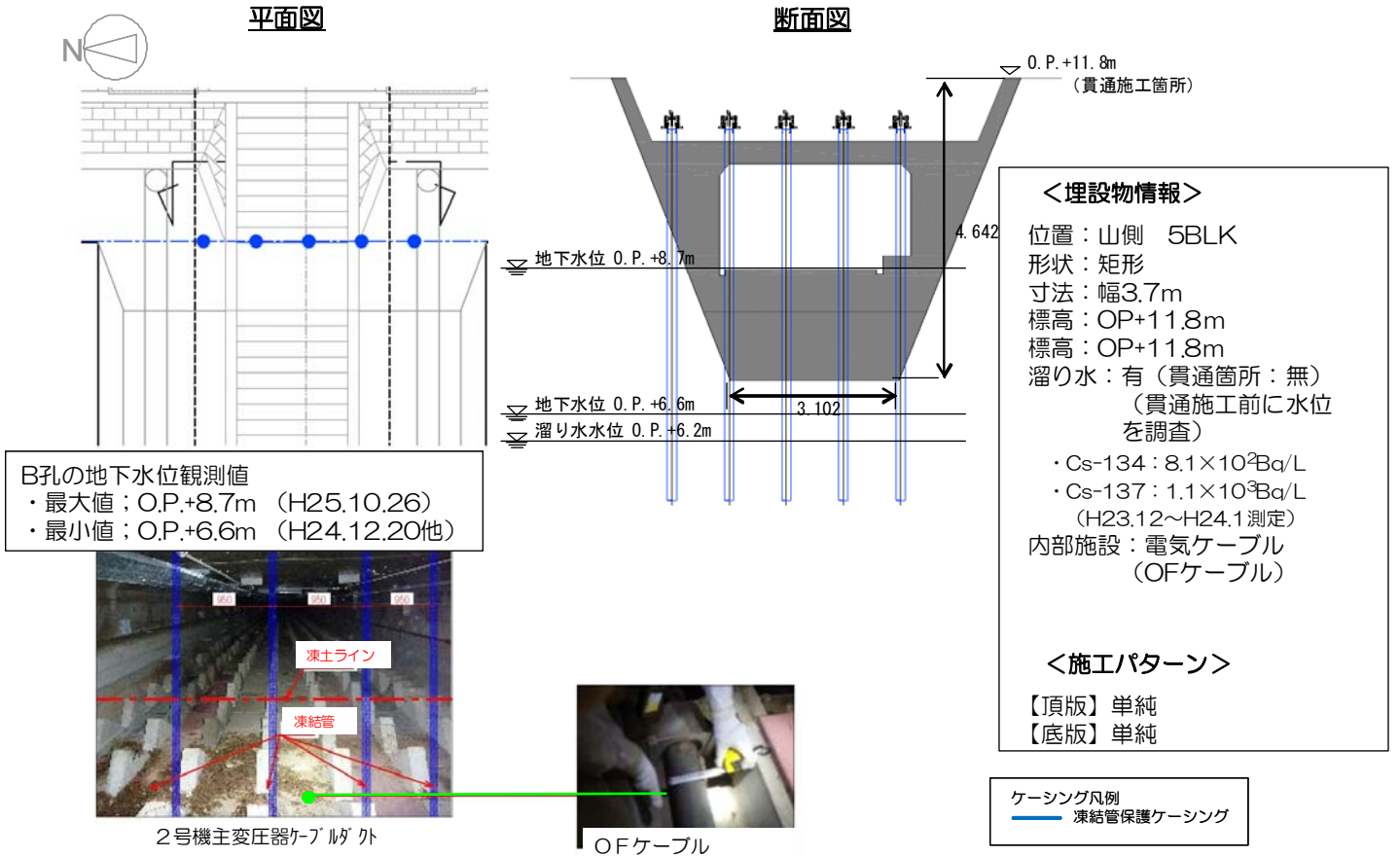
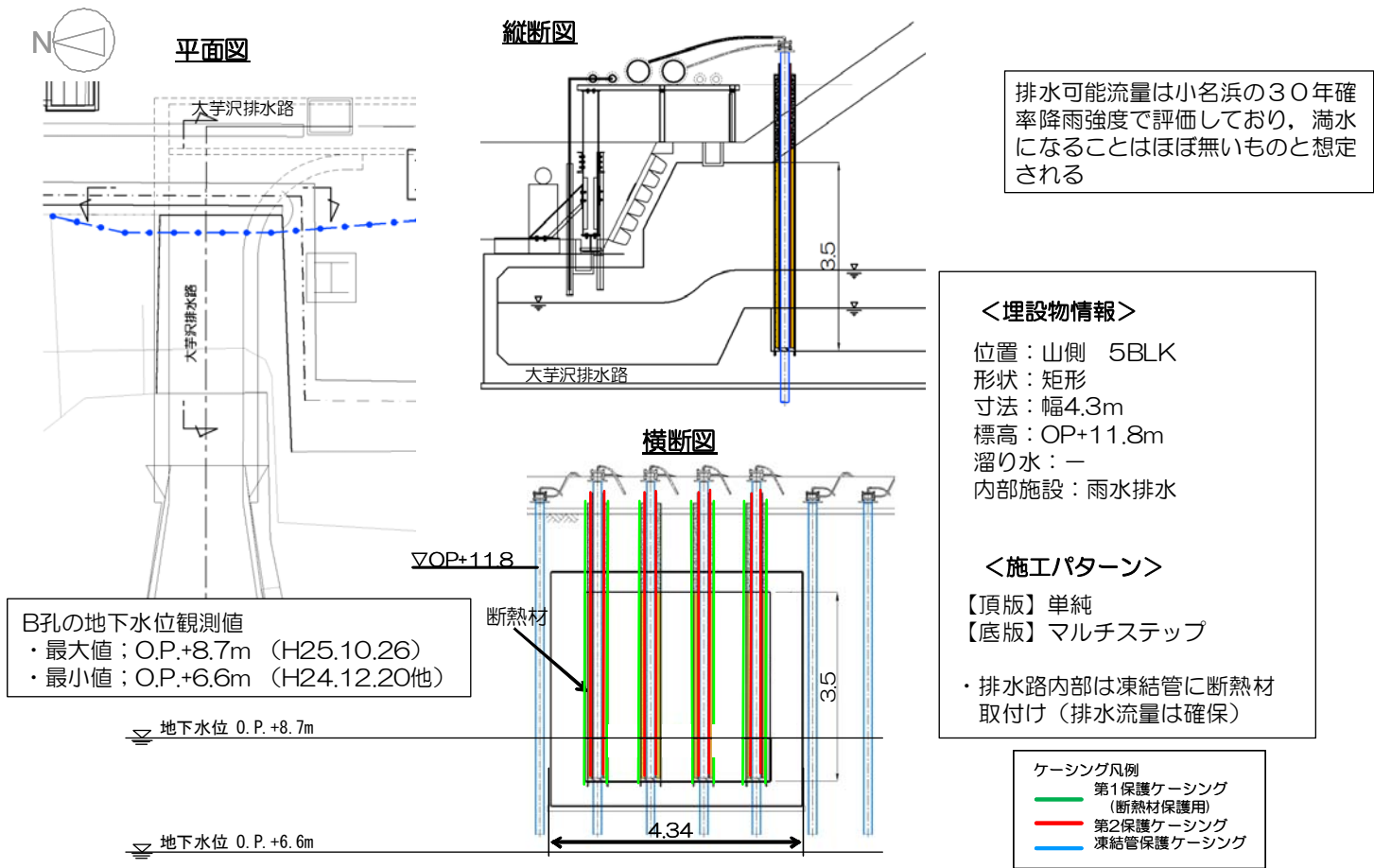


図14-8 【5-2】2号機主変圧器ケーブルダクト 施工方法（貫通施工）



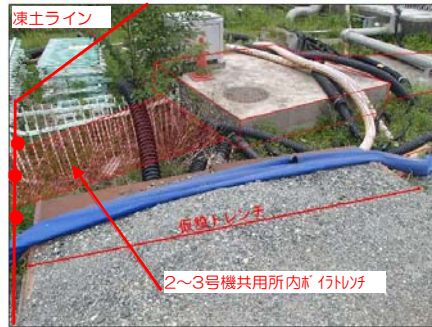
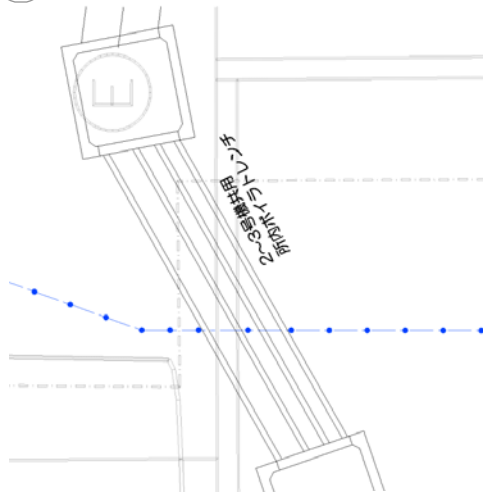
貫通施工完了後に補助工法（水中不分離コンクリート等）を用いて第1保護ケーシングと構造物境界面の止水を行う。

図14-9 【5-3】大芋沢排水路 施工方法（貫通施工）



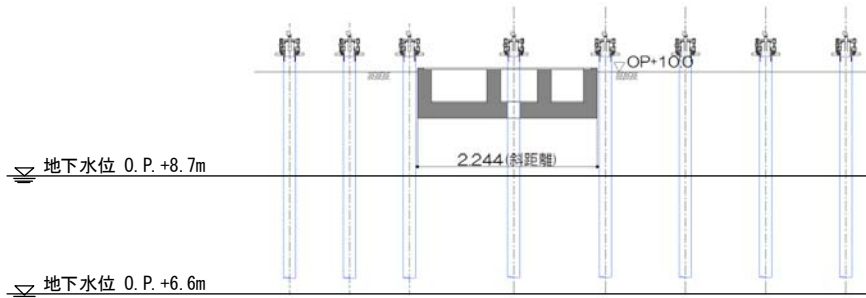


### 平面図



周辺写真

### 断面図



#### <埋設物情報>

位置：山側 6BLK  
 形状：矩形  
 寸法：幅1.95m  
 標高：OP+10.0m  
 溜り水：無（貫通施工前に調査）  
 内部施設：電気ケーブル

#### <施工パターン>

【頂版】頂版撤去  
 【底版】単純貫通

ケーシング凡例  
 凍結管保護ケーシング

B孔の地下水位観測値  
 ・最大値；O.P.+8.7m (H25.10.26)  
 ・最小値；O.P.+6.6m (H24.12.20他)

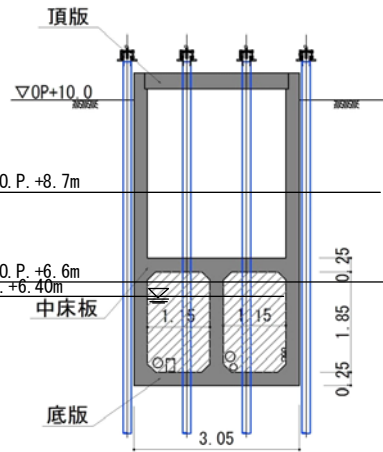
図 1 4 - 1 0 【 6 - 1 】 2~3 号機共用所内ボイラートレンチ 施工方法（貫通施工）



平面図



断面図

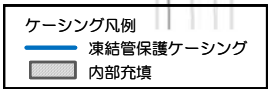


<埋設物情報>

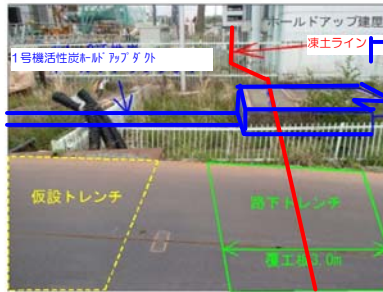
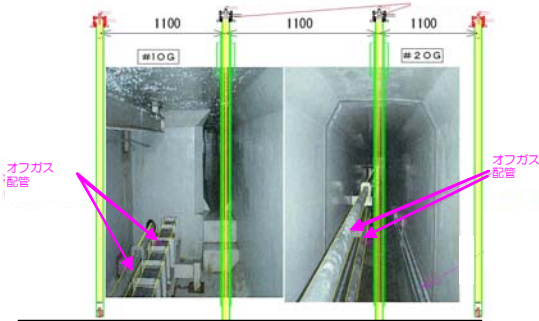
位置：山側 6BLK  
形状：矩形  
寸法：幅3.05m  
標高：OP+10.0m以上  
溜り水：有  
(貫通施工前に調査)  
・Cs-134：1.6×10<sup>2</sup>Bq/L  
・Cs-137：2.7×10<sup>2</sup>Bq/L  
(H23.12~H24.1測定)  
内部施設：電気ケーブル  
オフガス配管

<施工パターン>

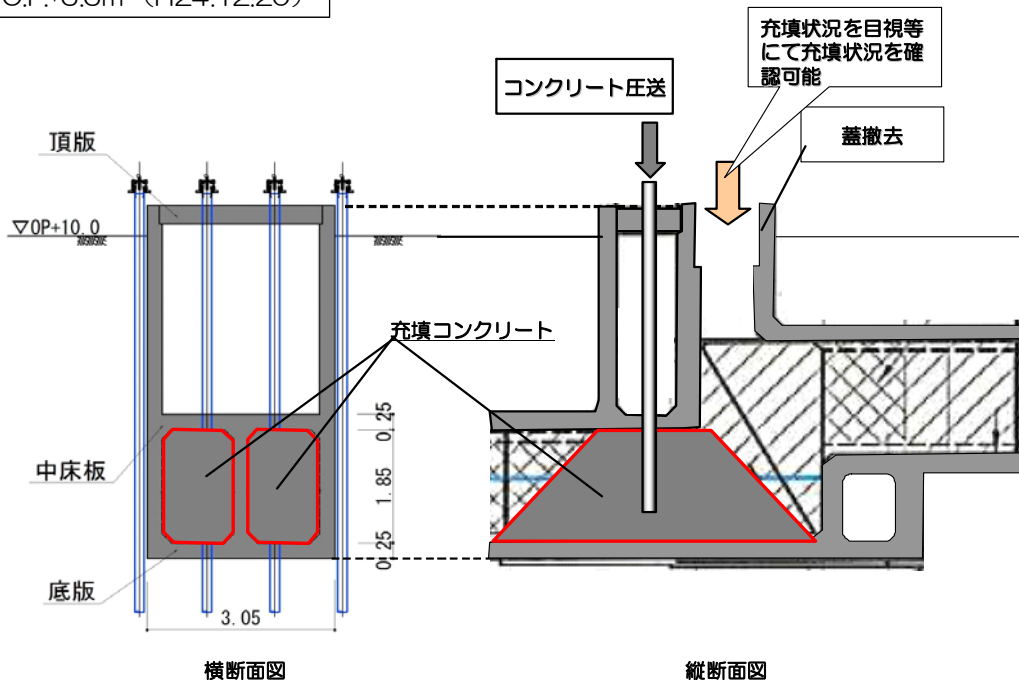
【頂版】 単純貫通  
【中床板】 単純貫通  
(またはマルチステップ)  
【底板】 内部充填



内部写真



B孔の地下水位観測値  
・最大値：O.P.+8.7m (H25.10.26)  
・最小値：O.P.+6.6m (H24.12.20)



※ 1号機活性炭ホールドアップダクトの下部構造充填コンクリートの打設時には、直ぐ横が立坑構造となっているため、蓋を外して直接目視にて充填状況を確認する。

図14-11 【6-2】1号機活性炭ホールドアップダクト 施工方法 (貫通施工)

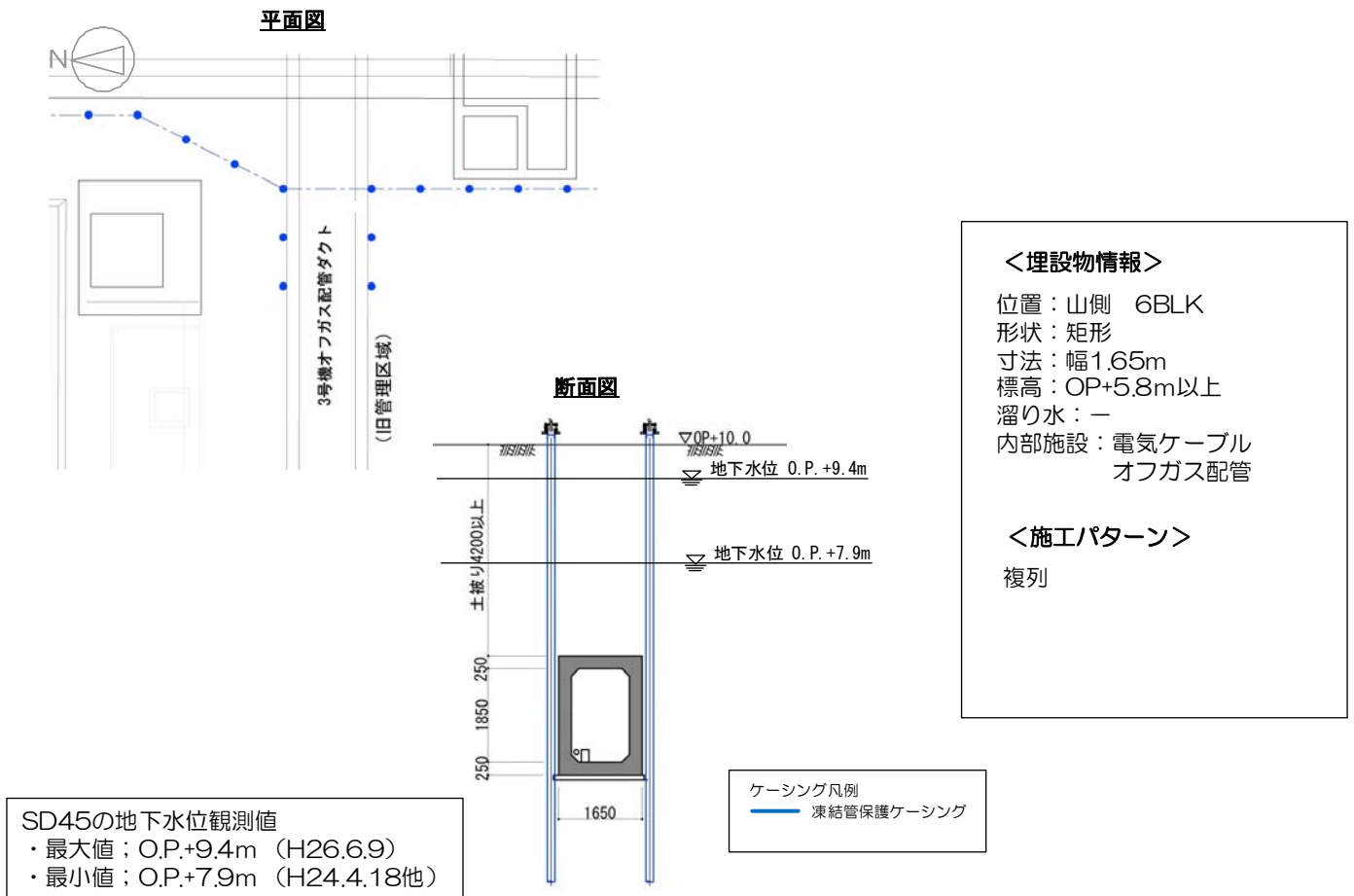
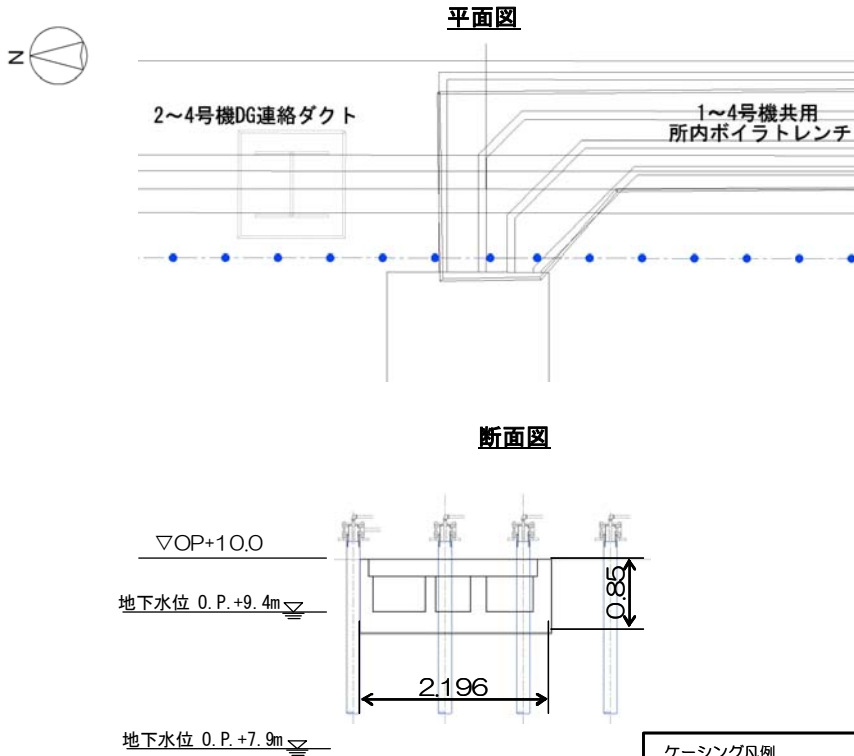


図14-12 【6-3】3号機オフガス配管ダクト（北側） 施工方法（複列施工）



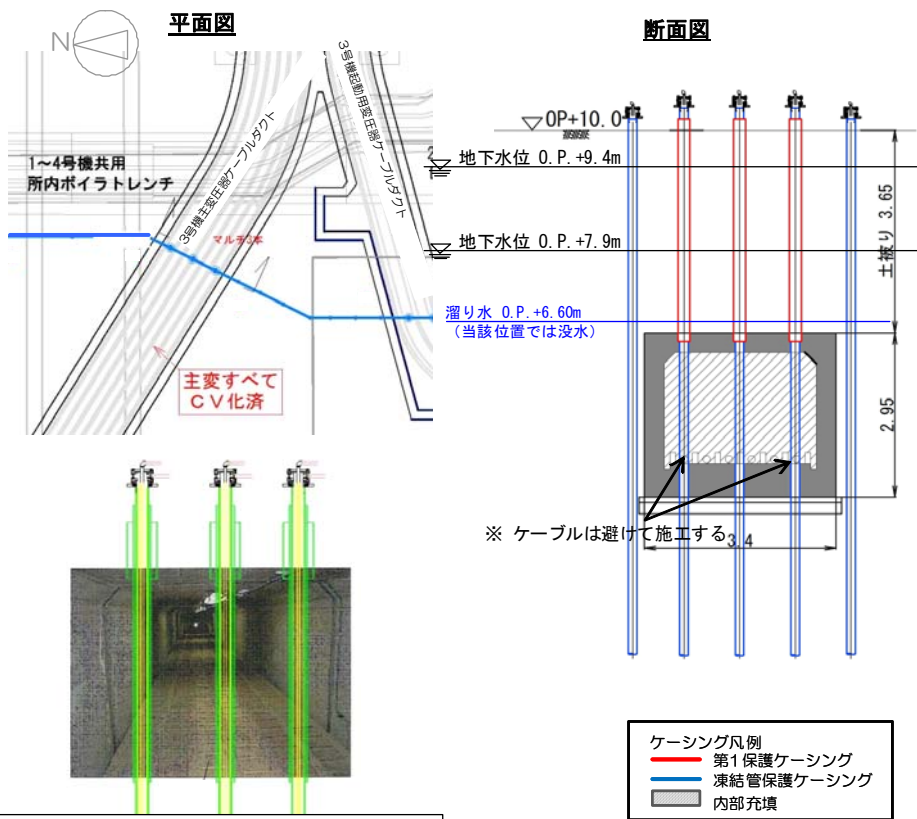
**<埋設物情報>**  
 位置：山側 6BLK  
 形状：矩形  
 寸法：外幅2.2m  
 標高：OP+10.0m  
 溜り水：無（施工前に調査）  
 内部施設：CVケーブル

**<施工パターン>**  
 【頂版】頂版撤去  
 【底版】単純貫通

ケーシング凡例  
 凍結管保護ケーシング

SD45の地下水位観測値  
 ・最大値：O.P.+9.4m (H26.6.9)  
 ・最小値：O.P.+7.9m (H24.4.18他)

図 1 4 - 1 3 【 6 - 4 】 1 ~ 4 号機共用所内ボイラトレンチ 施工方法（貫通施工）

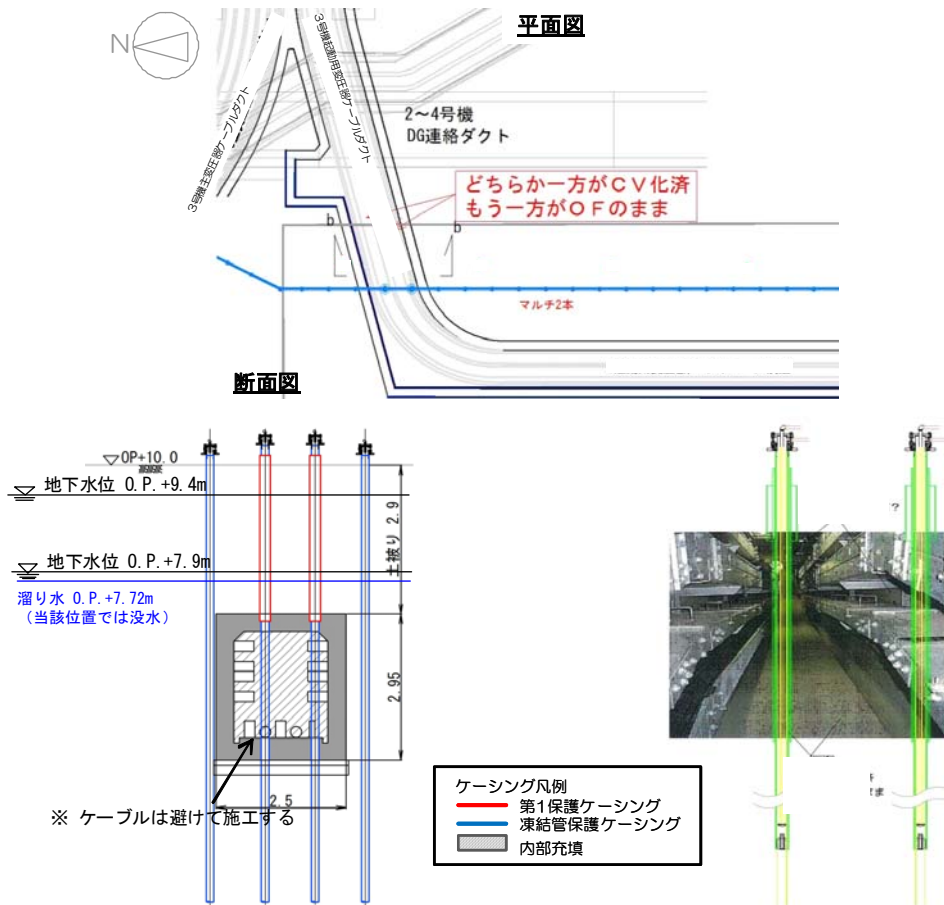


SD45の地下水位観測値  
 ・最大値；O.P.+9.4m (H26.6.9)  
 ・最小値；O.P.+7.9m (H24.4.18他)

**<埋設物情報>**  
 位置：山側 6BLK  
 形状：矩形  
 寸法：幅3.4m  
 標高：OP+6.35m (天端)  
 溜り水：有 (施工前に調査)  
 ・Cs-134： $1.4 \times 10^3$ Bq/L  
 ・Cs-137： $1.8 \times 10^3$ Bq/L  
 (H23.12~H24.1測定)  
 内部施設：電気ケーブル

**<施工パターン>**  
 【頂版】マルチステップ  
 【底板】内部充填

図 1 4 - 1 4 【 6 - 5 】 3 号機主変圧器ケーブルダクト 施工方法 (貫通施工)



**<埋設物情報>**  
 位置：山側 6BLK  
 形状：矩形  
 寸法：幅2.5m  
 標高：OP+7.1m（天端）  
 溜り水：有（貫通施工前に調査）  
 ・Cs-134： $3.0 \times 10^2 \text{Bq/L}$   
 ・Cs-137： $7.4 \times 10^2 \text{Bq/L}$   
 （H25.12測定）  
 内部施設：電気ケーブル  
 （CVケーブル・OFケーブル）

**<施工パターン>**  
 【頂版】マルチステップ  
 【底板】内部充填  
 （OFケーブルは貫通しない）

SD45の地下水位観測値  
 ・最大値；O.P.+9.4m（H26.6.9）  
 ・最小値；O.P.+7.9m（H24.4.18他）

図 1 4 - 1 5 【 6 - 6 】 3 号機起動用変圧器ケーブルダクト 施工方法（貫通施工）

<埋設物情報>

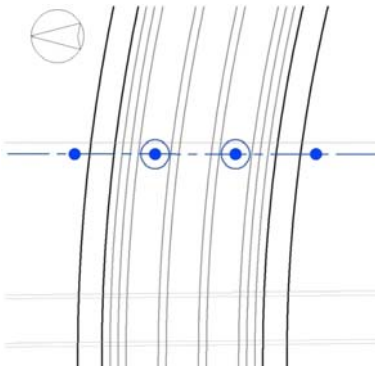
位置：山側 6BLK  
 形状：矩形  
 寸法：幅2.6m  
 標高：OP+6.4m  
 溜り水：有（貫通施工前に調査）  
 ・Cs-134：7.5×10<sup>2</sup>Bq/L  
 ・Cs-137：1.0×10<sup>3</sup>Bq/L  
 （H23.12～H24.1測定）  
 内部施設：電気ケーブル  
 （CVケーブル※）

<施工パターン>

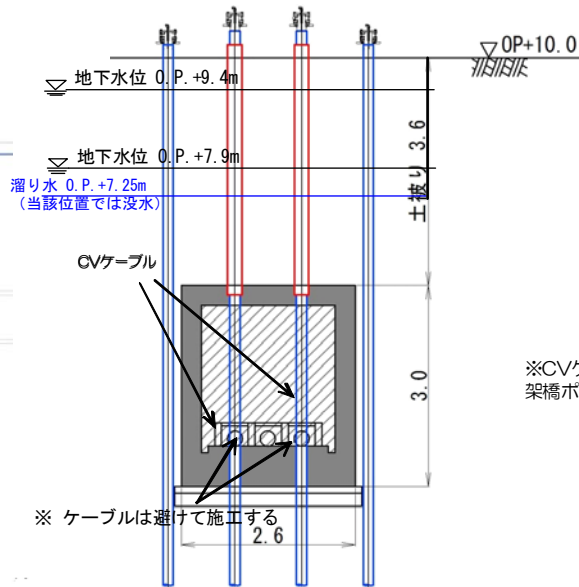
【頂版】マルチステップ  
 【底版】内部充填

※CVケーブル：  
 架橋ポリエチレン絶縁ビニルシースケーブル

平面図



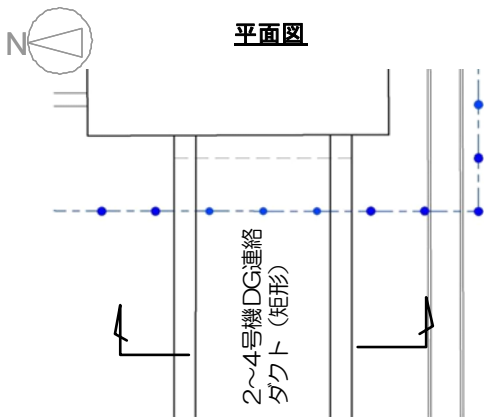
断面図



SD45の地下水位観測値  
 ・最大値；O.P.+9.4m (H26.6.9)  
 ・最小値；O.P.+7.9m (H24.4.18他)

ケーシング凡例  
 第1保護ケーシング  
 凍結管保護ケーシング  
 内部充填

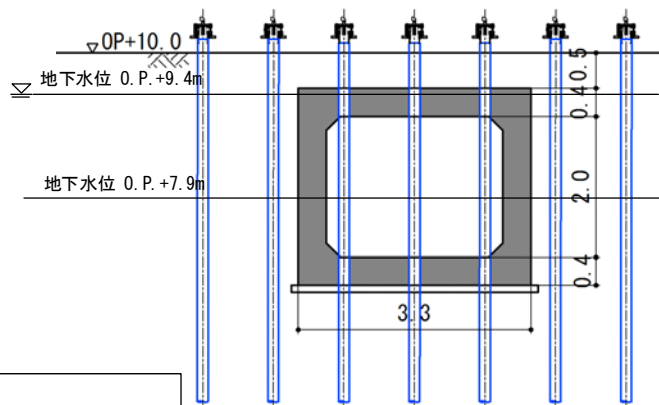
図14-16 【6-7】4号機主変圧器ケーブルダクト 施工方法（貫通施工）



平面図

2~4号機DG連絡ダクト(矩形)

断面図



<埋設物情報>

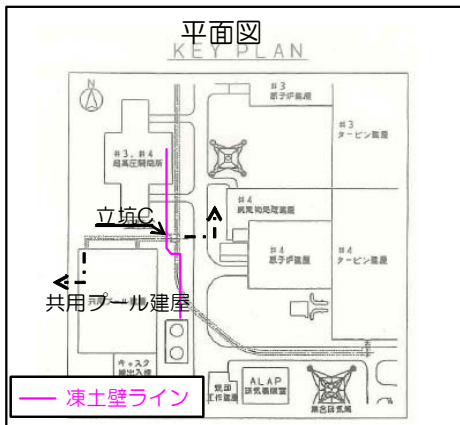
位置：山側 6BLK  
 形状：矩形  
 寸法：外幅3.3m  
 標高：OP+8.5m  
 溜り水：有（貫通箇所：無）  
 貫通施工前に調査  
 ・Cs-134： $1.5 \times 10^3 \text{Bq/L}$   
 ・Cs-137： $2.5 \times 10^3 \text{Bq/L}$   
 （H24.12測定）  
 内部施設：電気ケーブル  
 （CVケーブル）

<施工パターン>

【頂版】単純  
 【底版】単純

ケーシング凡例  
 凍結管保護ケーシング

SD45の地下水位観測値  
 ・最大値：O.P.+9.4m（H26.6.9）  
 ・最小値：O.P.+7.9m（H24.4.18他）

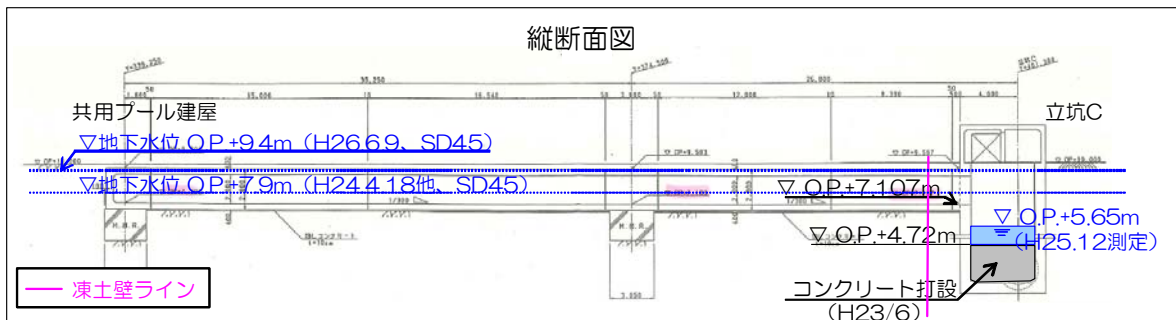


平面図

KEY PLAN

凍土壁ライン

縦断面図



凍土壁ライン

図14-17 【6-8】2~4号機DG連絡ダクト①施工方法（貫通施工）



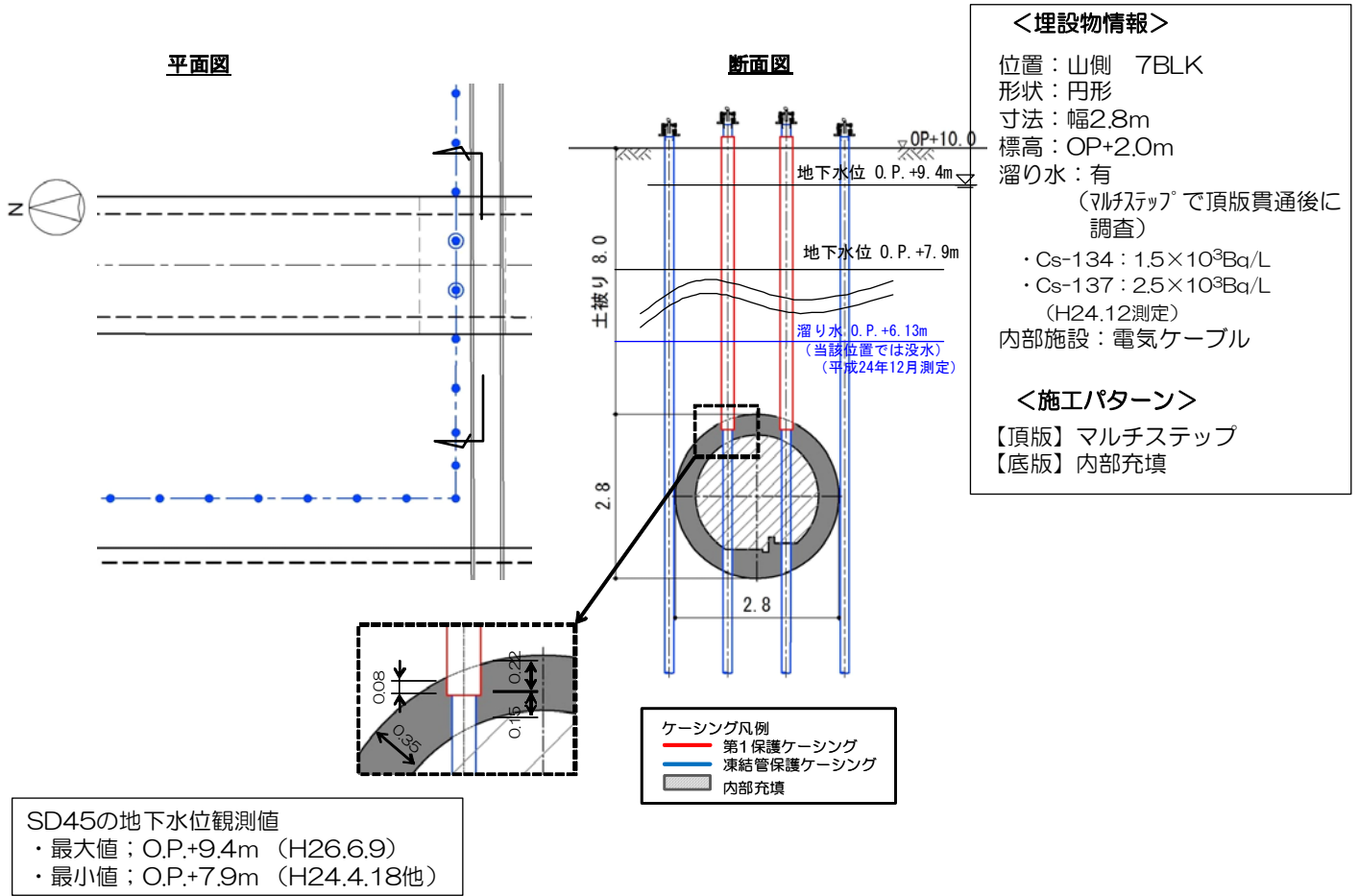
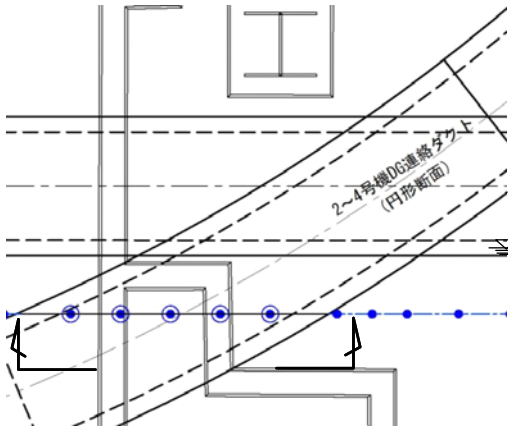


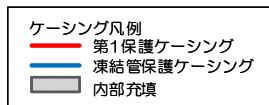
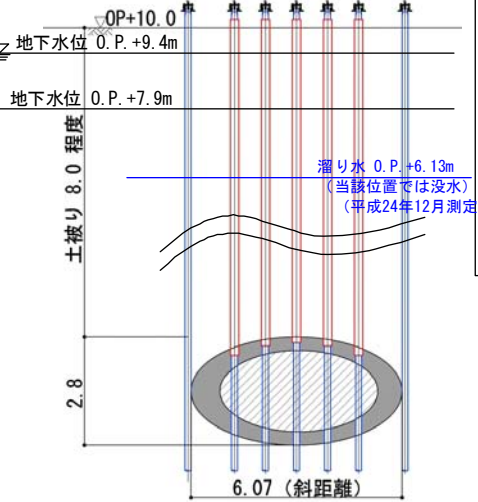
図14-18 【7-1】2~4号機DG連絡ダクト② 施工方法（貫通施工）



### 平面図



### 断面図



### <埋設物情報>

位置：山側 7BLK

形状：円形

寸法：外幅2.8m

標高：OP+2.0m

溜り水：有

(マルチステップで頂版貫通後に調査)

・Cs-134： $1.5 \times 10^3 \text{Bq/L}$

・Cs-137： $2.5 \times 10^3 \text{Bq/L}$

(H24.12測定)

内部施設：電気ケーブル

### <施工パターン>

【頂版】マルチステップ

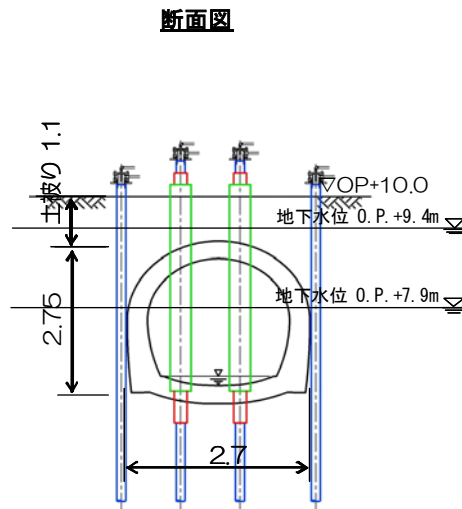
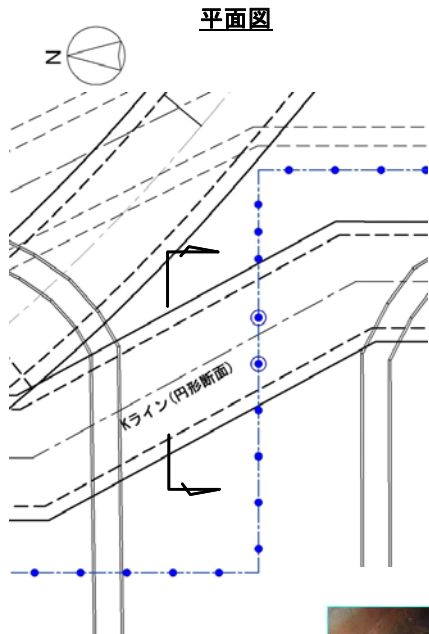
【底版】内部充填

### SD45の地下水位観測値

・最大値；O.P.+9.4m (H26.6.9)

・最小値；O.P.+7.9m (H24.4.18他)

図14-19 【7-2】2~4号機DG連絡ダクト③ 施工方法 (貫通施工)



排水可能流量は小名浜の30年確率降雨強度で評価しており、満水になることはほぼ無いものと想定される

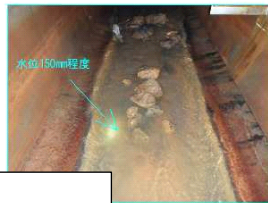
**<埋設物情報>**

位置：山側 7BLK  
 形状：円形  
 寸法：外幅2.7m  
 標高：OP+8.9m（天端）  
 溜り水：－  
 内部施設：雨水排水

**<施工パターン>**

【頂版】単純  
 【底版】マルチステップ  
 （排水管内部は凍結管に断熱材取付け）

雨水右



内部写真(調査時)



**SD45の地下水位観測値**

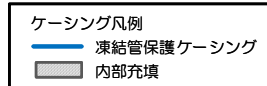
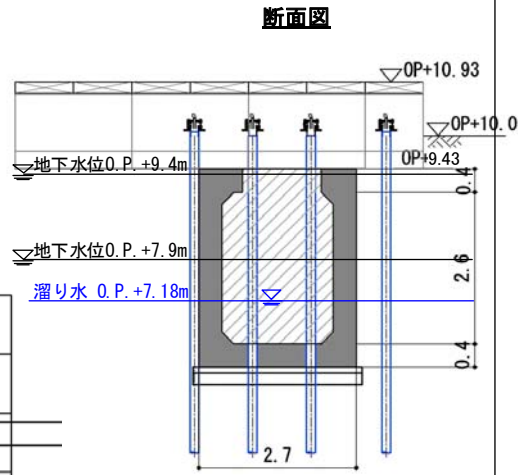
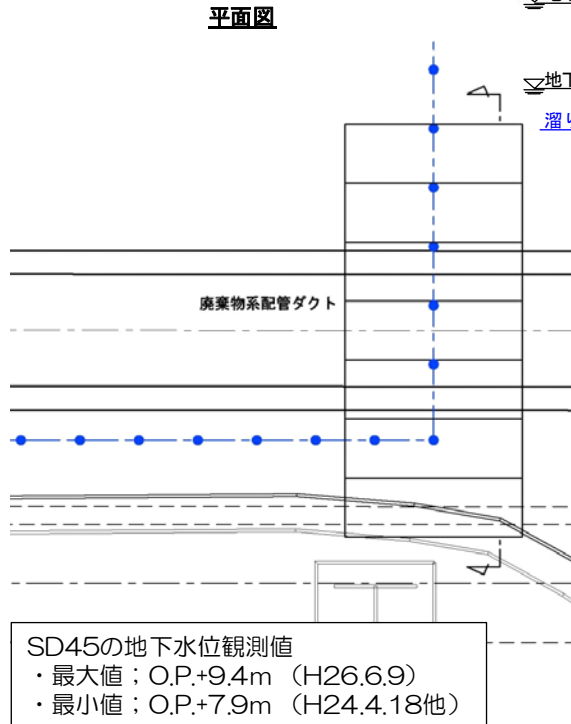
- ・最大値；O.P.+9.4m（H26.6.9）
- ・最小値；O.P.+7.9m（H24.4.18他）

**ケーシング凡例**

- 第1保護ケーシング
- 第2保護ケーシング
- 凍結管保護ケーシング

貫通施工完了後に補助工法（水中不分離コンクリート等）を用いて第1保護ケーシングと構造物境界面の止水を行う。

図14-20 【7-3】K排水路② 施工方法（貫通施工）



<埋設物情報>

位置：山側 7BLK  
形状：矩形  
寸法：幅2.7m  
標高：OP+9.4m  
溜り水：有  
(頂版撤去時に調査)

- ・Cs-134： $1.1 \times 10^2$ Bq/L
- ・Cs-137： $3.5 \times 10^2$ Bq/L  
(H25.12測定)

内部施設：配管

<施工パターン>

【頂版】頂版撤去  
【底板】内部充填

図14-21 【7-4】廃棄物系共通配管ダクト① 施工方法（貫通施工）

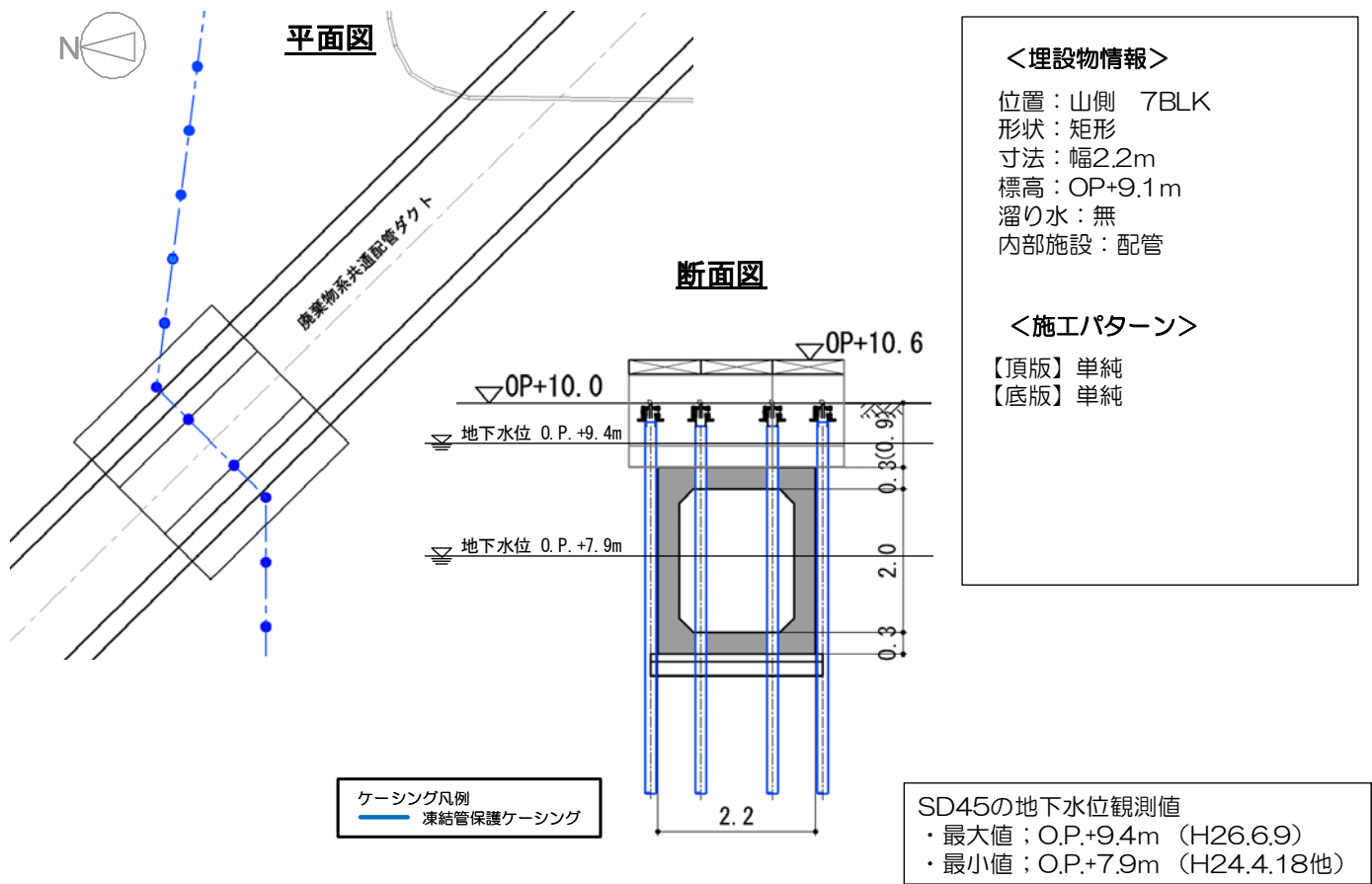
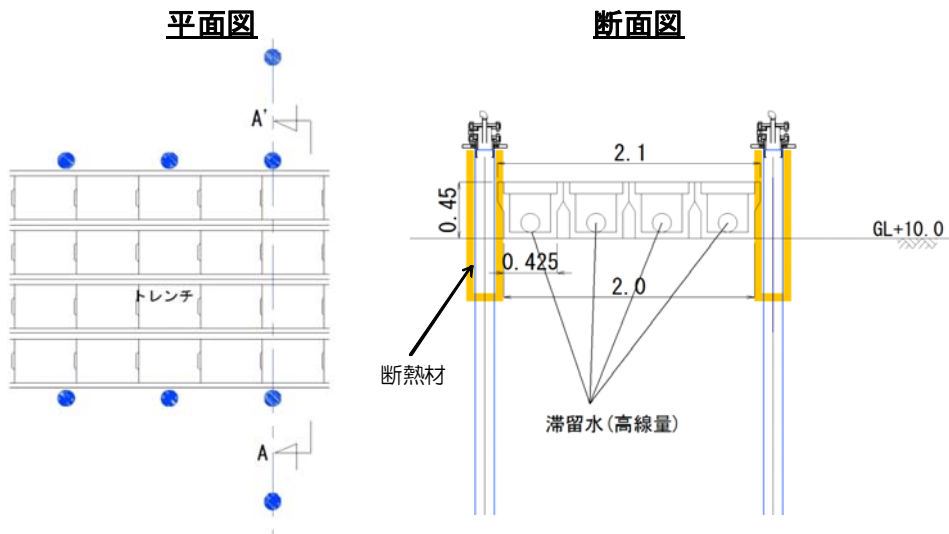
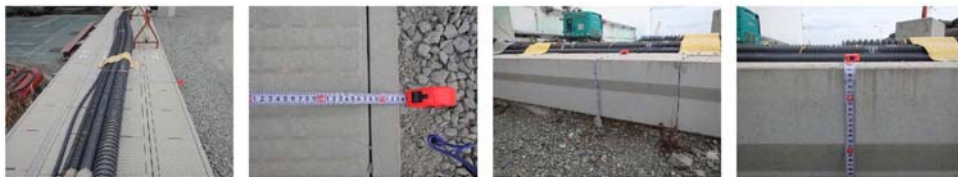


図 1 4 - 2 2 【 7 - 5 】 廃棄物系共通配管ダクト② 施工方法（貫通施工）



**<埋設物情報>**  
 位置：山側 8BLK  
 形状：矩形  
 寸法：外幅2.1m  
 標高：OP+10.0m（下端）  
 溜り水：—  
 内部施設：

**<施工パターン>**  
 複列



ケーシング凡例  
 — 凍結管保護ケーシング

図14-23 【8-1】滞留水移送管 施工方法（複列施工）

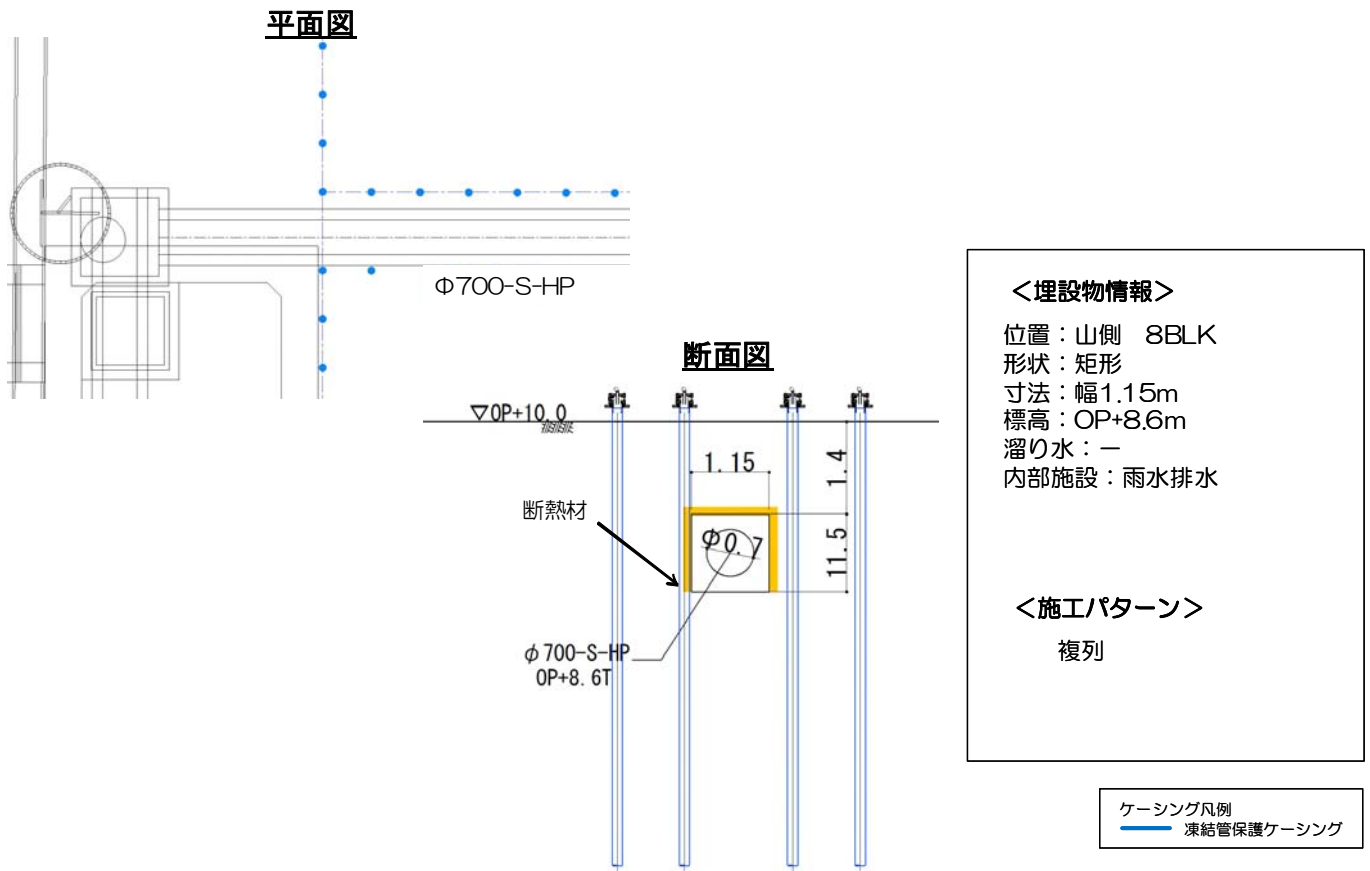


図 1 4 - 2 4 【 8 - 2 】 排水ヒューム管② 施工方法 (複列施工)

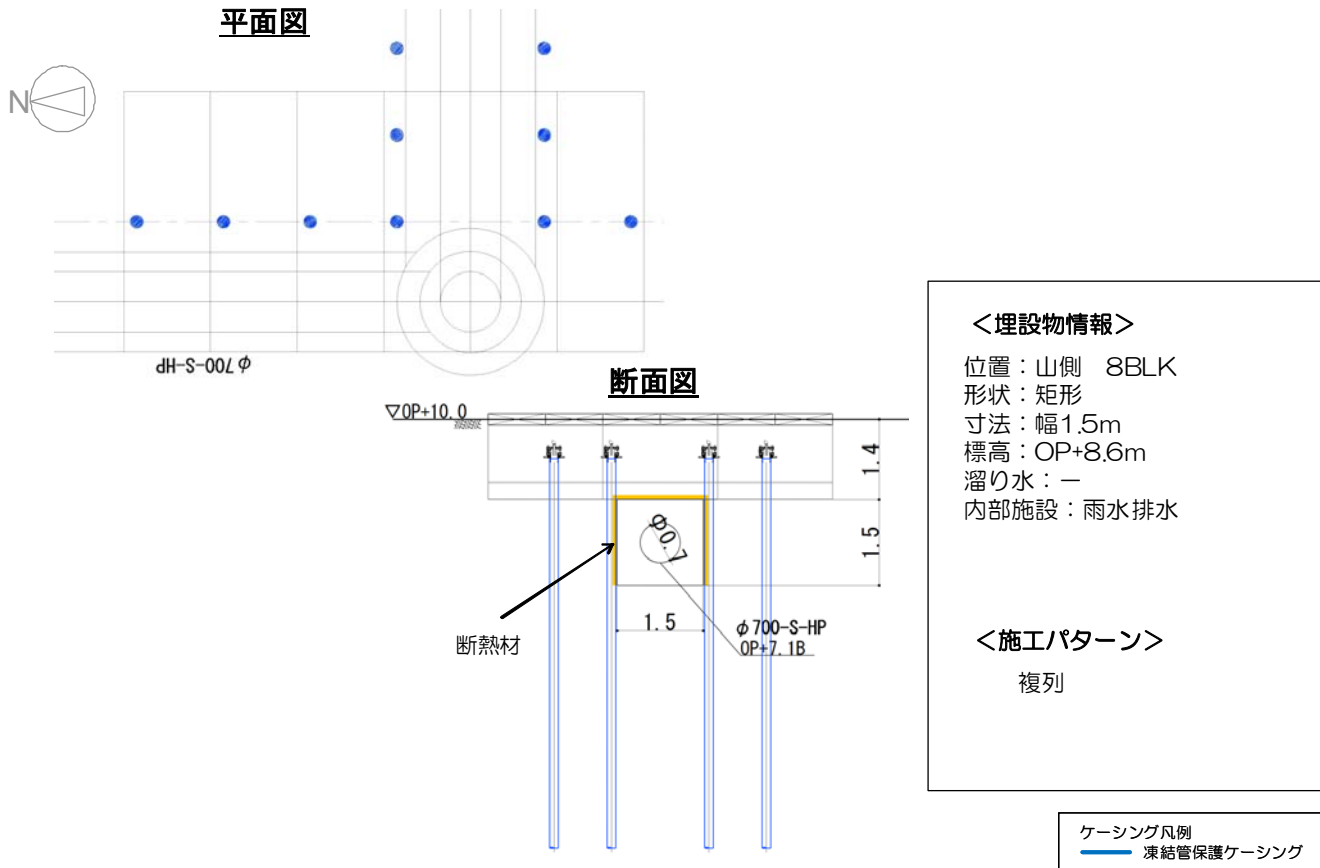
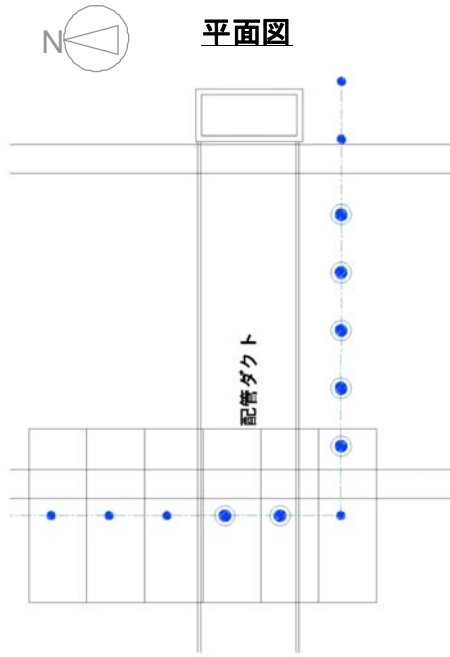
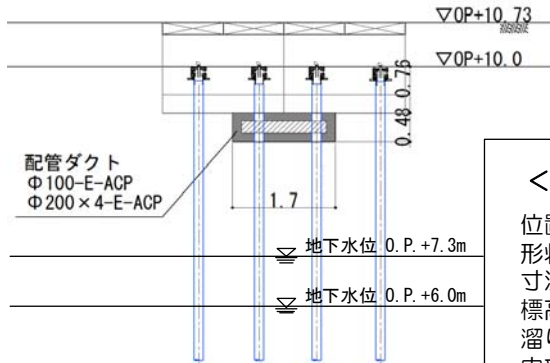


図 1 4 - 2 5 【 9 - 1 】 排水ヒューム管③ 施工方法 (複列施工)





**断面図**



**<埋設物情報>**

位置：山側 9BLK  
 形状：矩形  
 寸法：幅1.7m  
 標高：OP+9.2m  
 溜り水：貫通施工前に調査  
 内部施設：配管

**<施工パターン>**

【頂版】単純  
 【底版】内部充填

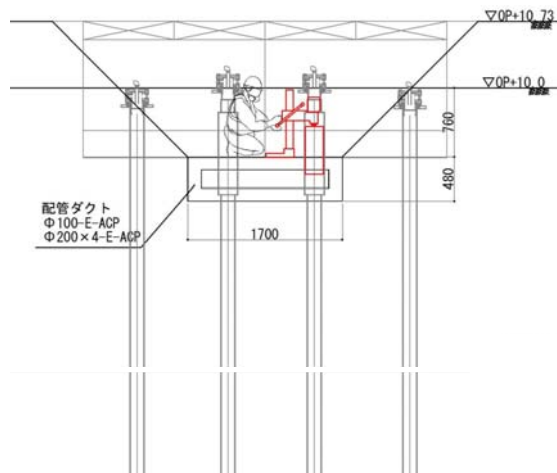
**SD55の地下水位観測値**

- ・最大値；O.P.+7.3m (H25.10.21)
- ・最小値；O.P.+6.0m (H26.1.20他)

**ケーシング凡例**

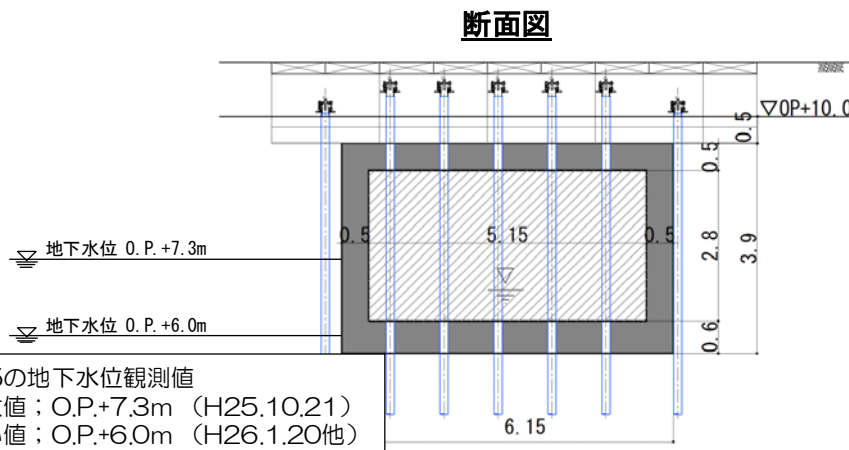
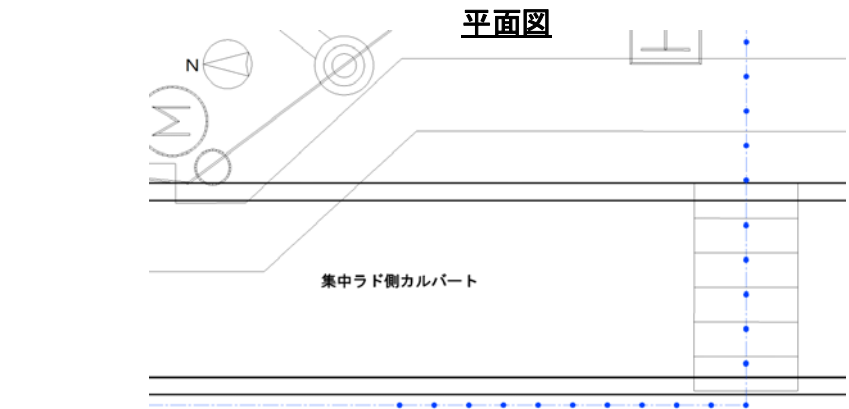
- 凍結管保護ケーシング
- 内部充填

**断面図**



試削孔による溜まり水の確認方法

図14-26 【9-2】配管ダクト 施工方法（貫通施工）



**<埋設物情報>**

位置：山側 9BLK  
 形状：矩形  
 寸法：幅6.15m  
 標高：OP+9.5m  
 溜り水：貫通施工前に調査  
 内部施設：海水配管

**<施工パターン>**

【頂版】単純  
 【底版】内部充填

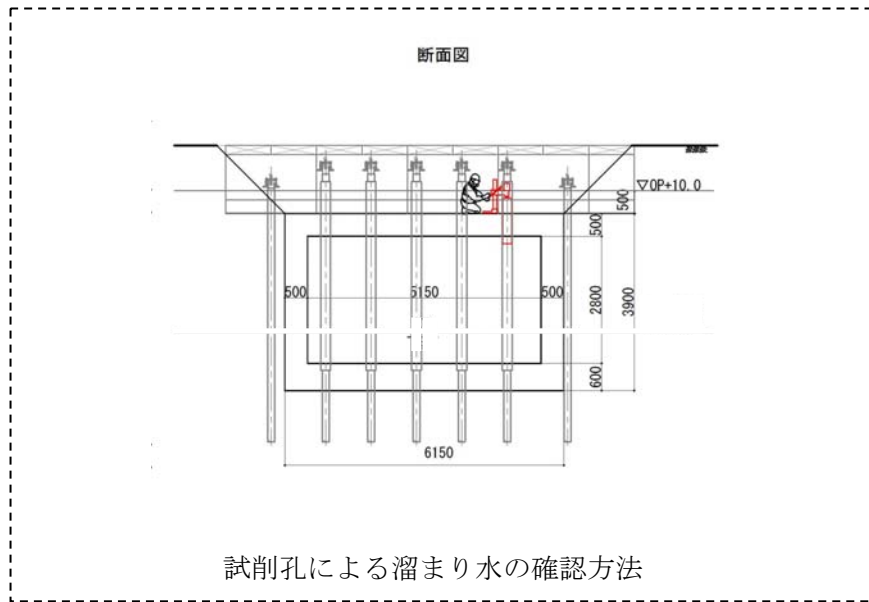
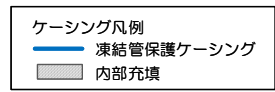


図 1 4 - 2 7 【 9 - 3 】 集中ラド側カルバート 施工方法 (貫通施工)

3次元解析の結果では、建屋周辺（10m盤、山側）の中粒砂岩層の水位は2～4%程度の勾配で山から海に向かって低下している。

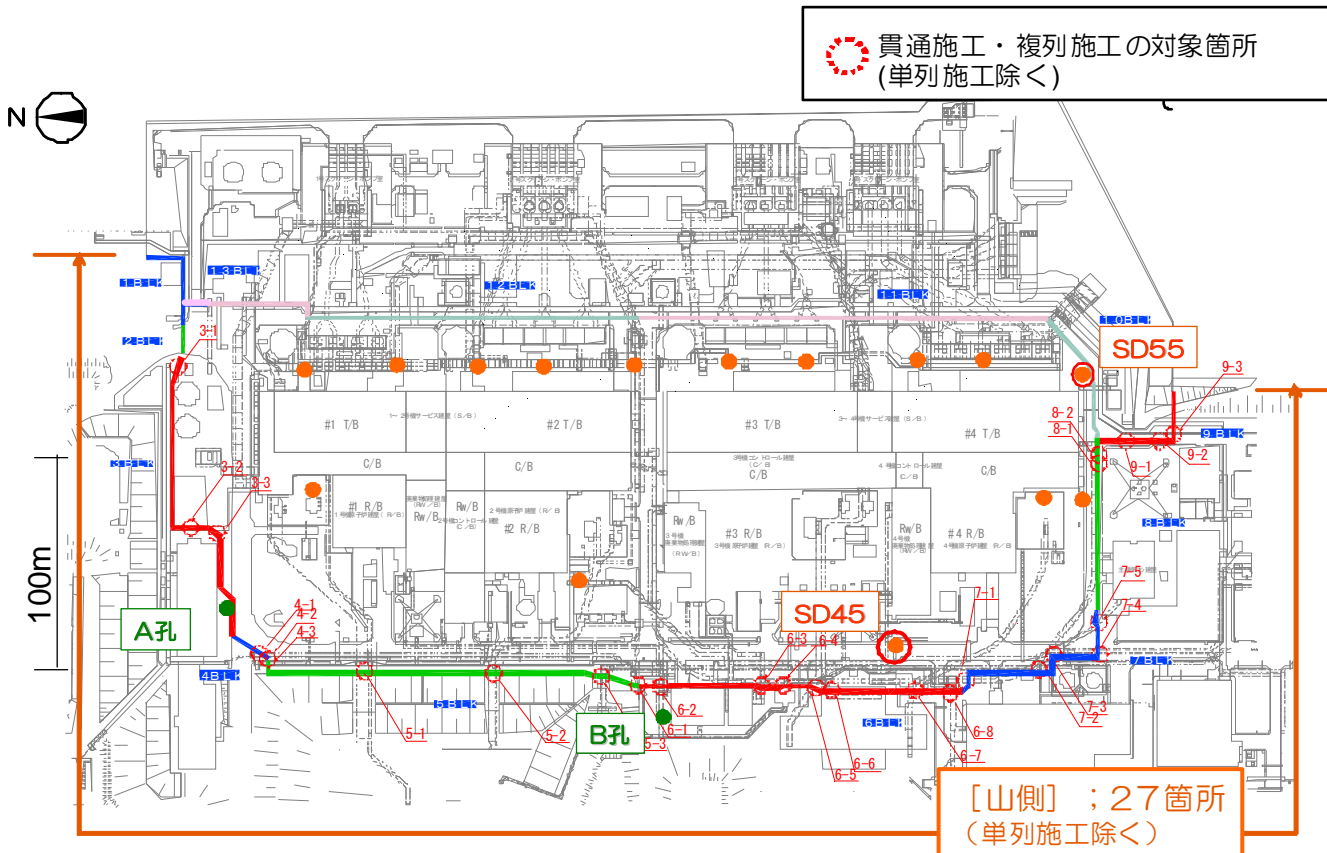
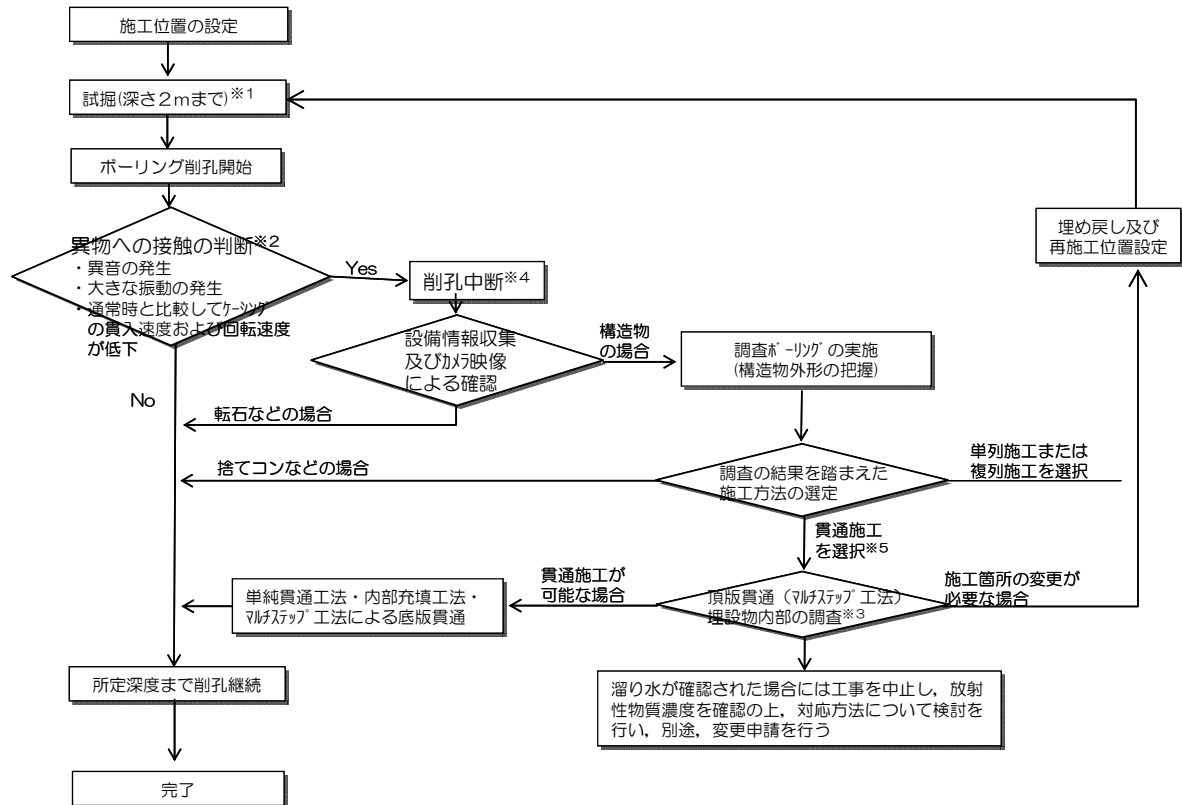


図 1 4 - 2 8 凍土壁ライン近傍のサブドレン・地下水位観測孔 配置図

## 7 不明埋設物への対応

ボーリング削孔中に「異音が発生する」、「大きな振動が発生する」等により、図面がない不明な埋設物が確認された場合は削孔を中断し、カメラ等により埋設物の状況の確認等を行った上で、適切な施工方法を選定、または、施工位置の移動等を行う。



- ※1 旧地盤面から深さ2mまで試掘することにより、東日本大震災以降に設置した電源ケーブル等の確認を行う。この試掘により、削孔作業において比較的容易に損傷する可能性が想定される埋設物(直接埋設された配管・ケーブル等)については、その位置・規模を全て特定出来る。2m以深の埋設物のうち、建屋と連通している埋設物については、基本的には図面等で確認済みであり、不明埋設物の多くが建屋建設当時の残置物(配管・ガレキ・仮設物基礎等)であると想定している。
- ※2 「異物への接触の判断」は、削孔深度が所定の深度に達するまで、異物への接触の都度に行う。
- ※3 カメラ映像による内容物確認および水質調査
- ※4 万が一、不明埋設物を誤って破損した際には、溜り水が有る場合には水の放射性物質濃度を確認する。並行して「不明物対処確認委員会」で不明埋設物の同定・対応方法について検討する。
- ※5 海側ライン上では構造物の貫通施工は行わない。

図15 不明埋設物への対応フロー

以上

## 陸側遮水壁（山側ライン）における試験凍結の実施

## 1. はじめに

陸側遮水壁は、地盤中に凍結管を約1 m間隔で配置し、凍結管内にブライン（冷却材）を循環させて凍結管周囲の地盤を凍結して造成する。陸側遮水壁を造成するための機器は、冷凍機、冷却塔、冷却水循環ポンプ、ブライン循環ポンプ、ブライン供給ポンプ、ブライントタンク、ブライン移送管、接続管、凍結管（以下：「ブライン循環設備」という）で構成されている。

試験凍結では、主に、ブライン移送管や凍結管等に循環されるブラインや測温管で計測される地中の温度変化傾向を確認し、ブライン循環設備の全体システムや地下水流況の影響等を確認する。

本実施計画は、様々な条件下で上記の温度変化傾向を確認していくことが対象であり、試験凍結箇所での閉合確認を実施するものではない。また、陸側遮水壁（山側ライン）の閉合を開始するものではない。

## 2. 実施目的

試験凍結における具体的な実施目的は、以下の事項に関して、測温管で計測される地中温度、ブラインの送り側（ヘッダー管単位）温度、ブラインの戻り側（凍結管単位）温度の変化傾向を確認する。

- (1) ブライン循環設備の全体システムの稼働状況（ブライン移送距離、移送管設置形状）
- (2) 地下水流況の影響（設置箇所、背後斜面、周辺構造物）
- (3) 特殊環境の影響（複列箇所、試験凍結箇所が近接する場所）

上記の凍結環境において、特に影響が大きいと想定される箇所での凍結過程の地中温度などの温度変化傾向を確認することで、本格凍結時に留意すべき点の抽出や対応策を立案するための資料を得ることが可能となる。

## 3. 試験凍結箇所

具体的な実施箇所は以下の通り（図1参照）。

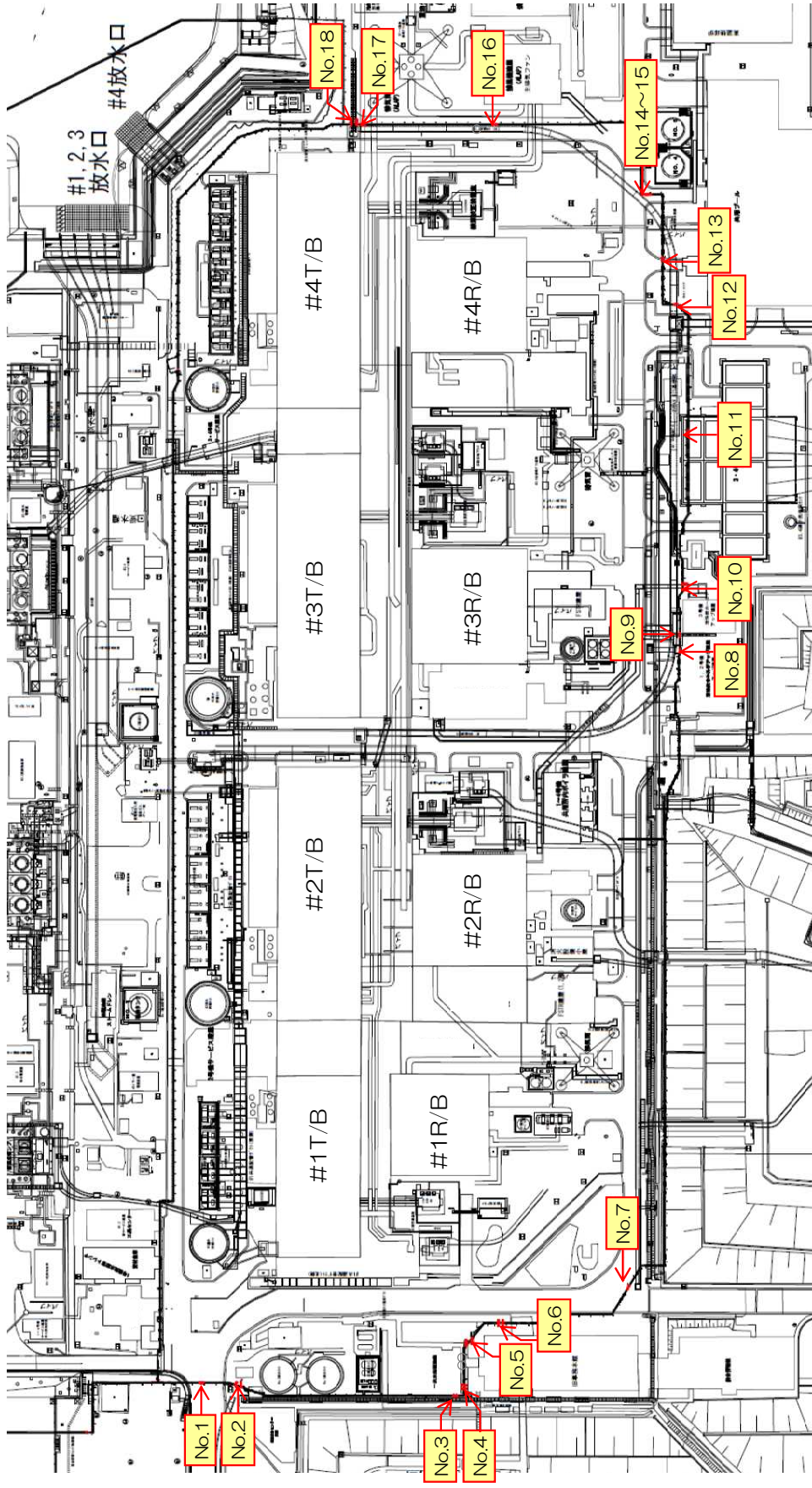


図1 試験凍結箇所

#### 4. 試験凍結での確認項目

以下の項目を確認し、「2. 実施目的」で記載した内容を確認する。

測温管で計測される地中温度

ブラインの送り側（ヘッダー管単位）の温度

ブラインの戻り側（凍結管単位）の温度

#### 5. 試験凍結時の建屋周辺地下水位に与える影響

フィージビリティ・スタディ\*で実施した、延長12mの小規模遮水壁実証試験における遮水壁周辺の地下水位変動の分析結果から、今回実施する試験凍結における建屋周辺の地下水位への影響は小さいため、現状の建屋内滞留水と周辺地下水の水位差に大きく影響を与えるものではない（別添-1参照）。

※：資源エネルギー庁公募「平成 25 年度発電用原子炉等廃炉・安全技術基盤整備事業（地下水の流入抑制のための凍土方式による遮水技術に関するフィージビリティ・スタディ事業）」

#### 6. 緊急時の対応

##### (1) サブドレン水位の水位低下

- a. 試験凍結時においても、「2.6 滞留水を貯留している（滞留している場合を含む）建屋」の本文に記載のとおり、試験凍結実施箇所近傍のサブドレン水位が建屋内滞留水の水位よりも高いことを確認する。具体的には、常時観測され免震重要棟の監視・制御装置に表示されるサブドレン水位で確認する。
- b. サブドレンの水位変動のなかで、統計処理等により今回の試験凍結が起因とされる有意な地下水位低下が発生した場合は、試験凍結の休止の可否を判断するため、建屋周辺地下水位への影響を調査する。
- c. また、試験凍結の実施箇所はサブドレン水位を監視し、異常値等の兆候を発見した場合に備え、関係箇所への情報共有を図れる体制を構築する。

##### (2) 機器の単一故障

ブライン循環設備の故障・破損時には、速やかに必要な対応・復旧を実施する。

##### (3) 外部電源喪失時

ブライン循環設備の電源は、異なる2系統の所内高圧母線から受電できる構成とする。

##### (4) 外部人為事象に対する対応

外部人為事象に対する設計上の考慮については、発電所全体の対応に従う（実施計画 II-1-14 設計上の考慮（3）外部人為事象に対する設計上の考慮）。

ブライン循環設備の機能確認に関する個別対応としては、凍結プラント建屋・制御盤等

の施錠を行うことで、関係者以外の立ち入り・操作を制限する。

また、凍結プラント稼働状況、ブライン循環ポンプ、ブライン供給ポンプ等機器類の稼働状況等について、遠隔監視することで、不正操作の有無を速やかに検知する。

## 7. 別添

### 別添一 1 試験凍結時の建屋周辺地下水に与える影響



試験凍結時の建屋周辺地下水位に与える影響

1. 評価方法の考え方

フィージビリティ・スタディ<sup>※</sup>で実施した延長 12m の小規模遮水壁実証試験（以下、：「小規模遮水壁」という）における遮水壁周辺の地下水位変動について分析した（図 1 参照）。

今回着目した地下水位観測位置は、地下水の流れに対して以下の通りである。

上流側（遮水壁周辺）：OS-5, OS-6

下流側（遮水壁周辺）：OS-2, OS-3, OS-4, 観測井 C

下流側（建屋周辺）：サブドレン SD45

なお、今回実施の試験凍結での最大造成長は約 8m であり、小規模遮水壁の方が規模が大きい。

※：資源エネルギー庁公募「平成 25 年度発電用原子炉等廃炉・安全技術基盤整備事業（地下水の流入抑制のための凍土方式による遮水技術に関するフィージビリティ・スタディ事業）」

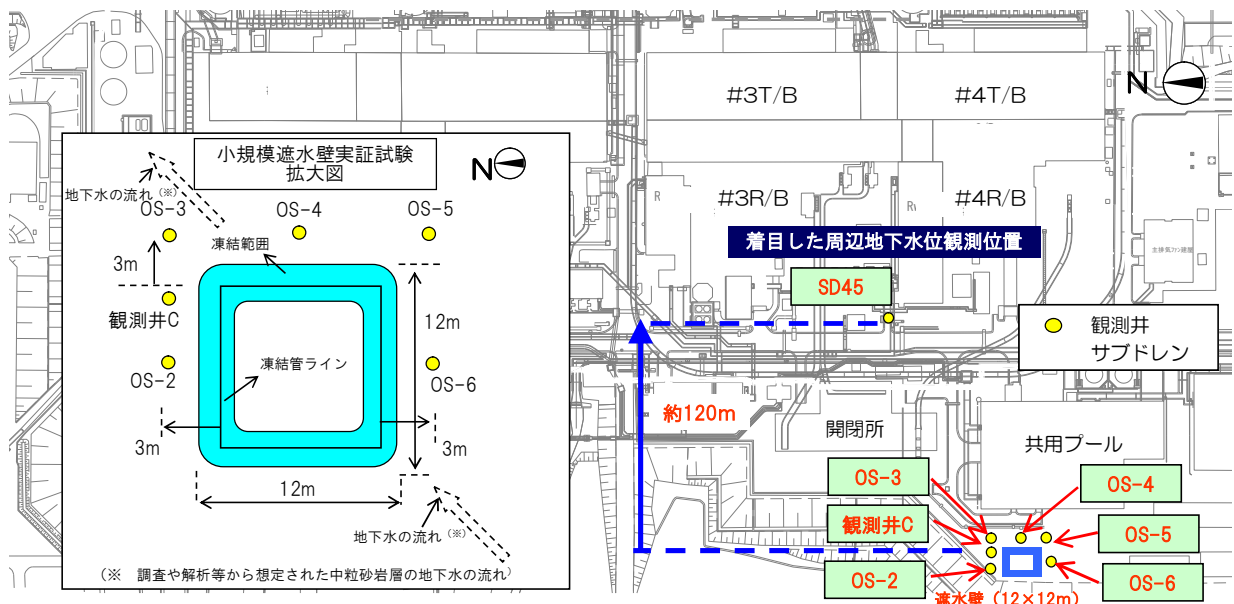


図1 小規模遮水壁での地下水位観測位置

2. 小規模遮水壁周辺での地下水位経時変化

小規模遮水壁周辺での地下水変動の経時変化（2014年3月～2014年5月）を以下に示す（図2、表1参照）。

なお、図中の①，②，③に関する定義は以下の通りである。

- ①：試験スタート時：2014/3/14～3/20（7日間平均値）
- ②：2014/5/25～5/31（7日間平均値）
- ③：降雨影響による水位変動幅：2014/4/30～5/1

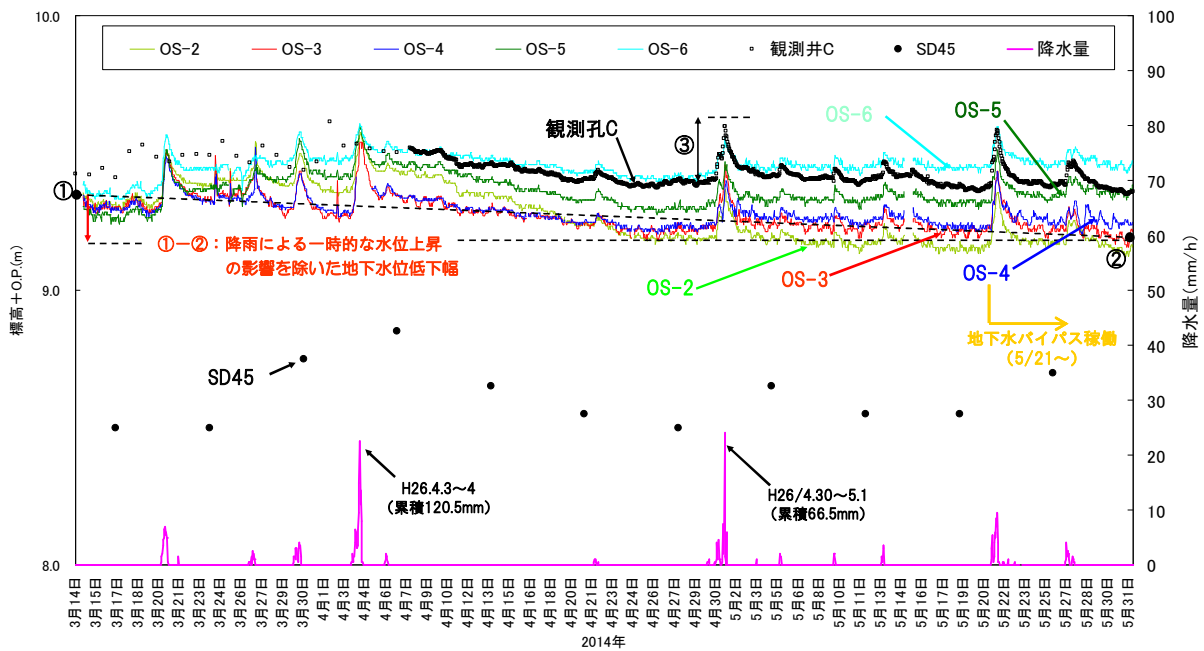


図2 小規模遮水壁周辺での地下水変動の経時変化  
表1 小規模遮水壁近傍での地下水変動の経時変化量

[地下水位変動幅：+：上昇 ▲：低下]

| 測定箇所 | 平均低下幅<br>(3/14～5/31)<br>降雨等の影響を除外 ※1 | 降雨影響<br>(4/30～5/1) |
|------|--------------------------------------|--------------------|
|      | (cm)                                 | (cm)               |
| OS-2 | ▲ 14                                 | +18                |
| OS-3 | ▲ 9                                  | +24                |
| OS-4 | ▲ 5                                  | +17                |
| OS-5 | +8                                   | +17                |
| OS-6 | +11                                  | +14                |
| 観測井C | ▲ 8                                  | +20                |

※1：①と②の差分から算出

※2：降雨前3日間平均と降雨時最大値との差から算出

### 3. 建屋周辺地下水位への影響評価結果

試験凍結時における建屋周辺の地下水位への影響は小さいため、現状の建屋内滞留水と周辺地下水の水位差に大きく影響を与えるものではない。

以下のその理由を記載する。なお、影響評価においては、保守的評価として、小規模遮水壁で得られた水位低下量で評価を実施した。

(小規模遮水壁実証試験結果)

- ・小規模遮水壁周辺の地下水位観測値の分析結果から、降雨による一時的な水位上昇を除き、地下水位低下幅は近傍の水位観測孔において、約2.5ヶ月経て15cm以下。
- ・一方、降雨の影響による一時的な水位上昇幅は、2日間程度で20cm程度あり、降雨による変動上昇幅は大きい。
- ・小規模遮水壁から最近傍のサブドレン (SD45) の地下水位変動は、試験開始以降において水位の低下傾向を確認できない。

(建屋周辺地下水位への影響評価)

[サブドレン非稼働時]

- ・試験凍結実施箇所周辺で仮に15cm程度の地下水位低下が発生しても、建屋周辺の地下水位の低下量は数cm以下であり、影響を与えない(青ライン)。
- ・また仮に建屋周辺の地下水位の低下量を15cmと評価した場合も、地下水位と建屋間の現状の水位差確保には影響を与えない(黒破線)。

[サブドレン稼働時]

- ・サブドレンが稼働している状態で、試験凍結実施箇所周辺で、仮に15cm程度の地下水位低下が発生しても、サブドレンポンプは稼働下限水位で停止することを考慮すると、地下水位と建屋間の水位差確保には影響を与えない(赤ライン)。

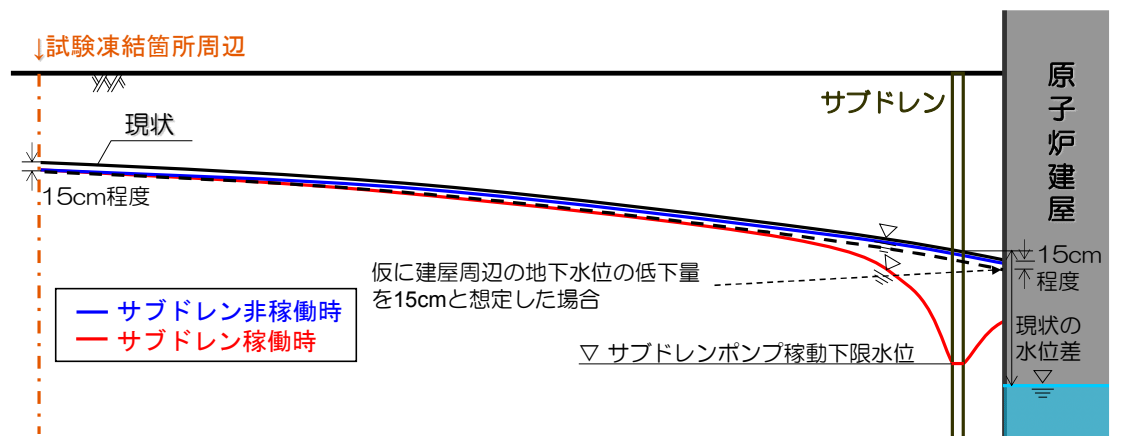


図3 試験凍結時の地下水位低下イメージ